

**EUR 4381 d**

**ASSOCIATION**

Europäische Atomgemeinschaft - EURATOM  
Commissariat à l'Energie Atomique - CEA

**DER WÄRMEÜBERGANG IN GLATTEN ROHREN, ZWISCHEN  
PARALLELEN PLATTEN, LÄNGS DER EBENEN PLATTE,  
IN RINGSPALTEN UND LÄNGS ROHRBÜNDELN BEI  
EXPONENTIELLER WÄRMEFLUSSVERTEILUNG IN ERZWUNGENER  
LAMINARER ODER TURBULENTER STRÖMUNG**

von

**H. GRÄBER**

1969



Bericht abgefasst beim  
Centre d'Etudes Nucléaires, Saclay - Frankreich

Assoziation Nr. 006-61-1 RAAF

## HINWEIS

Das vorliegende Dokument ist im Rahmen des Forschungsprogramms der Kommission der Europäischen Gemeinschaften ausgearbeitet worden.

Es wird darauf hingewiesen, dass die Kommission der Europäischen Gemeinschaften, ihre Vertragspartner und die in deren Namen handelnden Personen :

keine Gewähr dafür übernehmen, dass die in diesem Dokument enthaltenen Informationen richtig und vollständig sind, oder dass die Verwendung der in diesem Dokument enthaltenen Informationen oder der in diesem Dokument beschriebenen technischen Anordnungen, Methoden und Verfahren nicht gegen gewerbliche Schutzrechte verstößt;

keine Haftung für die Schäden übernehmen, die infolge der Verwendung der in diesem Dokument enthaltenen Informationen, oder der in diesem Dokument beschriebenen technischen Anordnungen, Methoden oder Verfahren entstehen könnten.

Dieser Bericht wird in den auf der vierten Umschlagseite genannten Vertriebsstellen

zum Preise von DM 30,-	FF 41,60	FB 375,-	Lit. 4 680	Fl. 27,-
------------------------	----------	----------	------------	----------

verkauft.

**Es wird gebeten, bei Bestellungen die EUR-Nummer und den Titel anzugeben, die auf dem Umschlag jedes Berichts aufgeführt sind.**

Gedruckt von Smeets  
Brüssel, Oktober 1969

Das vorliegende Dokument wurde an Hand des besten Abdruckes vervielfältigt, der zur Verfügung stand.

**EUR 4381 d**

**ASSOCIATION**

**Europäische Atomgemeinschaft - EURATOM  
Commissariat à l'Énergie Atomique - CEA**

**DER WÄRMEÜBERGANG IN GLATTEN ROHREN, ZWISCHEN  
PARALLELEN PLATTEN, LÄNGS DER EBENEN PLATTE,  
IN RINGSPALTEN UND LÄNGS ROHRBÜNDELN BEI  
EXPONENTIELLER WÄRMEFLUSSVERTEILUNG IN ERZWUNGENER  
LAMINARER ODER TURBULENTER STRÖMUNG**

**von**

**H. GRÄBER**

**1969**



**Bericht abgefasst beim  
Centre d'Études Nucléaires, Saclay - Frankreich**

**Assoziation Nr. 006-61-1 RAAF**

## ZUSAMMENFASSUNG

Durch Einführen eines zusätzlichen Parameters  $F_0$  werden die bisher bekannten Verfahren zur Berechnung des Wärmeübergangs auf die exponentielle Wärmeflussverteilung  $q_w = \exp(mx)$  erweitert, die bei laminarer und turbulenter Strömung mit linearem Druckabfall einen vom Ort unabhängigen Wärmeübergangskoeffizienten ergibt. Bei der laminaren Strömung längs einer ebenen Platte ergibt die einem Potenzgesetz  $q_w = x^m$  gehorchende Verteilung der Wärmestromdichte eine mit der Temperaturgrenzschichtdicke gebildete ortsunabhängige Nusselt-Zahl. Ein Näherungsverfahren gestattet, diese Grenzschichtdicke und damit die mit dem Abstand  $x$  von der Plattenvorderkante definierte Nusselt-Zahl zu berechnen. Für den Ringspalt werden Gleichungen zur expliziten Berechnung des Temperaturfeldes und der Nusselt-Zahl bei laminarer Strömung und konstantem Wärmefluss für ein- oder beidseitigen Wärmeaustausch angegeben. Für den Fall turbulenter Strömung im Ringspalt und längs Rohrbündeln ermöglicht eine Anpassung der von H. Reichardt für das Rohr ermittelten Verteilung der Impulsaustauschgrösse die Bestimmung des Geschwindigkeitsfeldes und des Reibungskoeffizienten und damit die Lösung der Wärmeübergangsgleichungen. Die Ergebnisse der numerischen Auswertung werden für einen breiten Bereich der verschiedenen Einflussgrössen in Tabellen und Diagrammen zusammengestellt und mit experimentellen Ergebnissen verglichen: Geschwindigkeits-, Temperatur- und wandnormaler Wärmestromdichteverlauf, Nusselt-Zahl und Mischungstemperatur. Zur Abschätzung der thermischen Einlaufänge wird ein einfaches Berechnungsverfahren angegeben.

## SCHLAGWORTE

HEAT TRANSFER  
TUBES  
PLATES  
LAMINAR FLOW  
LIQUID FLOW

TURBULENCE  
NUSSOLT NUMBER  
PRANDTL NUMBER  
REYNOLDS NUMBER

INHALTSVERZEICHNIS

	Seite
Verzeichnis der Tabellen.....	6
Verzeichnis der Abbildungen.....	9
Bezeichnungen.....	20
1. Einleitung.....	23
2. Herleitung allgemeiner Gleichungen.....	24
2.1. Vereinfachungen und Annahmen.....	24
2.2. Formeln für de Wärmeübergang.....	25
2.2.1. Die Temperaturverteilung.....	25
2.2.2. Die Wärmeübergangskennzahl.....	27
2.2.3. Mischungstemperatur und mittlere Geschwindigkeit.	27
2.2.3.1. Kreiszyklindrische Wände.....	27
2.2.3.2. Ebene Wände.....	28
2.2.4. Die wandnormale Wärmeflußdichteverteilung.....	28
2.2.4.1. Kreiszyklindrische Wände.....	29
2.2.4.2. Ebene Wände.....	29
2.2.5. Der Parameter der Wärmeflußverteilung.....	29
2.3. Die thermische Einlauflänge.....	41
2.4. Allgemeine Eigenschaften der Wärmestromdichteverteilung $q/q_w$ und der Temperaturverteilung $\theta$ .....	44
3. Spezielle Strömungsquerschnitte.....	47
3.1. Das Rohr.....	47
3.1.1. Laminare Strömung, exakte Berechnung für $q_w = \text{konst.}$	47
3.1.2. Turbulente Strömung.....	49
3.1.2.1. Formeln für strömungsmechanische Größen..	49
3.1.2.2. Der Wärmeübergang bei unveränderlichem Wärmefluß und verschwindender Prandtl- Zahl.....	52
3.1.2.3. Näherungslösung für unveränderlichen Wärmefluß und kleine Prandtl-Zahlen.....	54
3.1.2.4. Näherungslösung für unveränderlichen Wärmefluß bei mittleren bis große Prandtl-Zahlen.....	59
3.2. Parallele Platten, symmetrischer Wärmeaustausch.....	59
3.2.1. Laminare Strömung, exakte Berechnung für $q_w = \text{konst.}$	59
3.2.2. Turbulente Strömung.....	60

	<b>Seite</b>
3.2.2.1. Formeln für strömungsmechanische Größen...	60
3.2.2.2. Der Wärmeübergang für $q_w = \text{konst.}$ und $Pr = 0..$	61
3.2.2.3. Näherungslösung für $q_w = \text{konst.}$ und kleine Prandtl-Zahlen.....	62
3.3. Parallele Platten, asymmetrischer Wärmeaustausch.....	62
3.3.1. Laminare Strömung, exakte Berechnung für $q_w = \text{konst.}$	62
3.3.2. Turbulente Strömung.....	64
3.4. Die ebene Platte.....	64
3.4.1. Der wandnormale Schubspannungsverlauf.....	64
3.4.2. Der wandnormale Wärmestromdichteverlauf.....	70
3.4.3. Der Wärmeübergang bei unveränderlicher Nußelt-Zahl	71
3.5. Der Ringspalt.....	86
3.5.1. Laminare Strömung.....	86
3.5.1.1. Formeln für strömungsmechanische Größen...	86
3.5.1.2. Exakte Berechnung für $q_w = \text{konst.}$ .....	88
3.5.2. Turbulente Strömung, Berechnung strömungs- mechanischer Größen.....	95
3.6. Das Rohrbündel.....	106
3.6.1. Laminare Strömung.....	106
3.6.1.1. Strömungsmechanische Größen.....	106
3.6.1.2. Der Wärmeübergang bei $q_w = \text{konst.}$ .....	107
3.6.2. Turbulente Strömung, Berechnung strömungs- mechanischer Größen.....	109
4. Diskussion der Ergebnisse der numerischen Berechnung.....	111
4.1. Laminare Strömung.....	114
4.1.1. Das Rohr.....	114
4.1.2. Parallele Platten, symmetrischer Wärmeaustausch...	115
4.1.3. Parallele Platten, asymmetrischer Wärmeaustausch..	115
4.1.4. Die ebene Platte.....	115
4.1.5. Der Ringspalt.....	115
4.1.6. Das Rohrbündel.....	117
4.2. Turbulente Strömung.....	118
4.2.1. Das Rohr.....	118
4.2.2. Parallele Platten, symmetrischer Wärmeaustausch...	132
4.2.3. Parallele Platten, asymmetrischer Wärmeaustausch..	133
4.2.4. Der Ringspalt.....	134
4.2.4.1. Strömungsmechanische Größen.....	134
4.2.4.2. Der Wärmeaustausch.....	138

	Seite
4.2.5. Das Rohrbündel.....	147
4.2.5.1. Strömungsmechanische Größen.....	147
4.2.5.2. Der Wärmeaustausch.....	149
Anhang.....	153
A 2.2.5.1. Der Parameter $F_m$ bei Wärmeaustauschern.....	153
A 2.2.5.2. Herleitung des axialen Temperatur- gradienten $d\theta_{x_0}/d(x/d_h)$ .....	154
A 3.1.2.2. Die Berechnung der Nußelt-Zahl $Nu_0$ für $q_w = \text{konst.}$ , $Pr \rightarrow 0$ unter Anwendung des logarithmischen Geschwin- digkeitsgesetzes.....	155
A 3.1.2.3. Näherungslösung für unveränderlichen Wärmefluß und kleine Prandtl-Zahlen.....	157
A 3.5.2. Die Geschwindigkeitsverteilung im Ringraum.....	159
A 3.6.1.2. Die Mischungstemperatur $\theta_m$ für $q_w = \text{konst.}$ bei laminarer Strömung längs Rohrbündeln.....	161
Literaturverzeichnis.....	163
Tabellen.....	170
Abbildungen.....	191

VERZEICHNIS DER TABELIEN

	Seite
Tab. 1 Zusammenstellung der Zahlenwerte der Parameter für die numerische Berechnung.....	170
Tab. 2 Nußelt-Zahl $Nu_0$ und mittlere Geschwindigkeit $\varphi_m$ bei der turbulenten Rohrströmung für $q_w = \text{konst.}$ und $Pr \rightarrow 0$ unter Zugrundelegung verschiedener Geschwindigkeitsgesetze: -a) $\varphi = (1 - y^+)^{1/n}$ -b) $\varphi = (2,5 \ln \eta + 5,5) / (2,5 \ln \eta_c + 5,5)$ -c) $\varphi$ entsprechend Gleichung (62).....	171
Tab. 3 Vergleich der mit dem Näherungsverfahren Glg.(86a) ( $Nu_0^+$ ) und dem genauen numerischen Verfahren ( $Nu_0$ ) gewonnenen Nußelt-Zahlen bei der turbulenten Rohrströmung.....	171
Tab. 4 Nußelt-Zahl $Nu_0$ und mittlere Geschwindigkeit $\varphi_m$ bei der turbulenten Strömung zwischen parallelen Platten für $q_w = \text{konst.}$ und $Pr \rightarrow 0$ unter Zugrundelegung verschiedener Geschwindigkeitsgesetze: -a) $\varphi = (1 - y^+)^{1/n}$ -b) $\varphi = (2,5 \ln \eta + 5,5) / (2,5 \ln \eta_c + 5,5)$ -c) $\varphi$ entsprechend Gleichung (62).....	172
Tab. 5 Vergleich der mit dem Näherungsverfahren (Glg.86a, dividiert durch zwei: $Nu_0^+$ ) und dem genauen Verfahren ( $Nu_0$ ) gewonnenen Nußelt-Zahlen bei der turbulenten Strömung zwischen parallelen Platten, symmetrischer Wärmeaustausch	172
Tab. 6 Impuls- und Enthalpie-Fluß durch die in Abb.6 definierten Abschnitte der Kontrollfläche an der ebenen Platte.....	65
Tab. 7 Vergleich der für die ebene Platte bei laminarer Strömung und konstanter Wandtemperatur berechneten Nußelt-Zahlen $Nu_x$ : -a) Exakte Werte nach Pohlhausen/Sparrow -b) Nach Glg.(134a) mit $\delta/\delta_t$ aus Glg.(138a) bzw. (138b)..	173
Tab. 8 Reynolds-Zahl $Re_{12}$ , neutraler Radius $r_c/r_2$ und Wandabstand $\eta_s$ am Schnittpunkt des Wand- und Mittengesetzes für $\epsilon_m / (v\eta_c)$ in Abhängigkeit von der äquivalenten Rohr-Reynolds-Zahl $Re_T$ und vom Radienverhältnis $r_1/r_2$ bei turbulenter Strömung im Ringspalt.....	173



Tab. 9	Reynolds-Zahl $Re_B$ , mittlere Geschwindigkeit $\varphi_{mB}$ und Radienverhältnis $r_1/r_2$ des zugeordneten Ringspalts in Abhängigkeit von der äquivalenten Rohr-Reynolds-Zahl $Re_T$ bei turbulenter Strömung längs Rohrbündeln (Dreieckanordnung).....	174
Tab. 10	Auf die Nußelt-Zahl bei konstantem Wärmefluß $Nu_q$ bezogene Nußelt-Zahl $Nu$ sowie Mischungstemperatur $\theta_m$ in Abhängigkeit vom Parameter der Wärmeflußverteilung $F_o$ , von der Prandtl-Zahl $Pr^+$ und von der Reynolds-Zahl $Re$ bei turbulenter Rohrströmung.....	175
Tab. 11	Auf die Nußelt-Zahl bei konstantem Wärmefluß $Nu_q$ bezogene Nußelt-Zahl $Nu$ sowie Mischungstemperatur $\theta_m$ in Abhängigkeit vom Parameter der Wärmeflußverteilung $F_o$ , von der Prandtl-Zahl $Pr^+$ und von der Reynolds-Zahl $Re$ bei turbulenter Strömung zwischen parallelen Platten, symmetrischer (PS) bzw. asymmetrischer Wärmeaustausch (PAS).....	177
Tab. 12	Auf die Nußelt-Zahl bei konstantem Wärmefluß $Nu_q$ bezogene Nußelt-Zahl $Nu$ sowie Mischungstemperatur $\theta_m$ in Abhängigkeit vom Parameter der Wärmeflußverteilung $F_o$ , von der Prandtl-Zahl $Pr^+$ und von der Reynolds-Zahl $Re$ bei turbulenter Strömung in Ringspalten, Wärmeaustausch am inneren ( $q_{w1}$ ) bzw. äußeren Zylinder ( $q_{w2}$ ).....	178
Tab. 13	Auf die Nußelt-Zahl bei konstantem Wärmefluß $Nu_q$ bezogene Nußelt-Zahl $Nu$ sowie Mischungstemperatur $\theta_m$ in Abhängigkeit vom Parameter der Wärmeflußverteilung $F_o$ , von der Prandtl-Zahl $Pr^+$ und von der Reynolds-Zahl $Re$ bei turbulenter Strömung längs Rohrbündeln (Dreieckanordnung).....	182
Tab. 14	Mischungstemperatur $\theta_m$ für turbulente Strömung in Ringspalten bei konstantem Wärmefluß in Abhängigkeit von der Prandtl-Zahl $Pr^+$ , von der Reynolds-Zahl $Re$ und vom Radienverhältnis $r_1/r_2$ für Wärmeaustausch am inneren ( $(r_1/r_2)_1$ ) bzw. äußeren Zylinder ( $(r_1/r_2)_2$ ).....	184

- Tab.15 Mischungstemperatur  $\theta_m$  für turbulente Strömung in Rohren (T), zwischen parallelen Platten bei symmetrischem (PS) bzw. asymmetrischem Wärmeaustausch (PAS) und längs Rohrbündeln (Dreieckanordnung,  $p/d=1,25 - 1,60 - 1,95 - 3,50$ ) bei konstantem Wärmefluß in Abhängigkeit von der Prandtl-Zahl  $Pr^+$  und von der Reynolds-Zahl  $Re...$  185
- Tab.16 Koeffizienten  $a$  und  $c$  des bei turbulenter Strömung für  $\eta > 30$  näherungsweise gültigen logarithmischen Geschwindigkeitsgesetzes  $u/u^+ = a \ln \eta + c$ , angewandt auf die innere Hälfte von Ringspalten ( $r_1 \leq r \leq r_c$ ,  $r_1/r_2 = 0,7 - 0,4 - 0,2 - 0,1$ ) und auf Rohrbündel (Dreieckanordnung,  $p/d=1,25 - 1,60 - 1,95 - 3,50$ ):  $a_r$  und  $c_r$  in Abhängigkeit von der äquivalenten Rohr-Reynolds-Zahl  $Re_T$ ,  $a$  und  $c$  dagegen Mittelwerte für den Bereich  $Re_T = 10^4 \dots 3 \cdot 10^6$ . Die Werte  $e$  geben in Prozent die mittleren quadratischen Abweichungen gegenüber den mit Hilfe der Gleichungen (186a,b,c) einerseits bzw. (192) andererseits (Werte in Klammern) für die verschiedenen Teilabszissen berechneten Geschwindigkeiten an:  $e_r(Re_T)$  sowie  $e$  unter Zugrundelegung der Koeffizienten  $a$  und  $c$ ..... 186
- Tab.17 Koeffizienten  $a$  und  $c(Pr^+)$  des bei turbulenter Strömung für  $\eta > 25$  näherungsweise gültigen Temperaturgesetzes  $(\epsilon_h/\epsilon_m)(\vartheta_w - \vartheta)/\vartheta^+ = a \ln \eta + c(Pr^+)$ , angewandt auf die verschiedenen Strömungsquerschnitte bei  $q_w = \text{konst.}$ :  $a_{rp}(Pr^+, Re_T)$  und  $c_{rp}(Pr^+, Re_T)$ ,  $a_p(Pr^+)$  und  $c_p(Pr^+)$ ,  $a$  als Bestwert für  $c(Pr^+) \neq f(Re_T)$ . Die Werte  $e$  geben in Prozent die mittleren quadratischen Abweichungen gegenüber den genauen Ergebnissen an:  $e_{pr}(Pr^+, Re_T)$  und  $e_p(Pr^+)$  unter Zugrundelegung von  $a_p$  und  $c_p$ ,  $e(Pr^+)$  und  $e_m$  unter Zugrundelegung von  $a$  und  $c(Pr^+)$ ..... 187
- Tab.18 Verzeichnis gleichwertiger Darstellungen in Abbildungen und Tabellen..... 190

VERZEICHNIS DER ABBILDUNGEN

	Seite
Abb. 1 Zusammenstellung der geometrischen Daten und der Bezeichnungen für die verschiedenen Strömungsquerschnitte.	191
Abb. 2 Temperaturverteilungen $\vartheta_o = f_1(x/l)$ , $\vartheta_w = f_2(x/l)$ und $(\theta_x)_1 = f_3(y^+, x/l)$ für verschiedene Bereiche bzw. Werte des Parameters der Wärmeflußverteilung $F_o$ im Strömungsquerschnitt 1 eines Wärmeaustauschers.....	192
Abb. 3 Der Parameter der Wärmeflußverteilung $F_o = f_1(F_m, \theta_m = \text{konst.})$ bzw. $F_o = f_2(F_m, I = T_{lam})$ .....	193
Abb. 4 -a, b, c) Darstellung der Grenzfälle $\vartheta_w = \vartheta_m$ ( $\theta_m = 0$ ), $F_o = -\theta_m / (1 - \theta_m)$ und $F_o \rightarrow \infty$ für den Strömungsquerschnitt 1 eines Wärmeaustauschers. -d) Schema zur Herleitung des Mindestwertes $x_e$ der thermischen Einlauf­länge.....	194
Abb. 5 Dimensionsloser Wandabstand $\eta_b = f(\text{Pr}^+, \text{Re})$ für $q_w = \text{konst.}$ ...	194
Abb. 6 Schema zur Herleitung des wandnormalen Schubspannungs- und Wärmestromdichteverlaufs $\tau/\tau_w = f(y/\delta)$ bzw. $q/q_w = f(y/\delta_t)$ bei der längs angeströmten ebenen Platte.....	195
Abb. 7 Geschwindigkeits- und Schubspannungsverlauf $\varphi = f_1(\eta)$ bzw. $\tau/\tau_w = f_2(\eta)$ der laminaren Plattenströmung, einschließlich ihrer Näherungslösungen $\varphi^+ = f_3(y/\delta)$ , $\varphi^{++} = f_4(y/\delta)$ bzw. $(\tau/\tau_w)^+ = f_5(y/\delta)$ und $(\tau/\tau_w)^{++} = f_6(y/\delta)$ .....	195
Abb. 8 Verhältnis der thermischen zur hydrodynamischen Grenzschichtdicke $\delta_t/\delta = f(2(1+m)\text{Pr})$ für die lam. Plattenstrg..	196
Abb. 9 Vergleich der aus dem Näherungsverfahren gewonnenen Beziehung $\text{Nu}_x / (\text{Re}_x^{1/2} \text{Pr}^{1/3}) = f(m)$ mit den exakten Ergebnissen von Sparrow et al./4/ für die laminare Plattenströmung.....	196
Abb. 10 Beispiele für Längsverteilungen der Wärmestromdichte $q_w/q_{wb} = f(m)$ und der Wandtemperatur $\theta_w = f(m)$ bei der laminaren Plattenströmung.....	197
Abb. 11 Konstante $c = \zeta \text{Re}$ , Halbmesserkfunktionen $(1+r_1/r_2)/2$ und $r_c/r_2$ , mittlere Geschwindigkeit $\varphi_m$ , Verhältnis der Nußelt-Zahlen $\text{Nu}_1/\text{Nu}_2$ ( $q_w = \text{konst.}$ ) und der Wandschubspannungen $\tau_{w1}/\tau_{w2}$ für die laminare sowie $r_c/r_2$ für die turbulente Strömung im Ringspalt.....	197

	Seite
Abb. 12 Beispiel für die angenommene Verteilung der Impuls- Austauschgröße $\epsilon_{\square}/\nu$ beim Ringspalt ( $r_1/r_2=0,4$ - $Re=1,96 \cdot 10^4$ ). -a: Glg.(1) -b: Glg.(173) -c: Glg.(2) für $\eta_c = \eta_{c1}$ .....	198
Abb. 13 Verhältnis der Austauschgrößen für Wärme und Impuls $\epsilon_h/\epsilon_{\square} = f(Pr, \epsilon_{\square}/\nu)$ nach R.Jenkins /11/.....	198
Abb. 14 Temperaturverlauf $\theta = f(y/r_w, F_0)$ bei der laminaren Rohr- strömung.....	199
Abb. 15 Wandnormaler Wärmestromdichteverlauf $q/q_w = f_1(y/r_w, F_0)$ bzw. $(1-y/r_w)q/q_w = f_2(y/r_w, F_0)$ bei der laminaren Rohr- strömung.....	200
Abb. 16 Temperaturverlauf $\theta = f(2y/h, F_0)$ bei der laminaren Strö- mung zwischen parallelen Platten, symmetrischer Wärme- austausch.....	201
Abb. 17 Wandnormaler Wärmestromdichteverlauf $q/q_w = f(2y/h, F_0)$ bei der laminaren Strömung zwischen parallelen Platten, asymmetrischer Wärmeaustausch.....	202
Abb. 18 Temperaturverlauf $\theta = f(y/h, F_0)$ bei der laminaren Strö- mung zwischen parallelen Platten, asymmetrischer Wärme- austausch.....	203
Abb. 19 Wandnormaler Wärmestromdichteverlauf $q/q_w = f(y/h, F_0)$ bei der laminaren Strömung zwischen parallelen Platten, asymmetrischer Wärmeaustausch.....	204
Abb. 20 Schubspannungsverlauf $\tau/\tau_w = f((r-r_i)/(r_c-r_i), r_1/r_2)$ bei laminarer und turbulenter Strömung im Ringspalt.....	205
Abb. 21 Wandnormaler Wärmestromdichteverlauf $q/q_w = f((r-r_1)/(r_2-r_1),$ $F_0, r_1/r_2)$ bei laminarer Strömung im Ringspalt, Wärme- austausch am inneren Zylinder.....	206
Abb. 22 Temperaturverlauf $\theta = f((r-r_i)/(r_j-r_i), r_1/r_2)$ bei lami- narer Strömung im Ringspalt für $q_w = \text{konst.}$ .....	207

	Seite
Abb. 23 Temperaturverlauf $\theta=f((r-r_1)/(r_2-r_1),F_o)$ bei laminarer Strömung im Ringspalt, Wärmeaustausch am inneren Zylinder, für $r_1/r_2=0,70$ und $r_1/r_2=0,05$ .....	208
Abb. 24 Temperaturverlauf $\theta=f((r-r_1)/(r_2-r_1),F_o)$ bei laminarer Strömung im Ringspalt, Wärmeaustausch am inneren Zylinder, für $r_1/r_2=0,40$ und $r_1/r_2=0,10$ .....	209
Abb. 25 Temperaturverlauf $\theta=f((r-r_1)/(r_2-r_1),F_o)$ bei laminarer Strömung im Ringspalt, Wärmeaustausch am inneren Zylinder, für $r_1/r_2=0,20$ und $r_1/r_2=0,02$ .....	210
Abb. 26 Temperaturverlauf $\theta=f((r-r_2)/(r_1-r_2),F_o)$ bei laminarer Strömung im Ringspalt, Wärmeaustausch am äußeren Zylinder, für $r_1/r_2=0,10$ .....	211
Abb. 27 Mischungstemperatur $\theta_m=f(r_1/r_2,F_o)$ bei laminarer Strömung im Ringspalt für Wärmeaustausch am inneren ( $q_{w1}$ ) bzw. äußeren Zylinder ( $q_{w2}$ ).....	212
Abb. 28 Nußelt-Zahl $Nu=f(r_1/r_2,F_o)$ bei laminarer Strömung im Ringspalt für Wärmeaustausch am inneren ( $q_{w1}$ ) bzw. äußeren Zylinder ( $q_{w2}$ ).....	213
Abb. 29 Verhältnis der Nußelt-Zahlen $Nu/Nu_q=f(F_o,r_1/r_2)$ bei laminarer Strömung im Ringspalt, einschließlich der Grenzfälle $r_1/r_2=0$ : Rohr und $r_1/r_2=1$ : Parallele Platten, asymmetrischer Wärmeaustausch.....	214
Abb. 30 Thermische Einlauflänge $x_e/(d Pe)=f(r_1/r_2,F_o)$ bei laminarer Strömung im Ringspalt.....	215
Abb. 31 Temperaturverlauf $\theta=f((r-r_i)/(r_o-r_i),r_1/r_2)$ bei laminarer Strömung im Ringspalt für quasisymmetrischen Wärmeaustausch mit $q_{w1}=\text{konst.}$ und $q_{w2}=\text{konst.}$ .....	216
Abb. 32 Temperaturverlauf $(\vartheta-\vartheta_{w1})/(\vartheta_o-\vartheta_{w1})=f((r-r_1)/(r_2-r_1),r_1/r_2)$ bei laminarer Strömung im Ringspalt für quasisymmetrischen Wärmeaustausch mit $q_{w1}=\text{konst.}$ und $q_{w2}=\text{konst.}$ .....	217

	Seite
Abb. 33 Mischungstemperaturen $\theta_{m1}$ , $\theta_{m2}$ und $\theta_{m12}$ , Wandtemperatur $\theta_{wc12} = (\vartheta_{w2} - \vartheta_0) / (\vartheta_{w1} - \vartheta_0)$ und Nußelt-Zahlen $Nu_1$ , $Nu_2$ bei der laminaren Strömung im Ringspalt für quasisymmetrischen Wärmeaustausch mit $q_{w1} = \text{konst.}$ und $q_{w2} = \text{konst.}$ sowie mittlere Geschwindigkeiten $\varphi_{m1}$ , $\varphi_{m2}$ und $\varphi_{m12}$ in Abhängigkeit vom Halbmesserverhältnis $r_1/r_2$ .....	218
Abb. 34 Temperaturverlauf $\theta = f((r-r_1)/(r_c-r_1), F_0)$ bei laminarer Strömung längs eines Rohrbündels mit $p/d = 1,61$ (Dreieckanordnung).....	219
Abb. 35 Mischungstemperatur $\theta_m = f(p/d, F_0)$ bei laminarer Strömung längs Rohrbündeln (Dreieckanordnung).....	220
Abb. 36 Nußelt-Zahl $Nu = f(p/d, F_0)$ bei laminarer Strömung längs Rohrbündeln (Dreieckanordnung).....	221
Abb. 37 Verhältnis der Nußelt-Zahlen $Nu/Nu_q = f(F_0, p/d)$ bei laminarer Strömung längs Rohrbündeln (Dreieckanordnung), einschließlich des Grenzfalles $p/d = 0,952$ : Parallele Platten, symmetrischer Wärmeaustausch.....	222
Abb. 38 Temperaturverlauf $\theta = f(y/r_w, Pr^+, Re)$ bei turbulenter Rohrströmung für $q_w = \text{konst.}$ .....	223
Abb. 39 Temperaturverlauf $\theta = f(y/r_w, Pr^+, F_0)$ bei turbulenter Rohrströmung für $Re = 3 \cdot 10^4$ .....	224
Abb. 40 Temperaturverlauf $\theta = f(\varphi, Pr^+)$ bei turbulenter Rohrströmung für $q_w = \text{konst.}$ und $Re = 3 \cdot 10^4$ .....	225
Abb. 41 Temperaturverlauf $(\epsilon_h/\epsilon_m)(\vartheta_w - \vartheta)/\vartheta^+ = f(u/u^+, Pr^+)$ bei turbulenter Rohrströmung für $q_w = \text{konst.}$ und $Re = 3 \cdot 10^4$ ....	226
Abb. 42 Temperaturverlauf $(\epsilon_h/\epsilon_m)(\vartheta_w - \vartheta)/\vartheta^+ = f(\eta Pr^+, Pr^+)$ bei turbulenter Rohrströmung für $q_w = \text{konst.}$ und $Re = 3 \cdot 10^4$ ....	227
Abb. 43 Temperaturverlauf $(\epsilon_h/\epsilon_m)(\vartheta_w - \vartheta)/\vartheta^+ = f(\eta, Pr^+)$ bei turbulenter Rohrströmung für $q_w = \text{konst.}$ und $Re = 3 \cdot 10^4$ ....	228

	Seite
Abb. 44 Wandnormaler Wärmestromdichteverlauf $q/q_w = f_1(y/r_w, Pr^+)$ bzw. $(q/q_w)/(\tau/\tau_w) = f_2(y/r_w, Pr^+)$ bei turbulenter Rohrströmung für $\delta_w = \text{konst.}$ und $Re = 3 \cdot 10^4$ .....	229
Abb. 45 Wandnormaler Wärmestromdichteverlauf $q/q_w = f(y/r_w, F_0)$ bei turbulenter Rohrströmung für $Pr^+ = 0,01$ und $Re = 3 \cdot 10^4$ .....	230
Abb. 46 Mischungstemperatur $\theta_m = f(Pr^+, Re)$ bei der turbulenten Rohrströmung für $q_w = \text{konst.}$ .....	231
Abb. 47 Mischungstemperatur $\theta_m = f(Pr^+, F_0)$ bei der turbulenten Rohrströmung für $Re = 3 \cdot 10^4$ .....	232
Abb. 48 NuBelt-Zahl $Nu = f(Re)$ bei der turbulenten Strömung für $Pr = 0$ und $q_w = \text{konst.}$ .....	233
Abb. 49 NuBelt-Zahlen $Nu = f_1(Re, Pr^+)$ , $Nu - Nu_{\min} = Nu - Nu(Pr^+ = 0, Re = 4 \cdot 10^3) = f_2(Re, Pr^+)$ und $Nu - Nu(Pr = 0) = f_3(Re, Pr^+)$ bei der turbulenten Rohrströmung für $q_w = \text{konst.}$ .....	234
Abb. 50 NuBelt-Zahlen $Nu = f_1(Pr^+, Re)$ und $Nu - Nu_{\min} = f_2(Pr^+, Re)$ bei der turbulenten Rohrströmung für $q_w = \text{konst.}$ .....	235
Abb. 51 Koeffizienten $b = f_1(Pr^+)$ , $c = f_2(Pr^+)$ und $d = f_3(Pr^+, Re)$ der Beziehung $Nu = 5,9 + bRe^c Pr^{+d}$ bei der turbulenten Rohrströmung für $q_w = \text{konst.}$ .....	236
Abb. 52 NuBelt-Zahlen $Nu = f(RePr^+)$ bei turbulenter Strömung in Rohren (T) und zwischen parallelen Platten (PS, PAS) für $Pr^+ = 0,01$ , $Pr^+ = 0,03$ und $q_w = \text{konst.}$ im Vergleich mit Näherungsgleichungen der Form $Nu = a + b(RePr^+)^c$ .....	237
Abb. 53 Herleitung der Näherungsgleichung zur expliziten Darstellung der Funktion $f(Pr^+)$ für die Wiedergabe der numerischen Ergebnisse in der Form $Nu = RePr^+(\zeta/8)/(1 + f(Pr^+)\sqrt{\zeta/8})$ , angewandt auf die turbulente Strömung in Rohren (T) und zwischen parallelen Platten (PS und PAS) .....	238

- Abb. 54 Verhältnis der NuBelt-Zahlen  $Nu/Nu_q = f(F_0, Pr^+, Re)$  bei der turbulenten Rohrströmung für  $Pr^+ = 0,01$  und  $Pr^+ = 1,0$ ..... 239
- Abb. 55 Vergleich der in der vorliegenden Arbeit (G) für die turbulente Rohrströmung ( $q_w = \text{konst.} - Pr = Pr^+ = 0,01$ ) berechneten NuBelt-Zahlen  $Nu = f(Pe)$  mit theoretischen und an Flüssigmetallen experimentell gewonnenen Ergebnissen anderer Autoren..... 240
- Abb. 56 Vergleich der für die turbulente Rohrströmung ( $q_w = \text{konst.} - Pr = Pr^+ = 0,01$ ) berechneten (G) und an Flüssigmetallen experimentell ermittelten NuBelt-Zahlen  $Nu = f(Pe)$ ..... 241
- Abb. 57 Vergleich der in der vorliegenden Arbeit (G) für die turbulente Rohrströmung berechneten NuBelt-Zahlen  $Nu = f(Re, Pr)$  mit theoretisch und experimentell gewonnenen Ergebnissen anderer Autoren ( $q_w = \text{konst.} - Pr = Pr^+ = 1 - 10 - 100$ )..... 242
- Abb. 58 Vergleich der für die turbulente Rohrströmung ( $q_w = \text{konst.} - Pr = Pr^+ = 4$ ) berechneten (G) und an Wasser von W.Hufschmidt et al. experimentell gemessenen NuBelt-Zahlen in der Darstellung  $Nu Pr^{-0,36} (Pr/Pr_w)^{-0,11} = f(Re)$ ..... 243
- Abb. 59 Thermische Einlaufänge  $x_e/d = f(Re, Pr^+)$  bei der turbulenten Rohrströmung für  $q_w = \text{konst.}$ ..... 244
- Abb. 60 Temperaturverlauf  $\theta = f(2y/h, Re, Pr^+)$  bei der turbulenten Strömung zwischen parallelen Platten, symmetrischer Wärmeaustausch, für  $q_w = \text{konst.}$ ..... 245
- Abb. 61 Temperaturverlauf  $\theta = f(2y/h, Re, Pr^+)$  bei der turbulenten Strömung zwischen parallelen Platten, symmetrischer Wärmeaustausch, für  $q_w = \text{konst.}$  und  $Re = 6,50 \cdot 10^4$ ..... 246
- Abb. 62 NuBelt-Zahlen  $Nu = f_1(Re, Pr^+)$  und  $Nu - Nu_{\min} = Nu - Nu(Pr^+ = 0, Re_T = 4 \cdot 10^3) = f_2(Re, Pr^+)$  bei der turbulenten Strömung zwischen parallelen Platten, symmetrischer Wärmeaustausch, für  $q_w = \text{konst.}$ ..... 247



- Abb. 63 NuBelt-Zahlen  $Nu=f(\text{Pr}^+, \text{Re})$  und  $Nu-Nu_{\min}=f_2(\text{Pr}^+, \text{Re})$  bei der turbulenten Strömung zwischen parallelen Platten, symmetrischer Wärmeaustausch, für  $q_w=\text{konst.}$ ... 248
- Abb. 64 Koeffizienten  $b=f_1(\text{Pr}^+)$ ,  $c=f_2(\text{Pr}^+)$  und  $d=f_3(\text{Pr}^+, \text{Re})$  der Beziehung  $Nu=10+b\text{Re}^c\text{Pr}^{+d}$  bei der turbulenten Strömung zwischen parallelen Platten, symmetrischer Wärmeaustausch, für  $q_w=\text{konst.}$ ..... 249
- Abb. 65 Vergleich der für die turbulente Strömung zwischen parallelen Platten, symmetrischer Wärmeaustausch, für  $q_w=\text{konst.}$  und  $\text{Pr}=\text{Pr}^+=0,72$  berechneten (G) und von J.L.Novotny et al./58/ an Luft experimentell ermittelten NuBelt-Zahlen  $Nu=f(\text{Re})$ . (b/h gibt das Seitenverhältnis des Rechteckquerschnitts an, h ist unbeheizt.)..... 250
- Abb. 66 Thermische Einlauflänge  $x_e/d_h=f(\text{Re}, \text{Pr}^+)$  bei der turbulenten Strömung zwischen parallelen Platten, symmetrischer Wärmeaustausch, für  $q_w=\text{konst.}$ ..... 251
- Abb. 67 Temperaturverlauf  $\theta=f(y/h, \text{Re}, \text{Pr}^+)$  bei der turbulenten Strömung zwischen parallelen Platten, asymmetrischer Wärmeaustausch, für  $q_w=\text{konst.}$ ..... 252
- Abb. 68 Temperaturverlauf  $\theta=f(y/h, \text{Pr}^+, F_o)$  bei der turbulenten Strömung zwischen parallelen Platten, asymmetrischer Wärmeaustausch, für  $q_w=\text{konst.}$  und  $\text{Re}=6,50 \cdot 10^4$ ..... 253
- Abb. 69 NuBelt-Zahlen  $Nu=f_1(\text{Re}, \text{Pr}^+)$  und  $Nu-Nu_{\min}=Nu-Nu(\text{Pr}^+=0, \text{Re}_T=4 \cdot 10^3)=f_2(\text{Re}, \text{Pr}^+)$  bei der turbulenten Strömung zwischen parallelen Platten, asymmetrischer Wärmeaustausch, für  $q_w=\text{konst.}$ ..... 254
- Abb. 70 NuBelt-Zahlen  $Nu=f_1(\text{Pr}^+, \text{Re})$  und  $Nu-Nu_{\min}=f(\text{Pr}^+, \text{Re})$  bei der turbulenten Strömung zwischen parallelen Platten, asymmetrischer Wärmeaustausch, für  $q_w=\text{konst.}$ .. 255
- Abb. 71 Koeffizienten  $b=f_1(\text{Pr}^+)$ ,  $c=f_2(\text{Pr}^+)$  und  $d=f_3(\text{Pr}^+, \text{Re})$  der Beziehung  $Nu=5,7+b\text{Re}^c\text{Pr}^{+d}$  bei der turbulenten Strömung zwischen parallelen Platten, asymmetrischer Wärmeaustausch, für  $q_w=\text{konst.}$ ..... 256

	Seite
Abb. 72 Vergleich der in der vorliegenden Arbeit (G) für die turbulente Strömung zwischen parallelen Platten, asymmetrischer Wärmeaustausch, für $q_w = \text{konst.}$ und $Pr^+ = Pr = 0,01$ berechneten Nußelt-Zahlen $Nu = f(Pe)$ mit theoretischen und an Flüssigmetallen experimentell ermittelten Ergebnissen anderer Autoren.....	257
Abb. 73 Thermische Einlauflänge $x_e/d_h = f(Re, Pr^+)$ bei der turbulenten Strömung zwischen parallelen Platten, asymmetrischer Wärmeaustausch, für $q_w = \text{konst.}$ .....	258
Abb. 74 Geschwindigkeitsverlauf $\varphi = f((r-r_1)/(r_2-r_1), Re)$ bei der turbulenten Strömung im Ringspalt für $r_1/r_2 = 0,20..$	259
Abb. 75 Geschwindigkeitsverteilung $\varphi = f((r-r_1)/(r_2-r_1), r_1/r_2)$ bei der turbulenten Strömung im Ringspalt für $Re_T = 3 \cdot 10^4$ .....	260
Abb. 76 Vergleich der für die turbulente Strömung im Ringspalt mit Hilfe der Gleichungen (186a,b,c) bzw. (192) berechneten und an Luft von J.A.Brighton et al./25/ experimentell ermittelten Geschwindigkeitsverteilungen $\varphi = f((r-r_1)/(r_2-r_1), Re, r_1/r_2)$ .....	261
Abb. 77 Vergleich der für die turbulente Strömung im Ringspalt mit Hilfe der Gleichungen (186a,b,c) bzw. (192) berechneten und an Luft von J.A.Brighton et al./25/ experimentell ermittelten Geschwindigkeitsverteilungen $u/u^+ = f(, Re, r_1/r_2)$ .....	262
Abb. 78 Mittlere Geschwindigkeiten $\varphi_{m1}$ , $\varphi_{m2}$ und $\varphi_{m12}$ bei der turbulenten Strömung im Ringspalt in Abhängigkeit vom Radienverhältnis $r_1/r_2$ und von der Reynolds-Zahl.....	263
Abb. 79 Verhältnis der Widerstandsbeiwerte $\zeta_{12}/\zeta_T^+ = f(Re, r_1/r_2)$ bei der turbulenten Strömung im Ringspalt.....	264
Abb. 80 Fiktiver Widerstandsbeiwert $\zeta_{F1}/\zeta_T^+ = f(Re, r_1/r_2)$ zur angenäherten Wiedergabe der Nußelt-Zahlen in der Form $Nu = Re Pr^+ (\zeta_{F1}/8) / [1 + 10 (Pr^+ - 0,58) (Pr^+)^{-0,22} \sqrt{\zeta_{F1}/8}]$ .....	265

	Seite
Abb. 81 Temperaturverlauf $\theta=f((r-r_1)/(r_2-r_1), Pr^+, Re)$ bei der turbulenten Strömung im Ringspalt für $q_{w1}=\text{konst.}$ und $r_1/r_2=0,40$ .....	266
Abb. 82 Temperaturverlauf $\theta=f((r-r_1)/(r_2-r_1), Pr^+, F_0)$ bei der turbulenten Strömung im Ringspalt für $q_{w1}=\text{konst.}$ , $r_1/r_2=0,40$ und $Re=5,77 \cdot 10^4$ .....	267
Abb. 83 Verhältnis der Nußelt-Zahlen $Nu/Nu_{PAS}=f(Re, Pr^+, r_1/r_2)$ bei der turbulenten Strömung im Ringspalt für $q_{w1}=\text{konst.}$ .....	268
Abb. 84 Verhältnis der Nußelt-Zahlen $Nu/Nu_{PAS}=f(Re, Pr^+, r_1/r_2)$ bei der turbulenten Strömung im Ringspalt für $q_{w1}=\text{konst.}$ .....	269
Abb. 85 Verhältnis der Nußelt-Zahlen $Nu/Nu_{PAS}=f(Pr^+, Re, r_1/r_2)$ bei der turbulenten Strömung im Ringspalt für $q_{w1}=\text{konst.}$ .....	270
Abb. 86 Verhältnis der Nußelt-Zahlen $Nu/Nu_{PAS}=f(Re, Pr^+, r_1/r_2)$ bei der turbulenten Strömung im Ringspalt für $q_{w2}=\text{konst.}$ .....	271
Abb. 87 Verhältnis der Nußelt-Zahlen $Nu/Nu_{PAS}=f(Pr^+, Re, r_1/r_2)$ bei der turbulenten Strömung im Ringspalt für $q_{w2}=\text{konst.}$ .....	272
Abb. 88 Verhältnis der Nußelt-Zahlen $Nu/Nu_{PAS}=f(r_1/r_2, Re, Pr^+)$ bei der turbulenten Strömung im Ringspalt für $q_{w1}=\text{konst.}$ bzw. $q_{w2}=\text{konst.}$ .....	273
Abb. 89 Verhältnis der Nußelt-Zahlen $Nu/Nu_{PAS}=f(r_1/r_2, Re, Pr^+)$ bei der turbulenten Strömung im Ringspalt für $q_{w1}=\text{konst.}$ bzw. $q_{w2}=\text{konst.}$ .....	274
Abb. 90 Verhältnis der Nußelt-Zahlen $Nu/Nu_{PAS}=f(r_2/r_1, Re, Pr^+)$ bei der turbulenten Strömung im Ringspalt für $q_{w1}=\text{konst.}$ .....	275

- Abb. 91 Koeffizienten  $a$ ,  $b$  und  $c$  zur angenäherten Wiedergabe der Nußelt-Zahlen in der Form  $Nu = a + b(RePr^+)^c$  ( $Pr^+ < 0,05$ ) in Abhängigkeit vom Radienverhältnis  $r_1/r_2$  beim Ringspalt bzw. vom Rohrmittenabstand  $p/d$  beim Rohrbündel (Dreieckanordnung) bei turbulenter Strömung für  $q_{w1} = \text{konst.}$  bzw.  $q_{w2} = \text{konst.}$ ..... 276
- Abb. 92 Vergleich der für die turbulente Strömung im Ringspalt ( $q_{w1} = \text{konst.}$  -  $Pr^+ = Pr = 0,01$ ) berechneten ( $G$ ) und an Flüssigmetallen experimentell ermittelten Nußelt-Zahlen  $Nu = f(Pe)$ ..... 277
- Abb. 93 Verhältnis der Widerstandsziffern  $\zeta_B/\zeta_T^+ = f(Re, p/d)$  bei der turbulenten Strömung längs Rohrbündeln (Dreieckanordnung)..... 278
- Abb. 94 Temperaturverteilung  $\theta = f((r-r_1)/(r_c-r_1), Pr^+, Re)$  bei der turbulenten Strömung längs Rohrbündeln (Dreieckanordnung) für  $q_w = \text{konst.}$  und  $p/d = 1,60$ ..... 279
- Abb. 95 Temperaturverlauf  $\theta = f((r-r_1)/(r_c-r_1), Pr^+, F_0)$  bei der turbulenten Strömung längs Rohrbündeln (Dreieckanordnung) für  $q_w = \text{konst.}$ ,  $p/d = 1,60$  und  $Re = 7,02 \cdot 10^4$ ..... 280
- Abb. 96 Verhältnis der Nußelt-Zahlen  $Nu/Nu_{pS} = f(Re, Pr^+, p/d)$  bei der turbulenten Strömung längs Rohrbündeln (Dreieckanordnung) für  $q_w = \text{konst.}$ ..... 281
- Abb. 97 Verhältnis der Nußelt-Zahlen  $Nu/Nu_{pS} = f(Re, Pr^+, p/d)$  bei der turbulenten Strömung längs Rohrbündeln (Dreieckanordnung) für  $q_w = \text{konst.}$ ..... 282
- Abb. 98 Verhältnis der Nußelt-Zahlen  $Nu/Nu_{pS} = f(Pr^+, Re, p/d)$  bei der turbulenten Strömung längs Rohrbündeln (Dreieckanordnung) für  $q_w = \text{konst.}$ ..... 283
- Abb. 99 Verhältnis der Nußelt-Zahlen  $Nu/Nu_{pS} = f(p/d, Pr^+, Re)$  bei der turbulenten Strömung längs Rohrbündeln (Dreieckanordnung) für  $q_w = \text{konst.}$ ..... 284

<p>Abb. 100 Verhältnis der Nußelt-Zahlen <math>Nu/Nu_q = f(F_o, Pr^+, Re)</math> bei der turbulenten Strömung längs Rohrbündeln (Dreieckanordnung) für <math>Pr^+ = 0,01</math> und <math>Pr^+ = 3,0</math> (<math>p/d = 1,60</math>).....</p>	<p>285</p>
<p>Abb. 101 Vergleich der in der vorliegenden Arbeit (G) für die turbulente Strömung längs Rohrbündeln (Dreieckanordnung - <math>q_w = konst.</math> - <math>Pr^+ = Pr = 0,01</math>) berechneten Nußelt-Zahlen <math>Nu = f(Pe)</math> mit theoretischen und an Flüssigmetallen experimentell gewonnenen Ergebnissen anderer Autoren.....</p>	<p>286</p>
<p>Abb. 102 Vergleich der für die turbulente Strömung längs Rohrbündeln (Dreieckanordnung - <math>q_w = konst.</math>) in der vorliegenden Arbeit (G - <math>Pr = Pr^+ = 3 - 14 - 100 - 1000</math>) berechneten und a) von M.Rieger an Wasser und an einem Wasser-Glykol-Gemisch gemessenen und b) nach der Formel von J.Weisman berechneten Nußelt-Zahlen <math>Nu = f(Re, Pr, p/d)</math>.....</p>	<p>287</p>

BEZEICHNUNGEN

a	Temperaturleitfähigkeit, $\lambda/(\rho c_p)$
a, b, c, d	Konstanten
c	Spezifische Wärme bei konstantem Druck
$d^p$	Durchmesser
d	Hydraulischer Durchmesser, $4S/U$
$f(\eta)$	Blasius-Funktion, Glg.(149)
$f_1$	Proportionalitätsfaktor, Glg.(171c)
F	Oberfläche
F	Parameter der Wärmestromdichteverteilung
$F_0$	Hilfsgrösse zur Berechnung von $F_0$
$\dot{G}^m$	Massenstrom
h	Wandabstand bei parallelen Platten
k	Wärmedurchgangszahl
l	Länge der wärmetauschenden Wand stromab des hydrodynamischen und thermischen Einlaufs
m	Exponent der Wärmeflussverteilung
$m_1, m_2$	Konstanten, Glg.(87)
$M_i$	Verhältnis der Wasserwerte ( $\dot{G}_c$ ), bei Wärmeaustauschern
$n_i$	Exponent der Geschwindigkeitsverteilung, Glg.(73a)
$n_i$	Konstanten
$Nu_i$	Nußelt-Zahl, bezogen auf die Temperaturdifferenz $(\vartheta_w - \vartheta_m)$ , $\alpha_d h / \lambda$
$Nu_o$	$dt_0$ , bezogen auf die Temperaturdifferenz $(\vartheta_w - \vartheta_o)$ , $\alpha_o d_h / \lambda$ , bzw. $\alpha_d t / \lambda$ bei der ebenen Platte
$Nu_q$	Nußelt-Zahl bei konstantem Wärmefluss
p	Abstand der Rohrmitten beim Rohrbündel
Pe	Péclet-Zahl, $RePr = u d_h / a$
Pr	Prandtl-Zahl, $\mu c_p / \lambda$
$Pr^+$	Verallgemeinerte Prandtl-Zahl, $Pr \epsilon_h / \epsilon_m$
q	Wärmestromdichte
$(q_i)_j$	Wandnormale Wärmestromdichte beim Ringspalt im Abschnitt j ( $r_i \geq r \geq r_o$ ) bei Wärmeübergang am Zylinder i
$q_{wi}$	Wärmestromdichte an der Wand i
Q	Wärmefluss
r	Radius, bei ebenen Begrenzungswänden Abstand von der Stelle $\partial\vartheta/\partial y = 0$
$r_c$	r an der Stelle $du/dy = 0$
$r_w^c$	r an der wärmetauschenden Wand, negativ für die Fälle $r_c >  r_w $
Re	Reynolds-Zahl, $u d_h / \nu$
$Re_T$	Äquivalente Rohr-Reynolds-Zahl bei nichtkreisförmigem Strömungsquerschnitt
$Re_x$	Reynolds-Zahl bei der Plattenströmung, bezogen auf die Lauflänge x, $u_\infty x / \nu$
s	Wandstärke
S	Strömungsquerschnitt
St	Stanton-Zahl, $\alpha/(\rho u c_p) = Nu/(RePr)$
u	Strömungsgeschwindigkeit in x-Richtung
$u_c$	Maximale Strömungsgeschwindigkeit
$u_m$	Mittlere Strömungsgeschwindigkeit
uz	Zusatzgeschwindigkeit gegenüber der logarithmischen Geschwindigkeitsverteilung
$u^+$	Schubspannungsgeschwindigkeit, $\sqrt{\tau_w/\rho}$
U	Umfang (benetzt)

$U^+$	Verhältnis aus dem Umfang $U$ der benetzten Wand und $U_w$ der wärmeaustauschenden Wand, $U/U_w$ (s. Abb.1)
$v$	Strömungsgeschwindigkeit in $y$ -Richtung
$W$	Reibungswiderstand
$x$	Koordinate in Strömungsrichtung
$x_b$	Bezugslänge, Glg. (118)
$x_e, x_f$	Thermische Einlaufänge, Abb.4c
$y$	Wandabstand
$y^+$	Dimensionslose wandnormale Koordinate, $r/ r_w $
$z^+$	Dimensionsloser "Mitten"-Abstand von der Stelle $du/dy=0$

## Griechische Symbole

$\alpha$	Wärmeübergangszahl, $q_w/(\vartheta_w - \vartheta_m)$
$\alpha_0$	dto., bezogen auf die maximale Temperaturdifferenz, $q_w/(\vartheta_w - \vartheta_0)$
$\delta$	Dicke der Strömungsgrenzschicht
$\delta_t$	Dicke der Temperaturgrenzschicht
$\Delta p$	Druckverlust
$\epsilon_h$	Austauschgröße für Wärme, Glg. (6b)
$\epsilon_m$	dto. für Impuls, Glg. (5b)
$z$	Reibungskoeffizient, Glg. (174)
$\eta$	-Dimensionsloser Wandabstand bei turbulenter Strömung, $u+y/\nu$
	-Dimensionsloser Wandabstand bei der laminaren Plattenströmung, $\sqrt{u_m/(x\nu)} y$
$\eta_b$	$\eta$ an der Stelle $q_t = q_m$
$\eta_c$	$\eta$ an der Stelle $r = r_c$
$\eta_m, \eta_n$	Konstanten, Glg. (1,62,192)
$\eta_s$	$\eta$ am Schnittpunkt des $\epsilon_m$ -Wand- und Mittengesetzes
$\eta_y, \eta_{\delta_t}$	$\eta$ an der Stelle $y = \delta$ bzw. $y = \delta_t$
$\vartheta$	Temperatur
$\vartheta^+$	Schubspannungstemperatur, $q_w/(\rho c_p u^+)$
$\vartheta_m$	Mischungstemperatur
$\vartheta_w$	Wandtemperatur
$\vartheta_0$	Temperatur an der Stelle $\partial\vartheta/\partial y = 0$
$\theta$	Dimensionslose Temperatur, $(\vartheta - \vartheta_w)/(\vartheta_0 - \vartheta_w)$
$\theta_m$	Dimensionslose Mischungstemperatur, $(\vartheta_m - \vartheta_w)/(\vartheta_0 - \vartheta_w)$
$\theta_{xw}$	Dimensionslose Wandtemperatur, $(\vartheta_w - \vartheta_{wa})/(\vartheta_{0a} - \vartheta_{wa})$
$\theta_x$	Dimensionslose Temperatur, $(\vartheta - \vartheta_{wa})/(\vartheta_{0a} - \vartheta_{wa})$
$\theta_{x0}$	Dimensionslose Temperatur an der Stelle $\partial\vartheta/\partial y = 0$ , $(\vartheta_0 - \vartheta_{wa})/(\vartheta_{0a} - \vartheta_{wa})$
$z$	Konstante, Glg. (62)
$\lambda$	Wärmeleitfähigkeit
$\mu$	Dynamische Viskosität
$\nu$	Kinematische Viskosität, $\mu/\rho$
$\rho$	Spezifische Masse
$\tau$	Schubspannung
$\tau_w$	Wandschubspannung
$\varphi$	Dimensionslose Geschwindigkeit in $x$ -Richtung
$\psi$	Kennzahl der Wasserwerte bei Wärmeaustauschern, Glg. (44)

## Indices

$a$	Stelle $x = x_a = 0$
$b$	Stelle $x = x_b \neq 0$
$A$	Ringspalt
$B$	Rohrbündel
$c$	Stelle $du/dy = 0$

e, i	Äußerer bzw. innerer Radius bei Rohren
m	-Mittelwert
	-Molekularer Anteil
t	Turbulenter Anteil
P	Ebene Platte
PP	Parallele Platten
PS	Parallele Platten, symmetrischer Wärmeaustausch
PAS	dto., asymmetrischer Wärmeaustausch
T	Rohr
w	Wand
o	Stelle $\partial\theta/\partial y=0$
1,2	-Strömungsquerschnitt 1 bzw. 2 bei Wärmeaustauschern
	-Wärmeaustausch an der Wand 1 ( $r=r_1$ ) bzw. 2 ( $r=r_2$ ) beim Ringspalt
	-Innerer ( $r_1 < r < r_c$ ) bzw. äußerer ( $r_c > r > r_2$ ) Ringspaltabschnitt
12	Gesamter Ringspaltquerschnitt
$\infty$	Ungestörte Geschwindigkeit bzw. Temperatur bei der ebenen Platte



# DER WÄRMEÜBERGANG IN GLATTEN ROHREN, ZWISCHEN PARALLELEN PLATTEN, LÄNGS DER EBENEN PLATTE, IN RINGSPALTEN UND LÄNGS ROHRBÜNDELN BEI EXPONENTIELLER WÄRMEFLUSSVERTEILUNG IN ERZWUNGENER LAMINARER ODER TURBULENTER STRÖMUNG\*)

## 1. EINLEITUNG

Die Untersuchungen in den bisher erschienenen Veröffentlichungen über den Einfluß der Wärme­flußverteilung auf den Wärme­austauschkoeffizienten gehen entweder von speziellen Erfordernissen, wie etwa der in Kernreaktoren vorhandenen näherungsweise sinusförmigen Flußverteilung oder von beliebig vorgegebenem Verlauf der Temperatur bzw. Wärmestromdichte aus /1,2,3,4/. In beiden Fällen muß dabei zur Berechnung des Wärme­austausches auf die Verfahren der schrittweisen Lösung und Superposition zurückgegriffen werden. Daneben gibt es jedoch zwei wichtige Gruppen von thermischen Randbedingungen, die eine geschlossene Lösung zulassen: die in Wärme­austauschern vorliegende exponentielle Wärmestromdichteverteilung sowie die einem Potenzgesetz gehorchende Wärme­flußverteilung der laminar angeströmten ebenen Platte. Auf den erstgenannten Fall haben bereits W.B.Hall und P.H.Price /1/ hingewiesen, für den Fall der laminaren Plattenströmung wurden von E.M.Sparrow und S.H.Lin /4/ exakte Lösungen angegeben.

Mit Hilfe einer Ähnlichkeitsbetrachtung wird in der vorliegenden Arbeit gezeigt, daß nur diese beiden Gruppen von Randbedingungen die Forderung einer vom Ort in Strömungsrichtung unabhängigen Wärmeübergangszahl erfüllen. Für die wichtigsten bei Parallelstrom vorkommenden Strömungsquerschnitte: Kreisrohr, Parallele Platten als Grenzfall des Rechteckkanals, Ringspalt und Rohrbündel werden der Wärme­austausch bei laminarer und turbulenter Strömung berechnet. Bei der ebenen Platte wird nur die laminare Strömungsform behandelt.

Für die Fälle turbulenter Kanalströmung wird das Analogieverfahren des Impuls- und Wärme­austausches angewandt, wobei das Verhältnis der Austauschgrößen für Wärme  $\epsilon_h$  und Impuls  $\epsilon_m$  als über den Querschnitt konstant, jedoch nicht notwendigerweise gleich eingesetzt wird. Diese Vereinfachung, zusammen mit der insbesondere bei nichtkreisförmigen Querschnitten noch mit Unsicherheit behafteten Kenntnis über die Impulsaustauschgröße  $\epsilon_m$ , beeinträchtigt die Genauigkeit der Absolutwerte der zu berechnenden Größen, dagegen wird ihr Einfluß beim Vergleich verschiedener Strömungsquerschnitte und Wärme­flußverteilungen -das eigentliche Ziel der vorliegenden Arbeit- auf ein befriedigendes Maß zurückgehen.

Für den Verlauf der Impulsaustauschgröße und der Geschwindigkeit in Rohren und zwischen parallelen Platten werden die von H.Reichardt /6,7/ angegebenen Formeln übernommen, die auf Grund sorgfältiger experimenteller Untersuchungen und theoretischer Betrachtungen, besonders in großer Wandnähe, aufgestellt wurden. Diese Formeln werden für den Ringspalt und das Rohrbündel erweitert. Im Gegensatz zu Rotfus, Walker, Whan /8/ und R.V.Bailey /9/ wird dabei von einem Ansatz über die Impulsaustauschgröße ausgegangen. Dieses Verfahren gestattet, den Radius verschwindender Schubspannung in Abhängigkeit vom Radienverhältnis und von der Reynolds-Zahl zu berechnen, während z.B. in der erstgenannten Arbeit dieser Radius demjenigen bei laminarer Strömung gleichgesetzt wurde, was experimentellen Ergebnissen widerspricht /25/. Nach Kenntnis der Geschwindigkeitsverteilungen lassen sich die Widerstandskoeffizienten für den Ringspalt und für das Rohrbündel berechnen.

---

\*) Manuskript erhalten am 10. März 1969.

Beim Rohrbündel wird die bereits von Lyon /10/ eingeführte Vereinfachung angewandt, die das Hexagon verschwindender Schubspannung durch einen Kreis gleichen Flächeninhalts ersetzt. Dadurch erreicht man, daß die Strömung und der Wärmeübergang für das Rohrbündel aus den für die innere Hälfte eines (sog. zugeordneten) Ringspalts ermittelten Beziehungen berechnet werden können.

Für die laminare Plattengrenzschicht wird durch Integration der hydraulischen und thermischen Grenzschichtgleichung, sowie unabhängig davon durch Anwendung des Impuls- bzw. Energiesatzes, die Schubspannung und Wärmestromdichte in Abhängigkeit vom Wandabstand berechnet.

## 2. HERLEITUNG ALLGEMEINER GLEICHUNGEN<sup>++</sup>

### 2.1. VEREINFACHUNGEN UND ANNAHMEN

Die Berechnungen werden durchgeführt unter Vernachlässigung folgender eventuell auftretender Einflüsse:

- Dissipation
- Kompressibilität
- Strahlung
- Wärmeleitung in Strömungsrichtung
- Temperaturabhängigkeit physikalischer Stoffwerte
- Überlagerung freier Konvektion
- Abhängigkeit des Verhältnisses der Austauschgrößen  $\epsilon_h$  und  $\epsilon_m$  vom Wandabstand
- Exzentrizität beim Ringspalt und Rohrbündel
- Ungleichförmigkeit der Wärmestromdichteverteilung über den Umfang
- Hydraulischer und thermischer Einlauf

Für die Verteilung der Impulsaustauschgröße  $\epsilon_m$  werden folgende Annahmen getroffen:

- Das Wandgesetz in der Form /6/:

$$\epsilon_m/v = \alpha \eta_m \left[ \eta/\eta_m - \operatorname{tgh}(\eta/\eta_m) - (1/3) \operatorname{tgh}^3(\eta/\eta_m) \right] \quad (1)$$

mit  $\eta_m = 7,15$  und  $\alpha = 0,4$  gilt für alle betrachteten Strömungsquerschnitte im wandnahen Bereich

- Das Mittengesetz in der Form /7/:

$$\epsilon_m/(v\eta_c) = (\alpha/3) (0,5+z^{+2})(1-z^{+2}) \quad (2)$$

gilt bei Rohren, parallelen Platten und im Abschnitt  $r_1 \leq r \leq r_2$  bei Ringspalten bis zum Schnittpunkt mit dem Wandgesetz & Glg. (1), dagegen wird es im Abschnitt  $r > r_2$  bei Ringspalten und Rohrbündeln zur Anpassung an der Stelle  $r=r_1$  mit einem Faktor multipliziert (s. Abb. 12 und Abschnitt 3.4.2<sup>c</sup>).

<sup>++</sup> Die in diesem Abschnitt hergeleiteten Gleichungen gelten, von wenigen Ausnahmen abgesehen, nicht für halbunendliche Strömungen. Der Fall der längs angeströmten ebenen Platte wird in Abschnitt 3.4 behandelt.

## 2.2. FORMELN FÜR DEN WÄRMEÜBERGANG

Die in diesem Abschnitt hergeleiteten Beziehungen haben die von H.Reichardt für das Rohr und für die parallelen Platten bei der thermischen Randbedingung  $\vartheta_w = \text{konst.}$  gegebene Darstellung /6/ zur Grundlage.

### 2.2.1. DIE TEMPERATURVERTEILUNG

Trennt man bei der Übertragung von Impuls und Wärme die durch Molekularbewegung einerseits und durch turbulente Austausch andererseits betroffenen Anteile, so erhält man:

$$\tau = \tau_m + \tau_t = \tau_m (1 + \tau_t / \tau_m) \quad (3)$$

$$q = q_m + q_t = q_m (1 + q_t / q_m) \quad (4)$$

Dabei ist:

$$\tau_m = \mu \frac{du}{dy} \quad (5a)$$

$$\tau_t = \rho \epsilon_m \frac{du}{dy} \quad (5b)$$

$$\tau_w = \mu \left( \frac{du}{dy} \right)_w \quad (5c)$$

$$q_m = -\lambda \frac{\partial \vartheta}{\partial y} \quad (6a)$$

$$q_t = -\lambda_t \frac{\partial \vartheta}{\partial y} = -\rho c_p \epsilon_h \frac{\partial \vartheta}{\partial y} \quad (6b)$$

$$q_w = -\lambda \left( \frac{\partial \vartheta}{\partial y} \right)_w \quad (6c)$$

Aus den Gleichungen (6a) und (6b) ergibt sich:

$$\frac{q_t}{q_m} = \frac{\rho c_p \epsilon_h}{\lambda} = \frac{\mu c_p}{\lambda} \cdot \frac{\rho}{\mu} \cdot \frac{\epsilon_h}{\epsilon_m} = Pr \frac{\epsilon_h}{\epsilon_m} \frac{\epsilon_m}{\nu} \quad (7)$$

Mit der von H.Reichardt eingeführten "verallgemeinerten" Prandtl-Zahl:

$$Pr^+ = Pr \frac{\epsilon_h}{\epsilon_m} \quad (8)$$

geht Glg. (4) nach Einsetzen von Glg. (7) über in:

$$\frac{q_m}{q} = \frac{1}{1 + Pr^+ (\epsilon_m / \nu)} \quad (9)$$

Das Verhältnis  $\epsilon_h/\epsilon_m$  der in den Gleichungen (6b) und (5b) definierten Austauschgrößen für Wärme  $\epsilon_h$  und Impuls  $\epsilon_m$  ist eine Funktion der Größe  $\epsilon_m/\nu$  und der Prandtl-Zahl (/11/, Abb. 13), bzw., wenn man den in  $\epsilon_m/\nu$  implizit enthaltenen Wandabstand und die Reynolds-Zahl herauslöst, eine Funktion des Wandabstandes, der Reynolds- und der Prandtl-Zahl. Damit hängt aber auch die verallgemeinerte Prandtl-Zahl  $Pr^+$  von diesen Größen ab, sie ist also im Gegensatz zu  $Pr$  kein reiner Stoffwert mehr. Wie im vorausgegangenen Abschnitt angegeben, wird die Abhängigkeit der Größe  $\epsilon_h/\epsilon_m$  vom Wandabstand vernachlässigt.

Die Austauschgröße für den Impuls ergibt sich aus den Gleichungen (3), (5a) und (5b) zu:

$$\frac{\epsilon_m}{\nu} = \frac{\tau_t}{\tau_m} = \frac{\tau}{\mu(du/dy)} - 1 \quad (10)$$

Für das Temperaturfeld erhält man aus den Gleichungen (6a), (6c) und (9):

$$\frac{\partial \vartheta}{\partial y} = \left( \frac{\partial \vartheta}{\partial y} \right)_w \frac{q/q_w}{1 + Pr^+(\epsilon_m/\nu)} \quad (11)$$

Es erweist sich nun als zweckmäßig, die folgenden dimensionslosen Koordinaten einzuführen:

$$\theta = \frac{\vartheta - \vartheta_w}{\vartheta_0 - \vartheta_w} \quad (12)$$

$$y^+ = \frac{r}{|r_w|} \quad (13)$$

Hierbei bedeuten  $r$  den Radius bei kreiszylindrischen bzw. den Abstand von der Stelle  $\partial \vartheta / \partial y = 0$  bei ebenen Begrenzungswänden und  $|r_w|$  den Betrag von  $r$  an der wärmetauschenden Wand (Abb. 1). Die vorzeichenbehaftete Größe  $r_w$  nimmt für die einzelnen Strömungsquerschnitte folgende Werte an:

$d/2$	-Rohr
$h/2$	-Parallele Platten, symmetrischer Wärmeübergang
$h$	-Parallele Platten, asymmetrischer Wärmeübergang
$\delta_t$	-Ebene Platte
$-r_1$	-Ringspalt, Wärmeübergang am inneren Zylinder
$r_2$	-Ringspalt, Wärmeübergang am äußeren Zylinder
$-r_1$	-Rohrbündel

Die Integration der Gleichung (11), beginnend an der wärmetauschenden Wand ( $y^+ = y_w^+ = 1$ ;  $\theta = 0$ ) ergibt:

$$\theta = \left( \frac{\partial \theta}{\partial y^+} \right)_w \int_1^{y^+} \frac{q/q_w}{1 + Pr^+(\epsilon_m/\nu)} dy^+ \quad (14)$$

Den Proportionalitätsfaktor  $(\partial \theta / \partial y^+)_w$  erhält man aus der Bedingung  $\theta(y^+ = y_w^+) = 1$ :

$$\left( \frac{\partial \theta}{\partial y^+} \right)_w = \frac{1}{\int_1^{y^+} \frac{q/q_w}{1 + Pr^+(\epsilon_m/\nu)} dy^+} \quad (15)$$

und nach einer Zwischenrechnung folgt für den Temperaturverlauf:

$$\theta = 1 - \frac{\int_{y_0}^y \frac{q/q_w}{1 + \text{Pr}^+(\epsilon_m/\nu)} dy^+}{\int_{x_0}^1 \frac{q/q_w}{1 + \text{Pr}^+(\epsilon_m/\nu)} dy^+} \quad (16)$$

### 2.2.2. DIE WÄRMEÜBERGANGSKENNZAHL Nu

Die Nußelt-Zahl

$$\text{Nu} = \frac{\alpha d_h}{\lambda} \quad (17)$$

läßt sich aus den Gleichungen (6c), (12), (13), (15) und

$$\alpha = \frac{q_w}{\vartheta_w - \vartheta_m} \quad (18)$$

unter Beachtung von

$$y = r_w \mp r$$

(Minus-Zeichen in den Fällen a, c, e, f, g, Plus-Zeichen in den Fällen b und d der Abb. 1.) berechnen zu:

$$\text{Nu} = -\frac{d_h/r_w}{\theta_m} \left( \frac{\partial \theta}{\partial y^+} \right)_w = \frac{d_h/r_w}{\theta_m \int_{x_0}^1 \frac{q/q_w}{1 + \text{Pr}^+(\epsilon_m/\nu)} dy^+} \quad (19)$$

Bei laminarer Strömung entfällt in den vorausgegangenen Gleichungen der Ausdruck  $\text{Pr}^+(\epsilon_m/\nu)$ .

### 2.2.3. MISCHUNGSTEMPERATUR UND MITTLERE GESCHWINDIGKEIT

#### 2.2.3.1. KREISZYLINDRISCHE WÄNDE

Die Definitionsgleichung der Mischungstemperatur

$$\theta_m = \frac{\vartheta_m - \vartheta_w}{\vartheta_0 - \vartheta_w} \quad (20)$$

lautet (Abb. 1):

$$\pi(1-y_0^{+2})\rho_m \theta_m = \int_{y_0^+}^1 2\pi y^+ \rho \theta dy^+$$

Daraus erhält man:

$$\theta_m = \frac{2}{\rho_m(1-y_0^{+2})} \int_{y_0^+}^1 \rho \theta y^+ dy^+ \quad (21a)$$

Ersetzt man in dieser Gleichung  $\theta$  und  $\theta_m$  durch eins, so ergibt sich die mittlere Geschwindigkeit  $\rho_m$ :

$$\rho_m = \frac{2}{(1-y_0^{+2})} \int_{y_0^+}^1 \rho y^+ dy^+ \quad (22a)$$

#### 2.2.3.2. EBENE WÄNDE

Analog zu vorstehender Herleitung gilt hier:

$$(1-y_0^+) \rho_m \theta_m = \int_{y_0^+}^1 \rho \theta dy^+$$

In den hier in Frage kommenden Fällen der parallelen Platten (Abb. 1e und 1f) ist  $y_0^+ = 0$  und somit wird:

$$\theta_m = \frac{1}{\rho_m} \int_0^1 \rho \theta dy^+ \quad (21b)$$

sowie

$$\rho_m = \int_0^1 \rho dy^+ \quad (22b)$$

Bei der ebenen Platte ist es günstiger, die Nußelt-Zahl auf die maximale Temperaturdifferenz  $(\vartheta_w - \vartheta_\infty)$  als auf  $(\vartheta_w - \vartheta)$  zu beziehen. Dies entspricht einer Mittelwerthbildung im Bereich  $0 < y < \infty$  und nicht, wie oben definiert, in den Grenzen  $0 < y < \delta_t$ . Unter dieser Voraussetzung wird  $\theta_m = \theta_0 = \rho_m = \rho_c = 1$ .

#### 2.2.4. DIE WANDNORMALE WÄRMEFLUSSDICHTEVERTEILUNG

Aus einer Betrachtung über die Wärmebilanz folgt, daß der durch eine wandparallele Schicht der Länge  $dx$  hindurchtretende thermische Fluß gleich der Enthalpieänderung des Massenstromes zwischen dieser Schicht und der Stelle  $d\vartheta/dy=0$  ist.

### 2.2.4.1. KREISZYLINDRISCHE WÄNDE

Die Bestimmungsgleichung für  $q$  lautet:

$$2\pi y^+ q dx = \rho c_p \int_{y^+}^{y_0^+} 2\pi y^+ u \frac{\partial \theta}{\partial x} dx dy^+$$

Für die Wärmeflußdichte  $q_w$  an der Wand ist  $y^+$  durch  $y_w^+ = 1$  zu ersetzen, was nach Einführung von  $\varphi = u/u_c$  folgende Gleichung für die dimensionsbefreite wandnormale Wärmestromdichteverteilung liefert:

$$\frac{q}{q_w} = \frac{\int_{y_0^+}^{y^+} \varphi \frac{\partial \theta}{\partial x} y^+ dy^+}{\int_{y_0^+}^1 \varphi \frac{\partial \theta}{\partial x} y^+ dy^+} \quad (23a)$$

### 2.2.4.2. EBENE WÄNDE

Hier gilt für die Schichtbreite  $l$ :

$$q dx = \rho c_p \int_{y^+}^{y_0^+} u \frac{\partial \theta}{\partial x} dx dy^+$$

und das Wärmestromdichteverhältnis wird unter Beachtung von  $y_0^+ = 0$ :

$$\frac{q}{q_w} = \frac{\int_0^{y^+} \varphi \frac{\partial \theta}{\partial x} dy^+}{\int_0^1 \varphi \frac{\partial \theta}{\partial x} dy^+} \quad (23b)$$

Der axiale Temperaturgradient  $\partial \theta / \partial x$  wird im folgenden Abschnitt berechnet, die endgültigen Gleichungen zur Berechnung von  $q/q_w$  sind daran anschließend aufgeführt (Glg. 53a bzw. 53b).

### 2.2.5. DER PARAMETER DER WÄRMEFLUSSVERTEILUNG

Aus Gleichung (19) ist zu ersehen, daß die Kennzahl der Wärmeübertragung  $Nu$  für einen speziellen Fall der Konfiguration,  $Re$ - und  $Pr^+$ -Zahl (bei laminarer Strömung entfällt der Einfluß von  $Pr$  und  $Re$ ) nur dann in Strömungsrichtung konstant ist, wenn die dimensionslose Temperaturverteilung  $\theta(y^+)$   $x$ -unabhängig ist, oder mit anderen Worten, wenn die Temperaturprofile  $\theta$  in Strömungsrich-

tung ähnlich sind. In der folgenden Betrachtung wird gezeigt, unter welchen Voraussetzungen diese Bedingung erfüllt ist. Zur Veranschaulichung werden dabei die Vorgänge längs eines Wärmeaustauschers herangezogen.

In den Abbildungen 2a-2f sind die Temperaturen  $\vartheta_w$  an der Wand sowie  $\vartheta_{o1}$  und  $\vartheta_{o2}$  der beiden wärmeaustauschenden Medien für verschiedene Verhältnisse der Wasserwerte und der Strömungsrichtung über der Lauflänge  $x/l$  aufgetragen. Die zugehörigen Kurven  $(\theta_x)_1 = f(x/l, y^+)$  zeigen für den Strömungsquerschnitt 1 des Wärmeaustauschers eine ortsabhängige, dimensionslose Temperaturverteilung, die wie folgt definiert ist:

$$\theta_x\left(\frac{x}{l}, y^+\right) = \frac{\vartheta - \vartheta_{wa}}{\vartheta_{oa} - \vartheta_{wa}} \quad (24)$$

Bei Kongruenz der Temperaturprofile  $\theta(y^+) = (\vartheta - \vartheta_w) / (\vartheta_o - \vartheta_w)$  gilt unter Beachtung des dann vorliegenden Zusammenhangs  $\theta(y^+) = \theta_x(x/l=0, y^+)$ :

$$\theta_x\left(\frac{x}{l}, y^+\right) = c\theta + \theta_{xw} \quad (25)$$

mit

$$c\left(\frac{x}{l}\right) = q_w / q_{wa} \quad (26a)$$

und

$$\theta_{xw}\left(\frac{x}{l}\right) = \theta_x\left(\frac{x}{l}, 1\right) = \frac{\vartheta_w - \vartheta_{wa}}{\vartheta_{oa} - \vartheta_{wa}} \quad (27)$$

Führt man weiterhin

$$\theta_{x0}\left(\frac{x}{l}\right) = \theta_x\left(\frac{x}{l}, y_o^+\right) = \frac{\vartheta_o - \vartheta_{wa}}{\vartheta_{oa} - \vartheta_{wa}} \quad (28)$$

ein, so erhält man aus den Gleichungen (25) und (26a) für  $y^+ = y_o^+$ :

$$c\left(\frac{x}{l}\right) = \theta_{x0} - \theta_{xw} \quad (26b)$$

und damit wird:

$$\theta_x\left(\frac{x}{l}, y^+\right) = (\theta_{x0} - \theta_{xw})\theta + \theta_{xw} \quad (29)$$

Zur Berechnung der wandnormalen Wärmestromdichteverteilung  $q/q_w$  ist nach Glg. (23a) und (23b) die Kenntnis des Temperaturgradienten in Strömungsrichtung  $\partial\vartheta/\partial x$  notwendig. In der dimensionslosen Form läßt sich diese Größe aus Glg. (29) berechnen:



$$\frac{\partial \theta_x}{\partial \left(\frac{x}{l}\right)} = \frac{d\theta_{xw}}{d\left(\frac{x}{l}\right)} (1-\theta) + \frac{d\theta_{xo}}{d\left(\frac{x}{l}\right)} \theta$$

$$\frac{\partial \theta_x}{\partial \left(\frac{x}{l}\right)} = \frac{d\theta_{xo}}{d\left(\frac{x}{l}\right)} \left[ (1-\theta) \frac{d\theta_{xw}}{d\theta_{xo}} + \theta \right] \quad (30)$$

Aus Glg. (19) folgt, daß die Nußelt-Zahl  $Nu$  nur dann unabhängig von  $x$  ist, wenn auch  $q/q_w$   $x$ -unabhängig ist. Da bei der Berechnung des Quotienten  $q/q_w$  nach Einsetzen von Glg. (30) in Glg. (23a) bzw. (23b) der Faktor  $d\theta_{xo}/d(x/l)$  herausfällt, ist die vorgenannte Bedingung erfüllt für:

$$\frac{d\theta_{xw}}{d\theta_{xo}} = \frac{d\vartheta_w}{d\vartheta_o} = \text{konst.} \quad (31)$$

Für den Differentialquotienten  $d\vartheta_w/d\vartheta_o$  und den mit ihm zusammenhängenden Ausdruck  $d\vartheta_w/d\vartheta_m$  werden folgende Abkürzungen eingeführt:

$$F_o = \frac{d\vartheta_w}{d\vartheta_o} = \text{konst.} \quad (32a)$$

$$F_m = \frac{d\vartheta_w}{d\vartheta_m} = \text{konst.} \quad (32b)$$

Die Größen  $F_o$  und  $F_m$  sind über die mittlere Temperatur  $\theta_m$  miteinander verbunden:

Unter Beachtung der Gleichungen (32a) und (32b) folgt aus Glg.(20):

$$\theta_m = \frac{F_o/F_m - F_o}{1 - F_o} \quad (33)$$

und durch Umformung:

$$F_o = \frac{1}{1 + (1/F_m - 1)/\theta_m} \quad (34)$$

$$F_m = \frac{1}{1 + (1/F_o - 1)\theta_m} \quad (35)$$

Dieser Zusammenhang ist in Abbildung 3 dargestellt. Dabei sind die um die Schnittpunkte der beiden orthogonalen Asymptotenscharen  $F_m = 1/(1-\theta_m)$  und  $F_o = -\theta_m/(1-\theta_m)$  rotationssymmetrisch verlaufenden Kurvenabschnitte weggelassen, da für sie  $F_o/F_m = d\vartheta_w/d\vartheta_o < 0$  ist, was

einem Bereich von untergeordnetem technischen Interesse entspricht, wie die nun folgenden Erläuterungen zeigen. Mit zunehmender Annäherung an die Asymptote  $F_0 = -\theta_m / (1 - \theta_m)$  strebt infolge von  $F_m \rightarrow -\infty$  die Mischungstemperatur  $\vartheta_m(x)$  einem konstanten Wert zu. Dies bedeutet aber, daß der Wärmeübergang und damit auch der Temperaturgradient  $d\theta/dy^+$  an der Wand gegen null gehen. Mit noch höheren negativen Werten des Parameters  $F_0$ , d.h. für  $F_0 < -\theta_m / (1 - \theta_m)$ , ist eine Umkehr des Temperaturgradienten an der Wand verbunden (s. Abb. 4a):  $d\theta/dy^+ < 0$ . Das Temperaturprofil  $\theta$  nimmt mit zunehmendem Wandabstand zunächst negative Werte an, durchläuft an der Stelle, die hier mit  $y^+ = y_m^+$  bezeichnet werden soll, ein Minimum, um anschließend S-förmig bis zum Wert  $\theta_0 = 1$  anzusteigen. Die Realisation der so beschriebenen Temperaturverteilungen mit zwei horizontalen Tangenten ist jedoch an die Erfüllung gewisser Vorbedingungen geknüpft. Wie leicht einzusehen ist, können derartige Temperaturprofile nicht unmittelbar aus einer Anströmung mit über den Strömungsquerschnitt ausgeglichener Temperatur  $\vartheta(x, y) = \vartheta_{ma} = \text{konst.}$ , wie dies im allgemeinen stromauf des Beginns der Wärmeübertragung vorliegt, entstehen: Ein solcher Vorgang würde ja bedeuten, daß im Bereich  $y_0^+ \dots y_m^+$  ein Teil der Flüssigkeit sich auf Kosten einer entsprechenden Abkühlung des restlichen Teils erwärmen würde, was dem zweiten Hauptsatz der Thermodynamik widerspricht.

Die Temperaturverteilungen für  $F_0 \leq -\theta_m / (1 - \theta_m)$  sind jedoch nicht grundsätzlich auszuschließen, wie die Beispiele mit Richtungsumkehr der Wärmeübertragung beweisen: Übergang von Heizung zu Kühlung und umgekehrt<sup>++</sup>. In diesen Fällen werden sich nach einer Übergangsstrecke (vergleichbar mit dem thermischen Einlauf) wiederum ähnliche Temperaturprofile der geschilderten Form einstellen, falls die Wärmeflußverteilung einen konstanten Wert der Größe  $F_0 = d\vartheta_w/d\vartheta_0 < -\theta_m / (1 - \theta_m)$  ergibt oder einem solchen zustrebt.

Die Mischungstemperatur  $\vartheta_{mg}$  des Temperaturprofils  $\vartheta_g(x_g, y)$  am Ende der Übergangsstrecke ( $x = x_g$ ) ändert sich in dem Gebiet  $y_0^+ \dots y_m^+$ ,  $x > x_g$  nicht mehr, während die Temperaturdifferenz  $|\vartheta_w - \vartheta_0|$  stetig abnimmt. Mit anderen Worten: Das Temperaturfeld am Ort der Richtungsumkehr muß in Bezug auf den anschließenden Wärmeaustausch genügend hohe Temperaturdifferenzen aufweisen, da es sich im Gebiet  $y_0^+ \dots y_m^+$ , über dessen Grenzen hinweg definitionsgemäß kein Wärmeaustausch stattfindet (der Temperaturverlauf hat bei  $y_0^+$  und  $y_m^+$  horizontale Tangenten), nur um einen Temperaturengleich handeln kann:  $\vartheta(x, y) \rightarrow \vartheta_{mg}$ . Ist diese Bedingung nicht erfüllt, so ergibt sich nach der Übergangsstrecke der Fall mit  $F_0 > -\theta_m / (1 - \theta_m)$ . Das technische Interesse der Wärmeflußverteilungen mit  $F_0 < -\theta_m / (1 - \theta_m)$  ist gering, wengleich die Realisation sowohl bei aufprägtem Fluß als auch bei Wärmeaustauschern möglich ist. Eine Ausnahme hiervon bildet die Grenzbedingung  $F_0 = -\theta_m / (1 - \theta_m)$ . Das dafür berechenbare Temperaturfeld stellt die sich asymptotisch ergebende Lösung für den häufig auftretenden Fall dar, daß nach Beendigung eines beliebig gestalteten Wärmeaustauschs die anschließenden Wände wärmeisoliert sind. Als Beweis für die Richtigkeit dieser Aussage genügt es dabei zu zeigen, daß die Temperatur an der Stelle  $y_n^+$  ( $\partial\vartheta/\partial x = 0$ ) identisch mit der Mischungstemperatur ist (wegen  $\vartheta(x, y) \rightarrow \vartheta_{mg}$ ). Dieser Nachweis ist einfach zu erbringen: Aus Glg. (30) folgt unter Beachtung der Gleichungen (31) und (32a)  $\theta(y^+ = y_n^+) = F_0 / (F_0 - 1)$  und nach Einsetzen von  $F_0 = -\theta_m / (1 - \theta_m)$  ergibt sich  $\theta(y_n^+) = \theta_m$ . Zur Berechnung des Abklingens der Temperaturverteilungen in Strömungsrichtung reicht die Kenntnis der Größe  $F_0 = d\vartheta_w/d\vartheta_0$  allein nicht aus. Das Temperaturfeld  $\theta_x(x/l, y^+)$  kann jedoch mit Hilfe des Temperaturgradienten  $d\theta/dy^+$  für  $y^+ = y_n^+$  bestimmt

<sup>++</sup> Dieser Fall liegt z.B. auch vor bei Vorzeichenwechsel der Temperaturdifferenz  $\vartheta_w - \vartheta_0$  bei der längsangeströmten ebenen Platte, wobei der Ort mit verschwindendem Wärmeaustausch  $(\partial\vartheta/\partial y)_w = 0$  stromauf der Stelle mit  $\vartheta_w = \vartheta_0$  liegt, wie H. Schlichting /26/ am Beispiel des linearen Verlaufs der Wandtemperatur bei laminarer Strömung zeigt.

werden. Die Durchführung dieser Berechnungen geht jedoch über den Rahmen der vorliegenden Untersuchungen hinaus und ist daher einer späteren Arbeit vorbehalten.

In Fortsetzung der hier interessierenden Wärmeaustauschbedingungen wird nachstehend die Berechnung des Parameters  $F_m$  hergeleitet. Aus Glg. (18) folgt:

$$\frac{d\vartheta_w}{d\left(\frac{x}{l}\right)} = \frac{d\vartheta_m}{d\left(\frac{x}{l}\right)} + \frac{d(q_w/\alpha)}{d\left(\frac{x}{l}\right)}$$

Der Wärmeübertragungskoeffizient  $\alpha$  ist nach der gemachten Voraussetzung konstant, folglich gilt:

$$\frac{d\vartheta_w}{d\vartheta_m} = 1 + \frac{dq_w/d\left(\frac{x}{l}\right)}{\alpha d\vartheta_m/d\left(\frac{x}{l}\right)}$$

Durch Einführung der Stanton-Zahl

$$St = \frac{\alpha}{\rho u_m c_p} = \frac{\alpha U^+}{4q_w} \frac{d\vartheta_m}{d\left(\frac{x}{d_h}\right)} \quad (36)$$

erhält man

$$F_m = 1 + \frac{U^+}{4 St} \frac{dq_w/d\left(\frac{x}{d_h}\right)}{q_w} \quad (37)$$

Da gemäß Glg. (35) auch die Größe  $F_m$  konstant ist, folgt aus Glg. (37) das wichtige Ergebnis, daß von der Lauflänge  $x$  unabhängige Nußelt-Zahlen nur bei denjenigen Wärmestromdichteverteilungen zu erwarten sind, für die

$$\frac{dq_w/d\left(\frac{x}{d_h}\right)}{q_w} = \text{konst.} = m \quad (38)$$

ist. Die Integration von Glg. (38) ergibt:

$$\int_{q_{wm}}^{q_w} \frac{dq_w}{q_w} = m \int_0^{x/d_h} d\left(\frac{x}{d_h}\right)$$

$$\frac{q_w}{q_{wa}} = e^{m(x/d_h)} \quad (39)$$

Bei der Herleitung der vorstehenden Beziehungen wurde keine Voraussetzung über die Strömungsform gemacht, sie gelten also sowohl für laminare als auch für turbulente Strömung. Im Gegensatz hierzu gibt

es für den Fall des Wärmeübergangs an einer ebenen Platte ortsunabhängige Nu-Zahlen nur bei laminarer Strömung, wie in Abschnitt 3.4.3 gezeigt wird.

Setzt man Glg.(38) in Glg. (37) ein, so erhält man die Größe  $F_m$  für den Fall, daß der Wärmefluß aufgeprägt ist:

$$F_m = 1 + \frac{m U^+}{4 St} \quad (40)$$

Die Integration dieser Gleichung ergibt unter Beachtung der Gleichungen (18), (32b), (33), (36) und (39) den zugehörigen Temperaturverlauf der Wand:

$$\frac{\vartheta_w - \vartheta_{wa}}{\vartheta_{ma} - \vartheta_{wa}} = \left(1 + \frac{4 St}{m U^+}\right) (1 - e^{mx/dh}) \quad (41a)$$

oder in der Form

$$\theta_{xw} = \frac{1 - e^{mx/dh}}{1 - 1/F_0} = \left(1 + \frac{4 St}{m U^+}\right) (1 - e^{mx/dh}) \theta_m \quad (41b)$$

Bei Wärmeaustauschern liegt die nach Glg. (39) geforderte exponentielle Wärmeflußverteilung stets vor: führt man in bekannter Weise die Kennzahl  $\psi$  für die Wasserwerte  $\dot{G}_c$  und die Wärmedurchgangszahl  $k$  ein, so läßt sich daraus die Differenz der Mischungstemperaturen der beiden wärmeaustauschenden Medien in Abhängigkeit von der Lauflänge  $x$  angeben:

$$\frac{\vartheta_{m2} - \vartheta_{m1}}{\vartheta_{m2a} - \vartheta_{m1a}} = e^{-\psi k F} \quad (42)$$

Die Größe  $F$  bedeutet die Oberfläche der Trennwand bis zur Stelle  $x$  auf derjenigen Seite, auf die auch  $q_w$  und  $k$  bezogen sind. Die Größen  $k$  und  $\psi$  sind wie folgt definiert:

$$k = \frac{q_{w1}}{\vartheta_{m2} - \vartheta_{m1}} \quad (43)$$

$$\psi = \frac{1}{\dot{G}_1 c_{p1}} \pm \frac{1}{\dot{G}_2 c_{p2}} = \frac{1}{\dot{G}_1 c_{p1}} (1 + M_1) \quad (44)$$

In der Abkürzung

$$M_1 = \pm \frac{\dot{G}_1 c_{p1}}{\dot{G}_2 c_{p2}} \quad (45)$$

gilt das Plus-Zeichen bei Gleich-, das Minus-Zeichen bei Gegenstrom.

Bei kreiszylindrischer Trennwand (Rohrbündel- und Ringspaltwärmeaustauscher) berechnet man  $k$  aus Glg. (46a), bei ebener Trennwand (Plattenwärmeaustauscher) aus Glg. (46b):

$$1/k = 1/\alpha_e + \frac{r_e}{\lambda_w} \ln\left(\frac{r_e}{r_i}\right) + \frac{r_e}{r_i} \frac{1}{\alpha_i} \quad (46a)$$

$$1/k = 1/\alpha_2 + s/\lambda_w + 1/\alpha_1 \quad (46b)$$

In Glg. (43) wird der Wärmeübergang in Kanal 1 betrachtet, in Glg. (46a) ist  $k$  auf die Oberfläche  $F$  mit dem Radius  $r_e$  bezogen. In den entsprechenden Alternativfällen sind lediglich die Indices 1 und 2 bzw. e und i zu vertauschen, was auch für die weiteren Betrachtungen gilt.

Wie man sich mit Hilfe der Glg. (43) überzeugt, ist der Ausdruck auf der linken Seite der Glg. (42) identisch mit der Wärme-flußverteilung  $q/q_w$  längs der Wand. Daher gilt:

$$\frac{q_w}{q_{wa}} = e^{-\gamma k F} \quad (47)$$

Durch Vergleich mit Glg. (39) folgt unter Beachtung von  $F=U_w x$  und  $d_h = 4S/(U^+ U_w)$ :

$$m = - \frac{4\gamma k S}{U^+} \quad (48)$$

Setzt man die Gleichungen (48) und (44) in Glg. (40) ein, so ergibt sich die Größe  $F_{m1}$  für den Kanal 1

$$F_{m1} = 1 - k \left( \frac{S}{St \ G \ c_p} \right)_1 (1 + M_1)$$

Der Quotient  $(S/StGc_p)_1$  ist identisch mit  $1/\alpha_1$ , was zu folgender Gleichung für die Berechnung der Hilfsgröße  $F_{m1}$  bei Wärmeaustauschern führt:

$$F_{m1} = 1 - \frac{k}{\alpha_1} (1 + M_1) \quad (49)$$

Die in dieser Gleichung sowie in Glg. (34) enthaltenen Größen  $k, \alpha$  und  $\theta_m$  hängen von dem gesuchten Wert  $F_0$  ab, dieser muß daher durch Iteration bestimmt werden.

Eine zweite, anschauliche Herleitung der Gleichung (49) ist im Anhang A.2.2.5.1 wiedergegeben.

Spezielle Wärmeflußdichteverteilungen:

a) Konstanter Wärmefluß

Hier gilt:

$$F_o = 1$$

$$F_m = 1$$

$$m = 0$$

Der Fall  $q_w = \text{konst.}$  ist im Gegenstromwärmeaustauscher unter der Bedingung  $\dot{G}_1 c_{p1} = \dot{G}_2 c_{p2}$  realisiert, wie aus Glg. (49) oder Abb. 2d hervorgeht.

b) Konstante Wandtemperatur

Mit  $d\vartheta_w = 0$  wird

$$F_o = 0$$

$$F_m = 0$$

Die Randbedingung  $\vartheta_w = \text{konst.}$  erhält man gemäß Glg. (40) bei aufgeprägtem Fluß mit dem Exponenten

$$m = -4 \text{ St}/U^+ \quad (50)$$

und für Wärmeaustauscher bei Gleichstrom (Abb. 2b) mit den Wasserwerten

$$\frac{\dot{G}_1 c_{p1}}{\dot{G}_2 c_{p2}} = \frac{\alpha_1}{k} - 1 \quad (51)$$

Für den Fall, daß der Quotient  $s/\lambda_w$  aus Wandstärke  $s$  und Wärmeleitfähigkeit  $\lambda_w$  der Wand genügend klein ist, wird  $\alpha_1 = 2k$  und damit  $\dot{G}_1 c_{p1} = \dot{G}_2 c_{p2}$ .

Der in Glg. (30) enthaltene axiale Temperaturgradient  $d\theta_{x0}/d(x/l)$ , dessen Kenntnis bei der Berechnung von  $q/q_w$  allerdings nicht notwendig ist, soll aus Gründen der Vollständigkeit hier noch aufgeführt werden. Er läßt sich aus den Gleichungen (25), (26a), (26b), (28), (35), (38) und (40) berechnen (s. Anh. A.2.2.5.2) zu:

$$\frac{d\theta_{x0}}{d(x/d_h)} = \frac{m e^{m(x/d_h)}}{1 - F_o} = \frac{4 \text{ St } \theta_m (\theta_{xw} - \theta_{x0})}{[F_o + (1 - F_o) \theta_m] U^+} \quad (52a)$$

Der lokale Temperaturgradient  $\partial\theta_x / \partial(x/d_h)$  ergibt sich durch Einsetzen der Gleichungen (31), (32a) und (52a) in Glg. (30) zu:

$$\frac{\partial\theta_x}{\partial(x/d_h)} = \frac{4 \text{ St } (\theta_{xw} - \theta_{x0})}{[\theta_m + (1 - \theta_m) F_o] U^+} [\theta + (1 - \theta) F_o] \quad (52b)$$

Die Gleichungen (23a) und (23b) für den wandnormalen Wärmestromdichteverlauf gehen damit in ihre endgültige Form über:

a) Kreiszyklindrische Wände

$$\frac{q}{q_w} = \frac{\int_{y^+}^y \varphi [F_0 + (1-F_0)\theta] y^+ dy^+}{y^+ \int_{y^+}^y \varphi [F_0 + (1-F_0)\theta] y^+ dy^+} \quad (53a)$$

b) Ebene Wände

$$\frac{q}{q_w} = \frac{\int_{y^+}^y \varphi [F_0 + (1-F_0)\theta] dy^+}{\int_{y^+}^y \varphi [F_0 + (1-F_0)\theta] dy^+} \quad (53b)$$

Aus diesen beiden Gleichungen ist die wichtige Tatsache zu ersehen, daß nicht allein der Verlauf der Wärmeflußdichte  $q_w$  längs der Wand (und damit direkt verbunden der Verlauf der Mischungstemperaturen  $\vartheta_m$ ) sondern zusätzlich die Art und Weise, in der sich die lokalen axialen Temperaturgradienten in der Flüssigkeit einstellen, den Wärmeübergangskoeffizienten mitbestimmen. Wenn im Folgenden die dieses Zusammenwirken eindeutig beschreibende Größe  $F_0 = d\vartheta_w/d\vartheta_0 = \text{konst.}$  trotzdem nur mit "Parameter des Wärmeflußverlaufs" bezeichnet wird, so hat dies in der Bevorzugung eines einfachen Ausdruckes seinen Grund.

In den speziellen Fällen  $\vartheta_w = \text{konst.}$  ( $F_0 = 0$ ) bzw.  $q_w = \text{konst.}$  ( $F_0 = 1$ ) vereinfachen sich die Ausdrücke in den eckigen Klammern zu  $\theta$  bzw. 1. Daraus geht hervor, daß der wandnormale Wärmestromdichteverlauf  $q/q_w$  bei konstantem Wärmefluß längs der Wand unabhängig vom Temperaturfeld  $\theta$  und damit auch bei turbulenter Strömung unabhängig von der Prandtl-Zahl ist. Die Berechnung des Temperaturverlaufs läßt sich dadurch ohne Iteration durchführen. Der Einfluß der Prandtl-Zahl auf das Temperaturfeld und damit auf die Nußelt-Zahl bleibt jedoch auch in diesem Fall erhalten, wie aus den Gleichungen (16) und (19) hervorgeht.

In den vorausgegangenen Berechnungen wurden die Bedingungen für x-unabhängige Nußelt-Zahlen mit Hilfe desjenigen Verfahrens hergeleitet, das im Hinblick auf eine numerische Anwendung zu vorteilhaften Gleichungen führt. Zu den gleichen Ergebnissen gelangt man jedoch auch unter Beschränkung auf die Energiegleichung, wie die folgenden Ausführungen zeigen. Der Übersichtlichkeit wegen soll hier nur die laminare Strömung betrachtet werden, die Schlußfolgerungen gelten jedoch auch bei turbulenter Strömung. Die Energiegleichung lautet in Zylinderkoordinaten:

$$\frac{u}{a} \frac{\partial \vartheta}{\partial x} = \frac{\partial^2 \vartheta}{\partial r^2} + \frac{1}{r} \frac{\partial \vartheta}{\partial r} \quad (54a)$$

Die Ähnlichkeit der Temperaturprofile wird wieder vorausgesetzt. Die Energiegleichung geht dadurch unter Beachtung der Gleichungen (13), (24) und (29) über in

$$\frac{u}{d_h a} \frac{\partial \theta_x}{\partial (x/d_h)} = \frac{1}{r_w^2} \frac{\partial^2 \theta_x}{\partial y^{+2}} + \frac{1}{r_w^2 y^+} \frac{\partial \theta_x}{\partial y^+}$$

und

$$\frac{u r_w}{a(d_h/r_w)(\theta_{x0} - \theta_{xw})} \frac{d\theta_{x0}}{d(x/d_h)} \left[ (1-\theta) \frac{d\theta_{xw}}{d\theta_{x0}} + \theta \right] = \frac{d^2 \theta}{dy^{+2}} + \frac{1}{y^+} \frac{d\theta}{dy^+} \quad (54b)$$

Da  $\theta$  vereinbarungsgemäß nur eine Funktion des Wandabstandes ist, folgt:

$$\frac{d\theta_{xw}}{d\theta_{x0}} = \text{konst.} = F_0$$

sowie

$$\frac{1}{\theta_{x0} - \theta_{xw}} \frac{d\theta_{x0}}{d(x/d_h)} = \text{konst.} = m_1$$

Die Integration dieser beiden Gleichungen ergibt:

$$\theta_{x0} = \frac{e^{m_1(1-F_0)x/d_h} - F_0}{1-F_0}$$

$$\theta_{xw} = \frac{F_0 e^{m_1(1-F_0)x/d_h} - F_0}{1-F_0}$$

Durch Umgruppierung der Konstanten:  $m_1 = m/(1-F_0)$  erhält man daraus die Beziehungen (39) und (41b).

Damit läßt sich nun die Differentialgleichung für die Temperatur  $\theta$  bei laminarer Strömung angeben. Durch Einsetzen der Glg.(52a) in Glg.(54b) und Umformung mit  $St = Nu/(RePr)$  folgt unter Beachtung von  $Nu = -(d_h/r_w)(d\theta/dy^+)_w/\theta_m$  (s.Glg.19):

$$\frac{d^2 \theta}{dy^{+2}} + \frac{1}{y^+} \frac{d\theta}{dy^+} - \frac{4}{(d_h/r_w)U^+} \left( \frac{d\theta}{dy^+} \right)_w \frac{\rho}{\rho_m} \frac{F_0 + (1-F_0)\theta}{F_0 + (1-F_0)\theta_m} = 0 \quad (54c)$$



Für ebene Wände entfällt das Glied  $(d\theta/dy^+)/y^+$ . Die Randbedingungen lauten:  $\theta(y^+=y_w^+)=0$  und  $\theta(y^+=y_0^+)=1$ , der Ausdruck  $(\rho/\rho_m)/(U^+d_H/r_w)$  ist beim Rohr durch  $4(1-y^+)^2$ , bei parallelen Platten und symmetrischem Wärmeaustausch durch  $1,5(1-y^+)^2$  und bei asymmetrischem Wärmeaustausch durch  $6y^+(1-y^+)$  zu ersetzen.

Für den Fall konstanter Wandtemperatur läßt sich die Gleichung (54c) noch vereinfachen. Die Substitution  $\theta_a = \theta \theta_m = (\vartheta - \vartheta_w) / (\vartheta_m - \vartheta_w)$  führt mit  $F_0=0$  zu

$$\frac{d^2\theta_a}{dy^{+2}} + \frac{1}{y^+} \frac{d\theta_a}{dy^+} - \frac{4}{(d_H/r_w)U^+} \frac{\rho}{\rho_m} \left( \frac{d\theta_a}{dy^+} \right)_w \theta_a = 0$$

wobei die Randbedingung an der Stelle des Temperaturmaximums nun  $\theta(y^+=y_0^+)=1/\theta_m$  lautet. Die Lösung  $\theta_a=f_1(y^+, \theta_m)$  liefert nach Ausführung des Mittelwertes  $\theta_{ma}=f_2(\theta_m)=1$  gemäß Glg. (21a) bzw. (21b) die Bestimmungsgleichung für  $\theta_m$  und damit die endgültige Lösung für das gesuchte Temperaturprofil  $\theta=f_4(y^+, \theta_m) \cdot \theta_m=f_3(y^+)$ .

Eine anschauliche Deutung des Parameters  $F_0$ , einschließlich dessen Einfluß auf den Wärmeübergang, kann auf folgende Weise gegeben werden: in Abb.2 sind die verschiedenen charakteristischen Werte bzw. Bereiche von  $F_0$  und deren Realisation in Wärmeaustauschern dargestellt. Den folgenden Betrachtungen sei die Strömung zwischen zwei parallelen Platten zugrundegelegt, um die in diesem Zusammenhang unwichtigen Einflüsse veränderlicher Schichtoberfläche, durch die die Wärme fließt, auszuschalten. Das Verhältnis aus Wärmefluß und Wärmeflußdichte ist also in jedem Wandabstand gleich groß (=der betrachteten Wandoberfläche). Die Reihenfolge in Abb.2 ist so gewählt, daß  $F_0$  für den Strömungsquerschnitt 1, beginnend von negativen Werten in Abb.2a, ansteigt. Die weiteren Überlegungen zeigen nun, daß auch die auf die Temperaturdifferenz  $(\vartheta_w - \vartheta_0)$  bezogene Nußelt-Zahl  $Nu_0$  in diesem Sinne zunimmt. Betrachtet man z.B. Abb.2a, so ist darin zu ersehen, daß es im Strömungsquerschnitt 1 wandnahe Schichten gibt, die der konvektiven Wärmeübertragung entgegenwirken: Für sie nimmt bis zum Wandabstand  $y_n$ , der durch  $\partial\vartheta/\partial x=0$  definiert ist, der Quotient  $q/(\partial\vartheta/\partial x)$  negative Werte an. Dies bedeutet aber, daß sich diese Schichten trotz Wärmeabgabe der Wand ( $q_w > 0$ ) in Strömungsrichtung abkühlen und die damit verbundene Enthalpieabnahme zu einem zusätzlichen Wärmetransport in das Gebiet  $y > y_n$  führt. Die wandnormale Wärmestromdichte  $q/q_w$ , für die an ebenen Wänden infolge  $\rho=0$  stets auch  $(d(q/q_w)/dy^+)_w=0$  gilt, nimmt dadurch zunächst Werte größer eins an, durchläuft mit zunehmendem Wandabstand  $y$  einen Wendepunkt und erreicht an der Stelle  $y_n$  (bzw.  $y_n^+$ ) ihren Maximalwert, von dem aus sie bei  $y_0$  definitionsgemäß auf null absinkt.

Mit ansteigenden Werten  $F_0$  verringert sich der Bereich mit  $q/(\partial\vartheta/\partial x) < 0$  und für positive Werte des Parameters  $F_0$  gilt im gesamten Strömungsquerschnitt  $q/(\partial\vartheta/\partial x) > 0$ . Die wandnahen Strömungsschichten beteiligen sich in zunehmendem Maße am konvektiven Abtransport der Wärme, wodurch der wandnormale Wärmefluß rascher abklingt und entsprechend auch der Einfluß des effektiven Wärmeleitvermögens  $\lambda_{eff} = \lambda + \lambda_t = q/(\partial\vartheta/\partial y)$ , dessen Inanspruchnahme ja der Überwindung eines Widerstandes entspricht, zurückgeht. Die Folge davon ist eine Ver-

besserung der Wärmeübertragung, ausgedrückt durch die Erhöhung der Nußelt-Zahl  $Nu_0$ . Formal drückt sich diese Tatsache darin aus, daß der Flächeninhalt unter der  $q/q_w$ -Kurve, der ja gemäß Glg.(19) ein Maß für die Nußelt-Zahl ist, abnimmt (bei laminarer Strömung besteht reziproke Proportionalität). Mit steigender Prandtl-Zahl geht der Einfluß von  $F_0$  auf  $Nu_0$  zurück, da der Wärmeübergang in zunehmendem Maß von den Vorgängen in unmittelbarer Wandnähe bestimmt wird.

Über die Grenzwerte der Nußelt-Zahl  $Nu_0$  für  $F_0 \rightarrow \pm\infty$  lassen sich qualitative Aussagen machen, ohne auf den detaillierten Rechnungsgang oder auf numerische Ergebnisse zurückgreifen zu müssen. Für  $F_0 = d\vartheta_w/d\vartheta_0 \rightarrow +\infty$  folgt aus den Gleichungen (34), (40), (45) und (49):  $m = 4St\theta_m/(1-\theta_m)$  bei aufgeprägtem Wärmefluß und  $(\dot{G}c_p)_1/(\dot{G}c_p)_2 = 1 + (\alpha/kU^+) \theta_m/(1-\theta_m)$  bei Wärmeaustauschern (Gegenstrom). Der letztgenannte Fall ist in Abb.4c dargestellt. Da sich  $F_m$  bei der Zunahme von  $F_0$  asymptotisch dem Grenzwert  $F_m = 1/(1-\theta_m)$  nähert, streben auch  $\theta_m$  und  $Nu_0$  asymptotisch Maximalwerten  $\theta_{m-max}$  und  $Nu_{0-max}$  zu. Die sich an  $F_0 = d\vartheta_w/d\vartheta_0 = \infty$ ,  $d\vartheta_0 = 0$  anschließenden Wertepaare  $F_m > 1/(1-\theta_{m-max})$ ,  $F_0 < 0$  sind in Verbindung mit in Strömungsrichtung ansteigenden Temperaturdifferenzen  $|\vartheta_w - \vartheta_0|$  physikalisch nicht sinnvoll: Ersetzt man in Abb.4c die Linie  $\vartheta_{01} = konst.$  durch eine solche mit  $d\vartheta_{01}/dx < 0$ , so würde dies bedeuten, daß sich die mit der Abkühlung der Flüssigkeitsmenge zwischen  $y_0$  und  $y_n$  ( $\partial\vartheta/\partial x = 0$ ) verbundene Wärmeabgabe in das Gebiet  $y_n \dots y_w$  längs ansteigender Temperaturen  $\vartheta(y, x = konst.)$  vollziehen ( $q / (\partial\vartheta/\partial y) > 0$ ). Dies widerspricht aber dem zweiten Hauptsatz der Thermodynamik. (Die hier geschilderten Zusammenhänge führen weiterhin zu Aussagen über die Länge des thermischen Einlaufs, wie im folgenden Abschnitt gezeigt wird.) Für negative Werte des Quotienten  $F_0/F_m$  bleiben allein die weiter oben beschriebenen Möglichkeiten übrig:  $Nu_0 \leq 0$  für  $F_0 \leq -\theta_m/(1-\theta_m)$ .

Für  $Nu_0 < 0$  verlaufen die einem beliebigen Fall I eines Wärmeaustauschvorgangs - I gekennzeichnet durch den Strömungsquerschnitt, durch die thermische Randbedingung (z.B. PS - PAS, A1 - A2) und bei turbulenter Strömung zusätzlich durch die Prandtl- und die Reynolds-Zahl - eindeutig zugeordneten Kurven  $F_0 = f_2(F_m, I)^{++}$  innerhalb des durch  $F_m > 0$ ,  $F_0 < 0$  definierten Quadranten. Dabei schneiden sie für abnehmende Werte  $F_0$  die Kurven  $F_0 = f_1(F_m, \theta_m = konst.)$  mit ebenfalls abnehmenden Werten  $\theta_m$  und nähern sich asymptotisch ( $F_0 \rightarrow -\infty$ ) dem Grenzwert  $F_m = 1/(1-\theta_m)$ . Im Gegensatz zu dem Fall  $F_0 \rightarrow +\infty$  ist hier der Grenzwert  $F_0 = d\vartheta_w/d\vartheta_0 \rightarrow -\infty$  nicht durch  $d\vartheta_0/dx = 0$ , d.h.  $\vartheta_0 = konst.$ , sondern durch  $d\vartheta_w/dx \rightarrow -\infty$  charakterisiert. Die bereits beschriebene Vorschrift, daß im Bereich  $y_0 \dots y_m$  die Temperaturdifferenzen sich nur abbauen können, schließt  $d\vartheta_0/dx = 0$  in Verbindung mit einem endlichen Wert der Nußelt-Zahl  $Nu_0$  aus. Mit  $F_m > 0$  folgt  $d\vartheta_m/dx \rightarrow -\infty$ , was demnach auch zu  $Nu_0 \rightarrow -\infty$  führt: Das Temperaturprofil hat also die Form  $\theta(y^+) = \theta_m = \theta_{m-min} < 0$ ,  $\theta(y_w^+) = 0$ ,  $\theta(y_0^+) = 1$ . Wegen  $\theta_{m-min} < 0$ , gekoppelt mit einem negativen Wert von  $F_0$ , gibt es stets einen speziellen Fall mit  $\theta_m = 0$ , dieser ist in Abb.4a schematisch skizziert: Die aus den beiden Mischungstemperaturen  $\vartheta_{m1}$  ( $0 < y < y_m$ ,  $d\vartheta_{m1}/dx < 0$ ) und  $\vartheta_{m2} = konst.$  ( $y_m < y < y_0$ ) gebildete Gesamtmischungstemperatur  $\vartheta_m = \vartheta_w$  ( $0 < y < y_0$ ) geht asymptotisch gegen  $\vartheta_{m2}$  (s. Pfeil in Abb.4a).

Der Verlauf der Nußelt-Zahl  $Nu$  weist gegenüber  $Nu_0$  einige grundsätzliche Unterschiede auf. Zwar strebt auch  $Nu$  mit  $F_0 \rightarrow +\infty$  einem

<sup>++</sup> Als Beispiel für die Funktion  $f_2$  ist in Abb.3 der Fall der laminaren Rohrströmung ( $I = T_{lam}$ ) mit  $Nu_0 > 0$  eingezeichnet (gestrichelte Linie). Jedem Fall I kommt die Rolle eines eindeutigen Parameters zu.

oberen Grenzwert  $Nu_{max} > Nu_{0-max}$  zu ( $\theta_m \rightarrow \theta_{m-max}$ ) und  $Nu$  ebenso wie  $Nu_0$  verschwinden für  $F_0 = -\theta_m / (1 - \theta_m)$ , dagegen weist  $Nu_0$  für  $\theta_m = 0$  einen endlichen negativen Wert auf, während  $Nu$  gegen  $-\infty$  geht. Im Bereich  $\theta_{m-min} < \theta_m < 0$  sinkt  $Nu > 0$ , beginnend von  $Nu \rightarrow +\infty$  für  $\theta_m = 0$ , zuerst ab, um nach Durchlaufen eines Minimums für  $\theta_m \rightarrow \theta_{m-min}$  ( $Nu_0 \rightarrow -\infty$ ) wieder gegen  $\infty$  anzusteigen.

Für den Fall  $Nu = Nu_0 = 0$  sind die axialen Temperaturverteilungen  $\vartheta_0$ ,  $\vartheta_m$  und  $\vartheta_w$  am Beispiel eines Wärmeaustauschers (Gleichstrom, Strömungsquerschnitt 1) in Abb. 4b schematisch dargestellt. Aus  $F_m \rightarrow -\infty$  ergibt sich mit Glg. (49)  $M_1 = (\dot{G}c_p)_1 / (\dot{G}c_p)_2 \rightarrow \infty$ , während bei aufgeprägtem Wärmefluß der Grenzwert  $m < 0$  aus  $m/St \rightarrow -\infty$  mit  $St = 0$  nach Glg. (41b) den Temperaturverlauf  $\theta_{xw} = [1 - \exp(mx/d_h)] / (1 - 1/F_0)$  der Wand bzw. mit  $\vartheta_m = \text{konst.}$   $\theta_{x0} = 1 + \theta_{xw}(1 - 1/\theta_m)$  an der Stelle  $y^+ = y_0^+$  liefert. Rascher zum Ziel dürfte allerdings das weiter oben beschriebene Verfahren führen, welches zur Bestimmung des Grenzwertes  $m$  den Temperaturgradienten  $d\theta/dy^+$  längs des Wandabstandes  $y^+ = y_n^+$  heranzieht.

### 2.3. DIE THERMISCHE EINLAUFLÄNGE

Werden die Temperaturverteilungen  $\vartheta_w$ ,  $\vartheta_m$  und  $\vartheta_0$  in den Bereich des thermischen Einlaufs  $x < x_f$  unter formaler Anwendung der bei beendetem thermischen Einlauf geltenden Gesetzmäßigkeiten extrapoliert, so ergeben sich z.B. für den in Abbildung 4d gezeichneten Fall wandferne Zonen mit Temperaturen, die niedriger als die über den Strömungsquerschnitt ausgeglichene Zuströmtemperatur  $\vartheta(x, y) = \vartheta_{ma} = \text{konst.}$  sind. Einen Aufbau des wandnormalen Temperaturprofils in dieser Art, gekennzeichnet durch einen negativen Wert des Quotienten  $(\vartheta_0 - \vartheta_{ma}) / (\vartheta_w - \vartheta_m)$ , schließt wiederum der zweite Hauptsatz der Thermodynamik aus: Wärmetransport aus wandfernen in wandnahe Zonen (getrennt durch die Stelle mit  $\vartheta(x, y) = \vartheta_{ma}$ ) unter der Bedingung  $q / (\partial\vartheta/\partial y) > 0$ . In Wirklichkeit erhält man für  $\vartheta_0$  im Gebiet  $x < x_f$  einen Verlauf, wie er durch die gestrichelte Linie schematisch skizziert ist. Der Übergang in die ausgezogene Kurve  $\vartheta_0$  erfolgt asymptotisch, der Abstand  $x_f$  sei dabei die in geeigneter Weise definierte thermische Einlauflänge (z.B. der Abstand, in welchem  $Nu/Nu_\infty = 1,01$  ist). Die Stelle  $x_e$  am Schnittpunkt der Temperaturkurven  $\vartheta_{ma}$  und  $\vartheta_0$  gibt also den Ort an, stromauf dessen der thermische Einlauf auf keinen Fall abgeschlossen sein kann. In den beiden Grenzfällen  $F_0 = -\theta_m / (1 - \theta_m)$  mit  $Nu = Nu_0 = 0$  und  $F_0 = +\infty$  mit  $Nu = Nu_{max}$  sind sowohl  $x_e$  als auch  $x_f$  unendlich groß, wie aus den Abbildungen 4b und 4c ersichtlich ist. Im technisch interessanten Bereich des Parameters  $F_0$  bleibt jedoch die stetige Abnahme von  $x_e$  bei steigenden Werten  $F_0$  vorherrschend.

Mit den in Abb. 4d eingetragenen Bezeichnungen ergeben sich für  $d\vartheta_w/d\vartheta_m = F_m$  folgende Beziehungen:

$$\int_{\Delta\vartheta_0}^{\Delta\vartheta_e/\theta_m} d\vartheta_w = F_m \int_0^{(1-\theta_m)\Delta\vartheta_0} d\vartheta_m$$

und

$$\frac{1}{\theta_m} - \frac{\Delta\vartheta_a}{\Delta\vartheta_e} = \left( \frac{1}{\theta_m} - 1 \right) F_m$$

Der Quotient  $\Delta\vartheta_e/\Delta\vartheta_a$  ist wieder identisch mit der Flußverteilung  $q_w/q_w = \exp(mx_e/d_h)$ , was zu der Gleichung

$$\frac{x_e}{d_h} = -\frac{1}{m} \ln \left[ 1/\theta_m - (1/\theta_m - 1)F_m \right] = \frac{1}{m} \ln \left[ F_o + (1-F_o)\theta_m \right] \quad (55)$$

führt. Durch Einsetzen der Gleichungen (40), (48) und (49) erhält man daraus die Beziehung

$$\frac{x_e}{d_h} = \frac{\ln \left[ 1/\theta_m - (1/\theta_m - 1)F_m \right]}{4(1-F_m)St} U^+ \quad (55a)$$

die bei aufgeprägtem Fluß in

$$\frac{x_e}{d_h} = -\frac{1}{m} \ln \left[ 1 - (1/\theta_m - 1)mU^+/(4St) \right] \quad (55b)$$

und für Wärmeaustauscher in

$$\frac{x_e}{d_h} = \frac{\ln \left[ 1 + \left( \frac{1}{\theta_m} - 1 \right) (1+M_1)k/\alpha_1 \right]}{4(1+M_1)(k/\alpha_1)St} U^+ \quad (55c)$$

übergeht. Für die speziellen Fälle konstanter Wärmestromdichte  $q_w$  bzw. konstanter Wandtemperatur  $\vartheta_w$  vereinfacht sich Glg. (55a) zu

$$\frac{x_e}{d_h} = \frac{1/\theta_m - 1}{4St} U^+ \quad \text{für } q_w = \text{konst.} \quad (55d)$$

$$\frac{x_e}{d_h} = \frac{\ln(1/\theta_m)}{4St} U^+ \quad \text{für } \vartheta_w = \text{konst.} \quad (55e)$$

Der Vorteil der hier beschriebenen Herleitung gegenüber dem exakten Verfahren zur Berechnung der thermischen Einlauflänge liegt darin, daß die Vorgänge innerhalb des thermischen Einlaufs nicht verfolgt zu werden brauchen. Die in verwickelter Weise vorliegende Abhängigkeit der Einlauflänge vom Strömungsquerschnitt, vom Parameter der Wärmeflußverteilung bei laminarer sowie zusätzlich von der Prandtl- und Reynolds-Zahl bei turbulenter Strömung ist in der Mischungstemperatur  $\theta_m$  und der Stanton-Zahl zusammengedrängt. Die in Abb. 4c dargestellten Verhältnisse bleiben auch im allgemeinen Fall  $x$ -abhängiger Quotienten  $d\vartheta_w/d\vartheta_o$  gültig, was die Leistungsfähigkeit

dieses Verfahrens noch weiter unterstreicht. Die Folgerung, daß der thermische Einlauf stromauf der Stelle  $x_e$  nicht abgeschlossen sein kann, gilt streng; über den Grad der Abweichung des Temperaturprofils bzw. der Nußelt-Zahl an der Stelle  $x_e$  von den asymptotisch erreichbaren Endwerten läßt sich jedoch keine Aussage machen. Letzteres ist wiederum abhängig von den oben erwähnten Einflußgrößen (Strömungsquerschnitt,  $F_0$ ,  $Pr$ ,  $Re$ ) und kann nur durch Vergleich mit Ergebnissen von den Einlauf genau beschreibenden Berechnungen bzw. von Versuchen ermittelt werden.

Unter Vorwegnahme der numerischen Auswertung der Gleichung (55a) in den folgenden Abschnitten soll hier als Anwendungsbeispiel die dimensionslose Größe  $x_e/d$  für die thermischen Randbedingungen  $q_w$ -konst. und  $\vartheta_w$ -konst. bei laminarer Rohrströmung berechnet werden, da hierfür der thermische Einlauf mit großer Genauigkeit bekannt ist /13/.

a)  $\vartheta_w$ -konst.

Nach Grigull u. Tratz /14/ gilt hier:

$$\theta_m = 0,5539$$

$$Nu = 3,6547$$

Dies führt unter Beachtung von  $St=Nu/Pe$  mit Glg. (55e) zu

$$\frac{x_e}{d_h} = 0,0404 Pe \quad (56a)$$

Die Form dieses Ergebnisses bringt die Tatsache richtig zum Ausdruck, daß bei laminarer Strömung ortsabhängige Größen beim Wärmeaustausch allein eine Funktion der dimensionslosen Rohrlänge  $x/(d_h \cdot Pe)$  sind.

An der Stelle  $x_e/(d_h Pe)=0,0404$  ist /13,14/

$$\frac{Nu(x=x_e)}{Nu} = 1,030$$

Die Nußelt-Zahl ist also noch um 3% höher als nach beendetem thermischen Einlauf.

b)  $q_w$ -konst.

Mit den bekannten Werten

$$\theta_m = 11/18$$

$$Nu_q = 48/11$$

folgt aus Glg.(55a):

$$\frac{x_e}{d_h} = 0,0365 \text{ Pe} \quad (56b)$$

und die zugehörige NuBelt-Zahl wird hier /14/:

$$\frac{\text{Nu}_q(x=x_e)}{\text{Nu}_q} = 1,073$$

#### 2.4. ALLGEMEINE EIGENSCHAFTEN DER WÄRMESTROMDICHTEVERTEILUNG $q/q_w$ UND DER TEMPERATURVERTEILUNG $\theta$

Die Wärmestromdichte  $q/q_w$  und die Temperatur  $\theta$  nehmen an der Stelle  $y_0^+$  definitionsgemäß die Werte  $(q/q_w)_0=0$  bzw.  $\theta_0=1$  und an der Wand ( $y_w^+=1$ ) die Werte  $(q/q_w)_w=1$  bzw.  $\theta_w=0$  an. Um weitere Einblicke in den Verlauf der Kurven  $q/q_w(y^+)$  und  $\theta(y^+)$  zu erhalten, werden im folgenden noch die ersten und zweiten Ableitungen dieser beiden Größen zusammengestellt.

a) Ableitungen der Wärmestromdichteverteilung  $q/q_w$  nach der wandnormalen Ordinate  $y^+$

Aus den Gleichungen (23a,b) bzw. (53a,b) ergeben sich für kreiszylindrische (Index r) und ebene Wände (Index h) folgende Beziehungen:

$$\left( \frac{d(q/q_w)}{dy^+} \right)_r = \frac{\varphi \frac{\partial \theta}{\partial x}}{\int_x \varphi \frac{\partial \theta}{\partial x} y^+ dy^+} - \frac{1}{y^+} \frac{q}{q_w} \quad (57a)$$

$$= \frac{\varphi [F_0 + (1-F_0)\theta]}{\int_x \varphi [F_0 + (1-F_0)\theta] y^+ dy^+} - \frac{1}{y^+} \frac{q}{q_w} \quad (57b)$$

$$\left( \frac{d(q/q_w)}{dy^+} \right)_h = \frac{\varphi [F_0 + (1-F_0)\theta]}{\int \varphi [F_0 + (1-F_0)\theta] dy^+} \quad (57c)$$

$$\left( \frac{d^2(q/q_w)}{dy^{+2}} \right)_r = \frac{[F_0 + (1-F_0)\theta] \left( \frac{d\varphi}{dy^+} - \frac{\varphi}{y^+} \right) + (1-F_0)\varphi \frac{d\theta}{dy^+}}{\int_x \varphi [F_0 + (1-F_0)\theta] y^+ dy^+} + \frac{2}{y^{+2}} \frac{q}{q_w} \quad (58a)$$

und

$$\left(\frac{d^2\left(\frac{q}{q_w}\right)}{dy^{+2}}\right)_h = \frac{[F_o + (1-F_o)\theta] \frac{d\varphi}{dy^+} + (1-F_o)\varphi \frac{d\theta}{dy^+}}{\int_0^1 [F_o + (1-F_o)\theta] dy^+} \quad (58b)$$

Die beiden Gleichungen (57a) und (57b) können noch umgeformt werden:

$$\left(\frac{d\left(y^+ \frac{q}{q_w}\right)}{dy^+}\right)_r = \frac{\varphi \frac{\partial \theta}{\partial x} y^+}{\int_x^1 \varphi \frac{\partial \theta}{\partial x} y^+ dy^+} \quad (57d)$$

$$= \frac{\varphi [F_o + (1-F_o)\theta] y^+}{\int_x^1 \varphi [F_o + (1-F_o)\theta] y^+ dy^+} \quad (57e)$$

b) Ableitungen der Temperaturverteilung  $\theta$  nach der wandnormalen Ordinate  $y^+$

Die Differentiation der Gleichung (16) ergibt für laminare (Index l) bzw. turbulente Strömung (Index t):

$$\left(\frac{d\theta}{dy^+}\right)_l = - \frac{q/q_w}{\int_x^1 (q/q_w) dy^+} \quad (59a)$$

$$\left(\frac{d\theta}{dy^+}\right)_t = - \frac{\frac{q/q_w}{1+Pr^+ \epsilon_m/\nu}}{\int_x^1 \frac{q/q_w}{1+Pr^+ \epsilon_m/\nu} dy^+} \quad (59b)$$

$$\left(\frac{d^2\theta}{dy^{+2}}\right)_l = - \frac{d(q/q_w)/dy^+}{\int_x^1 (q/q_w) dy^+} \quad (60a)$$

$$\left(\frac{d^2\theta}{dy^{+2}}\right)_t = - \frac{(1+Pr^+ \epsilon_m/\nu) d(q/q_w)/dy^+ - Pr^+ (q/q_w) d(\epsilon_m/\nu)/dy^+}{(1+Pr^+ \epsilon_m/\nu)^2 \int_x^1 \frac{q/q_w}{1+Pr^+ \epsilon_m/\nu} dy^+} \quad (60b)$$

In den Ableitungen der Wärmestromdichteverteilung  $q/q_w$  können die Ausdrücke  $F_o + (1-F_o)\theta$  durch  $\partial\theta/\partial x$  und  $(1-F_o)d\theta/dy^+$  durch  $\partial^2\theta/(\partial x \partial y^+)$  ersetzt werden.

Der Verlauf der Funktion  $y^+ q/q_w$  bei kreiszylindrischen Wänden weist mit der Wärmestromdichteverteilung  $q/q_w$  bei ebenen Wänden einige gemeinsame Eigenschaften auf: Aus den Gleichungen (57a) bis (57e) folgt, daß die Kurven  $(y^+ q/q_w)_r$  bzw.  $(q/q_w)_h$  an der Wand ( $y^+ = y_w^+, \varphi = 0$ ) ein Optimum und an der Stelle mit konstanter Temperatur in Strömungsrichtung ( $y^+ = y_n^+, \partial \vartheta / \partial x = 0$ ) ein Maximum besitzen. Außer an der Lage dieses Maximums kann die Stelle  $y^+ = y_n^+$  für Strömungen mit linearem Druckabfall zusätzlich über den Zusammenhang  $\theta(y_n^+) = F_0 / (F_0 - 1)$  aus dem Temperaturprofil  $\theta$  bestimmt werden. Wegen  $\theta \geq 0$  folgt für  $\partial \theta / \partial x = 0$ :  $F_0 \leq 0$ . Bei konstanter Wandtemperatur ( $d\vartheta_w/dx = 0, y_n^+ = y_w^+$ ) beginnen die Kurven  $(y^+ q/q_w)_r$  bzw.  $(q/q_w)_h$  an der Wand beim Höchstwert 1 mit horizontaler Tangente und fallen auf den Wert 0 bei  $y^+ = y_0^+$  kontinuierlich ab, sie trennen dabei die Fälle mit teilweise  $(y^+ q/q_w)_r > 1$  bzw.  $(q/q_w)_h > 1$  ( $F_0 < 0$ ) von denen mit ausschließlich  $(y^+ q/q_w)_r < 1$  bzw.  $(q/q_w)_h < 1$  ( $F_0 > 0$ ). Die physikalische Erklärung für dieses hier formal hergeleitete Verhalten wurde bereits am Ende des Abschnitts 2.2.5 gegeben. An der Stelle  $y^+ = y_0^+$  haben beim Rohr ( $y_0^+ = 0$ ) die Kurven  $y^+ q/q_w$  und beim Ringspalt ( $\varphi_0 = 0, (q/q_w)_0 = 0$ ) die Kurven  $y^+ q/q_w$  und  $q/q_w$  horizontale Tangenten. In der Darstellung  $q/q_w = f(y^+)$  bei kreiszylindrischen Wänden beträgt die Neigung an der wärmeaustauschenden Wand  $d(q/q_w)/dy^+ = -1$ , daher nehmen beim Rohr und beim Ringspalt, Wärmeaustausch am äußeren Zylinder, die Wärmestromdichteverteilung  $q/q_w$  mit zunehmendem Wandabstand ( $dy^+ < 0$ ) zunächst Werte größer eins an (die Wärmestromverteilung  $Q$  ist proportional dem Produkt aus Wärmestromdichteverteilung  $q/q_w$  und dem Radius  $y^+$ ) während beim Rohrbündel und beim Ringspalt, Wärmeaustausch am inneren Zylinder ( $dy^+ > 0$ )  $q/q_w$  an der Wand stets absinkt und nur für  $F_0 < 0$  eventuell wieder ansteigt. Aus Gleichung (57a) geht weiterhin hervor, daß die Stelle  $\partial \theta / \partial x = 0$  mit einem negativen Wert der Neigung  $d(q/q_w)/dy^+$  gekoppelt ist. Dies bedeutet, daß in den Fällen T und A2 die Ordinate  $y_n^+$  vom Maximum der Kurve  $q/q_w$  weg in Richtung  $y_w^+$  und in den Fällen B und A1, falls es durch genügend hohe negative Werte von  $F_0$  überhaupt zu einem Maximum kommt, von diesem weg in Richtung  $y_0^+$  rückt. Bei parallelen Platten mit asymmetrischem Wärmeaustausch enden die Kurven  $q/q_w$  an der wärmeisolierten Wand mit waagrechter Tangente und Wendepunkt, an der wärmeaustauschenden Wand weisen dagegen sowohl der symmetrische als auch der asymmetrische Wärmeaustausch für konstante Wandtemperatur ( $F_0 = 0$ ) einen Wendepunkt der Kurven  $q/q_w$  auf.

Für die Temperaturprofile ergeben sich nach den Gleichungen (59a), (59b), (60a) und (60b) folgende Eigenschaften: Bei laminarer und turbulenter Strömung gilt für ebene Wände an der wärmeaustauschenden Wand sowie für den Ringspalt und die parallelen Platten, asymmetrischer Wärmeaustausch, an der wärmeisolierten Wand die Randbedingung  $d^2\theta/dy^{+2} = 0$ , die Kurven  $\theta(y^+)$  münden also dort mit einem Wendepunkt. Für laminare Strömung gibt bei parallelen Platten ein zusätzlicher Wendepunkt innerhalb des Strömungsquerschnitts  $y_0^+ \dots y_w^+$  den Ort  $y^+ = y_n^+$  konstanter Temperatur in Strömungsrichtung an<sup>++</sup>. Beim Rohr und beim Ringspalt, Wärmeaustausch am äußeren Zylinder, gilt an der wärmeaustauschenden Wand für laminare und turbulente Strömung  $d^2\theta/dy^{+2} > 0$ , beim Rohrbündel und beim Ringspalt, Wärmeaustausch am inneren Zylinder, ist dagegen  $d^2\theta/dy^{+2} < 0$  (Die Integrale im Nenner der rechten Seite der Gleichungen (60a) bzw. (60b) sind wegen  $y_0^+ > 1$  negativ). In den erstgenannten Fällen (T, A2) haben die

<sup>++</sup>Bei der längsangeströmten ebenen Platte ändert sich die Temperatur wegen der wandnormalen Geschwindigkeitskomponente  $v$  auch längs der Linie  $(y/\delta_t) = (y/\delta_t)_n$  mit Wendepunkt.



Temperaturprofile also stets einen Wendepunkt im Strömungsinnern - an der Stelle  $y_0^+$  hat das Temperaturprofil eine horizontale Tangente -, während dies sonst (mit Ausnahme des nicht auszuschließenden Falls, daß bei turbulenter Strömung der Zähler auf der rechten Seite der Gleichung (60b) null ergibt) nur für Werte  $F_0 < 0$  möglich ist. Als Beispiel sei hier die Temperaturverteilung der laminaren Rohrströmung mit konstantem Wärmefluß aufgeführt: Für den Ort des Wendepunktes folgt aus Gleichung (61)  $y/r_w = 1 - y^+ = 1 - \sqrt{2/3} = 0,1835$ .

### 3. SPEZIELLE STRÖMUNGSQUERSCHNITTE

#### 3.1. DAS ROHR

Das kreiszylindrische Rohr als einziger Strömungsquerschnitt, der sich durch eine Größe allein, den Durchmesser, eindeutig beschreiben läßt, ist sowohl hinsichtlich der Strömung als auch des Wärmeaustausches am weitesten erforscht. Bereits der Rechteckquerschnitt, der bei genügend großem Seitenverhältnis wie parallele Platten zu behandeln ist und in Bezug auf die Strömung den zuvor beschriebenen Vorzug mit dem Rohr teilt, benötigt für den Wärmeaustausch getrennte Berechnung, je nachdem, ob der Wärmeübergang nur an einer Wand oder an beiden Wänden, und hier wiederum in welchem Verhältnis zueinander, erfolgt. Beim Ringspalt kommen durch das Halbmesserverhältnis  $r_1/r_2$  und beim Rohrbündel durch den Quotienten  $p/d$  aus Rohrabstand  $p$  und Rohrdurchmesser  $d$  sowie durch die Rohranordnung weitere Parameter hinzu. Diese Einflußgrößen werden bei der Berechnung des Wärmeübergangs für laminare Strömung durch den Parameter der Wärmeflußverteilung  $F_0$  und für turbulente Strömung durch die Prandtl- und Reynolds-Zahl ergänzt.

Aus den hier geschilderten Gründen wird auch in der vorliegenden Arbeit das Rohr bei der numerischen Auswertung im Fall turbulenter Strömung ausführlicher behandelt als die übrigen Querschnitte. Die dabei gewählte feinere Unterteilung der Parameter  $F_0$ ,  $Pr^+$  und  $Re$  erleichtert jedoch eine Interpolation der Ergebnisse für die anderen Konfigurationen. Eine Zusammenstellung der gewählten Zahlenwerte für die verschiedenen Einflußgrößen ist in Tabelle 1 enthalten. Dabei wurden die Zahlenwerte für  $F_0$  in Abhängigkeit von der  $Pr^+$ -Zahl ausgewählt, im negativen Bereich dabei aus Glg. (34) für  $F_m = -1, -3, -7$  bzw.  $F_m = -5$  mit dem jeweils zuvor bei dem nächsthöheren Wert  $F_0$  gewonnenen  $\theta_m$  berechnet und auf 5/100 aufgerundet (s. Tabellen 10 bis 17).

##### 3.1.1. LAMINARE STRÖMUNG, EXAKTE BERECHNUNG FÜR $q_w = \text{konst.}$

Die auf laminare Strömung für die Randbedingung  $q_w = \text{konst.}$  angewandten thermischen Berechnungen sind bekannt, sie werden jedoch im Rahmen der hier vorliegenden Gesamtdarstellung nochmals wiederholt.

Wird die aus Abb. 1a ersichtliche Integrationsgrenze  $y_0^+ = 0$  in Glg. (53a) eingesetzt, so folgt mit  $F_0 = 1$

$$\frac{q}{q_w} = \frac{\int_0^{y^+} \varphi y^+ dy^+}{y^+ \int_0^{y^+} \varphi y^+ dy^+}$$

Die Geschwindigkeitsverteilung

$$\varphi = 1 - y^{+2}$$

führt zu folgender Beziehung für die Wärmestromdichteverteilung:

$$\frac{q}{q_w} = y^+(2 - y^{+2})$$

Setzt man diese Gleichung in die gemäß Glg. (16) für das Rohr (und für parallele Platten) geltende Gleichung

$$\theta = 1 - \frac{\int_0^{y^+} (q/q_w) dy^+}{\int_0^1 (q/q_w) dy^+}$$

ein, so erhält man die Temperaturverteilung

$$\theta = 1 - \frac{4}{3}y^{+2} + \frac{1}{3}y^{+4} \quad (61)$$

und aus den Gleichungen (21a) bzw. (19) die Mischungstemperatur

$$\theta_m = 11/18 = 0,611$$

und die Nußelt-Zahl

$$Nu = 48/11 = 4,36$$

In diesem Zusammenhang sei noch auf eine Temperaturverteilung hingewiesen, die (allerdings ohne Berücksichtigung des  $q_w/q_{wa}$ -Verlaufs) aus einem Potenzreihenansatz mit entsprechend sinnvoll gewählten Randbedingungen gefunden werden kann /16/

$$\theta = \frac{6}{5}(1 - y^+) + \frac{3}{5}(1 - y^+)^2 - \frac{4}{5}(1 - y^+)^3 = 1 - \frac{9}{5}y^{+2} + \frac{4}{5}y^{+3} \quad (61a)$$

Die dieser Gleichung entsprechende angenäherte Temperaturkurve liegt zwischen den für  $q_w = \text{konst.}$  und  $\theta_w = \text{konst.}$  exakt berechneten  $\theta$ -Verteilungen (s. Abb. 14).

### 3.1.2. TURBULENTE STRÖMUNG

#### 3.1.2.1. FORMELN FÜR STRÖMUNGSMECHANISCHE GRÖSSEN

a) Für die Geschwindigkeitsverteilung im Rohr und zwischen parallelen Platten hat H. Reichardt /7/ die für den Gesamtquerschnitt gültige Gleichung

$$\frac{u}{u^+} = \frac{1}{\alpha} \ln \left[ (1 + \alpha \eta) \frac{1,5(1 + y^+)}{1 + 2y^+ + 2} \right] + c_1 \left( 1 - e^{-\eta/\eta_n} - \frac{\eta}{\eta_n} e^{-b_1 \eta} \right) \quad (62)$$

aufgestellt. Dabei ist die Schubspannungsgeschwindigkeit  $u^+$  und der dimensionslose Wandabstand  $\eta$  in der üblichen Weise definiert:

$$u^+ = \sqrt{\frac{\tau_w}{\rho}} \quad (63)$$

$$\eta = \frac{u^+ y}{\nu} \quad (64a)$$

An der Stelle des Geschwindigkeitsmaximums gilt:

$$\eta_c = \frac{u^+ d}{2\nu} \quad (64b)$$

Für die in Glg. (62) enthaltenen Konstanten werden folgende Zahlenwerte empfohlen:

$$\left. \begin{aligned} \alpha &= 0,4 \\ \eta_n &= 11 \\ b_1 &= 0,33 \\ c_1 &= 7,8 \end{aligned} \right\} \quad (65)$$

Die Konstante  $c_1$  ist mit der in dem einfacheren logarithmischen Geschwindigkeitsgesetz  $u/u^+ = (1/\alpha) \ln \eta + c_2$  enthaltenen Konstanten  $c_2 = 5,5$  durch die Beziehung

$$c_1 = c_2 - \frac{1}{\alpha} \ln \alpha$$

verknüpft. Der zweite Summand auf der rechten Seite der

Gleichung (62) vereinfacht sich zu  $c_1$  für größere Werte von  $\eta$ .  
An der Stelle  $du/dy=0$  gilt:

$$\frac{u_c}{u^+} = \frac{1}{\alpha} \ln \left[ 1,5(1+\alpha\eta_c) \right] + c_1 \quad (66)$$

und damit läßt sich  $\varphi = (u/u^+) / (u_c/u^+)$  berechnen. Die Mittelwertbildung  $\varphi_m$  nach Glg. (22a) ergibt nach Weglassen vernachlässigbarer Zusatzglieder

$$\begin{aligned} \varphi_m &= \frac{1}{u_c/u^+} \left[ \frac{1}{\alpha} \ln \eta_c + c_2 - \frac{1}{\alpha} (\ln 2 + \frac{1}{2} \ln 3) - 2c_1 \frac{\eta_n}{\eta_c} \right] \\ &= \frac{1}{u_c/u^+} \left[ \frac{1}{\alpha} \ln \eta_c - 2c_1 \frac{\eta_n}{\eta_c} + 2,378 \right] \end{aligned} \quad (67)$$

b) Wie in Abschnitt 2.1 bereits beschrieben, sollen für die Impulsaustauschgröße  $\epsilon_m$  das Wandgesetz (1) und das Mittengesetz (2) jeweils bis zum gemeinsamen Schnittpunkt gelten. Mit zunehmender Reynolds-Zahl reicht dabei das Mittengesetz in immer größere Wandnähe. Die Unstetigkeit im  $\epsilon_m/\nu$ -Verlauf am Schnittpunkt der beiden Kurven, die mit abnehmender Reynolds-Zahl deutlicher wird, spielt für die hier vorliegenden Betrachtungen keine Rolle, da einerseits eine solche Unstimmigkeit in den gemachten Vereinfachungen untergeht und andererseits in den Berechnungen keine Differentiationen dieser Größe vorkommen. In diesem Zusammenhang sei jedoch darauf hingewiesen, daß durch das bei der Herleitung der Geschwindigkeitsverteilung Glg. (62) angewandte Prinzip der Überlagerung eine rückwärtige Bestimmung von  $\epsilon_m$  mit Hilfe der Gleichung (10) einen kontinuierlichen Verlauf ergeben würde. Dieser stellte jedoch gegenüber den durch direkte Messungen bzw. durch theoretische Betrachtungen erhaltenen Gesetzmäßigkeiten, die bei der Herleitung der Glg. (62) als Grundlage dienten, keine Verbesserung dar.

Der Schnittpunkt der beiden Kurven (1) und (2) läßt sich in recht guter Näherung über den gesamten hier betrachteten Re-Bereich durch die Beziehungen

$$\eta_s = 2,75 \eta_c^{0,48} \quad (68a)$$

bzw.

$$\eta_s = 0,81 \text{Re}^{0,43} \quad (68b)$$

angeben. Diese beiden Gleichungen gelten auch für parallele Platten und unter gewissen Annahmen für den äußeren Ringraumabschnitt ( $r_c \ll r_1 \ll r_2$ ). Dabei muß anstelle der üblicherweise mit dem hydraulischen

schen Durchmesser definierten Reynolds-Zahl eine sogenannte "äquivalente Rohr-Reynolds-Zahl"  $Re_T$  eingesetzt werden, wie in den Abschnitten 3.2.2.1 und 3.5.1.1 beschrieben wird.

c) Für den Widerstandskoeffizienten  $\zeta$  beim glatten Rohr wird die von Prandtl aufgestellte Beziehung

$$\frac{1}{\sqrt{\zeta}} = 2 \log (Re \sqrt{\zeta}) - 0,8 \quad (69a)$$

den Wärmeübergangsberechnungen zugrundegelegt, während für die Näherungsrechnungen in den beiden folgenden Abschnitten (3.1.2.2 und 3.1.2.3) sowie für die angenäherte Wiedergabe der numerischen Ergebnisse in Form expliziter Gleichungen der Colebrook-Formel

$$\frac{1}{\sqrt{\zeta}} = 1,8 \log (Re/7) \quad (69b)$$

der Vorzug gegeben wird. Für  $Re > 10^4$  stimmen die Gleichungen (69a) und (69b) auf 1% Genauigkeit überein.

d) Der Wandabstand  $\eta_b$ , in dem die durch Molekularbewegung einerseits sowie durch turbulenten Austausch andererseits übertragenen Wärmemengen gleich sind, ergibt sich aus der Gleichung

$$\left( \frac{\epsilon_m}{\nu} \right)_{\eta=\eta_b} = \frac{1}{Pr^+} \quad (q_t/q_m=1) \quad (70)$$

wie aus Glg. (7) hervorgeht. Für kleine Werte  $\eta$  geht das Wandgesetz (1) asymptotisch über in

$$\frac{\epsilon_m}{\nu} = 0,2 \alpha \eta_m (\eta/\eta_m)^5 = 3,1 \cdot 10^{-5} \eta^5 \quad (\text{für } \eta \ll \eta_m) \quad (71a)$$

wie Reichardt nachweist /6/. Für  $\eta > 20$  sind die Abweichungen von der Geraden

$$\frac{\epsilon_m}{\nu} = \alpha \left( \eta - \frac{4}{3} \eta_m \right) = 0,4 (\eta - 9,53) \quad (\text{für } \eta > 20) \quad (71b)$$

kleiner als 1%. Aus Glg. (70) folgt für diese Bereiche

$$\eta_b = 8 (Pr^+)^{-0,2} \quad (\text{für } \eta_b \leq 7,15) \quad (72a)$$

(innerhalb der Grenzen  $10 < Pr^+ < 10^3$  läßt sich  $\eta_b$  jedoch besser durch die Beziehung  $\eta_b = 9,1 (Pr^+)^{-0,222}$  wiedergeben, wie Abb.5 zeigt)

und

$$\eta_b = \frac{2,5}{Pr^+} + 9,53 \quad (\text{für } 20 \leq \eta_b \leq \eta_s) \quad (72b)$$

außerhalb davon ist  $\eta_b$  mit Hilfe der Gleichungen (1) und (2) aus Glg. (70) zu bestimmen. Die Ergebnisse dieser Rechnung sind in Abb. 5 dargestellt. Die darin eingezeichnete Gerade  $\eta_b = 20/(3Pr^+)$  entspricht im Gültigkeitsbereich des Mittengesetzes dem Maximalwert der Austauschgröße  $\xi_m$  an der Stelle  $y^+ = 0,5$ . Für Prandtl-Zahlen, die kleiner sind als diejenigen am Schnittpunkt dieser Geraden mit den Kurven  $Re = \text{konst.}$ , gilt für den gesamten Strömungsquerschnitt  $q_t < q_m$ .

### 3.1.2.2. DER WÄRMEÜBERGANG BEI UNVERÄNDERLICHEM WÄRMEFLUSS UND VERSCHWINDENDER PRANDTL-ZAHL

Für den Fall  $q_w = \text{konst.}$  und  $Pr \rightarrow 0$  lassen sich die Wärmeübergangsgleichungen unter Zugrundelegung vereinfachter Geschwindigkeitsgesetze in geschlossener Form lösen. Die wandnormalen Wärmestromverteilungen  $q/q_w$  gelten für alle Prandtl-Zahlen.

a) Das Potenzgesetz

$$\rho = (1 - y^+)^{1/n} \quad (73a)$$

ergibt nach Einsetzen in die Gleichung (53a) für die wandnormale Wärmestromdichteverteilung  $q/q_w$ :

$$\begin{aligned} \frac{q}{q_w} &= \frac{\int_0^{y^+} (1 - y^+)^{1/n} y^+ dy^+}{\int_0^1 (1 - y^+)^{1/n} y^+ dy^+} \\ &= \frac{1}{y^+} \left\{ 1 - (1 - y^+)^{1/n-1} [1 + (1 + 1/n)y^+] \right\} \quad (74a) \end{aligned}$$

Das Integral  $\int_0^1 \rho y^+ dy^+$  ist identisch mit der Größe  $\rho_m/2$ , wie man sich mit Hilfe der Gleichung (22a) überzeugt, folglich gilt:

$$\rho_m = \frac{2 n^2}{(1+n)(1+2n)} \quad (75a)$$

Für die auf die maximale Temperaturdifferenz ( $\vartheta_w - \vartheta_b$ ) bezogene Nußelt-Zahl erhält man aus Glg. (19) die auch bei laminarer Strömung geltende Beziehung:

$$\text{Nu}_0 = \text{Nu} \cdot \theta_m = \frac{2}{\int_0^1 (q/q_w) dy^+} \quad (76)$$

Bei der Integration von  $q/q_w$  muß das in Glg. (74a) enthaltene Glied  $(1-y^+)^{1/n}$  durch eine Reihe ersetzt werden, was zu folgendem Ergebnis führt:

$$\frac{1}{\text{Nu}_0} = \frac{1+n}{2n} \left[ 1 - \frac{n}{1+2n} - \frac{1/n}{2 \cdot 2!} + \frac{(1/n)(1/n-1)}{3 \cdot 3!} - \dots \dots \dots \right. \\ \left. \dots \dots (-1)^{z+1} \frac{(1/n)(1/n-1) \dots (1/n-z)}{(z+2)(z+2)!} \right] \quad (77a)$$

b) Aus dem logarithmischen Geschwindigkeitsgesetz  $u/u^+ = (1/\alpha) \ln \eta + c_2$  folgt für die auf den Maximalwert  $u_c$  bezogene Geschwindigkeitsverteilung

$$p = \frac{2,5 \ln [(1-y^+) \cdot \eta_c] + 5,5}{2,5 \ln \eta_c + 5,5} \quad (73b)$$

wenn man die Konstanten  $\alpha$  und  $c_2$  durch ihre Zahlenwerte sowie  $\eta$  durch den identischen Ausdruck  $(1-y^+) \eta_c$  ersetzt. Die Größe  $\eta_c$  an der Stelle des Geschwindigkeitsmaximums ergibt sich nach Einsetzen des Widerstandgesetzes (69b) in Gleichung (176b) ( $r_c=0$ ) zu:

$$\eta_c = \frac{\text{Re}}{10,2 \lg(\text{Re}/7)} \quad (78)$$

Mit einer zu a) analog durchgeführten Berechnung erhält man (s. Anhang A 3.1.2.2 ):

$$\frac{q}{q_w} = \frac{(y^+ - 1/y^+) \ln(1-y^+) + y^+ (\ln \eta_c + 1,7) - 1}{\ln \eta_c + 0,70} \quad (74b)$$

$$\varphi_m = \frac{\ln \eta_c + 0,7}{\ln \eta_c + 2,2} \quad (75b)$$

$$\text{Nu}_0 = \frac{4 \ln \eta_c + 2,8}{\ln \eta_c + 1,5} \quad (77b)$$

Das logarithmische Geschwindigkeitsgesetz gilt -im Gegensatz zum Potenzgesetz (73a)- nicht an der Wand, da dort Glg. (73b) gegen  $-\infty$  geht. Dementsprechend liefert auch die Differentiation der Gleichung (74b) an der Wand nicht den bei Rohren generell vorgeschriebenen Wert  $[d(q/q_w)/d(y^+)]_w = -1$  (s. Glg. 57b). Trotzdem ist dieser Einfluß bei der Integration von  $q/q_w$  über den Gesamtquerschnitt nicht sehr groß.

Zum Vergleich sind in Tabelle 2 die mit den vereinfachten Geschwindigkeitsverteilungen Glg. (73a) bzw. (73b) gewonnenen Ergebnisse  $\varphi_m$  und  $\text{Nu}_0$  den mit dem Geschwindigkeitsgesetz (62) berechneten Werten gegenübergestellt. Dabei zeigt es sich, daß insbesondere das einfache logarithmische Geschwindigkeitsgesetz eine gute Übereinstimmung mit der genauen Rechnung liefert.

### 3.1.2.3. NÄHERUNGSLÖSUNG FÜR UNVERÄNDERLICHEN WÄRMEFLUSS UND KLEINE PRANDTL-ZAHLEN

Die im vorangegangenen Abschnitt hergeleiteten Gleichungen (74a) bzw. (74b) für den Wärmestromdichteverlauf  $q/q_w$  bei der Randbedingung  $q_w = \text{konst.}$  lassen trotz ihrer verhältnismäßig einfachen Form für von null verschiedene Werte der Prandtl-Zahl eine analytische Berechnung der Nußelt-Zahl bei turbulenter Strömung nicht zu. Der Grund dafür liegt im Aufbau der Gleichungen (1) und (2) für die Impulsaustauschgröße  $\epsilon_m$ . Selbst für den Fall, daß bei kleinen Prandtl-Zahlen nur mit dem Mittengesetz (2) gerechnet wird, läßt sich das in Glg. (19) enthaltene Integral nicht mehr lösen, ohne auf Reihenentwicklungen zurückzugreifen. Diese Schwierigkeit kann man durch einen Näherungsansatz für die  $q/q_w$ -Verteilung umgehen. Ein solcher wurde bereits von Reichardt /6/ eingeführt in der Form

$$q/q_w = (1 + c)\tau/\tau_w$$

wobei Reichardt die vom Wandabstand abhängige Größe  $c$  in erster Näherung gleich seinem Wert an der Wand, also  $c=0$ , setzt. In der vorliegenden Arbeit wird dieser Ansatz in folgender Weise modifiziert:

$$q/q_w = [1 + c(1-y^+)]\tau/\tau_w \quad (79a)$$

Hier wird die Größe  $c$  als konstant über den Querschnitt angesehen, ihr Wert läßt sich mit Hilfe der Beziehung



$$\left(\frac{q/q_w}{\tau/\tau_w}\right)_0 = \frac{[d(q/q_w)/d(y/d)]_0}{[d(\tau/\tau_w)/d(y/d)]_0} \quad (80)$$

bestimmen. Für das Rohr und die parallelen Platten bei symmetrischer Heizung geht diese Gleichung unter Beachtung von  $\tau/\tau_w = y^+$  über in:

$$\left(\frac{q/q_w}{\tau/\tau_w}\right)_0 = \left(\frac{d(q/q_w)}{dy^+}\right)_0 \quad (81)$$

während Glg. (79a) die Form

$$q/q_w = [1 + c(1-y^+)] y^+ \quad (79b)$$

annimmt.

Damit erhält man für die Konstante  $c$  :

$$c = \left(\frac{d(q/q_w)}{dy^+}\right)_0 - 1 \quad (82)$$

Die Größe  $[d(q/q_w)/dy^+]_0$  ist durch die Gleichung (57b) bekannt:

$$\left(\frac{d(q/q_w)}{dy^+}\right)_0 = -\left(\frac{q/q_w}{y^+}\right)_0 + \frac{(\rho[\theta + (1-\theta) F_0])_0}{\int_0^1 \rho[\theta + (1-\theta) F_0] y^+ dy^+} \quad (83)$$

An der Stelle  $y^+ = y_0^+ = 0$  gilt  $\rho_0 = \theta_0 = 1$  und unter Beachtung von  $[(q/q_w)/y^+]_0 = [(q/q_w)/(\tau/\tau_w)]_0 = [d(q/q_w)/dy^+]_0$  folgt aus den Gleichungen (82) und (83):

$$c = \frac{1}{2 \int_0^1 \rho[\theta + (1-\theta) F_0] y^+ dy^+} - 1 \quad (84a)$$

Die Gleichungen (21) und (22) führen bei den Randbedingungen  $q_w = \text{konst.}$  und  $\vartheta_w = \text{konst.}$  zu folgenden Vereinfachungen:

$$c = \frac{1}{\varphi_m} - 1 \quad (\text{für } q_w = \text{konst.}) \quad (84b)$$

$$c = \frac{1}{\varphi_m \theta_m} - 1 \quad (\text{für } \vartheta_w = \text{konst.}) \quad (84c)$$

Die hier gegebene Herleitung gilt für beliebige Werte von  $F_0$ . Die praktische Anwendung bleibt jedoch auf den Fall  $q_w = \text{konst.}$  ( $F_0 = 1$ ) beschränkt, da nur hierfür die Konstante  $c$  ohne Kenntnis des Temperaturverlaufs  $\theta$  berechnet werden kann, wie Glg. (84b) zeigt. Über die Güte der Näherung (79b) gibt Abb. 44 Aufschluß: Die dort für die Randbedingung  $\vartheta_w = \text{konst.}$  eingezeichneten Kurven  $(q/q_w)/(\tau/\tau_w)$  werden durch ihre Sehnen ersetzt.

Mit dem Ansatz (79b) läßt sich nun unter Beschränkung auf das Mittengesetz für die Impulsaustauschgröße -die Anwendbarkeit ist demnach auch auf entsprechend niedrige Prandtl-Zahlen beschränkt- eine Gleichung für die Nußelt-Zahl  $Nu_0$  herleiten. Für das Rohr ist die in Glg. (2) enthaltene Größe  $x^+$  identisch mit  $y^+$  und durch Einsetzen von  $d_h/k_w = 2$ ,  $y_0^+ = 0$  und  $y_w^+ = 1$  in Glg. (19) folgt:

$$Nu_0 = \frac{2}{\int_0^1 \frac{[1 + c(1-y^+)] y^+}{1 + Pr^+ \eta_c (\alpha/3)(0,5+y^+)(1-y^+)^2} dy^+} \quad (85)$$

Das Integral im Nenner dieser Gleichung läßt sich geschlossen lösen (s. Anhang 3.1.2.3) und als Endergebnis für  $Nu_0$  erhält man:

$$Nu_0 = 8m_1 m_2 / N \quad (86a)$$

Dabei bedeuten:

$$N = (1+c) \ln \left| \frac{(0,75+m_2)(0,25+m_2)}{(0,75-m_2)(0,25-m_2)} \right| + 2c m_3 \arctg \frac{1}{m_3} + c m_4 \ln \left| \frac{m_4 - 1}{m_4 + 1} \right| \quad (87a)$$

$$m_1 = \frac{\alpha}{3} \eta_c Pr^+ \quad (87b)$$

$$\text{bzw. mit } \eta_c \text{ aus Glg. (78) und } \alpha = 0,4 : m_1 = \frac{Re Pr^+}{76 \lg(Re/7)} \quad (87c)$$

$$m_2 = \sqrt{9/16 + 1/m_1} \quad (87d)$$

$$m_3 = \sqrt{m_2 - 0,25} \quad (87e)$$

und

$$m_4 = \sqrt{m_2 + 0,25} \quad (87f)$$

Auf dieselbe Weise läßt sich auch eine Gleichung für die Temperaturverteilung angeben. Die Differentialgleichung (11)

$$\frac{\partial \vartheta}{\partial y} = \left(\frac{\partial \vartheta}{\partial y}\right)_w \frac{q/q_w}{1 + \text{Pr}^+ \epsilon_m/\nu}$$

geht unter Beachtung von

$$\left(\frac{\partial \vartheta}{\partial y}\right)_w = - \frac{q_w}{\lambda} = - \frac{q_w}{\rho c_p u^+} \frac{\nu \rho c_p}{\lambda} \frac{u^+}{\nu} = - \vartheta^+ \text{Pr} u^+ / \nu$$

oder mit  $\eta = y u^+ / \nu$  in der Form  $[\partial(\vartheta/\vartheta^+)/\partial(\eta \text{Pr})]_w = -1$  über in

$$\frac{\partial(\vartheta/\vartheta^+)}{\partial(\eta \text{Pr}^+)} = - \frac{\epsilon_m}{\epsilon_h} \frac{q/q_w}{1 + \text{Pr}^+ \epsilon_m/\nu} \quad (88a)$$

In der wärmeleitenden Unterschicht ( $\text{Pr}^+ \epsilon_m/\nu \ll 1$ ) gilt für nicht zu große Wandabstände ( $q/q_w \cong 1$ ) für alle Reynolds- und Prandtl-Zahlen:

$$\frac{\vartheta_w - \vartheta}{\vartheta^+} = \eta \text{Pr} = \frac{\epsilon_m}{\epsilon_h} \eta \text{Pr}^+ \quad (88b)$$

Die Integration der Gleichung (88a) - nach Einsetzen von  $q/q_w$ ,  $\epsilon_m/\nu$  und  $\eta = (1-y^+) \eta_c$  -

$$\int_{\vartheta_w/\vartheta^+}^{\vartheta/\vartheta^+} d(\vartheta/\vartheta^+) = \frac{\epsilon_m \eta_c \text{Pr}^+}{\epsilon_h} \int_1^{y^+} \frac{[1+c(1-y^+)] y^+}{1 + \text{Pr}^+ \eta_c (\pi/3)(0,5+y^+)^2 (1-y^+)^2} dy^+$$

führt auf das bereits gelöste Integral (A14). Nach Einsetzen der Integrationsgrenzen folgt für den Temperaturverlauf:

$$\begin{aligned} \frac{\vartheta_w - \vartheta}{\vartheta^+} = & \frac{3 \epsilon_m / \epsilon_h}{4 \pi m_2} \left\{ (1+c) \ln \left| \frac{(y^+{}^2 - 0,25 - m_2)(0,75 + m_2)}{(y^+{}^2 - 0,25 + m_2)(0,75 - m_2)} \right| + 2c m_3 (\arctg \frac{1}{m_3} - \arctg \frac{y^+}{m_3}) \right. \\ & \left. + c m_4 \ln \left| \frac{(y^+ + m_4)(1 - m_4)}{(y^+ - m_4)(1 + m_4)} \right| \right\} \quad (88c) \end{aligned}$$

Die mit dieser Gleichung berechnete Temperaturverteilung liegt etwas unterhalb des mit dem genauen numerischen Verfahren bestimmten Verlaufs (s. Abb.42). Der Grund hierfür ist der, daß einer-

seits das Abklingen der turbulenten Austauschgröße in Wandnähe nicht genügend berücksichtigt wird, und andererseits der Ansatz (79a) für die  $q/q_w$ -Verteilung etwas zu niedrige Werte liefert.

Eine bessere Näherung für den mittleren Teil des Strömungsquerschnitts erhält man durch die Integration der Gleichung (88a) innerhalb der Grenzen  $\vartheta_0/\vartheta^+ \dots \vartheta/\vartheta^+$  und  $0 \dots y^+$ . In diesem Bereich kann der  $\epsilon_m/\nu$ -Verlauf aus dem Mittengesetz (2) durch  $\epsilon_m/\nu = 0,07 \eta_c$  angenähert werden. Unter Beachtung von  $(\vartheta_w - \vartheta)/\vartheta^+ = 2\eta_c Pr^+ / Nu_0$  (s. Glg. 210 bzw. 248b) ergibt sich für nicht zu große Mittenabstände  $y^+$  :

$$\frac{\vartheta_w - \vartheta}{\vartheta^+} = \frac{\epsilon_m}{\epsilon_h} \eta_c Pr^+ \left[ \frac{2}{Nu_0} - \frac{y^{+2}}{1 + 0,07 \eta_c Pr^+} \left( \frac{1+c}{2} - \frac{c}{3} y^+ \right) \right] \quad (88d)$$

Aus Gleichung (85) geht hervor, daß bei kleinen Prandtl-Zahlen die Nußelt-Zahl in erster Linie vom Produkt  $RePr^+$  abhängt: Nach Gleichung (78) ist  $\eta_c$  näherungsweise proportional der Reynolds-Zahl; Entsprechend gilt also für das in Glg. (85) enthaltene Glied  $\eta_c Pr^+ \sim RePr^+$ . Durch die Proportionalität  $Nu_0 \sim m_1 \sim RePr^+$  kommt weiterhin zum Ausdruck, daß der Exponent  $c$  des den turbulenten Anteil am Wärmeaustausch kennzeichnenden Gliedes  $Nu_t \sim (RePr^+)^c$  nahe 1 sein muß. Dagegen ist zu erwarten, daß der Einfluß des Produktes  $RePr^+$  auf die Temperaturverteilung  $(\vartheta_w - \vartheta)/\vartheta^+$  wesentlich geringer sein wird: Sieht man von dem Einfluß von  $Re$  in  $c$  ab, so folgt  $(\epsilon_h/\epsilon_m)(\vartheta_w - \vartheta)/\vartheta^+ = f_1(y^+, RePr^+ = \text{konst.})$ . Unter Beachtung von  $y^+ = 1 - \eta/\eta_c = 1 - \eta Pr^+ / (\eta_c Pr^+)$  geht diese Beziehung über in  $(\epsilon_h/\epsilon_m)(\vartheta_w - \vartheta)/\vartheta^+ = f_2(\eta Pr^+, RePr^+ = \text{konst.})$ . In der neuen unabhängigen Veränderlichen  $\eta Pr^+$  ist die Reynolds-Zahl implizit in  $\eta$  enthalten. Aus diesem Grund muß die Funktion  $f_2$  von dem Parameter  $RePr^+$  nahezu unabhängig sein:  $f_2(\eta Pr^+, RePr^+ = \text{konst.}) \approx f_2'(\eta Pr^+)$ . Diese Aussage wird durch die in Abb. 42 für  $Pr^+ = 0,01 \dots 0,1$  dargestellten genauen Ergebnisse bestätigt.

Die nach Gleichung (86a) berechneten Nußelt-Zahlen  $Nu_0^+$  sind in Tab. 3 mit den aus dem genauen numerischen Verfahren gewonnenen Ergebnissen  $Nu_0$  für verschiedene Reynolds- und Prandtl-Zahlen verglichen. Die Zahlenwerte für  $Nu_0^+$  liegen in dem angegebenen  $Re$ - und  $Pr^+$ -Bereich aus den weiter oben bereits genannten Gründen um zwischen 3% und 15% zu hoch.

Als untere Grenze für  $Nu_0$  ergibt sich aus Glg. (85) für  $Pr=0$ :

$$Nu_{0-\min} = 12/(3+c) \quad (86b)$$

Für  $q_w = \text{konst.}$  geht diese Gleichung über in  $Nu_{0-\min} = 12/(2+1/\varphi_m)$ . Darin ist die Tatsache richtig wiedergegeben, daß  $Nu_{0-\min}(Pr=0)$  mit zunehmender Reynolds-Zahl ebenfalls höhere Werte annimmt, während dies bei der Näherung  $c=0$  nicht zum Ausdruck kommt.

Wendet man den Näherungsansatz (79a) für  $q/q_w$  auf den Fall laminarer Strömung an, so folgt für  $q = \text{konst.}$  mit  $\varphi_m = 0,5$  aus den Gleichungen (84b) und (86b):  $c=1$  und  $Nu_0 = 3$ , der exakte Wert  $Nu_0 = 48/18 = 2,67$  ist also um 11% kleiner. Für  $\vartheta_w = \text{konst.}$  erhält man mit  $\Theta_m = 0,554$  :  $c=2,61$  und  $Nu_0 = 2,14$ . Der exakte Wert  $Nu_0 = 2,025$  ist hierbei nur um 5% niedriger.

### 3.1.2.4. NÄHERUNGSLÖSUNG FÜR UNVERÄNDERLICHEN WÄRMEFLUSS BEI MITTLEREN BIS GROSSEN PRANDTL-ZAHLEN

Bei genügend hohen Prandtl-Zahlen kann die durch Molekularbewegung übertragene Wärmemenge gegenüber dem durch turbulenten Austausch übertragenen Anteil vernachlässigt werden. Nach Weglassen des Glieds 1 im Nenner der rechten Seite der Gleichung (88a) erhält man:

$$\int d(\vartheta/\vartheta^+) = - \frac{\epsilon_m}{\epsilon_h} \int \frac{q/q_w}{\epsilon_m/\nu} d\eta \quad (89a)$$

Da für  $q_w = \text{konst.}$  die wandnormale Wärmestromdichteverteilung  $q/q_w$  nur wenig von der Schubspannungsverteilung  $\tau/\tau_w$  abweicht ( $(q/q_w)/(\tau/\tau_w)$  folgt für  $Re=3.10^4$  etwa dem in Abb.44 für  $Pr^+=1000$  bei  $\vartheta_w = \text{konst.}$  eingezeichneten Verlauf), kann näherungsweise als Lösung des Integrals auf der rechten Seite dieser Gleichung die im vollturbulenten Bereich für die Geschwindigkeitsverteilung gültige Beziehung

$$\int d(u/u^+) = \int \frac{\tau/\tau_w}{\epsilon_m/\nu} d\eta = a \ln \eta + c$$

übernommen werden. Die Temperaturverteilung lautet demnach

$$\frac{\vartheta_w - \vartheta}{\vartheta^+} = \frac{\epsilon_m}{\epsilon_h} [a_t \ln \eta + c_t(Pr^+)] \quad (89b)$$

Die Integrationskonstante  $c_t$  ist hierbei eine Funktion der Prandtl-Zahl. Der Proportionalitätsfaktor  $a_t$  ist wegen  $(q/q_w)/(\tau/\tau_w) > 1$  höher als  $a$  und zusätzlich von der Reynolds-Zahl abhängig (mit steigender Reynolds-Zahl - und unabhängig von  $Pr$  - nimmt der Quotient  $(q/q_w)/(\tau/\tau_w) > 1$  ab, wodurch auch  $a_t/a$  näher an den Wert 1 rückt). Die unteren Grenzen  $\eta$  der Gültigkeit der beiden logarithmischen Gesetze für die Geschwindigkeit einerseits und für die Temperatur andererseits sind ungefähr dieselben:  $\eta_{\min} \approx 30$ . In der Form

$$\frac{\vartheta_w - \vartheta}{\vartheta^+} = a'_t \ln \eta + c'_t(Pr) \quad (89c)$$

kann wegen  $a'_t = a_t (\epsilon_m/\epsilon_h)$  der Quotient  $a'_t/a$  Werte kleiner 1 annehmen, da für  $Pr > 1$  Werte  $\epsilon_m/\epsilon_h < 1$  zu erwarten sind (s. Abb.11)

Mit Hilfe der letztgenannten Gleichung und dem logarithmischen Geschwindigkeitsgesetz läßt sich für den Wärmeaustausch folgende Beziehung aufstellen /19/ (in ähnlicher Form bereits von von Kármán vorgeschlagen):

$$St = \frac{\zeta/8}{a'_t/a + f_1(Pr) \sqrt{\zeta/8} + f_2(Pr) \zeta/8} \quad (90)$$

## 3.2. PARALLELE PLATTEN, SYMMETRISCHER WÄRMEAUSTAUSCH

### 3.2.1. LAMINARE STRÖMUNG, EXAKTE BERECHNUNG FÜR $q_w = \text{konst.}$

Das Geschwindigkeitsprofil  $\varphi = 1 - y^{+2}$  ist identisch mit demjenigen bei laminarer Rohrströmung. Während jedoch beim Rohr die mittlere Geschwindigkeit  $\varphi_m = 1/2$  ist, gilt bei parallelen Platten  $\varphi_m = 2/3$ . Für den Wärmeübergang erhält man analog zu Abschnitt 3.1.1:

$$\frac{q}{q_w} = \frac{y^+}{2} (3 - y^{+2}) \quad \theta = 1 - \frac{\delta}{5} y^{+2} + \frac{1}{5} y^{+4}$$

$$\theta_m = 136/175 = 0,777 \quad Nu = 140/17 = 8,24$$

Die Nußelt-Zahl ist hier gegenüber dem Rohr um etwa den Faktor 2 größer. Dies liegt zunächst daran, daß auch die Quotienten  $d_h/r_w$ , die gemäß Glg. (19) in Nu linear eingehen, für die beiden betrachteten Geometrien im Verhältniss 1/2 zueinander stehen, andererseits ist aus dieser Tatsache zu erkennen, daß beim Rohr die günstigere Durchsatzverteilung  $(d\dot{G}/\dot{G})_T = \frac{16}{3} y^+ (d\dot{G}/\dot{G})_{pp}$  durch den ungünstigeren  $q/q_w$ -Verlauf -als Folge der Abnahme der vom wandnormalen Wärmestrom durchflossenen Fläche- näherungsweise kompensiert wird<sup>++</sup>.

### 3.2.2. TURBULENTE STRÖMUNG

#### 3.2.2.1. FORMELN FÜR STRÖMUNGSMECHANISCHE GRÖSSEN

Experimentelle Untersuchungen haben gezeigt, daß die Geschwindigkeitsprofile in rechteckigen Kanälen mit großem Seitenverhältnis nur unwesentlich von denjenigen im Rohr abweichen. Es gelten daher bei parallelen Platten die in Abschnitt 3.1.2.1 zusammengestellten Beziehungen mit Ausnahme folgender Abweichungen:

- In Glg. (64b) ist der Durchmesser  $d$  durch den Plattenabstand  $h$  zu ersetzen.
- Die mittlere Geschwindigkeit  $\varphi_m$  errechnet sich aus Glg.(194) mit  $r_1/r_c=1$  zu

$$\varphi_m = \frac{1}{u_c/u^+} \left[ \frac{1}{2} \ln \eta_c - c \frac{\eta_n}{1\eta_c} + 3,856 \right] \quad (91)$$

-Die äquivalente Rohr-Reynolds-Zahl lautet

$$Re_T = \frac{1}{2} \frac{\varphi_{mT}}{\varphi_{mPP}} Re_{PP} \quad (92)$$

wobei  $\varphi_{mT}$  und  $\varphi_{mPP}$  die für  $Re_T$  berechneten Mittelwerte der Geschwindigkeit für das Rohr bzw. für die parallelen Platten bedeuten. Daraus erhält man für den Widerstandskoeffizienten

$$\frac{\zeta_{PP}}{\zeta_T^+} = \left( \frac{\varphi_{mT}}{\varphi_{mPP}} \right)^2 \left[ \frac{\lg (Re_{PP}/7)}{\lg (Re_T/7)} \right]^2 \quad (93)$$

Mit  $\zeta_T^+ = \zeta_T(Re_{PP})$  ist dabei derjenige Widerstandskoeffizient bezeichnet, der sich für die Platten-Reynolds-Zahl  $Re_{PP} = 2u_m h/\nu$  aus dem Widerstandsgesetz des Rohres Glg. (69b) ergibt. Die hier beschriebenen Beziehungen werden in Abschnitt 3.5.2 für den allgemeinen Fall des Ringspaltes hergeleitet, der die parallelen Platten, gekennzeichnet durch  $r_1/r_2 = r_c/r_2 = 1$ , mit einschließt. Die numerische Auswertung der Gleichung (93) ergibt  $\zeta_{PP} \approx \zeta_T^+$ , in Übereinstimmung mit dem Experiment. Für die in Tab.1 aufgeführten äquivalenten Rohr-Reynolds-Zahlen  $Re_T$  erhält man die in Tab.4 angegebenen Reynolds-Zahlen  $Re = Re_{PP}$ .

<sup>++</sup>Die Teilbeiträge  $d\dot{G}$  vom Gesamtdurchsatz  $\dot{G}$  erhält man wie folgt:

$$\frac{(d\dot{G}/\dot{G})_T}{(d\dot{G}/\dot{G})_{PP}} = \frac{2\pi y^+ u_T dy^+ / (\pi y_w^+ u_{mT})}{u_{PP} dy^+ / (2y_w^+ u_{mPP})} = \frac{16}{3} y^+$$

### 3.2.2.2. DER WÄRMEÜBERGANG FÜR $q_w$ -konst. UND $Pr=0$

Analog zur Herleitung im Abschnitt 3.1.2.2 erhält man:

a) mit dem Potenzgesetz Glg. (73a)

$$\frac{q}{q_w} = 1 - (1-y^+)^{1+1/n} \quad (94a)$$

$$\varphi_m = \frac{1}{1+1/n} \quad (95a)$$

$$Nu_o = 4 \frac{1+2n}{1+n} \quad (96a)$$

b) mit dem logarithmischen Gesetz Glg. (73b)

$$\frac{q}{q_w} = y^+ - \frac{(1-y^+) \ln(1-y^+)}{2,5 \ln \eta_c + 3} \quad (94b)$$

$$\varphi_m = \frac{\ln \eta_c + 1,2}{\ln \eta_c + 2,2} \quad (95b)$$

$$Nu_o = \frac{8 \ln \eta_c + 9,6}{\ln \eta_c + 1,7} \quad (96b)$$

$$\eta_c = \frac{Re}{20,4 \lg(Re/7)} \quad (97)$$

Die angegebenen wandnormalen Wärmestromdichteverteilungen gelten für alle Prandtl-Zahlen. In Tabelle 4 sind die so gewonnenen NuBelt-Zahlen  $Nu_o$  und die mittleren Geschwindigkeiten  $\varphi_m$  den mit dem genauen numerischen Verfahren bestimmten Ergebnissen gegenübergestellt. Wie bereits beim Rohr ist auch hier die Übereinstimmung befriedigend.

### 3.2.2.3. NÄHERUNGSLÖSUNG FÜR $q_w$ =konst. UND KLEINE PRANDTL-ZAHLEN

Nach dem bereits für das Rohr (Abschnitt 3.1.2.3 ) beschriebenen Verfahren ergibt sich im vorliegenden Fall

$$\frac{d(q/q_w)}{dy^+} = \frac{\varphi [\theta + (1-\theta) F_0]}{\int_0^1 \varphi [\theta + (1-\theta) F_0] dy^+}$$

$$c = \frac{1}{\int_0^1 \varphi [\theta + (1-\theta) F_0] dy^+} - 1$$

Die Vereinfachungen für  $q_w$ =konst. und  $\vartheta_w$ =konst. führen auch bei parallelen Platten zu den Formeln (84b) und (84c). Für die Nußelt-Zahl  $Nu_0$  gelten die Gleichungen (86a) und (86b) nach Multiplikation mit dem Faktor 2, entsprechend dem gegenüber dem Rohr verdoppelten Wert für  $d_h/r_w$ . Dagegen ist die Gleichung (87c) für  $m_1$  wegen  $\eta_c$  (vgl. Glg. (78) und (97)) durch 2 zu dividieren. In Gleichung (88d) ist das Glied  $2/Nu_0$  durch  $4/Nu_0$  zu ersetzen, Glg.(88c) gilt unverändert.

Die Anwendung des Näherungsverfahrens auf die laminare Strömung ergibt für den Fall  $q_w$ =konst. eine um 7% zu hohe Nußelt-Zahl  $Nu_0$ , während für  $\vartheta_w$ =konst.  $Nu_0$  auf 5% genau ermittelt wird. Die Anpassung ist also hier noch etwas besser als beim Rohr. Dasselbe gilt auch für die turbulente Strömung, wie Tabelle 5 zeigt.

### 3.3. PARALLELE PLATTEN, ASYMMETRISCHER WÄRMEAUSTAUSCH

#### 3.3.1. LAMINARE STRÖMUNG, EXAKTE BERECHNUNG FÜR $q_w$ =konst.

Die parabolische Geschwindigkeitsverteilung lautet in den dimensionslosen Koordianten  $\varphi$  und  $y^+=1-y/h$  (s. Abb. 1f):

$$\varphi = 4 y^+(1-y^+)$$

Daraus erhält man:

$$\frac{q}{q_w} = y^{+2}(3-2y^+)$$

$$\theta = 1 - 2y^{+3} + y^{+4} \quad (98)$$

$$\theta_m = 26/35 = 0,743$$

$$Nu = 70/13 = 5,38 \quad (99)$$



Bei einseitigem Wärmeübergang ist der hydraulische Durchmesser wieder wie beim Rohr gleich dem doppelten Abstand, den die Stelle  $\partial\vartheta/\partial y=0$  von der wärmetauschenden Wand trennt. Die Nußelt-Zahl ist hier größer als der entsprechend durch 2 dividierte Wert bei symmetrischem Wärmeaustausch. Dieses Verhalten läßt sich vorhersehen, da im vorliegenden Fall die Durchsatzverteilung bezüglich des Temperaturverlaufs günstiger ist: Das Geschwindigkeitsmaximum liegt näher zu dem Gebiet, in dem sich das Temperaturprofil aufbaut, während in dem einflußloseren Bereich  $\partial\vartheta/\partial y=0$  auch  $\varphi=0$  geht. Zusammen mit den Ausführungen in Abschnitt 3.2.1 ist daraus auch zu ersehen, daß die Nußelt-Zahl höher als beim Rohr liegen muß. An dieser Stelle sei ein interessanter, auch bei turbulenter Strömung für  $Pr=0$  und alle Reynolds-Zahlen gültiger Zusammenhang beschrieben, der den asymmetrischen Wärmeaustausch bei parallelen Platten gegenüber allen anderen Wärmeübergangsbedingungen auszeichnet: Die Nußelt-Zahl  $Nu_0$  ist bei konstantem Wärmefluß für jedes symmetrische Geschwindigkeitsprofil

$$Nu_0 = 4 \quad (100)$$

Um diesen Wert zu bestimmen, ist es dabei nicht notwendig, auf den detaillierten Rechnungsgang einzugehen, wie im folgenden gezeigt wird: Aus der Wärmebilanz für die Schicht  $dy$

$$\rho c_p u \frac{\partial\vartheta}{\partial x} dy = - \frac{\partial q}{\partial y}$$

folgt, daß  $\partial q/\partial y$  durch die Symmetrie des Geschwindigkeitsprofils  $u$  ebenfalls symmetrisch zu  $y=h/2$  ist, da der axiale Temperaturgradient  $\partial\vartheta/\partial x$  für  $q_w=\text{konst.}$  nicht vom Wandabstand abhängt. Diese Tatsache hat zur Folge, daß  $q/q_w$  S-förmig um die Gerade  $q/q_w=y^+$  verläuft, wobei Rotationssymmetrie um den Punkt  $y^+=0,5$   $q/q_w=0,5$  besteht. Die Form des Geschwindigkeitsprofils bestimmt lediglich die Amplitude dieses S-Verlaufs, während das Integral  $\int (q/q_w) dy^+$  stets gleich dem Flächeninhalt des Dreiecks ist, das in der Darstellung  $q/q_w=f(y^+)$  durch die Geraden  $y^+=y_w^+$ ,  $q/q_w=0$  und  $q/q_w=y^+$  gebildet wird. Diese Fläche hat die Größe 0,5 und mit  $d_h/r_w=2$  erhält man aus Glg. (19) das obengenannte Ergebnis. Damit ist auch der Temperaturgradient an der Wand  $(d\vartheta/dy^+)_w$  unabhängig von den Strömungsverhältnissen und der Einfluß der Reynolds-Zahl bei turbulenter Strömung ( $Pr=0$ ) kommt nur im Temperaturprofil innerhalb des Strömungsquerschnitts und damit verbunden in der Größe der Mischungstemperatur  $\vartheta_m$  zum Ausdruck. Ein zu dem hier beschriebenen Fall ähnliches Verhalten findet man bei der ebenen Platte, wie in Abschnitt 3.4.3 gezeigt wird.

Es ist der Vorteil der Nußelt-Zahl  $Nu_0$  gegenüber  $Nu$ , daß für sie in vielen Fällen eindeutige Aussagen möglich sind, die auf  $Nu$  durch den Einfluß der Mischungstemperatur  $\vartheta_m$  nicht in demselben Maß ausgedehnt werden können. Auch bei experimentellen Arbeiten, in denen die Flüssigkeitstemperatur an der für die Meßgenauigkeit günstigsten Stelle  $\partial\vartheta/\partial y=0$  direkt gemessen wird, kann ohne Kenntnis von  $\vartheta_m$  nur  $Nu_0$  berechnet werden. Dagegen ist zur Berechnung des Wärmeaustausches im allgemeinen die Nußelt-Zahl  $Nu$  wertvoller, da durch die Wärmebilanz in Strömungsrichtung die Mischungstemperatur  $\vartheta_m$ , jedoch nicht die Temperatur  $\vartheta_0$  bekannt ist.

### 3.3.2. TURBULENTE STRÖMUNG

Die Berechnung der Nußelt-Zahl für den Fall  $q_w = \text{konst.}$  und  $Pr = 0$  ist bereits im vorangegangenen Abschnitt vorweggenommen. Der Vollständigkeit halber wird hier lediglich die aus dem Potenzgesetz - hier in der Form  $\varphi = (2y^+)^{1/n}$  für  $0 \leq y^+ \leq 0,5$  bzw.  $\varphi = [2(1-y^+)]^{1/n}$  für  $0,5 \leq y^+ \leq 1$  - ermittelte Flußverteilung  $q/q_w$  mitgeteilt:

$$\frac{q}{q_w} = 2^{1/n} (y^+)^{1+1/n} \quad (\text{für } 0 \leq y^+ \leq 0,5)$$

$$\frac{q}{q_w} = 1 - 2^{1/n} (1-y^+)^{1+1/n} \quad (\text{für } 0,5 \leq y^+ \leq 1)$$

Eine Näherungsrechnung für  $q_w = \text{konst.}$  und  $Pr \ll 1$  in der für das Rohr und den symmetrischen Wärmeaustausch bei parallelen Platten in Abschnitt 3.1.2.3 bzw. 3.2.2.3 beschriebenen Form ist beim asymmetrischen Wärmeaustausch nicht möglich.

### 3.4. DIE EBENE PLATTE

#### 3.4.1. DER WANDNORMALE SCHUBSPANNUNGSVERLAUF

Der Verlauf der Schubspannung  $\tau/\tau_w$  kann durch Anwendung des Impulssatzes und, unabhängig davon, durch Integration der Grenzschichtgleichung ermittelt werden.

##### a) Anwendung des Impulssatzes

Die hier gegebene Herleitung folgt einer Darstellung von Schlichting /15/ und stellt eine Erweiterung in dem Sinne dar, daß nicht nur die Wandschubspannung  $\tau_w(x)$  sondern auch der wandnormale Verlauf der Schubspannung  $\tau(y)$  innerhalb der Strömungsgrenzschicht bestimmt werden.

Abbildung 6 zeigt einen Längsschnitt durch die hydraulische und thermische Grenzschicht. Die Abschnitte OB und CB sind so gelegt, daß längs ihnen die Geschwindigkeit  $u$  bzw. die Temperatur  $\vartheta$  jeweils konstant sind. Zu jedem beliebigen Punkt B innerhalb der beiden Grenzschichten lassen sich so immer zwei eindeutig bestimmte Kurven  $u = \text{konst.}$  bzw.  $\vartheta = \text{konst.}$  finden. Eine Ähnlichkeit der  $u$ - bzw.  $\vartheta$ -Profile in Strömungsrichtung oder eine Proportionalität der hydraulischen und thermischen Grenzschichtdicken  $\delta/\delta_t = \text{konst.}$  ist nicht vorausgesetzt. Die Anwendung des Impulssatzes führt zu den in folgender Tabelle zusammengestellten Ergebnissen:

Abschnitt	Menge	x - Impuls	Enthalpie
AA1	$\int_0^h u_\infty dy$	$\rho \int_0^h u_\infty^2 dy$	$\rho c_p \int_0^h u_\infty \vartheta_\infty dy$
BB <sub>1</sub>	$-\int_y^h u dy = -\int_0^h u dy + \int_0^y u dy$	$-\rho \int_0^h u^2 dy + \rho \int_0^y u^2 dy$	$-\rho c_p \int_0^h u \vartheta dy + \rho c_p \int_0^y u \vartheta dy$
A <sub>1</sub> B <sub>1</sub>	$-\int_0^h (u_\infty - u) dy$	$-\rho u_\infty \int_0^h (u_\infty - u) dy$	$-\rho c_p \vartheta_\infty \int_0^h (u_\infty - u) dy$
u = u <sub>1</sub> : AOB ϑ = ϑ <sub>1</sub> : ACB	$-\int_0^y u dy$	$-\rho u \int_0^y u dy$	$\int_0^x q_w dx - \rho c_p \vartheta \int_0^y u dy$
Σ = Kontrollfläche	Σ Menge = 0	Σ Impuls = Widerstand	Σ Enthalpie = Wärmestrom

Tabelle 6: Impuls- und Enthalpie-Fluß durch die in Abb.6 definierten Abschnitte der Kontrollfläche an der ebenen Platte

Der wandparallele Gesamtwiderstand  $W$  längs der Fläche AOB ist gleich der Summe des Impulsflusses in x-Richtung (Breite 1)

$$W(x,y) = \rho \int_0^h u(u_\infty - u) dy + \rho \int_0^y u^2 dy - \rho u \int_0^y u dy$$

Andererseits gilt für die wandparallele Schubspannung:

$$\tau(x,y) = \frac{\partial W}{\partial x}$$

und somit erhält man nach Einführen von  $\varphi = u/u_\infty$  :

$$\begin{aligned} \frac{\tau}{\rho u_\infty^2} &= \int_0^h (1-2\varphi) \frac{\partial \varphi}{\partial x} dy + 2 \int_0^y \varphi \frac{\partial \varphi}{\partial x} dy - \varphi \int_0^y \frac{\partial \varphi}{\partial x} dy \\ &= \int_y^h (1-2\varphi) \frac{\partial \varphi}{\partial x} dy + (1-\varphi) \int_0^y \frac{\partial \varphi}{\partial x} dy \end{aligned} \quad (101a)$$

$$\frac{\tau_w}{\rho u_\infty^2} = \int_0^h (1-2\varphi) \frac{\partial \varphi}{\partial x} dy \quad (101b)$$

$$\frac{\tau}{\tau_w} = 1 - \frac{\varphi \int_0^y \frac{\partial \varphi}{\partial x} dy - 2 \int_0^y \varphi \frac{\partial \varphi}{\partial x} dy}{\int_0^h (1-2\varphi) \frac{\partial \varphi}{\partial x} dy} \quad (101c)$$

$$\frac{d(\tau/\tau_w)}{dy} = \frac{\frac{\partial \varphi}{\partial x} \left( 1 - \int_0^y \frac{\partial \varphi}{\partial x} dy \right)}{\int_0^h (1-2\varphi) \frac{\partial \varphi}{\partial x} dy} \quad (101d)$$

### b) Integration der Grenzschichtgleichung

Die Impulsgleichung in der für laminare und turbulente Strömung gültigen Form

$$u \frac{\partial u}{\partial x} + v \frac{\partial u}{\partial y} = \frac{1}{\rho} \frac{\partial \tau}{\partial y}$$

kann unter Beachtung der Kontinuitätsgleichung

$$\frac{\partial u}{\partial x} + \frac{\partial v}{\partial y} = 0 \quad (102)$$

$$v = - \int_0^y \frac{\partial u}{\partial x} dy$$

integriert werden:

$$\int_y^h \left[ u \frac{\partial u}{\partial x} - \frac{\partial u}{\partial y} \int_0^y \frac{\partial u}{\partial x} dy \right] dy = \frac{1}{\rho} \int_0^h \frac{\partial \tau}{\partial y} dy \quad (103)$$

Das zweite Glied im Integranden auf der linken Seite dieser Gleichung läßt sich nach Anpassung der unteren Integrationsgrenzen durch partielle Integration umformen:

$$\begin{aligned} \int_y^h \left[ \frac{\partial u}{\partial y} \int_0^y \frac{\partial u}{\partial x} dy \right] dy &= \int_0^h \left[ \frac{\partial u}{\partial y} \int_0^y \frac{\partial u}{\partial x} dy \right] dy - \int_0^y \left[ \frac{\partial u}{\partial y} \int_0^y \frac{\partial u}{\partial x} dy \right] dy \\ &= u_w \int_0^h \frac{\partial u}{\partial x} dy - \int_0^h u \frac{\partial u}{\partial x} dy - u \int_0^y \frac{\partial u}{\partial x} dy + \int_0^y u \frac{\partial u}{\partial x} dy \end{aligned}$$

Damit folgt aus Glg. (103):

$$-\frac{\tau}{\rho} = \int_0^h \left( u \frac{\partial u}{\partial x} - u \frac{\partial u}{\partial x} + u \frac{\partial u}{\partial x} \right) dy + u \int_0^y \frac{\partial u}{\partial x} dy - \int_0^y u \frac{\partial u}{\partial x} dy - \int_0^y u \frac{\partial u}{\partial x} dy$$

$$\frac{\tau}{\rho u_{\infty}^2} = \int_0^h (1-2\varphi) \frac{\partial \varphi}{\partial x} dy - \varphi \int_0^y \frac{\partial \varphi}{\partial x} dy + 2 \int_0^y \varphi \frac{\partial \varphi}{\partial x} dy$$

in Übereinstimmung mit Glg. (101a).

Bei laminarer Strömung stehen zwei einfache Näherungslösungen für die Geschwindigkeitsverteilung  $\varphi$  zur Verfügung, die aus einem Reihenansatz für den mit der Grenzschichtdicke  $\delta$  dimensionsfreien Wandabstand  $y$  bestehen:

$$\varphi^+ = 1,5 (y/\delta) - 0,5 (y/\delta)^3 \quad (104a)$$

$$\varphi^{++} = 2 (y/\delta) - 2 (y/\delta)^3 + (y/\delta)^4 \quad (104b)$$

Die Gleichung (104b) befriedigt zusätzlich zu den von den Gleichungen (104a) und (104b) erfüllten Bedingungen:  $\varphi_w=0$ ,  $\varphi_c=1$ ,  $[d^2\varphi/(d(y/\delta))^2]_w=0$  auch noch  $[d^2\varphi/(d(y/\delta))^2]_c=0$  und damit  $[d\tau/d(y/\delta)]_c=0$ . Beiden Gleichungen gemeinsam ist jedoch die ungenaue Wiedergabe der aus  $\tau/\tau_w = [d\varphi/d(y/\delta)]/[d\varphi/d(y/\delta)]_w$  berechneten Schubspannungsverteilung. Für diese direkte Bestimmung von  $\tau/\tau_w$  sind die Gleichungen aber auch nicht gedacht. Die folgenden Ausführungen zeigen, daß sie zur Auswertung der Integralbeziehungen (101) recht brauchbare Ansätze darstellen. Hierzu muß Glg. (101c) zuerst umgeformt werden. Es gilt:

$$\frac{\partial \varphi}{\partial x} = \frac{d\varphi}{d(y/\delta)} \frac{d(y/\delta)}{dx} = - \frac{d\varphi}{d(y/\delta)} \frac{1}{\delta} \left( \frac{y}{\delta} \right) \frac{d\delta}{dx} \quad (105)$$

Durch Einsetzen in Glg. (101c) erhält man:

$$\frac{\tau}{\tau_w} = 1 - \frac{\varphi \int_0^{y/\delta} \frac{d\varphi}{d(y/\delta)} \left( \frac{y}{\delta} \right) d\left( \frac{y}{\delta} \right) - 2 \int_0^{y/\delta} \varphi \frac{d\varphi}{d(y/\delta)} \left( \frac{y}{\delta} \right) d\left( \frac{y}{\delta} \right)}{\int_0^1 (1 - 2\varphi) \frac{d\varphi}{d(y/\delta)} \left( \frac{y}{\delta} \right) d\left( \frac{y}{\delta} \right)} \quad (106)$$

Werden die aus  $\varphi^+$  und  $\varphi^{++}$  erhaltenen Größen, wie z.B.  $\delta$  und  $\tau$ , auf dieselbe Weise unterschieden wie die Geschwindigkeitsansätze, also  $\delta^+$ ,  $\delta^{++}$  etc., so folgt nach Ausführung der einzelnen Integrationen:

$$\left(\frac{\tau}{\tau_w}\right)^+ = 1 - \frac{1}{26} \left(\frac{y}{\delta^+}\right)^3 \left[ 5 \left(\frac{y}{\delta^+}\right)^4 - 49 \left(\frac{y}{\delta^+}\right)^2 + 70 \right] \quad (107a)$$

$$\begin{aligned} \left(\frac{\tau}{\tau_w}\right)^{++} = 1 - \frac{1}{74} \left(\frac{y}{\delta^{++}}\right)^3 \left[ 56 \left(\frac{y}{\delta^{++}}\right)^6 - 252 \left(\frac{y}{\delta^{++}}\right)^5 + 270 \left(\frac{y}{\delta^{++}}\right)^4 \right. \\ \left. + 462 \left(\frac{y}{\delta^{++}}\right)^3 - 882 \left(\frac{y}{\delta^{++}}\right)^2 + 420 \right] \quad (107b) \end{aligned}$$

Mit den beiden Beziehungen für die Wandschubspannung

$$\tau_w = \rho u_\infty^2 \frac{d\delta}{dx} \int_0^1 (2\varphi-1) \frac{d\varphi}{d(y/\delta)} \left(\frac{y}{\delta}\right) d\left(\frac{y}{\delta}\right) \quad (108a)$$

und

$$\tau_w = \frac{\mu u_\infty}{\delta} \left( \frac{d\varphi}{d(y/\delta)} \right)_w \quad (108b)$$

ist die Grenzschichtdicke definiert. Die Geschwindigkeitsgesetze in der Form  $\varphi(y/\delta)$  ergeben unter der Bedingung, daß sich ihr Gültigkeitsbereich bis zur Plattenvorderkante erstreckt<sup>++</sup>:

$$\frac{\delta}{x} = \frac{\eta_\delta}{\sqrt{Re_x}} \quad (109)$$

In Gleichung (109) bedeuten  $\eta_\delta$  der dimensionslose Wandabstand

$$\eta = \sqrt{\frac{u_\infty}{\nu}} y \quad (110)$$

an der Stelle  $y=\delta$  und  $Re_x$  die mit der Lauflänge  $x$  gebildete Reynolds-Zahl

$$Re_x = \frac{u_\infty x}{\nu}$$

<sup>++</sup> Bei der Integration der Differentialgleichung für  $\delta$  ist formal am Plattenbeginn ( $x=0$ )  $\delta=0$  gesetzt, obwohl diese Stelle von der Betrachtung ausgeschlossen werden muß, da dort die Vereinfachungen, die zur Grenzschichtgleichung führten, nicht gelten.

Mit den beiden Naherungsansatzen  $\varphi^+$  und  $\varphi^{++}$  erhalt man:

$$\eta_\delta^+ = \sqrt{280/13} = 4,64$$

und

$$\eta_\delta^{++} = \sqrt{1260/37} = 5,83$$

Die exakte Rechnung ergibt, da an der Stelle  $\eta = \eta_\delta^{++} = 5,83$  die Schubspannung  $\tau/\tau_w$  auf 1% abgeklungen ist, fur  $\eta = \eta_\delta^+$  dagegen betragt dieser Wert 8,4% und an der ublicherweise als Grenzschichtdicke definierten Stelle  $\eta_\delta = 5$ , an der die Geschwindigkeit 99% ihres Endwertes erreicht, hat die Schubspannung  $\tau$  noch 4,8% ihres Maximalwertes  $\tau_w$ .

Bei turbulenter Stromung – die kritische Reynolds-Zahl  $Re_x$  liegt bei ca.  $3,2 \cdot 10^5$  – liefert das Potenzgesetz

$$\varphi = \left(\frac{y}{\delta}\right)^{1/n} \quad (111)$$

fur das Integral in Glg. (108a) den Wert  $n/[(1+n)(2+n)]$ . Die Gleichung (111) gilt in groer Wandnaher nicht, da durch sie die laminaire Unterschicht nicht berucksichtigt wird. Anstelle der Gleichung (108b) mu die Wandschubspannung  $\tau_w$  durch Messungen bestimmt werden. Die von Blasius angegebene Beziehung

$$\frac{\tau_w}{\rho u_\infty^2} = 0,0235 \left(\frac{v}{u_\infty \delta}\right)^{1/4}$$

ist bis zu Reynolds-Zahlen  $Re_x = 10^7$  durch Versuche bestatigt. Damit ergibt sich die Grenzschichtdicke zu

$$\left(\frac{\delta}{x}\right)_{\text{turb.}} = \frac{0,384}{Re_x^{1/5}}$$

sie wachst also mit der Potenz 4/5 des Abstandes  $x$  von der Platten-vorderkante an:  $\delta_{\text{turb.}} \sim x^{4/5}$ , wahrend bei laminarer Stromung  $\delta_{\text{lam.}} \sim x^{1/2}$  gilt.

Die Gleichung (106) fuhrt unter Beibehaltung des Potenzgesetzes zu folgender Schubspannungsverteilung:

$$\frac{\tau}{\tau_w} = 1 - \left(\frac{y}{\delta}\right)^{1+2/n} \quad (112)$$

Im Gegensatz zu den Ansatzen  $\varphi^+$  und  $\varphi^{++}$  bei laminarer Stromung, die beide an der Stelle  $y = \delta$  ohne Knick in  $\varphi = 1$  ubergehen, ergibt sich hier infolge der Beziehung  $[d\varphi/d(y/\delta)]_c = 1/n$  fur den  $\tau/\tau_w$ -Verlauf eine unstetige Krummung an der Stelle  $y = \delta$ :  $[d(\tau/\tau_w)/d(y/\delta)]_c = -(1+2/n)$ . Dagegen wird an der Wand die Bedingung  $[d(\tau/\tau_w)/d(y/\delta)]_0 = 0$  richtig wiedergegeben.

Die Ergebnisse dieses Abschnitts sind für die laminare Strömung in Abb.7 dargestellt. Dabei sind die Funktionen  $f(y/\delta)$  auf die einheitliche Koordinate  $\eta=(y/\delta)\eta_0$  umgerechnet.

### 3.4.2. DER WANDNORMALE WÄRMESTROMDICHTEVERLAUF

Den beiden im vorangegangenen Abschnitt zur Herleitung der Schubspannungsverteilung  $\tau/\tau_w$  beschriebenen Verfahren entsprechen bei der Bestimmung des Wärmestromdichteverlaufs  $q/q_w$  die Anwendung der Wärmestromgleichung sowie die Integration der Temperaturgrenzschichtgleichung.

#### a) Anwendung der Wärmestromgleichung

In Abb. 6 folgt die Kontrollfläche im Abschnitt CB der Linie  $\vartheta=\text{konst.}$ . Die Teilbeiträge der durch die einzelnen Abschnitte hindurchströmenden Flüssigkeitsmengen sind für die Impuls- und für die Enthalpiebetrachtung dieselben, da den beiden Kontrollflächen die Eckpunkte A, A<sub>1</sub>, B und B<sub>1</sub> gemeinsam sind (längs Ox<sub>1</sub> bzw. Cx<sub>1</sub> gilt u=0). Die Addition der Spalte "Enthalpie" in Tab.6 ergibt den Wärmefluß für die Kontrollfläche als Differenz der ein- und austretenden Wärmemengen:

$$Q = \rho c_p \left[ \int_0^h u(\vartheta_\infty - \vartheta) dy + \int_0^y u \vartheta dy - \vartheta \int_0^y u dy \right] + \int_0^x q_w dx \quad (113)$$

Die wandnormale Wärmestromdichte  $q$  längs der Fläche  $\vartheta=\text{konst.}$  ist  $q = -\partial Q / \partial x$  und durch Differentiation der Glg. (113) folgt mit  $\varphi = u/u_\infty$ :

$$\begin{aligned} \frac{q}{\rho c_p u_\infty} &= - \int_0^h \left[ \frac{\partial \varphi}{\partial x} (\vartheta_\infty - \vartheta) - \varphi \frac{\partial \vartheta}{\partial x} \right] dy - \int_0^y \left( \varphi \frac{\partial \vartheta}{\partial x} + \vartheta \frac{\partial \varphi}{\partial x} \right) dy + \vartheta \int_0^y \frac{\partial \varphi}{\partial x} dy \\ &= - \int_y^h \left[ \frac{\partial \varphi}{\partial x} (\vartheta_\infty - \vartheta) - \varphi \frac{\partial \vartheta}{\partial x} \right] dy + (\vartheta - \vartheta_\infty) \int_0^y \frac{\partial \varphi}{\partial x} dy \end{aligned} \quad (114a)$$

Mit der dimensionslosen Temperatur

$$\bar{\theta}_x(x, y) = \frac{\vartheta - \vartheta_{wb}}{\vartheta_\infty - \vartheta_{wb}} \quad (115)$$

- eine Ähnlichkeit der  $\bar{\theta}_x$ -Profile ist an dieser Stelle noch nicht vorausgesetzt- erhält man daraus:

$$\frac{q}{\rho c_p u_\infty (\vartheta_{wb} - \vartheta_\infty)} = \int_y^h \left[ (1 - \bar{\theta}_x) \frac{\partial \varphi}{\partial x} - \varphi \frac{\partial \bar{\theta}_x}{\partial x} \right] dy + (1 - \bar{\theta}_x) \int_0^y \frac{\partial \varphi}{\partial x} dy \quad (114b)$$

<sup>††</sup> Als Beispiel ist hier der Fall  $q_w = \text{konst.}$  ( $m=1$ ) gewählt. Der aus den Gleichungen (119), (121) und (131) folgende Temperaturverlauf  $\vartheta = \vartheta_\infty - (\vartheta_\infty - \vartheta_{wb})(1-\theta)(x/x_b)^{m+1/2}$  gestattet, den Ort konstanter Temperatur in der Flüssigkeit zu bestimmen. Für  $d|\vartheta_\infty - \vartheta_{wb}|/dx \leq 0$  ( $m \leq -0,5$ ) beginnen alle  $\vartheta = \text{konst.}$  an der Plattenvorderkante ( $x_c=0$ ), für  $d|\vartheta_\infty - \vartheta_{wb}|/dx > 0$  ( $m > -0,5$ ) dagegen ist dies auf  $\vartheta = \vartheta_\infty$  beschränkt, während der Ursprung der Kurven  $\vartheta = \text{konst.} \neq \vartheta_\infty$  an der Stelle  $x_c > 0$  liegt.



sowie

$$\frac{q}{q_w} = 1 - \frac{\int_0^y \left[ (1-\bar{\theta}_x) \frac{\partial \varphi}{\partial x} - \varphi \frac{\partial \bar{\theta}_x}{\partial x} \right] dy - (1-\bar{\theta}_x) \int_0^y \frac{\partial \varphi}{\partial x} dy}{\int_0^h \left[ (1-\bar{\theta}_x) \frac{\partial \varphi}{\partial x} - \varphi \frac{\partial \bar{\theta}_x}{\partial x} \right] dy} \quad (114c)$$

Für  $\bar{\theta}_x = \varphi$  besteht Identität zwischen  $q/q_w$  und  $\tau/\tau_w$  wie der Vergleich mit Glg. (101c) zeigt; dies setzt nach Glg. (115)  $\vartheta_w = \vartheta_{wh} = \text{konst.}$  voraus.

b) Integration der Temperaturgrenzschichtgleichung

Die aus der Energiegleichung abgeleitete Temperaturgrenzschichtgleichung

$$u \frac{\partial \vartheta}{\partial x} + v \frac{\partial \vartheta}{\partial y} = - \frac{1}{\rho c_p} \frac{\partial q}{\partial y}$$

(bei laminarer Strömung kann die rechte Seite durch  $a \partial^2 \vartheta / \partial y^2$ , bei turbulenter Strömung durch  $a \frac{\partial}{\partial y} [(1 + Pr^+ \epsilon_m / \nu) \partial \vartheta / \partial y]$  ersetzt werden) ergibt bei Integration in den Grenzen  $y$  und  $h$  mit Glg. (102)

$$\int_y^h \left( u \frac{\partial \vartheta}{\partial x} - \frac{\partial \vartheta}{\partial y} \int_0^y \frac{\partial u}{\partial x} dy \right) dy = \frac{q}{\rho c_p} \quad (116)$$

Wie bei der Lösung der Gleichung (103) bereits beschrieben, gilt:

$$\int_y^h \left( \frac{\partial \vartheta}{\partial y} \int_0^y \frac{\partial u}{\partial x} dy \right) dy = \vartheta_w \int_0^h \frac{\partial u}{\partial x} dy - \int_0^y \vartheta \frac{\partial u}{\partial x} dy - \vartheta \int_0^y \frac{\partial u}{\partial x} dy + \int_0^y \vartheta \frac{\partial u}{\partial x} dy$$

Dies führt nach Einsetzen in Glg. (116) mit  $\varphi = u/u_w$  zu Gleichung (114a).

### 3.4.3. DER WÄRMEÜBERGANG BEI UNVERÄNDERLICHER NUSSELT-ZAHL

Wie in Abschnitt 2.2.5 für allseits geschlossene zylindrische Begrenzung des Strömungsraumes, soll nun auch für den halbunendlichen Raum die Beschränkung auf diejenigen Fälle erfolgen, die zu einer von der Lauflänge  $x$  unabhängigen NuBelt-Zahl führen.

Die erste Voraussetzung, welche dabei zu erfüllen ist, betrifft die Bildung der NuBelt-Zahl selbst: Als charakteristische Länge

muß eine Größe gewählt werden, die im wandnormalen Temperaturprofil reproduzierbar ist. Hierfür ist die Temperaturgrenzschichtdicke  $\delta_t$  geeignet, die sich bei Temperaturverteilungen der Form  $\theta(y/\delta_t)$  aus vorgeschriebenen Randbedingungen und für  $\theta(y)$  nach freier Wahl -etwa  $y(\theta=0,99)$ - ergeben. Grundsätzlich ist auch jede aus diesen Größen durch Multiplikation mit einem beliebigen Faktor gebildete Länge zulässig. Im Umfang der hier die ebene Platte betreffenden Ausführungen wird folgende Festlegung getroffen:

$$Nu_0 = \frac{\alpha \delta_t}{\lambda} \quad (117)$$

Für den Wärmestromdichteverlauf  $q/q_w$  und die Temperaturverteilung  $\theta = (\vartheta - \vartheta_w) / (\vartheta_\infty - \vartheta_w)$  gilt wieder die Forderung, daß sie von  $x$  unabhängig sind. Dies führt mit Ausnahme des Proportionalitätsfaktors  $c$  unter Beachtung von  $\vartheta_0 = \vartheta_{0a} = \vartheta_\infty$  bzw.  $\theta_{x0} = 1$  zu den in den Gleichungen (24) bis (29) enthaltenen Beziehungen:

$$\theta_x \left( \frac{x}{x_b}, \frac{y}{\delta_t} \right) = \frac{\vartheta - \vartheta_{wb}}{\vartheta_\infty - \vartheta_{wb}} \quad (118)$$

$$\theta \left( \frac{y}{\delta_t} \right) = \frac{\vartheta - \vartheta_w}{\vartheta_\infty - \vartheta_w} \quad (119)$$

$$\theta_x \left( \frac{x}{x_b}, \frac{y}{\delta_t} \right) = (1 - \theta_{xw}) \theta + \theta_{xw} \quad (120)$$

$$\theta_{xw} \left( \frac{x}{x_b} \right) = \frac{\vartheta_w - \vartheta_{wb}}{\vartheta_\infty - \vartheta_{wb}} \quad (121)$$

Für die Konstante  $c$  erhält man:

$$c = (1 - \theta_{xw}) = \left( \frac{q_w}{q_{wb}} \right) \left( \frac{\delta_t}{\delta_{tb}} \right) \quad (122)$$

Die Bezugsgröße  $x_b$  ist ein beliebig wählbarer Wert der Lauflänge  $x$ , mit Ausnahme von  $x = x_a = 0$ . An der Stelle  $x = x_b$  gilt  $\vartheta_w = \vartheta_{wb}$  bzw.  $\theta_{xw} = 0$ . Der wandparallele Temperaturgradient  $\partial \bar{\theta}_x / \partial (x/x_b)$  läßt sich durch partielle Differentiation der Gleichung (118) berechnen:

$$\begin{aligned} \frac{\partial \bar{\theta}_x}{\partial (x/x_b)} &= \frac{\partial \theta_x}{\partial (x/x_b)} + \frac{\partial \theta_x}{\partial (y/\delta_t)} \cdot \frac{\partial (y/\delta_t)}{\partial (x/x_b)} \\ &= \frac{\partial \theta_x}{\partial (x/x_b)} - \left( \frac{x_b}{\delta_t} \right) \left( \frac{y}{\delta_t} \right) \left( \frac{d\delta_t}{dx} \right) \frac{\partial \theta_x}{\partial (y/\delta_t)} \end{aligned}$$

Für den hier vorliegenden Fall ähnlicher Temperaturprofile geht diese Gleichung mit Glg. (120) über in

$$\frac{\partial \bar{\theta}_x}{\partial (x/x_b)} = (1-\theta) \frac{d\theta_{xw}}{d(x/x_b)} - \left(\frac{x_b}{\delta_t}\right) \left(\frac{y}{\delta_t}\right) \left(\frac{d\delta_t}{dx}\right) (1-\theta_{xw}) \frac{d\theta}{d(y/\delta_t)}$$
(123)

Ersetzt man in Glg. (114c) den Wandabstand  $y$  durch  $y/\delta_t$ , so folgt mit Hilfe der Gleichungen (105), (120) und (123):

$$\frac{q}{q_w} = 1 - \frac{\int_0^{y/\delta_t} \{ \dots \} d(y/\delta_t) + (1-\theta)(1-\theta_{xw}) \left(\frac{x_b}{\delta}\right) \left(\frac{d\delta}{dx}\right) \int_0^{y/\delta_t} \left(\frac{y}{\delta}\right) \frac{d\varphi}{d(y/\delta)} d(y/\delta_t)}{\int_0^{y/\delta_t} \{ \dots \} d(y/\delta_t)}$$
(124)

Der Inhalt der geschweiften Klammer in den beiden Integralen lautet:

$$\{ \dots \} = \left\{ (1-\theta)(1-\theta_{xw}) \left(\frac{x_b}{\delta}\right) \left(\frac{y}{\delta}\right) \frac{d\delta}{dx} \frac{d\varphi}{d(y/\delta)} + \varphi \left[ (1-\theta) \frac{d\theta_{xw}}{d(x/x_b)} - \left(\frac{x_b}{\delta_t}\right) \left(\frac{y}{\delta_t}\right) \frac{d\delta_t}{dx} (1-\theta_{xw}) \frac{d\theta}{d(y/\delta_t)} \right] \right\}$$

Die  $x$ -abhängigen Größen müssen aus dieser Gleichung durch Kürzung entfernt werden. Dies läßt sich unter folgenden Voraussetzungen durchführen:

$$\frac{\delta_t}{\delta} = \text{konst.} \quad (125)$$

$$\frac{d\theta_{xw}}{d(x/x_b)} = -n \left(\frac{x_b}{\delta_t}\right) \left(\frac{d\delta_t}{dx}\right) (1-\theta_{xw}) \quad (126)$$

wobei  $n$  eine Konstante ist.

Die endgültige Form der Gleichung (124) lautet:

$$\frac{q}{q_w} = 1 - \frac{Z}{\int_0^{y/\delta_t} \left\{ \varphi \left[ n(1-\theta) + \frac{y}{\delta_t} \frac{d\theta}{d(y/\delta_t)} \right] - (1-\theta) \left( \frac{y}{\delta_t} \right) \frac{d\varphi}{d(y/\delta_t)} \right\} d\left(\frac{y}{\delta_t}\right)} \quad (128)$$

mit

$$Z = \int_0^{y/\delta_t} \left\{ \varphi \left[ n(1-\theta) + \left( \frac{y}{\delta_t} \right) \frac{d\theta}{d(y/\delta_t)} \right] - (1-\theta) \left( \frac{y}{\delta_t} \right) \frac{d\varphi}{d(y/\delta_t)} \right\} d\left(\frac{y}{\delta_t}\right) + (1-\theta) \int_0^{y/\delta_t} \left( \frac{y}{\delta_t} \right) \frac{d\varphi}{d(y/\delta_t)} d\left(\frac{y}{\delta_t}\right)$$

Die Wärmestromdichte an der Wand ergibt sich zu

$$q_w = \frac{\lambda Nu_0 (\vartheta_w - \vartheta_\infty)}{\delta_t} = \varrho c_p u_\infty (\vartheta_w - \vartheta_\infty) \frac{d\delta_t}{dx} \int_0^1 \left\{ \varphi \left[ n(1-\theta) + \left( \frac{y}{\delta_t} \right) \frac{d\theta}{d(y/\delta_t)} \right] - (1-\theta) \left( \frac{y}{\delta_t} \right) \frac{d\varphi}{d(y/\delta_t)} \right\} d\left(\frac{y}{\delta_t}\right) \quad (129)$$

Die Integration der Gleichung (126) liefert den für  $Nu_0 = \text{konst.}$  vorgeschriebenen Temperaturverlauf der Wand:

$$-\int_0^{\theta_{xw}} \frac{d\theta_{xw}}{1-\theta_{xw}} = n \int_{\delta_{tb}}^{\delta_t} \frac{d\delta_t}{\delta_t}$$

$$\theta_{xw} = 1 - \left( \frac{\delta_t}{\delta_{tb}} \right)^n$$

Bei laminarer Strömung gilt  $\delta \sim x^{1/2}$ , die Gleichung (125) fordert denselben Zusammenhang auch für die thermische Grenzschichtdicke:  $\delta_t \sim x^{1/2}$ , damit wird der Temperaturverlauf der Wand

$$\theta_{xw} = 1 - \left(\frac{x}{x_b}\right)^{n/2}$$

Die zugehörige Verteilung der Wärmestromdichte an der Wand ergibt sich aus Glg. (122) zu

$$\frac{q_w}{q_{wb}} = \left(\frac{x}{x_b}\right)^{(n-1)/2}$$

Führt man, wie bei der Kanalströmung mit konstantem Druckabfall, als Exponenten der Wärmeflußverteilung die Bezeichnung  $m$  ein, so folgen mit  $m=(n-1)/2$  die endgültigen Beziehungen für  $q_w/q_{wb}$  bzw.  $\theta_{xw}$ :

$$\frac{q_w}{q_{wb}} = \left(\frac{x}{x_b}\right)^m \quad (130)$$

und

$$\theta_{xw} = 1 - \left(\frac{x}{x_b}\right)^{m+1/2} \quad (131)$$

Diese beiden Gleichungen sind in Abb. 10 dargestellt. Die Überlegungen, die in Abschnitt 2.2.5 mit Hilfe der Abb. 2 zu den Aussagen über den Zusammenhang  $F_0$ - $Nu_0$  geführt haben, können im vorliegenden Fall sinngemäß angewandt werden: An die Stelle des Parameters  $F_0$  tritt hier die Größe  $-d\theta_{xw}/d(x/x_b) = (0,5+m)(x/x_b)^{m-0,5}$ .

Trennt die ebene Platte zwei Teilströme verschiedener Temperatur ( $\vartheta_{1\infty} \neq \vartheta_{2\infty}$ ) und geht man weiterhin davon aus, daß eine gleichförmige Anströmung  $u_{1\infty}, \vartheta_{1\infty}$  bzw.  $u_{2\infty}, \vartheta_{2\infty}$  -trotz damit bedingter Notwendigkeit einer wärmeisolierenden Trennwand zwischen den beiden Teilströmen auch stromauf der Plattenvorderkante- gewährleistet ist (etwa durch Mitbewegen der Trennwände), so können die beiden Bedingungen (130) und (131) bei Gleichstrom, nicht jedoch bei Gegenstrom erfüllt werden: Nach Abb. 10 läßt sich bei letzterem keine verträgliche Kombination von Temperatur- und Wärmestromdichteverteilung an der Wand finden.

Die Wärmestromdichte an der Wand

$$q_{w1} = -q_{w2} = k(\vartheta_{2\infty} - \vartheta_{1\infty})$$

wird bei Gleichstrom unter Beachtung der Gleichungen (117) und (46b)

$$q_{w1} = \frac{(\vartheta_{2\infty} - \vartheta_{1\infty})}{\left(\frac{d_t}{Nu \cdot \lambda}\right)_1 + \frac{s}{\lambda_w} + \left(\frac{d_t}{Nu \cdot \lambda}\right)_2}$$

Daraus folgt mit  $\delta_t \sim x^{1/2}$  für  $s/\lambda_w \ll \left(\frac{\delta_t}{Nu}\right)_1 + \left(\frac{\delta_t}{Nu}\right)_2$  :

$$\left(\frac{q_w}{q_{wb}}\right)_1 = \left(\frac{q_w}{q_{wb}}\right)_2 = \left(\frac{x}{x_b}\right)^{-1/2}$$

Durch Vergleich mit den Gleichungen (130) und (131) geht hervor, daß diese Beziehung der Randbedingung  $\theta_{xw}=1$  entspricht, die Wandtemperatur bleibt also konstant, wie zu erwarten war. Doch auch dieser Einzelfall ist nur von theoretischem Interesse, die praktische Anwendung der Gleichungen (130) und (131) bleibt auf die Fälle aufgeprägter Temperatur bzw. aufgeprägten Wärmestroms beschränkt.

Zur Berechnung der Wärmeübergangszahl  $\alpha$  bzw. der Nußelt-Zahl

$$Nu_x = \frac{\alpha x}{\lambda}$$

aus  $Nu_0$  ist noch die Kenntnis der Temperaturgrenzschichtdicke  $\delta_t$  notwendig. Aus Gleichung (129) kann diese durch Integration mit der Anfangsbedingung  $x=0, \delta_t=0$  bestimmt werden (wie bei der Strömungsgrenzschicht gilt der so gewonnene Verlauf von  $\delta_t$  im näheren Bereich der Plattenverderkante nicht). Unter Berücksichtigung von  $Re_x Pr = \rho u_w c_p x / \lambda$  erhält man:

$$\frac{\delta_t}{x} = \sqrt{\frac{2Nu_0}{Re_x Pr \int_0^1 \left\{ \varphi \left[ n(1-\theta) + \left(\frac{y}{\delta_t}\right) \frac{d\theta}{d(y/\delta_t)} \right] - (1-\theta) \left(\frac{y}{\delta_t}\right) \frac{d\varphi}{d(y/\delta_t)} \right\} d\left(\frac{y}{\delta_t}\right)}} \quad (132)$$

Aus dieser Gleichung ist zu ersehen, daß bei Ähnlichkeit der Temperaturprofile stets  $\delta_t \sim \sqrt{x}$  ist. Da andererseits  $\delta_t/\delta = \text{konst.}$  vorausgesetzt wurde, erhält man von der Lauflänge  $x$  unabhängige Nußelt-Zahlen  $Nu = \alpha \delta_t / \lambda$  nur bei laminarer Strömung, da bei turbulenter Strömung  $\delta_t \sim x^{4/5}$  gilt. Das Verhältnis von hydraulischer zu thermischer Grenzschichtdicke läßt sich nun aus den Gleichungen (109) und (132) berechnen:

$$\frac{\delta_t}{\delta} (Pr, n) = \eta_s \sqrt{\frac{Pr}{2Nu_0} \int_0^1 \left\{ \varphi \left[ n(1-\theta) + \left(\frac{y}{\delta_t}\right) \frac{d\theta}{d(y/\delta_t)} \right] - (1-\theta) \left(\frac{y}{\delta_t}\right) \frac{d\varphi}{d(y/\delta_t)} \right\} d\left(\frac{y}{\delta_t}\right)} \quad (133)$$

Die mit dem Abstand  $x$  von der Plattenvorderkante gebildete örtliche Nußelt-Zahl  $Nu_x$  ist damit bekannt:

$$Nu_x = \frac{\alpha x}{\lambda} = \frac{\alpha \delta_t}{\lambda} \frac{\delta/\delta_t}{\delta/x} = \frac{\sqrt{Re_x}}{\eta_s} (\delta/\delta_t) Nu_0 \quad (134a)$$

Definiert man eine mittlere Wärmeübergangszahl

$$\alpha_m = \frac{1}{x} \int_0^x \alpha dx$$

mit deren Hilfe der Wärmeaustausch einer Platte bis zur Stelle  $x$  berechnet werden kann, so folgt aus Glg. (134a)  $\alpha_m = 2\alpha$  oder

$$Nu_{x_m} = 2 Nu_x \quad (134b)$$

als mittlere Nußelt-Zahl.

Als Näherungsansätze für den Temperaturverlauf stehen wiederum zwei Gleichungen zur Verfügung

$$\theta^+ = 1,5 \left(\frac{y}{\delta_t^+}\right) - 0,5 \left(\frac{y}{\delta_t^+}\right)^3 \quad (135a)$$

und

$$\theta^{++} = 2 \left(\frac{y}{\delta_t^{++}}\right) - 2 \left(\frac{y}{\delta_t^{++}}\right)^3 + \left(\frac{y}{\delta_t^{++}}\right)^4 \quad (135b)$$

die als Folge der gleichwertigen Randbedingungen den Näherungen für die Geschwindigkeitsverteilung  $\varphi^+$  und  $\varphi^{++}$  entsprechen (s. Glg. (104a) bzw. (104b)).

Für die nun folgenden Berechnungen werden die Ansätze  $\varphi^+$  und  $\theta^+$  angewandt, da mit  $\varphi^{++}$  bzw.  $\theta^{++}$  die Ergebnisse zu unhandlich ausfallen und durch die dabei erzielten Verbesserungen nicht gerechtfertigt werden.

Mit der durch die Gleichung (135a) festgelegten Temperaturgrenschichtdicke  $\delta_t^+$  ergibt sich eine Nußelt-Zahl von

$$Nu_0^+ = \left[ \frac{d\theta^+}{d(y/\delta_t^+)} \right]_w = 1,5 \quad (136)$$

während der Ansatz Glg. (135b) mit  $\delta_t^{++} > \delta_t^+$  zu  $Nu_0^{++}=2,0$  führt. Der letztgenannte Wert  $Nu_0^{++}=2$  deckt sich mit dem in Abschnitt 3.3.1. für parallele Platten bei einseitigem Wärmeübergang und  $q_w = \text{konst.}$  gefundenen Wert  $Nu_0=4$ , wenn man berücksichtigt, daß dort  $d_h/r_w=2$  und bei der ebenen Platte  $d_h/r_w=1$  ist. Die Erklärung für diesen Zusammenhang ist die, daß auch bei der ebenen Platte die Wärmestromdichte  $q/q_w$  einen S-förmigen Verlauf aufweist und nun speziell beim Ansatz  $\theta^{++}$  die Fläche unter der Kurve  $(q/q_w)^{++}$  gleich derjenigen unter der Geraden  $q/q_w = 1 - (y/\delta_t^{++})$  in den Grenzen  $y/\delta_t^{++}=0$  und  $y/\delta_t^{++}=1$  ist. Eine Rotationssymmetrie wie im Fall paralleler Platten existiert jedoch sowohl für  $(q/q_w)^{++}$  als auch für den nach der exakten Rechnung ermittelten  $(q/q_w)$ -Verlauf nur näherungsweise. In diesem Zusammenhang sei noch darauf hingewiesen, daß nach der von Pohlhausen /17/ für  $\vartheta_w = \text{konst.}$  durchgeführten exakten Berechnung bei  $Pr=1$  die oben genannte Flächengleichheit für  $\eta_s = 2/0,332 = 6,024$  erfüllt wird, wie aus Glg. (134a) mit  $Nu_x(Pr=1) = 0,332 \sqrt{Re_x}$  folgt. Die mit diesem Wert  $\eta_s$  gebildete Gerade  $q/q_w = 1 - \eta_s/\eta_s$  ist in Abb.7 mit eingezeichnet und verdeutlicht die geringe Abweichung des  $q/q_w$  - bzw.

$\tau/\tau_w$ -Verlaufes von der Rotationssymmetrie um den Punkt  
 $q/q_w = \tau/\tau_w = 0,5 - \eta = \eta_\delta/2 = 3,012^{**}$

In der nun folgenden Berechnung der Funktion  $\delta/\delta_t$  ( $Pr, m$ ) mit Hilfe der Näherungen  $\varphi^+$  und  $\theta^+$  müssen bei der Auswertung des in Glg. (133) enthaltenen Integrals die beiden Fälle  $\delta/\delta_t \geq 1$  und  $\delta/\delta_t \leq 1$  getrennt behandelt werden:

$$a) \quad \delta/\delta_t \geq 1 \quad \left( Pr \geq \frac{1}{2(1+m)} \right)$$

Mit den Gleichungen (104a) und (135a) erhält man:

$$\begin{aligned} & \int_0^1 \left\{ \varphi^+ \left[ (2m+1)(1-\theta^+) + \left(\frac{y}{\delta_t}\right) \frac{d\theta^+}{d(y/\delta_t)} \right] - (1-\theta^+) \left(\frac{y}{\delta_t}\right) \frac{d\varphi^+}{d(y/\delta_t)} \right\} d\left(\frac{y}{\delta_t}\right) \\ &= \int_0^1 \left\{ \left[ 1,5 \left(\frac{\delta}{\delta_t}\right) \left(\frac{y}{\delta_t}\right) - 0,5 \left(\frac{\delta}{\delta_t}\right)^3 \left(\frac{y}{\delta_t}\right)^3 \right]^{1+2m} \left[ 1 - 1,5 \left(\frac{y}{\delta_t}\right) + 0,5 \left(\frac{y}{\delta_t}\right)^3 \right] + 1,5 \left(\frac{\delta}{\delta_t}\right) \left(\frac{y}{\delta_t}\right) \left[ 1 - \left(\frac{y}{\delta_t}\right)^2 \right] \right. \\ &\quad \left. - 1,5 \left(\frac{\delta}{\delta_t}\right) \left[ 1 - 1,5 \left(\frac{y}{\delta_t}\right) + 0,5 \left(\frac{y}{\delta_t}\right)^3 \right] \left(\frac{y}{\delta_t}\right) \left[ 1 - \left(\frac{\delta}{\delta_t}\right)^2 \left(\frac{y}{\delta_t}\right)^2 \right] \right\} d\left(\frac{y}{\delta_t}\right) \\ &= \frac{6}{280} (1+m) \left(\frac{\delta}{\delta_t}\right) \left[ 14 - \left(\frac{\delta}{\delta_t}\right)^2 \right] \end{aligned} \quad (137)$$

Unter Berücksichtigung von  $Nu_0^+/\eta_\delta^{+2} = 39/560$  ergibt sich nach Einsetzen der Glg. (137) in Glg. (133) die Bestimmungsgleichung für  $\delta/\delta_t$ :

$$Pr = \frac{13}{2(1+m) \left(\frac{\delta}{\delta_t}\right)^3 \left[ 14 - \left(\frac{\delta}{\delta_t}\right)^2 \right]} \quad (138a)$$

Unter der Voraussetzung  $(\delta_t/\delta)^2 \ll 14$  geht diese Beziehung über in

$$\left(\frac{\delta}{\delta_t}\right)^+ = \sqrt[3]{\frac{28}{13} (1+m) Pr} \approx \sqrt[3]{2(1+m) Pr} \quad (139a)$$

Eine zweite Näherung, die dann auch den Bereich  $2(1+m)Pr \rightarrow 1$  besser erfaßt, erhält man durch Substitution des Gliedes  $(\delta_t/\delta)^2$  in Gleichung (138a) mit Hilfe der ersten Näherung (139a):

$$\left(\frac{\delta}{\delta_t}\right)^+ = \sqrt[3]{2(1+m) Pr \left\{ 14 - [2(1+m) Pr]^{-2/3} \right\} / 13} \quad (139b)$$

\*\*Dieses Verhalten ist weiterhin der Grund dafür, daß bei formaler Anwendung des Näherungsansatzes (79b) - wegen  $\varphi_m = \theta_m = 1$  wird gemäß Glg. (84c)  $c=0$  und damit  $q/q_w = y^+ = 1 - y/\delta_t = 1 - \eta/\eta_\delta$  - die Nußelt-Zahl  $Nu_0$  ebenfalls den Wert 2 ergibt, obwohl dieses Verfahren im vorliegenden Fall sinnvoller Grundlagen entbehrt.



Für die örtliche NuBelt-Zahl  $Nu_x$  gem. Glg.(134a) folgt daher:

$$Nu_x^+ = 0,324 \sqrt[2]{Re_x} \sqrt[3]{2(1+m)Pr \left\{ 14 - [2(1+m)Pr]^{-2/3} \right\} / 13} \quad (140a)$$

Die aus der exakten Lösung für konstante Wandtemperatur abgeleitete Näherung  $Nu_x = 0,332 \sqrt[2]{Re_x} \sqrt[3]{Pr}$  wird durch vorstehende Gleichung für  $m = -1/2$  und bei Vernachlässigung des Gliedes  $[2(1+m)Pr]^{-2/3}$  wiedergegeben. Die Prandtl-Zahl, für die sich der Verlauf der thermischen und hydraulischen Grenzschichtdicke deckt, kann aus Gleichung (139b) ermittelt werden:

$$Pr(\delta = \delta_t) = \frac{0,5}{1+m} \quad (141)$$

Hieraus erkennt man, daß für  $Pr=1$  die Grenzschichtdicken für Temperatur und Geschwindigkeit nur dann übereinstimmen, wenn  $m = -1/2$ , d.h.  $\vartheta_w = \text{konst.}$  ist (vorausgesetzt natürlich, daß  $\delta$  und  $\delta_t$  in derselben Weise definiert sind).

$$b) \quad \delta/\delta_t \leq 1 \quad \left( Pr \leq \frac{1}{2(1+m)} \right)$$

Hier muß bei der Integration innerhalb der Grenzen  $y/\delta_t = 0$  und  $y/\delta_t = 1$  berücksichtigt werden, daß für  $y/\delta_t \geq \delta/\delta_t$  die Geschwindigkeit  $\varphi = 1$  ist:

$$\int_0^1 \{ \dots \} d\left(\frac{y}{\delta_t}\right) = \int_0^{\delta/\delta_t} \{ \dots \} d\left(\frac{y}{\delta_t}\right) + \int_{\delta/\delta_t}^1 \left[ (1-\theta) \left( m - \frac{y}{\delta_t} \cdot \frac{d\varphi}{d(y/\delta_t)} + \frac{y}{\delta_t} \cdot \frac{d\theta^+}{d(y/\delta_t)} \right) \right] d\left(\frac{y}{\delta_t}\right)$$

(Der Inhalt der geschweiften Klammer ist identisch mit demjenigen in Glg.137.) Die Auflösung dieser Gleichung liefert:

$$Pr = \frac{13 \left(\frac{\delta}{\delta_t}\right)^2}{2(1+m) \left[ 35 - 35 \left(\frac{\delta}{\delta_t}\right) + 14 \left(\frac{\delta}{\delta_t}\right)^2 - \left(\frac{\delta}{\delta_t}\right)^4 \right]} \quad (138b)$$

Führt man wiederum für das Glied  $(\delta/\delta_t)^4$ , welches nur bei Werten  $2(1+m)Pr$  nahe eins von Bedeutung ist, die dort gültige Näherung (139a) ein, so läßt sich das Verhältnis der Grenzschichtdicken  $\delta/\delta_t$  explizit angeben:

$$\frac{\delta}{\delta_t} = \frac{5}{4 \left[ \frac{13}{28(1+m)Pr} - 1 \right]} \left( \sqrt[2]{1 + \frac{8}{5} \left\{ 1 - \frac{[2(1+m)Pr]^{4/3}}{35} \right\} \left[ \frac{13}{28(1+m)Pr} - 1 \right] - 1} \right) \quad (139c)$$

Die damit berechenbare NuBelt-Zahl

$$\text{Nu}_x^+ = \frac{0,405 \sqrt{\text{Re}_x}}{13/[28(1+m)\text{Pr}]} \left( \sqrt{1 + \frac{8}{5} \left[ 1 - \frac{[2(1+m)\text{Pr}]^{4/3}}{35} \left[ \frac{13}{28(1+m)\text{Pr}} - 1 \right] \right)} - 1 \right) \quad (140b)$$

stimmt für  $m=-0,5$  sehr gut mit der von E.Eckert /16/ durch Integration der Grenzschichtgleichung und Anwendung auf den Fall  $\vartheta_w=\text{konst.}$ ,  $\text{Pr}<0$ ,  $\varphi=\varphi^+$  und  $\theta=\theta^+$  hergeleiteten Beziehung

$$\left( \text{Nu}_x^+ \right)_E = \frac{\sqrt{\text{PrRe}_x}}{1,55 \sqrt{\text{Pr}} + 3,09 \sqrt{0,372 - 0,15 \text{Pr}}}$$

überein, ohne daß die beiden Gleichungen jedoch identisch sind. Die durch dasselbe Verfahren wie Eckert von Kutateladze /18/ für  $\vartheta_w=\text{konst.}$ ,  $\text{Pr}<0$ ,  $\varphi=\varphi^{++}$  sowie  $\theta=\theta^{++}$  aufgestellte Formel

$$\left( \text{Nu}_x^+ \right)_K = 0,55 \sqrt{(1-\text{Pr}^{1/3}) \text{PrRe}_x}$$

ist mit den beiden vorstehend erwähnten Gleichungen für kleine Prandtl-Zahlen ( $\text{Pr}<0,1$ ) ebenfalls in guter Übereinstimmung, während mit Annäherung an  $\text{Pr}=1$  die bei der Herleitung vernachlässigten Glieder zweiter und höherer Ordnung von  $\delta/\delta_1$  zu Abweichungen führen. Für  $(1+m)\text{Pr}>4$  kann in Glg. (140a) das Glied  $[2(1+m)\text{Pr}]^{-2/3}$ , und für  $(1+m)\text{Pr}<0,4$  in Glg. (140b) das Glied  $[2(1+m)\text{Pr}]^{4/3}$  entfallen.

In Abb.8 ist der Verlauf der Kurve  $\delta_1/\delta$  gemäß den Gleichungen (138a) und (138b) in Abhängigkeit von  $2(1+m)\text{Pr}$  dargestellt. Die dabei zum Vergleich in das Gebiet  $2(1+m)\text{Pr}<1$  verlängerte Gerade  $[2(1+m)\text{Pr}]^{1/3}$  macht die Abweichungen von der für  $2(1+m)\text{Pr}>1$  zulässigen Näherung deutlich.

Die für  $m=-0,5$  ( $\vartheta_w=\text{konst.}$ ) aus den Gleichungen (138a), (138b) und (134a) berechneten NuBelt-Zahlen  $\text{Nu}_x^+$  sind in Tabelle 7 den von Pohlhausen (neuerdings für  $\text{Pr}<0,6$  ergänzt, s./18/) nach dem exakten Verfahren ermittelten Werten in der Form  $\text{Nu}_x/(\text{Re}_x^{1/2}\text{Pr}^{1/3})$  gegenübergestellt. Die Übereinstimmung erweist sich als recht befriedigend, wobei allerdings -bedingt durch eine leichte Streuung der unter a) aufgeführten Wertepaare- die gegenseitigen Abweichungen etwas unregelmäßig über den Bereich der Prandtl-Zahlen verteilt sind.

Für Temperatur- und Wärmeflußdichteverteilungen der in Glg.(130) bzw. (131) angegebenen Form wurden bereits von Sugawara /20/ und Sparrow / Lin /4/ exakte Lösungen ermittelt. Nach numerischer Aus-

wertung im Bereich  $0,7 \leq Pr \leq 100$  und  $0 \leq m \leq 10$  fand Sparrow, daß sich die Ergebnisse auf 2% genau durch die Gleichung

$$\frac{Nu_x}{Re_x^{1/2} Pr^{1/3}} = c(1+m)^{3/8}$$

annähern lassen, wobei  $c$  ein schwach von der Prandtl-Zahl abhängiger Proportionalitätsfaktor ist, der Werte zwischen 0,45716 für  $Pr=0,7$  und 0,46363 für  $Pr=100$  annimmt. Innerhalb der angeführten Grenzen für  $m$  und  $Pr$  gilt  $Pr \geq 0,5/(1+m)$  und somit erhält man für die hier abgeleiteten Beziehungen, wenn man sich auf die Näherung  $Nu_x^+ = 0,324 \sqrt[4]{Re_x^+} \sqrt[3]{2(1+m)Pr}$  beschränkt:

$$\frac{Nu_x}{Re_x^{1/2} Pr^{1/3}} = 0,408(1+m)^{1/3} \quad (142)$$

In Abb.9 ist diese Gleichung zusammen mit der exakten Lösung dargestellt. Wie man sieht, geht mit zunehmender Abkehr von der Randbedingung  $\vartheta_w = \text{konst.}$  auch der Genauigkeitsgrad der Näherung  $Nu_x^+$  zurück. Dies ist verständlich, da das zugrundegelegte Temperaturprofil  $\theta^+$  lediglich gewisse Voraussetzungen an der Wand sowie an der Stelle  $y = \delta_t$  befriedigt, im Innern der thermischen Grenzschicht erfolgt eine Anpassung jedoch nicht. Daher kann auch z.B. das Völligerwerden des  $\theta$ -Profils mit ansteigendem  $m$ , bedingt durch die Verlagerung des konvektiven Wärmetransports in wandnähere Schichten, nicht zum Ausdruck kommen. Daß die beste Übereinstimmung zwischen der Näherungsrechnung und der exakten Lösung in der Nähe von  $m = -0,5$ , d.h. für  $\vartheta_w = \text{konst.}$  besteht, hängt mit der Sonderstellung zusammen, die der Fall mit konstanter Wandtemperatur bei der laminar längsangeströmten ebenen Platte einnimmt: Identität der Geschwindigkeitsverteilung  $\varphi$  mit der Temperaturverteilung  $\theta$ . Um dieses Verhalten näher zu erläutern, bedarf es einiger zusätzlicher Betrachtungen über die Randbedingungen des Temperaturprofils an der Wand.

Die Grenzschichtgleichung des Temperaturfeldes

$$u \frac{\partial \vartheta}{\partial x} + v \frac{\partial \vartheta}{\partial y} = a \frac{\partial^2 \vartheta}{\partial y^2} \quad (143a)$$

liefert zusammen mit den Haftbedingungen

$$y=0: \quad u=v=0 \quad \vartheta = \vartheta_w$$

die zweite Ableitung des Temperaturprofils an der Wand

$$\left( \frac{\partial^2 \vartheta}{\partial y^2} \right)_w = 0$$

Um die höheren Ableitungen nach  $y$  zu erhalten, ist die Gleichung (143a) zu differenzieren:

$$\frac{\partial u}{\partial y} \frac{\partial \vartheta}{\partial x} + u \frac{\partial^2 \vartheta}{\partial y \partial x} + \frac{\partial v}{\partial y} \frac{\partial \vartheta}{\partial y} + v \frac{\partial^2 \vartheta}{\partial y^2} = a \frac{\partial^3 \vartheta}{\partial y^3}$$

Berücksichtigt man die Kontinuitätsgleichung (102), so folgt mit den obengenannten Haftbedingungen für die dritte Ableitung an der Wand:

$$\left( \frac{\partial^3 \vartheta}{\partial y^3} \right)_w = \frac{1}{a} \left( \frac{\partial u}{\partial y} \right)_w \frac{d\vartheta_w}{dx} \quad (144a)$$

Diese Gleichung lautet in dimensionsloser Form<sup>++</sup>:

$$\left( \frac{d^3 \theta}{[d(y/\delta_t)]^3} \right)_w = \frac{\vartheta_\infty - \vartheta_{wb}}{\vartheta_\infty - \vartheta_w} \frac{u_\infty \delta_t^3}{a \delta x_b} \left( \frac{d\varphi}{d(y/\delta)} \right)_w \frac{d\theta_{xw}}{d(x/x_b)} \quad (144b)$$

Durch Umgruppierung und Einführung der Reynolds- und Prandtl-Zahl sowie mit Hilfe der Gleichung (131) ergibt sich daraus:

$$\left( \frac{d^3 \theta}{[d(y/\delta_t)]^3} \right)_w = - (0,5+m) \text{Re}_x \text{Pr} \left( \frac{\delta_t}{x} \right)^2 \frac{\delta_t}{\delta} \left( \frac{d\varphi}{d(y/\delta)} \right)_w \quad (144c)$$

Die thermische Grenzschichtdicke  $\delta_t/x$  läßt sich aus Glg. (132) bestimmen. Führt man diese Berechnung wiederum mit den Näherungsansätzen (104a) und (135a) durch, so erhält man für  $\text{Pr} \geq 0,5/(1+m)$  mit den Gleichungen (136) und (137) (unter Vernachlässigung des Gliedes  $(\delta_t/\delta)^2$  gegenüber dem Zahlenwert 14):

$$\left( \frac{d^3 \theta}{[d(y/\delta_t)]^3} \right)_w^+ = - \frac{15}{2} \cdot \frac{1+2m}{1+m} \quad (145a)$$

Es zeigt sich nun, daß die Beziehung (144c) - die also zusätzlich zu erfüllen ist, um eine Anpassung an den Wärmefluß längs der Wand zu erfassen - im Fall der angenäherten Temperaturverteilung  $\theta^+$  nur von dem Wert  $m = -3/8$  befriedigt wird. Dieser Wert liegt jedoch andererseits verhältnismäßig nahe dem exakten Wert  $m = -0,5$ ,

<sup>++</sup> Aus den Gleichungen (119) und (120) folgt z.B.:

$$\frac{\partial \vartheta}{\partial x} = \frac{\vartheta_\infty - \vartheta_{wb}}{x_b} \frac{d\theta_{xw}}{d(x/x_b)} (1-\theta) - \frac{\vartheta_\infty - \vartheta_w}{\delta_t} \left( \frac{y}{\delta_t} \right) \frac{d\theta}{d(y/\delta_t)}$$

wobei an der Wand  $\theta=0$  und  $(y/\delta_t)=0$  zu setzen ist.

sodaß die Abweichung von  $[d^3\theta^+/\delta(y/\delta_t)]_w = -3$  gegenüber dem vorgeschriebenen Wert null noch nicht sehr ins Gewicht fällt, wie nachzuweisen war.

Für andere Näherungsansätze als die hier gewählten  $\varphi^+$  und  $\theta^+$  bleibt die Proportionalität  $[d^3\theta^+/\delta(y/\delta_t)]_w \sim (1+2m)/(1+m) [d\varphi/d(y/\delta)]_w$  erhalten, solange nur Identität zwischen den Gleichungen  $\varphi(y/\delta)$  und  $\theta(y/\delta_t)$  besteht. Mit zunehmender Güte der Näherung  $\varphi(y/\delta) = \theta(y/\delta_t)$  rückt lediglich der Wert  $m$  aus Gleichung (144c) gegen  $-0,5$ , während für  $m \neq -0,5$  zur Erfüllung der Glg. (144c) Temperaturprofile  $\theta(y/\delta_t) = \varphi(y/\delta)$  vorgeschrieben sind. Letztere hängen dann außer von  $m$  auch noch leicht von der Prandtl-Zahl ab.

Die dritte Ableitung des Temperaturprofils an der Wand nimmt für  $m > -0,5$  positive und für  $m < -0,5$  negative Werte an. Zusammen mit der bei ebenen Wänden stets gültigen Beziehung  $(\partial^2\theta/\partial v^2)_w = 0$  geht daraus weiterhin hervor, daß die Temperaturverteilungen für Wärmefluß- bzw. Wandtemperaturverteilungen mit  $m < -0,5$  einen Wendepunkt im Strömungsinne aufweisen. Man findet also bei der längsangeströmten ebenen Platte das bereits bei parallelen Platten gewonnene Ergebnis wieder, daß die Randbedingung  $\theta_w = \text{konst.}$  die Fälle mit Wendepunkt von denen ohne Wendepunkt im Temperaturprofil trennt. Ein grundsätzlicher Unterschied bleibt jedoch bestehen: Die Lage des Wendepunktes  $y/\delta_t = (y/\delta_t)_n$  gibt bei der laminar angeströmten ebenen Platte nicht den Ort unveränderlicher Temperatur  $y = (y/\delta_t)_n \delta_t$  an, wie dies bei der laminaren Strömung zwischen parallelen Platten der Fall ist.

Für abnehmende Exponenten  $m < -0,5$  rückt der Wendepunkt  $d^2\theta/\delta(y/\delta_t)^2 = 0$  mehr und mehr in das Strömungsinne, der Temperaturgradient  $d\theta/d(y/\delta_t)$  an der Wand nimmt dabei zunehmend kleinere Werte an, um bei einem bestimmten unteren Grenzwert  $m_g$  - für die hier angegebene Näherung bei  $m_g = -1$ , für die exakte Lösung etwas oberhalb dieses Wertes und schwach von der Prandtl-Zahl abhängig - ganz zu verschwinden. In diesem Fall geht der Wärmeaustausch an der Wand gegen null, wie aus Glg. (140a) bereits hervorging, und das Temperaturprofil verliert physikalisch seinen Sinn. Denn im Gegensatz zu der Kanalströmung mit linearem Druckgradienten (s. Abschnitt 2.2.5) gibt die so erhaltene Temperaturverteilung mit zwei horizontalen Tangenten nicht mehr die Vorgänge beim Temperaturengleich längs einer wärmeundurchlässigen Wand nach vorausgegangenem Wärmeaustausch wieder. Der Grund hierfür liegt darin, daß die nach Glg. (125) geforderte Proportionalität  $\delta_t \sim \delta$  nicht mehr besteht. Damit sind aber auch die für noch kleinere Werte von  $m$  zu erwartenden negativen Temperaturgradienten  $d\theta/d(y/\delta_t)$  an der Wand nicht mehr realisierbar. Temperaturprofile solcher Art, die innerhalb des Strömungsquerschnitts ein Optimum  $d\theta/dy = 0$  aufweisen, kommen zwar bei Richtungsumkehr des Wärmeaustausches vor, sie sind jedoch nicht ähnlich.

Zu den beiden Gleichungen (140a) und (140b) lassen sich noch einige Bemerkungen anschließen. Im Fall  $2(1+m)Pr \gg 1$  vollzieht sich der Wärmeaustausch vornehmlich in dem Gebiet, in welchem die Geschwindigkeit linear mit dem Wandabstand  $y/\delta$  ansteigt. Wiederholt man die unter a) beschriebenen Berechnungen dementsprechend mit  $\varphi_a^+ = 1,5(y/\delta_t)(\delta/\delta_t)$ , so erhält man die Lösung Glg. (140a), d.h.  $Nu_x^+ \sim Pr^{1/3}$ . Die Vernachlässigung von  $(\delta_t/\delta)^2$  in Glg. (138a), die zu Glg. (140a) führte, entspricht also der Beschränkung auf das Geschwindigkeitsprofil  $\varphi_a^+$ . Ist dagegen  $2(1+m)Pr \ll 1$ , so findet der überwiegende Teil der Wärmeübertragung außerhalb der hydrodynamischen Grenzschicht statt. Wiederholt man die unter b) durchgeführten Berechnungen mit  $\varphi_b = 1$  innerhalb der gesamten thermischen Grenzschicht, so folgt daraus  $Nu_x^+ = 1,5(1+m)PrRe_x$ , d.h.  $Nu_x^+ \sim Pr^{1/2}$ . Dieser Zusammenhang ist auch aus Glg. (140b) für genügend kleine Werte von  $2(1+m)Pr$  ersichtlich.

Zum Abschluß dieses Abschnittes soll noch die Differentialgleichung für die Temperaturverteilung in der Form  $\theta(\eta, m, Pr)$  hergeleitet werden. Die Grenzschichtgleichung (143a) geht für die dimensionslose Temperatur  $\theta_x(x/x_b, \eta) = (\vartheta - \vartheta_{wb}) / (\vartheta_\infty - \vartheta_{wb})$  über in:

$$\frac{u}{x_b} \frac{\partial \theta_x}{\partial (x/x_b)} + v \frac{\partial \theta_x}{\partial \eta} \frac{\partial \eta}{\partial y} = a \frac{\partial^2 \theta_x}{\partial \eta^2} \left( \frac{d\eta}{dy} \right)^2 \quad (143b)$$

Der Differentialquotient  $d\eta/dy$  läßt sich aus Glg. (110) berechnen, für die Geschwindigkeiten  $u$  und  $v$  werden die bekannten Beziehungen

$$u = u_\infty \frac{df}{d\eta} \quad (146a)$$

und

$$v = \frac{1}{2} \sqrt{\frac{\nu u_\infty}{x}} \left( \eta \frac{df}{d\eta} - f \right) \quad (146b)$$

eingesetzt, wobei die Funktion  $f(\eta)$  in Tabellen vorliegt (erstmalig berechnet von Blasius /21/). Für die Temperaturprofile  $\theta_x$  wird wiederum Ähnlichkeit vorausgesetzt, die Gleichungen (110) und (120) ergeben:

$$\frac{\partial \theta_x}{\partial (x/x_b)} = (1-\theta) \frac{d\theta_{xw}}{d(x/x_b)} - (1-\theta_{xw}) \frac{\eta}{2(x/x_b)} \frac{d\theta}{d\eta}$$

sowie

$$\frac{\partial \theta_x}{\partial \eta} = (1-\theta_{xw}) \frac{d\theta}{d\eta}$$

Die Umformung der Gleichung (143b) kann nun vorgenommen werden, was zu folgendem Ergebnis führt:

$$\frac{df}{d\eta} \left[ \frac{1-\theta}{1-\theta_{xw}} \frac{x}{x_b} \frac{d\theta_{xw}}{d(x/x_b)} - \frac{\eta}{2} \frac{d\theta}{d\eta} \right] + \frac{1}{2} \left( \frac{df}{d\eta} - f \right) \frac{d\theta}{d\eta} = \frac{1}{Pr} \frac{d^2 \theta}{d\eta^2} \quad (147)$$

Die Temperatur  $\theta$  ist nach der getroffenen Voraussetzung unabhängig von  $x$ , folglich muß

$$\frac{x/x_b}{1-\theta_{xw}} \frac{d\theta_{xw}}{d(x/x_b)} = \text{konst.} = -n/2 = -(0,5+m)$$

sein. Die Integration dieser Gleichung ergibt den bereits durch Glg. (131) vorgeschriebenen Temperaturverlauf der Wand, und damit lautet die Differentialgleichung für die Temperatur  $\theta(\eta, m, Pr)$ :

$$\frac{d^2\theta}{d\eta^2} + \frac{\text{Pr}}{2} \left[ f \frac{d\theta}{d\eta} + (1+2m) \cdot (1-\theta) \frac{df}{d\eta} \right] = 0 \quad (148)$$

Durch das zusätzliche Glied  $\text{Pr}(0,5+m)(1-\theta)df/d\eta$  läßt sich der Temperaturverlauf nicht mehr explizit in der Form  $\theta(\eta, m, \text{Pr})$  darstellen, wie dies für die Randbedingung  $\vartheta_w = \text{konst.}$  der Fall ist /17/:

$$\theta = \frac{\int_0^{\eta} e^{-\frac{\text{Pr}}{2} \int_0^{\eta} f d\eta} d\eta}{\int_0^{\infty} e^{-\frac{\text{Pr}}{2} \int_0^{\eta} f d\eta} d\eta}$$

Die Geschwindigkeit  $\varphi$  gehorcht der Differentialgleichung

$$\frac{d^2\varphi}{d\eta^2} + \frac{1}{2} f \frac{d\varphi}{d\eta} = 0 \quad (149)$$

daher sind für  $\text{Pr}=1$  und  $m=-0,5$ , d.h.  $\vartheta_w = \text{konst.}$ , die Differentialgleichungen (148) und (149) für  $\theta$  und  $\varphi$  identisch, und aus den gemeinsamen Randbedingungen

$$\eta = 0 \quad : \quad f = \varphi = \theta = 0$$

$$\eta = \infty \quad : \quad \varphi = \theta = 1$$

folgt die Übereinstimmung der  $\varphi$ - und  $\theta$ -Profile. Daß diese Identität jedoch nur in dem einen Fall der laminaren Plattenströmung bei  $\text{Pr}=1$  und  $\vartheta_w = \text{konst.}$  besteht, wird in der Literatur nicht immer genügend hervorgehoben.

### 3.5. DER RINGSPALT

#### 3.5.1. LAMINARE STRÖMUNG

##### 3.5.1.1. FORMELN FÜR STRÖMUNGSMECHANISCHE GRÖSSEN

Zur Darstellung der über den Strömungsquerschnitt veränderlichen Größen  $\tau/\tau_w$ ,  $\psi$  und  $\epsilon_m/\nu$  empfiehlt es sich, den dimensionslosen "Mitte"-Abstand  $z_i^+$  einzuführen:

$$z_i^+ = \frac{r-r_c}{r_i-r_c} \quad (150)$$

(Im Folgenden wird die Stelle  $r=r_c$ ,  $du/dr=0$  vereinfachend als Mitte und die beiden Abschnitte, die sie im Strömungsquerschnitt trennt, entsprechend als innere Hälfte 1 ( $r_c > r > r_1$ ) bzw. äußere Hälfte 2 ( $r_2 > r > r_c$ ) des Ringspalts bezeichnet, auch wenn diese Ausdrücke nur im Grenzfall paralleler Platten sinnvoll sind.) Den Radius  $r_c$  am Ort des Geschwindigkeitsmaximums erhält man aus der Gleichung

$$\frac{r_c}{r_2} = \sqrt{\frac{1-(r_1/r_2)^2}{\ln(r_2/r_1)^2}} \quad (151)$$

#### a) Die Schubspannungsverteilung

Die Gleichung für den Schubspannungsverlauf bei laminarer und turbulenter Strömung

$$\frac{\tau_i}{\tau_{wi}} = \frac{r^2 - r_c^2}{r_i^2 - r_c^2} \cdot \frac{r_i}{r} \quad (151a)$$

läßt sich mit  $z_i^+ = (r-r_c)/(r_i-r_c)$  wie folgt ausdrücken:

$$\frac{\tau_i}{\tau_{wi}} = \frac{1}{1+r_c/r_i} \left( 1 + \frac{1}{1+(r_i/r_c-1)z_i^+} \right) z_i^+ \quad (151b)$$

Die maximale Abweichung vom linearen Verlauf  $\tau/\tau_{wi} = z_i^+$ , wie er beim Rohr und bei parallelen Platten vorliegt, befindet sich an der Stelle

$$z_i^+ = \frac{1}{\sqrt{r_i/r_c} + 1}$$

und beträgt dort

$$\frac{\tau_i}{\tau_{wi}} - z_i^+ = \frac{r_c/r_i}{1-(r_c/r_i)^2} \left( 1 - \sqrt{r_c/r_i} \right)^2$$



Für die innere Ringspalthälfte ( $r_i=r_1$ ) nimmt diese größte Abweichung mit abnehmendem Halbmesserverhältnis  $r_1/r_2$  stetig zu, während sie in der äußeren Ringspalthälfte ( $r_i=r_2$ ) ein Maximum durchläuft: Die Abweichungen verschwinden in den beiden Extremfällen  $r_1/r_2=1$  (parallele Platten) und  $r_1/r_2=0$  (Rohr). Das Radienverhältnis  $(r_c/r_2)_n$ , für welches sich in der Ringspalthälfte 2 die größtmögliche Abweichung ergibt, läßt sich aus der Gleichung

$$\frac{1-(r_c/r_2)_n^2}{1/\sqrt{(r_c/r_2)_n}-1} - \left(\frac{r_c}{r_2}\right)_n^2 = 1$$

bestimmen zu  $(r_c/r_2)_n=0,296$ , dem gem. Glg. (151)  $r_1/r_2=0,00327$  entspricht. Die maximale Abweichung zwischen dem  $(\tau/\tau_w)_2$ - und dem linearen Verlauf, die an der Stelle  $z_2^+=0,3524$  liegt, beträgt 19%.

In Abb. 20 ist die Schubspannungsverteilung  $(\tau/\tau_w)_i$  für verschiedene Werte von  $r_1/r_2$  dargestellt.

#### b) Der Geschwindigkeitsverlauf

Die dimensionslose Geschwindigkeit  $\varphi = u/u_c$  ergibt sich durch Integration der Gleichung

$$\frac{\tau_i}{\tau_{wi}} = \frac{d\varphi / dz_i^+}{(d\varphi / dz_i^+)_w}$$

mit Hilfe der Substitution

$$y_i^+ = \frac{r_c}{r_i} + \left(1 - \frac{r_c}{r_i}\right) z_i^+ \quad (152)$$

zu:

$$\varphi\left(\frac{r_i}{r_c}, y_i^+\right) = \frac{\ln y_i^{+2} - \left(\frac{r_i}{r_c}\right)^2 (y_i^{+2} - 1)}{\ln \left(\frac{r_c}{r_i}\right)^2 + \left(\frac{r_i}{r_c}\right)^2 - 1} \quad (153)$$

Daraus erhält man für die mittlere Geschwindigkeit in den beiden Ringspalthälften  $\varphi_{mi}=u_{mi}/u_c$ :

$$\varphi_{mi} = \frac{1}{1-(r_c/r_i)^2} \int_{r_c/r_i}^1 \varphi y_i^+ dy_i^+$$

$$= \frac{(r_i/r_c)^2/2 + (r_c/r_i)^2 [3/2 - \ln(r_c/r_i)^2] - 2}{[1 - (r_c/r_i)^2][\ln(r_c/r_i)^2 + (r_i/r_c)^2 - 1]} \quad (154a)$$

und für den Gesamtquerschnitt:

$$\varphi_{m12} = \frac{0,5(r_1/r_c)^2 + 0,5(r_2/r_c)^2 - 1}{\ln(r_c/r_1)^2 + (r_1/r_c)^2 - 1} \quad (154b)$$

Für den Widerstandsbeiwert  $\zeta$  hat Bailey /9/ folgende Gleichung hergeleitet:

$$\zeta_{12} = \frac{64}{Re} \frac{(r_2/r_1 - 1)^2}{1+(r_2/r_1)^2 - [(r_2/r_1)^2 - 1]/\ln(r_2/r_1)} \quad (155)$$

die für das Rohr in die bekannte Formel  $\zeta=64/Re$  und für parallele Platten in  $\zeta=96/Re$  übergeht.

Abbildung 11 gibt  $r_c/r_2$ ,  $\varphi_m$  und  $\zeta Re$  in Abhängigkeit vom Radienverhältnis  $r_1/r_2$  wieder. Die zusätzlich eingetragenen Tangenten entsprechen der Anwendung der bei parallelen Platten gültigen Beziehungen auf den Ringspalt und zeigen, daß die Abweichungen von den genauen Kurven für  $r_1/r_2 > 0,1$  verhältnismäßig gering sind. Insbesondere der Übergang zu den beim Rohr gültigen Werten:  $r_c/r_2=0$ ,  $\varphi_m=0,5$  und  $\zeta Re=64$  wird erst bei unmittelbarer Annäherung an  $r_1/r_2=0$  deutlich.

### 3.5.1.2. EXAKTE BERECHNUNG FÜR $q_w$ -KONST.

In den folgenden Ausführungen wird der besseren Übersichtlichkeit wegen auf die allgemeine Darstellung mit dem unbestimmten Index  $i$  verzichtet und die Berechnungen für den speziellen und bedeutend wichtigeren Fall durchgeführt, daß der Wärmeübergang am inneren Zylinder 1 stattfindet und der äußere Zylinder 2 wärmeisoliert ist. Die Gleichungen sind jedoch so aufgebaut, daß bei Wärmeaustausch am äußeren Zylinder 2 lediglich die Indices 1 und 2 zu

vertauschen sind. In Abschnitt e) ist dann noch der Fall behandelt, daß beide Wände am Wärmeaustausch beteiligt sind, wobei als Anwendungsbeispiel die Bedingung  $r_0=r_c$ , d.h. das örtliche Zusammenfallen von Geschwindigkeitsmaximum und Temperaturoptimum, ausführlich beschrieben ist.

#### a) Der Wärmestromdichteverlauf

Aus Gleichung (53a) folgt durch Einsetzen der Integrationsgrenze  $y_0^+=r_2/r_1$  (s. Abb. 1b):

$$\frac{q}{q_{w1}} = \frac{\int_{r_2/r_1}^{y_1^+} \varphi y_1^+ dy_1^+}{\int_{r_1/r_1}^{y_1^+} \varphi y_1^+ dy_1^+} \quad (156a)$$

Mit der Geschwindigkeitsverteilung  $\varphi$  gemäß Glg. (153) erhält man daraus unter Beachtung von  $y_1^+ dy_1^+ = 0,5 dy_1^{+2}$ :

$$\frac{q}{q_{w1}} = \frac{y_1^{+2} \left[ \ln y_1^{+2} - (r_1/r_c)^2 (y_1^{+2}/2 - 1) - 1 \right] + n_1}{y_1^+ \left[ (r_1/r_c)^2/2 + n_1 - 1 \right]} \quad (156b)$$

wobei die Größe  $n_1$  den in Gleichung (160a) angegebenen Ausdruck ersetzt.

#### b) Der Temperaturverlauf

Die Gleichung (16) geht für laminare Strömung über in

$$\theta_1 = 1 - \frac{\int_{r_2/r_1}^{y_1^+} (q/q_{w1}) dy_1^+}{\int_{r_1/r_1}^{y_1^+} (q/q_{w1}) dy_1^+} \quad (157a)$$

Der Zusammenhang  $q/q_{w1} = y_1^+ f(y_1^{+2})$  läßt wiederum eine Integration über der Veränderlichen  $y_1^{+2}$  zu, das Ergebnis lautet:

$$\theta_1 = \frac{1}{n_2} \left\{ \frac{3}{4} \left( \frac{r_1}{r_c} \right)^2 - 2 - y_1^{+2} \left[ \ln y_1^{+2} - \frac{1}{4} \left( \frac{r_1}{r_c} \right)^2 y_1^{+2} + \left( \frac{r_1}{r_c} \right)^2 - 2 \right] - n_1 \ln y_1^{+2} \right\} \quad (157b)$$

Die Größen  $n_1$  und  $n_2$  werden durch die Gleichungen (160a) bzw. (160b) wiedergegeben.

## c) Die Mischungstemperatur

Die spezielle Form der Gleichung (21a)

$$\theta_{m1} = \frac{1}{\varphi_{m12} \left[ 1 - (r_2/r_1)^2 \right]} \int_{(r_2/r_1)^2}^1 \varphi \theta_1 dy_1^{+2} \quad (158a)$$

führt nach Einsetzen der Gleichungen (153), (154b) und (157b) sowie nach Durchführung der Integration<sup>††</sup> zu folgendem Ergebnis:

$$\theta_{m1} = \frac{n_4}{n_2 n_3 \left[ 1 - (r_2/r_1)^2 \right]} \quad (158b)$$

## d) Die Nußelt-Zahl

Mit  $dh/r_w = -2(r_2/r_1 - 1)$  folgt aus den Gleichungen (19), (157b) und (158b)

$$Nu_1 = 4 \frac{r_2/r_1 - 1}{\theta_{m1}} \left( \frac{d\theta_1}{dy_1^{+2}} \right)_{y_1^{+2}=1} \quad (159a)$$

$$= 4 \frac{n_3}{n_4} \left( \frac{r_2}{r_1} - 1 \right) \left[ 1 - \left( \frac{r_2}{r_1} \right)^2 \right] \left[ 1 - \frac{1}{2} \left( \frac{r_1}{r_c} \right)^2 - n_1 \right] \quad (159b)$$

Die in den Gleichungen (156b), (157b), (158b) und (159b) enthaltenen Größen lauten:

$$n_1 = \left( \frac{r_2}{r_c} \right)^2 \left[ \frac{1}{2} \left( \frac{r_2}{r_1} \right)^2 - 1 \right] - \left( \frac{r_2}{r_1} \right)^2 \left[ \ln \left( \frac{r_2}{r_1} \right)^2 - 1 \right] \quad (160a)$$

$$n_2 = \frac{3}{4} \left( \frac{r_1}{r_c} \right)^2 + \left( \frac{r_2}{r_1} \right)^2 \left[ 1 - \frac{1}{4} \left( \frac{r_2}{r_c} \right)^2 \right] + n_1 \left[ 1 - \ln \left( \frac{r_2}{r_1} \right)^2 \right] - 2 \quad (160b)$$

$$n_3 = \frac{1}{2} \left( \frac{r_1}{r_c} \right)^2 + \frac{1}{2} \left( \frac{r_2}{r_c} \right)^2 - 1 \quad (160c)$$

<sup>††</sup>Das beim Rohrbündel gleichlautende Integral, welches sich vom hier genannten nur in der unteren Integrationsgrenze unterscheidet, ist im Anhang A 3.6.1.2 ausführlich beschrieben.

$$\begin{aligned}
n_4 = & \frac{5}{4} + \frac{11}{4} \left(\frac{r_2}{r_c}\right)^2 - \frac{19}{18} \left(\frac{r_1}{r_c}\right)^2 + \frac{29}{36} \left(\frac{r_2}{r_c}\right)^2 \left(\frac{r_2}{r_1}\right)^4 - \left(\frac{r_2}{r_c}\right)^4 \left[ \frac{7}{8} + \frac{1}{16} \left(\frac{r_2}{r_1}\right)^4 - \frac{5}{12} \left(\frac{r_2}{r_1}\right)^2 \right] \\
& + \left(\frac{r_2}{r_1}\right)^2 \left[ \frac{3}{4} \left(\frac{r_2}{r_1}\right)^2 - \frac{5}{2} \left(\frac{r_2}{r_c}\right)^2 - 2 \right] + \left(\frac{r_1}{r_c}\right)^4 \left[ \frac{11}{48} - \frac{3}{4} \left(\frac{r_2}{r_1}\right)^2 \right] \\
& + \left(\frac{r_2}{r_c}\right)^2 \ln \left(\frac{r_2}{r_1}\right)^2 \left[ 2 \left(\frac{r_c}{r_1}\right)^2 + \left(\frac{r_2}{r_1}\right)^2 - \frac{3}{4} \right] + \left(\frac{r_2}{r_1}\right)^4 \ln \left(\frac{r_2}{r_1}\right)^2 \left[ \frac{1}{2} \ln \left(\frac{r_2}{r_1}\right)^2 - \frac{5}{12} \left(\frac{r_2}{r_c}\right)^2 - \frac{3}{2} \right] \\
& + n_1 \left\{ \frac{3}{4} \left(\frac{r_1}{r_c}\right)^2 - \left(\frac{r_2}{r_c}\right)^2 + \frac{1}{4} \left(\frac{r_2}{r_c}\right)^2 \left(\frac{r_2}{r_1}\right)^2 + \left(\frac{r_2}{r_1}\right)^2 \ln \left(\frac{r_2}{r_1}\right)^2 \left[ \ln \left(\frac{r_2}{r_1}\right)^2 + \left(\frac{r_1}{r_c}\right)^2 - \frac{1}{2} \left(\frac{r_2}{r_c}\right)^2 - 2 \right] \right\}
\end{aligned}$$

(160d)

Die in diesem Abschnitt durchgeführten Berechnungen erweisen sich trotz der Beschränkung auf den einfachsten Fall:  $q_w = \text{konst.}$  noch als sehr umständlich. Im Folgenden wird daher noch gezeigt, wie man mit Hilfe einfacher Überlegungen zu einer bereits recht guten Näherung für  $Nu$  gelangen kann. Die Grundlagen hierzu sind die Abbildungen 11 und 20. Werden mit den apostrophierten Größen die Näherungen und mit  $Nu_{PAS}$  die als bekannt vorausgesetzte  $Nu_{\text{Belt}}$ -Zahl bei parallelen Platten (asymmetrischer Wärmeaustausch) bezeichnet, so lauten die Näherungsansätze:

$$\frac{Nu_2'}{Nu_{PAS}} \approx \frac{r_2 - r_c'}{r_2 - r_c} = \frac{r_2 - (r_1 + r_2)/2}{r_2 - r_c} = \frac{1}{2} \frac{1 - r_1/r_2}{1 - r_c/r_2} \quad (161)$$

$$\frac{Nu_1'}{Nu_2'} \approx \frac{\tau_{w1}}{\tau_{w2}} = \left( \frac{u_1^+}{u_2^+} \right)^2 = \frac{(r_c/r_2)^2 - (r_1/r_2)^2}{(r_1/r_2) [1 - (r_c/r_2)^2]} \quad (162)$$

Im Ansatz (161) für den Wärmeaustausch an der Wand 2 ist dabei berücksichtigt, daß in der für diesen Fall wichtigen äußeren Ringspaltheilfte der Schubspannungs- und damit auch der Geschwindigkeitsverlauf im Vergleich zur Strömung zwischen parallelen Platten nicht sehr verschieden sind. Der Korrekturfaktor  $(r_2 - r_c')/(r_2 - r_c)$  ergibt sich aus der Abweichung der mit der Plattenformel  $rc' = (r_1 + r_2)/2$  ermittelten Stelle  $du/dy = 0$  gegenüber dem genauen Wert  $r_c$ . Die  $Nu_{\text{Belt}}$ -Zahl  $Nu_1'$  für die Wärmeübertragung an der Wand 1 steht mit  $Nu_2'$  über das Geschwindigkeitsprofil in Zusammenhang: Ein Maß dafür, insbesondere in den wichtigen wandnahen Zonen, ist die Wandschubspan-

nung  $\tau_{wi} = \mu(du/dy)_{wi}$ . Die dabei durch den steilen  $\tau_1/\tau_{w1}$ -Abfall an der Wand 1 verbundene Überbewertung von  $Nu_1'$  bei kleinen Werten  $r_1/r_2$  wird infolge der dort zu niedrig berechneten Größe  $Nu_2'$  in etwa kompensiert (s. Abb. 11).

An dieser Stelle sei noch auf eine Besonderheit des ringförmigen Querschnitts bei Wärmeübertragung an der Innenwand 1 hingewiesen. Betrachtet man die 3 Strömungsformen:

laminare Strömung (Index l)  
turbulente Strömung,  $Pr \rightarrow 0$  (Index  $t_m$ )  
Rechteckprofil  $u = \text{konst.}$  (Index s)

so erhält man für alle Strömungsquerschnitte mit symmetrischem Geschwindigkeitsverlauf

$$Nu_s > Nu_{t_m} > Nu_l \quad (163)$$

in Übereinstimmung mit der Reihenfolge der Völligkeit der  $\varphi$ -Profile, charakterisiert durch

$$(\varphi_m)_s = 1 > (\varphi_m)_{t_m} > (\varphi_m)_l \quad (164)$$

Im vorliegenden Fall des Ringspaltes dagegen kann sich für  $Nu$  die Reihenfolge (163) -trotz der unverändert gültigen Beziehung (164)- umkehren, da mit abnehmendem Radienverhältnis  $r_1/r_2$  die Durchsatzverteilung zunehmend in das wandnahe Gebiet verlagert wird. Dieser Vorgang wirkt sich bei laminarer Strömung stärker aus als bei der vorwiegend von wandnahen Vorgängen beherrschten turbulenten Strömung, während das Rechteckprofil definitionsgemäß ganz unbeeinflusst bleibt. Nach Berechnungen von Dwyer /22/ erfolgt diese Umkehr der Reihenfolge (163) für Werte  $r_1/r_2 < 1/4$ . Das Halbmesserverhältnis  $r_1/r_2$  für  $Nu_s = Nu_l$  liegt fest, für  $Nu_{t_m} = Nu_s$  bzw.  $Nu_{t_m} = Nu_l$  hängt es dagegen von der Reynolds-Zahl ab. Ein Zusammenfallen  $Nu_s = Nu_{t_m} = Nu_l$  ist grundsätzlich möglich, der NuBelt-Zahl  $Nu_{t_m}$  ist dann jedoch eine bestimmte Reynolds-Zahl zugeordnet.

Erfolgt der Wärmeübergang an der Wand 2, so bleibt die Beziehung (163) für alle Werte  $r_1/r_2$  gültig. Während jedoch  $(Nu_l)_2$  mit abnehmendem  $r_1/r_2$  ebenfalls abnimmt (s. Abb. 28) steigen die NuBelt-Zahlen  $Nu_{t_m}$  und  $Nu_s$  als Folge des Überwiegens der günstigeren Durchsatzverteilung  $d\dot{G}/\dot{G}$  an.

#### e) Der beidseitige Wärmeaustausch\*

Erfolgt der Wärmeaustausch gleichzeitig an beiden Begrenzungswänden des Ringspaltes, so ist in den vorangegangenen Gleichungen für den Wärmestromdichte- und Temperaturverlauf: Glg. (156b), (157b) (160a) und (160b) der Radius  $r_2$  durch  $r_0$  und im Bereich  $r_0 \leq r \leq r_2$  anschließend zusätzlich  $r_1$  durch  $r_2$  sowie  $y_1^+$  durch  $y_2^+$  zu ersetzen. Die durch dieselben Substitutionen gewonnenen Mischungstemperaturen  $\theta_{m10}$  und  $\theta_{m20}$  gelten dann jeweils von der betreffenden Wand bis zur Stelle  $r_0$ . Dementsprechend tritt in Gleichung (158a) an Stelle der mittleren Geschwindigkeit  $\varphi_{m12}$  die mittlere Geschwindigkeit  $\varphi_{m10}$ ,

\* Auf eine zweite, von W.M.Kays und E.Y.Leung /67/ angegebene Methode (Superposition), wird in Absatz c des Abschnitts 4.2.4.2 hingewiesen.

die von der Wand 1 ( $r=r_1$ ) bis zum Halbmesser  $r_0$  gilt und folgender Gleichung gehorcht:

$$\varphi_{m10} = \frac{\frac{1}{2}\left(\frac{r_1}{r_c}\right)^2 - 1 + \left(\frac{r_0}{r_1}\right)^2 \left\{ 1 + \left(\frac{r_1}{r_c}\right)^2 \left[ \frac{1}{2}\left(\frac{r_0}{r_1}\right)^2 - 1 - \ln\left(\frac{r_0}{r_1}\right)^2 \right] \right\}}{\left[ 1 - \left(\frac{r_0}{r_1}\right)^2 \right] \left[ \ln\left(\frac{r_c}{r_1}\right)^2 + \left(\frac{r_1}{r_c}\right)^2 - 1 \right]} \quad (165)$$

Dies hat zur Folge, daß die Größe  $n_3$  gem. Glg. (160c), die dem Zähler der Glg. (154b) entspricht, durch den Zähler der Gleichung (165), dividiert durch  $1 - (r_0/r_1)^2$ , zu ersetzen ist.

Als Beispiel sei das hier beschriebene Verfahren auf die Mischungstemperatur  $\theta_{m20}$  angewandt. Man erhält:

$$\theta_{m20} = \frac{n_4'}{n_2' n_3' \left[ 1 - (r_0/r_2)^2 \right]} \quad (158c)$$

wobei die Größen  $n_2'$  und  $n_4'$  aus den Gleichungen (160b) und (160d) nach Ersetzen von  $r_2$  durch  $r_0$  und anschließend von  $r_1$  durch  $r_2$  zu berechnen sind. Die Größe  $n_3'$  lautet:

$$n_3' = \frac{\frac{1}{2}\left(\frac{r_2}{r_c}\right)^2 - 1 + \left(\frac{r_0}{r_2}\right)^2 \left\{ 1 + \left(\frac{r_2}{r_c}\right)^2 \left[ \frac{1}{2}\left(\frac{r_0}{r_2}\right)^2 - 1 \right] - \ln\left(\frac{r_0}{r_2}\right)^2 \right\}}{1 - \left(\frac{r_0}{r_2}\right)^2} \quad (160e)$$

Die Berechnung des Halbmessers  $r_0$  an der Stelle  $\partial\theta/\partial y=0$  erfolgt aus einer Wärmebilanz. Beispiele hierfür sind in den beiden Arbeiten von O.E.Dwyer /23,24/ durchgeführt\*, wobei dort die Berechnung von Temperaturverlauf, Mischungstemperatur und Nußelt-Zahl durch numerische, und nicht wie in der vorliegenden Arbeit durch analytische Auswertung der Integralgleichungen beschrieben wird. An dieser Stelle soll anschließend nur der einfachste Fall behandelt werden, der sich durch  $r_0=r_c$  auszeichnet, und hier mit quasi-symmetrischem Wärmeaustausch bezeichnet wird.

Aus der Wärmebilanz

$$2\pi r_1 q_{w1} = \pi \left| r_i^2 - r_c^2 \right| u_{mi} \rho c_p \frac{d\theta_{mi}}{dx}$$

\*Die Bestimmungsgleichung für  $r_0$  lautet /23/:

$$\left( r_2/r_1 \right) \left\{ c_1 (r_0^2 - r_1^2) - 0,5 (r_0^4 - r_1^4) - c_2 \left[ 0,5 (r_0^2 - r_1^2) - r_0^2 \ln(r_0) + r_1^2 \ln(r_1) \right] \right\} = \left( q_{w1}/q_{w2} \right) \left\{ c_1 (r_2^2 - r_0^2) - 0,5 (r_2^4 - r_0^4) - c_2 \left[ 0,5 (r_2^2 - r_0^2) - r_2^2 \ln(r_2) + r_0^2 \ln(r_0) \right] \right\}$$

wobei  $c_1 = r_1^2 - c_2 \ln(r_1)$  und  $c_2 = (r_2^2 - r_1^2) / \ln(r_2/r_1)$  bedeuten.

folgt unter Beachtung von  $d\vartheta_{m1}/dx = d\vartheta_{m2}/dx$ :

$$\frac{q_{w2}}{q_{w1}} = \frac{\varphi_{m2}}{\varphi_{m1}} \cdot \frac{1 - (r_c/r_2)^2}{(r_c/r_2)^2 - (r_1/r_2)^2} \cdot \frac{r_1}{r_2} \leq 1 \quad (166)$$

Die NuBelt-Zahlen für die beiden Ringspalthälften, definiert durch

$$Nu_i = \frac{\alpha_i d_{hi}}{\lambda} = \frac{2 q_{wi} |(r_i^2 - r_c^2)|}{\lambda r_i (\vartheta_{wi} - \vartheta_o) \theta_{mi}} \quad (167)$$

liefern die zu dem vorgeschriebenen Wärmestromdichteverhältnis zugeordneten Wandtemperaturen:

$$\frac{\vartheta_{w2} - \vartheta_o}{\vartheta_{w1} - \vartheta_o} = \frac{Nu_1}{Nu_2} \cdot \frac{\theta_{m1} \varphi_{m2}}{\theta_{m2} \varphi_{m1}} \left[ \frac{1 - (r_c/r_2)^2}{(r_c/r_2)^2 - (r_1/r_2)^2} \cdot \frac{r_1}{r_2} \right]^2 \quad (168)$$

Die Bestimmungsgleichung für die über den Gesamtquerschnitt gemittelte Mischungstemperatur  $\vartheta_{m12}$  lautet:

$$\begin{aligned} \rho c_p (\vartheta_{m12} - \vartheta_o) \pi (r_2^2 - r_1^2) \varphi_{m12} &= \rho c_p (\vartheta_{m1} - \vartheta_o) \pi (r_c^2 - r_1^2) \varphi_{m1} \\ &+ \rho c_p (\vartheta_{m2} - \vartheta_o) \pi (r_2^2 - r_c^2) \varphi_{m2} \end{aligned}$$

Dies führt unter Berücksichtigung von  $\vartheta_{mi} - \vartheta_o = (1 - \theta_{mi})(\vartheta_{wi} - \vartheta_o)$  zu folgendem Ergebnis:

$$\begin{aligned} \theta_{m12} = \frac{\vartheta_{m12} - \vartheta_{w1}}{\vartheta_o - \vartheta_{w1}} &= 1 - \frac{1}{\varphi_{m12} [1 - (r_1/r_2)^2]} \\ &\left\{ (1 - \theta_{m1}) \varphi_{m1} \left[ \left(\frac{r_c}{r_2}\right)^2 - \left(\frac{r_1}{r_2}\right)^2 \right] + (1 - \theta_{m2}) \left(\frac{\vartheta_{w2} - \vartheta_o}{\vartheta_{w1} - \vartheta_o}\right) \varphi_{m2} \left[ 1 - \left(\frac{r_c}{r_2}\right)^2 \right] \right\} \end{aligned} \quad (169)$$

Definiert man als reine Rechengröße eine auf die Temperaturdifferenz  $\vartheta_{w1} - \vartheta_{m12}$  bezogene NuBelt-Zahl  $Nu_{12}$ , die jedoch im Gegensatz zu den



physikalisch sinnvollere Werten  $Nu_1$  bzw.  $Nu_2$  keine unmittelbare Vergleichsgröße darstellt, so läßt sich diese aus der Beziehung

$$Nu_{12} = \frac{2q_{w1}(r_2-r_1)}{\lambda(\vartheta_{w1}-\vartheta_{m12})} = \frac{4(1-r_1/r_2)(r_1/r_2)}{(r_c/r_2)^2-(r_1/r_2)^2} \frac{\vartheta_{m1}}{\vartheta_{m12}} Nu_1 \quad (170)$$

bestimmen. Die Berechnung der Größen  $\vartheta_{m1}$  und  $Nu_1$  erfolgt mit Hilfe der für das Rohrbündel hergeleiteten Gleichungen (s. Abschnitt 3.5.1.2), die nach Austausch der Indices 1 und 2 auch für  $\vartheta_{m2}$  und  $Nu_2$  gelten.

### 3.5.2. TURBULENTE STRÖMUNG, BERECHNUNG STRÖMUNGSMECHANISCHER GRÖSSEN

Über die Strömung im Ringspalt gibt es noch keine zuverlässigen Angaben, die den Einfluß des Halbmesserverhältnisses  $r_1/r_2$  und der Reynolds-Zahl  $Re_{12}$  auf den Verlauf der Impulsaustauschgröße  $\epsilon_m/\nu$  und der Geschwindigkeit  $\varphi$  sowie auf den Radius verschwindender Schubspannung  $r_c$  beschreiben. Dies gilt insbesondere für kleine Werte  $r_1/r_2$ , bei denen die Abweichungen gegenüber der Strömung zwischen parallelen Platten erst deutlich werden. Von Rothfus, Walker, Whan /8/ wurde eine Geschwindigkeitsverteilung angegeben, die durch Modifikation der wandnormalen Koordinate dem bei Rohren gültigen Gesetz gehorcht. Als Grundlagen der Herleitung dienen die Annahmen, daß eine für alle Werte  $r_1/r_2$  gültige Funktion  $\epsilon_m/\nu = f(u)$  existiert und daß weiterhin der Radius  $r_c$  bei turbulenter Strömung gleich demjenigen bei laminarer Strömung ist. Eine andere Darstellung der lokalen Geschwindigkeit im Ringspalt stammt von Bailey /9/. Dabei wird in dem Prandtl'schen Wandgesetz  $(u_c-u)/u^+ = -2,5 \ln(2y/d)$  der Wandabstand  $2y/d$  durch  $1-\tau_i/\tau_{w1}$  ersetzt: Diese Anpassung im Endergebnis gibt zunächst keinen Einblick in die damit verbundenen Konsequenzen für die strömungsmechanischen Größen, und sie ist auch andererseits physikalisch nicht sehr sinnvoll, da bei der Herleitung des Wandgesetzes von dem beim Rohr gültigen Zusammenhang  $2y/d = 1-\tau/\tau_w$  kein Gebrauch gemacht worden war: Als Folge der Beschränkung auf große Wandnähe wurde  $\tau/\tau_w = 1$  gesetzt. Daß das Wandgesetz trotzdem beim Rohr im gesamten Strömungsquerschnitt die Geschwindigkeitsverteilung gut wiedergibt, liegt daran, daß die Abweichung von der gemachten Annahme  $\epsilon_m/\nu = \eta_c 2y/d$  durch die Abnahme der Schubspannung  $\tau/\tau_w$  in etwa kompensiert wird. Eine ähnliche Kompensation dürfte auch im Fall der Bailey'schen Herleitung vorliegen, da der Vergleich der Ergebnisse mit dem für mittlere Werte von  $r_1/r_2$  vorliegenden experimentellen Resultaten befriedigend ist. Rechnet man aus der von Bailey angegebenen Geschwindigkeitsverteilung den zugehörigen Verlauf der Impulsaustauschgröße aus, so erhält man mit  $b = 1 - r_1/r_c$ :

$$\epsilon_m/\nu = \eta_c(1-z^+)z^+ \left[ 1 + \frac{b^2 z^+(1-z^+)}{4-b\{2+z^+(4-b[2+z^+(2-b)])\}} \right]$$

Der Quotient in der eckigen Klammer stellt dabei die Abweichung von der aus dem Wandgesetz für das Rohr abgeleiteten  $\epsilon_m/\nu$ -Verteilung  $\eta_c(1-z^+)z^+$  dar, er ist für mittlere Werte  $r_1/r_2$  klein gegenüber eins. Für nicht zu kleine Halbmesserverhältnisse bedeutet also der Ansatz von Bailey physikalisch, daß für den Ringspalt und das Rohr dasselbe  $\epsilon_m/(\nu \eta_c)$ -Gesetz gilt.\*

a) Die Impulsaustauschgröße  $\epsilon_m/\nu$  und der Widerstandskoeffizient  $\zeta$

Das Verfahren, welches in der vorliegenden Arbeit angewandt wird, unterscheidet sich von den beiden zuvor beschriebenen grundsätzlich: Ausgehend von einem Ansatz über den Verlauf der Austauschgröße für Impuls  $\epsilon_m/\nu$  wird mit Hilfe der bekannten Schubspannungsverteilung das Geschwindigkeitsfeld berechnet. Diese Reihenfolge ist insbesondere bei Wärmeübergangsberechnungen vorzuziehen, da hier die richtige Wiedergabe der  $\epsilon_m/\nu$ -Verteilung gegenüber derjenigen für  $\varphi$  von wesentlich größerer Bedeutung ist. Die Berechnung der Impulsaustauschgröße aus Ansätzen über die Geschwindigkeitsverteilung ist meist riskant, da letztere besonders in größerem Wandabstand sehr unempfindlich gegenüber  $\epsilon_m/\nu$  sind. Aus diesem Grund ist es auch unerläßlich, daß bei einer experimentellen Bestimmung von  $\epsilon_m/\nu$  nicht allein das Geschwindigkeitsprofil, sondern mit einer geeigneten Sonde Geschwindigkeitsdifferenzen gemessen werden, aus denen dann mit Hilfe der Gleichung (10) die Austauschgröße direkt berechnet werden kann. Das Mittengesetz Glg. (2) für das Rohr und für parallele Platten wurde nach einem solchen Verfahren ermittelt. In Ermangelung von entsprechenden experimentellen Resultaten für den Ringspalt müssen nun über den Verlauf der Austauschgröße  $\epsilon_m/\nu$  Annahmen getroffen werden. Diese sind bereits in Abschnitt 2.1. genannt: Das Wandgesetz Glg. (1) wird für die wandnahen Zonen sowohl des Innen- als auch des Außenzyklinders unverändert übernommen. Diese Annahme ist durch die Art der Herleitung dieses Gesetzes gerechtfertigt, wengleich auch wegen des dem Rohr und den parallelen Platten gegenüber steileren Abfalls der Schubspannung an der inneren Wand die zugrundegelegte Vereinfachung  $\tau/\tau_w \approx 1$  stärker ins Gewicht fällt. Das Mittengesetz (2) soll für die äußere Ringspalthälfte ebenfalls unverändert Gültigkeit haben (damit bleiben auch die Gleichungen (68a) und (68b) zur Bestimmung von  $\eta_s$  anwendbar), mit der Begründung, daß die Abweichungen der  $\tau_2/\tau_{w2}$ -Verteilung vom linearen Verlauf bei Rohr und parallelen Platten relativ gering sind. Bis zum Gültigkeitsbereich des Wandgesetzes in der inneren Ringspalthälfte erfolgt nun eine Anpassung in der Art, daß das Mittengesetz (2) in diesem Abschnitt mit einem Proportionalitätsfaktor  $1/f_1$  multipliziert wird, der durch die Bedingung  $(\epsilon_m/\nu)_1 = (\epsilon_m/\nu)_2$  an der Stelle  $r=r_c$  definiert ist: Aus den Definitionsgleichungen für  $\eta_{c1}$  und  $\eta_{c2}$ :

\* Eine von W.M.Kays und E.Y.Leung /67/ durchgeführte analytische Untersuchung wird in Absatz c des Abschnitts 4.2.4.2 beschrieben.

$$\eta_{c1} = \frac{u_1^+(r_c - r_1)}{v} \quad (171a)$$

und

$$\eta_{c2} = \frac{u_2^+(r_2 - r_c)}{v} \quad (171b)$$

wobei

$$u_i^+ = \sqrt{\tau_{wi}/\rho} \quad (172)$$

bedeutet, folgt mit der Gleichung (162):

$$f_1 = \frac{\eta_{c1}}{\eta_{c2}} = \frac{r_c/r_2 - r_1/r_2}{1 - r_c/r_2} \sqrt{\frac{(r_c/r_2)^2 - (r_1/r_2)^2}{(r_1/r_2)[1 - (r_c/r_2)^2]}} \quad (171c)$$

Das Mittengesetz (2) geht damit über in

$$\left(\frac{\epsilon_m}{v\eta_c}\right)_i = \frac{\alpha}{3\eta_{ci}/\eta_{c2}} (0,5 + z_i^{+2})(1 - z_i^{+2}) \quad (173a)$$

Zusammenfassend lauten also die getroffenen Annahmen für die beiden Ringspalthälften 1 und 2:

$$\left(\frac{\epsilon_m}{v}\right)_i = \alpha \eta_m \left[ \frac{\eta_i}{\eta_m} - \operatorname{tgh} \frac{\eta_i}{\eta_m} - \frac{1}{3} \operatorname{tgh}^3 \frac{\eta_i}{\eta_m} \right] \quad \text{für } 0 \leq \eta_i \leq \eta_{si} \quad (173b)$$

und

$$\left(\frac{\epsilon_m}{v}\right)_i = \frac{\alpha \eta_{c2}}{3} (0,5 + z_i^{+2})(1 - z_i^{+2}) \quad \text{für } \eta_{si} \leq \eta_i \leq \eta_{ci} \quad (173c)$$

Die Beibehaltung des Wand- und Mittengesetzes ist insbesondere in der inneren Ringspalthälfte 1 mit Unsicherheit behaftet, die jedoch nur durch das Experiment beseitigt werden kann. In der vorliegenden Arbeit kommt es jedoch hauptsächlich auf den Vergleich der verschiedenen Strömungsquerschnitte untereinander sowie auf den Einfluß der Wärme flu ß dichte ver teilung an, wobei dementsprechend die Forderung nach möglichst einheitlichen Grundlagen unabdingbar ist.

Das eben beschriebene Verfahren: ausgehend von den am ehesten überschaubaren Verhältnissen in der äußeren Ringspalthälfte auf die innere Ringspalthälfte zu schließen, wird nun auch auf die Bestim-

nung einer charakteristischen Reynolds-Zahl sowie des Widerstandskoeffizienten angewandt. Neben dem den gesamten Ringspaltquerschnitt erfassenden Widerstandskoeffizienten  $\zeta_{12}$  wird dabei noch zwischen zwei weiteren, den beiden Ringspalthälften zugeordneten Widerstandskoeffizienten  $\zeta_1$  und  $\zeta_2$  unterschieden. Die Definitionsgleichungen für  $\zeta_1$ ,  $\zeta_2$  und  $\zeta_{12}$  lauten:

$$\Delta p = \zeta_1 \frac{\rho}{2} u_{m1}^2 \frac{1r_1}{2(r_c^2 - r_1^2)} \quad (174a)$$

$$= \zeta_2 \frac{\rho}{2} u_{m2}^2 \frac{1r_2}{2(r_2^2 - r_c^2)} \quad (174b)$$

$$= \zeta_{12} \frac{\rho}{2} u_{m12}^2 \frac{1}{2(r_2 - r_1)} \quad (174c)$$

In den Gleichungen (174a) und (174b) sind für die Abschnitte 1 und 2 hydraulische Durchmesser  $d_{hi} = 4 S_i / U_i$  eingeführt, wobei  $S_i$  den Strömungsquerschnitt zwischen  $r_i$  und  $r_c$  und  $U_i = 2\pi r_i$  den Umfang der betreffenden Wand bedeuten. Mit Hilfe der Beziehung

$$\tau_{wi} = \frac{|r_c^2 - r_i^2|}{21r_i} \Delta p$$

und den Gleichungen (172), (174a) und (174b) erhält man:

$$u_i^+ = u_{mi} \sqrt{\zeta_i / 8} \quad (175)$$

Damit lassen sich die Gleichungen (171a) und (171b) überführen in:

$$\eta_{c1} = \frac{r_1}{r_c + r_1} \sqrt{\frac{\zeta_1}{32}} Re_1 \quad (176a)$$

$$\eta_{c2} = \frac{r_2}{r_c + r_2} \sqrt{\frac{\zeta_2}{32}} Re_2 \quad (176b)$$

wobei die Reynolds-Zahlen in den beiden Ringraumhälften mit dem entsprechenden hydraulischen Durchmesser  $d_{hi}$  gebildet sind, also:

$$\text{Re}_1 = \frac{2u_{m1}(r_c^2 - r_1^2)}{\nu r_1} \quad (177a)$$

$$\text{Re}_2 = \frac{2u_{m2}(r_2^2 - r_c^2)}{\nu r_2} \quad (177b)$$

während für den Gesamtquerschnitt

$$\text{Re}_{12} = \frac{2u_{m12}(r_2 - r_1)}{\nu} \quad (177c)$$

gilt.

Zur Bestimmung der Widerstandskoeffizienten  $\zeta_i$  wird nun von einer Näherung Gebrauch gemacht. Diese besteht darin, daß in der äußeren Ringspalthälfte 2 das durch die festgelegte Verteilung der Impulsaustauschgröße  $\xi_m/\nu$  (Glg. 173a,b) und dem tatsächlich vorhandenen Schubspannungsverlauf (Glg. 151b) eindeutig festgelegte Geschwindigkeitsprofil (Glg. 186a,b,c) durch dasjenige ersetzt wird, welches aus dem näherungsweise gültigen Verlauf  $\tau/\tau_{w2} \approx z_2^+$  hervorgeht. In anderen Worten: Die Geschwindigkeitsprofile zweier Strömungen derselben Flüssigkeit in einem Rohr des Durchmessers  $d$  und in der äußeren Ringspalthälfte der Abmessung  $r_2 - r_c = d/2$  sind unter der Bedingung  $\tau_{w2} = \tau_{wT}$  näherungsweise gleich (vgl./8/). Daraus folgt mit den Gleichungen (171b), (172), (175) und (177b):

$$u_2^+ = u_T^+ \quad (178)$$

$$\eta_{c2} = \eta_{cT} \quad (178)$$

$$\text{Re}_2 = \left(1 + \frac{r_c}{r_2}\right) \frac{\varphi_{m2}}{\varphi_{mT}} \text{Re}_T \quad (179)$$

$$\zeta_2 = \left(\frac{\varphi_{mT}}{\varphi_{m2}}\right)^2 \zeta_T \quad (180)$$

Die in diesen und den nun folgenden Gleichungen enthaltenen Größen sind von  $\text{Re}_T$  als charakteristischer Reynolds-Zahl abhängig, weshalb hierfür die Bezeichnung "äquivalente Rohr-Reynolds-Zahl" eingeführt werden soll. Diese läßt sich aus den Gleichungen (177b), (177c) und (179) für eine vorgegebene und in der üblichen Weise definierten Reynolds-Zahl  $\text{Re}_{12} = u_{m12} d_h / \nu$  berechnen zu:

$$\text{Re}_T = \frac{1-r_c/r_2}{1-r_1/r_2} \frac{\varphi_{mT}}{\varphi_{m12}} \text{Re}_{12} \quad (181)$$

Die Zuordnung der dieser Beziehung gehorchenden Reynolds-Zahlen  $\text{Re}_{12}$  zu den für die numerische Auswertung ausgewählten Wertepaaren  $r_1/r_2$  und  $\text{Re}_T$  ist in Tabelle 8 enthalten.

Der mit Hilfe der Gleichungen (174b), (174c) und (180) gewonnene Zusammenhang

$$\zeta_{12} = \frac{1-r_1/r_2}{1-(r_c/r_2)^2} \left( \frac{\varphi_{mT}}{\varphi_{m12}} \right)^2 \zeta_T \quad (182)$$

gestattet, den im Ringspalt zu erwartenden Widerstandskoeffizienten aus dem Widerstandsgesetz des Rohres  $\zeta_T(\text{Re}_T)$  zu bestimmen. Wird mit  $\zeta_T^+ = \zeta_T(\text{Re}_{12})$  derjenige Widerstandskoeffizient bezeichnet, den man durch formales Einsetzen der Ringspalt-Reynolds-Zahl  $\text{Re}_{12}$  in das Rohrwiderstandsgesetz erhält, so folgt aus den Gleichungen (69b) und (182):

$$\frac{\zeta_{12}}{\zeta_T^+} = \frac{1-(r_1/r_2)}{1-(r_c/r_2)^2} \left( \frac{\varphi_{mT}}{\varphi_{m12}} \right)^2 \left[ \frac{\log(\text{Re}_{12}/7)}{\log(\text{Re}_T/7)} \right]^2 \quad (183)$$

Für die ebenen Platten erhält man mit  $r_1/r_2=r_c/r_2=1$  die bereits in Abschnitt 3.2.2.1 beschriebenen Vereinfachungen.

#### b) Die Geschwindigkeitsverteilung $u/u^+$

Aus der vorgegebenen Schubspannungsverteilung  $\tau/\tau_w$  gem. Glg. (151b) und der durch die Annahmen (173a) und (173b) festgelegten Verteilung der Impulsaustauschgröße  $\epsilon_m/\nu$  läßt sich das Geschwindigkeitsfeld durch Integration der Gleichung

$$\frac{d(u/u^+)}{dz^+} = - \frac{\tau/\tau_w}{(1+\epsilon_m/\nu)/\eta_c} \quad (184)$$

berechnen. Der dabei zunächst noch unbekannte Radius  $r_c$ , der die Stelle des Geschwindigkeitsmaximums angibt, wird aus der Bedingung  $u_{c1}=u_{c2}$  ermittelt.

Im Gültigkeitsbereich des Wandgesetzes für die Impulsaustauschgröße, das vereinbarungsgemäß bis zum Schnittpunkt mit dem Mittengesetz gelten soll, ist es ratsam; für die innere Ringspalthälfte folgende Unterteilung vorzunehmen: Bis zum Wandabstand  $\eta_1=15$  wird, wie üblich, mit konstanter Schubspannung  $\tau=\tau_w$  gerechnet. Im Bereich  $15 < \eta_1 < \eta_{s1}$  ist diese Näherung jedoch infolge des insbesondere bei kleinen Werten  $r_1/r_2$  stark ausgeprägten Abfalls der Schubspannung bereits in Wandnähe nicht mehr zulässig, zumal auch lt. Tabelle 8 die Wandabstände  $\eta_{s1}$  am Schnittpunkt der Kurven des  $\epsilon_m/\nu$ -Wand- und Mittengesetzes gegenüber dem Fall des Rohres höhere Werte annehmen. Um eine einfache Integration der Gleichung (184) nach Einsetzen des  $\tau_1/\tau_{w1}$ -Verlaufs (151b) zu ermöglichen, wird die  $\epsilon_m/\nu$ -Verteilung gem. Glg. (173b) durch ihre Asymptote

$$(\epsilon_m/\nu)_i = \alpha (\eta_i - 9,53) \quad (185)$$

ersetzt.

ba)  $\eta_1 < 15$  (oder  $\eta_2 < \eta_{s2}$  für die äußere Ringspalthälfte)

Für die Quadratur der Gleichung (184) gibt H.Reichardt /7/ nach Einsetzen des von Glg. (1) nur unwesentlich abweichenden Wandgesetzes  $\epsilon_m/\nu = \alpha [\eta - \eta_n \operatorname{tgrh}(\eta/\eta_n)]$  die Näherungslösung

$$\frac{u}{u^+} = \frac{1}{\alpha} \ln(1 + \alpha \eta) + c_1 (1 - e^{-\eta/\eta_n} - \frac{\eta}{\eta_n} e^{-b_1 \eta}) \quad (186a)$$

mit den in den Gleichungen (65) aufgeführten Konstanten an.

bb)  $15 \leq \eta_1 \leq \eta_{s1}$

Aus den Gleichungen (151b), (184) und (185) folgt:

$$\left( \frac{u - u_a}{u^+} \right)_1 = \frac{1}{\alpha (1 + r_c/r_1) (ab - 1)} \left[ a(ab - 2) \ln \frac{a - z_1^+}{a - z_a^+} + \frac{1}{b} \ln \frac{1 - bz_1^+}{1 - bz_a^+} + (ab - 1)(z_1^+ - z_a^+) \right] \quad (186b)$$

mit den Abkürzungen:

$$a = 1 + \frac{1/\alpha - 9,53}{\eta_{c1}}$$

$$b = 1 - r_1/r_c$$

$$z_a^+ = 1 - \eta_a/\eta_{c1}$$

Die Geschwindigkeit  $u_a/u^+$  erhält man aus Gleichung (186a) mit  $\eta_a=15$  zu  $u_a/u^+=10,59$ .

bc) Im Gültigkeitsbereich des Mittengesetzes (173a) kann die molekulare Zähigkeit gegenüber der turbulenten Scheinreibung vernachlässigt werden. Durch Einsetzen der Gleichungen (151b) und (173a) in Glg. (184) folgt:

$$\int_{u_{ci}/u_i^+}^{u_i/u_i^+} d\left(\frac{u_i}{u_i^+}\right) = - \frac{3\eta_{ci}/\eta_{c2}}{\alpha(1+r_c/r_i)} \int_0^{z_i^+} \frac{z_i^+ + z_i^+ / [1+(r_i/r_c-1)z_i^+]}{(0,5+z_i^{+2})(1-z_i^{+2})} dz_i^+ \quad (187)$$

Die Auflösung dieser Gleichung ergibt<sup>++</sup>(s.Anhang A 3.5.2 ):

$$\left(\frac{u-u_c}{u^+}\right)_i = \frac{\eta_{ci}/\eta_{c2}}{\alpha} \left[ \ln(1-z_i^+) + \ln \frac{1+z_i^+}{1+2z_i^{+2}} + a_{1i} \ln(1+z_i^+) + a_{2i} \ln(1+2z_i^{+2}) \right. \\ \left. + a_{3i} \ln\left(1 - \left(1 - \frac{r_i}{r_c}\right)z_i^+\right) + a_{4i} \cdot \arctg(\sqrt{2}z_i^+)\right] \quad (186c)$$

wobei die beiden ersten Glieder in der eckigen Klammer dem linearen Anteil der Schubspannungsverteilung, also mit  $\eta_{ci}/\eta_{c2}=1$  dem Rohr bzw. den parallelen Platten entsprechen.

Die Koeffizienten  $a_{ji}$  lauten:

$$\left. \begin{aligned} a_{1i} &= - \frac{2(1-r_i/r_c)}{(2-r_i/r_c)(1+r_i/r_c)} \\ a_{2i} &= \frac{(1-r_i/r_c)(3-r_i/r_c)}{(2-r_i/r_c)[2+(1-r_i/r_c)^2]} \\ a_{3i} &= - \frac{6(1-r_i/r_c)^2}{(2-r_i/r_c)(1+r_i/r_c)[2+(1-r_i/r_c)^2]} \\ a_{4i} &= \frac{2\sqrt{2}(1-r_i/r_c)r_i/r_c}{(1+r_i/r_c)[2+(1-r_i/r_c)^2]} \end{aligned} \right\} \quad (188)$$

<sup>++</sup> Bei der numerischen Auswertung werden die Ergebnisse dieser Gleichung durch die einfachere Form  $u/u^+=a\ln\eta+c$  angenähert, wobei  $a$  und  $c$  von  $r_1/r_2$  und von  $Re$  abhängen.

Inzwischen wurde auch eine von S.Levy durchgeführte Integration der Gleichung (187) bekannt /65/.



bd) Für nicht zu kleine Werte des Radienverhältnisses  $r_1/r_2$  kann die von H.Reichardt /7/ für das Rohr und für parallele Platten hergeleitete Geschwindigkeitsverteilung des Gesamtquerschnitts auf den Ringspalt erweitert werden.

Definiert man eine Zusatzgeschwindigkeit  $u_z/u^+$  in der Weise, daß diese an der Wand ( $x_i^+=1$ ) null wird:

$$\begin{aligned} \left(\frac{u_z}{u^+}\right)_i = \frac{\eta_{ci}/\eta_{c2}}{\alpha} & \left[ \ln \frac{1,5(1+z_i^+)}{1+2z_i^+} + a_{1i} \ln \frac{1+z_i^+}{2} + a_{2i} \ln \frac{1+2z_i^{+2}}{3} \right. \\ & \left. + a_{3i} \ln \frac{1-(1-r_i/r_c)z_i^+}{r_i/r_c} + a_{4i} (\arctg \sqrt{2}x_i^+ - \arctg \sqrt{2}) \right] \quad (189) \end{aligned}$$

und damit in Ringraummitte den Wert

$$\left(\frac{u_{zc}}{u^+}\right)_i = \frac{\eta_{ci}/\eta_{c2}}{\alpha} \left[ (1-a_{2i}) \ln 3 - (1+a_{1i}) \ln 2 - a_{3i} \ln(r_i/r_c) - a_{4i} \arctg \sqrt{2} \right] \quad (190)$$

annimmt, so folgt unter Beachtung von  $1-x_i^+ = \eta_i/\eta_{ci}$

$$\left(\frac{u}{u^+}\right)_i - \frac{\eta_{ci}/\eta_{c2}}{\alpha} \ln \eta_i - \left(\frac{u_z}{u^+}\right)_i = \left(\frac{u_c}{u^+}\right)_i - \frac{\eta_{ci}/\eta_{c2}}{\alpha} \ln \eta_{ci} - \left(\frac{u_{zc}}{u^+}\right)_i = \text{konst.}$$

Aus dieser Gleichung geht hervor, daß für  $\eta_{ci}/\eta_{c2} \approx 1$  die Geschwindigkeitsdifferenz  $(u-u_z)_i/u_i^+$  dem aus dem Wandgesetz folgenden logarithmischen Gesetz

$$\left(\frac{u-u_z}{u^+}\right)_i = \frac{1}{\alpha} \ln \eta_i + c_2 \quad (191)$$

gehört. Die Bedingung  $\eta_{ci}/\eta_{c2} \approx 1$  ist in der äußeren Ringspalthälfte vereinbarungsgemäß immer, in der inneren dagegen nur bei Halbmesserverhältnissen nahe eins erfüllt. In diesen Fällen können das Mittengesetz (186c) und das Wandgesetz (186a) kombiniert werden, indem in letzterem anstelle von  $u/u^+$  die Geschwindigkeitsdifferenz  $(u-u_z)_i/u_i^+$  eingesetzt wird. Dies ist zulässig, da im wandnahen Gebiet, dem Gültigkeitsbereich des Wandgesetzes also, die Zusatzgeschwindigkeit  $u_z$  klein gegenüber  $u$  ist ( $u_{zw}=0$ ). Die Gleichung für den Geschwindigkeitsverlauf über den gesamten Querschnitt einer Ringspalthälfte lautet demnach:

$$\begin{aligned}
\left(\frac{u}{u^+}\right)_i &= \frac{1}{2} \left\{ \ln(1+\eta) + \ln \frac{1,5(1+z_i^{+2})}{1+2z_i^+} + a_{1i} \ln \frac{1+z_i^+}{2} + a_{2i} \ln \frac{1+2z_i^{+2}}{3} \right. \\
&+ a_{3i} \ln \frac{1-(1-r_i/r_c)z_i^+}{r_i/r_c} + a_{4i} \left[ \operatorname{arctg}(\sqrt{2} z_i^+) - \operatorname{arctg} \sqrt{2} \right] \\
&+ c_1 \left( 1 - e^{-\eta/\eta_n} - \frac{\eta}{\eta_n} e^{-\eta} \right) \quad (192)
\end{aligned}$$

Die mit dem Koeffizienten  $a_{ji}$  behafteten Glieder dieser Gleichung, die für  $r_1/r_2=1$  sämtlich null sind, geben die Abweichungen gegenüber dem von H.Reichardt für das Rohr bzw. für parallele Platten aufgestellten Geschwindigkeitsgesetz (62) an.

#### c) Der Radius $r_c$

Nach Kenntnis des Geschwindigkeitsverlaufs in den beiden Ringspalhälften läßt sich nun die Stelle mit verschwindender Schubspannung, also maximaler Geschwindigkeit, berechnen. Die Bestimmungsgleichung für  $r_c/r_2$  ( $r_1/r_2, Re_T$ ) ergibt sich aus der Bedingung  $u_{c1}=u_{c2}$ , mit den Gleichungen (186a,b,c), (190) und (191) folgt:

$$\left(\frac{u}{u^+}\right)_{2+\frac{1}{2}} \ln \eta_{c2} + c_2 = \left( \frac{u_a}{u^+} + \frac{u_s - u_a}{u^+} - \frac{u_s - u_c}{u^+} \right) \frac{u_1}{u_2^+} \quad (193)$$

wobei, außer den bereits bekannten Größen,  $(u_s - u_a)/u^+$  und  $(u_s - u_c)/u^+$  die Zahlenwerte der Gleichungen (186b) bzw. (186c) für den Mittenabstand  $z_{s1}^+ = 1 - \eta_{s1}/\eta_{c1}$  bedeuten. Die durch Iteration gewonnenen Ergebnisse der numerischen Auswertung dieser Gleichung sind in Tabelle 8 zusammengestellt.

#### d) Die mittlere Geschwindigkeit

Die Mittelwertbildung nach Glg. (22a) mit der Geschwindigkeitsverteilung (192) ergibt nach Weglassen vernachlässigbarer Zusatzglieder:

$$\begin{aligned}
\frac{u_{mi}}{u_i^+} &= \frac{1}{\alpha} \ln \eta_{ci} + c_2 - \frac{2}{(1+r_i/r_c)^{\alpha}} \left\{ a_{1i} \left[ \frac{5}{4} - \frac{3}{2} \ln 2 + \left( \frac{1}{2} \ln 2 - \frac{1}{4} \right) \frac{r_i}{r_c} \right] \right. \\
&+ a_{2i} \left[ \frac{1}{4} \ln 3 + \frac{3}{2} - \sqrt{2} \arctg \sqrt{2} + \left( \frac{1}{2} - \frac{1}{4} \ln 3 \right) \frac{r_i}{r_c} \right] \\
&+ a_{3i} \left[ \frac{1}{2(1-r_i/r_c)} + \frac{1}{4} \left( 1 + \frac{r_i}{r_c} \right) \right] \\
&+ a_{4i} \left[ \frac{1}{4} \arctg \sqrt{2} + \frac{\sqrt{2}}{4} (\ln 3 - 1) + \frac{1}{4} \frac{r_i}{r_c} (\sqrt{2} - \arctg \sqrt{2}) \right] \\
&+ \left. \frac{r_i}{r_c} \left[ \frac{1}{4} \ln 3 + \frac{1}{2} \ln 2 + (\alpha c_2 - \ln \alpha) \frac{\eta_n}{\eta_{ci}} \right] + \sqrt{2} \arctg \sqrt{2} - \frac{3}{2} \ln 2 - \frac{1}{4} \ln 3 \right\} \\
&= 2,51 \ln \eta_{ci} + 5,5 - \frac{5}{1+r_i/r_c} \left\{ (0,2103 + 0,0966 \frac{r_i}{r_c}) a_{1i} + (0,4241 + 0,2253 \frac{r_i}{r_c}) a_{2i} \right. \\
&+ \left[ \frac{\ln \frac{r_i}{r_c}}{2(1-r_i/r_c)} + \frac{1}{4} \left( 1 + \frac{r_i}{r_c} \right) \right] a_{3i} + (0,2736 + 0,1147 \frac{r_i}{r_c}) a_{4i} \\
&+ \left. (0,6212 + 3,120 \frac{\eta_n}{\eta_{ci}}) \frac{r_i}{r_c} + 0,0362 \right\} \quad (194)
\end{aligned}$$

Für kleine Werte  $r_1/r_2$ , die eine getrennte Berechnung der Geschwindigkeitsverteilung nach den Gleichungen (186a,b,c) erfordern, ist die numerische Integration der analytischen vorzuziehen, da letztere zu unhandliche Ausdrücke ergeben würde. Die Gleichung zur Berechnung der mittleren Geschwindigkeit  $\varphi_{m12}$  für den Gesamtquerschnitt lautet:

$$\varphi_{m12} = \frac{u_{m12}}{u_c} = \frac{(r_c/r_2)^2 - (r_1/r_2)^2}{1 - (r_1/r_2)^2} \cdot \frac{u_{m1}/u_1^+}{u_c/u_1^+} + \frac{1 - (r_c/r_2)^2}{1 - (r_1/r_2)^2} \cdot \frac{u_{m2}/u_2^+}{u_c/u_2^+} \quad (195)$$

### 3.6. DAS ROHRBÜNDEL

Wie bereits in der Einleitung vermerkt, wird zur Berechnung der Strömung und des Wärmeübergangs längs Rohrbündeln das bereits von R.N.Lyon/10/ angewandte Verfahren übernommen, welches das Hexagon verschwindender Schubspannung durch einen Kreis gleichen Flächeninhalts ersetzt<sup>++</sup>. Der Radius  $r_c$  dieses Kreises folgt aus der Beziehung

$$\left(\frac{r_c}{r_1}\right)_\Delta = \sqrt{\frac{2\sqrt{3}}{\pi}} \left(\frac{p}{d}\right) \quad (196a)$$

wobei mit  $p$  der Achsabstand zwischen den im Dreieck angeordneten Rohren und mit  $d$  und  $r_1$  der äußere Durch- bzw. Halbmesser dieser Rohre bezeichnet wird. Für quadratisch angeordnete Rohre ist der in entsprechender Weise definierte Halbmesser  $r_c$  aus der Gleichung

$$\left(\frac{r_c}{r_1}\right)_\square = \frac{2}{\sqrt{\pi}} \left(\frac{p}{d}\right) \quad (196b)$$

zu berechnen, mit  $p$  als Seitenlänge des aus den Rohrachsen gebildeten Quadrats. Das Ersetzen des ein jedes Rohr umgebenden seiten- gleichen Rechtecks verschwindender Schubspannung durch einen flächengleichen Kreis bedeutet hier natürlich eine wesentlich deutlichere Abkehr von den tatsächlich vorliegenden Verhältnissen, als dies beim Hexagen der Dreieckanordnung der Fall ist. Aus den beiden Gleichungen (196a) und (196b) folgt, daß die für Dreieckteilung berechneten numerischen Ergebnisse, unter der vorerwähnten Einbuße an Genauigkeit, für die quadratische Teilung mit dem Abstandsverhältnis

$$\left(\frac{p}{d}\right)_\square = \sqrt{\frac{\sqrt{3}}{2}} \left(\frac{p}{d}\right)_\Delta = 0,932 \left(\frac{p}{d}\right)_\Delta \quad (196c)$$

übernommen werden können.

Unter diesen Vereinfachungen lassen sich die strömungsmechanischen Größen direkt aus den für die innere Hälfte des Ringspaltes geltenden Gleichungen bestimmen.

#### 3.6.1. LAMINARE STRÖMUNG

##### 3.6.1.1. STRÖMUNGSMECHANISCHE GRÖSSEN

Für die laminare Rohrbündelströmung ist ergänzend zu den in Abschnitt 3.5.1.1 (Ringspalt) enthaltenen Beziehungen über  $\tau_1/\tau_{w1}$ ,  $\varphi_1$  und  $\varphi_{m1}$  noch der Widerstandsbeiwert  $\zeta$  zu bestimmen.

<sup>++</sup>Die Güte dieser Näherung nimmt (unter der Voraussetzung, daß die strömungsmechanischen Größen in der inneren Hälfte des auf diese Weise zugeordneten Ringspalts bekannt sind) mit steigendem  $p/d$  wegen der damit verbundenen Abnahme von  $(r_c - r(\tau=0))/(r_c - r_1)$  zu. Bei turbulenter Strömung verringert sich ab einem Bestwert  $p/d$  die Genauigkeit wieder, da die beim Ringspalt gemachten Ansätze über  $\epsilon_m/\nu$  mit abnehmendem  $r_1/r_2$ , d.h. mit steigendem  $p/d$  des zugeordneten Rohrbündels, unsicherer werden.

Er ergibt sich aus  $\zeta = 8\tau_w / (\rho u_m^2)$  durch Einsetzen von

$$\tau_w = \mu \left( \frac{du}{dy} \right)_w = \frac{\mu u_c}{r_1} \left( \frac{dq_1}{dy_1^+} \right)_{y_1^+=1} = \frac{\mu u_c}{r_1} \frac{2 \left[ 1 - (r_1/r_c)^2 \right]}{\ln(r_c/r_1)^2 + (r_1/r_c)^2 - 1} \quad (197)$$

sowie mit Hilfe der Gleichung (154a) und mit  $Re = 2(r_c^2 - r_1^2)u_m / (r_1\nu)$  zu

$$\zeta_B = \frac{64}{Re} \frac{\left[ 1 - (r_1/r_c)^2 \right] \left[ 1 - (r_c/r_1)^2 \right]^2}{(r_c/r_1)^2 \left[ 2 \ln(r_c/r_1)^2 - 3 \right] - (r_1/r_c)^2 + 4} \quad (198)$$

### 3.6.1.2. DER WÄRMEÜBERGANG BEI $q_w = \text{konst.}$

#### a) Der Wärmestromdichteverlauf

Aus Gleichung (53a) folgt unter Beachtung der in Abb. 1f aufgeführten Integrationsgrenze  $y_0^+ = r_c/r_1$  mit  $F_0 = 1$  und Glg. (153):

$$\frac{q}{q_w} = \frac{\int_{(r_c/r_1)^2}^{y^+} \left[ \ln y^+ - (r_1/r_c)^2 (y^+ - 1) \right] dy^+}{\int_{(r_c/r_1)^2}^{y^+} \left[ \ln y^+ - (r_1/r_c)^2 (y^+ - 1) \right] dy^+}$$

Die Lösung dieser Gleichung lautet:

$$\frac{q}{q_w} = \frac{y^+ \left[ \ln y^+ - (r_1/r_c)^2 y^+ / 2 + (r_1/r_c)^2 - 1 \right] + \left[ \ln(r_1/r_c)^2 + 3/2 \right] / (r_1/r_c)^2 - 1}{y^+ \left\{ (r_1/r_c)^2 / 2 - 2 + \left[ \ln(r_1/r_c)^2 + 3/2 \right] / (r_1/r_c)^2 \right\}}$$

(199)

#### b) Der Temperaturverlauf $\theta$

Durch Einsetzen der Gleichung (199) in Glg. (16) erhält man mit  $dy^+ = 0,5 dy^2 / y^+$ :

$$\theta = 1 - \frac{\int_{(r_c/r_1)^2}^{y^+} \left\{ \left[ \ln y^+ - (r_1/r_c)^2 y^+ / 2 + (r_1/r_c)^2 - 1 \right] + \left[ \ln(r_1/r_c)^2 + 3/2 \right] / (r_1/r_c)^2 - 1 \right\} dy^+}{\int_{(r_c/r_1)^2}^{y^+} \left\{ \left[ \ln y^+ - (r_1/r_c)^2 y^+ / 2 + (r_1/r_c)^2 - 1 \right] + \left[ \ln(r_1/r_c)^2 + 3/2 \right] / (r_1/r_c)^2 - 1 \right\} dy^+}$$

Die Lösung der Integrale führt zu folgender Gleichung für den Temperaturverlauf:

$$\theta = \frac{\frac{3}{4}\left(\frac{r_1}{r_c}\right)^2 - 2 - y^{+2} \left[ \ln y^{+2} - \frac{1}{4}\left(\frac{r_1}{r_c}\right)^2 y^{+2} + \left(\frac{r_1}{r_c}\right)^2 - 2 \right] - \ln y^{+2} \left\{ \left(\frac{r_c}{r_1}\right)^2 \left[ \ln\left(\frac{r_1}{r_c}\right)^2 + \frac{3}{2} \right] - 1 \right\}}{\frac{3}{4}\left(\frac{r_1}{r_c}\right)^2 - 3 + \frac{9}{4}\left(\frac{r_c}{r_1}\right)^2 + \ln\left(\frac{r_c}{r_1}\right)^2 \left[ \left(\frac{r_c}{r_1}\right)^2 \ln\left(\frac{r_c}{r_1}\right)^2 - \frac{5}{2}\left(\frac{r_c}{r_1}\right)^2 + 1 \right]} \quad (200)$$

c) Die Mischungstemperatur  $\theta_m$

Setzt man die Gleichungen (153), (154a) und (200) für  $\varphi_1$ ,  $\varphi_{m1}$  und  $\theta$  in die aus Glg.(21a) folgende Gleichung

$$\theta_m = \frac{1}{\varphi_{m1} \left[ 1 - (r_c/r_1)^2 \right]} \int_{(r_c/r_1)^2}^1 \varphi_1 \theta dy^{+2} \quad (201a)$$

ein, so ergibt sich (s. Anhang A3.6.1.2 ):

$$\theta_m = \frac{Z}{N}$$

mit

$$Z = \left[ \frac{9}{2}\left(\frac{r_c}{r_1}\right)^2 - 2 \right] \left[ \ln\left(\frac{r_c}{r_1}\right)^2 \right]^2 \left(\frac{r_c}{r_1}\right)^2 + \left[ 10\left(\frac{r_c}{r_1}\right)^2 - \frac{95}{12}\left(\frac{r_c}{r_1}\right)^4 - \frac{5}{2} \right] \ln\left(\frac{r_c}{r_1}\right)^2 + \left[ \frac{719}{144} - \left( \ln\left(\frac{r_c}{r_1}\right)^2 \right)^3 \right] \left(\frac{r_c}{r_1}\right)^4 + \frac{11}{48}\left(\frac{r_1}{r_c}\right)^4 - \frac{35}{3}\left(\frac{r_c}{r_1}\right)^2 - \frac{23}{9}\left(\frac{r_1}{r_c}\right)^2 + 9 \quad (201b)$$

und

$$N = \left\{ \frac{1}{2}\left(\frac{r_1}{r_c}\right)^2 + \left(\frac{r_c}{r_1}\right)^2 \left[ \ln\left(\frac{r_1}{r_c}\right)^2 + \frac{3}{2} \right] - 2 \right\} \left\{ \frac{3}{4}\left(\frac{r_1}{r_c}\right)^2 - 3 + \frac{9}{4}\left(\frac{r_c}{r_1}\right)^2 + \ln\left(\frac{r_c}{r_1}\right)^2 \left[ \left(\frac{r_c}{r_1}\right)^2 \ln\left(\frac{r_c}{r_1}\right)^2 - \frac{5}{2}\left(\frac{r_c}{r_1}\right)^2 + 1 \right] \right\}$$

d) Die Nußelt-Zahl Nu

Aus Glg. (19) folgt mit  $d_h/r_w = -2 [(r_c/r_1)^2 - 1]$

$$Nu = \frac{2 [(r_c/r_1)^2 - 1]}{\theta_m} \left( \frac{d\theta}{dy^+} \right)_{y^+=1}$$

Durch Differentiation der Gleichung (200) und Einsetzen zusammen mit Glg. (201b) gelangt man zu folgendem Ergebnis:

$$Nu = \frac{4 \left[ 1 - \left( \frac{r_c}{r_1} \right)^2 \right] \left\{ \frac{1}{2} \left( \frac{r_1}{r_c} \right)^2 + \left( \frac{r_c}{r_1} \right)^2 \left[ \ln \left( \frac{r_1}{r_c} \right)^2 + \frac{3}{2} \right] - 2 \right\}^2}{z}$$

mit

$$z = \left[ \frac{9}{2} \left( \frac{r_c}{r_1} \right)^2 - 2 \right] \left[ \ln \left( \frac{r_c}{r_1} \right)^2 \right]^2 \left( \frac{r_c}{r_1} \right)^2 + \left[ 10 \left( \frac{r_c}{r_1} \right)^2 - \frac{95}{12} \left( \frac{r_c}{r_1} \right)^4 - \frac{5}{2} \right] \ln \left( \frac{r_c}{r_1} \right)^2 + \left[ \frac{719}{144} - \left( \ln \left( \frac{r_c}{r_1} \right)^2 \right)^3 \right] \left( \frac{r_c}{r_1} \right)^4 + \frac{11}{48} \left( \frac{r_1}{r_c} \right)^4 - \frac{35}{3} \left( \frac{r_c}{r_1} \right)^2 - \frac{23}{9} \left( \frac{r_1}{r_c} \right)^2 + 9 \quad (202)$$

### 3.6.2. TURBULENTE STRÖMUNG, BERECHNUNG STRÖMUNGSMECHANISCHER GRÖSSEN

Die in Abschnitt 3.5.2 für den Ringspalt hergeleiteten Beziehungen, die ihrerseits auf den für das Rohr gültigen Zusammenhängen basieren, können nun noch auf die Strömung längs Rohrbündeln erweitert werden. Die gemeinsame Kenngröße bei dieser Verkettung Rohr-Ringspalt-Rohrbündel ist die bereits eingeführte sog. äquivalente Rohr-Reynolds-Zahl  $Re_T$ , die sich aus den Gleichungen (177a), (177b) und (179) mit  $Re_B = Re_1$  sowie  $\varphi_{mB} = \varphi_{m1}$  ergibt.

$$Re_T = \frac{r_2/r_1 - r_c/r_1}{(r_c/r_1)^2 - 1} \frac{\varphi_{mT}}{\varphi_{mB}} Re_B \quad (203)$$

In Tabelle 9 sind die für verschiedene Wertepaare ( $Re_T, p/d$ ) aus dieser Gleichung gewonnenen Rohrbündel-Reynolds-Zahlen  $Re_B$  gemeinsam mit den mittleren Geschwindigkeiten  $\varphi_{mB}$  und dem zugeordneten Ringspalt  $r_1/r_2$  wiedergegeben.

Der Widerstandskoeffizient  $\zeta_B$  läßt sich in gleicher Weise, wie bereits beim Ringspalt beschrieben, berechnen. Aus den Gleichungen (174a), (174b) und (180) folgt mit  $\zeta_B = \zeta_1$ :

$$\zeta_B = \frac{(r_c/r_1)^2 - 1}{(r_1/r_2) [(r_2/r_1)^2 - (r_c/r_1)^2]} \left( \frac{\varphi_{mT}}{\varphi_{mB}} \right)^2 \zeta_T \quad (204)$$

wobei  $\zeta_T$  wiederum den für  $Re_T$  aus dem Widerstandsgesetz des Rohres bestimmten Widerstandskoeffizienten bedeutet. Den Quotienten  $\zeta_B/\zeta_T^+$  mit dem für  $Re_B$  direkt aus dem Rohrgesetz ermittelten Wert  $\zeta_T^+$  erhält man mit Hilfe der Gleichungen (69b) und (204):

$$\frac{\zeta_B}{\zeta_T^+} = \frac{(r_c/r_1)^2 - 1}{(r_1/r_2) [(r_2/r_1)^2 - (r_c/r_1)^2]} \left( \frac{\varphi_{mT}}{\varphi_{mB}} \right)^2 \left[ \frac{\log(Re_B/7)}{\log(Re_T/7)} \right]^2 \quad (205)$$

Die restlichen strömungsmechanischen Größen:  $\tau/\tau_w$ ,  $\varphi$ ,  $\varphi_m$  lassen sich aus den für die innere Ringspalthälfte hergeleiteten Beziehungen entnehmen.

---



#### 4. DISKUSSION DER ERGEBNISSE DER NUMERISCHEN BERECHNUNG

##### Einleitung

Die numerische Auswertung der in den Abschnitten 2 und 3 enthaltenen Gleichungen wurde mit Hilfe einer IBM-7094-Rechenanlage durchgeführt (vom Verfasser programmiert). Die dabei der numerischen Integration der auftretenden Integrale zugrundegelegten Unterteilungen werden im folgenden beschrieben.

##### a) Laminare Strömung: Lineare Unterteilung der Breite

$$\Delta y_1^+ = (y_w^+ - y_0^+) / 100$$

über den gesamten Bereich  $y_w^+ \dots y_0^+$  des Strömungsquerschnitts.

b) Turbulente Strömung: Da sich das Geschwindigkeits- und das Temperaturprofil - letzteres mit Ausnahme der Fälle von Kombinationen kleiner Prandtl- und kleiner Reynolds-Zahlen (s. Abb. 38, 60, 67, 81 und 93) - bereits in unmittelbarer Wandnähe aufbauen, muß die Unterteilung mit Annäherung an die wärmeaustauschende Wand zunehmend feiner werden. Einheitlich für alle betrachteten Formen des Strömungsquerschnitts werden im Bereich, der durch  $0 \leq |y^+ - y_0^+| \leq 0,9 |y_w^+ - y_0^+|$  definiert ist, eine lineare Unterteilung der Breite

$$\Delta y_m^+ = (y_w^+ - y_0^+) / 60$$

und in der restlichen wandnahen Zone  $0,9 |y_w^+ - y_0^+| < |y^+ - y_0^+| < |y_w^+ - y_0^+|$  beim Rohr und Rohrbündel sowie bei parallelen Platten, symmetrischer Wärmeaustausch, eine Unterteilung der ortsabhängigen Breite

$$\Delta y_{n1}^+ = (y_w^+ - y_0^+) \Delta \varphi / (d\varphi / dy^+)_{T, Re=10^5}$$

mit  $\Delta \varphi = -1/60$  zugrundegelegt. An der Grenze der beiden Bereiche mit gleichmäßiger Abstufung der wandnormalen Ordinate  $y^+$  einerseits und der Geschwindigkeit  $\varphi$  andererseits, d.h. für  $y^+ - y_0^+ = 0,9(y_w^+ - y_0^+)$ , gilt bei der turbulenten Rohrströmung und der oben angegebenen Reynolds-Zahl  $Re = 10^5$ :  $d\varphi / dy^+ = (\tau_c / \tau_w) (\eta_c u_c / u^+) (1 + \epsilon_m / \nu) \approx -1$ . In den Fällen des Ringspalts und der parallelen Platten, asymmetrischer Wärmeaustausch, trennt das Temperaturoptimum  $\vartheta_0$ , verglichen mit dem Geschwindigkeitsmaximum  $u_c$ , im Mittel der doppelte Abstand von der wärmeaustauschenden Wand (gem. Abb 1b, 1c und 1f betragen diese Abstandsverhältnisse  $p_i$ :  $PA_1 > 2$ ,  $PA_2 < 2$  und  $PPAS = 2$ ). Aus diesem Grund muß die zuvor genannte Grenze an die Stelle  $y^+ - y_0^+ = 0,95(y_w^+ - y_0^+)$  gelegt werden. Dies hat zur Folge, daß die Teilbereiche  $\Delta y_{n1}$  zu halbieren sind:  $\Delta y_{n2}^+ = \Delta y_{n1}^+ / 2$ . Die Lücke  $0,9 |y_w^+ - y_0^+| \dots 0,95 |y_w^+ - y_0^+|$  wird dabei in drei je gleich große Abschnitte  $\Delta y^+ = 0,05(y_w^+ - y_0^+) / 3$  geteilt. Nach dem so beschriebenen Verfahren erhält man für die 3 erstgenannten Fälle (T, PS, B) 61 und für die 3 letztgenannten (A1, A2, PAS) 64 Teilbereiche. Die verhältnismäßig hohe Reynolds-Zahl von  $Re = 10^5$  wurde gewählt, um in großer Wandnähe, bedingt durch den dort vorhandenen steilen Geschwindigkeitsabfall, genügend viele Integrationsschritte zu erhalten. Die auf diese Art und Weise berechneten Unterteilungen erwiesen sich als ausreichend, mit Ausnahme der Kombinationen  $Pr^+ > 10, Re_T > 10$ , für die eine noch feinere Abstufung in unmittelbarer Wandnähe notwen-

dig wäre (die letzte Teilabszisse befindet sich im Abstand  $0,886 \cdot 10^{-4}(y_w^+ - y_0^+)$  in den Fällen T, PS, B und im halb so großen Abstand  $0,443 \cdot 10^{-4}(y_w^+ - y_0^+)$  in den Fällen A1, A2 und PAS zur wärmeaustauschenden Wand). Die auszuschließenden Reynolds-Zahlen kommen allerdings infolge der mit den hohen Prandtl-Zahlen verbundenen großen Zähigkeiten kaum vor. Die in verschiedenen Diagrammen im Bereich  $Pr^+ \geq 10, Re_T \geq 10^6$  enthaltenen Ergebnisse sind durch Extrapolation gewonnen.

Bei der Durchführung des wärmetechnischen Teils der numerischen Berechnungen wurden - ausgehend von den bereitgestellten hydrodynamischen Größen  $\varphi, \epsilon_m/\nu$  etc. - zunächst der keine Iteration erfordernde Fall mit konstanter Wärmeflußdichteverteilung  $F_0=1$  behandelt und daran anschließend mit Hilfe der so erhaltenen Temperaturverteilung der Verlauf erster Näherung der wandnormalen Wärmestromdichte und der Temperatur für den nächsthöheren Wert des Parameters  $F_0 > 1$  berechnet (s. Tabelle 1). Durch Iteration wurde diejenige Näherung als Lösung bestimmt, für die die Verbesserung der Nußelt-Zahl  $Nu_0$  (zu deren Berechnung die Kenntnis der Mischungstemperatur  $\theta_m$  nicht notwendig ist und daher keine zusätzliche numerische Integration erfordert) gegenüber dem zuvor berechneten Wert kleiner oder gleich 1 Promille bei der laminaren bzw. 3 Promille bei der turbulenten Strömung beträgt. Beim Übergang zum nächstfolgenden Wert des Parameters  $F_0$  wurde die Temperaturverteilung des bereits bekannten nächstgelegenen Wertes  $F_0$  (im folgenden Beispiel in Klammern gesetzt) bei gleicher Reynolds-Zahl zur Berechnung der ersten Näherung herangezogen, also etwa  $F_0 = 1 - 2(1) - 4(2) - 8(4) - 0,5(1) - 0(0,5)$ . Die Konvergenz für  $F_0 > 0$  ist gut, sodaß im Durchschnitt bereits die zweite oder dritte, und nur in Ausnahmefällen die vierte Näherung die oben definierte Lösung ergab.

Beim Übergang zu negativen Werten des Parameters der Wärmestromdichteverteilung mußte das hier beschriebene Verfahren in Bezug auf die Auswahl der Werte  $F_0$  modifiziert werden: Wie Abbildung 3 zeigt, können nicht uneingeschränkt Werte  $F_0 < 0$  gewählt werden, ohne in das auszuschließende Gebiet  $F_0/F_m = d\theta_m/d\theta_0 < 0$  zu gelangen (die im Quadranten  $F_0 < 0, F_m > 0$  gelegenen Kurvenabschnitte der Funktion (34) sind in Abb. 3 weggelassen, wie bereits in Abschnitt 2.2.5 begründet wurde). Um für die festzulegenden Werte  $F_0 < 0$  eine gegenüber  $F_0 > 0$  vergleichbare Abstufung - gekennzeichnet durch den Grad der Annäherung an den Grenzwert  $F_0 \rightarrow \infty$  für  $F_0 > 0$  bzw. an  $F_0 \rightarrow -\theta_m/(1-\theta_m)$ , d.h.  $F_m \rightarrow \infty$  für  $F_0 < 0$  (s. Abb. 4a und 4b) - zu erhalten, wurden die Werte  $F_0 < 0$  mit Hilfe der Gleichung (34) für die dem Vergleichswert  $F_0^+ > 0$  entsprechende Größe  $F_m^+ < 0$  berechnet und auf 5/100 aufgerundet. Wegen der Symmetrie der Kurven  $F_0(F_m)$  um die Achse  $F_0 = 1 - F_m$  folgt  $F_m^+ = 1 - F_0^+$ , der Reihenfolge  $F_0^+ = 2, 4, 8$  entspricht also die Abstufung  $F_m^+ = -1, -3, -7$ , wie sie in Tabelle 1. für  $Pr_T, B = 1$  aufgeführt ist. Anstelle der zunächst noch unbekanntem Mischungstemperatur  $\theta_m$  wurde der bei dem nächsthöheren Wert  $F_0$  für dieselbe Reynolds-Zahl ermittelte Wert  $\theta_m'$  in die Gleichung (34) eingesetzt. Da der zu erwartende Betrag von  $\theta_m$  stets kleiner sein wird als  $\theta_m'$ , muß Vorsorge dafür getroffen werden, daß man nicht zu sehr in die technisch uninteressanten Bereiche  $F_m \rightarrow \infty$  ( $Nu \rightarrow 0$ ) einerseits bzw.  $F_0/F_m < 0$  ( $Nu_0 < 0$ ) andererseits gelangt (wie in Abschnitt 2.2.5 beschrieben, ist lediglich der Grenzfall  $Nu=0$ , der dem Temperatúrausgleich entspricht, von technischem Interesse). Dies geschah auf zweierlei Weise: Zunächst wurde in den Fällen, in welchen als Folge der niedrigen Werte für  $\theta_m$  haupt-

sächlich Vorsicht geboten ist, also bei der laminaren Strömung generell und bei der turbulenten Strömung für  $Pr < 0,1$ , die aus der Beziehung  $F_m^+ = 1 - F_0^+$  gewonnenen Werte  $F_m^+$  erhöht. Damit erreicht man, daß die Tendenz zu höher negativen Werten  $F_m$  ( $F_m < F_m^+$ ) teilweise kompensiert wird. Weiterhin wurde die Anzahl der Iterationen zur Bestimmung des endgültigen Wertes  $Nu_0$  bei der laminaren Strömung auf 20 und bei der turbulenten Strömung auf 10 begrenzt. Reichte diese Anzahl zur Lösung in dem weiter oben definierten Sinn nicht aus, oder führten im Laufe der Iterationen die Zwischenergebnisse zu negativen  $Nu_0$ , so wurde  $F_0$  um  $5/100$  erhöht und der zuvor beschriebene Vorgang solange wiederholt, bis das endgültige Ergebnis innerhalb der Höchstzahl von Iterationen pro Wert  $F_0$  vorlag. Die Abnahme der NuBelt-Zahlen für negative  $F_0$  ist wesentlich stärker ausgeprägt als die Zunahme für  $F_0 > 0$ , wie die Abbildungen 29, 37, 54, 100 und die Tabellen 10 bis 17 zeigen. Diese Tatsache drückt sich dementsprechend auch in der Anzahl der notwendigen Iterationen aus, die mit Abnahme des Parameters  $F_0$ , der Prandtl-Zahl  $Pr$  und - etwas weniger deutlich - der Reynolds-Zahl  $Re$ , sowie mit zunehmendem Unterschied der aufeinanderfolgenden Werte  $F_0$  ansteigt.

Bevor nun auf die numerischen Ergebnisse im einzelnen eingegangen wird, ist es angebracht, die bei der Herleitung der Formeln in den jeweiligen Abschnitten beschriebenen physikalischen Zusammenhänge zwischen Strömungsquerschnitt, thermischer Randbedingung, Strömungsform (laminar oder turbulent) und dem daraus folgenden Einfluß auf die Wärmeübertragung an dieser Stelle nochmals zu skizzieren. Diese Zusammenstellung wird einheitlich für den allgemeinen Fall des Ringspaltes gegeben, in dem das Rohr, die parallelen Platten und das Rohrbündel (letzteres im Rahmen der vereinbarten Näherung  $r(\tau=0) \approx r_c$ ) als Sonderfälle mit enthalten sind.

Vereinfachend läßt sich folgendes umkehrbare Schema aufstellen: Eine Abnahme des Flächeninhalts unter dem  $\tau/\tau_w$ -Verlauf im Bereich  $y_c \dots y_w^+$  führt zu einer Zunahme der Völligkeit des innerhalb dieser Grenzen befindlichen Anteils der Geschwindigkeitsverteilung  $\varphi$ . Die damit verbundene Abnahme des Flächeninhalts unter dem  $q/q_w$ -Verlauf im Bereich  $y_0 \dots y_w^+$  führt zu einer Zunahme der Völligkeit des dazugehörigen  $\theta$ -Profils. Eine Zunahme der Völligkeit des  $\varphi$ -Verlaufs schließt eine Erhöhung sowohl der mittleren Geschwindigkeit  $\varphi_m$  als auch des Gradienten  $(d\varphi/dy)_w$  und damit des Reibungskoeffizienten  $\zeta$  ein. In der gleichen Weise wirkt sich die Zunahme der Völligkeit des  $\theta$ -Profils auf eine Erhöhung von  $\theta_m$ ,  $(d\theta/dy)_w$  und von  $Nu$  aus. Der Einfluß des Parameters  $F_0$  - einer Zunahme entspricht eine Verminderung des Flächeninhalts unter dem  $q/q_w$ -Verlaufs (und umgekehrt), verbunden mit den zuvor beschriebenen Konsequenzen - ist umso größer, je weniger der Wärmeaustausch von den wandnahen Vorgängen beherrscht wird: Bei laminarer Strömung also im Fall A1 mit steigendem, im Fall A2 mit abnehmendem Wert des Radienverhältnisses  $r_1/r_2$  und bei turbulenter Strömung zusätzlich mit abnehmender Prandtl- und abnehmender Reynolds-Zahl.

Von allen in dieser Arbeit betrachteten Strömungsquerschnitten ist nach dem vorausgehenden der Einfluß von  $F_0$  beim Rohr (als Grenzfall des Ringspalts mit  $r_1/r_2=0$  und  $q_w=q_{w2}$ ) am höchsten. Diese Tatsache ist am deutlichsten in Abb.29 zu ersehen.

Es erweist sich nun als zweckmäßig, für die Zusammenstellung der numerischen Ergebnisse, einschließlich des Vergleichs mit experimentellen Daten, von der bei der Herleitung der Formeln gewählten Reihenfolge abzugehen, und die verschiedenen Strömungsquerschnitte in den übergeordneten Abschnitten für laminare Strömung einerseits bzw. für turbulente Strömung andererseits zu gruppieren.

#### 4.1. LAMINARE STRÖMUNG

Bei laminarer Strömung besteht unter den in Abschnitt 2.1 getroffenen Voraussetzungen Ähnlichkeit sowohl der Geschwindigkeits- als auch der Temperaturprofile für alle Prandtl- und alle Reynolds-Zahlen. Für Kanalströmungen mit linearem Druckabfall bleibt nach Abschnitt 2.2.5 diese Ähnlichkeit bei exponentiellen Wärmeflußverteilungen längs der Wand erhalten. Der Wärmeübergang wird also allein von der Querschnittsform des Kanals, von der thermischen Randbedingung (z.B. A1 - A2, PS - PAS) und von der Größe des Parameters der Wärmeflußverteilung  $F_0$  bestimmt.

##### 4.1.1. DAS ROHR

In Abbildung 14 sind die Temperaturverteilungen  $\theta(y/r_w)$  für verschiedene Werte  $F_0$  dargestellt. Das dabei zusätzlich eingezeichnete Temperaturprofil  $\theta=1-1,8y^2+0,8y^3$  entspricht der aus einem Potenzreihenansatz gewonnenen Näherungslösung (s.Glg.61a). Die Kurve  $\partial\theta/\partial x=0$  gibt im Schnittpunkt mit den Kurven  $\theta(F_0=\text{konst.} < 0)$  den aus der Beziehung  $\theta(y_n^+)=F_0/(F_0-1)$  folgenden Wandabstand  $y/r_w=1-y_n^+$  mit unveränderlicher Temperatur in Strömungsrichtung an. Derselbe Zusammenhang  $y_n^+(F_0)$  ergibt sich in Abb.15 aus dem geometrischen Ort der Maxima der Kurven  $(1-y/r_w)q/q_w$ , wie bereits in Abschnitt 2.4 ausgeführt wurde (Glg.57d). Dabei ist auch ersichtlich, daß mit  $\partial\theta/\partial x=0$  im Wärmestromdichteverlauf  $q/q_w$  keine ausgezeichnete Stelle verbunden ist. Daß bei kreiszylindrischen Wänden der Verlauf von  $q/q_w$  gegenüber demjenigen von  $y^+q/q_w$  weniger aufschlußreich ist, kommt weiterhin darin zum Ausdruck, daß die allen Werten  $F_0$  im Ursprung  $y_w^+=1$  gemeinsame Tangente  $q/q_w=2-y^+$  die Kurven  $q/q_w$  nicht in zwei Gruppen teilt, je nachdem ob sie teilweise oberhalb ( $F_0 < 0$ ) oder ausschließlich unterhalb ( $F_0 > 0$ ) dieser Tangente verlaufen. Bei oberflächlicher Betrachtung könnte dieser Schluß aus dem bei parallelen Platten vorliegenden Verhalten gezogen werden. Der damit begangene Fehler wäre allerdings nicht sehr groß, wie die in Abb.15 eingezeichnete Tangente mit der Steigung  $d(q/q_w)/d(y/r_w)=1$  im Vergleich zu der Kurve für  $F_0=0$  im wandnahen Bereich zeigt.

Der Einfluß des Parameters  $F_0$  auf die Mischungstemperatur  $\theta_m$ , auf die Nußelt-Zahl  $Nu$  sowie auf die thermische Einlaufänge  $x_e$  geht aus den Abbildungen 27 bis 30 hervor. In Abb. 29 ist dabei insbesondere das bereits am Ende des Abschnitts 2.2.5 begründete Verhalten zu erkennen:  $Nu \rightarrow -\infty, \theta_m=0$  für  $F_0=F_{0d}$  -  $Nu=0, \theta_m=\theta_{mb}>0$  für  $F_0=F_{0b}$  -  $Nu=Nu_{max}, \theta_m=\theta_{m-max}$  für  $F_0 \rightarrow +\infty$ . Die Größen  $F_{0d}, F_{0b}, \theta_{mb}$  und  $Nu_{max}$  nehmen dabei für jeden speziellen Fall I charakteristische Werte an.

#### 4.1.2. PARALLELE PLATTEN, SYMMETRISCHER WÄRMEAUSTAUSCH

Der Wärmeaustausch bei laminarer Strömung zwischen parallelen Platten ist der einzige Fall, in dem sich die Stelle  $\partial\theta/\partial x=0$  durch einen Wendepunkt im Temperaturprofil auszeichnet. In den beiden Abbildungen 16 und 18 ist diese Tatsache zu erkennen, besonders im Vergleich mit der laminaren Rohrströmung nach Abb.14. Die Abhängigkeit der Mischungstemperatur  $\theta_m$  und der Nußelt-Zahl  $Nu$  vom Parameter  $F_0$  ist aus den das Rohrbündel betreffenden Abbildungen 35 bis 37 zu entnehmen: In der Näherung, die das Rohrbündel durch die innere Hälfte eines Ringspalts bei quasisymmetrischem Wärmeaustausch ( $r_o=r_c$ ) ersetzt, entspricht der Fall der parallelen Platten bei symmetrischem Wärmeaustausch nach Glg.(196a) dem unteren Grenzwert  $p/d=0,952$  ( $r_o/r_1=r_c/r_1=1$ ). Die am Ende des Abschnitts 2.2.5 gegebenen Erläuterungen über die Beeinflussung des wandnormalen Wärmestromdichteverlaufs durch den Parameter  $F_0$  werden in Abb.17 veranschaulicht.

#### 4.1.3. PARALLELE PLATTEN, ASYMMETRISCHER WÄRMEAUSTAUSCH

Der Temperaturverlauf  $\theta$  und die Wärmestromdichteverteilung  $q/q_w$  sind in den Abbildungen 18 und 19 für verschiedene Werte  $F_0$  wiedergegeben. Der Einfluß der Größe  $F_0$  auf  $\theta_m$ ,  $Nu$ ,  $Nu/Nu_q$  und auf  $x_e/(d_h Pe)$  folgt aus den Abbildungen 27 bis 30: Bei asymmetrischem Wärmeaustausch stellt die Strömung zwischen parallelen Platten den speziellen Fall  $r_1/r_2=1, q_w=q_{w1}=q_{w2}$  des allgemeinen Falls eines Ringspalts mit einseitigem Wärmeaustausch dar.

#### 4.1.4. DIE EBENE PLATTE

Da der Wärmeaustausch durch die exakten Berechnungen von Sparrow/Lin /4/ für die Wärmeflußverteilung  $q_w=ax^m$  bekannt ist, wurden in der vorliegenden Arbeit nur die Näherungslösungen hergeleitet, die neben ihrer Einfachheit hauptsächlich den Vorteil größerer Anschaulichkeit besitzen. Die dabei gewonnenen Ergebnisse wurden bereits in Abschnitt 3.4 beschrieben und in den Abbildungen 7 bis 10 dargestellt.

#### 4.1.5. DER RINGSPALT

Der Schubspannungsverlauf  $\tau/\tau_w$  ist in Abb.20 über der Abszisse  $(r-r_i)/(r_c-r_i)$  aufgetragen. Der Index  $i$  ist für die innere Ringspaltheilte gleich 1 und für die äußere Ringspaltheilte gleich 2 zu setzen. Der Unterschied zwischen laminarer und turbulenter Strömung kommt in den Größen  $\tau_w$  und  $r_c$  zum Ausdruck. Während sich in der äußeren Ringspaltheilte die Schubspannungen nur unwesentlich

von dem beim Rohr und bei parallelen Platten vorhandenen linearen Verlauf unterscheiden, ergeben sich demgegenüber in der inneren Ringspalthälfte mit abnehmendem Radienverhältnis  $r_1/r_2$  zunehmend starke Abweichungen.

Als Beispiel für diejenigen Fälle, in denen die Fläche, durch die der wandnormale Wärmefluß tritt, mit dem Abstand von der wärmeaustauschenden Wand zunimmt, sind in Abb.21 die Wärmestromdichteverteilungen  $q/q_w$  für 3 verschiedene Radienverhältnisse  $r_1/r_2$  eines Ringspalts mit Wärmeaustausch am inneren Zylinder  $r_1$  wiedergegeben. Die Neigungen der Kurven  $q/q_w$  an der wärmeaustauschenden Wand, die in der Darstellung  $y^+ q/q_w = f(y^+)$  für alle kreiszylindrischen Wände den Wert  $-1$  annehmen, werden in der hier vorliegenden speziellen Form der Abszisse  $(r-r_1)/(r_2-r_1)$  mit abnehmendem  $r_1/r_2$  steiler. Aus diesem Grund können sich auch nur für verhältnismäßig große Radienverhältnisse  $r_1/r_2$  in Verbindung mit genügend stark negativen Werten des Parameters  $F_0$  Maxima  $d(q/q_w)/dr=0$  ausbilden, die dann meist auch mit Werten  $q/q_w > 1$  verbunden sind. Die Stelle  $\partial\theta/\partial x=0$  liegt in Bezug auf diese Maxima in größerem Abstand zur wärmeaustauschenden Wand, während dies beim Rohr und beim Ringspalt, Wärmeaustausch am äußeren Zylinder, umgekehrt ist, wie der Vergleich mit Abb.15 und die Ausführungen in Abschnitt 2.4 zeigen. (Einheitlich für alle kreiszylindrischen Wände - T, A1, A2 und B - liegt diese Stelle also bei einem höheren Wert des Halbmessers  $r$ )

Die nach Gleichung (157b) berechneten Temperaturverteilungen bei konstantem Wärmefluß  $q_w$  sind für verschiedene Werte des Radienverhältnisses  $r_1/r_2$  in Abb.22 wiedergegeben. In der dabei gewählten Abszisse  $(r-r_i)/(r_j-r_i)$  ist bei Wärmeaustausch am inneren Zylinder (Fall A1 -  $q_w=q_{w1}$ )  $r_i=r_1$  und  $r_j=r_2$  und bei Wärmeaustausch am äußeren Zylinder (Fall A2 -  $q_w=q_{w2}$ ) entsprechend  $r_i=r_2$  und  $r_j=r_1$  zu setzen. Während für  $q_w=q_{w2}$  die Abhängigkeit von  $r_1/r_2$  gering ist, nimmt diese für  $q_w=q_{w1}$  mit sinkenden Werten  $r_1/r_2$  deutlich zu.

Der Einfluß des Parameters  $F_0$  auf die einzelnen Größen geht aus folgenden Abbildungen hervor: Für die Temperaturverteilung  $\theta((r-r_i)/(r_j-r_i), F_0=\text{konst.})$  bei verschiedenen Radienverhältnissen und Wärmeaustausch am inneren Zylinder aus den Abbildungen 23 bis 25, bei Wärmeaustausch am äußeren Zylinder und  $r_1/r_2=0,10$  aus Abb.26, für die Mischungstemperatur  $\theta_m(r_1/r_2, F_0=\text{konst.})$  aus Abb.27, für die Nußelt-Zahl  $Nu(r_1/r_2, F_0=\text{konst.})$  aus Abb.28, für das Nußelt-Zahlen-Verhältnis  $Nu/Nu_q(F_0, r_1/r_2=\text{konst.})$  aus Abb.29 und für die thermische Einlaufänge  $x_e$  in der Form  $x_e/(d_h Pe) = f(r_1/r_2; F_0=\text{konst.})$  aus Abb.30.

In der inneren Ringspalthälfte strebt mit  $r_1/r_2 \rightarrow 0$  das Geschwindigkeitsprofil der Rechteckform zu ( $s \cdot \varphi_{m1}=1$  in Abb.33). Der damit verbundene Geschwindigkeitsgradient  $(d\varphi/dy)_w \rightarrow \infty$  führt zu  $(d\theta/dy)_w \rightarrow \infty$ ,  $\theta_m=1$ ,  $Nu \rightarrow \infty$  und  $x_e=0$ , wie aus den Abbildungen 27, 28 und 30 hervorgeht.

Als Beispiele für Temperaturverteilungen bei Wärmeaustausch längs des inneren und äußeren Zylinders eines Ringspalts sind für den speziellen, hier mit quasisymmetrischem Wärmeaustausch bezeichneten Fall  $r_0=r_c$  in den beiden Abbildungen 31 und 32 die Funktionen  $\theta=f_1((r-r_i)/(r_0-r_i), r_1/r_2=\text{konst.})$  und  $(\theta-\theta_{w1})/(\theta_0-\theta_{w1})=f_2((r-r_1)/(r_2-r_1), r_1/r_2=\text{konst.})$  bei  $q_{w1}=\text{konst.}$  und  $q_{w2}=\text{konst.} \neq q_{w1}$  dargestellt. Aus Abb.32 sind dabei die Unterschiede in den Wand-

temperaturen der beiden Zylinder ersichtlich<sup>++</sup>. In der Form  $\theta_{wc12} = (\vartheta_{w2} - \vartheta_0) / (\vartheta_{w1} - \vartheta_0)$  ist dieser Zusammenhang in Abb.33 in Abhängigkeit vom Radienverhältnis  $r_1/r_2$  aufgetragen. Aus Abb.33 sind weiterhin zu entnehmen: Die in den Ringspalthälften 1 und 2 vorliegenden Werte der Mischungstemperaturen  $\theta_{m1}$  und  $\theta_{m2}$  einerseits bzw. der mittleren Geschwindigkeiten  $\varphi_{m1}$  und  $\varphi_{m2}$  andererseits, die Werte der über den Gesamtquerschnitt integrierten Mischungstemperatur  $\theta_{m12}$  in der Form  $\theta_{m12} = (\vartheta_{m12} - \vartheta_{w1}) / (\vartheta_0 - \vartheta_{w1})$  und der mittleren Geschwindigkeit  $\varphi_{m12}$  sowie die durch die Gleichung (167) definierten NuBelt-Zahlen  $Nu_1$  und  $Nu_2$ .

#### 4.1.6. DAS ROHRBÜNDEL

Die vereinbarte Näherung  $r(\tau=0) \approx r_c$  führt den Wärmeübergang beim Rohrbündel auf jenen in der inneren Hälfte eines Ringspalts mit quasisymmetrischem Wärmeaustausch zurück. Demzufolge können die in den Abbildungen 31 und 32 dargestellten Temperaturverteilungen im Bereich  $r_1 < r < r_c$  sowie die in Abb.33 enthaltenen Größen  $\varphi_{m1} = \varphi_{mB}$ ,  $\theta_{m1} = \theta_{mB}$  und  $Nu_1 = Nu_B$  direkt übernommen werden. Umgekehrt gilt die in Abb.34 für das Rohrbündel mit  $p/d = 1,61$  bei Dreieckteilung (bzw. nach Glg.196c mit  $p/d = 1,50$  bei quadratischer Teilung) für verschiedene Werte von  $F_0$  wiedergegebene Temperaturverteilung  $\theta$  auch für die innere Ringspalthälfte bei  $r_1/r_2 = 0,40$  und  $r_0 = r_c$ . Die Zuordnung  $p/d - r_1/r_2$ , die aus den Gleichungen (151a), (196a) und (196b) folgt, ist in Abb.37 durch einige Wertepaare angegeben.

Der Einfluß des Parameters der Wärmeflußverteilung geht aus Abb. 35 für  $\theta_m(p/d, F_0 = \text{konst.})$ , aus Abb.36. für  $Nu(p/d, F_0 = \text{konst.})$  sowie aus Abb.37 für  $Nu/Nu_q(F_0, p/d = \text{konst.})$  hervor. Für konstante Werte von  $F_0$  läßt sich die Abhängigkeit der NuBelt-Zahl vom Schrittverhältnis  $p/d$  durch Näherungsformeln angeben. Bei unveränderlichem Wärmefluß ( $F_0 = 1$ ) zum Beispiel lauten diese, mit Hilfe der Abbildung 36 gewonnenen Gleichungen (die Werte in den Klammern geben den Gültigkeitsbereich sowie die maximalen Abweichungen gegenüber den nach Glg.202 ermittelten Ergebnissen an):

$$Nu = 1,4 + 7\left(\frac{p}{d}\right) \quad (p/d < 2, \pm 1\%) \quad (206a)$$

$$Nu = 7\left(\frac{p}{d}\right)^{1,15} \quad (2 < p/d < 5, \pm 2,5\%) \quad (206b)$$

$$Nu = 4\left(\frac{p}{d}\right)^{1,5} \quad (5 < p/d < 20, \pm 1\%) \quad (206c)$$

<sup>++</sup>Wie aus Abb.32 weiterhin hervorgeht, ist die Temperaturdifferenz  $\vartheta - \vartheta_{w1} = 0,35(\vartheta_c - \vartheta_{w1})$  näherungsweise für alle Radienverhältnisse  $r_1/r_2$  an die Stelle  $r - r_1 = 0,886(r_2 - r_1)$  gebunden.

## 4.2. TURBULENTE STRÖMUNG

Im Vergleich zur laminaren Strömung werden bei der turbulenten Strömung das Geschwindigkeitsprofil  $\varphi(y^+)$  zusätzlich von der Reynolds-Zahl und die Temperaturverteilung  $\theta(y^+)$  zusätzlich von der Reynolds- und von der Prandtl-Zahl beeinflusst. Bei der Wiedergabe der numerischen Ergebnisse in Tabellen und Diagrammen erscheinen diese beiden Größen,  $Re$  und  $Pr^+$ , entweder als unabhängige Veränderliche oder als Parameter. Durch eine sinnvolle Wahl der Veränderlichen läßt sich der Einfluß der Reynolds-Zahl für gewisse Zusammenhänge weitgehend eliminieren. Solche Fälle liegen z.B. vor bei der Darstellung der Geschwindigkeitsverteilung in der Form  $u/u^+ = f(\eta)$  und der Temperaturverteilung in der Form  $(\vartheta_w - \vartheta)/\vartheta^+ = f(\eta, Pr)$ . Die Reynolds-Zahl ist hierbei implizit über die Schubspannungsgeschwindigkeit  $u^+ = \sqrt{\tau_w/\rho}$  in dem dimensionslosen Wandabstand  $\eta = yu^+/\nu$  -dieser hat selbst die Form einer Reynolds-Zahl- sowie in der Schubspannungstemperatur  $\vartheta^+ = q_w/(\rho c_p u^+)$  enthalten.

Für den Bereich kleiner Prandtl-Zahlen zeigt es sich, daß die Einflüsse der Reynolds- und der Prandtl-Zahl auf die Wärmeübertragung ungefähr gleich groß sind und die Nußelt-Zahl nur noch vom Produkt dieser beiden Größen,  $Pe = Re Pr$ , abhängt:  $Nu = f(Pe)$ . Zur Darstellung der Nußelt-Zahlen für mittlere und große Prandtl-Zahlen wird in der vorliegenden Arbeit eine vereinfachte Form der Gleichung (90) herangezogen:

$$Nu = \frac{Re Pr^+ \zeta/8}{1 + f(Pr^+) \sqrt{\zeta/8}} \quad (207)$$

Diese Formel, ebenso wie das damit zusammenhängende logarithmische Temperaturgesetz, gelten grundsätzlich für alle diejenigen Fälle von Wärmeübertragungen, in denen einerseits das Geschwindigkeitsmaximum und das Temperaturoptimum an dieselbe Stelle fallen und andererseits die  $q/q_w$ - und die  $\varepsilon_m/\nu$ -Verteilungen sich nicht allzu sehr von dem der Herleitung zugrundegelegten Fall des Rohres unterscheiden, oder die Abweichungen davon sich in etwa kompensieren; In den Gleichungen (90) und (207) schließt der Reibungskoeffizient  $\zeta$  implizit außer der Reynolds-Zahl auch noch den Einfluß geometrischer Parameter, wie z.B. das Schrittverhältnis  $p/d$  beim Rohrbündel mit ein (s. Abschnitt 4.2.5).

### 4.2.1. DAS ROHR

Die bereits durch die feinere Unterteilung bei der Auswahl der Parameter für die numerische Berechnung vorgenommene gesonderte Behandlung des Rohres gegenüber den nichtkreisförmigen Querschnitten (mit Ausnahme des Rohrbündels), findet bei der Darstellung der numerischen Ergebnisse ihre Fortsetzung in der Anzahl der aufgezählten Zusammenhänge unter den einzelnen, hier interessierenden Größen. Dient ersteres hauptsächlich zur Erleichterung der Interpolation der für die restlichen Strömungsquerschnitte grober gestaffelten Ergebnisse (eine Einschränkung ist durch die mit den zusätzlichen geometrischen Parametern  $r_1/r_2$ ,  $p/d$  einerseits und den verschiedenen thermischen Randbedingungen  $A1 - A2$ ,  $PS - PAS$  andererseits verbundene Vervielfachung der Daten auferlegt), so hat letzteres



seinen Grund darin, die Beschreibung der für die verschiedenen Fälle gleichermaßen gültigen Eigenschaften auf das einfachste, jedoch technisch wichtigste Beispiel zu beschränken.

#### a) Die Temperaturverteilung

Für konstanten Wärmefluß längs der Wand ist die Temperaturverteilung in fünf verschiedenen Auftragungen wiedergegeben. Die dabei gewählten unabhängigen Veränderlichen, die alle Funktionen des Wandabstandes sind, lauten :

$y/r_w = 1 - y^+$  (Abb.38) -  $\varphi$  (Abb.40) -  $u/u^+$  (Abb.41) -  $\eta Pr^+$  (Abb.42) -  $\eta$  (Abb.43)

Über den Einfluß der Parameter  $Re$  und  $Pr^+$  geben folgende Zusammenhänge Aufschluß (beim Übergang von  $\eta$  auf  $u/u^+$  wird von der Beziehung  $u/u^+ = f(\eta)$  und beim Übergang von  $u/u^+$  auf  $\varphi$  von der Proportionalität  $u/u^+ = c_u \varphi$ , wobei  $c_u = 1/(\varphi_m \sqrt{\zeta/8}) = f(Re)$  ist, Gebrauch gemacht) :

aa) Für kleine Prandtl-Zahlen folgt aus Glg.(88c), einschließlich der in Abschnitt 3.1.2.3 gegebenen Interpretation :

$$(\varepsilon_h/\varepsilon_m)(\vartheta_w - \vartheta)/\vartheta^+ = f_1(y/r_w, Re, Pr^+) = f_2(\eta Pr^+) = f_3(\eta, Pr^+) = f_4(u/u^+, Pr^+) = f_5(\varphi, Re, Pr^+)$$

(Eine zusätzliche, leichte Abhängigkeit der Funktionen  $f_1$  bis  $f_4$  von  $Re$  und der Funktion  $f_2$  von  $Pr^+$  ist durch den Einfluß der Reynolds-Zahl auf den  $q/q_w$ -Verlauf einerseits und auf die Näherung  $\eta_c Pr^+ = f(Re Pr^+)$  andererseits bedingt.)

ab) Für mittlere bis große Prandtl-Zahlen (mit mittleren Prandtl-Zahlen sind Werte für  $Pr^+$  in der Größenordnung 1 bezeichnet) erhält man nach Glg.(89b) :

$$(\varepsilon_h/\varepsilon_m)(\vartheta_w - \vartheta)/\vartheta^+ = \bar{f}_3(\eta, Pr^+) = \bar{f}_4(u/u^+, Pr^+) = \bar{f}_5(\varphi, Re, Pr^+) = \bar{f}_2(\eta Pr^+, Pr^+) = \bar{f}_1(y/r_w, Re, Pr^+)$$

(In den Funktionen  $\bar{f}_2$  bis  $\bar{f}_4$  bleibt durch die  $Re$ -Abhängigkeit des  $q/q_w$ -Verlaufs noch ein geringer Einfluß der Reynolds-Zahl bestehen.)

ac) Für alle Prandtl-Zahlen gilt in der wärmeleitenden Unterschicht :

$$(\vartheta_w - \vartheta)/\vartheta^+ = \eta Pr = (y/r_w) \eta_c Pr \text{ und zusätzlich in der laminaren (hydrodynamischen) Unterschicht } (\vartheta_w - \vartheta)/\vartheta^+ = (u/u^+) Pr = \varphi Pr f(Re)$$

Mit Hilfe dieser Beziehungen lassen sich die fünf Darstellungen der Temperaturverteilung in einfacher Weise interpretieren.

1) Die Abbildung 38 zeigt die Abhängigkeit des Temperaturverlaufs  $\vartheta(y/r_w)$  von der Reynolds- und von der Prandtl-Zahl. Während für kleine Werte von  $Pr^+$  und  $Re$  das Temperaturprofil noch vergleichbar mit demjenigen bei laminarer Strömung ist, nimmt es für  $Pr^+ = 1000$  praktisch Rechteckform an. Entsprechend der Funktion  $f_1(y/r_w, Re Pr^+)$  gelten im Bereich kleiner Prandtl-Zahlen die für  $Pr^+ = 0,01$  eingezeichneten Kurven  $Re = \text{konst.}$  bei gleichem Wert des Produktes  $Re Pr^+$  näherungsweise auch für andere Prandtl-Zahlen. Für  $Pr = 0$  und sämtliche  $Re$  weichen die Temperaturen  $\vartheta(y/r_w)$  nur unwesentlich von jenen des Wertepaares  $Pr^+ = 0,01 - Re = 4 \cdot 10^3$  ab, sie sind deshalb in Abb.38 weggelassen.

Der für  $Pr^+ = 1$ ,  $Pr^+ = 10$  und  $Re = 3 \cdot 10^4$  durch kleine Kreise angeordnete Temperaturverlauf folgt aus der Anwendung des mit Hilfe der Abb. 43 gewonnenen logarithmischen Temperaturgesetzes. Dagegen zeigen die für  $Pr^+ = 0,01$  und  $Re = 3 \cdot 10^4$  eingezeichneten Punkte die Abweichung der für kleine Prandtl-Zahlen gültigen Näherungslösung Glg. (88c) von den nach dem genauen Verfahren bestimmten Ergebnissen.

2) Der Zusammenhang zwischen dem Temperatur- und dem Geschwindigkeitsverlauf in Abhängigkeit von der Prandtl-Zahl geht für  $Re = 3 \cdot 10^4$  aus Abb. 40 hervor:  $\theta = f(\varphi, Re = 3 \cdot 10^4, Pr^+ = \text{konst.})$ . Wie man sieht, besteht auch unter der Voraussetzung  $\epsilon_h = \epsilon_m$  für  $Pr^+ = Pr = 1$  keine Identität  $\varphi = \theta$  (vgl. Ende des Abschnitts 3.4.3). Die beste Übereinstimmung  $\varphi = \theta$  erhält man mit  $\epsilon_h/\epsilon_m = \text{konst.}$  für einen leicht über 1 liegenden Wert von  $Pr^+$ .

Das Temperaturprofil baut sich bei kleinen Prandtl-Zahlen vorwiegend in einem Bereich auf, in dem die Geschwindigkeit bereits nahe ihrem Maximalwert ist, während umgekehrt bei großen Prandtl-Zahlen die Temperatur sich schon ab kleinen Beträgen der Geschwindigkeit - und damit umso mehr ab verschwindend kleinen Wandabständen - nicht mehr wesentlich ändert. Letzteres erklärt, warum (mit Ausnahme der Fälle von Kombinationen kleiner Prandtl- und kleiner Reynolds-Zahlen) zur Bestimmung der Größe der Teilabschnitte  $\Delta y^+$  bei der numerischen Berechnung eine Abstufung der Geschwindigkeit oder ein diesem ähnliches Verfahren zugrunde zu legen ist. Die in den Absätzen aa und ab aufgezeigte Abhängigkeit der Funktionen  $f_5$  und  $\bar{f}_5$  von der Reynolds-Zahl erweist sich in den Kurvenabschnitten rechts (in Richtung  $\varphi \rightarrow 1$ ,  $\theta \rightarrow 1$ ) der gekrümmten Mittelabschnitte als gering.

3) In Abb. 41 sind die Temperaturverteilungen in der Form  $(\epsilon_h/\epsilon_m)(\vartheta_w - \vartheta)/\vartheta^+$  für verschiedene Prandtl-Zahlen und  $Re = 3 \cdot 10^4$  über der Geschwindigkeitsverteilung  $u/u^+$  aufgetragen (zur besseren Darstellung sind die Werte  $(\epsilon_h/\epsilon_m)(\vartheta_w - \vartheta)/\vartheta^+$  mit den an den Kurven vermerkten Faktoren multipliziert, die Bezifferung der Ordinatenkala ist also durch diese Faktoren zu dividieren). Die Kurven der beiden Abbildungen 40 und 41 lassen sich durch Maßstabänderung der Koordinaten ineinander überführen: Es gilt  $u/u^+ = c_u \varphi$  und  $(\epsilon_h/\epsilon_m)(\vartheta_w - \vartheta)/\vartheta^+ = c_t \theta$ , wobei die Proportionalitätsfaktoren  $c_u = 1/(\varphi_m \sqrt{78})$  und  $c_t = \sqrt{78}/Re Pr^+ / (Nu \theta_m)$  lauten. Aus diesem Grund ist den Darstellungen Abb. 40 und Abb. 41 auch folgendes Verhalten gemeinsam:

Ab mittleren Prandtl-Zahlen entsprechen die vorwiegend einen linearen Verlauf aufweisenden Kurvenabschnitte zu beiden Seiten der deutlich gekrümmten Mittelabschnitte (letztere entfallen für Prandtl-Zahlen in der Nähe von 1) dem Geltungsbereich der in der wärmeleitenden Unterschicht - diese liegt für  $Pr^+ \geq 1$  innerhalb der laminaren - einerseits und in der turbulenten Kernströmung andererseits vorliegenden Gesetzmäßigkeiten: Nach Absatz ac gilt  $(\epsilon_h/\epsilon_m)(\vartheta_w - \vartheta)/\vartheta^+ = (u/u^+) Pr^+ = \varphi Pr^+ f(Re)$  und aus den beiden logarithmischen Gesetzen für die Geschwindigkeit und für die Temperatur folgt  $(\epsilon_h/\epsilon_m)(\vartheta_w - \vartheta)/\vartheta^+ = (a_t/a) u/u^+ + c_t (Pr^+) = \varphi f(Re) u/u^+ + c_t (Pr^+)$ . Anders liegen dagegen die Verhältnisse bei kleinen Prandtl-Zahlen. Zwar bleibt in der laminaren Unterschicht, die bis ca  $\eta = u/u^+ = 5$  reicht, die Proportionalität zwischen der Temperatur und der Geschwindigkeit bestehen, dagegen kann sich die wärmeleitende Unterschicht bis in die gekrümmten Mittelabschnitte der Kurven, oder auch darüber hinaus, erstrecken. Die mit Annäherung an die Rohrmitte ( $\varphi \rightarrow 1$ ) vorliegenden linearen Kurvenabschnitte hängen damit zusammen, daß sowohl die Geschwindigkeits- als auch die Temperaturverteilung dort parabolische Form

annehmen (gültig für sämtliche Prandtl-Zahlen): Wegen  $d\varepsilon_m/dy^+ = 0$  an der Stelle  $y^+ = 0$  - näherungsweise gilt  $\varepsilon_m/y = \text{konst.}$  über einen größeren Bereich  $y^+$  - folgt mit  $q/q_w \sim \tau/\tau_w = y^+ : (u_0 - u)/u^+ \sim y^{+2}$  sowie  $(\varepsilon_h/\varepsilon_m)(\vartheta - \vartheta_0)/\vartheta^+ \sim y^{+2}$  und damit  $(\varepsilon_h/\varepsilon_m)(\vartheta_w - \vartheta)/\vartheta^+ \approx A + Bu/u^+$ .

Ein geringfügiger Unterschied zwischen den beiden Abbildungen 40 und 41 in Bezug auf den Bereich der Prandtl-Zahlen nahe 1 ergibt sich dadurch, daß im Gegensatz zu  $\theta \approx \varphi$  die beste Übereinstimmung  $(\varepsilon_h/\varepsilon_m)(\vartheta_w - \vartheta)/\vartheta^+ \approx u/u^+$  an eine Prandtl-Zahl  $Pr^+$  leicht unterhalb des Wertes 1 gebunden ist. Dies liegt daran, daß die für alle Reynolds-Zahlen und für  $Pr$  nahe dem Wert 1 gültige Näherung  $Nu = (\zeta/8)RePr^+/1,07$  zu einem schwach über 1 liegenden Wert des Quotienten  $c_t/c_u = 1,07\varphi_m/\theta_m$  führt (im Bereich  $Re = 4 \cdot 10^3 \dots 3 \cdot 10^6$  steigt  $\varphi_m$  nach Tab. 2 von 0,74 auf 0,88 und  $\theta_m$  nach Tab. 15 von 0,79 auf 0,88 an).

4) Die Temperaturverteilung  $(\varepsilon_h/\varepsilon_m)(\vartheta_w - \vartheta)/\vartheta^+ = f(\eta Pr^+, Pr^+ = \text{konst.})$ , einschließlich der Näherungslösung für kleine Prandtl-Zahlen Glg. (88c), ist in Abb. 42 dargestellt. Das Einmünden aller Kurven  $Pr^+ = \text{konst.}$  in den innerhalb der wärmeleitenden Unterschicht vorgeschriebenen Verlauf  $(\varepsilon_h/\varepsilon_m)(\vartheta_w - \vartheta)/\vartheta^+ = \eta Pr^+$  sowie die im vollturbulenten Bereich näherungsweise zulässige Wiedergabe des Temperaturverlaufs durch ein logarithmisches Gesetz der Form  $(\varepsilon_h/\varepsilon_m)(\vartheta_w - \vartheta)/\vartheta^+ = a_t \ln \eta + c_t(Pr^+)$  sind deutlich zu erkennen. In der Übergangszone sind die durch molekularen und turbulenten Austausch übertragenen Wärmemengen für  $Pr$  nahe 1 von derselben Größenordnung, für  $Pr \gg 1$  überwiegen dagegen letztere schon vor Annäherung an  $\eta = 25$ .

Für kleine Prandtl-Zahlen läßt sich die Temperaturverteilung näherungsweise durch eine nur von  $\eta Pr^+$  abhängige Funktion  $(\varepsilon_h/\varepsilon_m)(\vartheta_w - \vartheta)/\vartheta^+ = f(\eta Pr^+)$  wiedergeben, wie bereits in Abschnitt 3.1.2.3 beschrieben wurde. Dieser Zusammenhang wurde auch experimentell von V.I. Subbotin et al. für Flüssigmetalle nachgewiesen /27/:

$$\frac{\vartheta_w - \vartheta}{\vartheta^+} = \eta Pr \quad (\text{für } 0 < \eta Pr < 1)$$

$$\frac{\vartheta_w - \vartheta}{\vartheta^+} = 1,87 \ln(\eta Pr + 1) + 0,065 \eta Pr - 0,36 \quad (\text{für } 1 < \eta Pr < 11,7)$$

$$\frac{\vartheta_w - \vartheta}{\vartheta^+} = 2,5 \ln(\eta Pr) - 1 \quad (\text{für } \eta Pr > 11,7)$$

Dieser Temperaturverlauf ( $\varepsilon_h/\varepsilon_m = 1$  gesetzt) deckt sich bis  $\eta Pr^+ = 20$  mit der in Abb. 42 für  $Pr^+ = 0,1$  eingezeichneten Kurve  $(\varepsilon_h/\varepsilon_m)(\vartheta_w - \vartheta)/\vartheta^+$ , für höhere Werte  $\eta Pr^+$  liegt er leicht darunter. Berücksichtigt man, daß der Quotient  $\varepsilon_h/\varepsilon_m$  für niedrige Prandtl-Zahlen kleiner als 1 ist, so kann sich die Übereinstimmung mit den für  $Pr^+ = 0,01$  und  $Pr^+ = 0,03$  berechneten Temperaturen noch verbessern.

5) Die Abhängigkeit des Temperaturverlaufs  $(\varepsilon_h/\varepsilon_m)(\vartheta_w - \vartheta)/\vartheta^+$  vom Wandabstand  $\eta$  ist in Abb. 43 dargestellt (die Werte der linken Ordinatenskala sind mit den Nennern der am rechten Ende der Kurven vermerkten Maßstäbe zu multiplizieren). Die strichpunktiert gezeichneten Geraden mit nur unwesentlich voneinander abweichenden Steigungen (erscheint durch die unterschiedlichen Maßstäbe verzerrt) zeigen die Abweichungen des logarithmischen Temperaturgesetzes von dem mit Hilfe des genauen Verfahrens ermittelten Verlauf. Als untere

Grenze für die Gültigkeit dieser Näherung ergibt sich  $\eta_{\min}=25$ . Dies bestätigt die in Abschnitt 3.1.2.4 aus der Rückführung der Differentialgleichung der Temperatur auf eine solche der Geschwindigkeit gefolgerte näherungsweise Übereinstimmung der unteren Grenzen der Gültigkeit der beiden diesbezüglichen logarithmischen Gesetze.

Die Größe  $c_t(\text{Pr}^+)$  ist in Abb.43 über  $\text{Pr}^+$  aufgetragen (Ordinaten-skala rechts) und zusammen mit  $a_t$  zusätzlich in der in Abb.43 enthaltenen Tabelle für verschiedene Werte von  $\text{Pr}^+$  angegeben. Mit Ausnahme mittlerer Prandtl-Zahlen ist der Einfluß der Reynolds-Zahl auf  $c_t(\text{Pr}^+)$  unbedeutend. Für  $\text{Pr}^+=10\dots 1000$  läßt sich  $c_t(\text{Pr}^+)$  mit guter Genauigkeit durch folgende Gleichung annähern:

$$c_t(\text{Pr}^+) = 9,5 \text{Pr}^{+0,79} \quad (208)$$

Für den Vergleich der Temperaturverteilungen mit experimentell gewonnenen Ergebnissen ist nun die Kenntnis des Quotienten  $\epsilon_h/\epsilon_m$  notwendig, wobei insbesondere auch die Abhängigkeit vom Wandabstand - wenigstens aber abschnittsweise - inbegriffen ist. Von letzterem, der Aufteilung in einzelne Bereiche, wird im folgenden Gebrauch gemacht. Die nachstehend beschriebene Näherung ist auf diejenigen Prandtl-Zahlen beschränkt, für die das logarithmische Temperaturgesetz gültig ist.

Da zuverlässige Daten über den Zusammenhang  $\epsilon_h/\epsilon_m=f(\text{Re}, \text{Pr}, y^+)$  fehlen, sei die einfachste Art einer Differenzierung, die Gliederung in zwei Teilabschnitte, zugrundegelegt: Teilabschnitt 1 für Wandabstände  $0 \leq \eta < 25$  und Teilabschnitt 2 für Wandabstände  $25 \leq \eta \leq \eta_c$ . In Teilabschnitt 1 ist im Bereich der wärmeleitenden Unterschicht der Einfluß von  $\epsilon_h/\epsilon_m$  auf die Temperaturverteilung von untergeordneter Bedeutung, es gilt für alle Werte  $\text{Re}$  und  $\text{Pr}$  die Beziehung  $(\vartheta_w - \vartheta)/\vartheta^+ = \eta \text{Pr}$ . In der daran anschließenden Übergangszone bis zum Beginn des vollturbulenten Gebiets ( $\eta=25$ ) ist ein in verwickelter Art und Weise vorliegender Einfluß der Prandtl-Zahl  $\text{Pr}$ , der Reynolds-Zahl  $\text{Re}$  und des Wandabstandes  $\eta$  auf den Wert der Größe  $\epsilon_h/\epsilon_m$  zu erwarten. Diese Vorgänge im einzelnen bleiben hier jedoch aus-respart zugunsten einer Beschränkung auf den wirksamen Wert  $(\epsilon_h/\epsilon_m)_{25}$ , der zur Temperatur  $(\vartheta_w - \vartheta)/\vartheta^+$  am Ende des Teilabschnitts 1 führt. Die Definitionsgleichung für  $(\epsilon_h/\epsilon_m)_{25}$  lautet also:

$$\left(\frac{\vartheta_w - \vartheta}{\vartheta^+}\right)_{\eta=25} = \left(\frac{\epsilon_h}{\epsilon_m} \frac{\vartheta_w - \vartheta}{\vartheta^+}\right)_{\eta=25} \left(\frac{\epsilon_m}{\epsilon_h}\right)_{25} \quad (209a)$$

Für den Teilabschnitt 2, der im Rahmen dieser Näherung in erster Linie interessiert, wird angenommen, daß ein über die gesamte Breite  $\eta=25\dots\eta_c$  gültiger, konstanter Wert des Quotienten  $(\epsilon_h/\epsilon_m)_2$  existiert. Mit diesen beiden Ansätzen läßt sich der Temperaturverlauf  $(\vartheta_w - \vartheta)/\vartheta^+$  in Teilabschnitt 2 wie folgt angeben:

$$\frac{\vartheta_w - \vartheta}{\vartheta^+} = \left(\frac{\epsilon_h}{\epsilon_m} \frac{\vartheta_w - \vartheta}{\vartheta^+}\right) \left(\frac{\epsilon_m}{\epsilon_h}\right)_2 + \left(\frac{\epsilon_h}{\epsilon_m} \frac{\vartheta_w - \vartheta}{\vartheta^+}\right)_{\eta=25} \left[ \left(\frac{\epsilon_m}{\epsilon_h}\right)_{25} - \left(\frac{\epsilon_m}{\epsilon_h}\right)_2 \right] \quad (209b)$$

Über die Größe des Quotienten  $(\epsilon_h/\epsilon_m)_2$  geben die Versuche von G. E. Johnk et al./28/ Aufschluß, die an einem von Luft durchströmten und mit konstantem Wärmefluß beheizten Rohr vorgenommen wurden. In Abhängigkeit von der Reynolds-Zahl wurden Werte für  $\epsilon_h/\epsilon_m$  bestimmt,

wobei die Annahme zugrundelag, daß im mittleren Teil des Strömungsquerschnitts die Austauschgrößen  $\epsilon_m$  für den Impuls und  $\epsilon_h$  für die Wärme konstant sind. (Die Gültigkeit dieser Annahme wurde durch eine geeignete Wahl der unabhängigen Veränderlichen bei der Auftragung der Temperaturverteilung für  $Re=3,5 \cdot 10^4$  in dem Bereich  $r=0 \dots 0,85r_w$  bestätigt.) Die Auswertung der Meßergebnisse ergab folgende Werte für den Quotienten  $\epsilon_h/\epsilon_m$ : 1,23 ( $Re=18000$ ) - 1,30 ( $Re=35000$ ) - 1,24 ( $Re=71000$ ).

Im Gegensatz zu den aus der Theorie von R.Jenkins (/11/-Abb.13) folgenden Ergebnissen sind also auch für  $Pr < 1$  noch Werte  $\epsilon_h/\epsilon_m > 1$  möglich. Dieser Sachverhalt geht auch aus einer analytischen Untersuchung von T.Mizushina et al./29/ hervor, in der für  $Pr=0,74$  ebenfalls Werte  $\epsilon_h/\epsilon_m$  nahe 1,3 berechnet wurden. Aus Messungen an Quecksilber ( $Pr=0,02$ ) wurden von S.E.Isakoff et al./30/ selbst für kleine Prandtl-Zahlen in Verbindung mit sehr hohen Reynolds-Zahlen Werte  $\epsilon_h/\epsilon_m$  größer als 1 festgestellt.

Für den Teilabschnitt 1 wird nun in Ermangelung entsprechender Daten  $\epsilon_h/\epsilon_m$  für Prandtl-Zahlen nahe 1 in erster Näherung  $(\epsilon_h/\epsilon_m)_{25} = 1$  gesetzt (für große Prandtl-Zahlen sind Werte  $(\epsilon_h/\epsilon_m)_{25} > 1$  zu erwarten). Wendet man auf die Gleichung (209b) das logarithmische Temperaturgesetz  $(\epsilon_h/\epsilon_m)(\vartheta_w - \vartheta)/\vartheta^+ = a \ln \eta + c(Pr^+)$  an, so folgt:

$$\left. \begin{aligned} \frac{\vartheta_w - \vartheta}{\vartheta^+} &= a' \ln \eta + c'(Pr) \\ \text{mit} \quad a' &= a \left( \frac{\epsilon_m}{\epsilon_h} \right)_2 \\ \text{und} \quad c'(Pr) &= a \ln(25) \left[ \left( \frac{\epsilon_m}{\epsilon_h} \right)_{25} - \left( \frac{\epsilon_m}{\epsilon_h} \right)_2 \right] + c(Pr) \left( \frac{\epsilon_m}{\epsilon_h} \right)_{25} \end{aligned} \right\} (209c)$$

Setzt man die für  $Re=3 \cdot 10^4$  ermittelten Werte:  $a=3,17 - c(Pr^+) = -0,207$  sowie  $(\epsilon_h/\epsilon_m)_{25} = 1$  und  $(\epsilon_h/\epsilon_m)_2 = 1,30$  in die Gleichung (209c) ein ( $(\vartheta_w - \vartheta)/\vartheta^+ = 2,44 \ln \eta + 2,15$ ), so ergibt sich im Vergleich zu den von R.E.Johnk et al./28/ einerseits und von R.G.Deissler et al./31/ andererseits an Luft gemessenen Temperaturverteilungen eine gute Übereinstimmung (die maximalen Abweichungen betragen weniger als 5 Prozent). R.E.Johnk et al. beschränken die Gültigkeit des von ihnen angegebenen logarithmischen Gesetzes  $(\vartheta_w - \vartheta)/\vartheta^+ = a_1 \ln \eta + c_1(Pr)$  auf den Bereich  $\eta=30$  bis  $\eta=200 \dots 300$ . Die Koeffizienten  $a_1$  und  $c_1(Pr)$  nehmen dabei Werte zwischen  $a_1=2,4 - c_1=3,06$  ( $Re=18000$ ) und  $a_1=2,16 - c_1=3,72$  ( $Re=71000$ ), bzw. im Mittel für  $Re > 25000$  Werte von  $a_1=2,2$  und  $c_1=3,3$  an. (Der Einfluß von  $Re$  auf die in Tab.17 enthaltenen Koeffizienten  $a_{rp}$  und  $c_{rp}$  wirkt sich im gleichen Sinn, wie hier angegeben, aus.) Für Wandabstände  $\eta > 200 \dots 300$  nehmen die Steigungen der Kurven  $(\vartheta_w - \vartheta)/\vartheta^+ = f(\eta)$  in der halblogarithmischen Auftragung zu, was bei einer Aufrechterhaltung des logarithmischen Gesetzes im Bereich  $\eta=30$  bis  $\eta=\eta_c$  zu höheren Werten des Koeffizienten  $a_1$  führt. Dasselbe Verhalten ist auch in Abb.43 zu erkennen: Hier ergibt sich für  $\eta=30 \dots 200$  ein Koeffizient  $a=2,9$  (gegenüber  $a=3,17$  im Bereich  $\eta=25 \dots \eta_c$ ), der nach Division durch  $\epsilon_h/\epsilon_m = 1,30$  den von R.E.Johnk et al. für  $Re=3,5 \cdot 10^4$  angegebenen Wert  $a_1=2,23$  liefert.

In Tab.17 sind für die verschiedenen hier behandelten Strömungsquerschnitte - formal auch angewandt auf die Fälle A1 und PAS, für die die Herleitung in Abschnitt 3.1.2.4 nicht gilt - die Koeffizienten  $a$  und  $c(\text{Pr}^+)$  in Abhängigkeit von der Prandtl- und von der Reynolds-Zahl für  $q_w = \text{konst.}$  zusammengestellt. Diese Koeffizienten wurden nach dem Verfahren der kleinsten Fehlerquadrate für die Gesamtheit der über  $\eta = 25$  berechneten Temperaturen ermittelt:  $a_{rp}$  und  $c_{rp}$  gelten für die jeweils angegebenen Reynolds- und Prandtl-Zahlen;  $a_p$  und  $c_p$  gelten für  $\text{Pr}^+ = \text{konst.}$  und die in Abhängigkeit von  $\text{Pr}^+$  angegebenen Re-Bereiche (die untere Grenze  $\text{Re}_T = 10^4$  ist durch den Gültigkeitsbereich des logarithmischen Geschwindigkeitsgesetzes und die obere Grenze durch die mit zunehmender Prandtl-Zahl verbundene Genauigkeitsabnahme der numerischen Ergebnisse - s. Einleitung des Abschnitts 4 - bedingt); der Koeffizient  $a$  ist der für  $\text{Pr}^+ = 1 \dots 1000$  und für die einzelnen Re-Bereiche durch Probieren gewonnene Bestwert für nur von der Prandtl-Zahl abhängige Koeffizienten  $c$ . Die Werte  $e_i$  geben in Prozent die mittleren quadratischen Abweichungen gegenüber den berechneten Temperaturen an:  $e_{pr}$  in Abhängigkeit von  $\text{Re}_T$  und  $\text{Pr}^+$ ,  $e_p$  in Abhängigkeit von  $\text{Pr}^+$  unter Zugrundelegung von  $a_p$  und  $c_p$ ;  $e$  in Abhängigkeit von  $\text{Pr}^+$ ,  $e_m$  für  $\text{Pr}^+ = 1 \dots 1000$  und die einzelnen Re-Bereiche unter Zugrundelegung von  $a$  und  $c$ . Die mittleren Abweichungen der mit  $a_{rp}$  und  $c_{rp}$  erhaltenen Näherungen sind von folgenden Größenordnungen: 1% ( $\text{Pr}^+ = 1$ ) - 0,5% ( $\text{Pr}^+ = 3$ ) - 0,3% ( $\text{Pr}^+ = 10$ ) - 0,1% ( $\text{Pr}^+ = 100$ ) - <0,05% ( $\text{Pr}^+ = 1000$ ). Bei der Koeffizientenbestimmung unter Heranziehung sämtlicher Reynolds-Zahlen sind die Fälle mit hohem  $\text{Re}_T$  gegenüber solchen mit niedrigem  $\text{Re}_T$  durch die höhere Anzahl von Teilabszissen  $\eta > 25$  mit größerem Gewicht beteiligt. Für  $\text{Pr}^+ = \text{konst.}$  hängen die Koeffizienten  $a_{rp}$  von der Reynolds-Zahl ab, dagegen ist der Einfluß von  $\text{Pr}^+$  für  $\text{Re} = \text{konst.}$  nur gering (vgl. Abschnitt 3.1.2.4).

Es ist nun noch interessant zu wissen, in welchem Maß die Nußelt-Zahl von den Vorgängen in den einzelnen Bereichen des Strömungsquerschnitts - und hier insbesondere bei welchem Verhältnis von molekularem und turbulenten Anteil am Wärmeaustausch - beeinflußt wird. Hierüber gibt die Abbildung 43 einen anschaulichen Einblick. Aus der Beziehung (s. Absatz c in Abschnitt 4.2.4.2)

$$\text{Nu} = \frac{\text{RePr} \sqrt{\zeta/8}}{\theta_m (\vartheta_w - \vartheta_0) / \vartheta^+} \quad (210)$$

ist zu ersehen, daß die Nußelt-Zahl dem Maximalwert  $(\vartheta_w - \vartheta_0) / \vartheta^+$  der Temperaturverteilung  $(\vartheta_w - \vartheta) / \vartheta^+$  umgekehrt proportional ist. Der Verlauf der Kurven  $(\vartheta_w - \vartheta) / \vartheta^+$  gibt also über den Wert des Quotienten  $(\vartheta_w - \vartheta) / (\vartheta_w - \vartheta_0)$  für jede Stelle  $\eta$  den Anteil an der Bildung der Nußelt-Zahl an. In Abb.43 werden durch die halblogarithmische Darstellung besonders die Vorgänge in dem wichtigen Bereich großer Wandnähe hervorgehoben. Es zeigt sich nun das interessante Verhalten, daß für große Prandtl-Zahlen der größte Teil des Temperaturanstiegs bereits in der wärmeleitenden Unterschicht und in demjenigen Bereich der daran anschließenden Übergangszone stattfindet, in dem die durch molekularen und turbulenten Austausch bedingten Anteile von derselben Größenordnung sind. (Die Wandabstände  $\eta_b$  mit  $q_t = q_m$  befinden sich ungefähr an der Stelle, an der sich die Kurven  $\eta \text{Pr}^+$  und  $\ln \eta + c(\text{Pr}^+)$  schneiden, wie man sich mit Hilfe der Abb.5 leicht überzeugt.) Diese Tatsache erklärt, warum der Einfluß der Prandtl-Zahl auf Nu mit steigendem Pr abnimmt (gekennzeichnet durch die Abnahme des Exponenten  $d$  in der Beziehung  $\text{Nu} = b \text{Re}^c \text{Pr}^d$ ). Ein gleichartiges Ver-

halten liegt auch bei kleinen Prandtl-Zahlen vor (für  $Re=3 \cdot 10^4$  ergibt sich im mittleren Strömungsabschnitt mit  $\eta_c=813$  aus  $Pr^+ \epsilon_m/\nu \approx 0,07 \eta_c Pr^+$ :  $q_t/q_m=0,6$  für  $Pr^+=0,01$  und  $q_t/q_m=5,7$  für  $Pr^+=0,1$ ). Der Einfluß der Prandtl-Zahl auf die Nußelt-Zahl ist bei mittleren Prandtl-Zahlen am größten: Der Anteil des Temperaturanstiegs im Bereich  $q_t/q_m > 1$  (d.h.  $1+Pr^+ \epsilon_m/\nu \rightarrow Pr^+ \epsilon_m/\nu$ ) überwiegt jenen im Bereich  $q_t/q_m \leq 1$ . Diese Eigenschaft ist umso stärker ausgeprägt, je größer die Reynolds-Zahl ist: In Bezug auf die in Abb.43 dargestellten Kurven drückt sich eine Erhöhung von  $Re$  näherungsweise in einer Zunahme der Temperatur  $(\epsilon_h/\epsilon_m)(\vartheta_w - \vartheta)/\vartheta^+$  längs der in das Gebiet  $\eta > \eta_c (Re=3 \cdot 10^4)=813$  verlängerten Gerade  $\ln \eta + c(Pr^+)$  aus, während im Bereich  $q_t/q_m \leq 1$  keine wesentliche Änderung eintritt. Auf diese Zusammenhänge wird auch nochmals in den zu Abb.50 gegebenen Erläuterungen eingegangen.

Einige Bemerkungen sind an dieser Stelle noch bezüglich des  $\epsilon_m/\nu$ -Wandgesetzes angebracht. Aus den durch die Theorie einerseits und durch das Experiment (Index e) andererseits für hohe Prandtl-Zahlen gewonnenen Beziehungen  $Nu=bRe^c Pr^{+d}$  und  $Nu_e=b_e Re^c Pr^d$  läßt sich ein für die Nußelt-Zahl wirksamer Wert des Quotienten  $\epsilon_h/\epsilon_m$  definieren:  $(\epsilon_h/\epsilon_m)_{Nu}=(b_e/b)^{1/d}$  für  $Nu=Nu_e$ . (Die Exponenten  $c$  und  $d$  ändern sich bei hohen Prandtl-Zahlen nur wenig. Weichen  $c$  und  $d$  aus Theorie und Experiment jeweils gegenseitig voneinander ab, so können sie trotzdem im allgemeinen ohne große Einbuße an Genauigkeit durch entsprechende Anpassung der Koeffizienten  $b$  auf einheitliche Werte zurückgeführt werden.) Da der Koeffizient  $d$  für große Prandtl-Zahlen klein ist, nimmt der Quotient  $(\epsilon_h/\epsilon_m)_{Nu}$  schon bei geringen Abweichungen zwischen  $b$  und  $b_e$  verhältnismäßig große Werte an. Ob diese die tatsächlich vorliegenden Zusammenhänge richtig wiedergeben, hängt ausschlaggebend von der Güte des der Theorie zugrundegelegten  $\epsilon_m/\nu$ -Wandgesetzes ab. Aus diesem Grund ist es auch umgekehrt nicht möglich, ohne die genaue Kenntnis von  $\epsilon_h/\epsilon_m$  aus dem Grad der Übereinstimmung zwischen den für große Prandtl-Zahlen experimentell und analytisch bestimmten Nußelt-Zahlen eindeutige Schlüsse über die Güte des gewählten  $\epsilon_m/\nu$ -Gesetzes zu ziehen.

Die hier geschilderten Gesichtspunkte sind zu bedenken, wenn die mit dem  $\epsilon_m/\nu$ -Wandgesetz von R.G.Deissler /31/

$$\frac{\epsilon_m}{\nu} = n^2 \eta (u/u^+) [1 - \exp(n^2 \eta u/u^+)] \quad \text{mit } n=0,124 \quad (211)$$

und die mit dem  $\epsilon_m/\nu$ -Wandgesetz (1) von H.Reichardt /6/ berechneten Nußelt-Zahlen mit Meßergebnissen verglichen werden. Für  $Pr=Pr^+=100$  sind die von Deissler ermittelten Nußelt-Zahlen in guter Übereinstimmung mit dem Experiment (z.B. von Friend et al. /47/), während die in der vorliegenden Arbeit berechneten Werte um etwa 25 Prozent zu niedrig liegen (s. Abb.57). Die beiden Ansätze Glg.(1) und Glg.(211) unterscheiden sich z.B. für  $\eta=3$  - nach Abb.43 ein für  $Nu(Pr^+=100)$  entscheidender Wandabstand - um fast den Faktor 3. Dieser Faktor entspricht andererseits ungefähr dem Wert des Quotienten  $(\epsilon_h/\epsilon_m)_{Nu}$ , den man aus der obenangeführten Beziehung  $(\epsilon_h/\epsilon_m)_{Nu}=(b_e/b)^{1/d}$  für  $b_e/b=1,25$  und  $d=0,25$  (vgl. Abb.51) erhält. In diesem Zusammenhang sei noch erwähnt, daß bei hohen Prandtl-Zahlen die Abweichungen zwischen den theoretisch und experimentell bestimmten Nußelt-Zahlen auch einen Anhaltspunkt über die damit verbundenen Abweichungen der Temperaturverteilungen im

Gültigkeitsbereich des logarithmischen Gesetzes geben: Da sich nach Abb.43 die Temperaturen in diesem Bereich nur verhältnismäßig wenig ändern, kann in erster Näherung  $(\varepsilon_h/\varepsilon_m)_{25} = b_e/b$  gesetzt werden.

In Verbindung mit Abb.43 wird abschließend noch auf folgendes hingewiesen: Überträgt man sinngemäß die Definition der Dicke  $\eta_h$  der laminaren, hydrodynamischen Unterschicht - Ort der Ablösung der Kurve  $u/u^+ = f(\eta)$  vom Verlauf  $u/u^+ = \eta$  ( $\eta_h = 5$ ) - auf die Dicke  $\eta_t$  der wärmeleitenden Unterschicht - Ort der Ablösung der Kurve  $(\vartheta_w - \vartheta)/\vartheta^+ = f(\eta, Pr, Re)$  vom Verlauf  $(\vartheta_w - \vartheta)/\vartheta^+ = \eta Pr$  - so wird für kleine Prandtl-Zahlen wegen  $\eta_t > \eta_h$  durch den überlagerten Einfluß der bereits spürbaren Abnahme von  $q/q_w$  der Wert  $\eta_t$  etwas verfälscht.

6) Der Einfluß der Wärmeflußverteilung  $F_0$  auf den Temperaturverlauf  $\theta(y/r_w)$  geht aus Abb.39 hervor. Dieser Einfluß kommt bei der Temperaturverteilung noch deutlicher zum Ausdruck als bei der NuBelt-Zahl, wie das Beispiel  $Pr^+ = 1$  im Vergleich zu Abb.54 zeigt.

#### b) Die wandnormale Wärmestromdichteverteilung

Als Beispiele für den Verlauf der wandnormalen Wärmestromdichte  $q/q_w$  sind die beiden folgenden Darstellungen gewählt: In Abb.44 sind für den Fall konstanter Wandtemperatur die Funktionen  $q/q_w$  und  $(q/q_w)/(\tau/\tau_w)$  für  $Re = 3 \cdot 10^4$  und für verschiedene Prandtl-Zahlen im Bereich  $Pr^+ = 0 \dots 1000$  über dem Wandabstand  $y/r_w$  aufgetragen. Die strichpunktierte eingezeichnete Gerade entspricht dem in Abschnitt 3.1.2.3 beschriebenen Näherungsansatz  $(q/q_w)/(\tau/\tau_w) = 1 + c(y/r_w)$  für  $Pr^+ = 0,01$ . In Abb.45 ist die Abhängigkeit des  $q/q_w$ -Verlaufs vom Parameter  $F_0$  für  $Pr^+ = 0,01$  und  $Re = 3 \cdot 10^4$  veranschaulicht. Die Kurve mit  $F_0 = 1$ , d.h.  $q_w = \text{konst.}$ , gilt für alle Prandtl-Zahlen.

#### c) Die Mischungstemperatur

Der Einfluß der Prandtl- und der Reynolds-Zahl auf die Mischungstemperatur  $\theta_m$  geht aus Abb.46 hervor. Für sehr kleine Prandtl-Zahlen kann  $\theta_m$  innerhalb eines bestimmten Bereichs kleiner Reynolds-Zahlen (für  $Pr = 0$  für alle  $Re$ ) mit abnehmender Reynolds-Zahl ansteigen. Dies liegt daran, daß das Integral  $\int \vartheta dy^+^2$  in Glg.(21a) gegenüber der mittleren Geschwindigkeit  $\varphi_m$  von der Reynolds-Zahl weniger beeinflußt wird: Im wandnahen Gebiet, in dem sich die Unterschiede der Geschwindigkeitsprofile in Abhängigkeit von  $Re$  hauptsächlich ausdrücken, sind die Temperaturen noch verhältnismäßig klein. Die Mischungstemperatur  $\theta_m$  für konstante Werte des Parameters  $F_0$  ist in Abb.47 über der Prandtl-Zahl  $Pr^+$  aufgetragen ( $Re = 3 \cdot 10^4$ ). Weitere Angaben über den Zusammenhang  $\theta_m = f(F_0, Re, Pr^+)$  finden sich in den Tabellen 10 und 15.

#### d) Die NuBelt-Zahl

Für konstanten Wärmefluß sind die NuBelt-Zahlen  $Nu$ , oder Koeffizienten, mit Hilfe derer sie sich berechnen lassen, in den Abbildungen 48 bis 53 dargestellt. Die Gegenüberstellung mit experimentell gewonnenen Ergebnissen ist in den Abbildungen 55 bis 58 vorgenommen. Der Einfluß der Wärmeflußverteilung auf die NuBelt-Zahl geht aus Abb.54 hervor.

1) In Abb.48 sind für  $q_w = \text{konst.}$  und  $Pr = 0$  die NuBelt-Zahlen in Abhängigkeit von  $Re$  für das Rohr (T), für parallele Platten bei symmetrischem (PS) bzw. asymmetrischem (PAS) Wärmeaustausch, für den Ringspalt bei Wärmeaustausch am inneren Zylinder (A1) und



für das Rohrbündel dargestellt. Die NuBelt-Zahlen für den Ringspalt bei Wärmeaustausch am äußeren Zylinder liegen zwischen den Werten der Kurven PAS und T. Durch das Völligerwerden der Geschwindigkeitsprofile - für  $Pr=0$  hängt Nu, wie im Fall der laminaren Strömung, nur vom  $\varphi$ -Verlauf ab - steigt Nu mit Re leicht an.

2) Eine Trennung der durch Molekularbewegung einerseits und durch Turbulenz andererseits übertragenen Anteile am Wärmeaustausch führt zu den in Abb.49 eingezeichneten Ergebnissen. In der Darstellung  $Nu=f(Re, Pr^+=\text{konst.})$  unterscheiden sich die Kurvenverläufe für kleine Prandtl-Zahlen grundlegend von denen für mittlere bis große Prandtl-Zahlen (mit abnehmendem Pr geht der Einfluß von Re auf Nu zurück). Zieht man dagegen von  $Nu(Re, Pr^+)$  den durch reine Wärmeleitung bedingten Anteil  $Nu(Re, Pr=0)$  ab, so nehmen für alle Prandtl-Zahlen die Kurven  $Nu - Nu(Re, Pr=0) = f(Re, Pr^+=\text{konst.})$  in der doppeltlogarithmischen Auftragung einheitlich einen vorwiegend linearen Verlauf mit nahezu gleicher Steigung an (gestrichelte Linien). Um die nur geringfügige Re-Abhängigkeit der Funktion  $Nu(Re, Pr=0)$  (s. Abb.48) zu umgehen, sind in Abb.49 auch noch die mit der bei turbulenter Strömung kleinstmöglichen NuBelt-Zahl  $Nu_{\min} = Nu(Re=4 \cdot 10^3, Pr=0)$  gebildeten Differenzen  $Nu - Nu_{\min} = f(Re, Pr^+)$  eingetragen (strichpunktierte Linien). Schließt man Reynolds-Zahlen unter  $10^4$  aus, so weist diese Funktion gegenüber  $Nu - Nu(Re, Pr=0) = f(Re, Pr^+)$  den linearen Verlauf in der doppeltlogarithmischen Darstellung sogar noch deutlicher auf. Die Werte c der leicht von  $Pr^+$  abhängigen Steigungen, die dem Exponenten der Reynolds-Zahl in der Gleichung

$$Nu = Nu_{\min} + bRe^c Pr^{+d} \quad (212)$$

entsprechen, sind in Abb.51 wiedergegeben.

3) Wie bereits in Zusammenhang mit der Abb.43 aufgezeigt wurde, geht der Einfluß der Prandtl-Zahl auf die NuBelt-Zahl mit Annäherung sowohl an sehr kleine als auch an sehr große Prandtl-Zahlen zurück. Dieser Sachverhalt kommt in Abb.50 durch den Verlauf der Neigungen an die Kurven  $Nu=f(Pr^+, Re=\text{konst.})$  zum Ausdruck. Die Prandtl-Zahlen  $Pr_1^+$ , für die der Einfluß auf die NuBelt-Zahl am größten ist, hängen von der Reynolds-Zahl ab. In Abb.50 ergeben sich Werte  $Pr_1^+$ , die ungefähr auf einer Geraden zwischen den Wertepaaren  $Pr_1^+=0,15 - Re=3 \cdot 10^6$  und  $Pr_1^+=0,8 - Re=4 \cdot 10^3$  liegen. Während die Neigungen an die Kurven  $Nu=f(Pr^+, Re=\text{konst.})$  mit Annäherung an  $Pr=0$  verschwinden - verbunden mit  $d \rightarrow 0$  in der Beziehung  $Nu = bRe^c Pr^{+d}$  - bleibt ein geringer Einfluß der Reynolds-Zahl für  $Pr \rightarrow 0$  erhalten, wie aus Abb.48 hervorgeht.

Um die Exponenten d der Prandtl-Zahl in Glg.(212) zu bestimmen, wurden in Abb.50, wie bereits in Abb.49, den Kurven Nu auch jene der Differenzen  $Nu - Nu_{\min}$  hinzugefügt. Die daraus entnommenen Neigungen  $d'(Re, Pr^+)$  wurden für die Auftragung in Abb.51 dahingehend korrigiert, daß die für kleine Prandtl-Zahlen bestehende leichte Reynolds-Abhängigkeit des Koeffizienten  $b'(Re, Pr^+)$  durch einen mittleren Verlauf  $b(Pr^+)$  ersetzt werden kann. Auch über der unabhängigen Veränderlichen  $Pr^+$  nehmen erst die dem rein turbulenten Anteil am Wärmeaustausch entsprechenden Differenzen  $Nu - Nu(Pr=0)$  bzw.  $Nu - Nu_{\min}$  einen für alle Reynolds-Zahlen gemeinsam gültigen charakteristischen Verlauf an.

4) Die mit Hilfe der beiden Abbildungen 49 und 50 gewonnenen Koeffizienten  $b$ ,  $c$  und  $d$  sind in Abb.51 zusammengestellt. Wie man sieht, laufen die Kurven  $c$  und  $d$  im Bereich kleiner Prandtl-Zahlen in etwa zusammen:  $c \approx d \approx 0,75$ . Da auch der Proportionalitätsfaktor  $b$  in diesem Bereich nahezu konstant ist, folgt die für Flüssigmetalle experimentell gut bestätigte Beziehung

$$\text{Nu} = a + b(\text{RePr})^c \quad (\text{kleine Prandtl-Zahlen}) \quad (213)$$

Ab mittleren Prandtl-Zahlen kann das Glied  $\text{Nu}_{\min}$  in Glg.(212) gegenüber  $b\text{Re}^c\text{Pr}^d$  vernachlässigt werden und man erhält:

$$\text{Nu} = b\text{Re}^c\text{Pr}^d \quad (\text{große Prandtl-Zahlen}) \quad (214)$$

Die letztgenannte Beziehung eignet sich jedoch durch die Abhängigkeit der Koeffizienten  $b$ ,  $c$  und  $d$  von der Prandtl-Zahl nur in unbefriedigender Weise zur Wiedergabe der  $\text{Nu}_{\text{Belt}}$ -Zahl über einen größeren Bereich der Prandtl-Zahl. Zieht man noch die zusätzliche Abhängigkeit des Koeffizienten  $b$  von der Reynolds-Zahl in Betracht, so ergibt sich ein deutlicher Vorteil der Formel (207) im Vergleich zu (214). Demgegenüber stellt die Gleichung (214) bei der Auswertung experimentell ermittelter Ergebnisse zur Ausschaltung des Einflusses unvermeidbarer Streuungen der Prandtl-Zahl einen recht brauchbaren und häufig angewandten Ansatz dar.

5) Aus Abb.52 sind für das Rohr (T) und für die parallelen Platten bei symmetrischem (PS) und asymmetrischem Wärmeaustausch (PAS) die Abweichungen zu entnehmen, die durch die Näherung  $\text{Nu}(\text{Re}, \text{Pr}^+) \cong \text{Nu}(\text{RePr}^+)$  entstehen. Die einfache Beziehung  $\text{Nu} = a + b(\text{RePr}^+)^c$  erweist sich dabei zur Wiedergabe der genauen Ergebnisse als ausreichend. Die Koeffizienten  $a$ ,  $b$  und  $c$  wurden aus den für die Prandtl-Zahlen  $\text{Pr}^+ = 0,01$  und  $\text{Pr}^+ = 0,03$  berechneten Wertegruppen  $\text{Nu}$ ,  $\text{Re}$ ,  $\text{Pr}^+$  nach dem Verfahren der kleinsten Fehlerquadrate ermittelt (eine Zusammenstellung der Koeffizienten  $a$ ,  $b$  und  $c$  für alle hier behandelten Fälle T, PS, PAS, A1, A2 und B liegt in Abb.91 vor). Die  $\text{Nu}_{\text{Belt}}$ -Zahlen für das Rohr liegen bei kleinen Prandtl-Zahlen zwischen denjenigen für die parallelen Platten bei asymmetrischem ( $\text{Nu}_T > \text{Nu}_{\text{PAS}}$ ) und symmetrischem Wärmeaustausch ( $\text{Nu}_T < \text{Nu}_{\text{PS}}$ ). Dabei nähert sich  $\text{Nu}_T$  mit steigender Péclet-Zahl gegen  $\text{Nu}_{\text{PS}}$  und mit abnehmender Péclet-Zahl gegen  $\text{Nu}_{\text{PAS}}$  (bei der laminaren Strömung lautet die Reihenfolge  $\text{Nu}_T < \text{Nu}_{\text{PAS}} < \text{Nu}_{\text{PS}}$ ).

Die für kleine Prandtl-Zahlen und konstante Wärmeflußverteilung ( $F_0 = 1$ ) durch das Produkt  $\text{RePr}^+$  hinreichend genau erfasste Abhängigkeit des Wärmeübergangs von den beiden unabhängigen Größen  $\text{Re}$  und  $\text{Pr}^+$  bleibt auch für  $F_0 \neq 1$  erhalten:  $\text{Nu}(\text{RePr}^+)$  und  $\theta(y^+, \text{RePr}^+)$ . Im Gegensatz zu dem Fall  $q_w = \text{konst.}$ , für den dieses Verhalten bereits aus dem Aufbau der Gleichungen erkennbar war (s. Abschnitt 3.1.2.3 für  $\text{Nu}$  und Absatz a1 in Abschnitt 4.1.6 für  $\theta$ ), geben hierüber für  $F_0 \neq 1$  erst die numerischen Ergebnisse Aufschluß. Die Schwierigkeit, durch eine diesbezügliche Interpretation der Ausgangsgleichungen auch für  $F_0 \neq 1$  zu einer zuverlässigen Aussage über die Art des Einflusses von  $\text{Re}$  und  $\text{Pr}^+$  zu gelangen, liegt daran, daß die wandnormale Wärmestromdichteverteilung  $q/q_w$  zusätzlich von  $\theta$ , und damit von  $\text{Re}$  und von  $\text{Pr}^+$  abhängt (s. Glg.53a und 53b sowie die Näherungen Glg.79b und 84a). Wie die Ergebnisse der numerischen Berechnung weiterhin zeigen, gilt auch für die Mischungstemperatur  $\theta_m$  näherungsweise  $\theta_m(\text{Re}, \text{Pr}^+) \approx \theta_m(\text{RePr}^+)$ . Damit folgt aus Glg.(55a) für die thermische

Einlauf­länge  $x_e/d_h \approx f(\text{RePr}^+)$  (bei laminarer Strömung besteht Proportionalität  $x_e/d_h \sim \text{RePr}^+$ , wie in Abschnitt 2.3 beschrieben ist). Der Grad an Genauigkeit der beiden letztgenannten Beziehungen geht aus Tab.10 und aus Abb.59 hervor.

6) Die in der Gleichung (207) enthaltene Funktion  $f(\text{Pr}^+)$  wurde für das Rohr (T) und für die parallelen Platten (PS, PAS) aus den Wertegruppen Nu, Re,  $\text{Pr}^+$ ,  $\zeta(\text{Re})$  nach der Gleichung

$$f(\text{Pr}^+) = \frac{\sqrt{\zeta/8} \text{RePr}^+}{\text{Nu}} - \frac{1}{\sqrt{\zeta/8}} \quad (215)$$

berechnet und in Abb.53 über  $\text{Pr}^+$  aufgetragen (Ordinatenskala links, Abszissenskala unten). Für die Fälle T und PS ist  $f(\text{Pr}^+)$  ab  $\text{Pr}^+ > 0,1$  weitgehend unabhängig von Re, für den Fall PAS - die Gleichung (207) ist hier nur formal übernommen - wird dagegen der Einfluß von Re erst ab  $\text{Pr}^+ > 0,7$  vernachlässigbar klein.

Die Werte  $f(\text{Pr}^+)$  sind für  $\text{Pr}^+ < A$  negativ, wobei A von dem betrachteten Fall abhängt:  $A_T = 0,87$  -  $A_{PS} = 0,94$  -  $A_{PAS} = 0,58$ . Trägt man die Funktion  $f(\text{Pr}^+)/(\text{Pr}^+ - A)$  über  $\text{Pr}^+$  in doppeltlogarithmischen Koordinaten auf, so ergibt sich für den Bereich  $\text{Pr}^+ = 0,7 \dots 1000$  die in Abb.53 (Ordinatenskala rechts, Abszissenskala oben) eingezeichnete Gerade mit der Neigung  $-0,22$ . Die gesuchte Funktion  $f(\text{Pr}^+)$  läßt sich also durch die Gleichung  $f(\text{Pr}^+) = B(\text{Pr}^+ - A)(\text{Pr}^+)^{-0,22}$  wiedergeben. Der Koeffizient B nimmt dabei für alle 3 Fälle T, PS und PAS den Wert 10 an. Stellt man die mit der Formel

$$\text{Nu} = \frac{\text{RePr}^+ \zeta/8}{1 + 10(\text{Pr}^+ - A)(\text{Pr}^+)^{-0,22} \sqrt{\zeta/8}} \quad (216)$$

( $\zeta$  nach Glg.69b) berechneten NuBelt-Zahlen den genauen Werten gegenüber, so ergeben sich folgende mittleren quadratischen Abweichungen e in Prozent (die Zahlen in Klammern geben die maximalen Einzelabweichungen aller Wertepaare  $\text{Re} > 4 \cdot 10^3$ ,  $\text{Pr}^+ > 0,72$  an):  $e_T = 0,9$  (1,9) -  $e_{PS} = 1,4$  (3,3) -  $e_{PAS} = 2,3$  (4,8). Diese gute Übereinstimmung zeigt, daß die vereinfachte Formel (207) ausreicht, die Wärmeübertragung ab mittleren Prandtl-Zahlen zuverlässig zu beschreiben.

7) Der Einfluß des Parameters der Wärmeflußverteilung  $F_0$  auf die NuBelt-Zahl Nu ist in Abb.54 aus der Darstellung der Verhältniszahlen  $\text{Nu}/\text{Nu}_0$  für die Prandtl-Zahlen  $\text{Pr}^+ = 0,01$  und  $\text{Pr}^+ = 1,0$  und für die verschiedenen Reynolds-Zahlen zu ersehen. Zahlenwerte der Funktion  $\text{Nu}/\text{Nu}_0 = f(F_0, \text{Re}, \text{Pr}^+)$  sind in Tab.10 für die Prandtl-Zahlen 0 - 0,01 - 0,03 - 0,1 - 1,0 - 10 enthalten. Für  $\text{Pr}^+ = 0,01$  ist die Abhängigkeit von  $F_0$  bis zu Reynolds-Zahlen von  $\text{Re} = 3 \cdot 10^5$  vergleichbar mit jener bei laminarer Strömung, wie der Vergleich mit Abb.29 zeigt (für  $\text{Re} = 3 \cdot 10^4$  ist z.B. Nu für  $\vartheta_w = \text{konst.}$  gegenüber  $q_w = \text{konst.}$  um 20 Prozent niedriger). Mit zunehmender Prandtl-Zahl geht der Einfluß von  $F_0$  zurück, er ist jedoch selbst bei mittleren Prandtl-Zahlen noch nicht ganz abgeklungen.

8) In Abb.55 sind die für  $\text{Pr}^+ = 0,01$  und  $q_w = \text{konst.}$  berechneten NuBelt-Zahlen  $\text{Nu}(\text{Pe}) - \text{Pr}^+ = \text{Pr}$  gesetzt - mit theoretischen und an Flüssigmetallen experimentell ermittelten Ergebnissen anderer Autoren (/33/.../44/) verglichen. Während für große Péclet-Zahlen

die Übereinstimmung aller eingezeichneten Kurven, die Kurve j-j ausgenommen, gut ist, liegen im Bereich kleiner Péclet-Zahlen die in der vorliegenden Arbeit berechneten Nu<sub>Belt</sub>-Zahlen an der oberen Grenze der durch das Experiment erhaltenen Werte. Letzteres hängt damit zusammen, daß bei kleinen Prandtl- und kleinen Reynolds-Zahlen der Quotient  $\epsilon_h/\epsilon_m$  Werte unterhalb 1 aufweist. (Auf der anderen Seite haben die im Experiment auftretenden Schwierigkeiten, wie zum Beispiel Nichtbenetzen der Wand, Gaseinschlüsse und Oxyde im Flüssigmetall, eine Herabminderung des Wärmeübertragungskoeffizienten zur Folge.) Daneben gibt es jedoch auch eine Reihe von Messungen, die über den gesamten Bereich der Péclet-Zahlen in guter Übereinstimmung mit analytisch gewonnenen Ergebnissen sind. Als Beispiel hierfür sind die in der vorliegenden Arbeit für  $Pr^+ = Pr = 0,01$  berechneten Nu<sub>Belt</sub>-Zahlen mit den Meßergebnissen von P.L.Kirillov et al./36/, S.E.Isakoff et al./30/ und H.E.Brown et al./45/ in Abb.56 verglichen.

9) Für Prandtl-Zahlen zwischen 1 und 100 sind in Abb.57 die hier berechneten Nu<sub>Belt</sub>-Zahlen folgenden Gleichungen gegenübergestellt (die Faktoren, die den Einfluß der temperaturabhängigkeit der Stoffwerte berücksichtigen, sind dabei weggelassen):

$$Nu = \frac{RePr(\zeta/8)}{1,07+12,7(Pr^{2/3}-1)\sqrt{\zeta/8}} \quad (\text{B.S.Petukhov et al./46/}) \quad (217)$$

$$Nu = \frac{RePr(\zeta/8)}{1,20+11,8(Pr-1)Pr^{-1/3}\sqrt{\zeta/8}} \quad (\text{W.L.Friend et al./47/}) \quad (218)$$

$$Nu = 0,021 Re^{0,80} Pr^{0,43} \quad (\text{M.A.Mikheyev /48/}) \quad (219)$$

$$Nu = 0,023 Re^{0,80} Pr^{1/3} \quad (\text{A.P.Colburn /49/}) \quad (220)$$

$$Nu = 0,027 Re^{0,80} Pr^{1/3} \quad (\text{E.N.Sieder et al./50/}) \quad (221)$$

Die Gleichung (217) ist das Ergebnis einer analytischen Untersuchung, den Gleichungen (218) bis (221) liegen Meßergebnisse zugrunde, als Gültigkeitsbereich wird im Mittel  $Pr=0,7...120$  und  $Re>10^4$  angegeben. Die bereits in Zusammenhang mit der Abb.51 in Absatz d4 erwähnte Unzulänglichkeit des Potenzgesetzes  $Nu=bRe^cPr^d$  bei einer Anwendung über einen größeren Bereich der Prandtl-Zahlen kommt durch die nicht unerhebliche Streuung der mit den Formeln (219) bis (221) berechneten Nu<sub>Belt</sub>-Zahlen zum Ausdruck. Auf die Abweichungen der hier für hohe Prandtl-Zahlen ermittelten Nu<sub>Belt</sub>-Zahlen im Vergleich zum Experiment wurde bereits am Ende des Absatzes a5 hingewiesen. Demgegenüber erhält man für Prandtl-Zahlen nahe 1 eine

gute Übereinstimmung, wie aus dem Vergleich mit den von R.G.Deissler et al./31/ an Luft und von W.Hufschmidt et al./51/ an Wasser gemessenen Nußelt-Zahlen hervorgeht. Letztere sind in Abb.58 wiedergegeben. Der Quotient  $(Pr/Pr_w)^{0,11} - Pr$  ist die bei der Mischungs-temperatur  $\vartheta_m$  und  $Pr_w$  die bei der Wandtemperatur  $\vartheta_w$  vorliegende Prandtl-Zahl - berücksichtigt dabei die Temperaturabhängigkeit der Stoffwerte, sein Wert hängt in erster Linie von der Höhe der Wärmestromdichte  $q_w$  an der Wand ab.

#### E) Die thermische Einlauflänge

In Abbildung 59 ist die thermische Einlauflänge  $x_e/d$  für  $q_w = \text{konst.}$  in Abhängigkeit von der Reynolds-Zahl für Prandtl-Zahlen von 0,01 bis 1000 dargestellt. Schließt man die Kombinationen  $Pr^+ > 100$ ,  $Re < 2 \cdot 10^4$  aus, so lassen sich die Eigenschaften der Funktion  $x_e/d = f(Re, Pr^+)$  folgendermaßen zusammenfassen:

- Mit steigender Prandtl- und steigender Reynolds-Zahl nimmt die thermische Einlauflänge zu.
- Der Grad des Einflusses von  $Pr^+$  und von  $Re$  auf  $x_e/d$  geht mit zunehmender Prandtl-Zahl zurück.
- Für  $Pr^+ > 0,72$  gilt näherungsweise:

$$\frac{x_e}{d} = 5,2 \lg(Re) - 4,0 \quad (222)$$

(In Abb.59 ist die dieser Gleichung entsprechende Gerade durch 3 kleine Kreise angedeutet.)

Daß ab mittleren Prandtl-Zahlen die thermische Einlauflänge von  $Pr^+$  nahezu unabhängig wird, ist in Übereinstimmung sowohl mit theoretischen Untersuchungen von S.Levy /52/ als auch mit an Wasser und Öl vorgenommenen Messungen von J.P.Hartnett /54/. Die leichte Zunahme der thermischen Einlauflänge  $x_e/d$  mit steigender Reynolds-Zahl deckt sich mit den analytisch gewonnenen Ergebnissen  $Nu(x)/Nu = f(Re, Pr, x/d)$  von V.J.Berry /53/, H.Latzko /55/ und R.G.Deissler /56/ sowie mit den Messungen von J.P.Hartnett an Wasser und von L.K.M. Boelter et al./57/ an Luft, während sich für Öl bei den Messungen von J.P.Hartnett  $x_e/d$  mit zunehmender Reynolds-Zahl verringerte. (In sämtlichen hier genannten theoretischen Arbeiten wurden - im Gegensatz zu dem in Abschnitt 2.3 beschriebenen Verfahren - die Vorgänge längs des gesamten thermischen Einlaufs untersucht.)

J.P.Hartnett gibt - vermutlich unter Zugrundelegung von  $Nu(x=l_e)/Nu = 1,01$  - folgende Zusammenstellung der Ergebnisse der hier erwähnten Autoren an

Autor	Art der Untersuchung	Thermische Randbedingung	Prandtl-Zahl	$x_e/d$	
				$Re = 10^4$	$Re = 10^5$
Hartnett	Experimentell	$q_w = \text{konst.}$	7-200	10	15
Boelter et al.	Experimentell	$\vartheta_w = \text{konst.}$	0,7	12*	
Latzko	Theoretisch	$\vartheta_w = \text{konst.}$	1,0	10	15
Deissler	Theoretisch	$q_w = \text{konst.}$	0,73	10	15
Deissler	Theoretisch	$\vartheta_w = \text{konst.}$	0,73	10	15
Berry	Theoretisch	$\vartheta_w = \text{konst.}$	0,001-100	13 ( $Pr > 1$ )	17 ( $Pr > 1$ )

\* Für  $Re = 27700$

f) Die in diesem Abschnitt 4.2.1 für das Rohr gegebene Interpretation der numerischen Ergebnisse gilt im großen und ganzen auch für die anderen, hier behandelten Strömungsquerschnitte. In den folgenden Abschnitten wird daher nur noch auf solche Fälle näher eingegangen, die gegenüber dem Rohr entweder abweichende oder zusätzliche Zusammenhänge aufzeigen. Die Tabelle 18 soll dabei das Auffinden der für das Rohr gemachten Ausführungen erleichtern.

#### 4.2.2. PARALLELE PLATTEN, SYMMETRISCHER WÄRMEAUSTAUSCH

Die für die parallelen Platten bei symmetrischem Wärmeaustausch erhaltenen numerischen Ergebnisse sind in den Abbildungen 48, 52, 53, 60 bis 66 sowie in den Tabellen 11, 15 und 17 auszugsweise wiedergegeben (s. Gegenüberstellung mit den entsprechenden Darstellungen für das Rohr in Tab.18).

In Abb.65 sind die für  $Pr^+ = Pr = 0,72$  berechneten Nußelt-Zahlen mit Messungen verglichen, die von J.L.Novotny et al./58/ in 3 von Luft durchströmten Rechteckkanälen mit den Seitenverhältnissen  $b/h = 1 - 5 - 10$  durchgeführt wurden ( $q_w = \text{konst.}$ ). Als charakteristische Länge ist auch hier in Nu und in Re der hydraulische Durchmesser eingesetzt, der also mit dem gesamten benetzten Umfang  $2b$  der beheizten und  $2h$  der unbeheizten Wände gebildet ist. Die gemessenen Nußelt-Zahlen stellen Mittelwerte dar, da sowohl  $q_w$  als auch  $\vartheta_w$  über  $b$  gemittelt wurden. Wie Abb.65 zeigt, ist der Einfluß des Seitenverhältnisses  $b/h$  auf die Nußelt-Zahl gering. Die Übereinstimmung mit der Theorie für seitlich unbegrenzte parallele Platten ( $b/h = \infty$ ) ist gut.

Die Nußelt-Zahlen für den Fall der parallelen Platten bei symmetrischem Wärmeaustausch sind im Vergleich zum Rohr etwas höher: Für  $Pr^+ = 0,72$  ergeben sich Verhältnismerte  $Nu_{ps}/Nu_T$  zwischen 1,06 (für  $Re = 10^4$ ) und 1,02 (für  $Re = 10^6$ ).

Von E.Brundrett et al./59/ wurden in einem ebenfalls von Luft durchströmten Kanal von quadratischem Querschnitt bei allseitiger Beheizung ( $q_w = \text{konst.}$ ) Temperaturmessungen vorgenommen. Die Ergebnisse lassen sich für mehrere Stellen am Umfang und für verschiedene Reynolds-Zahlen durch einen einheitlichen Verlauf  $(\vartheta_w - \vartheta)/\vartheta^+ = f(\eta)$  darstellen. In den beiden Größen  $\vartheta^+$  und  $\eta$  sind dabei die lokalen Werte der Schubspannung  $\tau_w$  und der Wärmestromdichte  $q_w$  einzusetzen. Für  $\eta > 25$  gibt das logarithmische Gesetz  $(\vartheta_w - \vartheta)/\vartheta^+ = 1,95 \ln \eta + 3,8$  die Meßwerte innerhalb einer Genauigkeit von 4 Prozent wieder. Rechnet man die in Tab.17 angegebenen Werte  $a_{rp}$  und  $c_{rp}(Pr^+)$  (für  $Pr^+ = 0,72$  extrapoliert) mit Hilfe der Gleichung (209c) um, so erhält man für  $Re = 6,21 \cdot 10^4$  unter Beibehaltung der in Absatz a5 des Abschnitts 4.2.1 angegebenen Werte  $(\epsilon_h/\epsilon_m)_{25} = 1$  und  $(\epsilon_h/\epsilon_m)_{25} = 1,30$  :  $(\vartheta_w - \vartheta)/\vartheta^+ = 2,33 \ln \eta + 2,50$ . Auch diese Gleichung ist für den gesamten Bereich  $\eta = 25 \dots \eta_c$  in guter Übereinstimmung mit den Meßergebnissen.

Die mit dem hydraulischen Durchmesser dimensionsbefreite thermische Einlaulänge  $x_e/d_h$  ( $q_w = \text{konst.}$ ) ist gegenüber dem Rohr - bedingt durch die höheren Werte  $\theta_m$  - nur etwa halb so groß. Wird dagegen  $x_e$  auf den Plattenabstand  $h = d_h/2$  bezogen, so nimmt der Quotient  $x_e/h$  mit dem Rohr vergleichbare Werte an (s. Abb.59 und 66).

Ab mittleren Prandtl-Zahlen - mit Ausnahme der Kombinationen großer Prandtl-Zahlen mit kleinen Reynolds-Zahlen - läßt sich  $x_e/d_h$  näherungsweise mit Hilfe folgender Gleichung berechnen (in Abb.66 durch 3 kleine Kreise angedeutet):

$$\frac{x_e}{d_h} = 3,3 \lg(\text{Re}) - 3,4 \quad (223)$$

#### 4.2.3. PARALLELE PLATTEN, ASYMMETRISCHER WÄRMEAUSTAUSCH

Eine repräsentative Auswahl der für die parallelen Platten bei asymmetrischem Wärmeaustausch erhaltenen numerischen Ergebnisse ist in den Abbildungen 48, 52, 53, 67 bis 73 sowie in den Tabellen 11, 15 und 17 zusammengestellt.

Die formale Anwendung des logarithmischen Temperatugesetzes führt im Vergleich zum Rohr und zu den parallelen Platten bei symmetrischem Wärmeaustausch zu größeren Abweichungen, wie zu erwarten war (s. Einleitung des Abschnitts 4.2). Die mittleren quadratischen Abweichungen, unter Zugrundelegung der Koeffizienten  $a_{rp}$  und  $c_{rp}$ , betragen hier im Durchschnitt 4% ( $\text{Pr}^+=1$ ) - 2,5% ( $\text{Pr}^+=10$ ) - 0,3% ( $\text{Pr}^+=100$ ) - <0,05% ( $\text{Pr}^+=1000$ ). Das Entsprechende gilt auch für die Wiedergabe der Nußelt-Zahlen durch eine Gleichung der Form (207), wie in Absatz d6 des Abschnitts 4.2.1 aus dem Vergleich der Werte  $e_T$ ,  $e_{PS}$  und  $e_{PAS}$  zu ersehen ist. Für kleine Prandtl-Zahlen geht aus Abb.71 hervor, daß auch die Beziehung  $\text{Nu}=f(\text{Pe})$  gegenüber den Fällen T und PS eine etwas grobere Näherung darstellt: Die Exponenten c, d unterscheiden sich hier um 6 bis 7 Prozent. Diese Tatsache kommt auch in der Auftragung  $\text{Nu}=f(\text{RePr}^+, \text{Pr}^+)$  der Abbildung 52 zum Ausdruck.

Ab mittleren Prandtl-Zahlen geht der Einfluß des Strömungsquerschnitts und der thermischen Randbedingung auf die Wärmeübertragung mehr und mehr zurück. Der Grund hierfür wird im folgenden am Beispiel der drei Fälle T, PS und PAS erläutert.

Geht man in Gleichung (19) vom Wandabstand  $y^+$  auf  $\eta$  über, so ergibt sich:

$$\text{Nu} = - \frac{(d_h/r_w)(d\eta/dy^+)}{\theta_m \int_0^{\theta_m} \frac{q/q_w}{1+\text{Pr}^+ \epsilon_m/\nu} d\eta} \quad (224)$$

Mit  $y_T^+=1-\eta/\eta_{cT}$ ,  $y_{PS}^+=1-\eta/\eta_{cPS}$  und  $y_{PAS}^+=1-0,5\eta/\eta_{cPAS}$  erhält man unter Berücksichtigung von  $\eta_{cPS}=\eta_{cPAS}=0,5\eta_{cT}$  (vgl. Glg.78 und 97) für den Zähler in Gleichung (224) für alle drei Fälle T, PS und PAS den Wert  $2\eta_{cT}$ . Im Nenner dieser Gleichung unterscheiden sich zwar die oberen Integrationsgrenzen teilweise um den Faktor 2 ( $\eta_{oT}=\eta_{cT}$ ,  $\eta_{oPS}=\eta_{cPS}=0,5\eta_{cT}$ ,  $\eta_{oPAS}=2\eta_{cPAS}=\eta_{cT}$ ), da sich jedoch bei hohen Prandtl-Zahlen der Wert des Integrals ab verhältnismäßig kleinen Wandabständen  $\eta$  nicht mehr wesentlich ändert, bleibt dieser Einfluß gering (im wichtigen wandnahen Bereich gilt  $q/q_w \approx 1$  und  $\epsilon_m/\nu=f(\eta)$ ; vgl. Absatz a5 in Abschnitt 4.2.1). Zieht man noch in Betracht, daß auch die Mischungstemperaturen  $\theta_m$  nur geringe gegenseitige Unterschiede aufweisen, so ergibt sich für große Prandtl-Zahlen bei einheitlichen Wertepaaren  $\text{Re}$ ,  $\text{Pr}^+$ :  $\text{Nu}_T \approx \text{Nu}_{PS} \approx \text{Nu}_{PAS}$ . Dieses Ergebnis zeigt auch, daß ab mittleren Werten  $\text{Pr}^+$  der äquivalente hydraulische Durchmesser  $d_h=4S/U$  dem äquivalenten thermischen Durchmesser  $d_t=4S/U_w$  als charakteristische Länge vorzuziehen ist.

In Abb.72 sind die für  $Pr^+ = Pr = 0,01$  und  $q_w = \text{konst.}$  berechneten NuBelt-Zahlen mit theoretischen und an Flüssigmetallen experimentell ermittelten Ergebnissen anderer Autoren (/60/ bis /63/) verglichen. Die von L.M.Trefethen et al./63/ übernommenen Meßpunkte, die in guter Übereinstimmung mit den theoretischen Ergebnissen sind, wurden in einem von Quecksilber durchströmten Ringspalt ( $r_1/r_2 = 0,714 - q_{w1} = \text{konst.}$ ) erhalten. Der Vergleich mit dem Fall PAS ist zulässig, da sich bei Werten  $r_1/r_2$  nahe 1 die Ergebnisse des Ringspalts nur wenig von denen der parallelen Platten unterscheiden: Nach den Abbildungen 83 und 85 sind für sämtliche Prandtl- und Reynolds-Zahlen bei  $r_1/r_2 = 0,7$  die NuBelt-Zahlen für A1 gegenüber PAS nur um ungefähr 5 Prozent höher. Die Meßergebnisse von L.Duchatelle et al./62/ liegen für  $Pe > 250$  um 15 bis 20 Prozent unter den hier berechneten Werten, während bei kleineren Péclet-Zahlen die Übereinstimmung besser wird.

Den in Abb.72 eingezeichneten Kurven liegen folgende Gleichungen zugrunde:

$$Nu = 5,32 + 0,0215(RePr^+)^{0,768} \quad (\text{O.E.Dwyer et al./60/}) \quad (225)$$

$$Nu = 4,9 + 0,0175 Pe^{0,8} \quad (\text{W.B.Harrison et al./61/}) \quad (226)$$

$$\left. \begin{array}{l} Nu = 5,14 + 0,0127 Pe^{0,8} \quad (200 < Pe < 1220) \\ Nu = 6,1 \quad (Pe < 200) \end{array} \right\} (\text{L.Duchatelle et al./62/}) \quad (227)$$

In diesem Zusammenhang seien hier auch die in Abb.52 enthaltenen Gleichungen zur Berechnung der NuBelt-Zahlen für das Rohr (T) und für die parallelen Platten (PS, PAS) nochmals aufgeführt:

$$Nu_T = 5,7 + 0,041(RePr^+)^{0,75} \quad (228)$$

$$Nu_{PS} = 9,7 + 0,030(RePr^+)^{0,78} \quad (229)$$

$$Nu_{PAS} = 5,6 + 0,016(RePr^+)^{0,81} \quad (230)$$

Messungen in einem von Luft durchströmten Rechteckkanal mit dem Seitenverhältnis  $b/h=5$  bei asymmetrischer Heizung ( $q_w = \text{konst.}$ ) wurden von E.M.Sparrow et al./64/ durchgeführt. Dabei wurden sowohl der Fall untersucht, daß nur eine der beiden Wände (Breite  $b$ ) beheizt war ( $q_{w1} = \text{konst.} - q_{w2} = 0$ ), als auch jener, daß beide Wände Wärme im Verhältnis  $q_{w1}/q_{w2} = 1/2$  abgaben. Die gemessenen NuBelt-Zahlen des erstgenannten Falls stimmen gut mit den in der vorliegenden Arbeit für  $Pr^+ = 0,72$  berechneten überein. Gegenüber dem symmetrischen Wärmeaustausch ( $q_{w1} = q_{w2} = \text{konst.}$ ) ergeben sich bei asymmetrischem Wärmeaustausch kleinere NuBelt-Zahlen. Für  $Pr^+ = 0,72$  als Beispiel nimmt der Quotient  $Nu_{PAS}/Nu_{PS}$  Werte zwischen 0,78 (für  $Re = 10^4$ ) und 0,84 (für  $Re = 10^6$ ) an. Die Tendenz, daß die Abweichungen  $Nu_{PAS} < Nu_{PS}$  gegenüber  $Nu_{PS} > Nu_T$  größer sind, zeigte sich bereits bei kleinen Prandtl-Zahlen, kombiniert mit großen Reynolds-Zahlen (s. Abb.52).



Wie aus dem Vergleich der Abbildungen (59), (66) und (73) hervorgeht, ist die auf den hydraulischen Durchmesser bezogene thermische Einlaufänge  $x_e/d_h$  bei parallelen Platten und asymmetrischem Wärmeaustausch um etwa das doppelte größer als beim Rohr und um nahezu den Faktor 4 größer als bei parallelen Platten und symmetrischem Wärmeaustausch. Dieser Sachverhalt erklärt sich aus dem Zusammenwirken der Größen  $St$  und  $\theta_m$  einerseits, sowie aus dem Einfluß des Quotienten  $U/U_w=U^+$  auf den Parameter  $F_m$  andererseits (vgl. Glg. 37 und 55a). Es zeigt sich zum Beispiel, daß ab mittleren Prandtl-Zahlen für festgehaltene Wertepaare  $Re, Pr^+$  näherungsweise die Zusammenhänge  $\theta_{mPAS} \approx \theta_{mT}$  und  $1/\theta_{mPAS} - 1 \approx 2(1/\theta_{mPS} - 1)$  gelten. Unter Beachtung von  $Nu_{PAS} \approx Nu_{PS} \approx Nu_T$  und  $U^+_{PAS} = 2U^+_{PS} = 2U^+_T$  ergeben sich aus Glg. (55d) die oben genannten Faktoren 2 und 4.

Die in Absatz d5 des Abschnitts 4.2.1 erwähnte Näherung  $x_e/d_h = f(RePr^+)$ , die für kleine Prandtl-Zahlen zulässig ist, wird durch die Versuche von L. Duchatelle et al. bestätigt: Für Wertepaare aus dem Bereich  $Pr=0,01 \dots 0,022$  und  $Re=3000 \dots 100000$  war der thermische Einlauf nach  $l_e/d_h = Pe/80$  in etwa beendet. Dies entspricht nach Abb. 73 im Mittel einem Verhältnis  $x_e/l_e = 1/2$ . Wie in Abb. 73 durch die drei kleinen Kreise angedeutet ist, kann die thermische Einlaufänge  $x_e/d_h$  ab mittleren Prandtl-Zahlen näherungsweise mit Hilfe der Gleichung

$$\frac{x_e}{d_h} = 12,4 \lg(Re) - 14,4 \quad (231)$$

berechnet werden.

#### 4.2.4. DER RINGSPALT

Die Ergebnisse der numerischen Berechnung sind für die strömungsmechanischen Größen in den Abbildungen 74 bis 80 und in den Tabellen 8 und 16, und für die thermischen Größen in den Abbildungen 81 bis 91 und in den Tabellen 12, 14, 17 zusammengestellt.

##### 4.2.4.1. STRÖMUNGSMECHANISCHE GRÖSSEN

###### a) Die Geschwindigkeitsverteilung

Für das Halbmesserverhältnis  $r_1/r_2=0,20$  zeigt Abb. 74 die mit Hilfe der Gleichungen (186a,b,c) berechneten Geschwindigkeitsverteilungen  $\varphi=f((r-r_1)/(r_2-r_1))$ ,  $Re=\text{konst.}$ ). Der Einfluß des Halbmesserverhältnisses auf die Geschwindigkeitsverteilung geht für  $Re_T=3 \cdot 10^4$  aus Abb. 75 hervor:  $\varphi=f((r-r_1)/(r_2-r_1))$ ,  $r_1/r_2=\text{konst.}$ ). In der äußeren Ringspalthälfte liefert die Gleichung (192) im Vergleich zu (186a,b,c) nur unwesentlich abweichende Ergebnisse. Durch die nahezu lineare Schubspannungsverteilung ist jedoch auch die einfache Gleichung (62) schon ausreichend ( $y^+$  ist dabei durch  $z_2^+$  zu ersetzen). In der vorliegenden Arbeit wurden bei der numerischen Berechnung die Gleichungen (186a,b,c) für die äußere Ringspalthälfte nur deshalb beibehalten, um mit einer einzigen, für den Gesamtquerschnitt gültigen Beziehung auszukommen.

In Abb.76 ist im Abschnitt  $r_1 < r < r_c$  für das Radienverhältnis  $r_1/r_2=0,40$  die mit der Gleichung (192) berechnete Geschwindigkeitsverteilung  $\varphi=f((r-r_1)/(r_2-r_1))$ ,  $Re=konst.$ ) dargestellt. Die Unterschiede der mit den Gleichungen (186a,b,c) einerseits und mit Glg. (192) andererseits für die innere Ringspalthälfte berechneten Geschwindigkeitsprofile  $\varphi$  sind für  $r_1/r_2=0,125$  und  $r_1/r_2=0,0625$  aus derselben Abbildung zu entnehmen. Dabei sind zum Vergleich auch die von J.A.Brighton et al./25/ an Luft gemessenen Geschwindigkeitsverteilungen eingezeichnet. Die Übereinstimmung der mit (192) berechneten Geschwindigkeitsprofile  $\varphi$  ist gegenüber (186a,b,c) etwas besser, während umgekehrt in der Auftragung  $u/u^+$  der Abb.77, die genauere Aufschlüsse über die Güte der getroffenen Annahmen gibt, die mit Glg.(186a,b,c) ermittelten Geschwindigkeiten den gemessenen Werten näher kommen. (Die Darstellung  $u/u^+=f(\eta)$  ist gegenüber  $\varphi=f((r-r_1)/(r_2-r_1))$ ,  $Re$ ) deswegen aufschlußreicher, weil in den beiden Veränderlichen  $u/u^+$  und  $\eta$  zusätzlich noch der Einfluß des Widerstandsbeiwertes  $\zeta$  enthalten ist, dessen Bestimmung ebenfalls Annahmen zugrundelagen.) Die Meßpunkte in Abb.77 liegen im Vergleich zur Theorie etwas höher. Sehr gut wird dagegen der Einfluß der Reynolds-Zahl wiedergegeben: Beim Radienverhältnis  $r_1/r_2=0,562$  nimmt  $u/u^+$  mit steigendem  $Re$  leicht ab, während umgekehrt beim kleineren Radienverhältnis  $r_1/r_2=0,0625$   $u/u^+$  mit steigendem  $Re$  zunimmt. Beiden Werten  $r_1/r_2$  gemeinsam ist die Tatsache, daß der Einfluß der Reynolds-Zahl auf  $u/u^+=f(\eta)$  mit zunehmendem  $Re$  zurückgeht.

An der unteren Grenze der Gültigkeit des logarithmischen Geschwindigkeitsgesetzes, d.h. bei  $\eta \approx 30$ , ist auch der Einfluß des Radienverhältnisses  $r_1/r_2$  auf  $u/u^+$  nur noch gering. Diese Tatsache wurde von A.Roberts /65/ und von W.M.Kays et al./67/ dazu verwandt, die von  $r_1/r_2$  abhängigen Koeffizienten  $a$  und  $c$  der Beziehung  $u/u^+=a \ln \eta + c$  zu bestimmen (in/65/ ist allen Kurven  $u/u^+=f(\eta)$  der Punkt  $\eta=22 - u/u^+=13$  gemeinsam; nähere Angaben zu /67/ finden sich in Absatz c) des Abschnitts 4.2.4.2). Die in der vorliegenden Arbeit aus den Wertegruppen  $u/u^+$ ,  $\eta$ ,  $Re$ ,  $r_1/r_2$  nach dem Verfahren der kleinsten Fehlerquadrate ermittelten Koeffizienten  $a$  und  $c$  sind in Tabelle 16 aufgeführt.

#### b) Die mittlere Geschwindigkeit

Die mittleren Geschwindigkeiten  $\varphi_{m1}$ ,  $\varphi_{m2}$  und  $\varphi_{m12}$  sind in Abb.78 in Abhängigkeit vom Radienverhältnis  $r_1/r_2$  für verschiedene Werte der Reynolds-Zahl  $Re$  dargestellt.

#### c) Der neutrale Radius

Der auf den Radius  $r_2$  des äußeren Zylinders bezogene neutrale Radius  $r_c$  ist in Tab.8, zusammen mit den Größen  $Re_{12}$  und  $\eta_s$ , in Abhängigkeit von  $r_1/r_2$  und von  $Re_T$  angegeben. Der Einfluß der Reynolds-Zahl wird erst bei Annäherung an sehr kleine Radienverhältnisse  $r_1/r_2$  spürbar, und zwar in dem Sinn, daß der Quotient  $r_c/r_2$  mit steigendem  $Re$  kleiner wird. Dieses Ergebnis ist in Übereinstimmung mit den von J.A.Brighton et al./25/ an Luft in Ringspalten mit den Radienverhältnissen  $r_1/r_2=0,562 - 0,375 - 0,125 - 0,0625$  durchgeführten Messungen (der Innendurchmesser des äußeren Zylinders betrug bei allen 4 Radienverhältnissen  $2r_2=203$  mm). Bei diesen Versuchen wurde der Radius  $r_c$  mit Hilfe einer doppelten Pitot-Sonde bestimmt. Die Anzeige dieser Sonde gab also direkt

ein Maß für die Geschwindigkeitsdifferenzen, wodurch sich der Ort des nur schwach ausgebildeten Geschwindigkeitsmaximums zuverlässig bestimmen ließ. Für  $r_1/r_2=0,0625$  ergaben sich so beispielsweise Meßwerte von  $r_c/r_2=0,339$  ( $Re=95800$ ) und  $r_c/r_2=0,332$  ( $Re=327000$ ). Durch Interpolation der in Tab.8 enthaltenen Werte erhält man für  $r_1/r_2=0,0625$  folgende Ergebnisse:  $r_c/r_2=0,336$  ( $Re=95800$ ) und  $r_c/r_2=0,329$  ( $Re=327000$ ). Die Absolutwerte aus Theorie und Experiment unterscheiden sich also nur um 1 Prozent, der relative Unterschied für die genannten Reynolds-Zahlen beträgt in beiden Untersuchungen 2 Prozent. Bei der laminaren Strömung ergibt sich  $r_c/r_2=0,424$ , ein Wert also, der im Vergleich zur turbulenten Strömung um etwa 25 Prozent höher liegt.

Im Widerspruch hierzu sind jedoch auch Messungen bekannt geworden, die keinen Unterschied zwischen laminarer und turbulenter Strömung in Bezug auf die Lage des Geschwindigkeitsmaximums zu erkennen gaben. Als Beispiel hierfür seien die Geschwindigkeitsmessungen von R.R.Rothfus et al./66/ angeführt. Zur Bestimmung von  $r_c$  wurden bei dieser Untersuchung lediglich die mit einer einfachen Pitot-Sonde gemessenen Geschwindigkeitsverteilungen herangezogen. Auch waren die maximal erreichten Reynolds-Zahlen bei den zwei untersuchten Radienverhältnissen relativ niedrig:  $Re=14400$  für  $r_1/r_2=0,650$  und  $Re=21600$  für  $r_1/r_2=0,162$ .

Von W.M.Kays et al./67/ wurde unter Verwendung von Versuchsergebnissen mehrerer Autoren empirisch eine Gleichung für  $r_c/r_2$  aufgestellt. In der doppeltlogarithmischen Darstellung von  $(r_c-r_1)/(r_2-r_1)=f(r_1/r_2)$  ließen sich die Meßergebnisse (hauptsächlich fanden die von F.R.Lorenz /68/ bei Radienverhältnissen bis  $r_1/r_2=0,0525$  gewonnenen Ergebnisse Berücksichtigung) näherungsweise durch eine Gerade mit der Neigung  $n_k=0,343$  wiedergeben. Die Gültigkeit dieser Näherung wird durch die Theorie bekräftigt. Die für 13 Radienverhältnisse im Bereich  $r_1/r_2=0,7 \dots 0,03$  und bei jeweils 7 Reynolds-Zahlen im Bereich  $Re_T=4 \cdot 10^5 \dots 3 \cdot 10^6$  ermittelten Wertepaare  $r_c/r_2, r_1/r_2$  ergaben nach dem Verfahren der kleinsten Fehlerquadrate eine mittlere Neigung von  $n=0,3336$  bei einer mittleren quadratischen Abweichung von 3,0 Prozent. Die Stelle des Geschwindigkeitsmaximums läßt sich also mit ausreichender Genauigkeit aus der Gleichung

$$\frac{r_c}{r_2} = \frac{r_1/r_2 + (r_1/r_2)^{1/3}}{1 + (r_1/r_2)^{1/3}} \quad (232)$$

berechnen. Die dieser Gleichung entsprechende Kurve ist in Abb.11 eingezeichnet. Wie man sieht, ist die Übereinstimmung mit den von J.A.Brighton et al. gemessenen Werten über den gesamten Bereich der Radienverhältnisse  $r_1/r_2 \geq 0,0625$  sehr gut.

#### d) Der Widerstandsbeiwert

Werden die nach Gleichung (182) berechneten Widerstandsbeiwerte  $\zeta_{12}(Re_{12})$  auf  $\zeta_T^+$  bezogen ( $\zeta_T^+ = \zeta_T(Re_{12})$  sind die aus dem Widerstandsgesetz des Rohres (69b) für  $Re_{12}$  berechneten Werte) so ergeben sich die in Abb.79 dargestellten Kurven  $\zeta_{12}/\zeta_T^+ = f(Re, r_1/r_2 = \text{konst.})$  (Abszissenskala unten) und  $\zeta_{12}/\zeta_T^+ = f(r_1/r_2, Re = \text{konst.})$

(Abszissenskala oben). Der Quotient  $\zeta_{12}/\zeta_T^+$  bleibt für den gesamten Bereich der Radienverhältnisse  $r_1/r_2=0\dots 1$  unterhalb des Wertes 1,08. Für  $r_1/r_2 > 1/4$  und  $Re > 3 \cdot 10^4$  betragen die Abweichungen gegenüber der Näherung

$$\zeta_{12}/\zeta_T^+ = 1,095 - 0,078(r_1/r_2) \quad (233)$$

weniger als 1 Prozent.

Die Messungen von J.A.Brighton et al. ergaben für 3 von Wasser durchströmte Ringspalte ( $r_1/r_2=0,118 - 0,200 - 0,400$ ) für den Bereich niedriger Reynolds-Zahlen ( $Re < 17000$ ) Werte  $\zeta_{12}/\zeta_T^+$  zwischen 1,06 und 1,08 und für die 4 weiter oben erwähnten Ringspalte ( $r_1/r_2=0,562\dots 0,0625$ ) bei Luft und  $Re=30000\dots 327000$  Werte  $\zeta_{12}/\zeta_T^+$  zwischen 1,00 und 1,10. Aus den Messungen von R.R.Rothfus et al. wurden diese Quotienten für  $r_1/r_2=0,650$  und  $Re=10000\dots 15000$  zu 1,05 und für  $r_1/r_2=0,162$  und  $Re=4000\dots 20000$  zu 1,12 bestimmt. Die Ergebnisse dieser experimentellen Untersuchungen sind also in Übereinstimmung mit der Theorie. Wesentlich höhere Widerstandskoeffizienten ergaben dagegen Messungen von K.H.Presser et al./68/ in 3 von Stickstoff und Kohlendioxyd durchströmten Ringspalten:  $\zeta_{12}/\zeta_T^+=1,10 - 1,20 - 1,32$  für  $r_1/r_2=2/3 - 1/2 - 3/8$ .

Der in Abb.80 dargestellte, sog. fiktive Widerstandsbeiwert  $\zeta_{F1}$  wird in Zusammenhang mit den Nußelt-Zahlen in Absatz c) des Abschnitts 4.2.4.2 erläutert.

#### 4.2.4.2. DER WÄRMEAUSTAUSCH

##### a) Die Temperaturverteilung

Beispiele von Temperaturverteilungen bei Wärmeaustausch am inneren Zylinder sind für  $r_1/r_2=0,40$  in den beiden Abbildungen 81 und 82 angegeben:  $\theta=f((r-r_1)/(r_2-r_1), Pr^+=\text{konst.}, Re=\text{konst.}, F_0=1)$  und  $\theta=f((r-r_1)/(r_2-r_1), Pr^+=\text{konst.}, Re=5,77 \cdot 10^4, F_0=\text{konst.})$ . Die Koeffizienten  $a$  und  $c(Pr^+)$  der Beziehung  $(\epsilon_h/\epsilon_m)(\vartheta_w - \vartheta)/\vartheta^+ = a \ln \eta + c(Pr^+)$  sind in Tab.17 enthalten. Die Anwendung des hier nur formal übernommenen logarithmischen Temperaturgesetzes führt zu beträchtlichen Ungenauigkeiten, wie die Werte der mittleren quadratischen Abweichungen zeigen.

##### b) Die Mischungstemperatur

In Abhängigkeit von der Prandtl-Zahl, von der Reynolds-Zahl und vom Radienverhältnis sind Werte der Mischungstemperatur  $\theta_m$  für  $F_0 \neq 1$  in Tab.12 und für  $F_0=1$  in Tab.14 aufgeführt.

##### b) Die Nußelt-Zahl

Bei einseitigem Wärmeaustausch im Ringspalt stellt der Fall paralleler Platten, asymmetrischer Wärmeaustausch (PAS) den Grenzfall mit  $r_1/r_2=1$  dar. Aus diesem Grund wurde für die Auftragung der Nußelt-Zahlen für den Fall  $q_w=\text{konst.}$  die Form  $Nu/Nu_{PAS}=f(Re, Pr^+, r_1/r_2)$  gewählt. Der Einfluß des Parameters  $F_0$

der Wärmeflußverteilung geht aus den in der Tabelle 12 enthaltenen Quotienten  $Nu/Nu_q = f(Re, Pr^+, r_1/r_2, F_0)$  hervor.

Der Verlauf von  $Nu/Nu_{PAS} = f(Re, Pr^+ = \text{konst.}, r_1/r_2 = \text{konst.})$  ist für  $q_{w1} = \text{konst.}$  in Abb.83 ( $r_1/r_2 = 0,7 - 0,4$ ) und Abb.84 ( $r_1/r_2 = 0,2 - 0,1$ ) dargestellt. Die Abhängigkeit von der Reynolds-Zahl ist nicht sehr groß. Demgegenüber ist der Einfluß der Prandtl-Zahl auf  $Nu/Nu_{PAS}$  wesentlich stärker ausgeprägt, wie Abb.85 bei  $q_{w1} = \text{konst.}$  für verschiedene Werte von  $r_1/r_2$  zeigt. Alle Kurven  $Nu/Nu_{PAS} = f(Pr^+, Re = \text{konst.}, r_1/r_2 = \text{konst.})$  durchlaufen im Bereich kleiner Prandtl-Zahlen ein Maximum, um mit Annäherung an  $Pr=0$  einem Grenzwert zuzustreben. Die Lage der Maxima verschiebt sich mit steigender Reynolds-Zahl gegen kleinere Werte der Prandtl-Zahl. Sie sind bei Wärmeaustausch am äußeren Zylinder besonders deutlich, wie Abb.87 zeigt. Für  $q_{w2} = \text{konst.}$  ist die Funktion  $Nu/Nu_{PAS} = f(Re, Pr^+ = \text{konst.}, r_1/r_2 = \text{konst.})$  in Abb.86 aufgetragen ( $r_1/r_2 = 0,2 - 0,1$ ).

In den beiden Abbildungen 88 und 89 ist  $Nu/Nu_{PAS}$  für verschiedene Werte der Prandtl- und der Reynolds-Zahl in Abhängigkeit vom Radienverhältnis  $r_1/r_2$  dargestellt. Derselbe Zusammenhang, jedoch mit  $r_2/r_1$  als unabhängiger Veränderlicher und in doppeltlogarithmischen Koordinaten, geht aus Abb.90 hervor. In der letztgenannten Darstellung nehmen die Kurven  $Nu/Nu_{PAS}$  für hohe Prandtl-Zahlen nahezu einen linearen Verlauf an.

Für den Bereich kleiner Prandtl-Zahlen sind in Abb.91 in Abhängigkeit vom Radienverhältnis  $r_1/r_2$  für  $q_{w1} = \text{konst.}$  und für  $q_{w2} = \text{konst.}$  die Koeffizienten  $a$ ,  $b$  und  $c$  der Näherungsgleichung  $Nu = a + b(RePr^+)^c$  aufgetragen. Die mittleren quadratischen Abweichungen von den für  $Pr^+ = 0,01$  und  $Pr^+ = 0,03$  berechneten Werten  $Nu$  betragen in Prozent, abgestuft für die 4 Radienverhältnisse  $r_1/r_2 = 0,70 - 0,40 - 0,20 - 0,10$  :

$e_1 = 2,3 - 2,3 - 2,2 - 2,2$  für Wärmeaustausch am inneren Zylinder  
 $e_2 = 2,4 - 2,2 - 2,1 - 2,3$  für Wärmeaustausch am äußeren Zylinder

Der Vergleich mit experimentell an Flüssigmetallen ermittelten NuBelt-Zahlen (Ref. /33/ und /70/ bis /73/) geht aus Abb.92 hervor. (Ein Teil der in der vorliegenden Arbeit zitierten experimentellen Untersuchungen an Flüssigmetallen ist in der von B.Lubarsky /74/ vorgenommenen Zusammenstellung enthalten.) Über den Einfluß des Radienverhältnisses geben die Meßergebnisse noch keinen zuverlässigen Aufschluß. Eine verhältnismäßig gute Übereinstimmung mit der Theorie ergeben die Meßergebnisse von V.I.Petrovichev /70/, die gemessenen NuBelt-Zahlen liegen im gesamten Bereich von  $Pe=600$  bis  $Pe=4000$  um ca. 6 Prozent unter den berechneten Werten.

Die analytische Untersuchung von R.V.Bailey /9/ führte zu folgender Gleichung (Wärmeaustausch am inneren Zylinder):

$$Nu_1 = Nu_{s1} + 0,0106(r_2/r_1)^{0,37}(RePr^+)^{0,86} \quad (234a)$$

Die NuBelt-Zahl  $Nu_{s1}$ , die man für das Rechteckprofil  $\varphi=1$  mit  $\epsilon_m/\nu=0$  erhält, läßt sich aus folgender Gleichung berechnen:

$$\frac{1}{Nu_{s1}} = \frac{4(B+1)^4 \ln(r_2/r_1) - 4B^3 - 14B^2 - 12B - 3}{8B(r_2/r_1 + 1)^2} \quad (234b)$$

mit

$$B = 1/(r_2/r_1 - 1)$$

Unter Zugrundelegung der von R.R.Rothfus et al. /8/ gemessenen Geschwindigkeitsverteilungen ergaben die von O.E.Dwyer et al./60/ für kleine Prandtl-Zahlen durchgeführten Rechnungen folgende Ergebnisse:

- Wärmeaustausch am inneren Zylinder

$$Nu_1 = a_1 + b_1(RePr^+)^{c_1} \quad (235a)$$

mit

$$a_1 = 4,63 + 0,686(r_2/r_1)$$

$$b_1 = 0,02154 - 0,000043(r_2/r_1)$$

$$c_1 = 0,752 + 0,01657(r_2/r_1) - 0,000883(r_2/r_1)^2$$

- Wärmeaustausch am äußeren Zylinder

$$Nu_2 = a_2 + b_2(RePr^+)^{c_2} \quad (235b)$$

mit

$$a_2 = 5,26 + 0,050(r_2/r_1)$$

$$b_2 = 0,01848 + 0,003154(r_2/r_1) - 0,0001333(r_2/r_1)^2$$

$$c_2 = 0,780 - 0,01333(r_2/r_1) + 0,000833(r_2/r_1)^2$$

Für den Bereich mittlerer bis großer Prandtl-Zahlen lassen sich aus den hier berechneten Nußelt-Zahlen ebenfalls Näherungsgleichungen angeben. Dazu wird wieder die Beziehung (207) herangezogen, deren Herleitung zwar, wie bereits erwähnt, für den Fall des Ringspalts nicht gilt (bei formaler Anwendung müßte als Widerstandsbeiwert für  $Nu(q_{w1})$   $\zeta_1$  nach Glg.(174a) und für  $Nu(q_{w2})$   $\zeta_2$  nach Glg.(174b) eingesetzt werden). Der Vorteil dieser Beziehung, der darin besteht, den Einfluß der Prandtl- und der Reynolds-Zahl über einen großen Bereich zuverlässig zu beschreiben, kann jedoch auch beim Ringspalt genutzt werden, wenn anstelle der Widerstandsbeiwerte  $\zeta_1$  und  $\zeta_2$  fiktive Widerstandsbeiwerte  $\zeta_F$  eingeführt werden. Diese sind so definiert, daß sie die Gleichung (207) mit  $f(Pr^+) = f_{PAS}(Pr^+)$  befriedigen. Mittelwerte der Funktion  $\zeta_F = f(Re, Pr^+, r_1/r_2)$  sind in Abb.80 für den Fall, daß der Wärmeaustausch an der inneren Wand stattfindet, in der Form  $\zeta_{F1}/\zeta_T^+ = f_1(Re, r_1/r_2 = \text{konst.})$  (Abszissenskala unten) und  $\zeta_{F1}/\zeta_T^+ = f_2(r_2/r_1, Re = \text{konst.})$  (Abszissenskala oben) dargestellt. Für  $\zeta_{F1}/\zeta_T^+$  läßt sich eine im Bereich  $1 \leq r_2/r_1 \leq 10$  gültige Näherungsgleichung aufstellen, die in der nachfolgenden Zusammenstellung enthalten ist.

$$\text{Nu}_1 = \frac{\text{RePr}^+ \zeta_{F1}/8}{1 + 10(\text{Pr}^+ - 0,58)(\text{Pr}^+)^{-0,22} \sqrt{\zeta_{F1}/8}} \quad (236a)$$

$$\frac{\zeta_{F1}}{\zeta_T^+} = 1 + \left(\frac{r_2}{r_1} - 1\right) [0,18 - 0,017 \lg(\text{Re})] \quad (236b)$$

$$\zeta_T^+ = [1,8 \lg(\text{Re}/7)]^{-2} \quad (236c)$$

Die mittleren quadratischen Abweichungen  $e$  in Prozent der mit diesen Gleichungen für  $\text{Pr}^+ \geq 1 - \text{Re} \tau \geq 4 \cdot 10^3$  berechneten NuBelt-Zahlen im Vergleich zu den genauen Werten betragen für die vier Radienverhältnisse  $r_1/r_2 = 0,70 - 0,40 - 0,20 - 0,10$  (die Zahlen in Klammern geben die Abweichungen  $e'$  an, die man erhält, wenn in Glg.(236a)  $\zeta_{F1}/\zeta_T^+$  nach Abb.80 eingesetzt wird):  
 $e = 1,8 (1,4) - 3,4 (1,7) - 3,1 (1,9) - 4,2 (3,0)$ .

Erfolgt der Wärmeaustausch am äußeren Zylinder, so genügt es ab mittleren Prandtl-Zahlen, die NuBelt-Zahlen aus der für den Fall der parallelen Platten, asymmetrischer Wärmeaustausch, angegebenen Formel zu berechnen und bei kleinen Radienverhältnissen mit dem aus Abb.89 zu entnehmenden Faktor  $\text{Nu}/\text{Nu}_{\text{PAS}}$  zu multiplizieren (in Glg.(236a) ist  $\zeta_{F1}$  durch  $\zeta_{\text{PP}} \approx \zeta_T^+$  gemäß Glg.(236c) zu ersetzen).

Für den Vergleich der in der vorliegenden Arbeit berechneten NuBelt-Zahlen mit experimentell an Flüssigkeiten mittlerer Prandtl-Zahl ermittelten Ergebnissen eignet sich die Auftragung der Abbildung 90,  $\text{Nu}/\text{Nu}_{\text{PAS}} = f(r_2/r_1)$  in doppeltlogarithmischen Koordinaten, am besten, da in der Mehrzahl der anschließend genannten Arbeiten der Einfluß des Radienverhältnisses auf die NuBelt-Zahl durch eine Beziehung der Form  $\text{Nu} \sim (r_2/r_1)^n$  angegeben wird. Die Werte der Exponenten  $n$  weisen allerdings beträchtliche Streuungen auf, wie aus den folgenden Beispielen zu entnehmen ist.

Nach Messungen, die von C.C.Monrad et al./75/ an Wasser und Luft in 3 Ringspalten durchgeführt wurden, ergab sich folgende Beziehung:

$$\text{Nu}_1 = 0,020 (r_2/r_1)^{0,53} \text{Re}^{0,8} \text{Pr}^{0,4} \quad (237)$$

Die maximal erreichten Reynolds-Zahlen betragen dabei  $\text{Re} = 220000$  ( $r_2/r_1 = 1,65$ ),  $\text{Re} = 170000$  ( $r_2/r_1 = 2,45$ ) und  $\text{Re} = 30000$  ( $r_2/r_1 = 17$ )

Eine von E.D.Davis /76/ im Jahre 1943 vorgenommene Zusammenstellung von Meßergebnissen verschiedener Autoren (einschließlich /75/) führte zu der Gleichung

$$\text{Nu}_1 = 0,038 (r_2/r_1 - 1)^{0,2} (r_2/r_1)^{0,15} \text{Re}^{0,8} \text{Pr}^{1/3} \quad (238)$$

Von O. Walger /77/ wurde, ebenfalls nach Auswertung von Meßergebnissen mehrerer Autoren, die Beziehung

$$\text{Nu}_1 = 0,021(r_2/r_1)^{0,45} \text{Re}^{0,8} \text{Pr}^{1/3} \quad (239)$$

empfohlen. Die Gültigkeit dieser Gleichung wurde später von F.J. Quirrenbach /78/ nach Hinzunahme weiterer Arbeiten, die inzwischen erschienen waren, bestätigt. Die Streuungen der Meßergebnisse in Bezug auf die der Glg. (239) entsprechende Kurve betragen allerdings  $\pm 20$  Prozent. Der Betrag dieser Streuungen liegt also ungefähr in der gleichen Höhe, wie nach der Theorie für den Einfluß von  $r_1/r_2$  auf  $\text{Nu}$  zu erwarten ist. Die gegenüber dem Proportionalitätsfaktor 0,023 in Gleichung (220) niedrigeren Werte 0,020 in Glg. (237) bzw. 0,021 in Glg. (239) berücksichtigen die Tatsache, daß bei mittleren Prandtl-Zahlen die NuBelt-Zahlen für den Fall paralleler Platten, asymmetrischer Wärmeaustausch ( $r_1/r_2=1$ ), im Vergleich zum Rohr um etwa 10 bis 15 Prozent niedriger sind (s. Abb. 89,  $q_{w2}$ ).

Den vier hier genannten Arbeiten ist gemeinsam, daß sie einen gegenüber der Theorie wesentlich höheren Einfluß des Halbmesserverhältnisses auf die NuBelt-Zahl angeben: Aus Abb. 90 lassen sich für den Bereich  $r_2/r_1=1 \dots 10$  (gemittelt über  $\text{Re}$ ) näherungsweise die folgenden Zusammenhänge entnehmen

$$\left. \begin{aligned} \frac{\text{Nu}}{\text{Nu}_{\text{PAS}}} &= 0,94 \left(\frac{r_2}{r_1}\right)^{0,25} && \text{für } 2,5 \leq r_2/r_1 \leq 10 \\ \frac{\text{Nu}}{\text{Nu}_{\text{PAS}}} &= \left(\frac{r_2}{r_1}\right)^{0,18} && \text{für } 1,0 \leq r_2/r_1 \leq 2,5 \end{aligned} \right\} \text{für } \text{Pr}^+ = 1,0 \quad (240a)$$

$$\frac{\text{Nu}}{\text{Nu}_{\text{PAS}}} = \left(\frac{r_2}{r_1}\right)^{0,16} \quad \text{für } \text{Pr}^+ = 10 \quad (240b)$$

$$\frac{\text{Nu}}{\text{Nu}_{\text{PAS}}} = \left(\frac{r_2}{r_1}\right)^{0,13} \quad \text{für } \text{Pr}^+ > 100 \quad (240c)$$

Mit zunehmendem Radienverhältnis  $r_2/r_1$  und abnehmender Prandtl- und Reynolds-Zahl steigen die Exponenten  $n$  in  $\text{Nu}/\text{Nu}_{\text{PAS}} \sim (r_2/r_1)^n$  an. So ergeben sich zum Beispiel im Bereich  $r_2/r_1$  nahe 10 Werte von  $n=0,4$  für  $\text{Pr}^+=1 - \text{Re}=10^4$  und  $n=0,65$  für  $\text{Pr}^+=0,01 - \text{Re}=10^4$ .

Neuere experimentelle Untersuchungen bestätigen den aus der Theorie sich ergebenden Zusammenhang  $\text{Nu}(r_2/r_1)$ . Von R.I. Judd et al. /79/ wurden in 6 Ringspalten mit den Radienverhältnissen  $r_2/r_1=1,5 - 2,0 - 2,5 - 3,0 - 3,5 - 4,0$  Wärmeübergangsmessungen an Wasser durchgeführt ( $\text{Re}=20000 \dots 120000$ ). Für diesen  $r_2/r_1$ -Bereich ergab sich  $\text{Nu} \sim (r_2/r_1)^{0,25}$ . Der Wert des Exponenten  $n=0,25$  stimmt in etwa mit der aus Abb. 91 zu entnehmenden Neigung  $n'=0,23$  an die Kurve  $\text{Nu}/\text{Nu}_{\text{PAS}}$  für  $\text{Pr}^+=1 - \text{Re}=3 \cdot 10^4 - 1,5 < r_2/r_1 < 4$  überein. Die auf die NuBelt-Zahl  $\text{Nu}_{1,5}$  für das Radienverhältnis  $r_2/r_1=1,5$  bezogene NuBelt-Zahlen  $\text{Nu}$  sind für  $\text{Re}=3 \cdot 10^4$  in der nachfolgenden Tabelle mit den analytisch gewonnenen Ergebnissen verglichen ( $\text{Pr}^+=1$ ).



	$r_2/r_1$	1,5	2,0	2,5	3,0	3,5	4,0
R.L.Judd et al./79/	$Nu/Nu_{1,5}$	1,00	1,04	1,08	1,14	1,19	1,23
Vorliegende Arbeit	$Nu/Nu_{1,5}$	1,00	1,06	1,11	1,15	1,20	1,25

Die Ergebnisse der von K.H.Presser et al. durchgeführten Messungen des Wärmeaustauschs an Kohlendioxyd und Stickstoff werden anschließend, ebenfalls in der Form  $Nu/Nu_{1,5}$ , den für  $Pr^+ = 1$  und  $Re = 3 \cdot 10^5$  berechneten Werten gegenübergestellt (die Re-Bereiche betragen in /69/:  $Re = 7 \cdot 10^4 \dots 1,3 \cdot 10^6$  für  $r_2/r_1 = 1,5$  -  $Re = 1,4 \cdot 10^5 \dots 4,0 \cdot 10^6$  für  $r_2/r_1 = 2,0$  -  $Re = 2,2 \cdot 10^5 \dots 4,0 \cdot 10^6$  für  $r_2/r_1 = 2,67$ ):

	$r_2/r_1$	1,5	2,0	2,67
K.H.Presser et al./69/	$Nu/Nu_{1,5}$	1,00	1,02	1,15
Vorliegende Arbeit	$Nu/Nu_{1,5}$	1,00	1,05	1,12

Für die Berechnung der Nußelt-Zahl wurde folgende Gleichung angegeben

$$Nu = k Re^{0,83} Pr^{0,44} \quad (241)$$

wobei der Proportionalitätsfaktor k für die 3 obengenannten Radienverhältnisse die Werte 0,0142 - 0,0145 - 0,0164 annimmt.

Im Rahmen eines umfangreichen Untersuchungsprogramms über den Wärmeaustausch in Ringspalten wurden von W.M.Kays et al./67/ ein Teilbericht veröffentlicht, in dem sehr sorgfältig durchgeführte theoretische und experimentelle Untersuchungen beschrieben werden. Die Grundlagen des analytischen Teils dieser Arbeit werden im folgenden kurz zusammengefaßt.

Wie bereits in Absatz c) des vorausgegangenen Abschnitts erwähnt ist, wurde für den Ort des Geschwindigkeitsmaximums die empirisch gewonnene Formel (232) mit dem Exponenten  $n_K = 0,343$  anstelle von  $n = 1/3$  den Berechnungen zugrundegelegt ( $n_K$  und  $n$  unterscheiden sich um ca. 3 Prozent). Für die  $\epsilon_m/\nu$ -Verteilung wurden das Wandgesetz (211) von R.G.Deissler und das Mittengesetz (2) von H.Reichardt, beide jedoch in modifizierter Form, übernommen. In Glg.(211) wurde dabei  $\eta$  durch  $\eta_i^+ = 1,5\eta_i(1+z_i^+)/ (1+2z_i^+)$  ersetzt. Gleichung (2) erfuhr eine Korrektur dahingehend, daß die von F.R.Lorenz gemessenen  $\epsilon_m/\nu$ -Verteilungen in etwa erreicht werden: Wie F.R.Lorenz und J.A.Brighton feststellten, sind die Maximalwerte  $\epsilon_m/\nu$  in der äußeren Ringspalthälfte größer als in der inneren. Diese Tatsache wurde dadurch berücksichtigt, daß die rechte Seite der Gleichung (173c) für die äußere Ringspalthälfte mit  $(1+0,6(z_2^+ - z_2^{+2}))$  und für die innere Ringspalthälfte mit  $(1+0,6\sqrt{r_1/r_2}(z_1^+ - z_1^{+2}))\{1 - [1 - (r_c/r_2 - r_1/r_2) / (\sqrt{\tau_w2/\tau_w1}(1 - r_c/r_2))]z_1^+\}$  multipliziert wird. In der vorliegenden Arbeit ergeben sich aus den getroffenen Annahmen gleiche Werte für die beiden Maxima  $\epsilon_m/\nu$ . Der Einfluß ist jedoch nicht sehr groß (dem Verfasser lagen die beiden Arbeiten /25/ und /68/ zum Zeitpunkt der Berechnungen nicht vor).

Zur Bestimmung der Geschwindigkeitsverteilung wurden von W.M.Kays et al. für das wandnahe Gebiet ( $\eta_1^+ \leq 42$ ) die Gleichung (184) mit  $\epsilon_m/\nu$  nach Glg.(211) und  $\tau/\tau_w=1$  integriert (dieses Integral läßt sich nicht in geschlossener Form lösen), während für den restlichen Strömungsquerschnitt die vereinfachte Form der Gleichung (62)

$$\frac{u}{u^+} = \frac{1}{\alpha_i} \ln \eta_i \frac{1,5(1+z_i^+)}{1+2z_i^+} + c_i \quad (242)$$

gewählt wurde. Für die äußere Ringspalthälfte ( $i=2$ ) wurden die für das Rohr gültigen Werte  $\alpha_2=0,4$  und  $c_2=5,5$  übernommen. Die Koeffizienten  $\alpha_1$  und  $c_1$  ergeben sich aus den beiden Bedingungen, daß (1) im Wandabstand  $\eta_1^+=42$   $u/u^+$  den aus dem  $u/u^+$ -Wandgesetz berechneten Wert annimmt, und (2) an der Stelle  $r=r_c$  die Geschwindigkeiten  $u_{c1}$  und  $u_{c2}$  gleich groß sind.

Im Gültigkeitsbereich des  $\epsilon_m/\nu$ -Wandgesetzes wurde der Quotient  $\epsilon_h/\epsilon_m$  gleich 1 gesetzt, da die Gleichung (211) einen guten Ansatz für die  $\epsilon_h/\nu$ -Verteilung darstellt (vgl. Absatz a5 in Abschnitt 4.2.1). Für größere Wandabstände erfolgte die Berechnung von  $\epsilon_h/\epsilon_m$  nach der von R.Jenkins /11/ angegebenen Gleichung. Um dabei eine Anpassung an Versuchsergebnisse zu erfassen, wurden die Werte nach R.Jenkins mit dem Faktor 1,20 multipliziert.

Die numerische Berechnung wurde für folgende Werte bzw. Bereiche der Parameter durchgeführt:  $r_1/r_2=0 - 0,10 - 0,20 - 0,50 - 0,80 - 1,00$ ,  $Pr=0...1000$ ,  $Re=10^4...10^6$ .

Für den beidseitigen Wärmeaustausch bei  $q_{w1}=\text{konst.}$ ,  $q_{w2}=\text{konst.}$   $q_{w1}$  wird von W.M.Kays et al. ein einfaches Verfahren angegeben, um die Nußelt-Zahlen aus den Ergebnissen des einseitigen Wärmeaustauschs zu berechnen. Dieses Verfahren basiert auf der Tatsache, daß infolge der Linearität der Differentialgleichung für die Temperaturverteilung partikuläre Lösungen durch Superposition kombiniert werden können. Bezeichnet man mit  $Nu_{11}$  und  $Nu_{22}$  die Nußelt-Zahlen bei einseitigem Wärmeaustausch an der Wand 1 bzw. 2 und mit  $Nu_1$  und  $Nu_2$  die Nußelt-Zahlen bei beidseitigem Wärmeaustausch, bezogen auf die Wand 1 bzw. 2, also

$$Nu_{11} = \frac{q_{w1} d_h}{\lambda (\vartheta_{w1} - \vartheta_{m1})} \quad (243a)$$

$$Nu_{22} = \frac{q_{w2} d_h}{\lambda (\vartheta_{w2} - \vartheta_{m2})} \quad (243b)$$

$$Nu_1 = \frac{q_{w1} d_h}{\lambda (\vartheta_{w1} - \vartheta_{m12})} \quad (244a)$$

$$Nu_2 = \frac{q_{w2} d_h}{\lambda (\vartheta_{w2} - \vartheta_{m12})} \quad (244b)$$

so erhält man:

$$\text{Nu}_1 = \frac{\text{Nu}_{11}}{1 - \theta_1^+ \frac{q_{w2}}{q_{w1}}} \quad (245a)$$

und

$$\text{Nu}_2 = \frac{\text{Nu}_{22}}{1 - \theta_2^+ \frac{q_{w1}}{q_{w2}}} \quad (245b)$$

Die von W.M.Kays et al. mit "Einfluß-Koeffizienten" bezeichneten Größen  $\theta_1^+$  und  $\theta_2^+$  lassen sich mit Hilfe folgender Beziehungen berechnen:

$$\theta_1^+ = \frac{\text{Nu}_{11}}{\text{Nu}_{22}} \left( \frac{1}{\theta_{m2}} - 1 \right) \quad (246a)$$

und

$$\theta_2^+ = \frac{\text{Nu}_{22}}{\text{Nu}_{11}} \left( \frac{1}{\theta_{m1}} - 1 \right) \quad (246b)$$

Die Nußelt-Zahl  $\text{Nu}_{11}$  und die Mischungstemperatur  $\theta_{m1}$  für den Fall  $q_{w1}=\text{konst.}$ , bzw.  $\text{Nu}_{22}$  und  $\theta_{m2}$  für den Fall  $q_{w2}=\text{konst.}$  sind aus den Abbildungen 69 bis 71, 83 bis 91 (betreffend  $\text{Nu}_{ij}$ ) und aus der Tabelle 14 (betreffend  $\theta_{mi}$ ) zu entnehmen. Als Beispiel wird anschließend für die parallelen Platten aus den Ergebnissen des asymmetrischen Wärmeaustauschs (PAS) die Nußelt-Zahl bei symmetrischem Wärmeaustausch (PS) berechnet (anstelle der Bezeichnung "asymmetrischer Wärmeaustausch", der hier für den Fall  $q_{w1}=\text{konst.}, q_{w2}=0$  gewählt worden war, ist es besser, die Bezeichnung "einseitiger Wärmeaustausch" zu gebrauchen, um den Ausdruck "asymmetrischer Wärmeaustausch" dem Fall  $q_{w1}=\text{konst.}, q_{w2}=\text{konst.} \neq q_{w1}$  vorzubehalten).

Aus den Gleichungen (245a) und (246a) folgt mit  $\text{Nu}_{11}=\text{Nu}_{22}=\text{Nu}_{\text{PAS}}$ ,  $\text{Nu}_1=\text{Nu}_{\text{PS}}$ ,  $\theta_{m2}=\theta_{m1}=\theta_{\text{mPAS}}$  und  $q_{w2}=q_{w1}$  :

$$\text{Nu}_{\text{PS}} = \frac{\text{Nu}_{\text{PAS}}}{2 - 1/\theta_{\text{mPAS}}} \quad (247)$$

Für  $\text{Pr}^+=1$  und  $\text{Re}=8,05 \cdot 10^3$  erhält man  $\text{Nu}_{\text{PAS}}=28,8$  und  $\theta_{\text{mPAS}}=0,829$  (s. Tab.15). Eingesetzt in Glg.(247) ergibt sich für  $\text{Nu}_{\text{PS}}$  der richtige Wert 36,3. Bei der laminaren Strömung gilt analog (vgl. Abschnitt 3.2.1 und 3.3.1):  $\text{Nu}_{\text{PS}}=(70/13)/(2-35/26)=140/17$ . Wird das asymmetrische Temperaturprofil (98) auf beide Platten angewandt, also  $\theta_1=1-2y^+{}^3+y^+{}^4$  und  $\theta_2=1-2(1-y^+)^3+(1-y^+)^4$ , so folgt durch Addition dieser beiden Gleichungen mit Hilfe der Substitution  $y_{\text{PS}}^+=2(y_{\text{PAS}}^+-0,5)$  und nach Division durch den Wert  $\theta_1+\theta_2$ , der sich für  $y_{\text{PS}}^+=0$  ergibt, die Gleichung (89).

Die Ergebnisse des experimentellen Teils der Untersuchungen von W.M.Kays et al. sind in der nachfolgenden Tabelle für  $Pr=0,7$ ,  $Re=40000$  den in der vorliegenden Arbeit berechneten Werten gegenübergestellt.

	$r_1/r_2$	0	0,192	0,255	0,375	0,500
W.M.Kays et al./67/	$Nu_{11}$	-	97,0	93,0	84,5	81,0
	$Nu_{22}$	87,0	81,5	79,5	76,0	76,0
Vorliegende Arbeit	$Nu_{11}$	-	99,0	91,4	83,1	79,4
	$Nu_{22}$	85,1	75,1	74,0	72,6	72,1

Die Übereinstimmung erweist sich, insbesondere für den wichtigen Fall  $q_{w1}=\text{konst.}$ , als recht gut. Der Einfluß des Halbmesserverhältnisses  $r_1/r_2$  auf  $Nu_{11}$  ist in /67/ im Vergleich zu den älteren experimentellen Arbeiten wesentlich geringer. Die Ergebnisse der theoretischen Untersuchungen von W.M.Kays et al. decken sich ausgezeichnet mit deren Messungen, die Fälle mit beidseitigem Wärmeaustausch inbegriffen.

Abschließend sei hier noch der Zusammenhang zwischen der Nußelt-Zahl und der Temperaturdifferenz  $(\vartheta_w - \vartheta_o)/\vartheta^+$  aufgezeigt. Durch Erweiterung und Umgruppierung der Definitionsgleichung für die Nußelt-Zahl erhält man:

$$Nu_i = \frac{\alpha d_h}{\lambda} = \frac{q_w d_h}{\lambda(\vartheta_w - \vartheta_m)} = \frac{q_w}{\rho c_p u_i^+} \frac{v_{pc}}{\lambda} \frac{u_{m12} d_h}{v} \frac{u_i^+}{u_{mi}} \frac{u_{mi}}{u_{m12}} \frac{1}{\vartheta_w - \vartheta_o} \frac{\vartheta_w - \vartheta_o}{\vartheta_w - \vartheta_m} \quad (248a)$$

Unter Beachtung der Gleichungen (20), (174a), (174c) und (175) geht diese Beziehung über in

$$Nu_i = \frac{Re_{12} Pr \sqrt{\zeta_{12}/8}}{\theta_m (\vartheta_w - \vartheta_o)/\vartheta^+} \sqrt{\frac{(r_c/r_2)^2 - (r_i/r_2)^2}{(1-r_1/r_2)(r_i/r_2)}} \quad (248b)$$

Im Grenzfall des Rohres ( $r_1/r_2=0$ ) und der parallelen Platten ( $r_1/r_2=1$ ) entfällt die zweite Wurzel auf der rechten Seite dieser Gleichung und man erhält Glg.(210). Der Vergleich der beiden Gleichungen (207) und (210) läßt folgenden Zusammenhang für die Funktion  $f(Pr)$  erkennen:

$$f(Pr) = \theta_m (\vartheta_w - \vartheta_o)/\vartheta^+ - 1/\sqrt{\zeta/8}$$

#### 4.2.5. DAS ROHRBÜNDEL

Wie bereits aus der Zusammenstellung in Tabelle 1 hervorgeht, wurde die numerische Berechnung für den Fall des Rohrbündels für dieselbe feingestaffelte Auswahl der Parameter  $Pr^+$ ,  $Re$  und  $F_0$  bzw.  $F_m$  durchgeführt, wie für das Rohr. Dies geschah im Hinblick darauf, daß ein von M.Rieger /80/ und vom Verfasser entworfener Versuchskreislauf zur Messung des Wärmeaustauschs längs Rohrbündeln in Vorbereitung war. Diese Anlage war so ausgelegt, daß die Wärmeübertragung sowohl an Wasser und Wasser-Glykol-Gemischen als auch an einer Natrium-Kalium-Legierung untersucht werden konnte. An drei Meßkammerpaaren mit den Teilungsverhältnissen  $p/d=1,25 - 1,60 - 1,95$  wurden je in einer als Heizer ausgeführten Meßkammer der Fall  $F_0=1$  ( $q_w=\text{konst.}$ ) und - beschränkt auf die Versuchsreihe mit NaK - in einer als Wärmeaustauscher ausgeführten Meßkammer die Fälle  $F_0 \neq 1$  (einschließlich des Sonderfalls  $F_0=1$ ) vorgesehen. Das Versuchsprogramm ist inzwischen abgeschlossen. Die an der Natrium-Kalium-Legierung vorgenommenen Messungen sind noch nicht ausgewertet, die Ergebnisse darüber werden zu einem späteren Zeitpunkt veröffentlicht werden. Der Bericht über die von M.Rieger an Wasser und an einem Wasser-Glykol-Gemisch durchgeführten Messungen ( $p/d=1,25 - 1,60$ ) erscheint gleichzeitig mit der vorliegenden Arbeit, Ergebnisse sind auch hier bereits enthalten.

##### 4.2.5.1. STRÖMUNGSMCHANISCHE GRÖSSEN

###### a) Die Geschwindigkeitsverteilung

Die von der Reynolds-Zahl und vom Teilungsverhältnis abhängigen Koeffizienten  $a_r$  und  $c_r$  der für  $\eta > 30$  näherungsweise gültigen Beziehung  $u/u^+ = a \ln \eta + c$  sowie die über  $Re_T = 10^4 \dots 3 \cdot 10^6$  gemittelten Koeffizienten  $a$  und  $c$ , die nur noch von  $p/d$  abhängen, sind in Tab.16 aufgeführt.

###### b) Die mittlere Geschwindigkeit

In Abhängigkeit vom Teilungsverhältnis  $p/d$  und von der äquivalenten Rohr-Reynolds-Zahl  $Re_T$  ist die mittlere Geschwindigkeit  $\varphi_{mB}$  in Tab.9 angegeben. In diese Tabelle sind auch die Bündel-Reynolds-Zahl  $Re_B$  und das Radienverhältnis  $r_1/r_2$  des zugeordneten Ringspalts mit aufgenommen.

###### c) Der Widerstandsbeiwert

Das Verhältnis aus dem Widerstandsbeiwert  $\zeta_B(Re_B)$  und dem aus dem Widerstandsgesetz des glatten Rohres berechneten Wert  $\zeta_T^+ = \zeta_T(Re_B)$  ist in Abb.93 dargestellt:  $\zeta_B/\zeta_T^+ = f_1(Re, p/d = \text{konst.})$  (Abszissenskala unten) und  $\zeta_B/\zeta_T^+ = f_2(p/d, Re = \text{konst.})$  (Abszissenskala oben). Wie durch kleine Kreise bzw. Quadrate angedeutet ist, läßt sich der Quotient  $\zeta_B/\zeta_T^+$  näherungsweise mit Hilfe der beiden folgenden Gleichungen wiedergeben:

\*Die Versuche wurden in der Abteilung für Flüssigmetalle des Kernforschungszentrums Fontenay-aux-Roses der Französischen Atomenergiekommission (CEA) durchgeführt. Sie sind Teil des Assoziationsvertrags EURATOM-CEA über Schnelle Neutronen.

$$\zeta_B/\zeta_T^+ = 0,81 + 0,24 \frac{p}{d} \quad (\text{für } 1,25 \leq \frac{p}{d} \leq 2,0 - \text{Re} \geq 3 \cdot 10^4) \quad (249a)$$

$$\zeta_B/\zeta_T^+ = 0,95 + 0,17 \frac{p}{d} \quad (\text{für } \frac{p}{d} \geq 2 - \text{Re} = 3 \cdot 10^4 \dots 3 \cdot 10^5) \quad (249b)$$

Diese Ergebnisse sind in guter Übereinstimmung mit mehreren Versuchsergebnissen. Die von W.Eifler et al./81/ in einer von Wasser durchströmten Rohrbündel-Anordnung bei den Teilungsverhältnissen  $p/d=1,0 \dots 1,20$  gemessenen Widerstandsbeiwerte schließen sich an die in der vorliegenden Arbeit für  $p/d \geq 1,25$  berechneten Werte an. Diese Meßergebnisse sind in Abb.93 durch die gestrichelte Linie angedeutet. Dabei wurden die gemessenen Widerstandsbeiwerte  $\zeta_B$  auf diejenigen des glatten Rohres ( $\zeta_T^+$ ) bezogen, während in /81/ bei der Berechnung von  $\zeta_T$  eine relative Rauigkeit  $\epsilon=k/d_h$  berücksichtigt worden war (mit  $\epsilon=10^{-4}$  für  $p/d=1,20$  ergibt sich z.B.  $\zeta_B/\zeta_T=1,04$  gegenüber  $\zeta_B/\zeta_T^+=1,09$ ). Diese gute Übereinstimmung mit dem Experiment läßt darauf schließen, daß die Näherung, die darin besteht, die Strömung in einem Rohrbündel derjenigen in der inneren Hälfte eines Ringspalts gleichzusetzen, bis herunter zu Teilungsverhältnissen von  $p/d=1,20$  zulässig ist.

Bei sehr kleinen Teilungen  $p/d$  nimmt das Verhältnis  $\zeta_B/\zeta_T$  Werte kleiner als 1 an. Nach den Messungen von W.Eifler et al. ist dies der Fall ab Werten  $p/d=1,09$  (in der Darstellung  $\zeta_B/\zeta_T^+$  ab  $p/d=1,05$ ). Aus einer analytischen Untersuchung von R.G.Deissler /82/ folgt  $\zeta_B/\zeta_T=1$  für  $p/d=1,13$ . Dieses Ergebnis ist in Übereinstimmung mit den Messungen von B.W.Le Tourneau et al./83/, die für  $p/d=1,12$  über den gesamten Meßbereich  $\text{Re}=8000 \dots 90000$   $\zeta_B \approx \zeta_T$  ergaben. Demgegenüber erhielten V.I.Subbotin et al./84/ in einem von Wasser durchströmten Rohrbündel mit  $p/d=1,13$  Werte  $\zeta_B/\zeta_T$  zwischen 1,10 und 1,15.

Ergebnisse aus Messungen von E.V.Firsova /85/ an Wasser in einem Rohrbündel mit  $p/d=1,20$  decken sich im Bereich kleiner Reynolds-Zahlen in etwa mit den hier berechneten Werten, für  $\text{Re} > 10^4$  dagegen sind sie höher (der Einfluß der Reynolds-Zahl auf den Verlauf  $\zeta_B(\text{Re})$  ist in /86/ wesentlich geringer als in den anderen hier zitierten Arbeiten). Widerstandskoeffizienten  $\zeta_B$ , die gegenüber dem Rohrgesetz um 65 Prozent höher lagen, ergaben sich aus Messungen von P.Miller et al./86/ in einem von Wasser durchströmten Rohrbündel mit dem Teilungsverhältnis  $p/d=1,46$  und Reynolds-Zahlen im Bereich zwischen 40000 und 700000.

Aus den beiden Arbeiten von W.Eifler et al. und von R.G.Deissler folgt übereinstimmend, daß ab  $p/d < 1,05$  mit Annäherung an  $p/d=1$  der Einfluß des Teilungsverhältnisses stark zunimmt: Im Fall sich berührender Rohre ( $p/d=1$ ) beträgt  $\zeta_B/\zeta_T \approx 0,6$ , ein Wert, der auch durch die Versuche von V.I.Subbotin et al. bestätigt wurde.

Nach einer analytischen Untersuchung von V.S.Osmachkin /87/ lassen sich die Widerstandsbeiwerte  $\zeta_B$  des Rohrbündels innerhalb einer Genauigkeit von  $\pm 5$  Prozent durch das Widerstandsgesetz des Rohres berechnen, wenn anstelle des hydraulischen Durchmessers  $d_h$  ein sog. wirksamer Durchmesser  $d_e$  eingeführt wird:  $d_e$  ist dabei

diejenige Länge, die bei der laminaren Strömung in Rohrbündeln das Rohrgesetz  $\zeta_F=64/Re$  exakt befriedigt („exakt“ im Rahmen der Näherung  $r_c \approx r(\tau=0)$ ), d.h.  $\zeta_B=64/Re_e$  mit  $Re_e=u_m d_e/\nu$ . Der wirksame Durchmesser  $d_e$  entspricht also dem Kehrwert der rechten Seite der Gleichung (198), multipliziert mit  $64/Re$ :

$$d_e = \frac{(r_c/r_1)^2 [2 \ln(r_c/r_1)^2 - 3] - (r_1/r_c)^2 + 4}{[1 - (r_1/r_c)^2][1 - (r_c/r_1)^2]^2} d_h \quad (250)$$

#### 4.2.5.2. DER WÄRMEAUSTAUSCH

##### a) Die Temperaturverteilung

Für das Teilungsverhältnis  $p/d=1,60$  sind in Abb.94 Temperaturprofile für die Prandtl-Zahlen  $Pr^+=0,01 - 1,0 - 10 - 100$  aufgetragen. Der Einfluß des Parameters der Wärmeflußverteilung auf die Temperaturverteilung geht für  $p/d=1,60$ ,  $Pr^+=0,01 - 1,0$  und  $Re=7,02 \cdot 10^4$  aus Abb.95 hervor. Die Koeffizienten  $a$  und  $c(Pr^+)$  des logarithmischen Temperaturgesetzes sind in Tab.17 für die 4 Teilungsverhältnisse  $p/d=1,25 - 1,60 - 1,95 - 3,50$  aufgeführt.

##### b) Die Mischungstemperatur

Für den Fall veränderlicher Wärmestromdichte  $q_w$  längs der Wand ( $F_0 \neq 1$ ) sind Werte der Mischungstemperatur  $\theta_m$  in Tab.13, und für den Fall konstanter Wärmestromdichte in Tab.15 in Abhängigkeit vom Teilungsverhältnis, von der Prandtl- und von der Reynolds-Zahl angegeben.

##### c) Die Nußelt-Zahl

Durch die Näherung  $r_c \approx r(\tau=0)$ , die den Wärmeaustausch im Rohrbündel auf jenen in der inneren Hälfte eines Ringspalts bei quasi-symmetrischem Wärmeaustausch ( $r_c=r_0$ ) zurückführt, entspricht dem (rein rechnerischen) Teilungsverhältnis  $p/d=0,952$  das Radienverhältnis  $r_c/r_1=r_2/r_1=1$ , also der Fall der parallelen Platten bei symmetrischem Wärmeaustausch (PS). Aus diesem Grund ist es vorteilhaft, die Nußelt-Zahl durch das Verhältnis  $Nu/Nu_{PS}$  anzugeben.

Für den Fall  $q_w=\text{konst.}$  sind in den Abbildungen 96 bis 99 Werte dieses Quotienten über den verschiedenen Einflußgrößen aufgetragen:  $Nu/Nu_{PS}=f_1(Re, Pr^+=\text{konst.}, p/d=\text{konst.})$  in Abb.96 und 97,  $Nu/Nu_{PS}=f_2(Pr^+, Re=\text{konst.}, p/d=\text{konst.})$  in Abb.98 und  $Nu/Nu_{PS}=f_3(p/d, Pr^+=\text{konst.}, Re=\text{konst.})$  in Abb.99. Mit steigender Prandtl- und steigender Reynolds-Zahl nimmt  $Nu/Nu_{PS}$  ab, mit steigendem Teilungsverhältnis dagegen nimmt  $Nu/Nu_{PS}$  näherungsweise linear mit  $p/d$  zu. Die im Bereich  $p/d < 1,2$  in Abb.99 eingezeichneten Kurven gelten nur für die innere Hälfte eines Ringspalts und nicht mehr für das zugeordnete Rohrbündel, da die Näherung  $r_c \approx r(\tau=0)$  dort unzulässig wird.

Der Einfluß des Parameters der Wärmeflußverteilung  $F_0$  auf die Nußelt-Zahl  $Nu$  ist in Tab. 13 für die vier obengenannten Teilungsverhältnisse in Abhängigkeit von der Prandtl- und von der Reynolds-Zahl in der Form  $Nu/Nu_0$  angegeben. Der gleiche Zusammenhang ist für  $p/d=1,60$ ,  $Pr^+=0,01^q - 3,0$  und für verschiedene Reynolds-Zahlen in Abb.100 dargestellt.

Zur Berechnung der Nußelt-Zahl bei kleinen Prandtl-Zahlen mit Hilfe der Gleichung  $Nu = a + b(RePr^+)^c$  sind in Abb.91 die nach dem Verfahren der kleinsten Fehlerquadrate für  $Pr^+ = 0,01$  und  $Pr^+ = 0,03$  berechneten Koeffizienten  $a$ ,  $b$  und  $c$  in Abhängigkeit von  $p/d$  aufgetragen (die Kurvenabschnitte im Bereich  $p/d < 1,2$  gelten nur für die innere Hälfte des zugeordneten Ringspalts bei quasisymmetrischem Wärmeaustausch). Die mittleren quadratischen Abweichungen, abgestuft für die 4 Teilungsverhältnisse  $p/d = 1,25 - 1,60 - 1,95 - 3,50$ , betragen in Prozent:  $e = 2,0 - 1,8 - 1,8 - 1,8$ .

Für mittlere Werte  $p/d$  lassen sich folgende Näherungsgleichungen für die Koeffizienten  $a$ ,  $b$  und  $c$  angeben:

$$\left. \begin{aligned} Nu &= a + b(RePr^+)^c \\ a &= 2,8 + 6,8 \frac{p}{d} \\ b &= 0,0072 + 0,0245 \frac{p}{d} \\ c &= 0,80 - 0,024 \frac{p}{d} \end{aligned} \right\} (251)$$

In Abb.101 sind die in der vorliegenden Arbeit für die vier Teilungen berechneten Nußelt-Zahlen ( $q_w = \text{konst.}, Pr^+ = Pr = 0,01$ ) mit den analytisch gewonnenen Ergebnissen von O.E.Dwyer et al./88/ und den experimentell gewonnenen Ergebnissen von V.I.Subbotin et al./27/ verglichen.

Die von O.E.Dwyer angegebene Gleichung (gültig im Bereich  $1,375 \leq p/d \leq 2,200$ )

$$Nu = 0,93 + 10,81 \left(\frac{p}{d}\right) - 2,01 \left(\frac{p}{d}\right)^2 + 0,0252 \left(\frac{p}{d}\right)^{0,273} (RePr^+)^{0,8}$$

lieferte im Vergleich zu Messungen ( $Nu_{\text{exp}}$ ), die ebenfalls von O.E.Dwyer /89/ in zwei von Quecksilber durchströmten Bündeln aus 13 bzw. 19 Rohren durchgeführt wurden ( $q_w = \text{konst.}$ ), die in der folgenden Tabelle zusammengestellten Abweichungen:

$RePr^+$	800	1000	1500	2000	2500	3000	4000	5000
$Nu_{\text{exp}}/Nu$	0,76	0,80	0,84	0,86	0,88	0,89	0,90	0,90

Die aus den Messungen von V.I.Subbotin et al. abgeleitete Beziehung (gültig für  $1,1 \leq p/d \leq 1,5 - 80 \leq Pe \leq 4000$ )

$$Nu = 0,58 (d_h/d)^{0,55} Pe^{0,45} \quad (252)$$

weist einen gegenüber der Theorie wesentlich stärkeren Einfluß des Teilungsverhältnisses auf die Nußelt-Zahl auf.

Ab mittleren Prandtl-Zahlen eignet sich die Beziehung (207) wieder in sehr vorteilhafter Weise zur Wiedergabe der berechneten Nußelt-Zahlen (im Fall des Rohrbündels ist die bei der Herleitung von (207) getroffene Voraussetzung  $r_c = r_0$  erfüllt). Mit den in



Abb.93 dargestellten Quotienten  $\zeta_B/\zeta_T^+$  (bzw. angenähert durch Glg.(249a,b)) läßt sich Nu aus der Gleichung

$$\text{Nu} = \frac{\text{RePr}^+(\zeta_B/8)}{1 + 10(\text{Pr}^+ - 0,94)(\text{Pr}^+)^{-0,22}\sqrt{\zeta_B/8}} \quad (253)$$

bestimmen. Die mittleren quadratischen Abweichungen  $e$  für die Gesamtheit der Wertepaare  $\text{Pr}^+=1 - 3 - 10 - 14 - 100 - 1000$ ,  $\text{Re}_T \geq 4 \cdot 10^3$  beträgt in Prozent (die Werte in Klammern geben die Teilungsverhältnisse an):  $e=1,7$  (1,25) -  $2,1$  (1,60) -  $2,7$  (1,95) -  $5,6$  (3,50). Diese geringen Abweichungen bringen die Leistungsfähigkeit der Beziehung (207) überzeugend zum Ausdruck, wenn man bedenkt, daß in dem hier betrachteten Fall der Widerstandsbeiwert nicht nur den Einfluß der Reynolds-Zahl, sondern auch den Einfluß des Teilungsverhältnisses umfaßt.

Von V.S.Osmachkin /87/ wurde das bereits in Zusammenhang mit dem Widerstandsbeiwert in Absatz c) des Abschnitts 4.2.5.1 beschriebene Verfahren auch auf die Berechnung der NuBelt-Zahl angewandt. Die analytisch berechnete Funktion  $\text{Nu}=f(r_c/r_1, \text{Pr}^+, \text{Re})$  ließ sich näherungsweise nach Ersetzen des hydraulischen Durchmessers  $d_h$  durch den wirksamen Durchmesser  $d_e$  (Glg.250) auf die von B.S.Petukhov /46/ hergeleitete Beziehung (217) reduzieren.

In Abb.102 sind die für verschiedene Wertepaare  $p/d$ ,  $\text{Pr} \geq 1$  berechneten NuBelt-Zahlen über Re aufgetragen und mit experimentell ermittelten Daten verglichen. Messungen, die von P.Miller /86/ in einem von Wasser durchströmten Bündel aus 37 Rohren mit  $p/d=1,46$  durchgeführt wurden, ergaben, bei Heizung eines einzigen Rohres (längs einer verhältnismäßig kurzen Strecke), eine im Vergleich zum Rohr um 40 Prozent höhere NuBelt-Zahl ( $\text{Re}=70000 \dots 700000$ ). Zusammen mit Meßergebnissen von D.A.Dingee et al./90/ ( $p/d=1,12 - 1,20 - 1,27$ ) stellte J.Weisman /91/ daraus folgende Beziehung auf:

$$\text{Nu} = (0,026 \frac{p}{d} - 0,006) \text{Re}^{0,8} \text{Pr}^{1/3} \quad (254)$$

Für die beiden Teilungsverhältnisse 1,25 und 1,60 und für  $\text{Pr}=3$  ist die dieser Gleichung entsprechende Gerade in Abb.102 eingezeichnet. Der Einfluß von  $p/d$  ist im Vergleich zur Theorie wesentlich größer.

Eine recht gute Übereinstimmung ergibt sich dagegen zwischen den von M.Rieger /80/ gemessenen und den in der vorliegenden Arbeit berechneten NuBelt-Zahlen, und zwar sowohl in Bezug auf den Einfluß des Teilungsverhältnisses  $p/d$ , als auch auf den Einfluß der Prandtl- und der Reynolds-Zahl. Die theoretisch gewonnenen Werte liegen zwischen 6 Prozent für  $\text{Re}=10000$  und 14 Prozent für  $\text{Re}=150000$  unter den gemessenen Werten. Letztere lassen sich durch die beiden folgenden Gleichungen wiedergeben:

$$\text{Nu} = (0,0122 + 0,00245 \frac{p}{d}) \text{Re}^{0,86} \text{Pr}^{0,4} \quad (255)$$

und

$$\text{Nu} = \frac{\text{Re Pr} (\zeta_B/8)}{1 + 8,8(\text{Pr} - 1,3)\text{Pr}^{-0,22}\sqrt{\zeta_B/8}} \quad (256)$$

In Glg.(256) ist dabei  $\zeta_B$  aus den beiden Gleichungen (249) und (69b) zu berechnen.

In dem Potenzgesetz (255) stimmen die Exponenten  $c=0,86$  für  $Re$  und  $d=0,4$  für  $Pr$  genau mit den aus Abb.64 für den Fall der parallelen Platten, symmetrischer Wärmeaustausch (PS), für  $Pr^+=10$  zu entnehmenden Werten überein (der Bereich der Prandtl-Zahlen in /80/ betrug  $Pr=2,3\dots 18$ ). Der Einfluß des Teilungsverhältnisses  $p/d$  auf die Nußelt-Zahl in der Form  $Nu/Nu_{ps}=a+b(p/d)$ , wie er in Abb.99 zum Ausdruck kommt, wird durch die Meßergebnisse bestätigt (Glg.254 und 255).

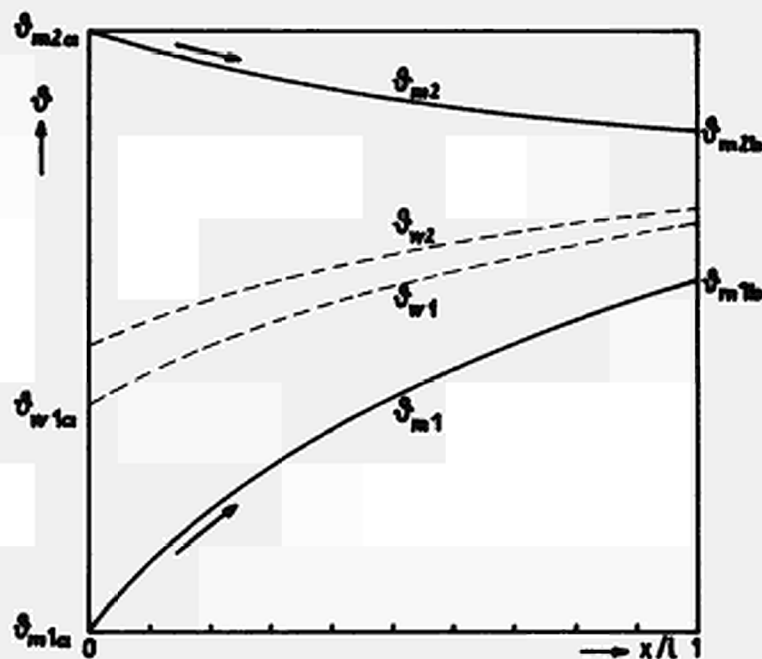
Der Aufbau der in Glg.(207) enthaltenen Funktion  $f(Pr^+)$  in der Form  $f(Pr^+)=B(Pr^+-A)(Pr^+)^n$  hat sich auch bei der Auswertung der experimentell gewonnenen Daten bewährt. Wie der Vergleich der beiden Gleichungen (253) und (256) zeigt, unterscheiden sich dabei lediglich die Koeffizienten A und B, während der Wert des Exponenten n derselbe ist.

---

## ANHANG

A 2.2.5.1. DER PARAMETER  $F_m$  BEI WÄRMEAUSTAUSCHERN

Eine anschauliche Herleitung der Gleichung (49) erhält man mit Hilfe folgender Abbildung:



Aus 
$$F_m = d\vartheta_w / d\vartheta_m = \text{konst.} = \frac{\vartheta_w - \vartheta_{wa}}{\vartheta_m - \vartheta_{ma}}$$

folgt: 
$$\vartheta_{w1} = \vartheta_{m1} + (k_1/\alpha_1) (\vartheta_{m2} - \vartheta_{m1})$$

$$\vartheta_{w1a} = \vartheta_{m1a} + (k_1/\alpha_1) (\vartheta_{m2a} - \vartheta_{m1a})$$

$$\vartheta_{w1} - \vartheta_{w1a} = \vartheta_{m1} - \vartheta_{m1a} - (k_1/\alpha_1) [(\vartheta_{m1} - \vartheta_{m1a}) + (\vartheta_{m2a} - \vartheta_{m2})]$$

$$F_{m1} = 1 - \frac{k_1}{\alpha_1} \left( 1 + \frac{\vartheta_{m2a} - \vartheta_{m2}}{\vartheta_{m1} - \vartheta_{m1a}} \right)$$

$$= 1 - \frac{k_1}{\alpha_1} \left( 1 + \frac{\dot{G}_1 c_{p1}}{\dot{G}_2 c_{p2}} \right)$$

**A 2.2.5.2. HERLEITUNG DES AXIALEN TEMPERATURGRADIENTEN  $d\theta_{x0}/d(x/d_h)$**

Aus den Gleichungen (25), (26) und (28) erhält man mit  $\theta_0=1$

$$\theta_{x0} = \frac{q_w}{q_{wa}} + \theta_{xw} \quad (\text{A1})$$

$$\frac{d\theta_{x0}}{d(x/d_h)} = \frac{d(q_w/q_{wa})}{d(x/d_h)} + \frac{d\theta_{xw}}{d(x/d_h)} \quad (\text{A2})$$

Das erste Glied auf der rechten Seite der Glg. (A2) lautet gem. Glg. (38):

$$\frac{d(q_w/q_{wa})}{d(x/d_h)} = m \frac{q_w}{q_{wa}}$$

das zweite Glied ist identisch mit:

$$\frac{d\theta_{xw}}{d(x/d_h)} = \frac{d\theta_{xw}}{d\theta_{x0}} \frac{d\theta_{x0}}{d(x/d_h)} = F_0 \frac{d\theta_{x0}}{d(x/d_h)}$$

Daraus ergibt sich:

$$\frac{d\theta_{x0}}{d(x/d_h)} = \frac{m(q_w/q_{wa})}{1-F_0} = \frac{m \cdot e^{m(x/d_h)}}{1-F_0} \quad (\text{A3a})$$

Mit Hilfe der Gleichungen (26b), (33) und (40) kann Glg. (A3a) noch in folgende Form gebracht werden:

$$\frac{d\theta_{x0}}{d(x/d_h)} = \frac{4St \theta_m (\theta_{xw} - \theta_{x0})}{\theta_m + (1 - \theta_m) F_0 U^+} \quad (\text{A3b})$$

**A 3.1.2.2. DIE BERECHNUNG DER NUSSELT-ZAHL  $Nu_0$  FÜR  $q_w$ -konst.,  
 $Pr \rightarrow 0$  UNTER ANWENDUNG DES LOGARITHMISCHEN GESCHWIN-  
DIGKEITSGESETZES**

Die Gleichung (57) liefert mit dem Geschwindigkeitsverlauf (73b):

$$\frac{q}{q_w} = \frac{\int_0^{y^+} (2,5 \ln[(1-y^+)\eta_c] + 5,5) y^+ dy^+}{y^+ \int_0^1 (2,5 \ln[(1-y^+)\eta_c] + 5,5) y^+ dy^+} \quad (A4)$$

Durch die Substitution

$$1 - y^+ = z$$

geht Glg. (A4) über in:

$$\frac{q}{q_w} = \frac{1}{1-z} \left[ 1 - \frac{\int_0^z (2,5 \ln(\eta_c z) + 5,5)(1-z) dz}{\int_0^1 (2,5 \ln(\eta_c z) + 5,5)(1-z) dz} \right] \quad (A5)$$

Die Lösungen der Integrale lauten:

$$\begin{aligned} \int_0^z (2,5 \ln(\eta_c z) + 5,5)(1-z) dz &= 2,5 z [\ln(\eta_c z) - 1] - 1,25 z^2 [\ln(\eta_c z) - 0,5] \\ &\quad + 5,5 z (1 - 0,5 z) \Big|_0^z \\ &= 2,5 z [(1 - 0,5z) \ln(\eta_c z) - 0,85z + 1,2] \end{aligned} \quad (A6)$$

und

$$\int_0^1 (2,5 \ln(\eta_c z) + 5,5)(1-z) dz = 2,5(0,5 \ln \eta_c + 0,35) \quad (A7)$$

Hierbei ist berücksichtigt, daß  $\lim_{z \rightarrow 0} (z \cdot \ln z) = 0$  und  $\lim_{z \rightarrow 0} (z^2 \ln z) = 0$  gilt.

Das Integral (A7) ist identisch mit  $0,5 \cdot (2,5 \ln \eta_c + 5,5) \varphi_m$ , wie aus den Gleichungen (22a) und (73b) hervorgeht, und man erhält:

$$\varphi_m = \frac{2,5 \ln \eta_c + 1,75}{2,5 \ln \eta_c + 5,5} \quad (A8)$$

Wird die Größe  $z$  wieder durch  $1-y^+$  ersetzt, so folgt aus den Gleichungen (A5), (A6) und (A7):

$$\frac{q}{q_w} = \frac{1}{y^+} \left[ 1 - \frac{(1-y^+) [0,5(1+y^+) \ln(\eta_c(1-y^+)) + 0,85y^+ + 0,35]}{0,5 \ln \eta_c + 0,35} \right]$$

$$= \frac{(y^+ - 1/y^+) \ln(1-y^+) + y^+ (\ln \eta_c + 1,7) - 1}{\ln \eta_c + 0,70} \quad (\text{A9})$$

Für die Nußelt-Zahl  $Nu_0$  gilt nach Glg. (76):

$$Nu_0 = \frac{2}{\int_0^1 (q/q_w) dy^+} \quad (\text{A10})$$

Mit Glg. (A9) ergibt sich:

$$(\ln \eta_c + 0,70) \int_0^1 (q/q_w) dy^+ = \int_0^1 y^+ \ln(1-y^+) dy^+ - \int_0^1 \frac{\ln(1-y^+)}{y^+} dy^+ + 0,5 \ln \eta_c - 0,15 \quad (\text{A11})$$

Das erste Integral auf der rechten Seite dieser Gleichung ist bereits in Glg. (A4) enthalten:

$$\int_0^1 y^+ \ln(1-y^+) dy^+ = (1-y^+) [0,5(1+y^+) \ln(1-y^+) - 0,25y^+ - 0,75] \Big|_0^1 = -0,75 \quad (\text{A12})$$

Die Lösung des zweiten Integrals lautet:

$$\int_0^1 \frac{\ln(1-y^+)}{y^+} dy^+ = -y^+ - \frac{y^{+2}}{2^2} - \frac{y^{+3}}{3^2} - \frac{y^{+4}}{4^2} \dots \Big|_0^1$$

$$= -1 - \frac{1}{4} - \frac{1}{9} - \frac{1}{16} - \dots = -\frac{\pi^2}{6}$$

Durch Einsetzen in Glg. (A11) erhält man:

$$\int_0^1 (q/q_w) dy^+ = \frac{-0,90 + \pi^2/6 + 0,5 \ln \eta_c}{\ln \eta_c + 0,70}$$

und für die Nußelt-Zahl folgt:

$$Nu_o = \frac{\ln \eta_c + 0,70}{0,25 \ln \eta_c + \pi^2/12 - 0,45} \quad (A13)$$

### A 3.1.2.3. NÄHERUNGSLÖSUNG FÜR UNVERÄNDERLICHEN WÄRMEFLUSS UND KLEINE PRANDTL-ZAHLEN

Das in Gleichung (85) enthaltene Integral

$$\int \frac{[1+c(1-y^+)] y^+}{1+Pr^+ \eta_c (\pi/3) (0,5+y^{+2})(1-y^{+2})} dy^+ \quad (A14)$$

läßt sich durch die Identität

$$1+Pr^+ \eta_c (\pi/3) (0,5+y^{+2})(1-y^{+2}) = -m_1 [(0,25-y^{+2})^2 - m_2^2]$$

wobei

$$m_1 = Pr^+ \eta_c \pi/3$$

und

$$m_2^2 = 9/16 + 1/m_1$$

bedeuten, umformen in

$$\begin{aligned} & -\frac{1}{m_1} \int \frac{[1+c(1-y^+)] y^+}{(0,25-y^{+2})^2 - m_2^2} dy^+ \\ & = -\frac{1+c}{m_1} \int \frac{y^+}{(0,25-y^{+2})^2 - m_2^2} dy^+ + \frac{c}{m_1} \int \frac{y^{+2}}{(0,25-y^{+2})^2 - m_2^2} dy^+ \end{aligned} \quad (A15)$$

Die beiden Integrale auf der rechten Seite dieser Gleichung haben zur Lösung:

$$\int \frac{y^+}{(0,25-y^{+2})^2 - m_2^2} dy^+ = \frac{1}{4m_2} \ln \left| \frac{y^{+2} - 0,25 - m_2}{y^{+2} - 0,25 + m_2} \right|$$

bzw.

$$\int_0^1 \frac{y^+}{(0,25-y^{+2})^2 - m_2^2} dy^+ = \frac{1}{4m_2} \ln \left| \frac{(0,75-m_2)(0,25-m_2)}{(0,75+m_2)(0,25+m_2)} \right|$$

und

$$\begin{aligned} \int \frac{y^{+2}}{(0,25-y^{+2})^2 - m_2^2} dy^+ &= (0,5 - \frac{1}{8m_2}) \int \frac{dy^+}{(m_2 - 0,25) + y^{+2}} - (0,5 + \frac{1}{8m_2}) \int \frac{dy^+}{(m_2 + 0,25) - y^{+2}} \\ &= \frac{0,5 - \frac{1}{8m_2}}{\sqrt{m_2 - 0,25}} \operatorname{arctg} \frac{y^+}{\sqrt{m_2 - 0,25}} - \frac{0,5 + \frac{1}{8m_2}}{2\sqrt{m_2 + 0,25}} \ln \left| \frac{\sqrt{m_2 + 0,25} + y^+}{\sqrt{m_2 + 0,25} - y^+} \right| \end{aligned}$$

bzw.

$$\int_0^1 \dots dy^+ = \frac{1}{4m_2} \left( 2\sqrt{m_2 - 0,25} \operatorname{arctg} \frac{1}{\sqrt{m_2 - 0,25}} - \sqrt{m_2 + 0,25} \ln \left| \frac{\sqrt{m_2 + 0,25} + 1}{\sqrt{m_2 + 0,25} - 1} \right| \right)$$

Durch Einsetzen in die Gleichungen (A14), (A15) und (85) ergibt sich für  $Nu_0$ :

$$Nu_0 = 8m_1 m_2 / N$$

wobei

$$\begin{aligned} i = (1+c) \ln \left| \frac{(0,75+m_2)(0,25+m_2)}{(0,75-m_2)(0,25-m_2)} \right| + 2c \sqrt{m_2 - 0,25} \operatorname{arctg} \frac{1}{\sqrt{m_2 - 0,25}} + c \sqrt{m_2 + 0,25} \\ \cdot \ln \left| \frac{\sqrt{m_2 + 0,25} - 1}{\sqrt{m_2 + 0,25} + 1} \right| \end{aligned} \quad (A16)$$

bedeutet. Durch Einführen von  $m_3 = m_2 + 0,25$  und  $m_4 = m_2 - 0,25$  läßt sich  $i$  zu der in Gleichung (87) angegebenen Form vereinfachen.



### A 3.5.2. DIE GESCHWINDIGKEITSVERTEILUNG IM RINGRAUM

Die Gleichung (187)

$$\int_{u_i/u_i^+}^{u_i/u_i^+} d \frac{u_i}{u_i^+} = - \frac{3\eta_{ci}/\eta_{c2}}{\alpha(1+r_c/r_i)} \int_0^{z_i^+} \frac{z_i^+ + z_i^+ / [1+(r_i/r_c)z_i^+]}{(0,5+z_i^{+2})(1-z_i^{+2})} dz_i^+$$

läßt sich mit  $b=1-r_i/r_c$  überführen in

$$\begin{aligned} & - \frac{\alpha(1+r_c/r_i)}{3\eta_{ci}} \frac{(u-u_c)}{\eta_{c2}} \left( \frac{u}{u^+} \right)_i \\ & = \frac{1}{2} \int_0^{z_i^{+2}} \frac{dz_i^{+2}}{(0,5+z_i^{+2})(1-z_i^{+2})} + \int_0^{z_i^+} \frac{z_i^+}{(1-bz_i^+)(0,5+z_i^{+2})(1-z_i^{+2})} dz_i^+ \end{aligned} \quad (A17)$$

Das erste Integral auf der rechten Seite dieser Gleichung, das dem linearen Anteil der Schubspannungsverteilung entspricht, ergibt:

$$\int_0^{z_i^{+2}} \frac{dz_i^{+2}}{(0,5+z_i^{+2})(1-z_i^{+2})} = - \frac{2}{3} \ln \frac{1-z_i^{+2}}{0,5+z_i^{+2}} \quad (A18)$$

Durch Partialbruchzerlegung erhält man für den Integranden des zweiten Integrals:

$$\frac{z_i^+}{(1-bz_i^+)(0,5+z_i^{+2})(1-z_i^{+2})} = \frac{A_1}{1-bz_i^+} + \frac{A_2 z_i^+ + A_3 \sqrt{0,5}}{0,5+z_i^{+2}} + \frac{A_4}{1-z_i^+} + \frac{A_5}{1+z_i^+} \quad (A19)$$

die Koeffizienten  $A_j$  lassen sich aus den 5 Gleichungen

$$z_i^{+0} : 0,5 A_1 + \sqrt{0,5} A_3 + 0,5 A_4 + 0,5 A_5 = 0$$

$$z_i^{+1} + A_2 - \sqrt{0,5} b A_3 + 0,5(1-b)A_4 - 0,5(1+b)A_5 = 1$$

$$z_i^{+2} : 0,5 A_1 - bA_2 - \sqrt{0,5}A_3 + (1-0,5b)A_4 + (1+0,5b)A_5 = 0$$

$$z_i^{+3} : -A_2 + \sqrt{0,5}bA_3 + (1-b)A_4 - (1+b)A_5 = 0$$

$$z_i^{+4} : -A_1 + bA_2 - bA_4 + bA_5 = 0$$

bestimmen zu:

$$A_1 = - \frac{2b^3}{(1-b^2)(2+b^2)}$$

$$A_2 = \frac{4}{3(2+b^2)}$$

$$A_3 = - \frac{2\sqrt{2} b}{3(2+b^2)}$$

$$A_4 = \frac{1}{3(1-b)}$$

$$A_5 = - \frac{1}{3(1+b)}$$

und somit wird

$$\int_0^{z_i^+} \frac{z_i^+}{(1-bz_i^+)(0,5+z_i^{+2})(1-z_i^{+2})} dz_i^+ = - \frac{A_1}{b} \ln(1-bz_i^+) + \frac{A_2}{2} \ln(0,5+z_i^{+2})$$

$$+ A_3 \arctg(\sqrt{2}z_i^+) - A_4 \ln(1-z_i^+) + A_5 \ln(1+z_i^+)$$

Nach Einsetzen in Glg. (A17) folgt:

$$\left( \frac{u-u_c}{u^+} \right)_i = \frac{\eta_{ci}/\eta_{c2}}{\alpha(1+r_c/r_i)} \left[ (1+3A_4) \ln(1-z_i^+) + (1-3A_5) \ln(1+z_i^+) \right.$$

$$\left. - (1+1,5A_2) \ln(0,5+z_i^{+2}) + \frac{3A_1}{b} \ln(1-bz_i^+) - 3A_3 \arctg(\sqrt{2}z_i^+) \right]$$

Durch Umgruppierung ergibt sich daraus:

$$\left(\frac{u-u_c}{u^+}\right)_i = \frac{\eta_{ci}/\eta_{c2}}{\alpha} \left[ \ln(1-z_i^+) + \ln \frac{1+z_i^+}{1+2z_i^+} + a_{1i} \ln(1+z_i^+) + a_{2i} \ln(1+2z_i^+)^2 \right. \\ \left. + a_{3i} \ln\left(1 - \left(1 - \frac{r_i}{r_c}\right) z_i^+\right) + a_{4i} \operatorname{arctg}(\sqrt{2} z_i^+) \right]$$

mit den in Glg.(188) aufgeführten Koeffizienten.

#### A 3.6.1.2. DIE MISCHUNGSTEMPERATUR $\theta_m$ FÜR $q_w = \text{konst.}$ BEI LAMINARER STRÖMUNG LÄNGS ROHRBÜNDELN

Durch Einsetzen der Gleichungen (153), (154a) und (200) in Glg.(201a) erhält man:

$$\theta_m = \frac{Z}{N}$$

mit

$$Z = \left[ \ln\left(\frac{r_c}{r_1}\right)^2 + \left(\frac{r_1}{r_c}\right)^2 - 1 \right] \int_{\frac{r_1}{r_c}}^1 \left[ \ln y^+ - \left(\frac{r_1}{r_c}\right)^2 (y^+ - 1) \right] \left\{ \frac{3}{4} \left(\frac{r_1}{r_c}\right)^2 - 2 - y^+ \right\} \left[ \ln y^+ - \frac{1}{4} \left(\frac{r_1}{r_c}\right)^2 y^+ + \left(\frac{r_1}{r_c}\right)^2 - 2 \right] - \ln y^+ \left[ \left(\frac{r_c}{r_1}\right)^2 \left( \ln\left(\frac{r_1}{r_c}\right)^2 + \frac{3}{2} \right) - 1 \right] \right\} dy^+ \quad (A20)$$

$$N = \left\{ \frac{1}{2} \left(\frac{r_1}{r_c}\right)^2 + \left(\frac{r_c}{r_1}\right)^2 \left[ \ln\left(\frac{r_1}{r_c}\right)^2 + \frac{3}{2} \right] - 2 \right\} \left[ \ln\left(\frac{r_c}{r_1}\right)^2 + \left(\frac{r_1}{r_c}\right)^2 - 1 \right] \left\{ \frac{3}{4} \left(\frac{r_1}{r_c}\right)^2 - 3 + \frac{9}{4} \left(\frac{r_c}{r_1}\right)^2 + \ln\left(\frac{r_c}{r_1}\right)^2 \left[ \left(\frac{r_c}{r_1}\right)^2 \ln\left(\frac{r_c}{r_1}\right)^2 - \frac{5}{2} \left(\frac{r_c}{r_1}\right)^2 + 1 \right] \right\}$$

Das Integral im Zähler Z, hier mit I bezeichnet, läßt sich unterteilen in:

$$I = \left[ \frac{7}{4} \left(\frac{r_1}{r_c}\right)^2 + \ln\left(\frac{r_c}{r_1}\right)^2 - \frac{7}{2} \right] \int \ln y^+ dy^+ - \int y^+ (\ln y^+)^2 dy^+ + \frac{5}{4} \left(\frac{r_1}{r_c}\right)^2 \int y^+ \ln y^+ dy^+ \\ - \left[ \frac{7}{2} - 3 \left(\frac{r_1}{r_c}\right)^2 - \ln\left(\frac{r_c}{r_1}\right)^2 \right] \int y^+ \ln y^+ dy^+ + \left[ 1 - \frac{3}{2} \left(\frac{r_c}{r_1}\right)^2 + \left(\frac{r_c}{r_1}\right)^2 \ln\left(\frac{r_c}{r_1}\right)^2 \right] \\ \cdot \int (\ln y^+)^2 dy^+ + \left[ 4 \left(\frac{r_1}{r_c}\right)^2 - \frac{7}{4} \left(\frac{r_1}{r_c}\right)^4 \right] \int y^+ dy^+ - \dots$$

$$-\frac{1}{4}\left(\frac{r_1}{r_c}\right)^4 \int y^{+6} dy^{+2} + \left[\frac{5}{4}\left(\frac{r_1}{r_c}\right)^4 - 2\left(\frac{r_1}{r_c}\right)^2\right] \int y^{+4} dy^{+2} \\ + \left[\frac{3}{4}\left(\frac{r_1}{r_c}\right)^4 - 2\left(\frac{r_1}{r_c}\right)^2\right] \int dy^{+2}$$

Nach Lösung der Einzelintegrale und Einsetzen der Grenzen folgt:

$$I = \left[\frac{7}{4}\left(\frac{r_1}{r_c}\right)^2 + \ln\left(\frac{r_c}{r_1}\right)^2 - \frac{7}{2}\right] \left[\left(\frac{r_c}{r_1}\right)^2 - \left(\frac{r_c}{r_1}\right)^2 \ln\left(\frac{r_c}{r_1}\right)^2 - 1\right] + \left[\frac{1}{2}\left(\frac{r_c}{r_1}\right)^4 \left(\ln\left(\frac{r_c}{r_1}\right)^2\right)^2\right. \\ \left. - \frac{1}{2}\left(\frac{r_c}{r_1}\right)^4 \ln\left(\frac{r_c}{r_1}\right)^2 + \frac{1}{4}\left(\frac{r_c}{r_1}\right)^4 - \frac{1}{4}\right] + \frac{5}{4}\left(\frac{r_1}{r_c}\right)^2 \left[\frac{1}{9}\left(\frac{r_c}{r_1}\right)^6 - \frac{1}{3}\left(\frac{r_c}{r_1}\right)^6 \ln\left(\frac{r_c}{r_1}\right)^2 - \frac{1}{9}\right] \\ + \left[\frac{7}{2} - 3\left(\frac{r_1}{r_c}\right)^2 - \ln\left(\frac{r_c}{r_1}\right)^2\right] \left[\frac{1}{4}\left(\frac{r_c}{r_1}\right)^4 - \frac{1}{2}\left(\frac{r_c}{r_1}\right)^4 \ln\left(\frac{r_c}{r_1}\right)^2 - \frac{1}{4}\right] + \left[1 - \frac{3}{2}\left(\frac{r_c}{r_1}\right)^2 + \left(\frac{r_c}{r_1}\right)^2\right. \\ \left.\cdot \ln\left(\frac{r_c}{r_1}\right)^2\right] \left[2 - \left(\frac{r_c}{r_1}\right)^2 \left(\ln\left(\frac{r_c}{r_1}\right)^2\right)^2 + 2\left(\frac{r_c}{r_1}\right)^2 \ln\left(\frac{r_c}{r_1}\right)^2 - 2\left(\frac{r_c}{r_1}\right)^2\right] \\ + \left[4\left(\frac{r_1}{r_c}\right)^2 - \frac{7}{4}\left(\frac{r_1}{r_c}\right)^4\right] \left[\frac{1}{2} - \frac{1}{2}\left(\frac{r_c}{r_1}\right)^4\right] - \frac{1}{4}\left(\frac{r_1}{r_c}\right)^4 \left[\frac{1}{4} - \frac{1}{4}\left(\frac{r_c}{r_1}\right)^8\right] \\ + \left[\frac{5}{4}\left(\frac{r_1}{r_c}\right)^4 - 2\left(\frac{r_1}{r_c}\right)^2\right] \left[\frac{1}{3} - \frac{1}{3}\left(\frac{r_c}{r_1}\right)^6\right] + \left[\frac{3}{4}\left(\frac{r_1}{r_c}\right)^4 - 2\left(\frac{r_1}{r_c}\right)^2\right] \left[1 - \left(\frac{r_c}{r_1}\right)^2\right]$$

Durch Umformung und Einsetzen in Glg. (A20) ergibt sich das End-  
ergebnis Glg. (201b).

---

LITERATURVERZEICHNIS

- /1/ W.B.Hall and P.H.Price, The effect of a longitudinally varying wall heat flux on the heat transfer coefficient for turbulent flow, Int.Developments in Heat Transfer, ASME, 72, 607-613, 1961.
- /2/ D.B.Spalding, Heat transfer to a turbulent stream from a surface with a stepwise discontinuity in wall temperature, Int.Developments in Heat Transfer, ASME, 439-446,1961.
- /3/ A.G.Smith and V.L.Shah, The calculation of wall and fluid temperatures for the incompressible turbulent boundary layer with arbitrary distribution of wall heat flux, Int.J. Heat Mass Transfer, 5, 1179-1189,1962.
- /4/ E.M.Sparrow and S.H.Lin, Boundary layers with prescribed heat flux,application to simultaneous convection and radiation, Int.J.Heat Mass Transfer, 8, 437-448,1965.
- /5/ W.Tolle, Grenzsichttheoretische Untersuchungen zum Problem des Wärmeaustausches bei Gleichstrom und Gegenstrom, Dissertation an der Technischen Hochschule Karlsruhe,1964.
- /6/ H.Reichardt, Die Grundlagen des turbulenten Wärmeübergangs, Archiv für die gesamte Wärmetechnik, 2, 129-142,1951.
- /7/ H.Reichardt, Vollständige Darstellung der turbulenten Geschwindigkeitsverteilung in glatten Rohren, Z.Angew.Math.Mech. 31,208-219,1951.
- /8/ R.R.Rotfus, J.E.Walker and G.A.Whan,Correlation of local velocities in tubes, annuli and parallel plates, A.I.Ch.E. Journal,vol.4,No 2,240-244,1958.
- /9/ R.V.Bailey, Heat transfer to liquid metals in concentric annuli, U.S.Atomic Energy Commission Report,ORNL-521,1950.
- /10/ R.N.Lyon, Liquid metal heat transfer coefficients, Chemical Engeneering Process, 47, 75-79, 1951.
- /11/ R.Jenkins, Variation of the eddy conductivity with Prandtl modulus and its use in prediction of turbulent heat transfer coefficients, Heat Transfer and Fluid Mechanics Institute, Stanford University Press, Stanford Calif., 147 - 158, 1951
- /13/ U.Grigull und H.Tratz, Thermischer Einlauf in ausgebildeter laminarer Rohrströmung, Int.J. Heat Mass Transfer, 8, 669-678, 1965.
- /14/ U.Grigull, Persönliche Mitteilung an den Verfasser.
- /15/ H.Schlichting, Grenzsichttheorie, Verlag G.Braun, Karlsruhe, 3.Auflage, 152, 1958.

- /16/ E.Eckert, Wärme- und Stoffaustausch, Springer-Verlag, Berlin/Göttingen/Heidelberg, 2.Auflage, 98, 1959.
- /17/ E.Pohlhausen, Der Wärmeaustausch zwischen festen Körpern und Flüssigkeiten mit kleiner Reibung und Wärmeleitung, Z. Angew. Math. Mech., 1, 115-121, 1921.
- /18/ S.S.Kutadelatze, Fundamentals of heat transfer, 2.Edition, Edward Arnold Ltd., London, 232, 1963.
- /19/ A.Fortier, Convection de chaleur, Cours professé à l'I.N.S.T.N. Saclay, 1961.
- /20/ S.Sugawara, T.Sato, Heat transfer on the surface of a flat plate in the forced flow, Memorial of the Faculty of Engineering, Kyoto University, 14, 21-37, 1952.
- /21/ H.Blasius, Grenzsichten in Flüssigkeiten mit kleiner Reibung, Z. Math. Phys., 56, 4-13, 1908.
- /22/ O.E.Dwyer, On the transfer of heat to fluids flowing through pipes, annuli and parallel plates, Nucl. Sc. Eng., 336-344, 1963.
- /23/ O.E.Dwyer, Equations for bilateral heat transfer to a fluid flowing in a concentric annulus, Nucl. Sc. Eng., 15, 52-57, 1963.
- /24/ O.E.Dwyer, Bilateral heat transfer in annuli for slug and laminar flows, Nucl. Sc. Eng., 19, 48-57, 1964.
- /25/ J.A.Brighton and J.B.Jones, Fully developed turbulent flow in annuli, J. Bas. Eng., 86, 835-844, 1964.
- /26/ H.Schlichting, Der Wärmeübergang an einer längsangeströmten ebenen Platte mit veränderlicher Wandtemperatur, Forschung auf dem Gebiet des Ingenieurwesens, 17, 1-8, 1951.
- /27/ V.I.Subhotin, P.A.Ushakov, P.L.Kirillov, M.K.Ibragimov, M.N.Ivanovsky, E.V.Nomophilov, D.M.Ovechkin, D.N.Sorokin, V.P.Sorokin, Heat removal from the reactor fuel elements cooled by liquid metals, Third United Nations International Conference on the Peaceful Uses of Atomic Energy, A/CONF.28/P/328, 1964.
- /28/ R.E.Johnk and T.J.Hanratty, Temperature profiles for turbulent flow of air in a pipe, Chem. Engng. Sci., 867-892, 1962.
- /29/ T.Mizushima, T.Sasano, The ratio of the eddy diffusivities for heat and momentum and its effect on liquid metal heat transfer coefficients, Int. Developments in Heat Transfer, ASME, 78, 662-668, 1961.
- /30/ S.E.Isakoff and F.B.Drew, Heat and momentum transfer in turbulent flow of mercury, General Discussion on Heat Transfer, London Conference, London, 405-409, 1951.

- /31/ R.G.Deissler and C.S.Eian, Analytical and experimental investigation of fully developed turbulent flow of air in a smooth tube with heat transfer with variable fluid properties, NACA TN 2629, 1952.
- /32/ R.G.Deissler, Analysis of turbulent heat transfer, mass transfer, and friction in smooth tubes at high Prandtl and Schmidt numbers, TR 1210, 1955, and J.P.Hartnett, Recent advances in heat and mass transfer, McGRAW-HILL BOOK COMPANY, INC., New York, Toronto, London, 1961.
- /33/ L.Duchatelle, L. de Nucheze, Détermination des coefficients de convection d'un alliage sodium-potassium circulant à contre courant dans un échangeur monotubulaire, Revue Entropie, 17, 51-58, 1967.
- /34/ E.Skupinski, J.Tortel, L.Vautrety, Détermination des coefficients de convection d'un alliage sodium-potassium dans un tube circulaire, Int. J. Heat Mass Transfer, 8, 937-951, 1965.
- /35/ N.I.Buleev, Theoretical model of the mechanism of turbulent exchange in fluid flow, Heat Transfer, SSSR Academy of Sciences, 1962.
- /36/ P.L.Kirillov, V.I.Subbotin, M.Ya.Suvorov, M.F.Troyanov, The investigation of heat transfer to a sodium-potassium alloy in a tube, Soviet Journal of Atomic Energy, 6, 253-260, 1959.
- /37/ V.I.Subbotin, M.K.Ibragimov, M.N.Ivanovski, M.N.Arnol'Dov, E.V.Nomofilov, Heat transfer from a turbulent flow of liquid metals in tubes, Atomnaya Energiya II, 133-139, 1961.
- /38/ E.M.Khabakhpasheva, Yu.M.II'In, Heat transfer to a melt of sodium and potassium in annular clearances, Atomnaya Energiya, 9, 494-496, 1960.
- /39/ V.I.Subbotin, M.K.Ibragimov, E.V.Nomofilov, Emission de chaleur par une section thermiquement stable d'un tube parcouru par un courant de métaux liquides en régime turbulent, Atomnaya Energiya, 13, 155-162, 1962.
- /40/ V.I.Subbotin, A.K.Papvianz, P.L.Kirillov, N.K.Ivanovski, Etude de transfert de chaleur au sodium liquide dans des tubes, Atomnaya Energiya, 13, 380-382, 1962.
- /41/ M.A.Mikheev, V.A.Baum, K.D.Voskressensky, O.S.Fedynsky, Le dégagement de chaleur par les métaux en fusion, Actes de la Conférence Internationale sur l'Utilisation de l'Energie Atomique à des Fins Pacifiques, Genève, vol.IX, 327-332, 1956.
- /42/ O.E.Dwyer, Eddy transport in liquid metal heat transfer, A.I.Ch.E. Journal, 9, 261-268, 1962.
- /43/ R.N.Lyon, Forced convection heat transfer theory and experiments with liquid metals, AECU 419, ORNL 361, 1949.

- /44/ V.I.Subbotin, P.A.Ushakov, B.N.Gabrianovich, V.D.Talonov, I.P.Sviridenko, Heat transfer in a flow of liquid metals in circular tubes, *Inzh. Fiz. Zh.*, 6, 16-21, 1963.
- /45/ H.E.Brown, B.H.Amstead, B.E.Short, The transfer of heat and momentum in a turbulent stream of mercury, ASME Diamond Jubilee Annual Meeting, Chicago, III., Paper no.55-A-106, 1955.
- /46/ B.S.Petukhov and V.N.Popov, Theoretical calculation of heat exchange and frictional resistance in turbulent flow in tubes of an incompressible fluid with variable physical properties, *Transl. High Temperature*, 69-83, 1963.
- /47/ W.L.Friend and A.B.Metzner, Turbulent heat transfer inside tubes and the analogy among heat, mass and momentum transfer. *A.I.Ch.E. Journal*, 4, 393-402, 1958.
- /48/ M.A.Mikheev, Heat transfer in turbulent flow of a fluid in tubes, *Izvest. Akad. Nauk SSSR, Otd. Tekh. Nauk*, 10, p. 1448, 1952.
- /49/ A.P.Colburn, A method of correlating forced convection heat transfer data and comparison with fluid friction, *Trans. Am. Inst. Chem. Engrs*, 29, 174-210, 1933.
- /50/ E.N.Sieder and G.E.Fate, Heat transfer and pressure drop of liquids in tubes, *Ind. Chem. Engng.*, 28, 1429-1436, 1936.
- /51/ W.Hufschmidt, E.Burck, W.Riebold, Die Bestimmung örtlicher und mittlerer Wärmeübergangszahlen in Rohren bei hohen Wärmestromdichten, *Int. J. Heat Mass Transfer*, 9, 539-565, 1966.
- /52/ S.Levy, Heat-conduction methods in forced-convection flow, *Trans. ASME*, 78, p.1627, 1956.
- /53/ V.J.Berry, Non-uniform heat transfer to fluids flowing in conduits, *Applied Scientific Research, Section A*, vol.4, 61-75, 1953.
- /54/ J.P.Hartnett, Experimental determination of the thermal entrance length for the flow of water and oil in circular pipes, *Trans. ASME*, 77, 1211-1220, 1955.
- /55/ H.Latzko, Der Wärmeübergang an einen turbulenten Flüssigkeits- oder Gasstrom, *Z. Angew. Math. Mech.*, 1, no.4, 1921.
- /56/ R.G.Deissler, Analysis of turbulent heat transfer and flow in the entrance regions of smooth passages, *NACA TN 3016*, 1953.
- /57/ L.M.K.Boelter, D.Young, H.W.Iversen, An investigation of aircraft heaters - XXVII. Distribution of heat transfer rate in the entrance section of a circular tube, *NACA TN 1451*, 1948.
- /58/ J.L.Novotny, S.T.McComas, E.M.Sparrow, E.R.G.Eckert, Heat transfer in rectangular ducts with two heated and two unheated walls, Minnesota University, Minneapolis, Heat Transfer Lab., Contract AT (11-1)-659, 1963.



- /59/ E.Brundrett and P.R.Burroughs, The temperature inner-law and heat transfer for turbulent air flow in a vertical square duct, Int. J. Heat Mass Transfer, 10, 1133-1142, 1967.
- /60/ O.E.Dwyer and P.S.Tu, Unilateral heat transfer to liquid metals flowing in annuli, Nucl. Sc. Eng., 15, 58-68, 1962.
- /61/ W.B.Harrison and J.R.Menke, Heat transfer to liquid metals flowing in asymmetrically heated channels, Trans. ASME, 71, 797-803, 1949.
- /62/ L.Duchatelle, L.Vautre, Détermination des coefficients de convection d'un alliage NaK en écoulement turbulent entre plaques planes paralleles, Int. J. Heat Mass Transfer, 9, 1017-1031, 1964.
- /63/ L.M.Treffethen, L.McGregor, Heat transfer properties of liquid metals, NP 1788, Tech. Info. Service, United States Atomic Energy Comm., 1950.
- /64/ E.M.Sparrow, J.R.Lloyd, C.W.Hixon, Experiments on heat transfer in an asymmetrically heated rectangular duct, Trans. ASME, 88, 170-174, 1966.
- /65/ A.Roberts, A comment on the turbulent flow velocity profile in a concentric annulus, Int. J. Heat Mass Transfer, 10, 709-712, 1967.
- /66/ R.R.Rothfus, C.C.Monrad, V.E.Senecal, Velocity distribution and fluid friction in smooth concentric annuli, Ind. Engng. Chem., 42, 2511-2520, 1950.
- /67/ W.M.Kays and E.Y.Leung, Heat transfer in annular passages - hydrodynamically developed turbulent flow with arbitrarily prescribed heat flow, Int. J. Heat Mass Transfer, 6, 537-557, 1963.
- /68/ F.R.Lorenz, Über turbulente Strömung durch Rohre mit kreisringförmigem Querschnitt, Mitt. Inst. Strömungsmaschinen T.H. Karlsruhe, 1932.
- /69/ K.H.Presser, G.Pietrala, R.Harth, Wärmeübergang und Druckverlust an innenbeheizten Ringspalten bei Hochdruck-Gaskühlung, Chemie-Ing.-Techn., 38, 180-181, 1966.
- /70/ V.I.Petrovichev, Heat transfer in mercury through annular channels, Atomnaya Energiya, 7, 366-369, 1959.
- /71/ R.C.Werner, E.C.King, R.A.Tidball, Heat transfer with sodium-potassium liquid alloys, Meeting of A.I.Ch.E., Pittsburgh, 1949.
- /72/ R.N.Lyon, Forced convection heat transfer theory and experiment with liquid metals, ORNL-361, 1949.
- /73/ R.A.Baker, A.Sesonske, Heat transfer in sodium-potassium alloy, Nucl. Sci. Eng., 13, 283-288, 1962.

- /74/ B.Lubarsky, S.J.Kaufman, Review of experimental investigations of liquid metal heat transfer, NACA TN 3336, 1955.
- /75/ C.C.Monrad, J.F.Pelton, Heat transfer by convection in annular spaces, Trans. A.I.Ch.E., 38, 593-611, 1942.
- /76/ E.D.Davis, Heat transfer and pressure drop in annuli, Trans. ASME, 65, 755-759, 1943.
- /77/ O.Walger, Wärmeübergang in ringförmigen Strömungsquerschnitten, Chem. Ing. Techn., 25, 474-476, 1953.
- /78/ F.J.Quirrenbach, Wärmeübergang bei turbulenter Strömung in Ringspalten, Allg. Wärmetechnik, 9, 271-276, 1960.
- /79/ R.L.Judd, J.H.F.Wade, Forced convection heat transfer in eccentric annular passages, Heat Transfer and Fluid Mechanics Institute, Stanford University Press, 272-288, 1963.
- /80/ M.Rieger, Etude expérimentale du transfert de chaleur dans des faisceaux tubulaires en écoulement parallèle pour une densité de flux thermique constante dans le domaine des nombres de Prandtl moyens, Thèse de Docteur-Ingénieur à la Faculté des Sciences de l'Université de Paris, 1968.
- /81/ W.Eifler, R.Nijsing, Experimental investigation of velocity distribution and flow resistance in a triangular array of parallel rods, Nuclear Eng. Design, 5, 1967, to be published.
- /82/ R.G.Deissler, M.F.Taylor, Analysis of axial turbulent flow and heat transfer through banks of rods or tubes, Reactor Heat Transfer Conference 1956: Collected Papers and Reports, John E. Viscardi (comp.), TID-7529 (Pt.1), Book 2, p. 416, 1957.
- /83/ B.W.Le Torneau, R.E.Grimble, Z.E.Zerbe, Pressure drop for parallel flow through rod bundles, Trans. ASME, 79, 1751-1758, 1957.
- /84/ V.I.Subbotin, P.A.Ushakov, B.N.Gabrianovich, Hydraulic resistance to the flow of a liquid along a bundle of rods, Atomnaya Energya, 9, 308-310, 1960.
- /85/ E.V.Firsova, Study of heat transfer and flow resistance of water flowing parallel to a bundle of rods, Inzh. Fiz. Zhurn., 4, 17-22, 1963.
- /86/ P.Miller, J.J.Byrnes, D.M.Benforado, Heat transfer to water flowing parallel to a rod bundle, A.I.Ch.E. Journal, 226-234, 1956.
- /87/ V.S.Osmachkin, Some problems of heat transfer in liquid-cooled reactors, Third United Nations International Conference on the Peaceful Uses of Atomic Energy, A/CONF.28/P/326, 1964.

- /88/ O.E.Dwyer, P.S.Tu, Analytical study of heat transfer rates for parallel flow of liquid metals through tube bundles, Chem. Eng. Progr., 56, 183-193, 1960.
- /89/ A.J.Friedland, O.E.Dwyer, C.F.Bonilla, Heat transfer to mercury in parallel flow through bundles of circular rods, Int. Developments in Heat Transfer, ASME, 62, 526-534, 1961.
- /90/ D.A.Dingee, W.B.Bell, J.W.Chastain, S.L.Fawcett, Heat transfer from parallel rods in axial flow, Batelle Memorial Institute Report BMI-1026, 1955.
- /91/ J.Weisman, Heat transfer to water flowing parallel to tube bundles, Nucl. Sci. Eng., 6, 78-79, 1959.

Strömungs- Form	Quer- schnitt	Para- meter	Zahlenwerte											
			Lami- nar	T, PS, PAS, A1, A2, B	$r_1/r_2$ $(r_1/r_2)_B$ $p/d$ $F_o$	0,7 0,7 1,15 8	0,4 0,4 1,61 4	0,2 0,2 2,60 2	0,1 0,1 4,42 1	0,05 0,05 7,77 0,5	0,01 0,01 31,38 0	- - - $F_m^{+-1}$	- - - -3	- - - -5
Turbu- lent	T, B	$Re(F_o=0; F_o=1)$ $\eta_c$ $Re(F_o=0; F_o=1)$ $Pr^+$	$4 \cdot 10^3$ 141,3 $4 \cdot 10^3$	$10^4$ 310,7 -	$3 \cdot 10^4$ 812,8 $3 \cdot 10^4$	$10^5$ 2371 -	$3 \cdot 10^5$ 6378 $3 \cdot 10^5$	$10^6$ 19080 -	$3 \cdot 10^6$ 52290 $3 \cdot 10^6$	- - -	- - -	- - -		
			0	8	-	-	1	-	0	-	-3	-		
			0,01	8	4	2	1	0,5	0	-1	-3	-5		
			0,03	8	-	-	1	-	0	-	-3	-		
			0,10	8	-	-	1	-	0	-	-3	-		
			0,72	8	-	-	1	-	0	-	-	-7		
			1	8	4	2	1	0,5	0	-1	-3	-7		
			3	8	-	-	1	-	0	-	-	-7		
			10	8	-	-	1	-	0	-	-	-7		
			100	-	-	-	1	-	0	-	-	-		
			1000	-	-	-	1	-	0	-	-	-		
		Turbu- lent	PS, PAS, A1, A2	$r_1/r_2$ $p/d$ $Re_T(F_o=1)$ $Re_T(F_o=1)$ $Pr^+$	0,7 1,25 $4 \cdot 10^3$ $4 \cdot 10^3$	0,4 1,60 $10^4$ -	0,2 1,95 $3 \cdot 10^4$ $3 \cdot 10^4$	0,1 3,50 $10^5$ -	- - $3 \cdot 10^5$ $3 \cdot 10^5$	- - $10^6$ -	- - $3 \cdot 10^6$ $3 \cdot 10^6$	- - -	- - -	- - -
					0	8	-	-	1	-	0	-	-3	-
					0,01	8	-	-	1	-	0	-	-3	-
					0,03	8	-	-	1	-	0	-	-3	-
	0,1			8	-	-	1	-	0	-	-3	-		
	1,0			8	-	-	1	-	0	-	-	-7		
	10			8	-	-	1	-	0	-	-	-7		
	100			-	-	-	1	-	0	-	-	-		
	1000			-	-	-	1	-	0	-	-	-		

Tabelle 1. Zusammenstellung der Zahlenwerte der Parameter für die numerische Berechnung (Beim Rohrbündel wird anstelle von  $Pr^+ = 0,72$   $Pr^+ = 14$  berechnet)

Re	$4 \cdot 10^3$	$10^4$	$3 \cdot 10^4$	$10^5$	$3 \cdot 10^5$	$10^6$	$3 \cdot 10^6$
$u$	6,0	6,3	6,6	7,0	7,6	8,6	10,0
c) $\varphi_m$	0,737	0,778	0,811	0,836	0,852	0,866	0,877
b) $\varphi_m$	0,716	0,775	0,813	0,838	0,854	0,867	0,877
a) $\varphi_m$	0,791	0,800	0,806	0,817	0,829	0,847	0,865
c) $Nu_o$	3,30	3,42	3,52	3,60	3,65	3,68	3,71
b) $Nu_o$	3,41	3,47	3,53	3,59	3,63	3,66	3,69
a) $Nu_o$	3,54	3,56	3,58	3,59	3,62	3,66	3,70

Tabelle 2. Nußelt-Zahl  $Nu_o$  und mittlere Geschwindigkeit  $\varphi_m$  bei der turbulenten Rohrströmung für  $q_w = \text{konst.}$  und  $Pr \rightarrow 0$  unter Zugrundelegung verschiedener Geschwindigkeitsgesetze: -a)  $\varphi = (1 - y^+)^{1/n}$  -b)  $\varphi = (2,51n\eta + 5,5) / (2,51n\eta_c + 5,5)$  -c)  $\varphi$  entsprechend Gleichung (62)

	$Pr^+$	Re	$4 \cdot 10^3$	$10^4$	$3 \cdot 10^4$	$10^5$	$3 \cdot 10^5$	$10^6$	$3 \cdot 10^6$
$q_w = \text{konst.}$	0,01	$Nu_o^+$	3,54	4,00	5,05	7,84	14,1	31,1	69,8
		$Nu_o$	3,86	4,27	5,32	8,17	14,6	32,0	71,7
	0,03	$Nu_o^+$	4,00	5,05	7,72	14,8	30,7	74,1	174
$Nu_o$		4,41	5,46	8,20	15,6	32,0	77,0	180	
$\delta_w = \text{konst.}$	0,10	$Nu_o^+$	5,40	8,19	15,4	34,7	78,0	199	481
		$Nu_o$	6,23	9,21	16,9	37,6	83,8	222	510
	0,01	$Nu_o$	2,52	2,81	3,60	5,88	11,3	26,5	62,0
$Nu_o^+$		2,76	3,08	3,95	6,42	12,2	28,5	66,0	
$\delta_w = \text{konst.}$	0,03	$Nu_o$	2,92	3,72	5,90	12,1	26,3	66,3	160
		$Nu_o^+$	3,25	4,12	6,51	13,2	28,5	71,1	170
	0,10	$Nu_o$	4,23	6,56	12,9	30,4	70,7	185	455
$Nu_o^+$		4,90	7,54	14,6	33,9	77,9	201	490	

Tabelle 3. Vergleich der mit dem Näherungsverfahren Glg. (86a) ( $Nu_o^+$ ) und dem genauen numerischen Verfahren ( $Nu_o$ ) gewonnenen Nußelt-Zahlen bei der turbulenten Rohrströmung

Re	$9,05 \cdot 10^3$	$2,21 \cdot 10^4$	$6,50 \cdot 10^4$	$2,14 \cdot 10^5$	$6,37 \cdot 10^5$	$2,11 \cdot 10^6$	$6,30 \cdot 10^6$
n	6,0	6,3	6,6	7,0	7,6	8,6	10,0
c) $\varphi_m$	0,833	0,856	0,879	0,894	0,905	0,914	0,920
b) $\varphi_m$	0,840	0,875	0,888	0,899	0,909	0,918	0,923
a) $\varphi_m$	0,852	0,863	0,868	0,874	0,883	0,897	0,910
c) $Nu_0$	7,18	7,32	7,42	7,51	7,56	7,60	7,63
b) $Nu_0$	7,39	7,46	7,52	7,57	7,62	7,66	7,67
a) $Nu_0$	7,43	7,45	7,47	7,50	7,53	7,59	7,63

Tabelle 4. Nußelt-Zahl  $Nu_0$  und mittlere Geschwindigkeit  $\varphi_m$  bei der turbulenten Strömung zwischen parallelen Platten für  $q_w = \text{konst.}$  und  $Pr \rightarrow 0$  unter Zugrundelegung verschiedener Geschwindigkeitsgesetze: -a)  $\varphi = (1-y^+)^{1/n}$  -b)  $\varphi = (2,51 \ln \eta + 5,5) / (2,51 \ln \eta_c + 5,5)$  -c)  $\varphi$  entsprechend Gleichung (62)

	$Pr^+$	Re	$9,05 \cdot 10^3$	$2,21 \cdot 10^4$	$6,50 \cdot 10^4$	$2,14 \cdot 10^5$	$6,37 \cdot 10^5$	$2,11 \cdot 10^6$	$6,30 \cdot 10^6$
$q_w = \text{konst.}$	0,01	$Nu_0$	7,69	8,51	10,6	16,3	29,0	63,8	143
		$Nu_0^+$	8,10	8,86	10,9	16,6	29,5	64,6	144
	0,03	$Nu_0$	8,67	10,7	16,2	30,8	63,0	151	354
		$Nu_0^+$	9,25	11,3	16,8	31,6	64,5	155	361
	0,10	$Nu_0$	11,7	17,3	32,0	71,3	160	405	975
		$Nu_0^+$	13,0	19,0	34,5	75,8	168	425	1020
$\theta_w = \text{konst.}$	0,01	$Nu_0$	6,54	-	9,00	-	26,0	-	134
		$Nu_0^+$	7,00	-	9,55	-	27,1	-	138
	0,03	$Nu_0$	7,47	-	14,2	-	58,3	-	339
		$Nu_0^+$	8,10	-	15,1	-	61,0	-	351
	0,10	$Nu_0$	10,4	-	29,4	-	152	-	947
		$Nu_0^+$	11,7	-	32,1	-	162	-	1000

Tabelle 5. Vergleich der mit dem Näherungsverfahren (Glg. 86a, dividiert durch zwei:  $Nu_0^+$ ) und dem genauen numerischen Verfahren ( $Nu_0$ ) gewonnenen Nußelt-Zahlen bei der turbulenten Strömung zwischen parallelen Platten, symmetrischer Wärmeaustausch

Pr	0,003	0,005	0,01	0,1	0,7	1,0	7,0	15,0	50,0	100,0	500	1000
a) $\frac{Nu_x}{Re_x^{1/2} Pr^{1/3}}$	0,193	0,225	0,241	0,287	0,329	0,332	0,337	0,339	0,339	0,338	0,335	0,327
b) $\frac{Nu_x}{Re_x^{1/2} Pr^{1/3}}$	0,193	0,208	0,228	0,291	0,321	0,323	0,329	0,330	0,331	0,331	0,331	0,331

Tabelle 7. Vergleich der für die ebene Platte bei laminarer Strömung und konstanter wandtemperatur berechneten Nußelt-Zahlen  $Nu_x$ : -a) Exakte Werte nach Pohlhausen/Sparrow -b) Nach Glg.(134a) mit  $\delta/\delta_t$  aus Glg.(138a) bzw. (138b)

$Re_T$	$r_1/r_2$	0,70	0,40	0,20	0,10	0,05	0,03
$4 \cdot 10^3$	$Re_{12}$	$8,66 \cdot 10^3$	$8,05 \cdot 10^3$	$7,30 \cdot 10^3$	$6,58 \cdot 10^3$	$5,93 \cdot 10^3$	$5,51 \cdot 10^3$
	$r_c/r_2$	0,8433	0,6648	0,5139	0,4047	0,3170	0,2609
	$\eta_s$	30,1	31,5	33,1	34,7	35,8	36,0
$10^4$	$Re_{12}$	$2,11 \cdot 10^4$	$1,96 \cdot 10^4$	$1,78 \cdot 10^4$	$1,62 \cdot 10^4$	$1,47 \cdot 10^4$	$1,38 \cdot 10^4$
	$r_c/r_2$	0,8432	0,6642	0,5128	0,4045	0,3197	0,2670
	$\eta_s$	44,9	49,3	54,9	60,3	64,8	67,0
$3 \cdot 10^4$	$Re_{12}$	$6,22 \cdot 10^4$	$5,77 \cdot 10^4$	$5,24 \cdot 10^4$	$4,75 \cdot 10^4$	$4,33 \cdot 10^4$	$4,09 \cdot 10^4$
	$r_c/r_2$	0,8430	0,6631	0,5101	0,4001	0,3154	0,2642
	$\eta_s$	76,2	92,5	115	135	151	158
$10^5$	$Re_{12}$	$2,04 \cdot 10^5$	$1,89 \cdot 10^5$	$1,72 \cdot 10^5$	$1,55 \cdot 10^5$	$1,42 \cdot 10^5$	$1,34 \cdot 10^5$
	$r_c/r_2$	0,8428	0,6619	0,5067	0,3942	0,3077	0,2563
	$\eta_s$	147	212	300	376	426	446
$3 \cdot 10^5$	$Re_{12}$	$6,08 \cdot 10^5$	$5,62 \cdot 10^5$	$5,08 \cdot 10^5$	$4,59 \cdot 10^5$	$4,19 \cdot 10^5$	$3,95 \cdot 10^5$
	$r_c/r_2$	0,8427	0,6609	0,5036	0,3889	0,3007	0,2487
	$\eta_s$	293	518	800	1022	1153	1196
$10^6$	$Re_{12}$	$2,01 \cdot 10^6$	$1,86 \cdot 10^6$	$1,67 \cdot 10^6$	$1,51 \cdot 10^6$	$1,38 \cdot 10^6$	$1,30 \cdot 10^6$
	$r_c/r_2$	0,8425	0,6597	0,5004	0,3835	0,2939	0,2413
	$\eta_s$	715	1527	2462	3138	3493	3581
$3 \cdot 10^6$	$Re_{12}$	$6,00 \cdot 10^6$	$5,53 \cdot 10^6$	$4,97 \cdot 10^6$	$4,48 \cdot 10^6$	$4,09 \cdot 10^6$	$3,86 \cdot 10^6$
	$r_c/r_2$	0,8424	0,6587	0,4976	0,3791	0,2855	0,2356
	$\eta_s$	1817	4301	6985	8804	9665	9811

Tabelle 8. Reynolds-Zahl  $Re_{12}$ , neutraler Radius  $r_c/r_2$  und Wandabstand  $\eta_s$  am Schnittpunkt des Wand- und Mittengesetzes für  $\epsilon_m/(v\eta_c)$  in Abhängigkeit von der äquivalenten Rohr-Reynolds-Zahl  $Re_T$  und vom Radienverhältnis  $r_1/r_2$  bei turbulenter Strömung im Ringspalt

$Re_T$	$p/d$	1,25	1,60	1,95	3,50
$4 \cdot 10^3$	$Re_B$	$9,45 \cdot 10^3$	$1,00 \cdot 10^4$	$1,06 \cdot 10^4$	$1,26 \cdot 10^4$
	$\varphi_{mB}$	0,8549	0,8742	0,8888	0,9258
	$r_1/r_2$	0,5996	0,3928	0,2852	0,1152
$10^4$	$Re_B$	$2,29 \cdot 10^4$	$2,41 \cdot 10^4$	$2,54 \cdot 10^4$	$3,01 \cdot 10^4$
	$\varphi_{mB}$	0,8784	0,8958	0,9089	0,9418
	$r_1/r_2$	0,5992	0,3922	0,2845	0,1149
$3 \cdot 10^4$	$Re_B$	$6,70 \cdot 10^4$	$7,02 \cdot 10^4$	$7,36 \cdot 10^4$	$8,59 \cdot 10^4$
	$\varphi_{mB}$	0,8973	0,9130	0,9247	0,9537
	$r_1/r_2$	0,5986	0,3911	0,2831	0,1135
$10^5$	$Re_B$	$2,19 \cdot 10^5$	$2,28 \cdot 10^5$	$2,38 \cdot 10^5$	$2,72 \cdot 10^5$
	$\varphi_{mB}$	0,9112	0,9257	0,9364	0,9623
	$r_1/r_2$	0,5981	0,3899	0,2814	0,1114
$3 \cdot 10^5$	$Re_B$	$6,50 \cdot 10^5$	$6,72 \cdot 10^5$	$6,95 \cdot 10^5$	$7,80 \cdot 10^5$
	$\varphi_{mB}$	0,9205	0,9341	0,9441	0,9678
	$r_1/r_2$	0,5977	0,3888	0,2798	0,1084
$10^6$	$Re_B$	$2,14 \cdot 10^6$	$2,20 \cdot 10^6$	$2,26 \cdot 10^6$	$2,49 \cdot 10^6$
	$\varphi_{mB}$	0,9285	0,9412	0,9507	0,9723
	$r_1/r_2$	0,5972	0,3876	0,2780	0,1073
$3 \cdot 10^6$	$Re_B$	$6,37 \cdot 10^6$	$6,51 \cdot 10^6$	$6,65 \cdot 10^6$	$7,18 \cdot 10^6$
	$\varphi_{mB}$	0,9344	0,9466	0,9555	0,9754
	$r_1/r_2$	0,5968	0,3865	0,2764	0,1054

Tabelle 9. Reynolds-Zahl  $Re_B$ , mittlere Geschwindigkeit  $\varphi_{mB}$  und Radienverhältnis  $r_1/r_2$  des zugeordneten Ringspalts in Abhängigkeit von der äquivalenten Rohr-Reynoldszahl  $Re_T$  bei turbulenter Strömung längs Rohrbündeln (Dreieckanordnung)



$Re$	$Pr^+$	$F_0$	$Nu/Nu_q$	$\theta_m$	$Pr^+$	$F_0$	$Nu/Nu_q$	$\theta_m$
$4 \cdot 10^3$ $10^4$ $3 \cdot 10^4$ $10^5$ $3 \cdot 10^5$ $10^6$ $3 \cdot 10^6$	0	8,00	1,330 1,357 1,378 1,391 1,398 1,403 1,406	0,661 0,647 0,637 0,630 0,626 0,623 0,622	0,01	0	0,801 0,793 0,800 0,830 0,866 0,904 0,931	0,502 0,496 0,506 0,542 0,592 0,651 0,700
$4 \cdot 10^3$ $10^4$ $3 \cdot 10^4$ $10^5$ $3 \cdot 10^5$ $10^6$ $3 \cdot 10^6$		0	0,790 0,774 0,762 0,754 0,749 0,746 0,744	0,493 0,478 0,467 0,461 0,457 0,454 0,452		- 0,30 - 0,30 - 0,30 - 0,35 - 0,40 - 0,45 - 0,50	0,639 0,624 0,644 0,673 0,735 0,809 0,861	0,453 0,447 0,459 0,490 0,542 0,609 0,665
$4 \cdot 10^3$ $10^4$ $3 \cdot 10^4$ $10^5$ $3 \cdot 10^5$ $10^6$ $3 \cdot 10^6$		- 0,35 - 0,30 - 0,35 - 0,35 - 0,35 - 0,35 - 0,35	0,559 0,583 0,487 0,467 0,455 0,445 0,438	0,425 0,426 0,397 0,390 0,385 0,382 0,379		- 0,35 - 0,35 - 0,35 - 0,35 - 0,50 - 0,60 - 0,75	0,586 0,569 0,594 0,673 0,662 0,741 0,778	0,438 0,431 0,445 0,490 0,516 0,580 0,624
$4 \cdot 10^3$ $10^4$ $3 \cdot 10^4$ $10^5$ $3 \cdot 10^5$ $10^6$ $3 \cdot 10^6$	0,01	8,00	1,318 1,333 1,329 1,295 1,248 1,193 1,153	0,669 0,662 0,669 0,694 0,729 0,769 0,801		- 0,40 - 0,40 - 0,40 - 0,45 - 0,50 - 0,65 - 0,75	0,510 0,489 0,526 0,564 0,662 0,698 0,778	0,417 0,410 0,427 0,457 0,516 0,562 0,624
$4 \cdot 10^3$ $10^4$ $3 \cdot 10^4$ $10^5$ $3 \cdot 10^5$ $10^6$ $3 \cdot 10^6$		4,00	1,202 1,211 1,207 1,186 1,155 1,119 1,092	0,633 0,626 0,633 0,660 0,698 0,741 0,775	0,03	8,00	1,297 1,297 1,275 1,230 1,185 1,143 1,116	0,683 0,686 0,705 0,739 0,773 0,806 0,830
$4 \cdot 10^3$ $10^4$ $3 \cdot 10^4$ $10^5$ $3 \cdot 10^5$ $10^6$ $3 \cdot 10^6$		2,00	1,094 1,098 1,096 1,085 1,070 1,053 1,041	0,597 0,591 0,598 0,627 0,667 0,714 0,752		0	0,817 0,820 0,841 0,877 0,908 0,935 0,952	0,521 0,526 0,554 0,605 0,657 0,708 0,747
$4 \cdot 10^3$ $10^4$ $3 \cdot 10^4$ $10^5$ $3 \cdot 10^5$ $10^6$ $3 \cdot 10^6$		0,50	0,926 0,923 0,925 0,935 0,948 0,961 0,971	0,542 0,536 0,545 0,577 0,622 0,675 0,719		- 0,35 - 0,40 - 0,35 - 0,50 - 0,65 - 0,80 - 1,00	0,633 0,586 0,699 0,698 0,717 0,772 0,776	0,461 0,451 0,504 0,535 0,572 0,625 0,647

Tabelle 10. Auf die Nu<sub>Belt</sub>-Zahl bei konstantem Wärmefluß  $Nu_q$  bezogene Nu<sub>Belt</sub>-Zahl  $Nu$  sowie Mischungstemperatur  $\theta_m$  in Abhängigkeit vom Parameter der Wärmestromdichteverteilung  $F_0$ , von der Prandtl-Zahl  $Pr^+$  und von der Reynolds-Zahl  $Re$  bei turbulenter Rohrströmung

$Re$	$Pr^+$	$F_0$	$Nu/Nu_q$	$\theta_m$	$Pr^+$	$F_0$	$Nu/Nu_q$	$\theta_m$		
4 · 10 <sup>3</sup> 10 <sup>4</sup> 3 · 10 <sup>4</sup> 10 <sup>5</sup> 3 · 10 <sup>5</sup> 10 <sup>6</sup> 3 · 10 <sup>6</sup>	0,1	8,00	1,247	0,719	1	0	0,957	0,773		
1,229			0,733	0,967			0,793			
1,197			0,759	0,975			0,813			
1,159			0,791	0,980			0,832			
1,127			0,817	0,984			0,847			
1,102			0,840	0,987			0,860			
1,083		0,856	0,989	0,872						
4 · 10 <sup>3</sup> 10 <sup>4</sup> 3 · 10 <sup>4</sup> 10 <sup>5</sup> 3 · 10 <sup>5</sup> 10 <sup>6</sup> 3 · 10 <sup>6</sup>		0	0	0,858		0,571	-0,60	0,916	0,749	
0,872				0,592		0,934			0,770	
0,897				0,632		0,950			0,795	
0,924				0,682		0,960			0,816	
0,942				0,725		0,968			0,834	
0,958	0,763			0,973	0,849					
0,969	0,790		0,978	0,863						
4 · 10 <sup>3</sup> 10 <sup>4</sup> 3 · 10 <sup>4</sup> 10 <sup>5</sup> 3 · 10 <sup>5</sup> 10 <sup>6</sup> 3 · 10 <sup>6</sup>	-0,45 -0,50 -0,60 -0,70 -0,85 -1,05 -1,20		0,657	0,496	-1,15	0,807		0,688		
0,662				0,509				0,843	0,712	
0,683				0,540				0,867	0,736	
0,761				0,602				0,880	0,755	
0,795				0,643				0,862	0,749	
0,820		0,679		0,877			0,769			
0,851		0,713	0,912	0,806						
4 · 10 <sup>3</sup> 10 <sup>4</sup> 3 · 10 <sup>4</sup> 10 <sup>5</sup> 3 · 10 <sup>5</sup> 10 <sup>6</sup> 3 · 10 <sup>6</sup>		1	8,00	1,110		0,843	10	8,00	1,033	0,944
1,085				0,857		1,018			0,950	
1,067				0,870		1,011			0,953	
1,055				0,882		1,009			0,955	
1,047				0,891		1,008			0,956	
1,040	0,899			1,007	0,958					
1,034	0,906		1,005	0,963						
4 · 10 <sup>3</sup> 10 <sup>4</sup> 3 · 10 <sup>4</sup> 10 <sup>5</sup> 3 · 10 <sup>5</sup> 10 <sup>6</sup> 3 · 10 <sup>6</sup>	4,00		1,064	0,824	0	0,993		0,933		
1,050				0,839				0,996	0,940	
1,039				0,854				0,997	0,944	
1,032				0,867				0,998	0,946	
1,027				0,877				0,998	0,948	
1,023		0,887		0,998			0,950			
1,019		0,895	0,999	0,957						
4 · 10 <sup>3</sup> 10 <sup>4</sup> 3 · 10 <sup>4</sup> 10 <sup>5</sup> 3 · 10 <sup>5</sup> 10 <sup>6</sup> 3 · 10 <sup>6</sup>		2,00	1,027	0,807		-4,40	0,930	0,908		
1,021				0,823				0,960	0,919	
1,016				0,840				0,974	0,925	
1,013				0,854				0,981	0,929	
1,011				0,866				0,983	0,932	
1,009	0,877			0,985	0,935					
1,008	0,887		0,990	0,947						
					-4,60					
					-4,70					
					-4,80					
					-4,85					
					-4,90					
				-5,10						

Tabelle 10 - Fortsetzung

$Pr^+$	$Re$	PS			PAS			
		$F_o$	$Nu/Nu_q$	$\theta_m$	$F_o$	$Nu/Nu_q$	$\theta_m$	
0	$8,66 \cdot 10^3$	8,00	1,310	0,782	8,00	1,326	0,765	
	$6,21 \cdot 10^4$		1,358	0,764		1,360	0,754	
	$6,08 \cdot 10^5$		1,378	0,755		1,377	0,749	
	$6,00 \cdot 10^6$		1,388	0,751		1,385	0,746	
	$8,66 \cdot 10^3$	0	0,874	0,696	0	0,863	0,672	
	$6,21 \cdot 10^4$		0,855	0,675		0,849	0,660	
	$6,08 \cdot 10^5$		0,846	0,665		0,843	0,654	
	$6,00 \cdot 10^6$		0,842	0,660		0,839	0,651	
	$8,66 \cdot 10^3$	-1,05	0,481	0,615	-0,90	0,521	0,599	
	$6,21 \cdot 10^4$		0,437	0,597		-0,80	0,562	0,603
	$6,08 \cdot 10^5$		0,450	0,593		-0,90	0,445	0,578
	$6,00 \cdot 10^6$		0,479	0,595		-0,80	0,530	0,593
0,01	$8,66 \cdot 10^3$	8,00	1,298	0,787	8,00	1,316	0,769	
	$6,21 \cdot 10^4$		1,307	0,785		1,320	0,768	
	$6,08 \cdot 10^5$		1,224	0,824		1,246	0,798	
	$6,00 \cdot 10^6$		1,134	0,869		1,160	0,838	
	$8,66 \cdot 10^3$	0	0,880	0,703	0	0,867	0,676	
	$6,21 \cdot 10^4$		0,878	0,702		0,866	0,675	
	$6,08 \cdot 10^5$		0,917	0,755		0,898	0,712	
	$6,00 \cdot 10^6$		0,956	0,820		0,937	0,767	
	$8,66 \cdot 10^3$	-1,10	0,452	0,613	-0,95	0,481	0,592	
	$6,21 \cdot 10^4$		0,516	0,626		-0,95	0,479	0,593
	$6,08 \cdot 10^5$		0,569	0,669		-0,90	0,670	0,653
	$6,00 \cdot 10^6$		0,675	0,734		-1,20	0,706	0,691
0,03	$8,66 \cdot 10^3$	8,00	1,276	0,796	8,00	1,298	0,776	
	$6,21 \cdot 10^4$		1,253	0,808		1,275	0,786	
	$6,08 \cdot 10^5$		1,167	0,852		1,195	0,822	
	$6,00 \cdot 10^6$		1,100	0,888		1,127	0,856	
	$8,66 \cdot 10^3$	0	0,890	0,715	0	0,874	0,684	
	$6,21 \cdot 10^4$		0,902	0,733		0,885	0,696	
	$6,08 \cdot 10^5$		0,942	0,796		0,922	0,745	
	$6,00 \cdot 10^6$		0,968	0,849		0,952	0,794	
	$8,66 \cdot 10^3$	-1,10	0,529	0,635	-0,95	0,520	0,604	
	$6,21 \cdot 10^4$		0,582	0,658		-1,00	0,517	0,608
	$6,08 \cdot 10^5$		0,679	0,721		-1,15	0,620	0,654
	$6,00 \cdot 10^6$		0,733	0,768		-1,40	0,712	0,705
1	$8,66 \cdot 10^3$	8,00	1,087	0,902	8,00	1,105	0,869	
	$6,21 \cdot 10^4$		1,057	0,916		1,081	0,885	
	$6,08 \cdot 10^5$		1,041	0,929		1,062	0,899	
	$6,00 \cdot 10^6$		1,030	0,939		1,048	0,911	
	$8,66 \cdot 10^3$	0	0,975	0,870	0	0,962	0,815	
	$6,21 \cdot 10^4$		0,984	0,890		0,972	0,838	
	$6,08 \cdot 10^5$		0,988	0,909		0,980	0,861	
	$6,00 \cdot 10^6$		0,992	0,923		0,985	0,880	
	$8,66 \cdot 10^3$	-2,40	0,779	0,803	-1,55	0,759	0,732	
	$6,21 \cdot 10^4$		0,840	0,832		-1,75	0,805	0,763
	$6,08 \cdot 10^5$		0,872	0,857		-2,05	0,832	0,788
	$6,00 \cdot 10^6$		0,892	0,876		-2,35	0,872	0,819

Tabelle 11. Auf die Nußelt-Zahl bei konstantem Wärmefluß  $Nu_q$  bezogene Nus-  
selt-Zahl  $Nu$  sowie Mischungstemperatur  $\theta_m$  in Abhängigkeit vom Parameter der  
Wärmestromdichteverteilung  $F_o$ , von der Prandtl-Zahl  $Pr^+$  und von der Rey-  
nolds-Zahl  $Re$  bei turbulenter Strömung zwischen parallelen Platten, sym-  
metrischer (PS) bzw. asymmetrischer Wärmeaustausch (PAS)

		$r_1/r_2=0,7 (q_{w1})$			$r_1/r_2=0,7 (q_{w2})$				
$Pr^+$	$Re$	$F_0$	$Nu/Nu_q$	$\theta_m$	$F_0$	$Nu/Nu_q$	$\theta_m$		
0	$8,05 \cdot 10^3$	8,00	1,301	0,789	8,00	1,344	0,743		
	$5,77 \cdot 10^4$		1,332	0,779		1,381	0,730		
	$5,62 \cdot 10^5$		1,347	0,775		1,398	0,723		
	$5,53 \cdot 10^6$		1,355	0,773		1,407	0,720		
	$8,05 \cdot 10^3$	0	0,882	0,709	0	0,844	0,636		
	$5,77 \cdot 10^4$		0,871	0,699		0,828	0,622		
	$5,62 \cdot 10^5$		0,866	0,694		0,821	0,615		
	$5,53 \cdot 10^6$		0,863	0,691		0,816	0,611		
	$8,05 \cdot 10^3$	-1,10	0,506	0,631	-0,75	0,524	0,566		
	$5,77 \cdot 10^4$		-1,00	0,553		0,638	-0,75	0,468	0,549
	$5,62 \cdot 10^5$		-1,10	0,435		0,614	-0,80	0,362	0,525
	$5,53 \cdot 10^6$		-1,10	0,423		0,612	-0,75	0,424	0,535
0,01	$8,05 \cdot 10^3$	8,00	1,291	0,792	8,00	1,333	0,747		
	$5,77 \cdot 10^4$		1,295	0,792		1,338	0,745		
	$5,62 \cdot 10^5$		1,230	0,819		1,259	0,778		
	$5,53 \cdot 10^6$		1,146	0,856		1,171	0,822		
	$8,05 \cdot 10^3$	0	0,886	0,713	0	0,849	0,641		
	$5,77 \cdot 10^4$		0,885	0,714		0,847	0,639		
	$5,62 \cdot 10^5$		0,913	0,748		0,884	0,678		
	$5,53 \cdot 10^6$		0,947	0,798		0,928	0,739		
	$8,05 \cdot 10^3$	-1,15	0,462	0,623	-0,65	0,619	0,588		
	$5,77 \cdot 10^4$		-1,10	0,535		0,640	-0,70	0,578	0,578
	$5,62 \cdot 10^5$		-1,20	0,618		0,675	-0,85	0,582	0,596
	$5,53 \cdot 10^6$		-1,50	0,681		0,716	-1,00	0,717	0,664
0,03	$8,05 \cdot 10^3$	8,00	1,274	0,799	8,00	1,314	0,754		
	$5,77 \cdot 10^4$		1,252	0,808		1,289	0,765		
	$5,62 \cdot 10^5$		1,175	0,842		1,205	0,805		
	$5,53 \cdot 10^6$		1,114	0,873		1,132	0,842		
	$8,05 \cdot 10^3$	0	0,892	0,720	0	0,857	0,649		
	$5,77 \cdot 10^4$		0,902	0,733		0,869	0,661		
	$5,62 \cdot 10^5$		0,935	0,778		0,912	0,714		
	$5,53 \cdot 10^6$		0,960	0,822		0,946	0,769		
	$8,05 \cdot 10^3$	-1,15	0,508	0,635	-0,80	0,518	0,569		
	$5,77 \cdot 10^4$		-1,20	0,528		0,646	-0,80	0,564	0,584
	$5,62 \cdot 10^5$		-1,35	0,671		0,703	-0,95	0,647	0,630
	$5,53 \cdot 10^6$		-1,70	0,717		0,739	-1,15	0,752	0,691
1	$8,05 \cdot 10^3$	8,00	1,094	0,885	8,00	1,111	0,857		
	$5,77 \cdot 10^4$		1,071	0,899		1,084	0,874		
	$5,62 \cdot 10^5$		1,054	0,912		1,064	0,890		
	$5,53 \cdot 10^6$		1,042	0,923		1,050	0,903		
	$8,05 \cdot 10^3$	0	0,969	0,841	0	0,957	0,793		
	$5,77 \cdot 10^4$		0,977	0,862		0,968	0,819		
	$5,62 \cdot 10^5$		0,984	0,882		0,977	0,844		
	$5,53 \cdot 10^6$		0,988	0,899		0,983	0,865		
	$8,05 \cdot 10^3$	-1,90	0,759	0,761	-1,30	0,780	0,715		
	$5,77 \cdot 10^4$		-2,15	0,805		0,791	-1,50	0,807	0,739
	$5,62 \cdot 10^5$		-2,55	0,827		0,812	-1,75	0,844	0,771
	$5,53 \cdot 10^6$		-2,95	0,855		0,835	-2,10	0,847	0,785

belle 12. Auf die Nußelt-Zahl bei konstantem Wärmefluß  $Nu_q$  bezogene Nus-  
 litzahl  $Nu$  sowie Mischungstemperatur  $\theta_m$  in Abhängigkeit vom Parameter der  
 rimestromdichtevertellung  $F_0$ , von der Prandtl-Zahl  $Pr^+$  und von der Rey-  
 lds-Zahl  $Re$  bei turbulenter Strömung in Ringspalten, Wärmeaustausch am  
 neren ( $q_{w1}$ ) bzw. äußeren Zylinder ( $q_{w2}$ )

		$r_1/r_2=0,4 (q_{w1})$			$r_1/r_2=0,4 (q_{w2})$				
$Pr^+$	$Re$	$F_0$	$Nu/Nu_q$	$\epsilon_m$	$F_0$	$Nu/Nu_q$	$\epsilon_m$		
0	$7,30 \cdot 10^3$	8,00	1,251	0,825	8,00	1,358	0,713		
	$5,24 \cdot 10^4$		1,277	0,819		1,397	0,697		
	$5,08 \cdot 10^5$		1,289	0,816		1,415	0,689		
	$4,97 \cdot 10^6$		1,295	0,814		1,424	0,685		
	$7,30 \cdot 10^3$	0	0,912	0,764	0	0,820	0,587		
	$5,24 \cdot 10^4$		0,904	0,757		0,801	0,570		
	$5,08 \cdot 10^5$		0,900	0,754		0,792	0,561		
	$4,97 \cdot 10^6$		0,899	0,752		0,787	0,556		
	$7,30 \cdot 10^3$	-1,45	0,530	0,686	-0,65	0,434	0,498		
	$5,24 \cdot 10^4$		-1,30	0,612		0,702	-0,45	0,597	0,525
	$5,08 \cdot 10^5$		-1,40	0,529		0,687	-0,60	0,414	0,483
	$4,97 \cdot 10^6$		-1,40	0,522		0,686	-0,60	0,394	0,476
0,01	$7,30 \cdot 10^3$	8,00	1,246	0,828	8,00	1,347	0,718		
	$5,24 \cdot 10^4$		1,248	0,830		1,351	0,715		
	$5,08 \cdot 10^5$		1,186	0,854		1,266	0,753		
	$4,97 \cdot 10^6$		1,115	0,886		1,175	0,804		
	$7,30 \cdot 10^3$	0	0,915	0,766	0	0,826	0,592		
	$5,24 \cdot 10^4$		0,915	0,771		0,823	0,589		
	$5,08 \cdot 10^5$		0,938	0,802		0,868	0,634		
	$4,97 \cdot 10^6$		0,964	0,847		0,920	0,704		
	$7,30 \cdot 10^3$	-1,40	0,600	0,702	-0,65	0,454	0,504		
	$5,24 \cdot 10^4$		-1,40	0,618		0,710	-0,65	0,436	0,497
	$5,08 \cdot 10^5$		-1,60	0,674		0,740	-0,70	0,548	0,539
	$4,97 \cdot 10^6$		-2,10	0,704		0,772	-0,85	0,683	0,610
0,03	$7,30 \cdot 10^3$	8,00	1,230	0,834	8,00	1,326	0,726		
	$5,24 \cdot 10^4$		1,209	0,844		1,299	0,737		
	$5,08 \cdot 10^5$		1,140	0,873		1,206	0,784		
	$4,97 \cdot 10^6$		1,088	0,901		1,133	0,826		
	$7,30 \cdot 10^3$	0	0,920	0,775	0	0,836	0,601		
	$5,24 \cdot 10^4$		0,929	0,788		0,849	0,614		
	$5,08 \cdot 10^5$		0,955	0,828		0,901	0,675		
	$4,97 \cdot 10^6$		0,973	0,868		0,940	0,738		
	$7,30 \cdot 10^3$	-1,50	0,554	0,696	-0,65	0,491	0,515		
	$5,24 \cdot 10^4$		-1,55	0,614		0,718	-0,60	0,596	0,545
	$5,08 \cdot 10^5$		-1,90	0,665		0,751	-0,75	0,662	0,590
	$4,97 \cdot 10^6$		-2,40	0,745		0,795	-0,95	0,753	0,652
1	$7,30 \cdot 10^3$	8,00	1,073	0,909	8,00	1,114	0,841		
	$5,24 \cdot 10^4$		1,053	0,922		1,085	0,861		
	$5,08 \cdot 10^5$		1,039	0,933		1,064	0,879		
	$4,97 \cdot 10^6$		1,029	0,943		1,050	0,893		
	$7,30 \cdot 10^3$	0	0,979	0,880	0	0,952	0,765		
	$5,24 \cdot 10^4$		0,985	0,899		0,965	0,795		
	$5,08 \cdot 10^5$		0,989	0,916		0,976	0,824		
	$4,97 \cdot 10^6$		0,993	0,928		0,982	0,849		
	$7,30 \cdot 10^3$	-2,60	0,717	0,789	-1,05	0,799	0,688		
	$5,24 \cdot 10^4$		-3,05	0,835		0,843	-1,25	0,818	0,710
	$5,08 \cdot 10^5$		-3,60	0,874		0,869	-1,50	0,853	0,746
	$4,97 \cdot 10^6$		-4,30	0,894		0,887	-1,75	0,877	0,775

Tabelle 12 - Fortsetzung

		$r_1/r_2=0,2 (q_{w1})$			$r_1/r_2=0,2 (q_{w2})$			
$Pr^+$	Re	$F_o$	$Nu/Nu_q$	$\theta_m$	$F_o$	$Nu/Nu_q$	$\theta_m$	
0	$6,58 \cdot 10^3$	8,00	1,188	0,864	8,00	1,360	0,687	
	$4,75 \cdot 10^4$		1,206	0,861		1,399	0,669	
	$4,59 \cdot 10^5$		1,214	0,859		1,416	0,660	
	$4,48 \cdot 10^6$		1,217	0,858		1,425	0,655	
	$6,58 \cdot 10^3$	0	0,942	0,821	0	0,801	0,543	
	$4,75 \cdot 10^4$		0,937	0,818		0,779	0,523	
	$4,59 \cdot 10^5$		0,935	0,816		0,769	0,513	
	$4,48 \cdot 10^6$		0,935	0,816		0,764	0,508	
	$6,58 \cdot 10^3$	-1,95	0,607	0,753	-0,50	0,489	0,466	
	$4,75 \cdot 10^4$		-1,90	0,628		0,759	-0,50	0,440
	$4,59 \cdot 10^5$		-2,05	0,429		0,723	-0,45	0,445
	$4,48 \cdot 10^6$		-2,05	0,449		0,728	-0,50	0,419
0,01	$6,58 \cdot 10^3$	8,00	1,181	0,867	8,00	1,347	0,692	
	$4,75 \cdot 10^4$		1,179	0,870		1,350	0,690	
	$4,59 \cdot 10^5$		1,126	0,892		1,263	0,733	
	$4,48 \cdot 10^6$		1,072	0,920		1,166	0,791	
	$6,58 \cdot 10^3$	0	0,945	0,824	0	0,807	0,549	
	$4,75 \cdot 10^4$		0,946	0,830		0,806	0,545	
	$4,59 \cdot 10^5$		0,964	0,859		0,858	0,597	
	$4,48 \cdot 10^6$		0,981	0,899		0,917	0,679	
	$6,58 \cdot 10^3$	-1,95	0,640	0,761	-0,50	0,507	0,472	
	$4,75 \cdot 10^4$		-2,05	0,629		0,766	-0,45	0,481
	$4,59 \cdot 10^5$		-2,45	0,667		0,791	-0,50	0,530
	$4,48 \cdot 10^6$		-3,25	0,775		0,842	-0,70	0,594
0,03	$6,58 \cdot 10^3$	8,00	1,167	0,872	8,00	1,326	0,702	
	$4,75 \cdot 10^4$		1,147	0,883		1,297	0,715	
	$4,59 \cdot 10^5$		1,092	0,909		1,202	0,768	
	$4,48 \cdot 10^6$		1,053	0,932		1,131	0,816	
	$6,58 \cdot 10^3$	0	0,949	0,831	0	0,819	0,559	
	$4,75 \cdot 10^4$		0,956	0,846		0,836	0,574	
	$4,59 \cdot 10^5$		0,975	0,882		0,896	0,645	
	$4,48 \cdot 10^6$		0,987	0,915		0,940	0,718	
	$6,58 \cdot 10^3$	-2,05	0,625	0,761	-0,45	0,597	0,498	
	$4,75 \cdot 10^4$		-2,25	0,466		0,737	-0,50	0,500
	$4,59 \cdot 10^5$		-2,75	0,780		0,832	-0,60	0,568
	$4,48 \cdot 10^6$		-3,85	0,810		0,863	-0,80	0,639
1	$6,58 \cdot 10^3$	8,00	1,047	0,935	8,00	1,115	0,830	
	$4,75 \cdot 10^4$		1,031	0,947		1,082	0,853	
	$4,59 \cdot 10^5$		1,022	0,956		1,060	0,873	
	$4,48 \cdot 10^6$		1,015	0,963		1,047	0,888	
	$6,58 \cdot 10^3$	0	0,988	0,920	0	0,950	0,745	
	$4,75 \cdot 10^4$		0,992	0,936		0,965	0,779	
	$4,59 \cdot 10^5$		0,995	0,948		0,976	0,813	
	$4,48 \cdot 10^6$		0,997	0,957		0,982	0,840	
	$6,58 \cdot 10^3$	-4,05	0,811	0,863	-0,95	0,794	0,656	
	$4,75 \cdot 10^4$		-4,50	0,919		0,912	-1,15	0,665
	$4,59 \cdot 10^5$		-4,85	0,953		0,934	-1,30	0,745
	$4,48 \cdot 10^6$		-5,15	0,970		0,948	-1,65	0,760

Tabelle 12 - Fortsetzung

		$r_1/r_2=0,1 (q_{w1})$			$r_1/r_2=0,1 (q_{w2})$				
$Pr^+$	$Re$	$F_o$	$Nu/Nu_q$	$\theta_m$	$F_o$	$Nu/Nu_q$	$\theta_m$		
0	$9,05 \cdot 10^3$	8,00	1,132	0,894	8,00	1,354	0,672		
	$6,50 \cdot 10^4$		1,143	0,892		1,393	0,653		
	$6,37 \cdot 10^5$		1,147	0,892		1,411	0,643		
	$6,30 \cdot 10^6$		1,149	0,892		1,419	0,638		
	$9,05 \cdot 10^3$	0	0,963	0,863	0	0,792	0,517		
	$6,50 \cdot 10^4$		0,960	0,862		0,768	0,496		
	$6,37 \cdot 10^5$		0,959	0,862		0,758	0,486		
	$6,30 \cdot 10^6$		0,959	0,862		0,752	0,480		
	$9,05 \cdot 10^3$	-2,60	0,619	0,790	-0,45	0,475	0,435		
	$6,50 \cdot 10^4$		-2,55	0,675		0,806	-0,30	0,598	0,453
	$6,37 \cdot 10^5$		-2,60	0,647		0,802	-0,40	0,455	0,415
	$6,30 \cdot 10^6$		-2,65	0,612		0,796	-0,40	0,436	0,408
0,01	$9,05 \cdot 10^3$	8,00	1,126	0,897	8,00	1,341	0,678		
	$6,50 \cdot 10^4$		1,121	0,901		1,344	0,676		
	$6,37 \cdot 10^5$		1,079	0,922		1,256	0,724		
	$6,30 \cdot 10^6$		1,039	0,947		1,159	0,787		
	$9,05 \cdot 10^3$	0	0,965	0,867	0	0,799	0,524		
	$6,50 \cdot 10^4$		0,967	0,874		0,798	0,521		
	$6,37 \cdot 10^5$		0,980	0,902		0,856	0,580		
	$6,30 \cdot 10^6$		0,991	0,936		0,919	0,671		
	$9,05 \cdot 10^3$	-2,65	0,633	0,795	-0,40	0,565	0,459		
	$6,50 \cdot 10^4$		-2,70	0,726		0,824	-0,45	0,484	0,436
	$6,37 \cdot 10^5$		-3,50	0,669		0,828	-0,50	0,614	0,495
	$6,30 \cdot 10^6$		-4,50	0,909		0,915	-0,70	0,704	0,565
0,03	$9,05 \cdot 10^3$	8,00	1,116	0,901	8,00	1,319	0,689		
	$6,50 \cdot 10^4$		1,096	0,912		1,289	0,704		
	$6,37 \cdot 10^5$		1,053	0,937		1,195	0,762		
	$6,30 \cdot 10^6$		1,027	0,956		1,125	0,814		
	$9,05 \cdot 10^3$	0	0,968	0,873	0	0,812	0,535		
	$6,50 \cdot 10^4$		0,975	0,889		0,832	0,553		
	$6,37 \cdot 10^5$		0,987	0,922		0,896	0,633		
	$6,30 \cdot 10^6$		0,994	0,948		0,942	0,714		
	$9,05 \cdot 10^3$	-2,70	0,708	0,815	-0,30	0,680	0,495		
	$6,50 \cdot 10^4$		-3,00	0,765		0,841	-0,50	0,507	0,452
	$6,37 \cdot 10^5$		-4,15	0,849		0,887	-0,60	0,673	0,537
	$6,30 \cdot 10^6$		-4,85	0,945		0,935	-0,75	0,817	0,641
1	$9,05 \cdot 10^3$	8,00	1,027	0,955	8,00	1,112	0,826		
	$6,50 \cdot 10^4$		1,016	0,966		1,077	0,851		
	$6,37 \cdot 10^5$		1,010	0,973		1,056	0,873		
	$6,30 \cdot 10^6$		1,007	0,978		1,043	0,889		
	$9,05 \cdot 10^3$	0	0,994	0,947	0	0,950	0,737		
	$6,50 \cdot 10^4$		0,997	0,961		0,967	0,776		
	$6,37 \cdot 10^5$		0,998	0,970		0,978	0,813		
	$6,30 \cdot 10^6$		0,999	0,976		0,984	0,841		
	$9,05 \cdot 10^3$	-4,80	0,946	0,934	-0,85	0,833	0,664		
	$6,50 \cdot 10^4$		-5,25	0,972		0,953	-1,05	0,860	0,698
	$6,37 \cdot 10^5$		-5,60	0,984		0,966	-1,35	0,881	0,734
	$6,30 \cdot 10^6$		-5,85	0,990		0,974	-1,65	0,900	0,765

Tabelle 12 - Fortsetzung

$Pr^+$	$p/d = 1,25$				$p/d = 1,60$					
	Re	$F_o$	$Nu/Nu_q$	$\theta_m$	Re	$F_o$	$Nu/Nu_q$	$\theta_m$		
0	$9,45 \cdot 10^3$	8,00	1,287	0,801	$1,00 \cdot 10^4$	8,00	1,266	0,818		
	$6,70 \cdot 10^4$		1,334	0,784	$7,02 \cdot 10^4$		1,309	0,802		
	$6,50 \cdot 10^5$		1,355	0,776	$6,72 \cdot 10^5$		1,329	0,795		
	$6,37 \cdot 10^6$		1,364	0,772	$6,51 \cdot 10^6$		1,338	0,791		
	$9,45 \cdot 10^3$	0	0,890	0,726	$1,00 \cdot 10^4$	0	0,905	0,752		
	$6,70 \cdot 10^4$		0,872	0,707	$7,02 \cdot 10^4$		0,888	0,734		
	$6,50 \cdot 10^5$		0,864	0,697	$6,72 \cdot 10^5$		0,880	0,725		
	$6,37 \cdot 10^6$		0,860	0,692	$6,51 \cdot 10^6$		0,877	0,720		
	$9,45 \cdot 10^3$	-1,15	0,554	0,658	$1,00 \cdot 10^4$	-1,40	0,475	0,666		
	$6,70 \cdot 10^4$		-1,15	0,453	0,629		$7,02 \cdot 10^4$	-1,25	0,523	0,667
	$6,50 \cdot 10^5$		-1,10	0,460	0,625		$6,72 \cdot 10^5$	-1,30	0,420	0,644
	$6,37 \cdot 10^6$		-1,10	0,434	0,618		$6,51 \cdot 10^6$	-1,25	0,452	0,647
0,01	$9,45 \cdot 10^3$	8,00	1,276	0,806	$1,00 \cdot 10^4$	8,00	1,252	0,823		
	$6,70 \cdot 10^4$		1,287	0,804	$7,02 \cdot 10^4$		1,263	0,822		
	$6,50 \cdot 10^5$		1,207	0,841	$6,72 \cdot 10^5$		1,187	0,857		
	$6,37 \cdot 10^6$		1,121	0,884	$6,51 \cdot 10^6$		1,105	0,899		
	$9,45 \cdot 10^3$	0	0,896	0,733	$1,00 \cdot 10^4$	0	0,910	0,759		
	$6,70 \cdot 10^4$		0,894	0,732	$7,02 \cdot 10^4$		0,908	0,759		
	$6,50 \cdot 10^5$		0,928	0,783	$6,72 \cdot 10^5$		0,939	0,808		
	$6,37 \cdot 10^6$		0,963	0,845	$6,51 \cdot 10^6$		0,970	0,868		
	$9,45 \cdot 10^3$	-1,20	0,549	0,661	$1,00 \cdot 10^4$	-1,40	0,530	0,681		
	$6,70 \cdot 10^4$		-1,20	0,549	0,662		$7,02 \cdot 10^4$	-1,40	0,542	0,686
	$6,50 \cdot 10^5$		-1,45	0,644	0,715		$6,72 \cdot 10^5$	-1,70	0,655	0,743
	$6,37 \cdot 10^6$		-2,10	0,648	0,753		$6,51 \cdot 10^6$	-2,45	0,747	0,807
0,03	$9,45 \cdot 10^3$	8,00	1,258	0,815	$1,00 \cdot 10^4$	8,00	1,234	0,832		
	$6,70 \cdot 10^4$		1,236	0,827	$7,02 \cdot 10^4$		1,214	0,843		
	$6,50 \cdot 10^5$		1,149	0,868	$6,72 \cdot 10^5$		1,133	0,883		
	$6,37 \cdot 10^6$		1,088	0,902	$6,51 \cdot 10^6$		1,075	0,916		
	$9,45 \cdot 10^3$	0	0,905	0,745	$1,00 \cdot 10^4$	0	0,918	0,771		
	$6,70 \cdot 10^4$		0,916	0,763	$7,02 \cdot 10^4$		0,928	0,789		
	$6,50 \cdot 10^5$		0,951	0,821	$6,72 \cdot 10^5$		0,960	0,845		
	$6,37 \cdot 10^6$		0,974	0,871	$6,51 \cdot 10^6$		0,980	0,892		
	$9,45 \cdot 10^3$	-1,25	0,569	0,672	$1,00 \cdot 10^4$	-1,50	0,504	0,682		
	$6,70 \cdot 10^4$		-1,20	0,684	0,710		$7,02 \cdot 10^4$	-1,60	0,573	0,710
	$6,50 \cdot 10^5$		-1,80	0,675	0,747		$6,72 \cdot 10^5$	-2,15	0,670	0,771
	$6,37 \cdot 10^6$		-2,40	0,799	0,815		$6,51 \cdot 10^6$	-3,00	0,726	0,816
1	$9,45 \cdot 10^3$	8,00	1,078	0,914	$1,00 \cdot 10^4$	8,00	1,069	0,925		
	$6,70 \cdot 10^4$		1,049	0,928	$7,02 \cdot 10^4$		1,042	0,938		
	$6,50 \cdot 10^5$		1,034	0,940	$6,72 \cdot 10^5$		1,028	0,949		
	$6,37 \cdot 10^6$		1,025	0,948	$6,51 \cdot 10^6$		1,020	0,957		
	$9,45 \cdot 10^3$	0	0,979	0,889	$1,00 \cdot 10^4$	0	0,982	0,906		
	$6,70 \cdot 10^4$		0,986	0,909	$7,02 \cdot 10^4$		0,989	0,924		
	$6,50 \cdot 10^5$		0,991	0,925	$6,72 \cdot 10^5$		0,993	0,938		
	$6,37 \cdot 10^6$		0,994	0,937	$6,51 \cdot 10^6$		0,996	0,949		
	$9,45 \cdot 10^3$	-2,95	0,759	0,822	$1,00 \cdot 10^4$	-3,50	0,784	0,850		
	$6,70 \cdot 10^4$		-3,40	0,845	0,856		$7,02 \cdot 10^4$	-4,15	0,852	0,877
	$6,50 \cdot 10^5$		-4,15	0,856	0,870		$6,72 \cdot 10^5$	-4,55	0,930	0,916
	$6,37 \cdot 10^6$		-4,50	0,935	0,912		$6,51 \cdot 10^6$	-4,85	0,957	0,935

Tabelle 13. Auf die Nußelt-Zahl bei konstantem Wärmefluß  $Nu_q$  bezogene Nusselt-Zahl  $Nu$  sowie Mischungstemperatur  $\theta_m$  in Abhängigkeit vom Parameter der Wärmestromdichteverteilung  $F_o$ , von der Prandtl-Zahl  $Pr^+$  und von der Reynolds-Zahl  $Re$  bei turbulenter Strömung längs Rohrbündeln (Dreieckanordnung)



$Pr^+$	$p/d = 1,95$				$p/d = 3,50$					
	$Re$	$F_o$	$Nu/Nu_q$	$\theta_m$	$Re$	$F_o$	$Nu/Nu_q$	$\theta_m$		
0	$1,06 \cdot 10^4$	8,00	1,246	0,831	$1,26 \cdot 10^4$	8,00	1,182	0,866		
	$7,36 \cdot 10^4$		1,287	0,817	$8,59 \cdot 10^4$		1,223	0,854		
	$6,95 \cdot 10^6$		1,307	0,810	$7,80 \cdot 10^6$		1,239	0,849		
	$6,65 \cdot 10^6$		1,315	0,806	$7,18 \cdot 10^6$		1,246	0,847		
	$1,06 \cdot 10^4$	0	0,915	0,772	$1,26 \cdot 10^4$	0	0,943	0,823		
	$7,36 \cdot 10^4$		0,900	0,754	$8,59 \cdot 10^4$		0,931	0,809		
	$6,95 \cdot 10^6$		0,893	0,747	$7,80 \cdot 10^6$		0,926	0,803		
	$6,65 \cdot 10^6$		0,890	0,742	$7,18 \cdot 10^6$		0,924	0,800		
	$1,06 \cdot 10^4$	-1,55	0,476	0,684	$1,26 \cdot 10^4$	-1,95	0,619	0,757		
	$7,36 \cdot 10^4$		-1,40	0,526	0,687		$8,59 \cdot 10^4$	-1,90	0,546	0,739
	$6,95 \cdot 10^6$		-1,45	0,416	0,664		$7,80 \cdot 10^6$	-1,80	0,580	0,743
	$6,65 \cdot 10^6$		-1,35	0,500	0,676		$7,18 \cdot 10^6$	-1,90	0,457	0,720
0,01	$1,06 \cdot 10^4$	8,00	1,232	0,836	$1,26 \cdot 10^4$	8,00	1,174	0,871		
	$7,36 \cdot 10^4$		1,242	0,835	$8,59 \cdot 10^4$		1,181	0,872		
	$6,95 \cdot 10^6$		1,170	0,870	$7,80 \cdot 10^6$		1,121	0,906		
	$6,65 \cdot 10^6$		1,093	0,910	$7,18 \cdot 10^6$		1,063	0,940		
	$1,06 \cdot 10^4$	0	0,920	0,778	$1,26 \cdot 10^4$	0	0,946	0,830		
	$7,36 \cdot 10^4$		0,918	0,780	$8,59 \cdot 10^4$		0,946	0,834		
	$6,95 \cdot 10^6$		0,948	0,828	$7,80 \cdot 10^6$		0,968	0,881		
	$6,65 \cdot 10^6$		0,975	0,885	$7,18 \cdot 10^6$		0,986	0,929		
	$1,06 \cdot 10^4$	-1,55	0,545	0,702	$1,26 \cdot 10^4$	-2,05	0,609	0,760		
	$7,36 \cdot 10^4$		-1,60	0,514	0,700		$8,59 \cdot 10^4$	-2,10	0,635	0,774
	$6,95 \cdot 10^6$		-2,05	0,522	0,733		$7,80 \cdot 10^6$	-3,00	0,679	0,824
	$6,65 \cdot 10^6$		-2,90	0,754	0,829		$7,18 \cdot 10^6$	-4,15	0,876	0,909
0,03	$1,06 \cdot 10^4$	8,00	1,215	0,845	$1,26 \cdot 10^4$	8,00	1,158	0,879		
	$7,36 \cdot 10^4$		1,195	0,857	$8,59 \cdot 10^4$		1,141	0,892		
	$6,95 \cdot 10^6$		1,119	0,895	$7,80 \cdot 10^6$		1,082	0,927		
	$6,65 \cdot 10^6$		1,066	0,926	$7,18 \cdot 10^6$		1,043	0,953		
	$1,06 \cdot 10^4$	0	0,928	0,790	$1,26 \cdot 10^4$	0	0,953	0,841		
	$7,36 \cdot 10^4$		0,938	0,808	$8,59 \cdot 10^4$		0,961	0,861		
	$6,95 \cdot 10^6$		0,966	0,863	$7,80 \cdot 10^6$		0,980	0,911		
	$6,65 \cdot 10^6$		0,983	0,907	$7,18 \cdot 10^6$		0,991	0,944		
	$1,06 \cdot 10^4$	-1,55	0,630	0,727	$1,26 \cdot 10^4$	-2,20	0,620	0,770		
	$7,36 \cdot 10^4$		-1,75	0,629	0,742		$8,59 \cdot 10^4$	-2,50	0,682	0,804
	$6,95 \cdot 10^6$		-2,45	0,713	0,802		$7,80 \cdot 10^6$	-3,90	0,769	0,868
	$6,65 \cdot 10^6$		-3,55	0,794	0,855		$7,18 \cdot 10^6$	-4,75	0,919	0,931
1	$1,06 \cdot 10^4$	8,00	1,063	0,932	$1,26 \cdot 10^4$	8,00	1,045	0,953		
	$7,36 \cdot 10^4$		1,037	0,946	$8,59 \cdot 10^4$		1,030	0,965		
	$6,95 \cdot 10^6$		1,024	0,956	$7,80 \cdot 10^6$		1,013	0,973		
	$6,65 \cdot 10^6$		1,017	0,963	$7,18 \cdot 10^6$		1,009	0,979		
	$1,06 \cdot 10^4$	0	0,985	0,917	$1,26 \cdot 10^4$	0	0,991	0,945		
	$7,36 \cdot 10^4$		0,991	0,935	$8,59 \cdot 10^4$		0,995	0,960		
	$6,95 \cdot 10^6$		0,995	0,948	$7,80 \cdot 10^6$		0,997	0,970		
	$6,65 \cdot 10^6$		0,997	0,957	$7,18 \cdot 10^6$		0,998	0,977		
	$1,06 \cdot 10^4$	-4,05	0,812	0,874	$1,26 \cdot 10^4$	-4,75	0,918	0,933		
	$7,36 \cdot 10^4$		-4,45	0,911	0,910		$8,59 \cdot 10^4$	-5,25	0,961	0,953
	$6,95 \cdot 10^6$		-4,85	0,950	0,934		$7,80 \cdot 10^6$	-5,60	0,979	0,967
	$6,65 \cdot 10^6$		-5,15	0,968	0,948		$7,18 \cdot 10^6$	-5,85	0,987	0,974

Tabelle 13 - Fortsetzung

$\left(\frac{r_1}{r_2}\right)_1$	Re	Pr <sup>+</sup>						
		0	0,01	0,03	0,1	1	10	100
0,7	8,05 · 10 <sup>3</sup>	0,732	0,736	0,743	0,762	0,852	0,951	0,989
	1,96 · 10 <sup>4</sup>	0,727	0,733	0,744	0,770	0,861	0,953	0,990
	5,77 · 10 <sup>4</sup>	0,722	0,736	0,754	0,786	0,871	0,954	0,990
	1,89 · 10 <sup>5</sup>	0,720	0,749	0,774	0,807	0,881	0,956	0,990
	5,62 · 10 <sup>5</sup>	0,718	0,768	0,795	0,826	0,889	0,957	0,990
	1,86 · 10 <sup>6</sup>	0,716	0,792	0,818	0,844	0,897	0,958	0,991
	5,53 · 10 <sup>6</sup>	0,715	0,814	0,836	0,858	0,904	0,959	0,990
0,4	7,30 · 10 <sup>3</sup>	0,781	0,784	0,790	0,808	0,887	0,964	0,993
	1,78 · 10 <sup>4</sup>	0,777	0,783	0,793	0,816	0,895	0,966	0,993
	5,24 · 10 <sup>4</sup>	0,774	0,787	0,803	0,831	0,904	0,968	0,993
	1,72 · 10 <sup>5</sup>	0,772	0,798	0,821	0,850	0,912	0,969	0,993
	5,08 · 10 <sup>5</sup>	0,771	0,816	0,840	0,866	0,919	0,970	0,993
	1,67 · 10 <sup>6</sup>	0,770	0,837	0,860	0,882	0,925	0,971	0,993
	4,97 · 10 <sup>6</sup>	0,769	0,856	0,876	0,894	0,931	0,972	0,993
0,2	6,58 · 10 <sup>3</sup>	0,832	0,835	0,841	0,857	0,923	0,978	0,995
	1,62 · 10 <sup>4</sup>	0,830	0,835	0,845	0,866	0,930	0,980	0,996
	4,75 · 10 <sup>4</sup>	0,828	0,840	0,855	0,880	0,938	0,981	0,996
	1,55 · 10 <sup>5</sup>	0,827	0,851	0,871	0,896	0,945	0,982	0,996
	4,59 · 10 <sup>5</sup>	0,827	0,867	0,888	0,910	0,950	0,982	0,996
	1,51 · 10 <sup>6</sup>	0,827	0,887	0,905	0,923	0,954	0,983	0,996
	4,48 · 10 <sup>6</sup>	0,826	0,903	0,919	0,933	0,958	0,984	0,996
0,1	9,05 · 10 <sup>3</sup>	0,870	0,873	0,879	0,894	0,949	0,987	0,997
	2,20 · 10 <sup>4</sup>	0,869	0,875	0,884	0,903	0,955	0,988	0,998
	6,50 · 10 <sup>4</sup>	0,869	0,880	0,894	0,916	0,962	0,989	0,998
	2,14 · 10 <sup>5</sup>	0,869	0,891	0,910	0,931	0,967	0,990	0,998
	6,37 · 10 <sup>5</sup>	0,869	0,906	0,925	0,943	0,971	0,991	0,998
	2,11 · 10 <sup>6</sup>	0,869	0,924	0,939	0,953	0,974	0,991	0,998
	6,30 · 10 <sup>6</sup>	0,869	0,938	0,950	0,960	0,977	0,992	0,998
$\left(\frac{r_1}{r_2}\right)_2$								
0,7	8,05 · 10 <sup>3</sup>	0,671	0,675	0,683	0,705	0,811	0,934	0,986
	5,77 · 10 <sup>4</sup>	0,657	0,673	0,694	0,731	0,834	0,939	0,987
	5,62 · 10 <sup>5</sup>	0,650	0,710	0,742	0,778	0,856	0,942	0,987
	5,53 · 10 <sup>6</sup>	0,646	0,764	0,790	0,817	0,874	0,945	0,987
0,4	7,30 · 10 <sup>3</sup>	0,630	0,635	0,644	0,669	0,788	0,926	0,984
	5,24 · 10 <sup>4</sup>	0,613	0,632	0,656	0,698	0,814	0,932	0,985
	5,08 · 10 <sup>5</sup>	0,605	0,674	0,711	0,752	0,839	0,936	0,985
	4,97 · 10 <sup>6</sup>	0,601	0,736	0,766	0,796	0,860	0,940	0,986
0,2	6,58 · 10 <sup>3</sup>	0,595	0,600	0,610	0,638	0,771	0,921	0,983
	4,75 · 10 <sup>4</sup>	0,576	0,597	0,625	0,673	0,801	0,928	0,984
	4,59 · 10 <sup>5</sup>	0,567	0,646	0,688	0,734	0,830	0,933	0,985
	4,48 · 10 <sup>6</sup>	0,562	0,717	0,750	0,783	0,853	0,937	0,986
0,1	9,05 · 10 <sup>3</sup>	0,575	0,581	0,592	0,623	0,765	0,920	0,982
	6,50 · 10 <sup>4</sup>	0,554	0,579	0,609	0,661	0,799	0,929	0,985
	6,37 · 10 <sup>5</sup>	0,545	0,633	0,679	0,728	0,830	0,934	0,985
	6,30 · 10 <sup>6</sup>	0,540	0,711	0,746	0,781	0,853	0,938	0,987

Tabelle 14. Mischungstemperatur  $\theta_m$  für turbulente Strömung in Ringspalten bei konstantem Wärmefluß in Abhängigkeit von der Prandtl-Zahl  $Pr^+$ , von der Reynolds-Zahl  $Re$  und vom Radienverhältnis  $r_1/r_2$  für Wärmeaustausch am inneren  $\left(\left(r_1/r_2\right)_1\right)$  bzw. äußeren Zylinder  $\left(\left(r_1/r_2\right)_2\right)$

p/d	Re	Pr <sup>+</sup>						
		0	0,01	0,03	0,1	1	10	100
1,25	9,45 10 <sup>3</sup>	0,748	0,754	0,765	0,793	0,895	0,969	0,993
	2,29 10 <sup>4</sup>	0,737	0,748	0,766	0,803	0,903	0,972	0,994
	6,70 10 <sup>4</sup>	0,729	0,753	0,780	0,823	0,912	0,973	0,995
	2,19 10 <sup>5</sup>	0,723	0,772	0,807	0,848	0,921	0,974	0,995
	6,50 10 <sup>5</sup>	0,720	0,798	0,833	0,868	0,927	0,975	0,995
	2,14 10 <sup>6</sup>	0,717	0,829	0,859	0,886	0,934	0,976	0,995
	6,37 10 <sup>6</sup>	0,715	0,854	0,878	0,900	0,939	0,977	0,995
	1,60	1,00 10 <sup>4</sup>	0,770	0,776	0,787	0,815	0,909	0,974
2,41 10 <sup>4</sup>		0,760	0,771	0,789	0,825	0,918	0,977	0,995
7,02 10 <sup>4</sup>		0,753	0,776	0,803	0,845	0,926	0,978	0,996
2,28 10 <sup>5</sup>		0,748	0,795	0,829	0,868	0,934	0,979	0,996
6,72 10 <sup>5</sup>		0,745	0,821	0,854	0,887	0,940	0,980	0,996
2,20 10 <sup>6</sup>		0,742	0,851	0,879	0,904	0,946	0,981	0,996
6,51 10 <sup>6</sup>		0,740	0,875	0,897	0,916	0,950	0,982	0,996
1,95		1,06 10 <sup>4</sup>	0,788	0,794	0,805	0,832	0,920	0,977
	2,54 10 <sup>4</sup>	0,778	0,789	0,806	0,842	0,928	0,980	0,996
	7,36 10 <sup>4</sup>	0,771	0,794	0,821	0,861	0,936	0,982	0,996
	2,38 10 <sup>5</sup>	0,766	0,813	0,846	0,883	0,944	0,983	0,996
	6,95 10 <sup>5</sup>	0,764	0,839	0,871	0,901	0,949	0,984	0,997
	2,26 10 <sup>6</sup>	0,761	0,868	0,894	0,917	0,954	0,984	0,997
	6,65 10 <sup>6</sup>	0,760	0,891	0,911	0,929	0,958	0,985	0,997
	3,50	1,26 10 <sup>4</sup>	0,834	0,840	0,850	0,875	0,946	0,986
3,01 10 <sup>4</sup>		0,826	0,837	0,853	0,886	0,954	0,988	0,997
8,59 10 <sup>4</sup>		0,820	0,843	0,868	0,903	0,961	0,990	0,998
2,72 10 <sup>5</sup>		0,817	0,862	0,892	0,923	0,967	0,991	0,998
7,80 10 <sup>5</sup>		0,814	0,886	0,914	0,938	0,971	0,991	0,998
2,49 10 <sup>6</sup>		0,813	0,912	0,933	0,950	0,974	0,992	0,998
7,18 10 <sup>6</sup>		0,812	0,931	0,946	0,958	0,977	0,992	0,999
PS		8,66 10 <sup>3</sup>	0,722	0,728	0,739	0,768	0,877	0,963
	2,11 10 <sup>4</sup>	0,710	0,722	0,740	0,778	0,886	0,966	0,993
	6,21 10 <sup>4</sup>	0,702	0,726	0,755	0,799	0,896	0,967	0,993
	2,04 10 <sup>5</sup>	0,696	0,746	0,783	0,826	0,905	0,968	0,993
	6,08 10 <sup>5</sup>	0,693	0,774	0,811	0,847	0,913	0,969	0,993
	2,01 10 <sup>6</sup>	0,690	0,807	0,838	0,867	0,920	0,970	0,994
	6,00 10 <sup>6</sup>	0,688	0,833	0,858	0,882	0,926	0,971	0,994
	PAS	8,66 10 <sup>3</sup>	0,701	0,705	0,712	0,732	0,829	0,941
2,11 10 <sup>4</sup>		0,694	0,701	0,713	0,740	0,839	0,944	0,988
6,21 10 <sup>4</sup>		0,689	0,704	0,723	0,757	0,850	0,945	0,988
2,04 10 <sup>5</sup>		0,685	0,718	0,745	0,780	0,861	0,947	0,988
6,08 10 <sup>5</sup>		0,683	0,738	0,767	0,800	0,870	0,948	0,988
2,01 10 <sup>6</sup>		0,681	0,764	0,792	0,820	0,879	0,949	0,989
6,00 10 <sup>6</sup>		0,680	0,787	0,811	0,835	0,887	0,950	0,989
T		4,00 10 <sup>3</sup>	0,557	0,567	0,583	0,626	0,794	0,935
	1,00 10 <sup>4</sup>	0,543	0,560	0,587	0,644	0,811	0,942	0,987
	3,00 10 <sup>4</sup>	0,533	0,568	0,610	0,677	0,829	0,945	0,989
	1,00 10 <sup>5</sup>	0,527	0,599	0,653	0,719	0,845	0,948	0,989
	3,00 10 <sup>5</sup>	0,523	0,642	0,697	0,754	0,858	0,950	0,989
	1,00 10 <sup>6</sup>	0,520	0,692	0,740	0,786	0,870	0,951	0,990
	3,00 10 <sup>6</sup>	0,518	0,733	0,773	0,809	0,881	0,951	0,990

Tabelle 15. Mischungstemperatur  $\theta_m$  für turbulente Strömung in Rohren (T), zwischen parallelen Platten (PS) bzw. asymmetrischem Wärmeaustausch (PAS) und längs Rohrbündeln (Dreieckanordnung, p/d=1,25 - 1,60 - 1,95 - 3,50) bei konstantem Wärmefluß in Abhängigkeit von der Prandtl-Zahl Pr<sup>+</sup> und von der Reynolds-Zahl Re

$Re_T$		$r_1/r_2$				$p/d$			
		0,7	0,4	0,2	0,1	1,25	1,60	1,95	3,50
$4 \cdot 10^3$	$a_r$	,35(2,18)	1,65(1,61)	0,97(1,03)	0,43(0,51)	2,25	1,76	1,52	0,71
	$c_r$	6,59(7,66)	8,27(8,74)	9,46(9,50)	10,2(10,2)	7,07	8,96	9,74	12,4
	$e_r$	8,0 (9,7)	3,3 (6,8)	3,5 (2,0)	9,8 (4,2)	6,6	4,4	2,5	2,8
$10^4$	$a_r$	2,76(2,66)	2,13(2,18)	1,45(1,63)	0,87(1,10)	2,66	2,25	1,97	1,16
	$c_r$	3,86(4,51)	5,72(5,60)	7,39(6,65)	8,67(7,69)	4,40	6,18	7,31	10,4
	$e_r$	4,3 (5,1)	1,0 (3,2)	4,2 (1,3)	9,2 (5,6)	2,8	1,1	0,9	5,0
$3 \cdot 10^4$	$a_r$	2,67(2,65)	2,16(2,29)	1,51(1,78)	1,00(1,32)	2,59	2,28	2,00	1,29
	$c_r$	3,70(3,87)	5,31(4,61)	7,41(5,90)	8,76(6,99)	4,27	5,74	7,11	10,3
	$e_r$	2,0 (2,4)	0,7 (1,1)	3,9 (1,9)	7,2 (5,0)	1,1	0,7	1,7	4,9
$10^5$	$a_r$	2,55(2,57)	2,14(2,29)	1,66(1,91)	1,23(1,52)	2,50	2,26	2,06	1,52
	$c_r$	4,07(3,91)	5,41(4,41)	6,97(5,26)	8,27(6,34)	4,58	5,83	6,89	9,61
	$e_r$	1,0 (1,2)	0,8 (0,6)	2,6 (1,4)	4,6 (3,2)	0,7	0,8	1,4	3,4
$3 \cdot 10^5$	$a_r$	2,48(2,51)	2,14(2,27)	1,76(1,96)	1,38(1,64)	2,45	2,27	2,12	1,71
	$c_r$	4,33(4,08)	5,44(4,44)	6,69(5,09)	8,00(6,09)	4,81	5,86	6,75	8,96
	$e_r$	1,0 (1,2)	0,7 (0,8)	1,9 (0,8)	3,5 (2,0)	0,7	0,7	1,1	2,6
$10^6$	$a_r$	2,43(2,45)	2,16(2,26)	1,86(2,01)	1,58(1,75)	2,43	2,29	2,18	1,88
	$c_r$	4,55(4,38)	5,41(4,52)	6,39(4,98)	7,32(5,75)	4,96	5,80	6,48	8,25
	$e_r$	1,1 (1,4)	0,6 (0,8)	2,3 (0,7)	4,5 (2,6)	0,6	0,7	1,2	3,0
$3 \cdot 10^6$	$a_r$	2,41(2,42)	2,18(2,25)	1,94(2,04)	1,72(1,83)	2,41	2,31	2,24	2,01
	$c_r$	4,68(4,49)	5,36(4,59)	6,07(4,92)	6,69(5,48)	5,04	5,74	6,27	7,69
	$e_r$	1,1 (1,6)	0,9 (0,7)	3,2 (1,3)	5,8 (3,9)	0,5	0,9	1,7	3,9
$10^4 \dots$ $3 \cdot 10^6$	$a$	2,39(2,39)	2,17(2,22)	1,94(2,02)	1,78(1,86)	2,40	2,29	2,21	1,99
	$c$	5,03(4,98)	5,38(4,86)	5,53(4,78)	5,33(4,62)	5,23	5,79	6,21	7,08
	$e$	1,7 (2,1)	0,8 (1,2)	2,9 (1,2)	5,6 (3,6)	1,1	0,8	1,4	3,7

Tabelle 16. Koeffizienten  $a$  und  $c$  des bei turbulenter Strömung für  $\eta \geq 30$  näherungsweise gültigen logarithmischen Geschwindigkeitsgesetzes  $u/u^+ = a \ln \eta + c$ , angewandt auf die innere Hälfte von Ringspalten ( $r_1 < r < r_c$ ,  $r_1/r_2 = 0,7 - 0,4 - 0,2 - 0,1$ ) und auf Rohrbündel (Dreieckanordnung,  $p/d = 1,25 - 1,60 - 1,95 - 3,50$ ):  $a_r$  und  $c_r$  in Abhängigkeit von der äquivalenten Rohr-Reynoldszahl  $Re_T$ ,  $a$  und  $c$  dagegen Mittelwerte für den Bereich  $Re_T = 10^4 \dots 3 \cdot 10^6$ . Die Werte  $e$  geben in % die mittleren quadratischen Abweichungen gegenüber den mit Hilfe der Gleichungen (186a,b,c) einerseits bzw. (192) andererseits (Werte in Klammern) für die verschiedenen Teilabszissen berechneten Geschwindigkeiten an:  $e_r(Re_T)$  sowie  $e$  unter Zugrundelegung der Koeffizienten  $a$  und  $c$

Pr <sup>+</sup>	Re <sub>T</sub>		T	PS	PAS	(r <sub>1</sub> /r <sub>2</sub> ) <sub>1</sub>				r/a			
						0,7	0,4	0,2	0,1	1,25	1,60	1,95	3,50
1.0	4 · 10 <sup>3</sup>	a <sub>rp</sub>	3,52	3,18	5,45	4,86	3,77	2,38	1,28	2,73	2,33	1,97	1,18
		c <sub>rp</sub>	1,69	2,37	-6,53	-4,27	-0,42	4,19	7,03	3,70	4,76	5,73	6,98
		e <sub>pr</sub>	4,3	1,3	12,9	9,2	3,4	9,4	26,0	3,5	7,2	10,5	24,7
	10 <sup>4</sup>	a <sub>rp</sub>	3,41	3,18	5,00	4,76	3,82	2,64	1,60	2,80	2,46	2,19	1,34
		c <sub>rp</sub>	1,87	2,41	-5,49	-4,69	-0,95	3,47	6,89	3,68	4,77	5,53	7,90
		e <sub>pr</sub>	3,9	2,0	11,2	8,9	4,6	4,4	14,5	1,2	3,2	5,3	13,5
	3 · 10 <sup>4</sup>	a <sub>rp</sub>	3,21	3,07	4,33	4,04	3,46	2,53	1,67	2,77	2,49	2,29	1,67
		c <sub>rp</sub>	2,44	2,85	-2,98	-1,59	0,71	4,53	7,78	3,94	4,96	5,64	7,50
		e <sub>pr</sub>	2,8	1,8	8,2	6,7	4,1	2,0	6,7	0,9	1,2	2,3	6,4
	10 <sup>5</sup>	a <sub>rp</sub>	3,05	2,96	3,79	3,59	3,14	2,44	1,73	2,71	2,50	2,36	1,85
		c <sub>rp</sub>	2,97	3,27	-0,82	0,29	2,20	5,29	8,44	4,27	5,05	5,59	7,44
		e <sub>pr</sub>	1,7	1,3	5,7	4,7	3,0	0,9	2,8	0,6	0,9	1,5	3,4
3 · 10 <sup>5</sup>	a <sub>rp</sub>	2,93	2,87	3,39	3,28	2,94	2,42	1,84	2,68	2,51	2,39	2,00	
	c <sub>rp</sub>	3,40	3,61	1,02	1,72	3,20	5,56	8,32	4,39	5,05	5,56	7,12	
	e <sub>pr</sub>	1,4	1,0	4,6	3,9	2,3	0,8	2,9	0,7	1,1	1,6	3,6	
10 <sup>6</sup>	a <sub>rp</sub>	2,83	2,79	3,16	3,08	2,81	2,42	2,00	2,63	2,50	2,41	2,15	
	c <sub>rp</sub>	3,78	3,94	1,90	2,57	3,78	5,60	7,66	4,66	5,21	5,53	6,60	
	e <sub>pr</sub>	1,8	1,3	5,1	4,2	2,5	1,0	4,2	0,7	1,2	2,0	4,4	
10 <sup>4</sup> ... 10 <sup>6</sup>	a <sub>p</sub>	2,87	2,83	3,29	3,18	2,88	2,46	2,05	2,66	2,52	2,43	2,18	
	c <sub>p</sub>	3,82	3,88	1,69	2,34	3,62	5,29	6,62	4,54	4,99	5,26	5,84	
	e <sub>p</sub>	1,8	1,3	5,6	4,6	2,6	1,7	5,6	0,8	1,4	2,2	5,3	
10	4 · 10 <sup>3</sup>	a <sub>rp</sub>	3,82	3,46	5,91	5,26	4,07	2,56	1,39	2,96	2,52	2,12	1,27
		c <sub>rp</sub>	54,8	54,6	44,7	47,2	50,8	54,4	54,9	55,6	56,3	56,8	55,5
		e <sub>pr</sub>	2,4	0,4	4,6	2,6	0,7	4,3	10,6	1,0	2,4	3,7	9,5
	10 <sup>4</sup>	a <sub>rp</sub>	3,59	3,36	5,31	4,99	3,98	2,72	1,65	2,93	2,56	2,28	1,38
		c <sub>rp</sub>	54,9	54,9	46,0	47,5	51,2	55,3	57,5	56,2	57,2	57,6	58,8
		e <sub>pr</sub>	1,5	0,7	3,4	2,4	1,1	1,5	4,4	0,3	0,8	1,5	4,1
	3 · 10 <sup>4</sup>	a <sub>rp</sub>	3,32	3,17	4,55	4,22	3,57	2,58	1,69	2,85	2,55	2,33	1,70
		c <sub>rp</sub>	55,3	55,6	48,5	50,7	53,2	57,1	59,9	56,8	57,8	58,3	59,8
		e <sub>pr</sub>	0,7	0,5	2,0	1,5	1,0	0,3	1,0	0,3	0,2	0,4	1,1
	10 <sup>5</sup>	a <sub>rp</sub>	3,13	3,03	3,98	3,75	3,23	2,48	1,73	2,75	2,53	2,37	1,85
		c <sub>rp</sub>	55,8	56,1	50,4	52,5	54,7	58,1	61,2	57,2	58,0	58,5	60,3
		e <sub>pr</sub>	0,5	0,3	1,5	1,2	0,7	0,3	1,4	0,2	0,3	0,5	1,4

Tabelle 17. Koeffizienten a und c(Pr<sup>+</sup>) des bei turbulenter Strömung für η > 25 näherungsweise gültigen Temperaturgesetzes (ε<sub>h</sub>/ε<sub>m</sub>)(θ<sub>w</sub>-θ)/θ<sup>+</sup> = a ln η + c(Pr<sup>+</sup>), angewandt auf die verschiedenen Strömungsquerschnitte bei q<sub>w</sub>=konst.: a<sub>rp</sub>(Pr<sup>+</sup>, Re<sub>T</sub>) und c<sub>rp</sub>(Pr<sup>+</sup>, Re<sub>T</sub>), a<sub>p</sub>(Pr<sup>+</sup>) und c<sub>p</sub>(Pr<sup>+</sup>), a als Bestwert für c(Pr<sup>+</sup>)/f(Re<sub>T</sub>). Die Werte e gehen in Prozent die mittleren quadratischen Abweichungen gegenüber den genauen Ergebnissen an: e<sub>pr</sub>(Pr<sup>+</sup>, Re<sub>T</sub>) und e<sub>p</sub>(Pr<sup>+</sup>) unter Zugrundelegung von a<sub>p</sub> und c<sub>p</sub>(Pr<sup>+</sup>), e(Pr<sup>+</sup>) und e<sub>m</sub> unter Zugrundelegung von a und c(Pr<sup>+</sup>)

Pr <sup>+</sup>	Re <sub>T</sub>		T	PS	PAS	(r <sub>1</sub> /r <sub>2</sub> ) <sub>1</sub>				p/d			
						0,7	0,4	0,2	0,1	1,25	1,60	1,95	3,50
10	3 · 10 <sup>5</sup>	a <sub>rp</sub>	2,99	2,93	3,58	3,43	3,02	2,44	1,83	2,71	2,53	2,39	1,98
		c <sub>rp</sub>	56,3	56,4	52,2	53,9	55,8	58,4	61,4	57,3	58,1	58,7	60,2
		e <sub>pr</sub>	0,8	0,5	2,2	1,7	0,9	0,6	2,2	0,2	0,4	0,7	2,1
	10 <sup>6</sup>	a <sub>rp</sub>	2,88	2,84	3,33	3,21	2,88	2,43	1,97	2,64	2,50	2,40	2,12
		c <sub>rp</sub>	56,4	56,6	52,8	54,8	56,0	58,4	60,5	57,6	58,3	58,7	59,9
		e <sub>pr</sub>	1,5	1,1	3,4	2,5	1,9	0,5	2,4	0,5	0,5	0,9	2,5
10 <sup>4</sup> ...	a <sub>p</sub>	3,00	2,97	3,73	3,56	3,12	2,56	2,16	2,75	2,58	2,47	2,27	
10 <sup>6</sup>	c <sub>p</sub>	56,7	56,4	52,5	53,9	55,6	57,0	57,6	57,2	57,6	57,8	57,3	
	e <sub>p</sub>	0,6	0,3	1,6	1,2	0,6	0,5	1,7	0,2	0,3	0,6	1,6	
100	4 · 10 <sup>3</sup>	a <sub>rp</sub>	3,86	3,47	5,96	5,29	4,09	2,58	1,41	2,98	2,54	2,15	1,30
		c <sub>rp</sub>	361	358	347	350	352	350	343	358	357	355	345
		e <sub>pr</sub>	1,5	0,3	1,9	0,6	0,3	2,1	5,2	0,3	0,9	1,6	4,7
	10 <sup>4</sup>	a <sub>rp</sub>	3,62	3,37	5,36	5,03	4,00	2,73	1,65	2,94	2,57	2,28	1,39
		c <sub>rp</sub>	360	358	347	350	354	356	354	359	359	358	355
		e <sub>pr</sub>	0,8	0,3	1,3	0,6	0,3	0,6	1,8	0,1	0,2	0,5	1,7
	3 · 10 <sup>4</sup>	a <sub>rp</sub>	3,34	3,19	4,60	4,27	3,60	2,59	1,70	2,86	2,56	2,34	1,70
		c <sub>rp</sub>	359	358	347	352	355	358	360	359	360	360	360
		e <sub>pr</sub>	0,2	0,1	0,5	0,3	0,3	0,1	0,3	0,1	0,1	0,1	0,3
	10 <sup>5</sup>	a <sub>rp</sub>	3,14	3,05	4,05	3,80	3,26	2,49	1,73	2,76	2,53	2,37	1,85
		c <sub>rp</sub>	359	358	348	354	356	359	362	359	360	361	361
		e <sub>pr</sub>	0,2	0,1	0,4	0,3	0,1	0,2	0,6	0,0	0,1	0,1	0,5
3 · 10 <sup>5</sup>	a <sub>rp</sub>	3,00	2,94	3,63	3,48	3,04	2,44	1,82	2,71	2,52	2,38	1,97	
	c <sub>rp</sub>	359	358	349	356	357	359	362	359	360	361	362	
	e <sub>pr</sub>	0,3	0,2	0,7	0,4	0,3	0,1	0,7	0,1	0,1	0,2	0,7	
10 <sup>4</sup> ...	a <sub>p</sub>	2,82	2,89	3,55	3,52	3,07	2,63	2,56	2,70	3,45	2,54	2,72	
3 · 10 <sup>5</sup>	e <sub>p</sub>	361	359	352	357	358	358	355	359	363	360	356	
	e <sub>p</sub>	0,3	0,1	0,5	0,3	0,2	0,2	0,7	0,1	0,1	0,2	0,6	

Tabelle 17 - Fortsetzung

Pr <sup>+</sup>	Re <sub>T</sub>		T	PS	PAS	(r <sub>1</sub> /r <sub>2</sub> ) <sub>1</sub>				p/d			
						0,7	0,4	0,2	0,1	1,25	1,60	1,95	3,50
1000	4·10 <sup>3</sup>	a <sub>rp</sub>	3,95	3,48	6,01	5,40	3,97	2,59	1,41	3,01	2,73	2,41	1,34
		c <sub>rp</sub>	2230	2210	2190	2200	2200	2180	2130	2200	2200	2180	2140
		e <sub>pr</sub>	1,0	0,3	1,4	0,2	0,0	1,0	2,7	0,0	0,3	0,7	2,5
	10 <sup>4</sup>	a <sub>rp</sub>	3,63	3,39	5,43	5,05	3,96	2,79	1,59	2,92	2,58	2,18	1,31
		c <sub>rp</sub>	2220	2200	2180	2200	2200	2190	2170	2200	2210	2210	2180
		e <sub>pr</sub>	0,5	0,2	0,8	0,2	0,3	0,1	0,8	0,1	0,0	0,1	0,8
3·10 <sup>4</sup>	a <sub>rp</sub>	3,33	3,14	4,61	4,27	3,64	2,59	1,69	2,84	2,57	2,31	1,71	
	c <sub>rp</sub>	2200	2200	2170	2200	2200	2200	2190	2200	2210	2210	2200	
	e <sub>pr</sub>	0,1	0,00	0,2	0,1	0,2	0,1	0,1	0,0	0,0	0,0	0,1	
10 <sup>5</sup>	a <sub>rp</sub>	3,12	3,04	4,03	3,80	3,25	2,47	1,73	2,76	2,54	2,36	1,84	
	c <sub>rp</sub>	2200	2200	2170	2200	2200	2200	2190	2200	2210	2210	2200	
	e <sub>pr</sub>	0,2	0,1	0,2	0,2	0,1	0,1	0,3	0,1	0,0	0,0	0,2	
3·10 <sup>5</sup>	a <sub>rp</sub>	3,03	2,94	3,64	3,48	3,05	2,44	1,82	2,72	2,51	2,38	1,95	
	c <sub>rp</sub>	2200	2200	2170	2200	2200	2200	2190	2210	2210	2210	2200	
	e <sub>pr</sub>	0,1	0,0	0,3	0,1	0,3	0,1	0,2	0,1	0,1	0,1	0,3	
10 <sup>4</sup> ... 3·10 <sup>5</sup>	a <sub>p</sub>	2,16	2,62	2,58	3,56	2,47	2,52	3,51	2,67	2,63	2,71	1,17	
	c <sub>p</sub>	2210	2210	2180	2200	2200	2200	2190	2210	2210	2210	2190	
	e <sub>p</sub>	0,2	0,1	0,3	0,1	0,2	0,1	0,3	0,0	0,0	0,1	0,3	
1..... 1000	a	e <sub>m</sub>	2,87	2,83	3,30	3,19	2,88	2,45	2,04	2,65	2,51	2,42	2,16
		e	1,7	1,1	5,1	4,1	2,4	1,5	4,9	0,7	1,2	2,0	4,8
1	c	e	3,83	3,90	1,63	2,34	3,61	5,33	6,68	4,56	5,04	5,29	5,91
		e	2,0	1,4	6,3	5,1	2,9	1,9	6,3	0,9	1,6	2,5	6,0
10	≥10 <sup>4</sup>	c	57,4	57,2	55,1	56,1	57,0	57,9	58,3	57,7	58,0	58,1	57,9
		e	0,9	0,5	2,4	1,8	1,1	0,8	2,4	0,3	0,5	0,8	2,3
100	c	e	360	360	353	359	359	359	358	360	360	360	359
		e	0,4	0,2	0,7	0,4	0,3	0,3	0,9	0,1	0,1	0,2	0,9
1000	c	e	2210	2210	2170	2200	2200	2200	2190	2210	2210	2210	2200
		e	0,2	0,1	0,4	0,1	0,2	0,1	0,4	0,1	0,0	0,1	0,4

Tabelle 17 - Fortsetzung

Funktion	Fall (Abschnitt)					
	T (4.2.1)		PS (4.2.2)	PAS (4.2.3)	A (4.2.4)	B (4.2.5)
	Abb.	Abs.	Abb.	Abb.	Abb.	Abb.
$\theta(y^+, Re=c, Pr^+=c)$	38	a1	60	67	81	94
$\theta(y^+, Pr^+=c, F_0=c)$	39	a6	61	68	82	95
$Nu(Re, Pr=0)$	48	d1	48	48	48	48
$Nu(Re, Pr^+=c)$	49	d2	62	69	-	-
$Nu(Pr^+, Re=c)$	50	d3	63	70	-	-
$Nu=a+bRe^c Pr^+d$	51	d4	64	71	-	-
$Nu=a+b(RePr^+)^c$	52	d5	52	52	91	91
$f(Pr^+) - \text{Glg. (207, 215)}$	53	d6	53	53	(53)	(53)
$Nu/Nu_q(F_0, Re=c, Pr^+=c)$	54	d7	-	-	-	100
$Nu(Pe) - \text{Exp.}$	55/56	d8	-	72	92	101
$Nu(Re, Pr=c) - \text{Exp.}$	57/58	d9	65	-	-	102
$x_e/d(Re, Pr^+=c)$	59	e	66	73	-	-
	Tab.	Abs.	Tab.	Tab.	Tab.	Tab.
$Nu/Nu_q \left. \vphantom{Nu/Nu_q} \right\} (F_0, Re=c, Pr^+=c)$	10	d7/c	11	11	12	13
$\theta_m(Re=c, Pr^+=c)$	15	e	15	15	14	15
$(\epsilon_h/\epsilon_m)(\vartheta_w - \vartheta)/\vartheta^+ = a \ln \eta + c(Pr^+)$	17	a5	17	17	17	17

Tabelle 18. Verzeichnis gleichwertiger Darstellungen in Abbildungen und Tabellen



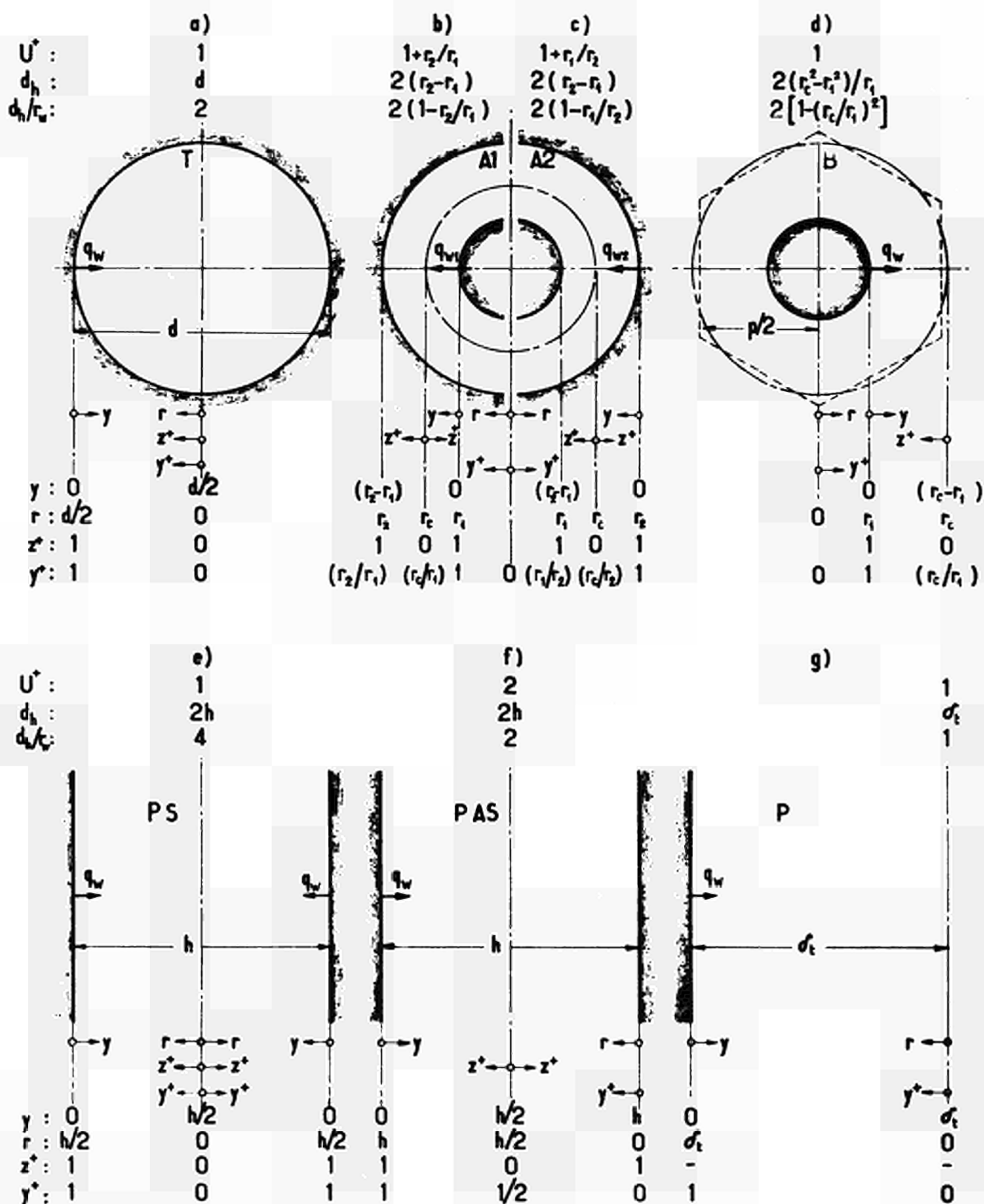


ABB. 1. Zusammenstellung der geometrischen Daten und der Bezeichnungen für die verschiedenen Strömungsquerschnitte. -a)Rohr (T) -b)Ringspalt, Wärmeaustausch am inneren Zylinder (A1) -c)Ringspalt, Wärmeaustausch am äußeren Zylinder (A2) -d)Rohrbündel (B) -e)Parallele Platten, symmetrischer Wärmeaustausch (PS) -f)Parallele Platten, asymmetrischer Wärmeaustausch (PAS) -g)Ebene Platte

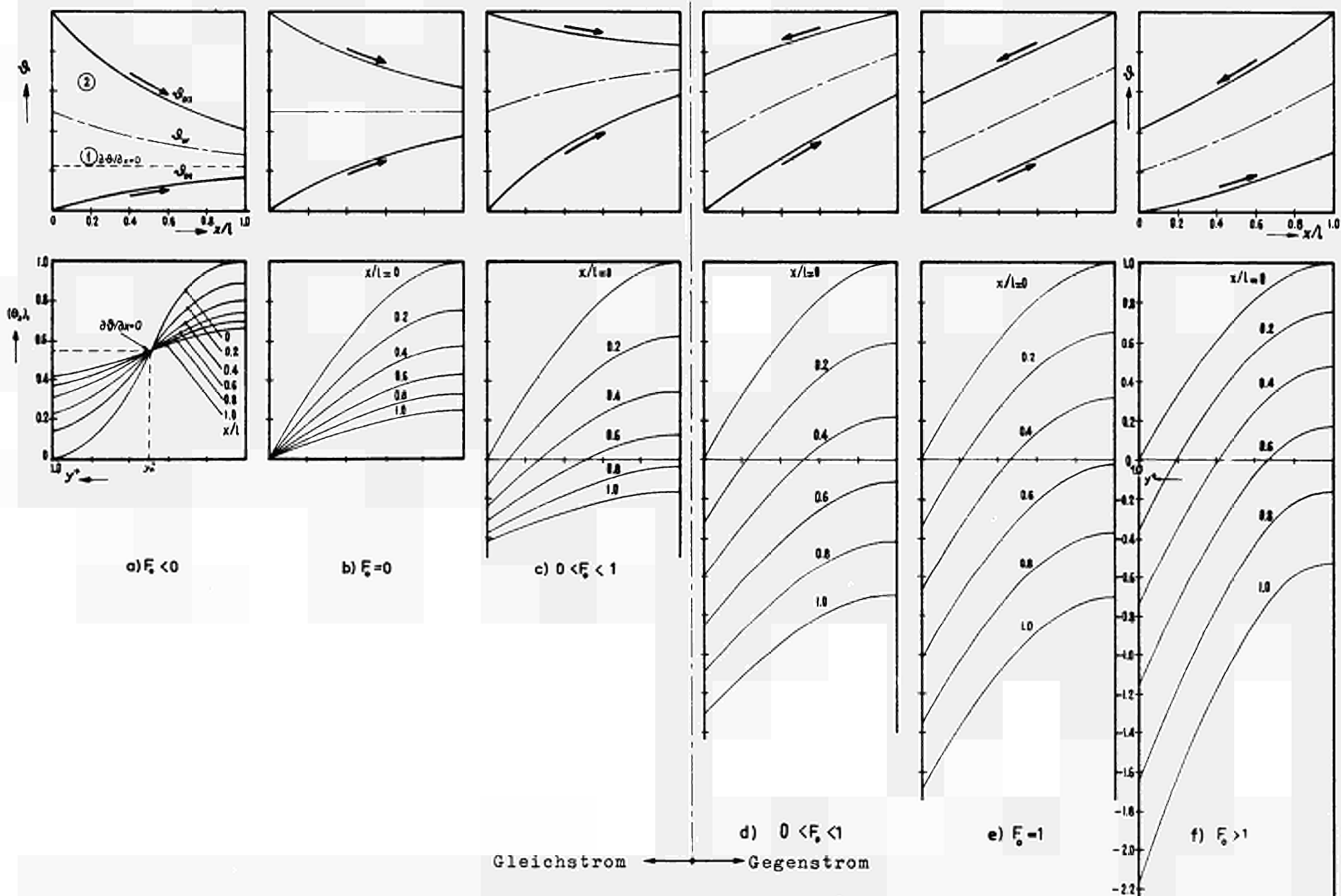


ABB.2. Temperaturverteilungen  $\vartheta_0=f_1(x/l)$ ,  $\vartheta_w=f_2(x/l)$  und  $(\vartheta_x)_1=f_3(y^+, x/l)$  für verschiedene Bereiche bzw. Werte des Parameters der Wärmeflussverteilung  $F_0$  im Strömungsquerschnitt 1 eines Wärmeaustauschers

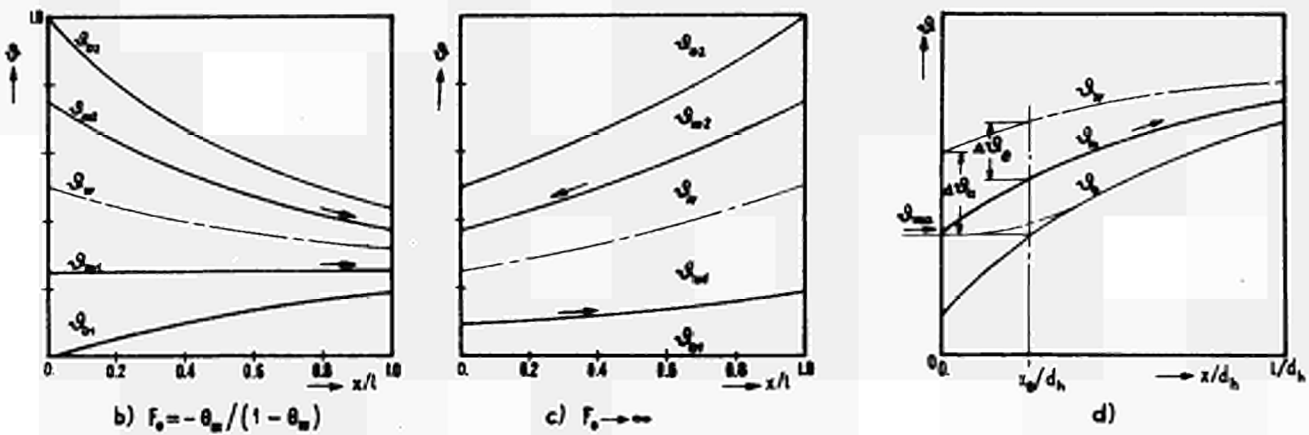
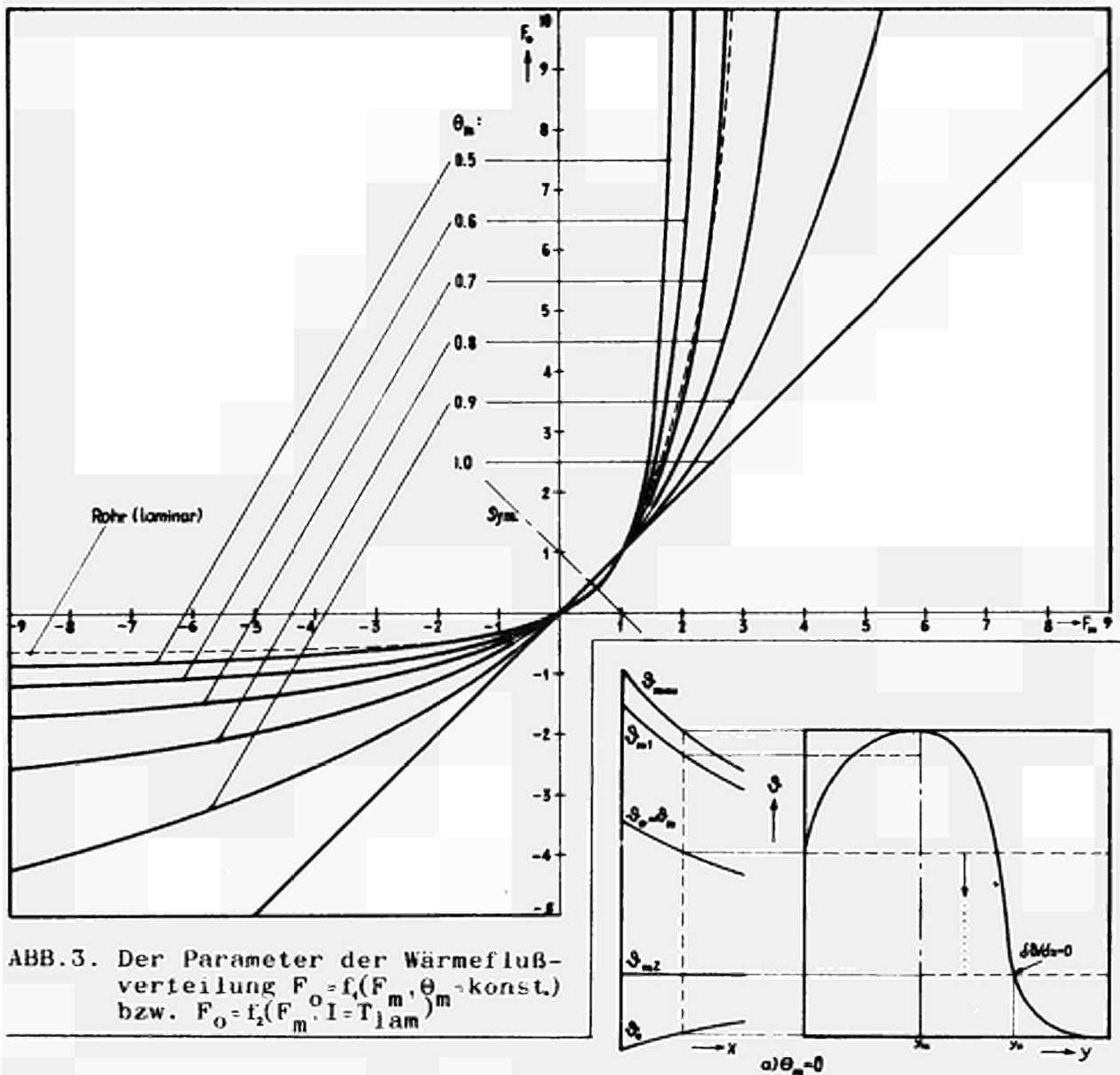


ABB.4. - a, b, c) Darstellung der Grenzfälle  $\theta_w = \theta_m$  ( $\theta_m = 0$ ),  $F_0 = -\theta_m / (1 - \theta_m)$  und  $F_0 \rightarrow \infty$  für den Strömungsquerschnitt 1 eines Wärmeaustauschers. d) Schema zur Herleitung des Mindestwertes  $x_e$  der thermischen Einlauf-länge

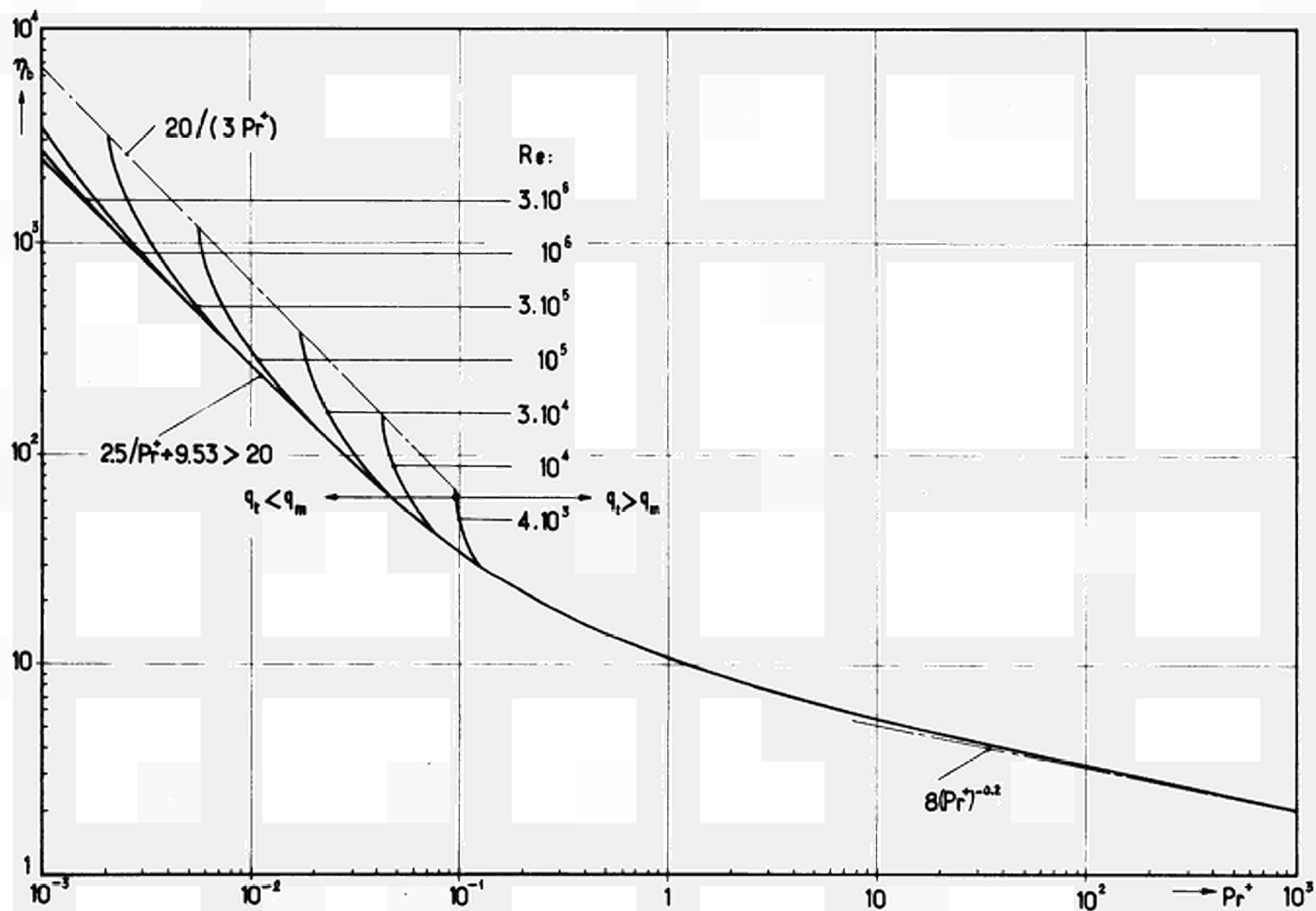


ABB.5. Dimensionsloser Wandabstand  $\eta_b = f(Pr^+, Re)$  für  $q_w = \text{konst.}$

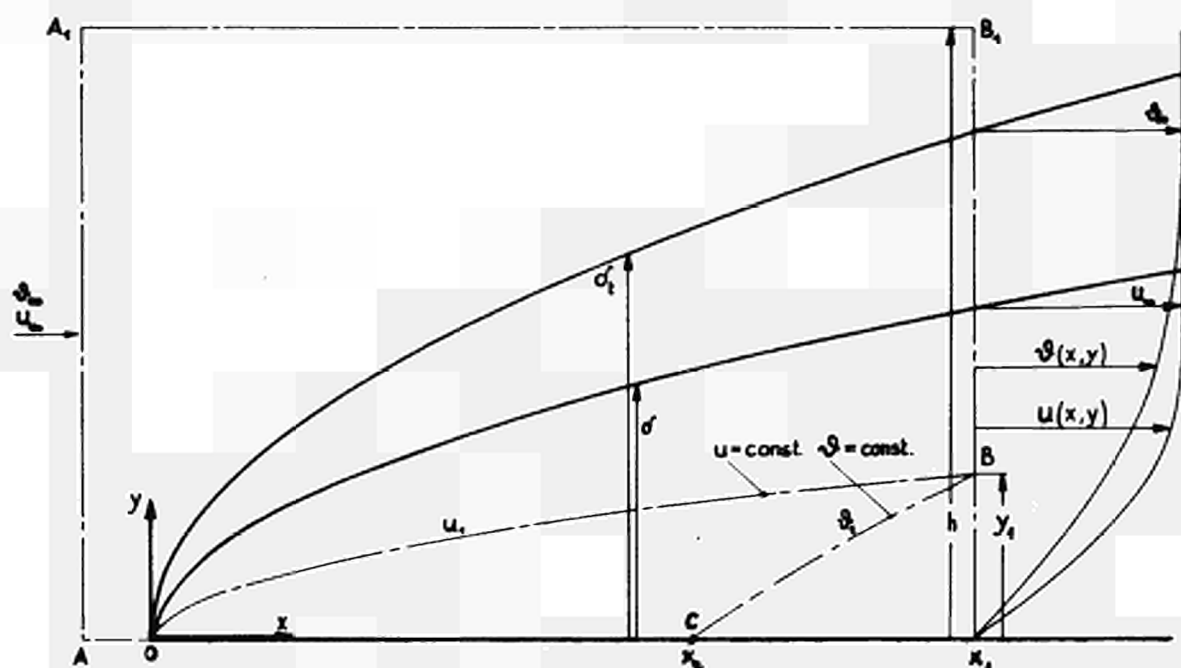


ABB.6. Schema zur Herleitung des wandnormalen Schubspannungs- und Wärmestromdichteverlaufs  $\tau/\tau_w=f_1(y/\delta)$  bzw.  $q/q_w=f_2(y/\delta)$  bei der längsangeströmten ebenen Platte

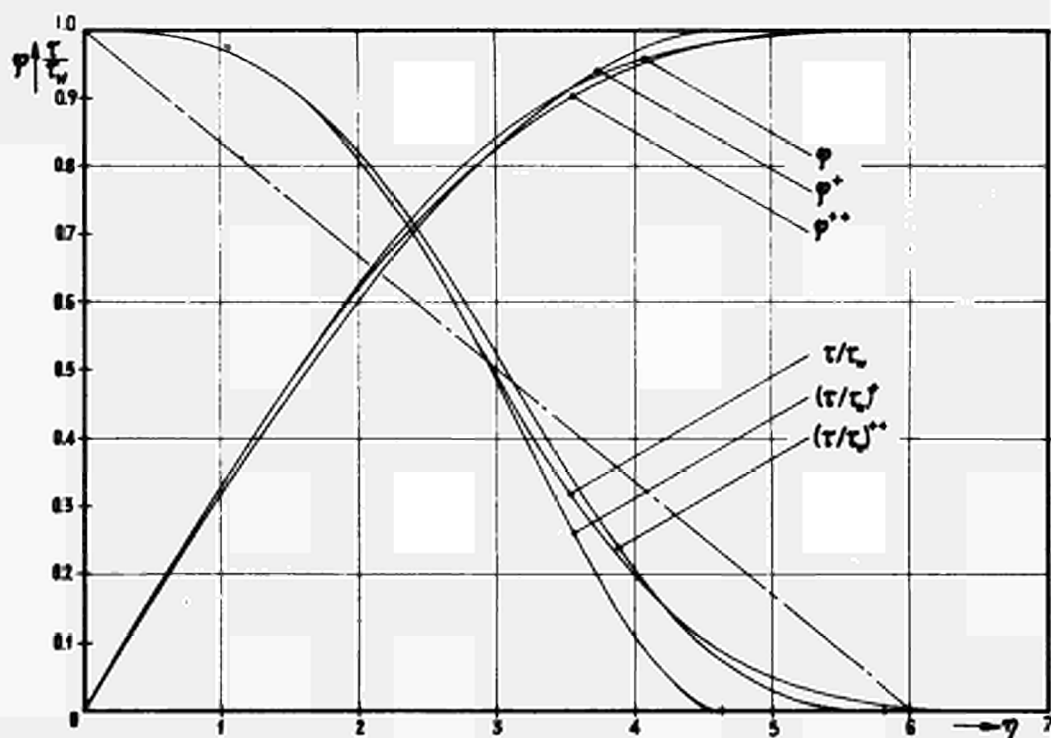


ABB.7. Geschwindigkeits- und Schubspannungsverlauf  $\varphi=f_1(\eta)$  bzw.  $\tau/\tau_w=f_2(\eta)$  der laminaren Plattenströmung, einschließlich ihrer Näherungslösungen  $\varphi^+=f_3(y/\delta)$ ,  $\varphi^{++}=f_4(y/\delta)$  bzw.  $(\tau/\tau_w)^+=f_5(y/\delta)$  und  $(\tau/\tau_w)^{++}=f_6(y/\delta)$

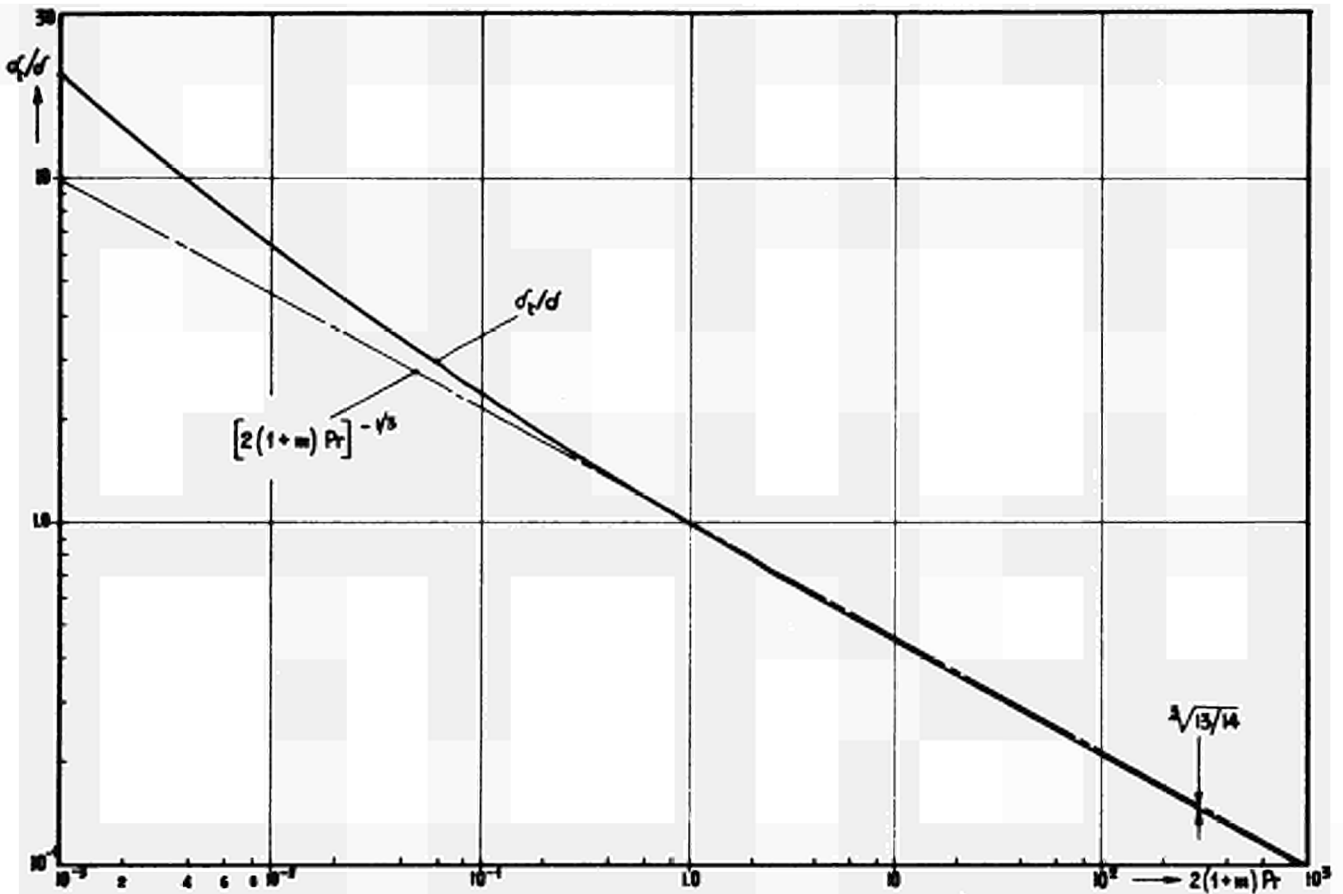


ABB.8. Verhältnis der thermischen zur hydrodynamischen Grenzschichtdicke  $\delta_t/\delta = f(2(1+m)Pr)$  für die laminare Plattenströmung

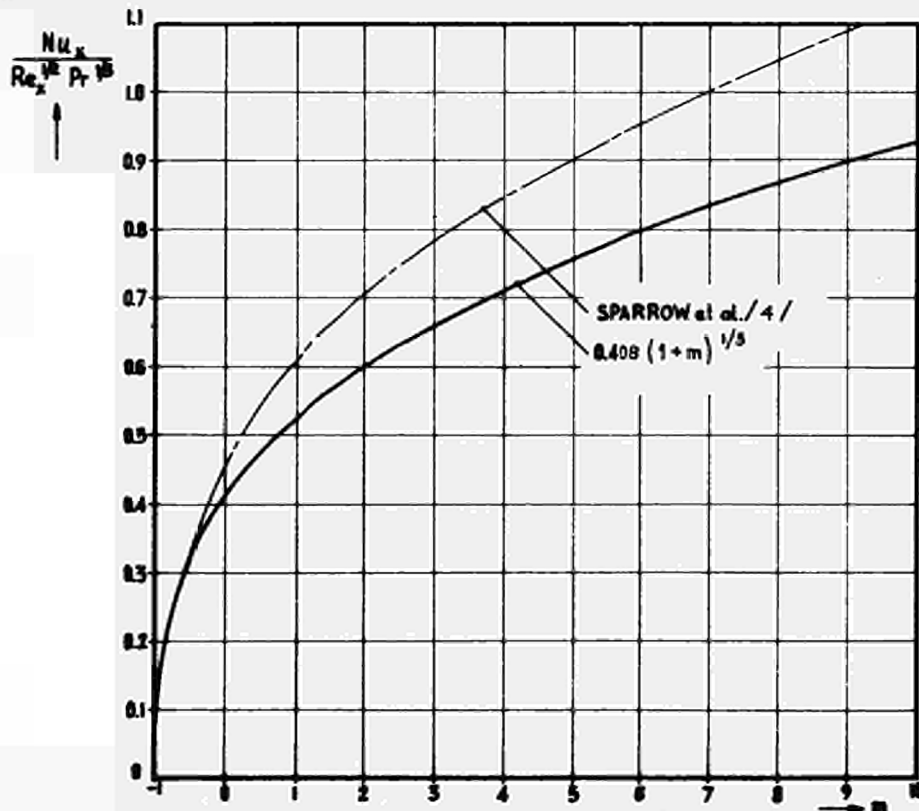


ABB. 9. Vergleich der aus dem Näherungsverfahren gewonnenen Beziehung  $Nu_x/(Re_x^{1/2} Pr^{1/3}) = f(m)$  mit den exakten Ergebnissen von Sparrow et al./4/ für die laminare Plattenströmung

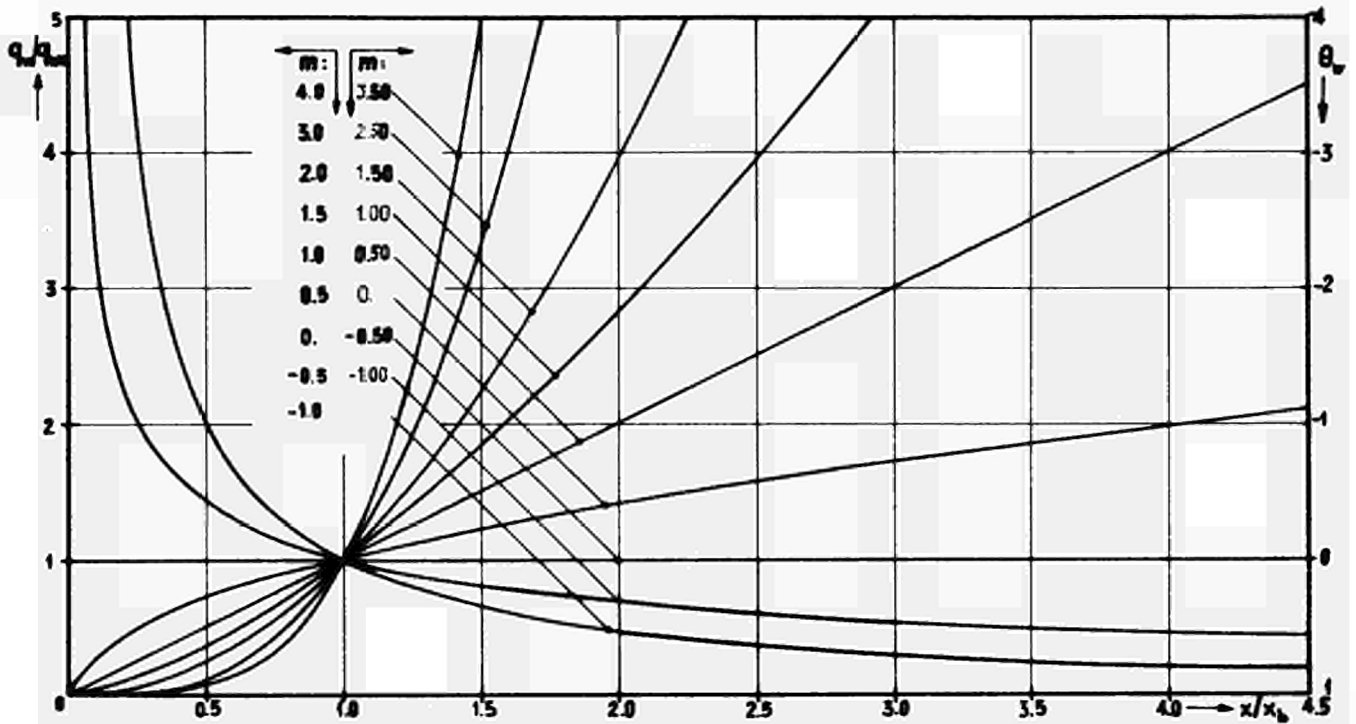


ABB.10. Beispiele für Längsverteilungen der Wärmestromdichte  $q_w/q_{wa}=f(m)$  und der Wandtemperatur  $\theta_w=f(m)$  bei der laminaren Plattenströmung

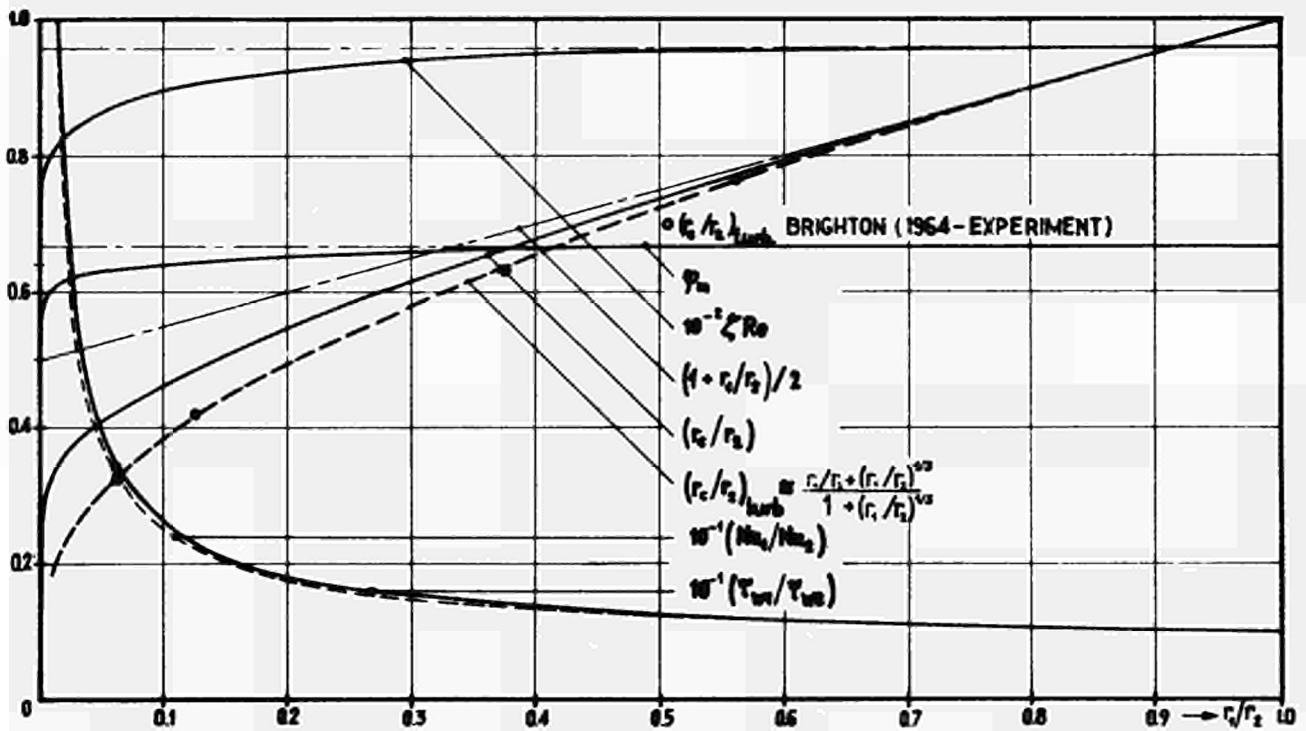


ABB.11. Konstante  $c=\zeta Re$ , Halbmessernfunktionen  $(1+r_1/r_2)/2$  und  $r_c/r_2$ , mittlere Geschwindigkeit  $\varphi_m$ , Verhältnis der Nußelt-Zahlen  $Nu_1/Nu_2$  ( $q_w=\text{konst.}$ ) und der Wandschubspannungen  $\tau_{w1}/\tau_{w2}$  für die laminare sowie  $r_c/r_2$  für die turbulente Strömung im Ringspalt

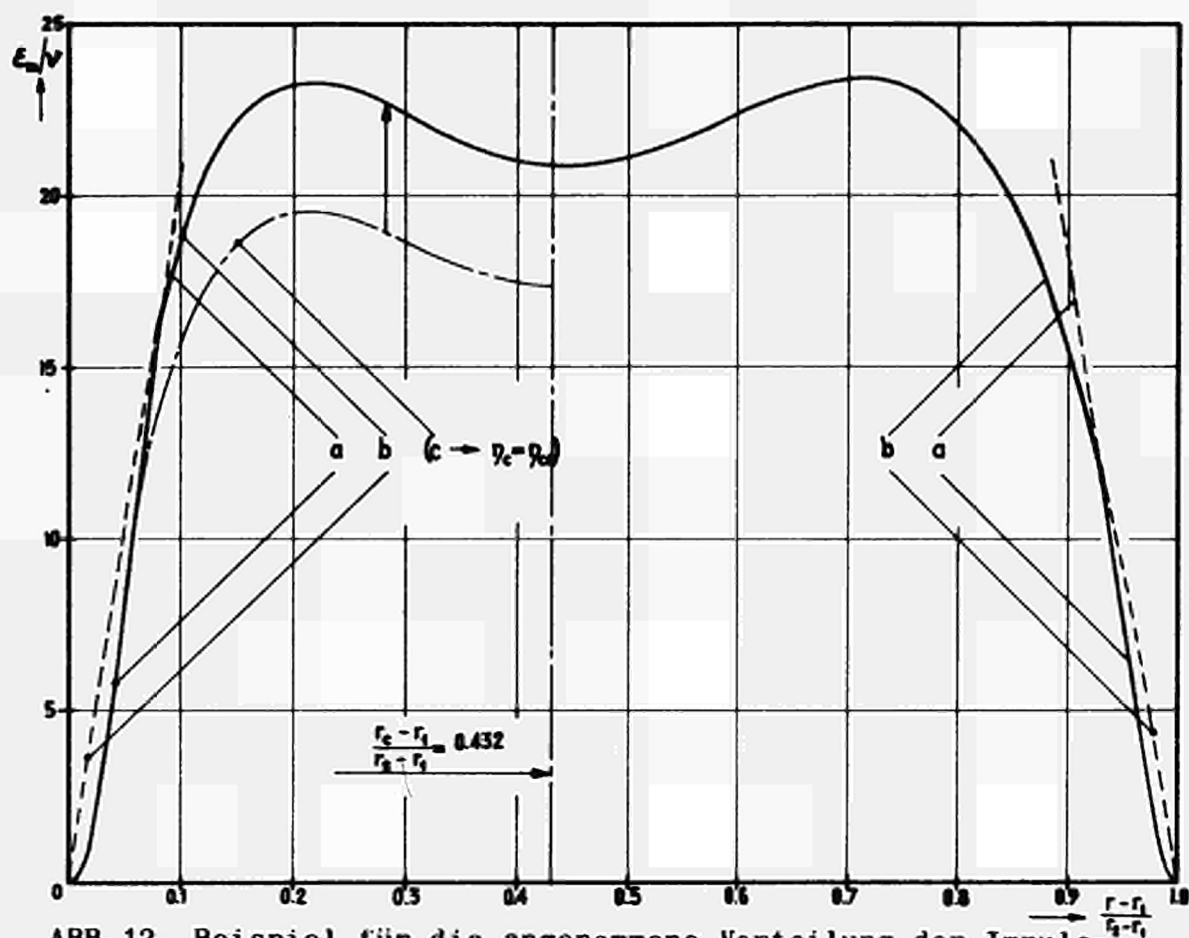


ABB.12. Beispiel für die angenommene Verteilung der Impuls-  
Austauschgröße  $\epsilon_m/\nu$  beim Ringspalt ( $r_1/r_2=0,4$  -  $Re=1,96 \cdot 10^6$ )  
-a: Glg.(1) -b: Glg.(173) -c: Glg.(2) für  $\eta_c=\eta_{c1}$

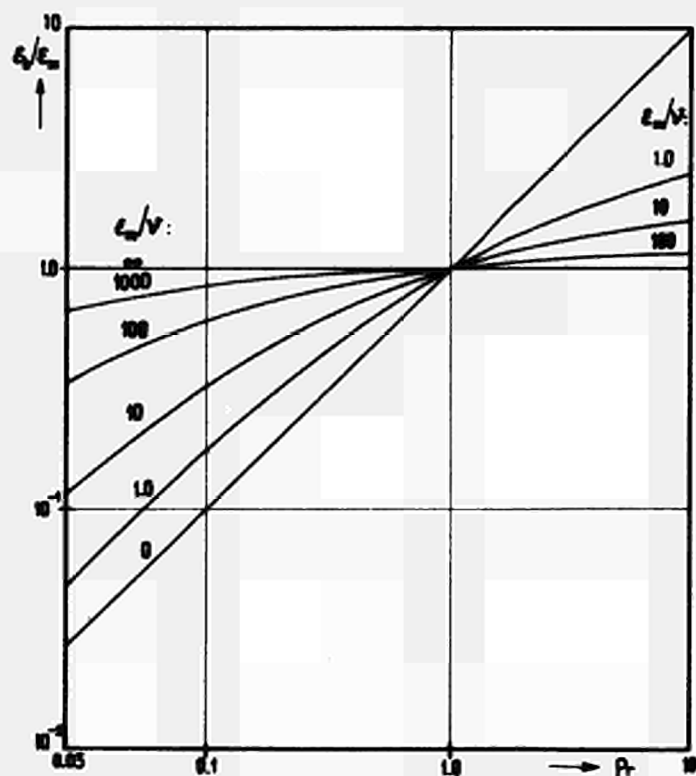


ABB.13. Verhältnis der Austauschgrößen für Wärme und Impuls  
 $\epsilon_h/\epsilon_m=f(Pr, \epsilon_m/\nu)$  nach Jenkins /11/



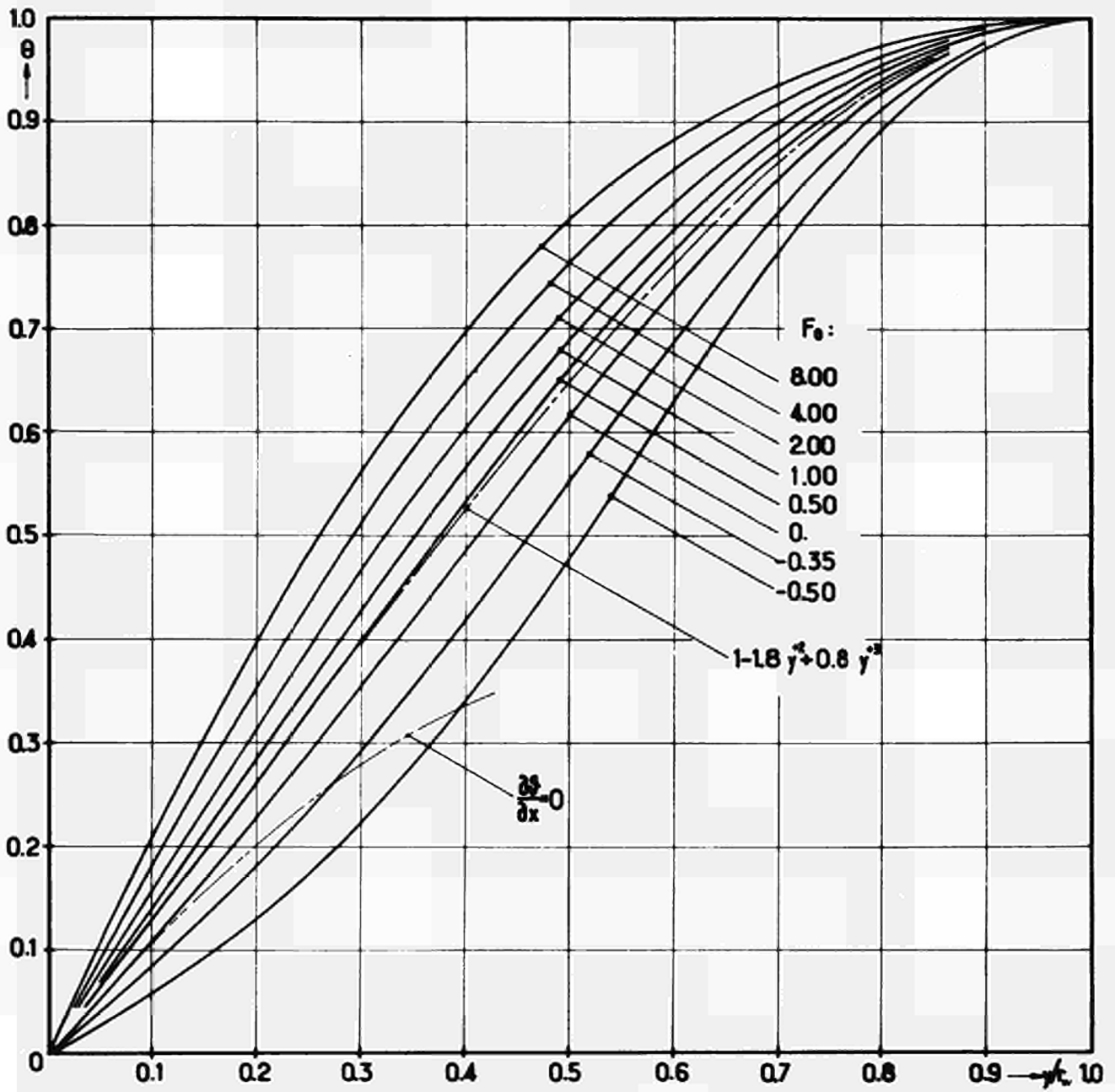


ABB. 14. Temperaturverlauf  $\theta=f(y/r_0, F_0)$  bei der laminaren Rohrströmung

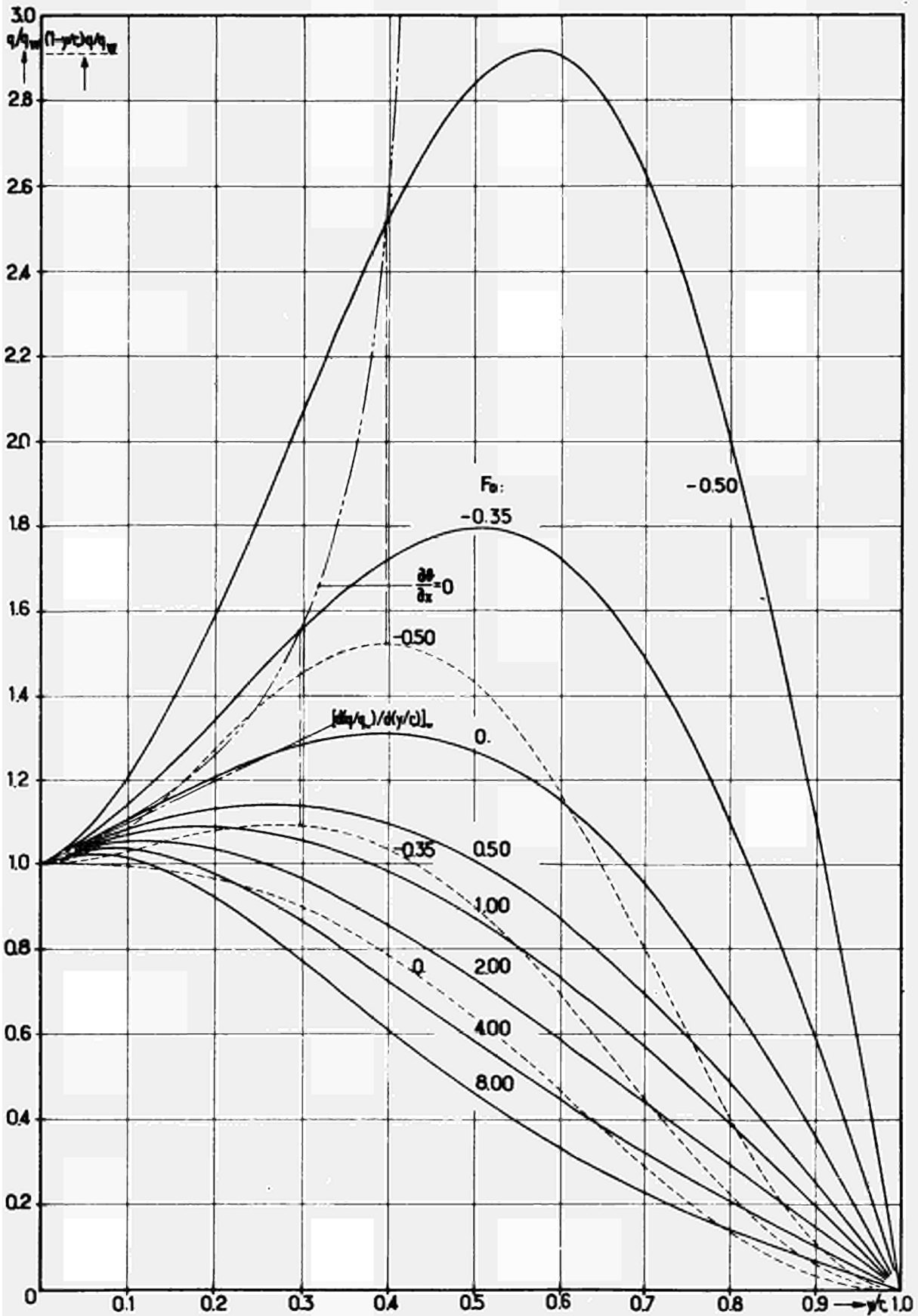


ABB. 15. Wandnormaler Wärmestromdichteverlauf  $q/q_w = f_1(y/r_w, F_0)$  bzw.  $(1-y/r_w)q/q_w = f_2(y/r_w, F_0)$  bei der laminaren Rohrströmung

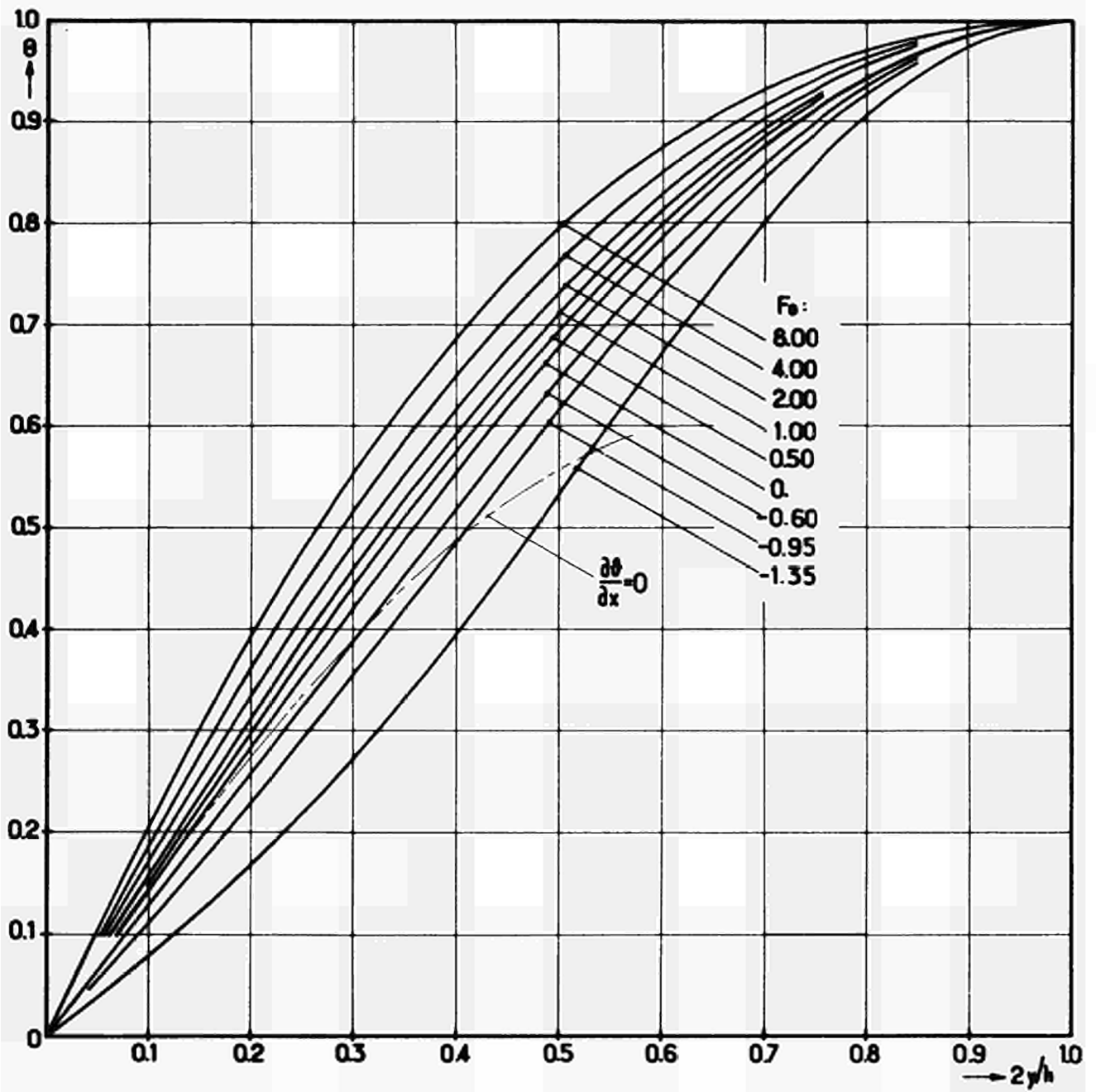


ABB. 16. Temperaturverlauf  $\theta = f(2y/h, F_0)$  bei der laminaren Strömung zwischen parallelen Platten, symmetrischer Wärmeaustausch

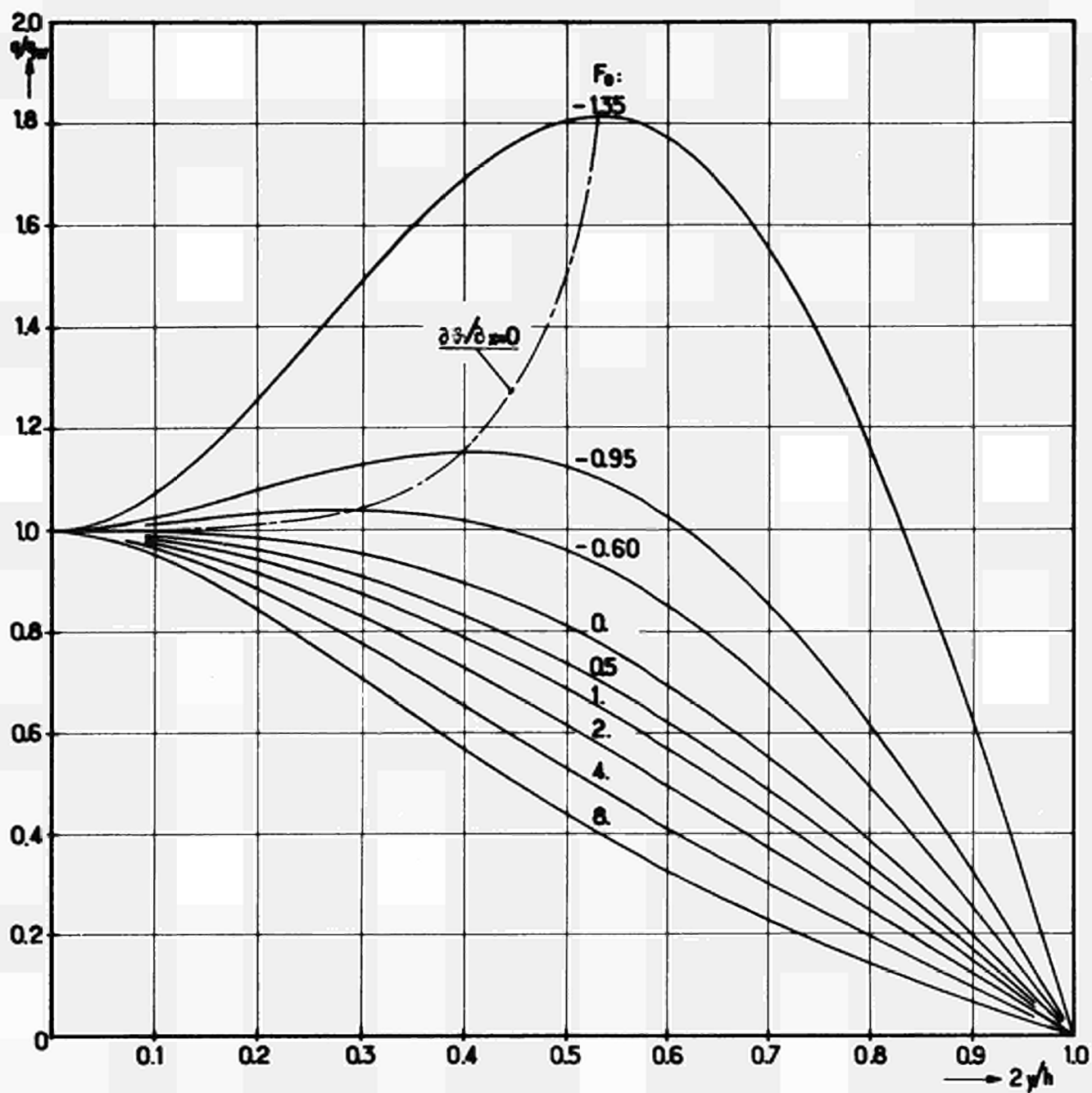


ABB. 17. Wandnormaler Wärmestromdichteverlauf  $q/q_w = f(2y/h, F_0)$  bei der laminaren Strömung zwischen parallelen Platten, symmetrischer Wärmeaustausch

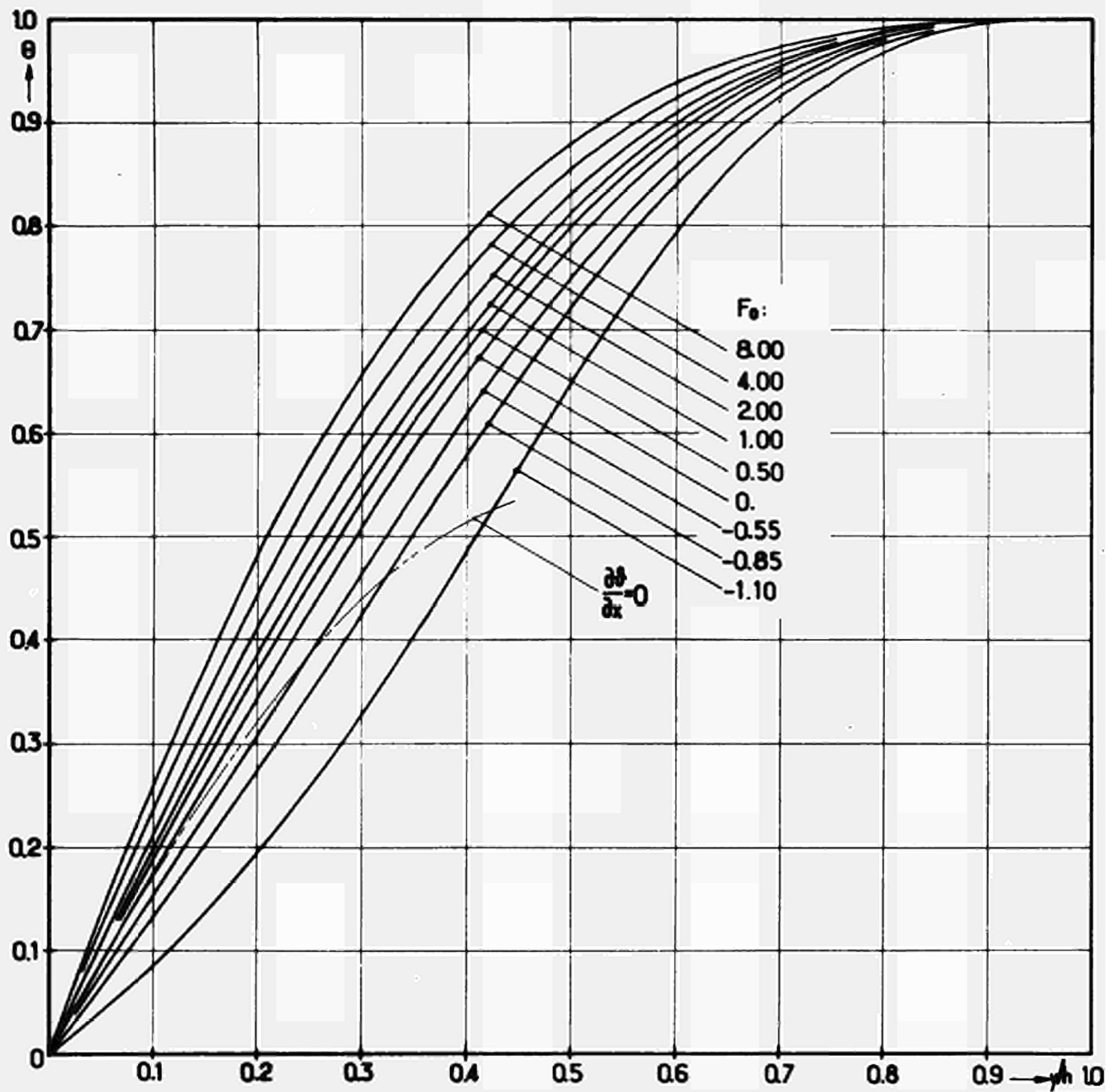


ABB. 18. Temperaturverlauf  $\theta=f(y/h, F_0)$  bei der laminaren Strömung zwischen parallelen Platten, asymmetrischer Wärmeaustausch

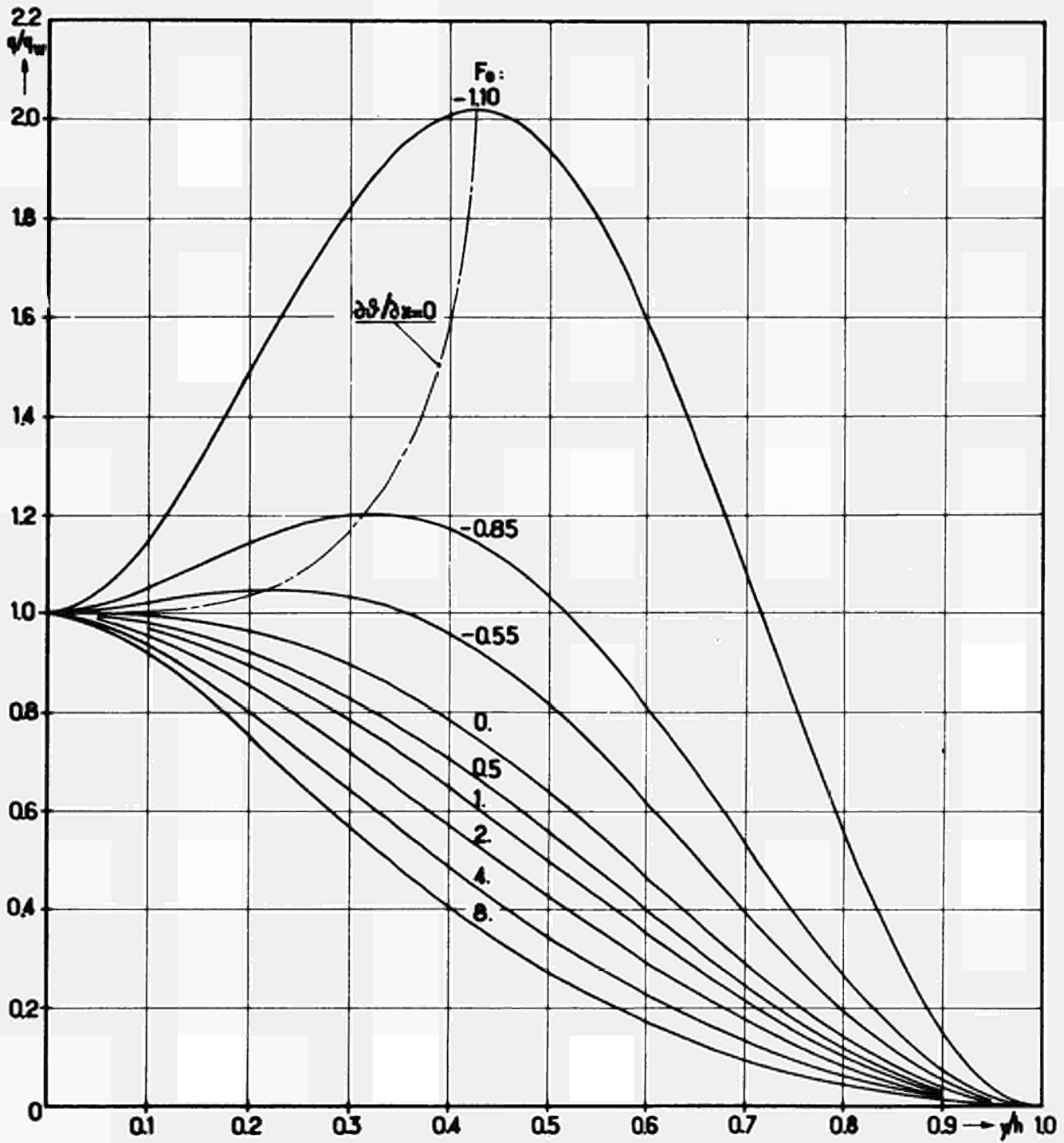


ABB. 19. Wandnormaler Wärmestromdichteverlauf  $q/q_w = f(y/h, F_0)$  bei der laminaren Strömung zwischen parallelen Platten, asymmetrischer Wärmeaustausch

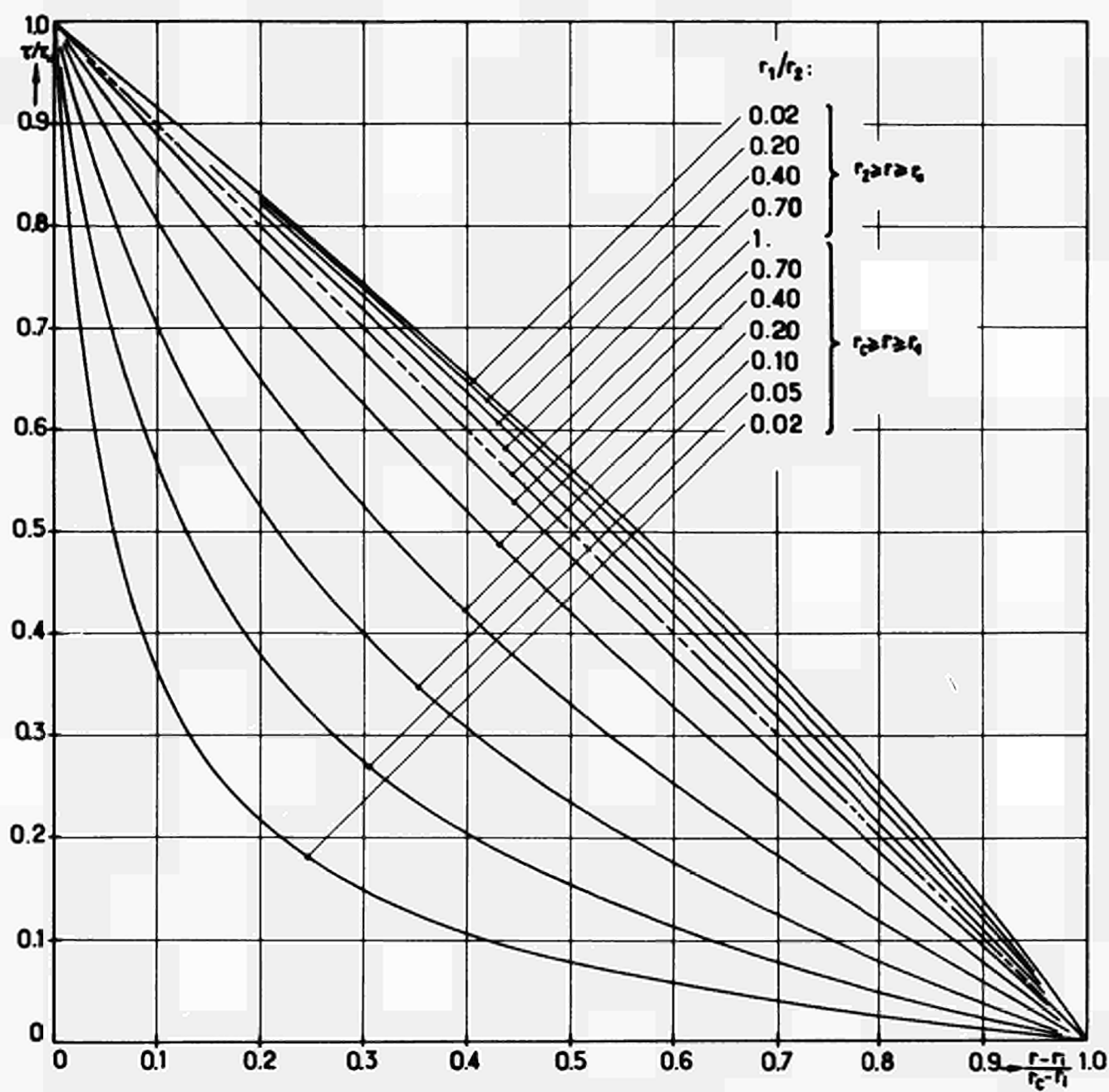


ABB.20. Schubspannungsverlauf  $\tau/\tau_w = f((r-r_i)/(r_c-r_i), r_1/r_2)$  bei laminarer und turbulenter Strömung im Ringspalt

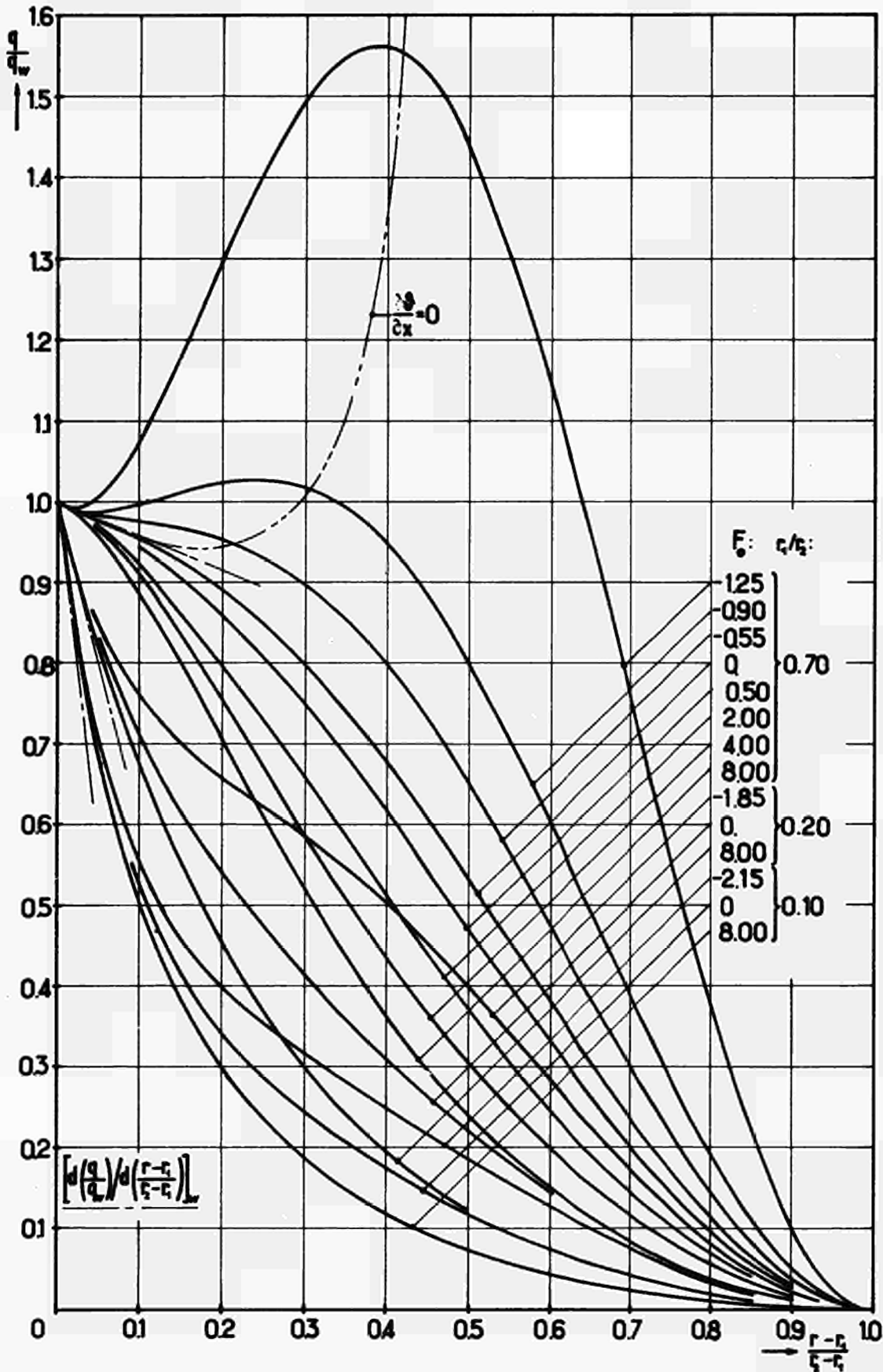


ABB.21. Wandnormaler Wärmestromdichteverlauf  $q/q_w = f((r-r_1)/(r_2-r_1))$ ,  $F_0, r_1/r_2$ ) bei laminarer Strömung im Ringspalt, Wärmeaustausch am inneren Zylinder



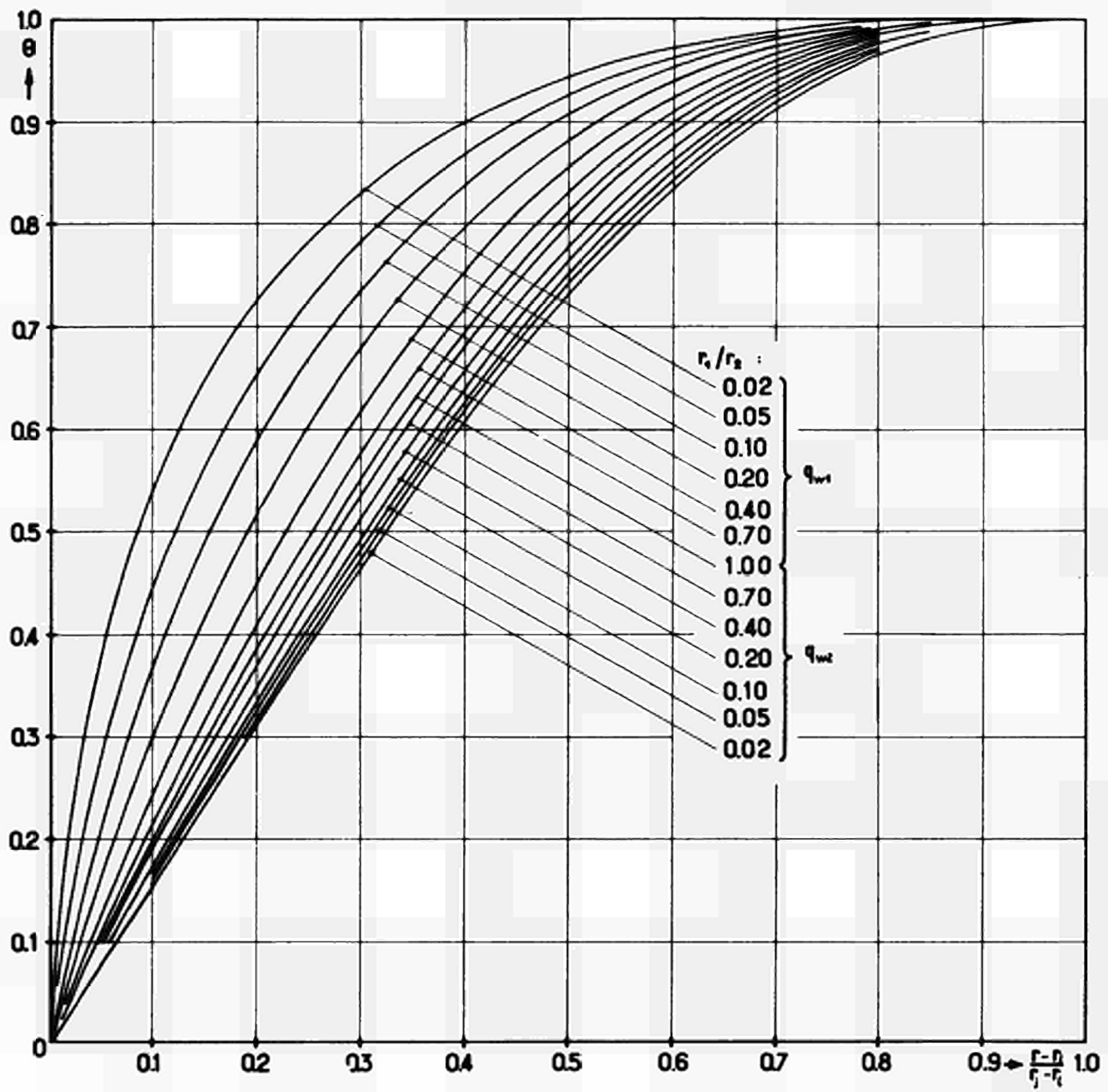


ABB.22. Temperaturverlauf  $\theta=f((r-r_i)/(r_j-r_i), r_1/r_2)$  bei laminarer Strömung im Ringspalt für  $q_w$ =konst.

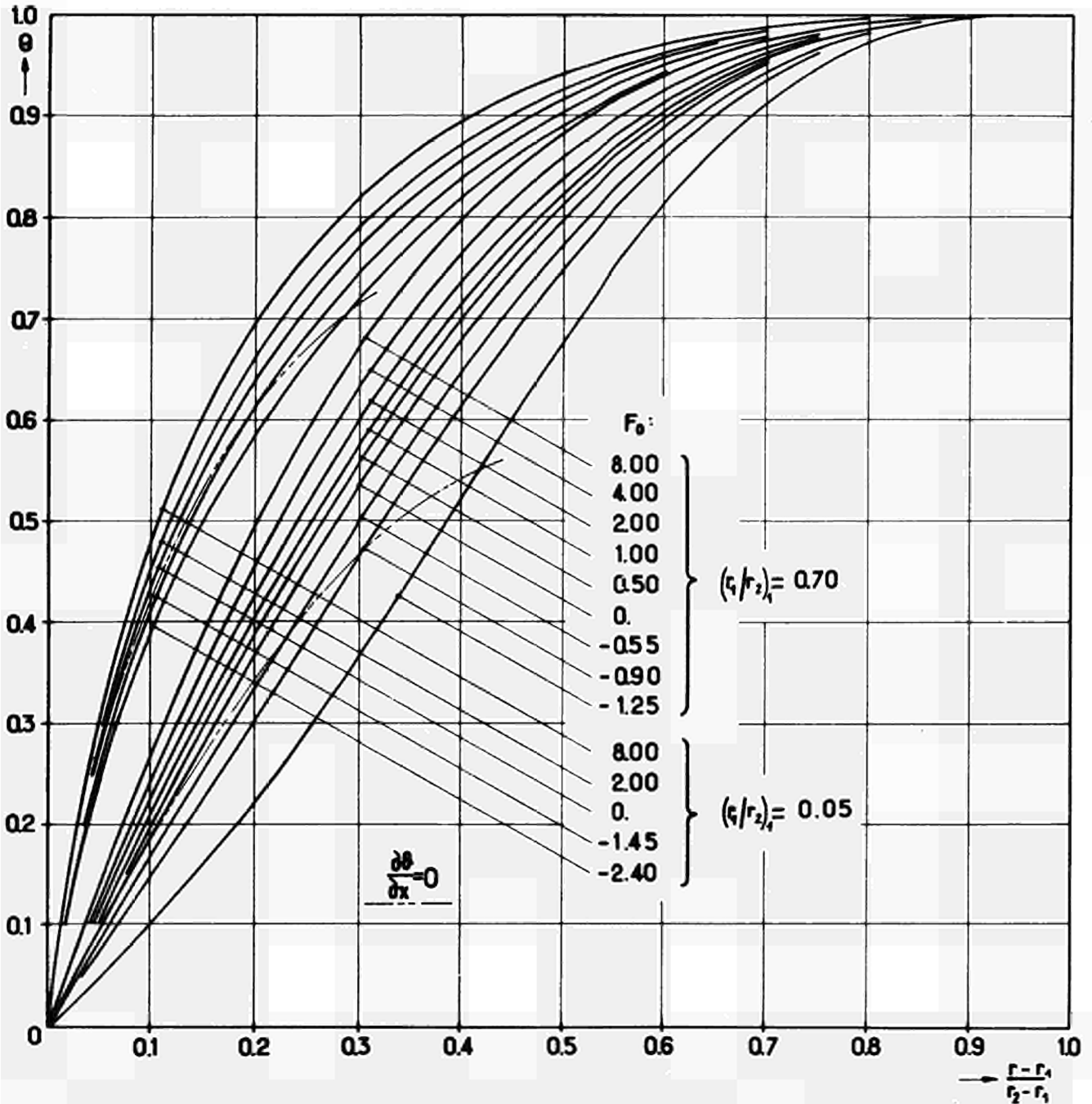


ABB. 23. Temperaturverlauf  $\theta = f((r-r_1)/(r_2-r_1), F_0)$  bei laminarer Strömung im Ringspalt, Wärmeaustausch am inneren Zylinder, für  $r_1/r_2 = 0,70$  und  $r_1/r_2 = 0,05$

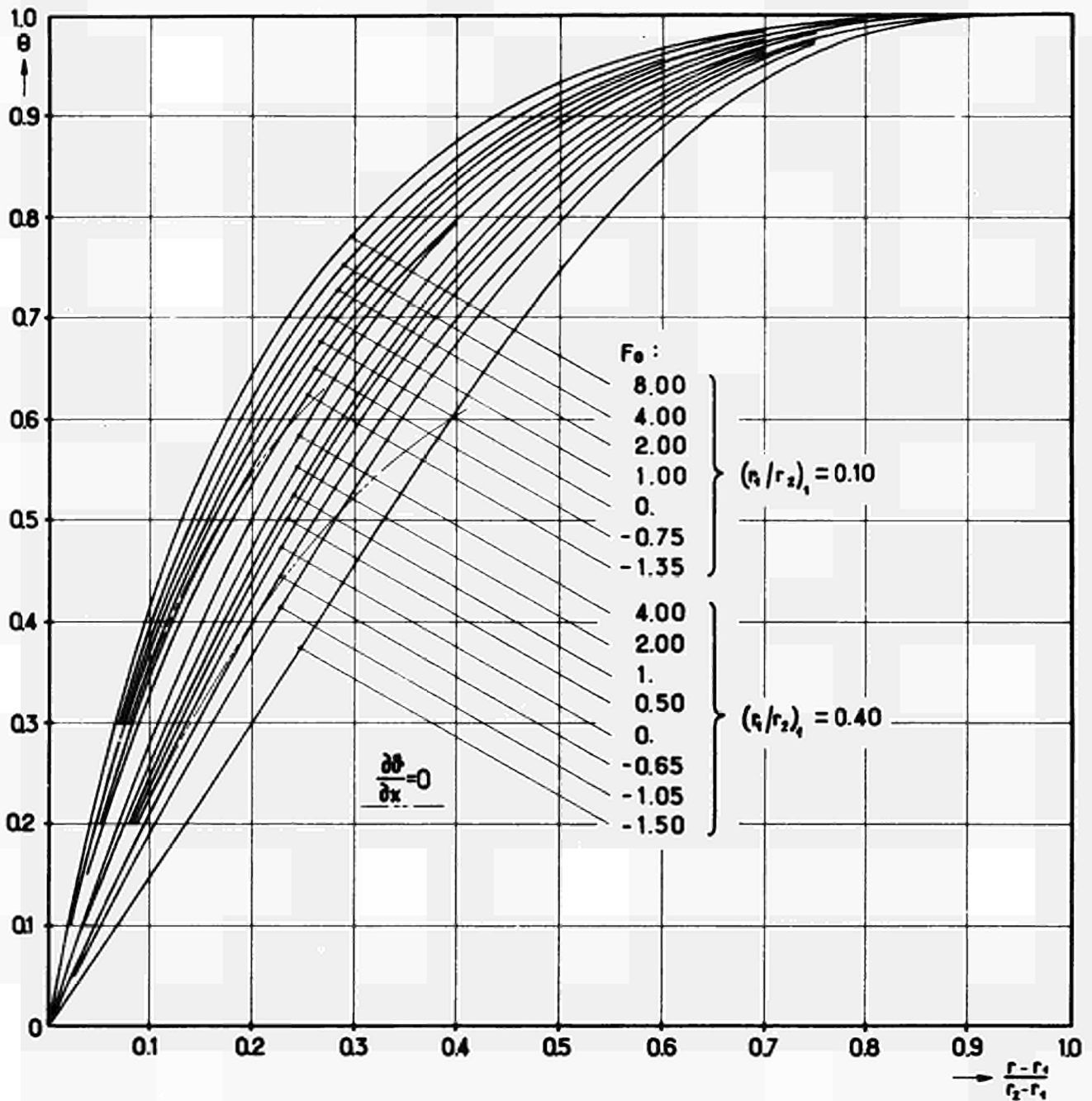


ABB.24. Temperaturverlauf  $\theta = f((r-r_1)/(r_2-r_1), F_0)$  bei laminarer Strömung im Ringspalt, Wärmeaustausch am inneren Zylinder, für  $r_1/r_2 = 0,40$  und  $r_1/r_2 = 0,10$

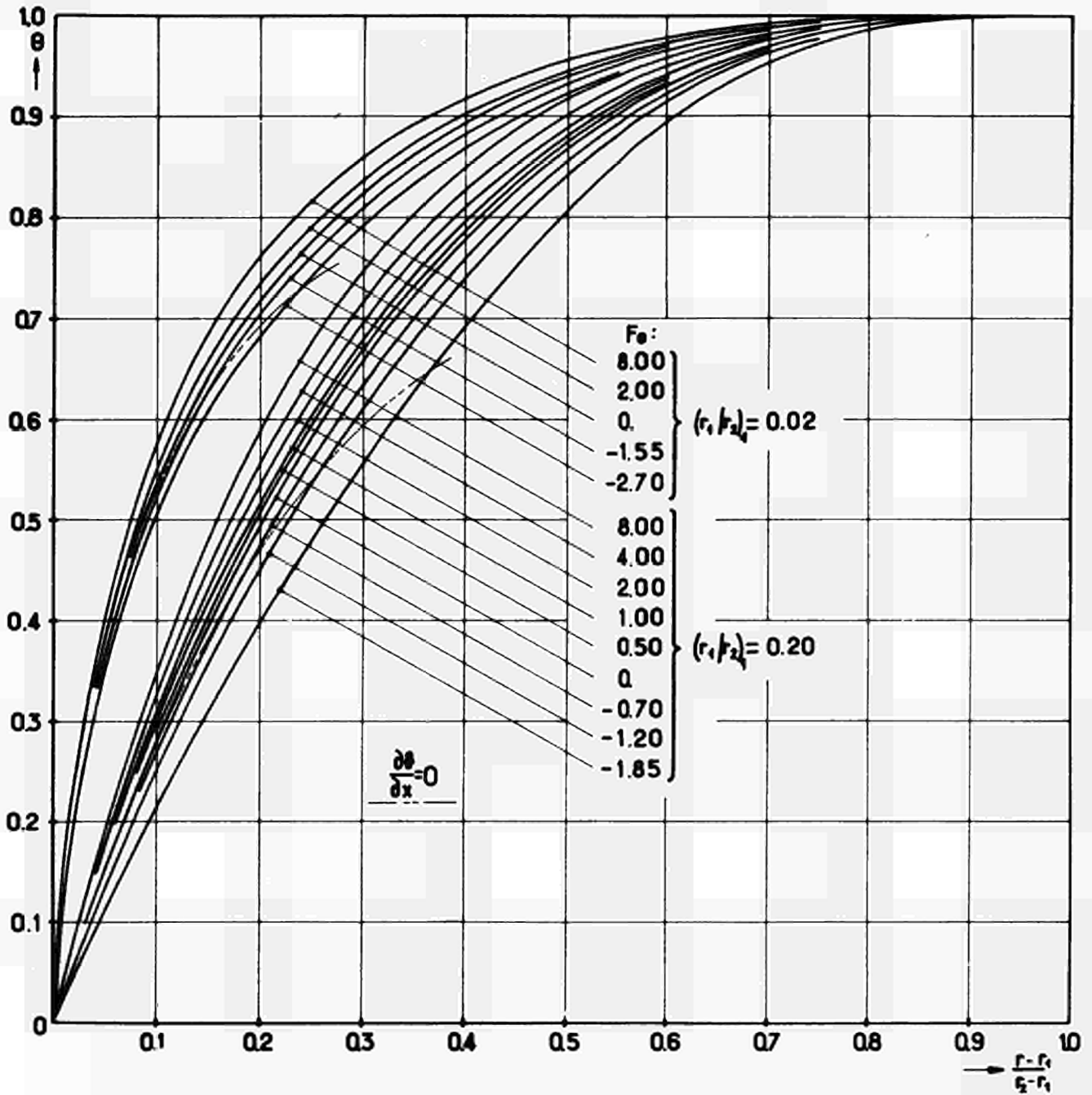


ABB. 25. Temperaturverlauf  $\theta = f((r-r_1)/(r_2-r_1), F_0)$  bei laminarer Strömung im Ringspalt, Wärmeaustausch am inneren Zylinder, für  $r_1/r_2 = 0,20$  und  $r_1/r_2 = 0,02$

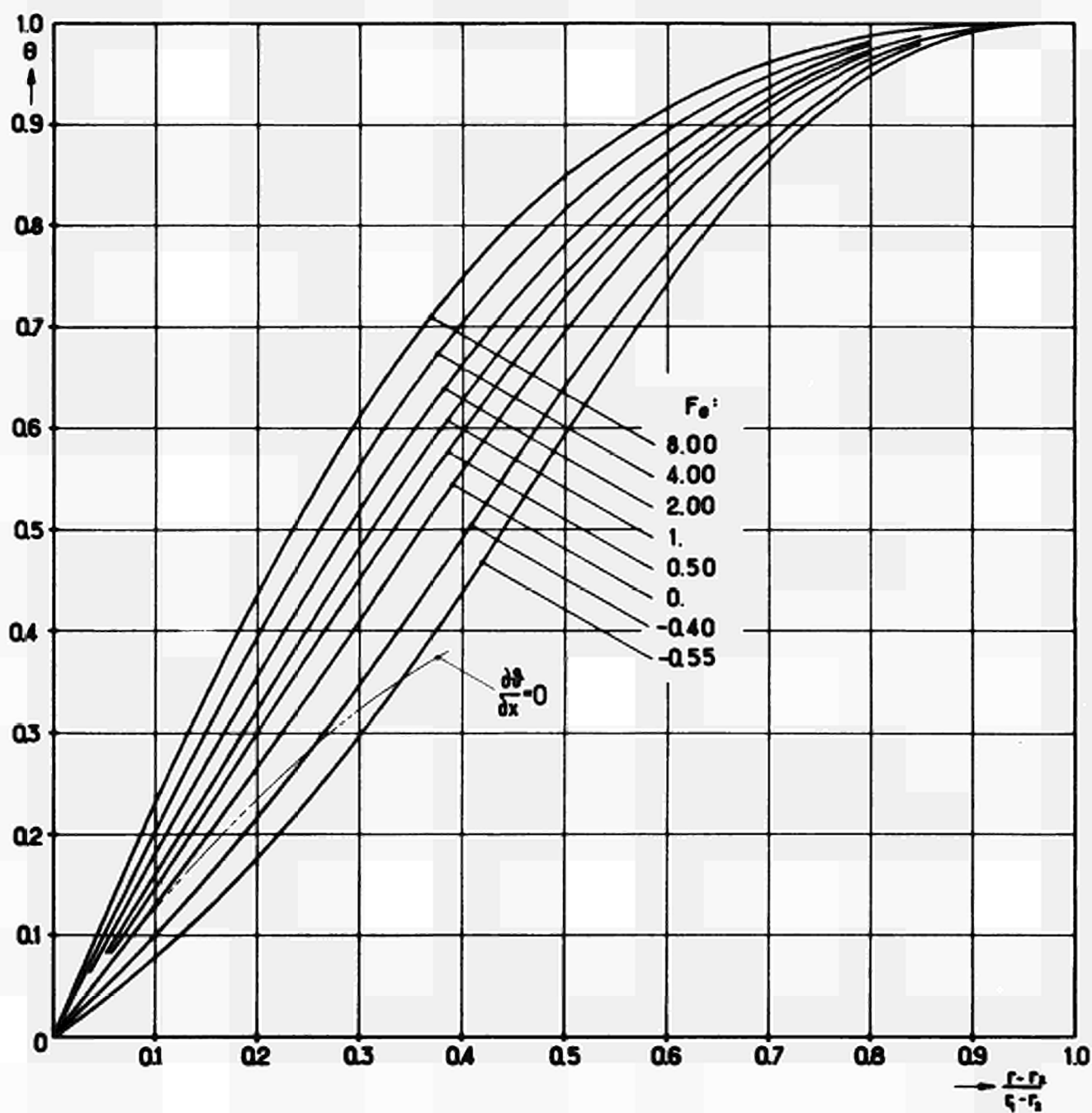


ABB.26. Temperaturverlauf  $\theta=f((r-r_2)/(r_1-r_2), F_0)$  bei laminarer Strömung im Ringspalt, Wärmeaustausch am äußeren Zylinder, für  $r_1/r_2=0,10$

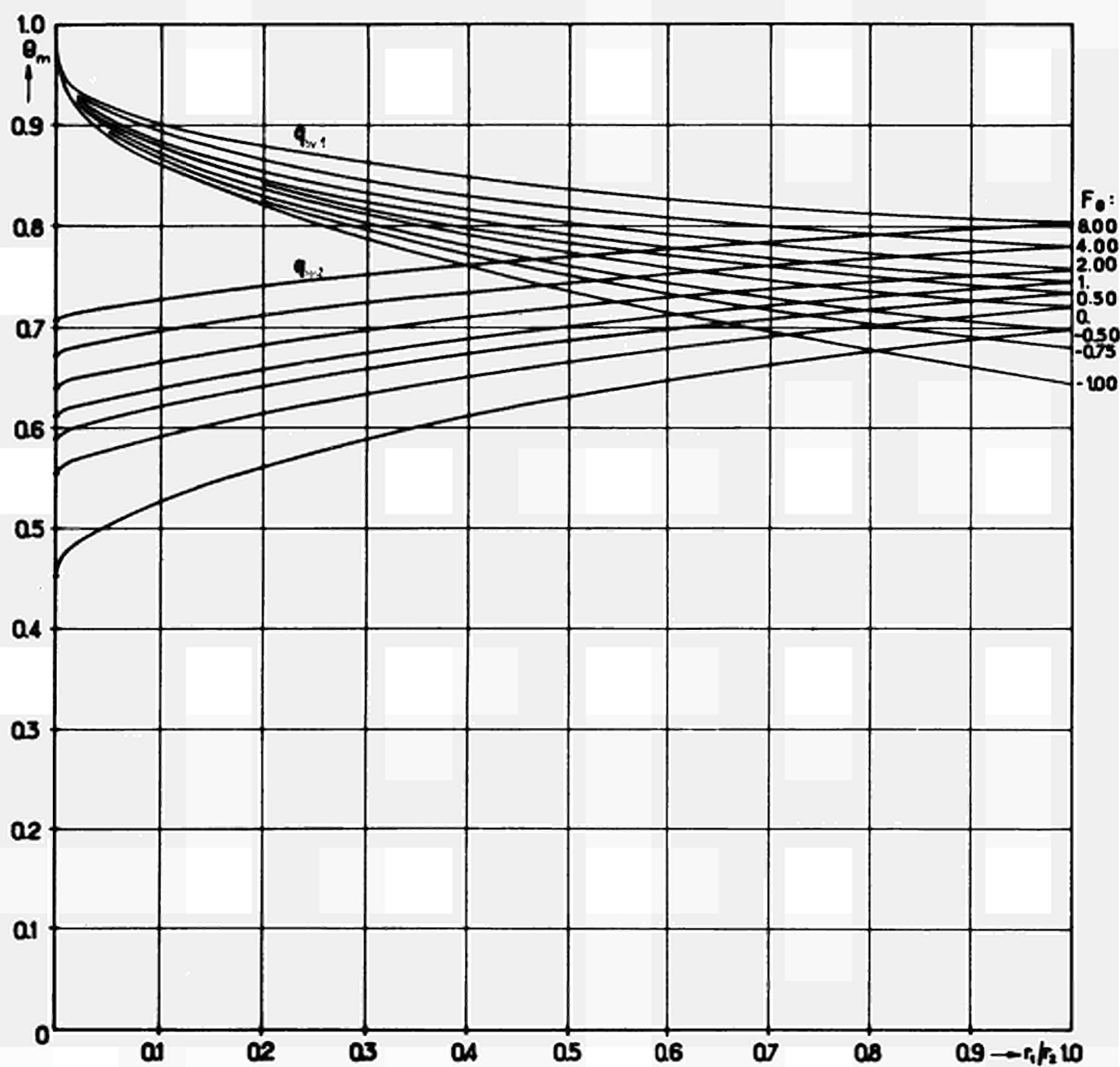


ABB.27. Mischungstemperatur  $\theta_m = f(r_1/r_2, F_0)$  bei laminarer Strömung im Ringspalt für Wärmeaustausch am inneren ( $q_{w1}$ ) bzw. äußeren Zylinder ( $q_{w2}$ )

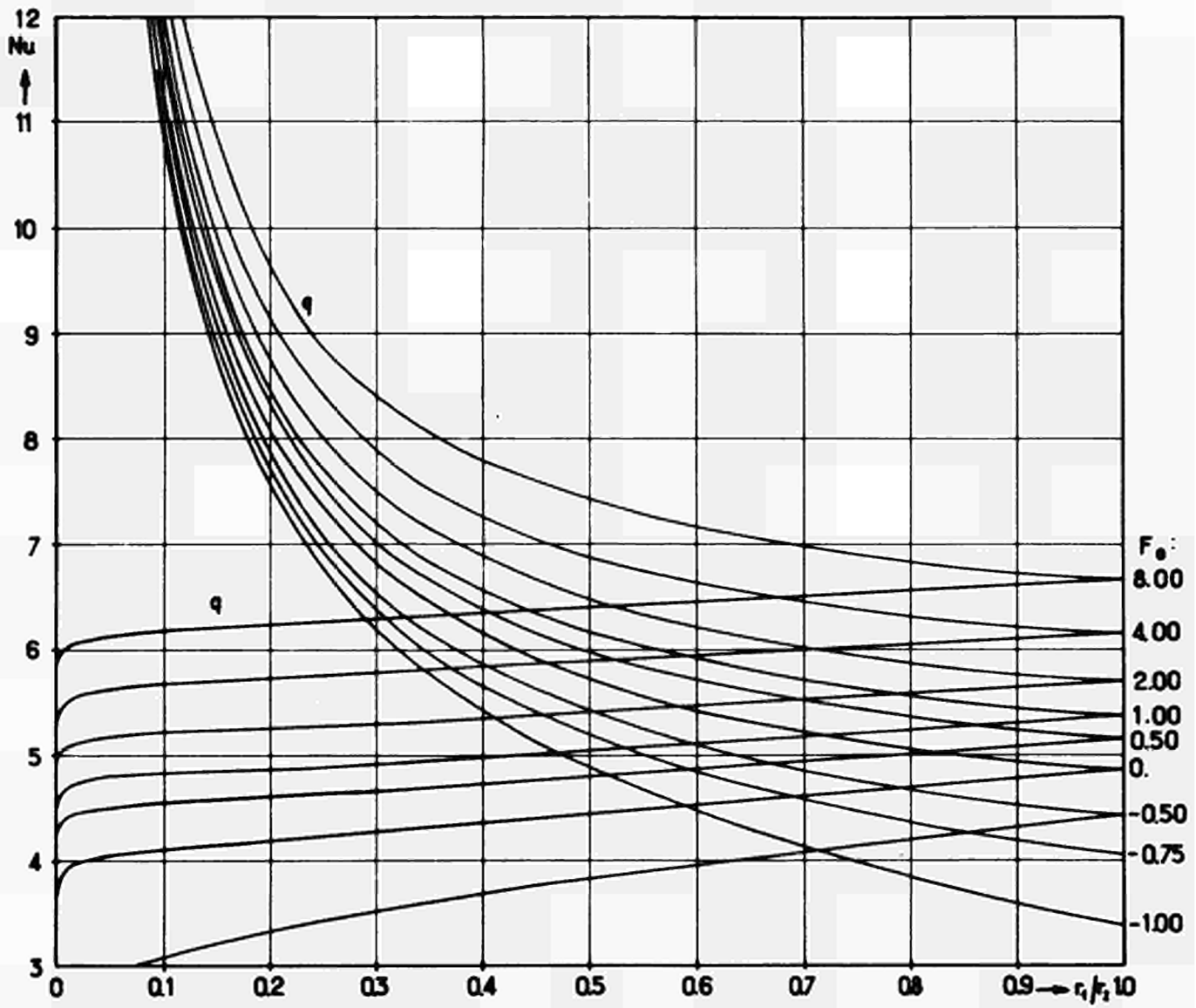


ABB.28. Nußelt-Zahl  $Nu=f(r_1/r_2, F_0)$  bei laminarer Strömung im Ringspalt für Wärmeaustausch am inneren ( $q_{w1}$ ) bzw. äußeren Zylinder ( $q_{w2}$ )

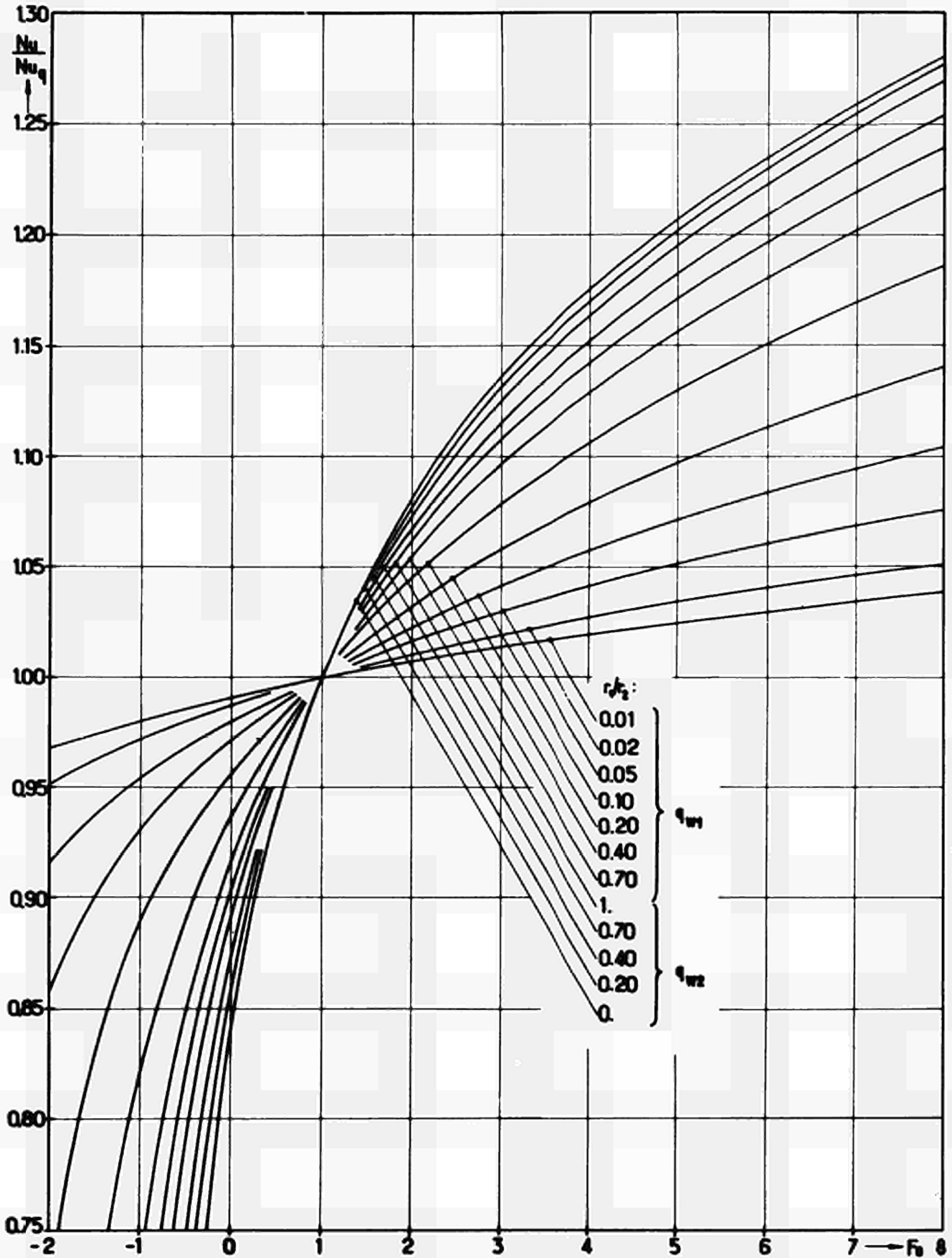


ABB.29. Verhältnis der Nußelt-Zahlen  $Nu/Nu_q = f(Fo, r_1/r_2)$  bei laminarer Strömung im Ringspalt, einschließlich der Grenzfälle  $r_1/r_2 = 0$ : Rohr und  $r_1/r_2 = 1$ : Parallele Platten, asymmetrischer Wärmeaustausch



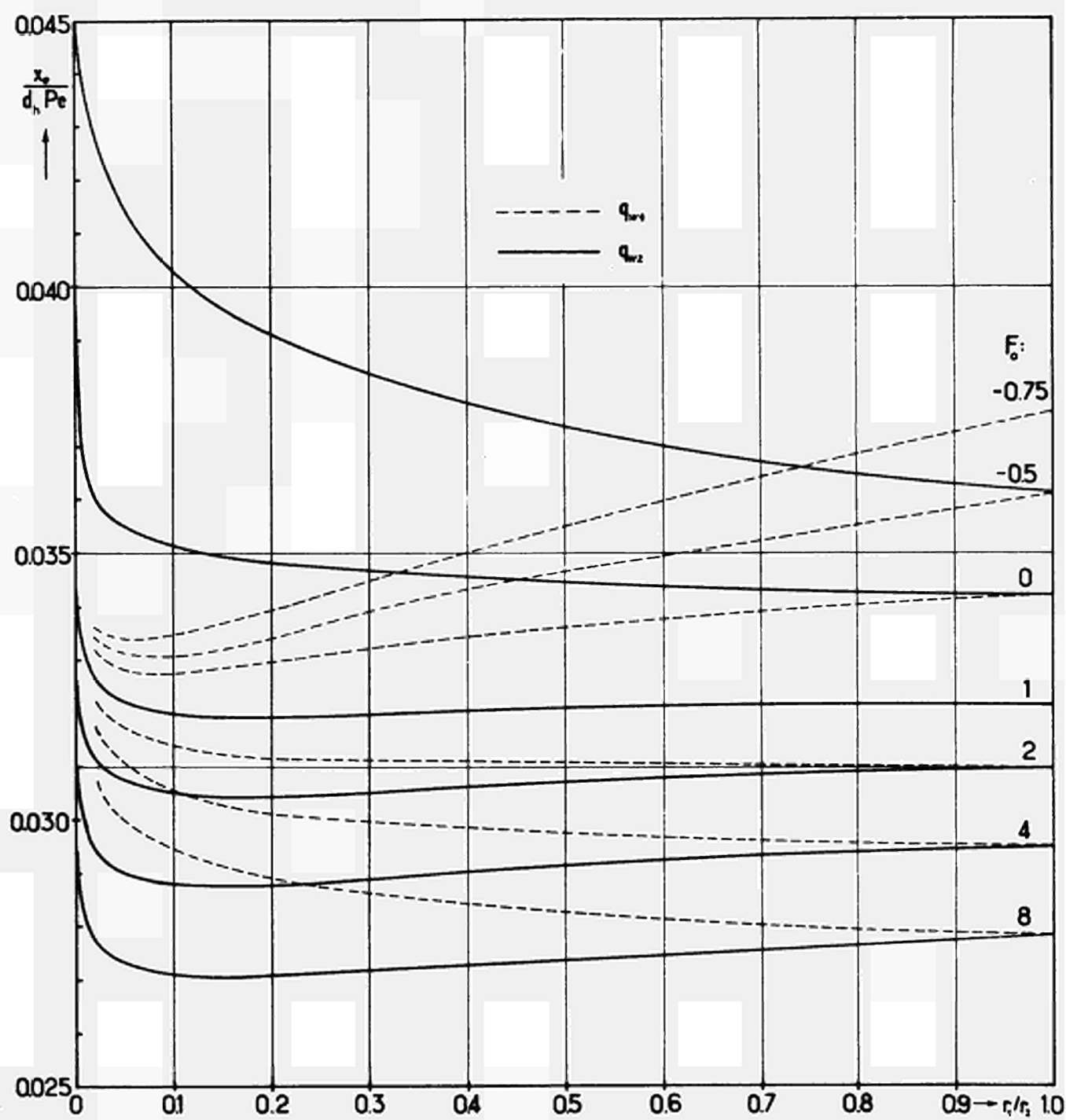


ABB.30. Thermische Einlaufänge  $x_e/(d Pe)=f(r_1/r_2, F_0)$  bei laminarer Strömung im Ringspalt

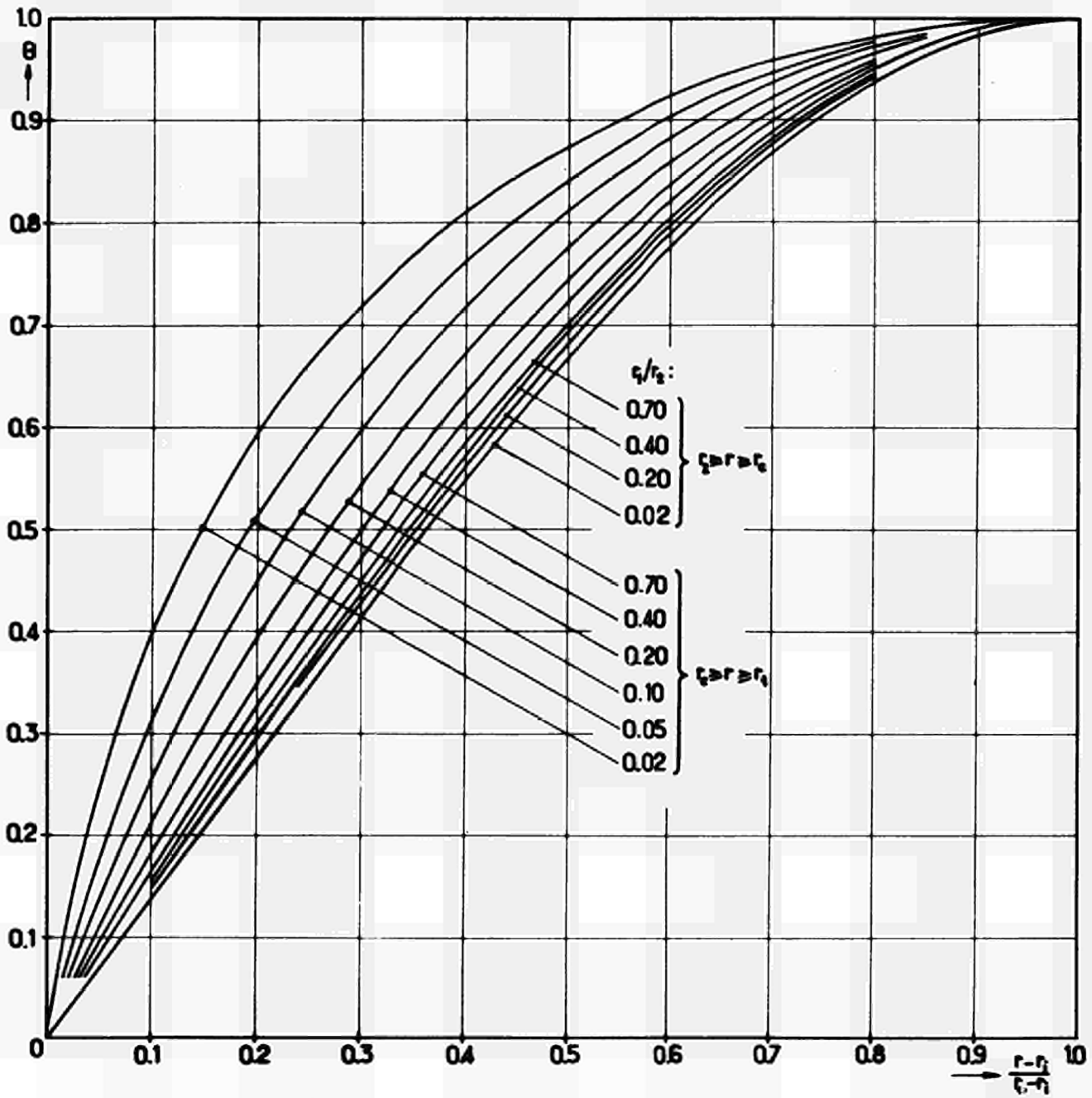


ABB.31. Temperaturverlauf  $\theta=f((r-r_1)/(r_2-r_1), r_1/r_2)$  bei laminarer Strömung im Ringspalt für quasisymmetrischen Wärmeaustausch mit  $q_{w1}=\text{konst.}$  und  $q_{w2}=\text{konst.}$

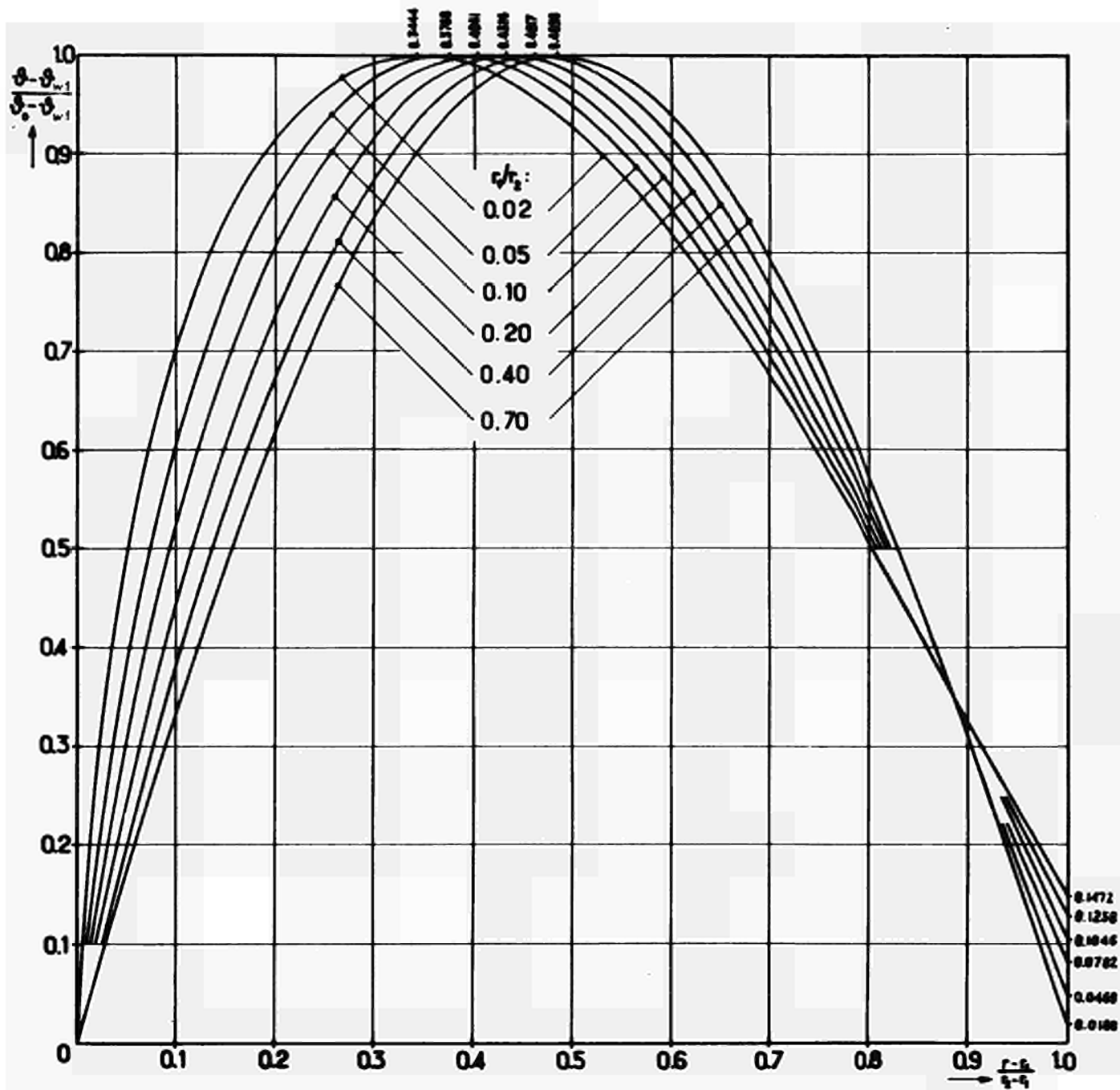


ABB.32. Temperaturverlauf  $\frac{(\theta - \theta_{w1})}{(\theta_0 - \theta_{w1})} = f\left(\frac{r - r_1}{r_2 - r_1}, \frac{r_1}{r_2}\right)$  bei laminarer Strömung im Ringspalt für quasisymmetrischen Wärmeaustausch mit  $q_{w1} = \text{konst.}$  und  $q_{w2} = \text{konst.}$

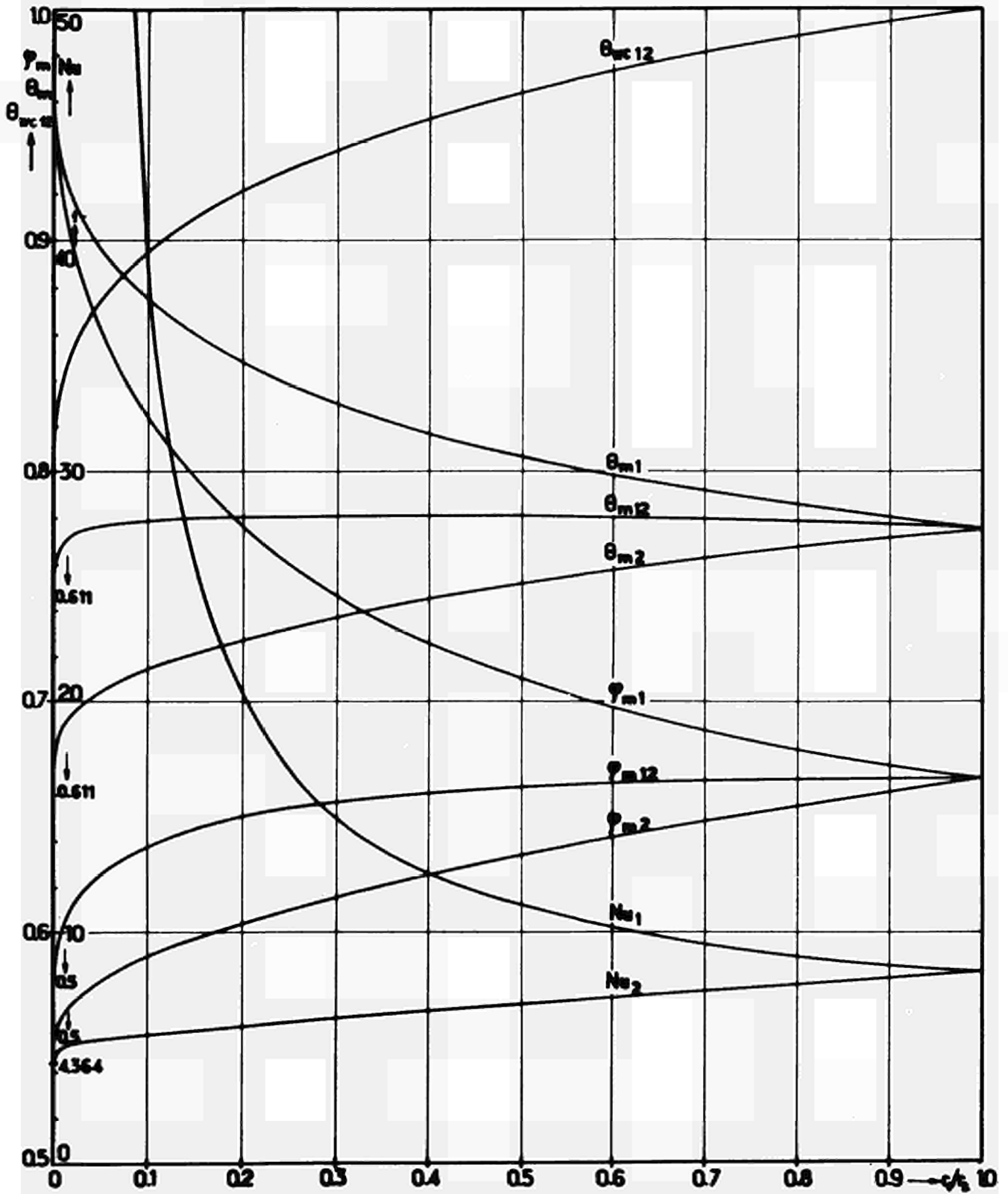


ABB. 33. Mischungstemperaturen  $\theta_{m1}$ ,  $\theta_{m2}$  und  $\theta_{m12}$ , Wandtemperatur  $\theta_{wc12} = (\theta_{w2} - \theta_0) / (\theta_{w1} - \theta_0)$  und Nußelt-Zahlen  $Nu_1$  bzw.  $Nu_2$  bei der laminaren Strömung im Ringspalt für quasisymmetrischen Wärmeaustausch mit  $q_{w1} = \text{konst.}$  und  $q_{w2} = \text{konst.}$  sowie mittlere Geschwindigkeiten  $\varphi_{m1}$ ,  $\varphi_{m2}$  und  $\varphi_{m12}$  in Abhängigkeit vom Radienverhältnis  $r_1/r_2$

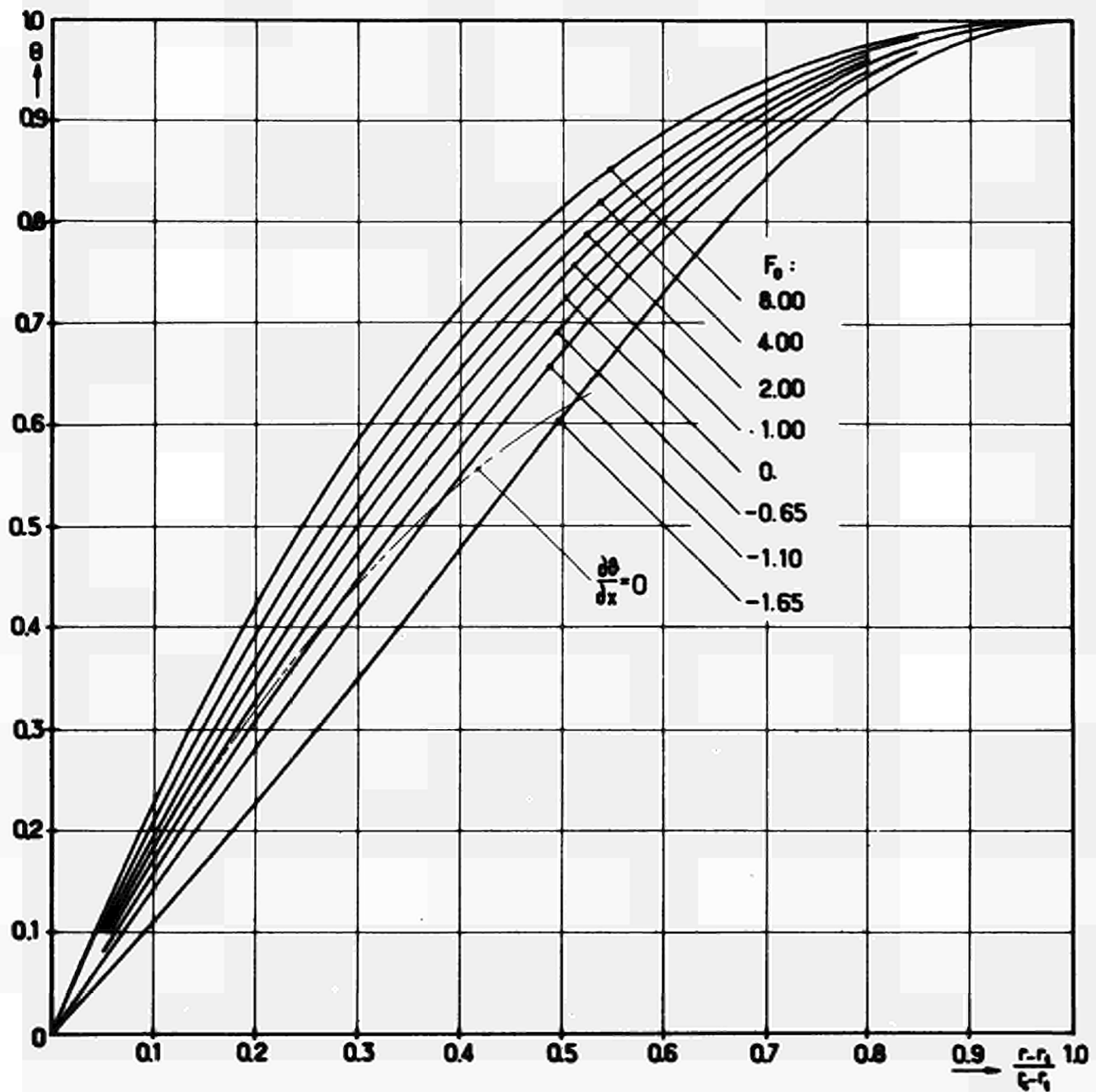


ABB.34. Temperaturverlauf  $\theta = f\left(\frac{r-r_1}{r_c-r_1}, F_0\right)$  bei laminarer Strömung längs eines Rohrbündels mit  $p/d=1,61$  (Dreieckanordnung)

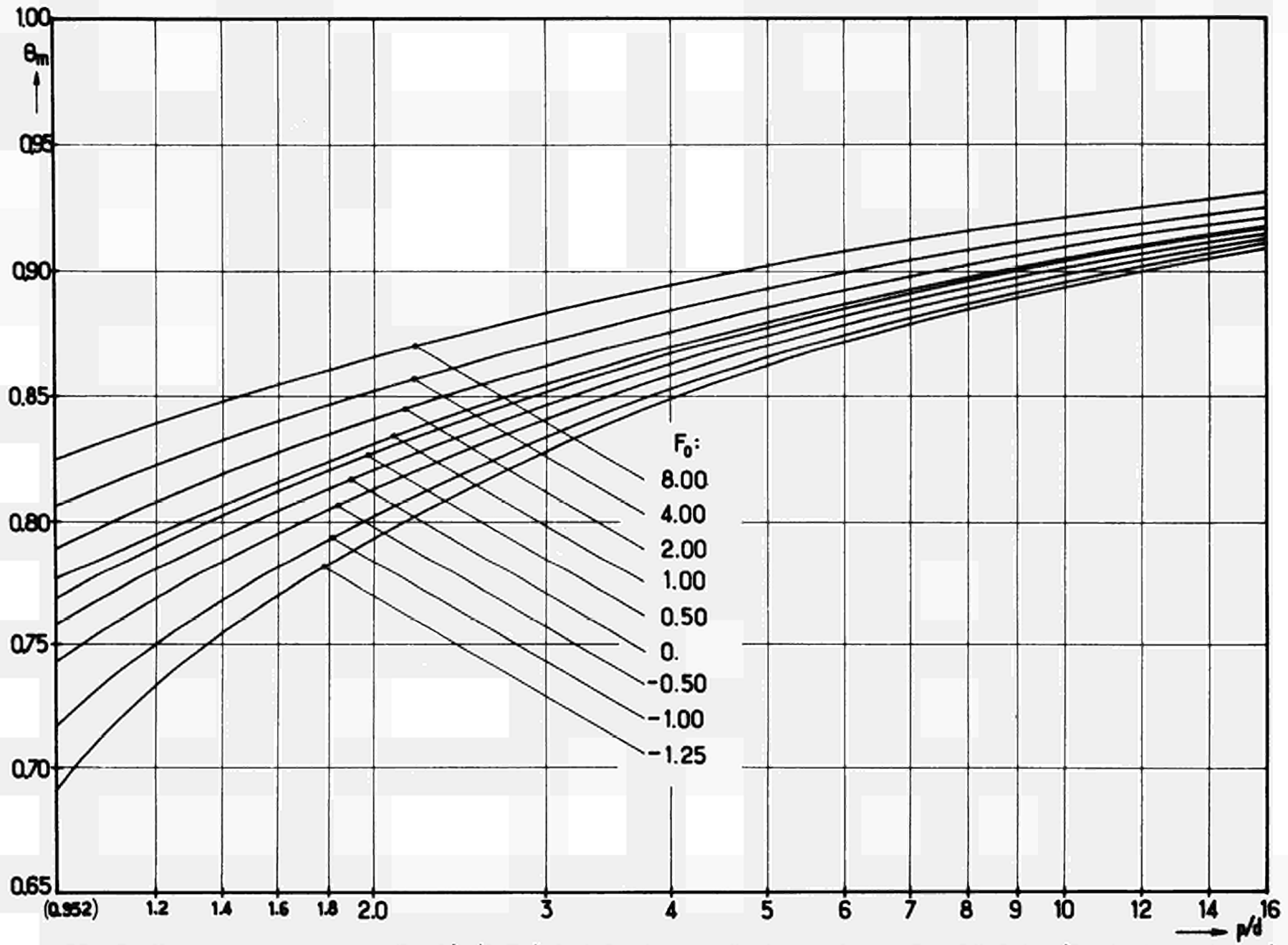


ABB.35. Mischungstemperatur  $\theta_m = f(p/d, F_0)$  bei laminarer Strömung längs Rohrbündeln (Dreieckanordnung)

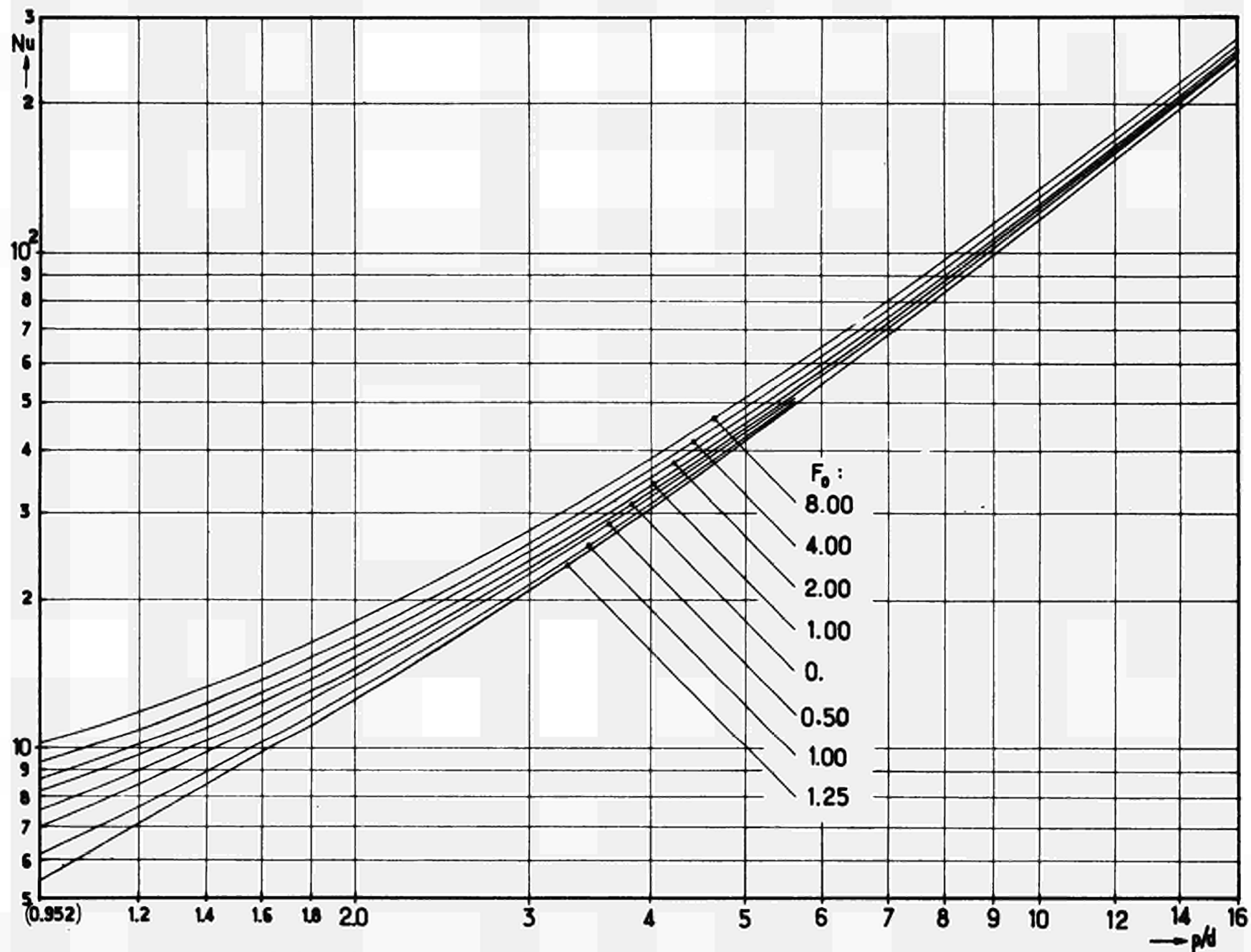


ABB.36. Nusselt-Zahl  $Nu=f(p/d, F_0)$  bei laminarer Strömung längs Rohrbündeln (Dreieckanordnung)

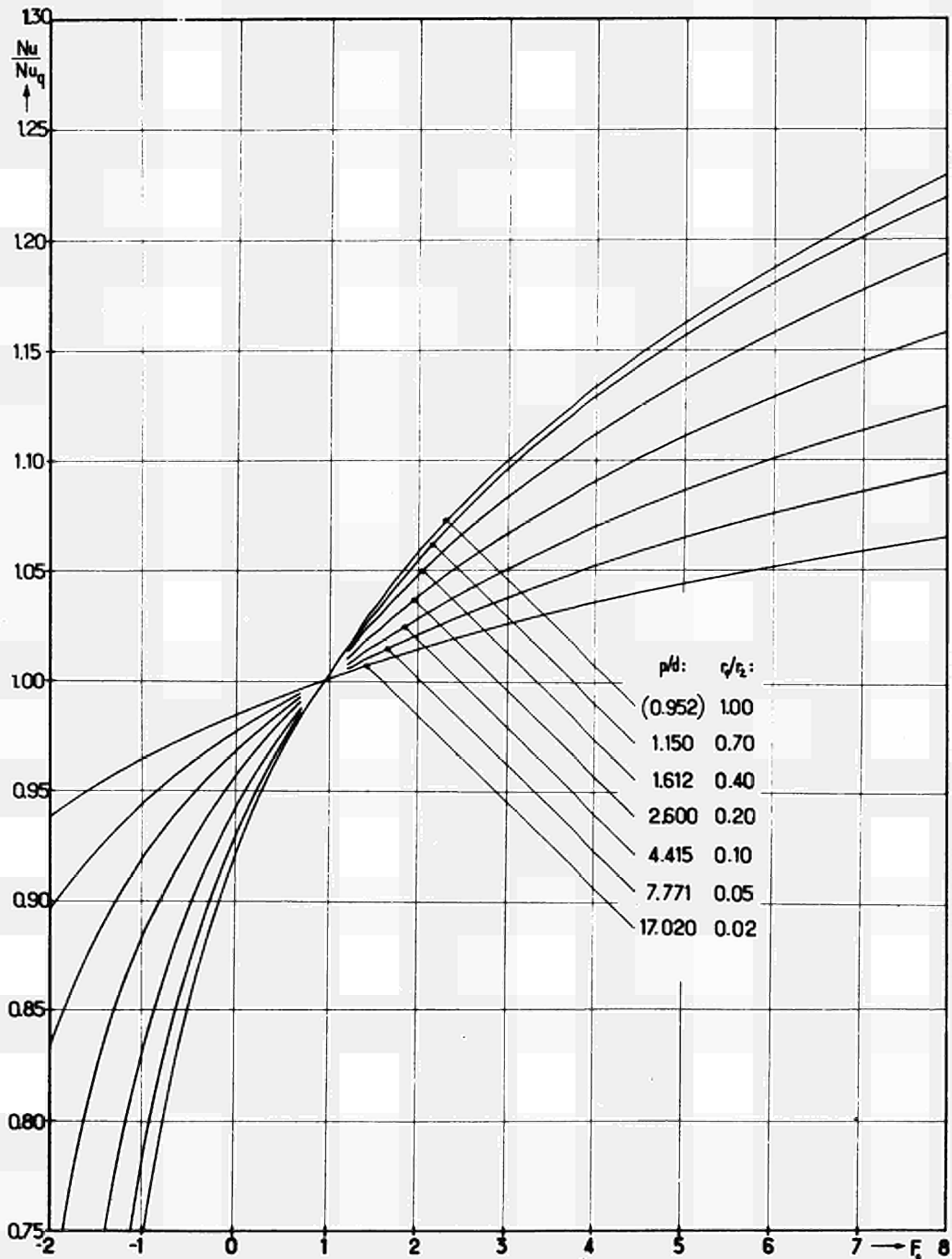


ABB.37. Verhältnis der Nußelt-Zahlen  $Nu/Nu_q = f(F_0, p/d)$  bei laminarer Strömung längs Rohrbündeln (Dreieckanordnung), einschließlich des Grenzfalles  $p/d=0,952$ : Parallele Platten, symmetrischer Wärmeaustausch



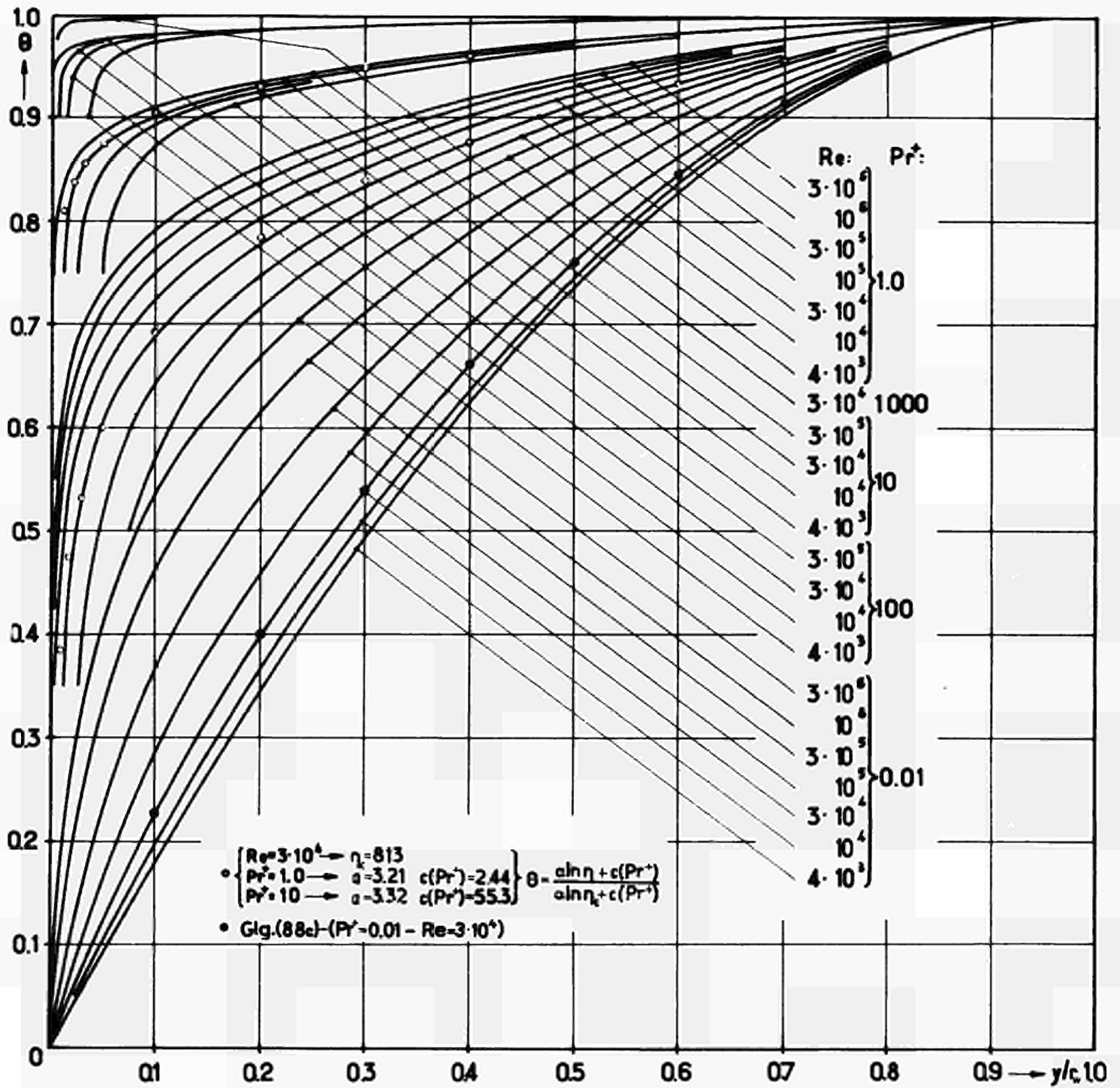


ABB. 38. Temperaturverlauf  $\theta=f(y/r, Pr^+, Re)$  bei turbulenter Rohrströmung für  $q_w = \text{konst.}$

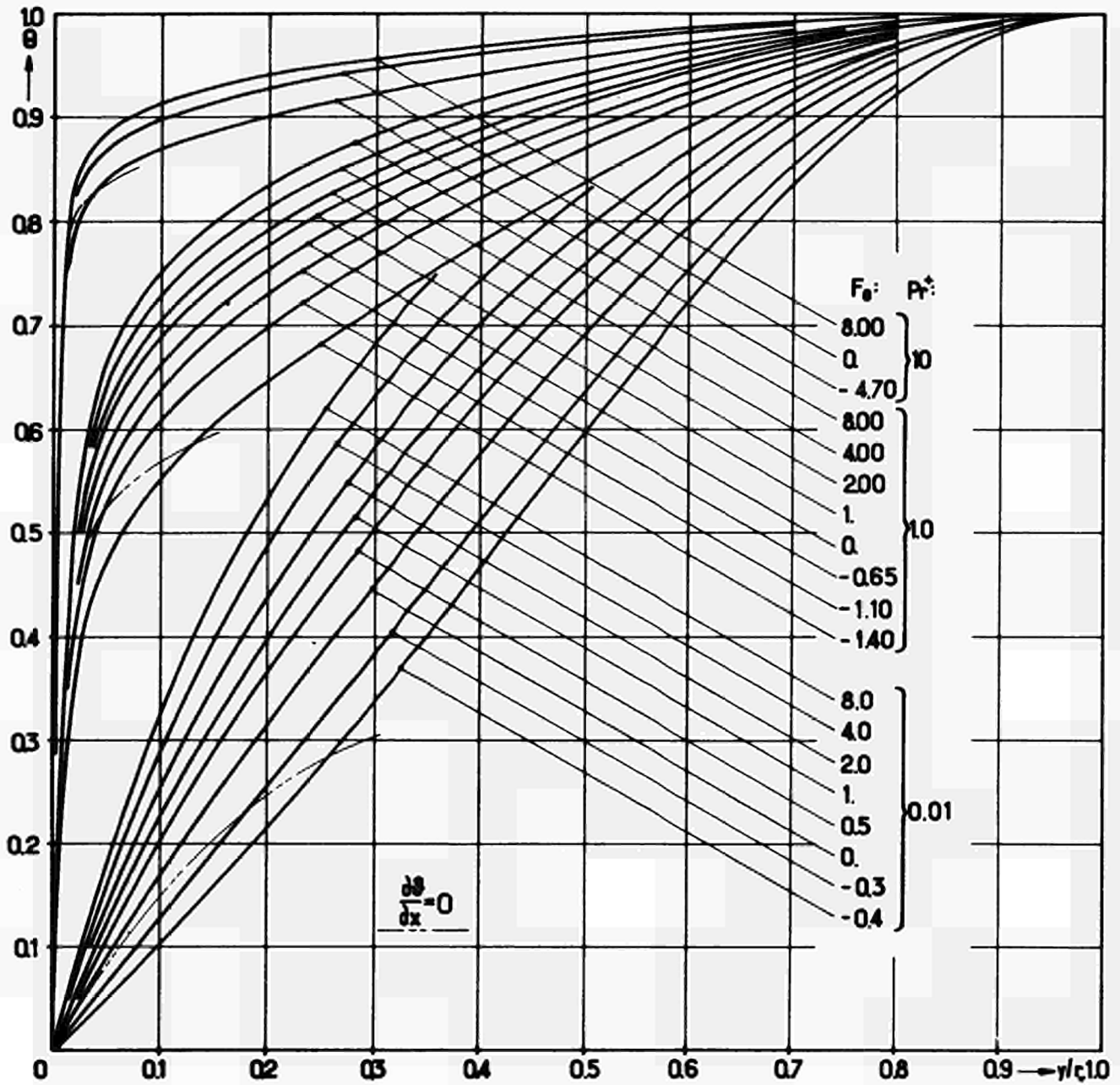


ABB.39. Temperaturverlauf  $\theta = f(y/r, Pr^+, Fo)$  bei turbulenter Rohrströmung für  $Re = 3 \cdot 10^4$

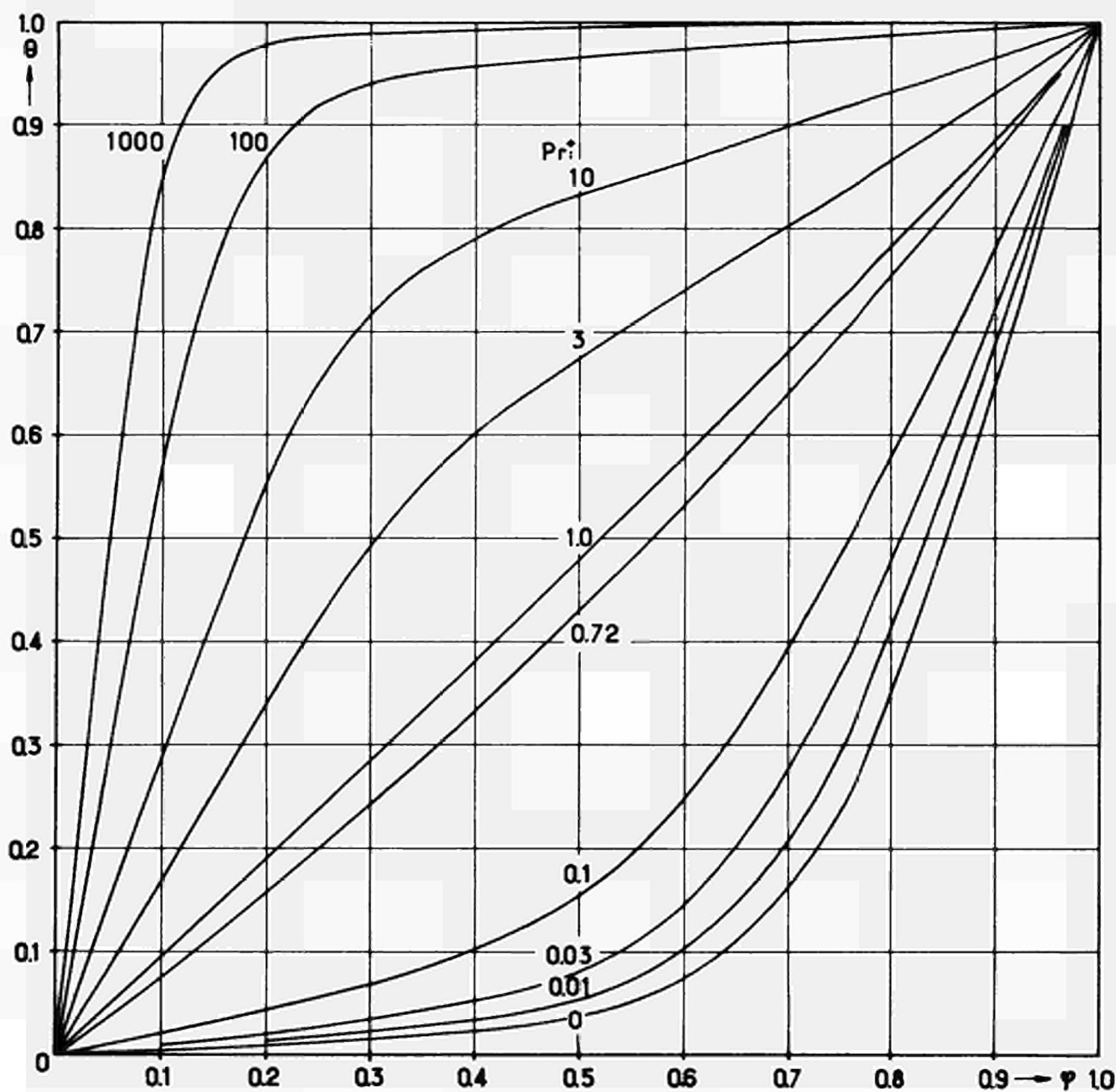


ABB.40. Temperaturverlauf  $\theta = f(\varphi, Pr^+)$  bei turbulenter Rohrströmung für  $q_w = \text{konst.}$  und  $Re = 3 \cdot 10^4$

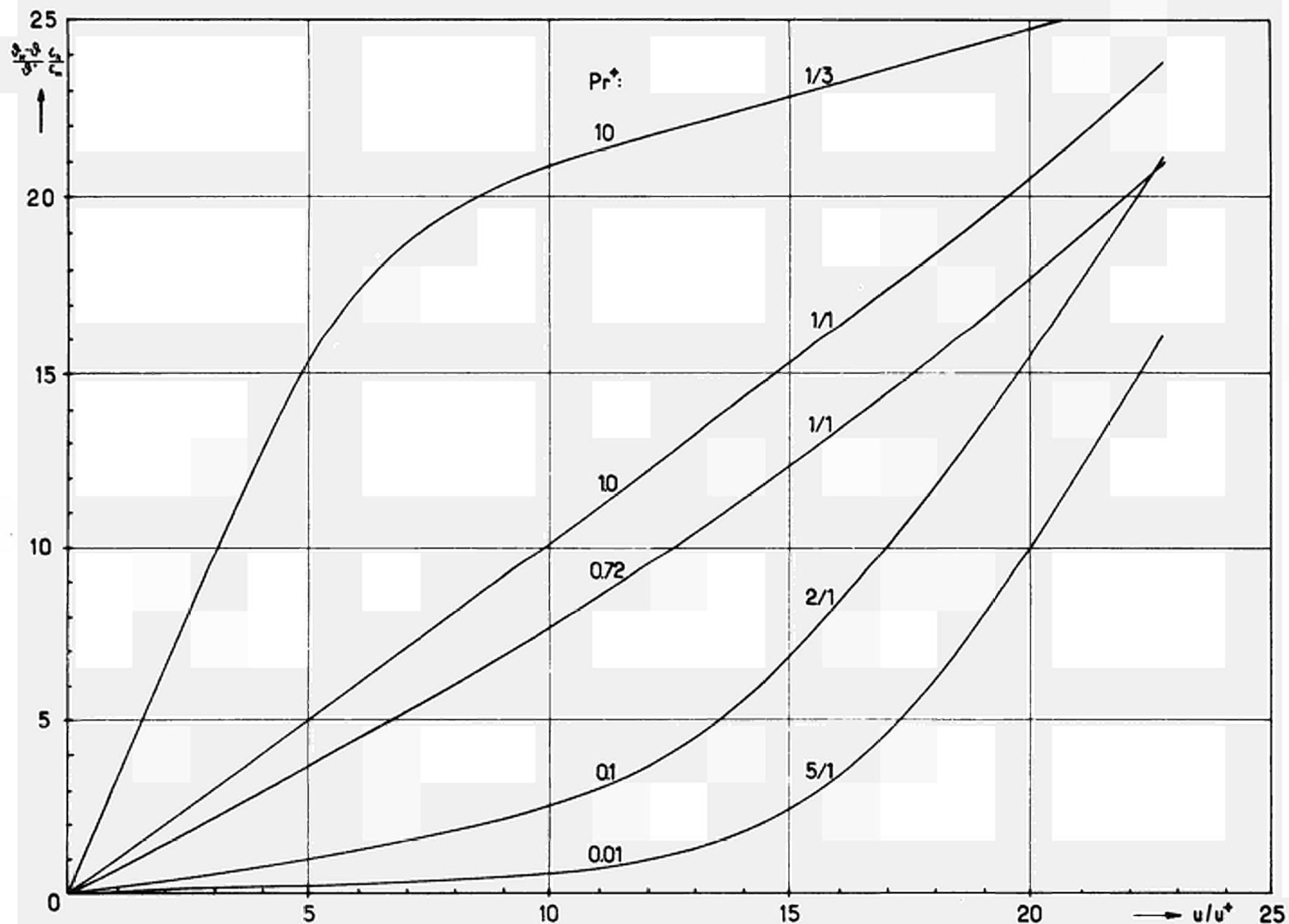


ABB.41. Temperaturverlauf  $(\epsilon_h/\epsilon_m)(\vartheta_w - \vartheta)/\vartheta^+ = f(u/u^+, Pr^+)$  bei turbulenter Rohrströmung für  $q_w = \text{konst.}$  und  $Re = 3 \cdot 10^4$

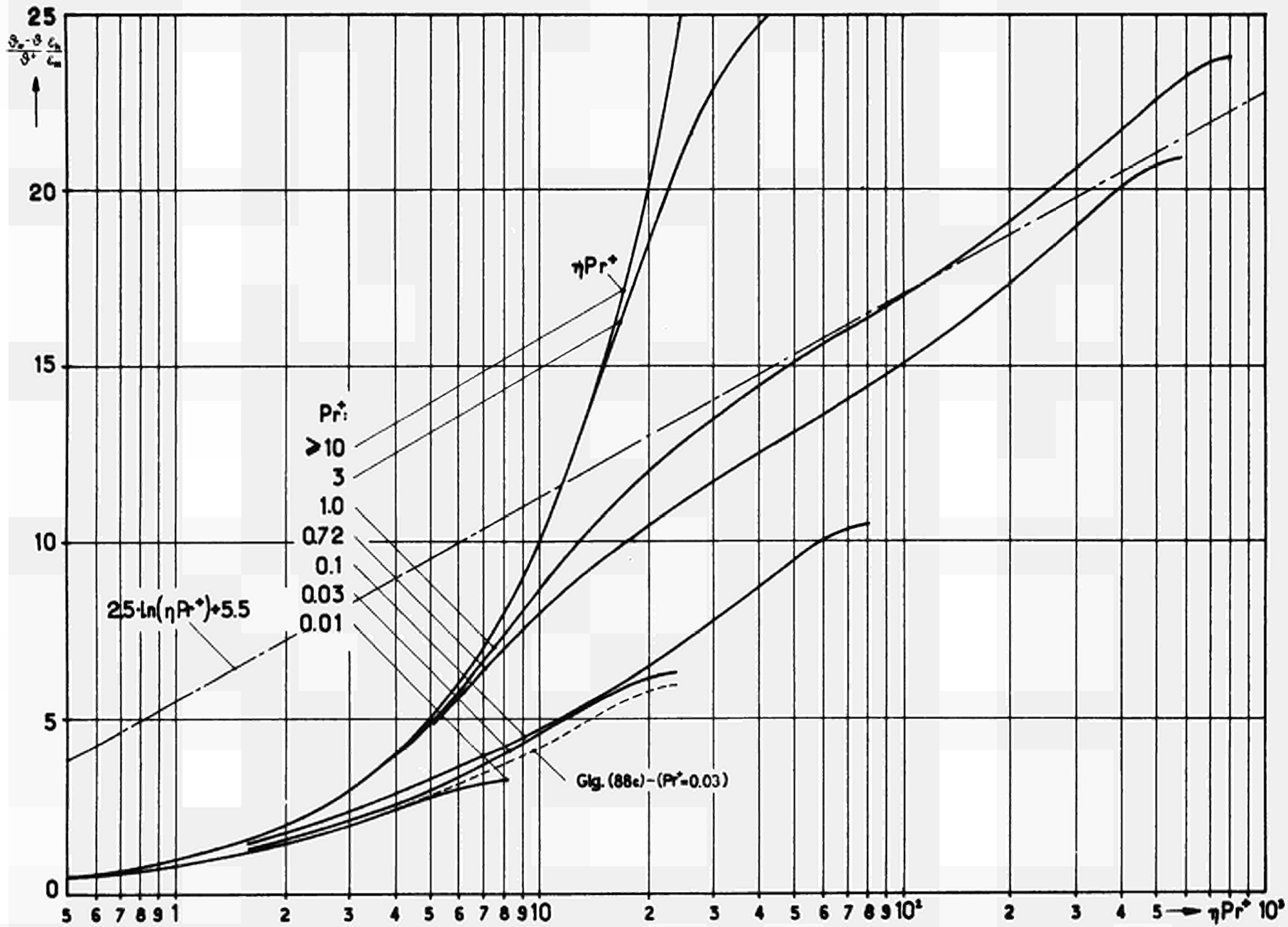


ABB.42. Temperaturverlauf  $(\epsilon_h/\epsilon_m)(\theta_w - \theta)/\theta^+ = f(\eta Pr^+, Pr^+)$  bei turbulenter Rohrströmung für  $q_w = \text{konst.}$  und  $Re = 3 \cdot 10^4$

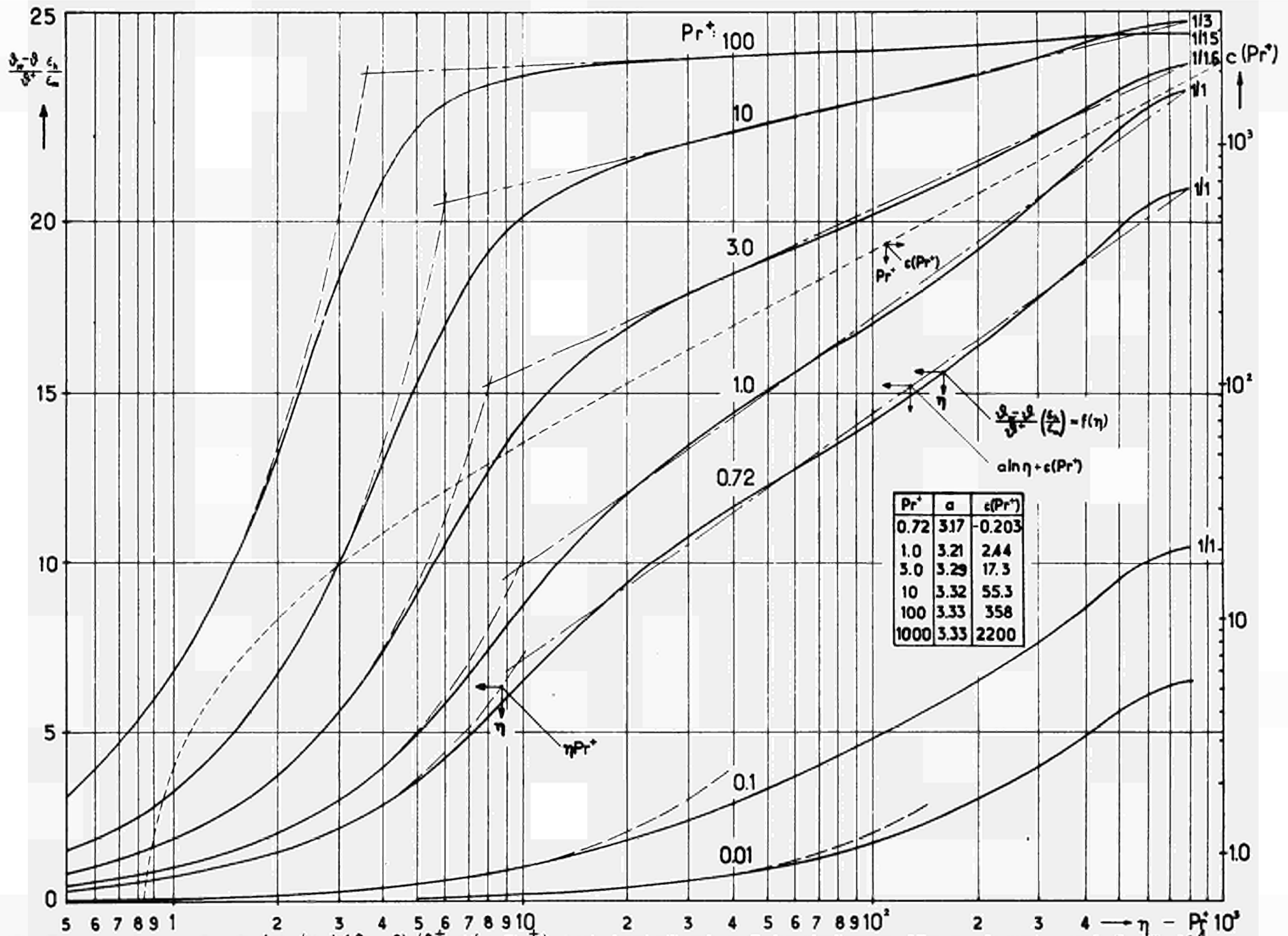


ABB.43. Temperaturverlauf  $(\epsilon_h/\epsilon_m)(\theta_w - \theta)/\theta_w - \theta_0 = f(\eta, Pr^+)$  bei turbulenter Rohrströmung für  $q_w = \text{konst.}$  und  $Re = 3 \cdot 10^4$

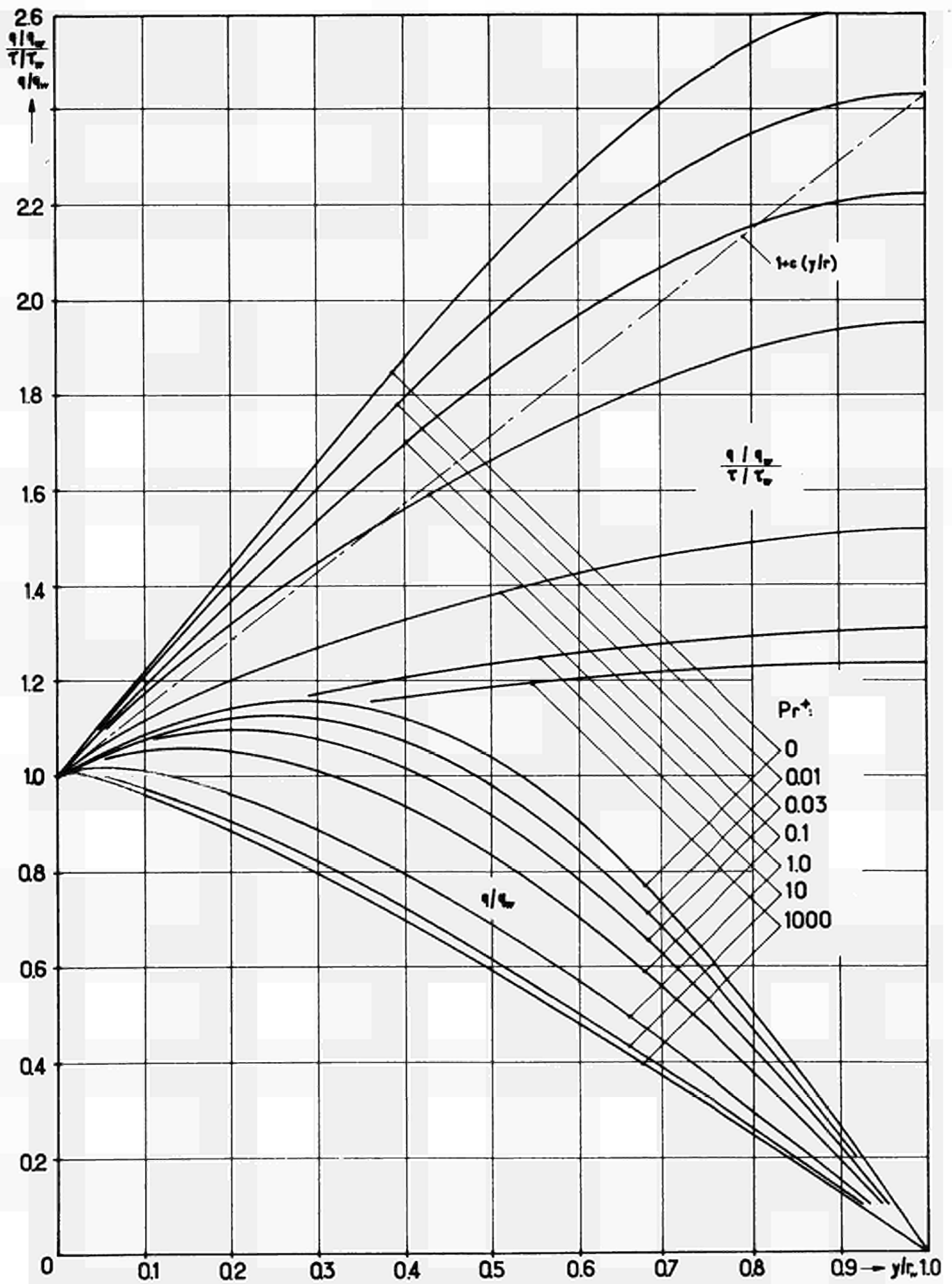


ABB.44. Wandnormaler Wärmestromdichteverlauf  $q/q_w = f_1(y/r, Pr^+)$  bzw.  $(q/q_w)/(\tau/\tau_w) = f_2(y/r, Pr^+)$  bei turbulenter Rohrströmung für  $\phi_w = \text{konst.}$  und  $Re = 3 \cdot 10^4$

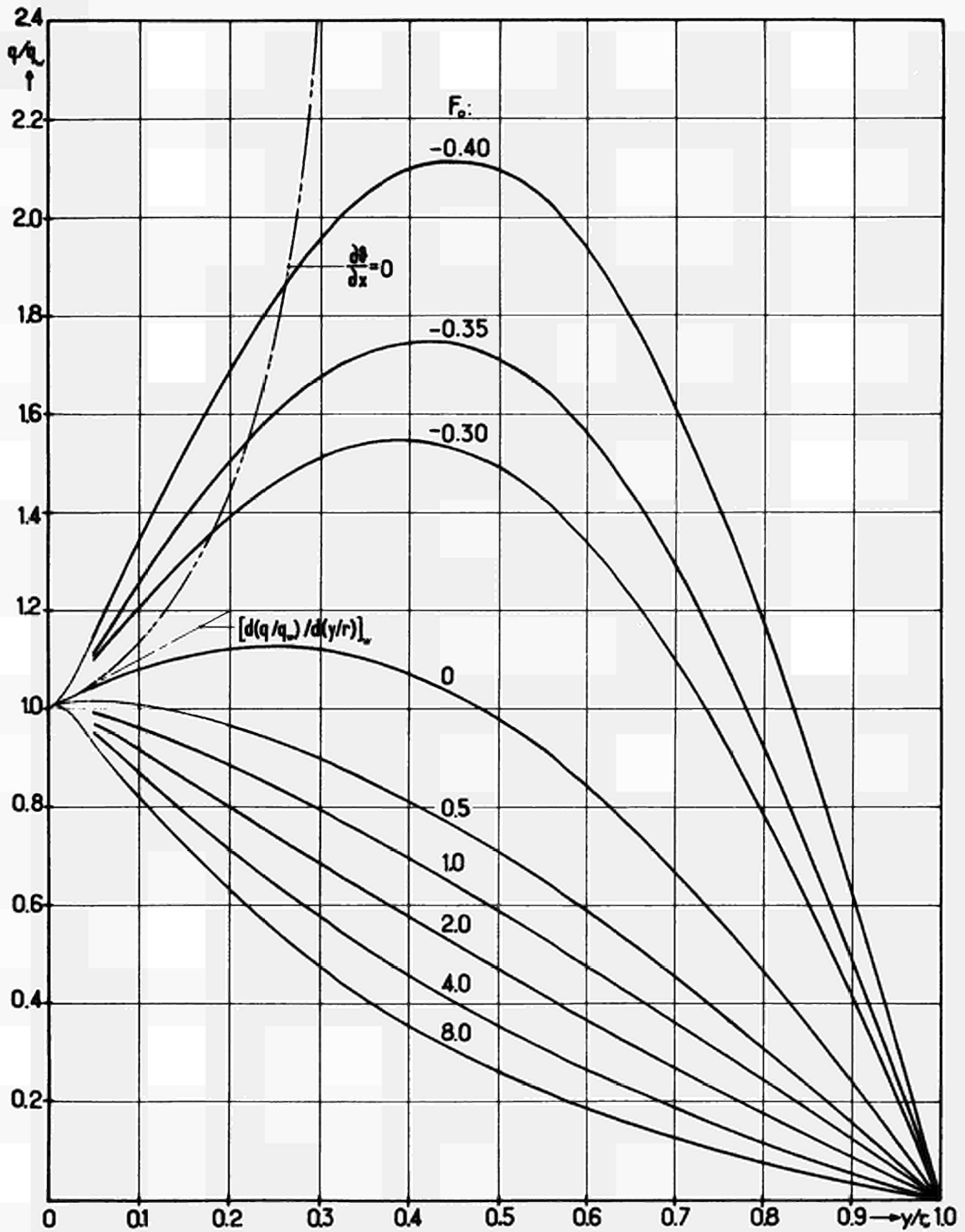


ABB.45. Wandnormaler Wärmestromdichteverlauf  $q/q_w = f(y/r, F_0)$  bei turbulenter Rohrströmung für  $Pr^+ = 0,01$  und  $Re = 3 \cdot 10^4$



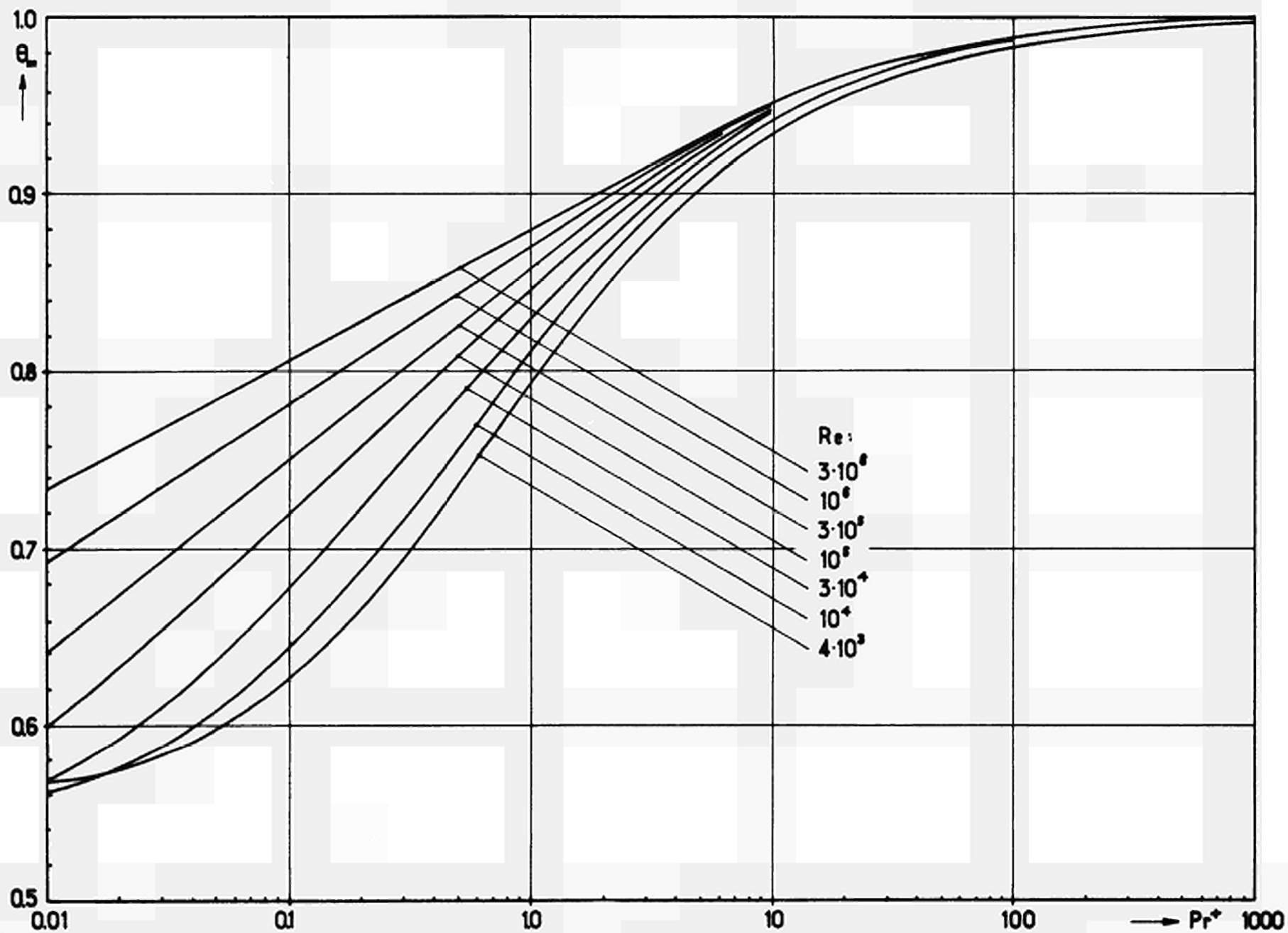


ABB.46. Mischungstemperatur  $\theta_m = f(Pr^+, Re)$  bei der turbulenten Rohrströmung für  $q_w = \text{konst.}$

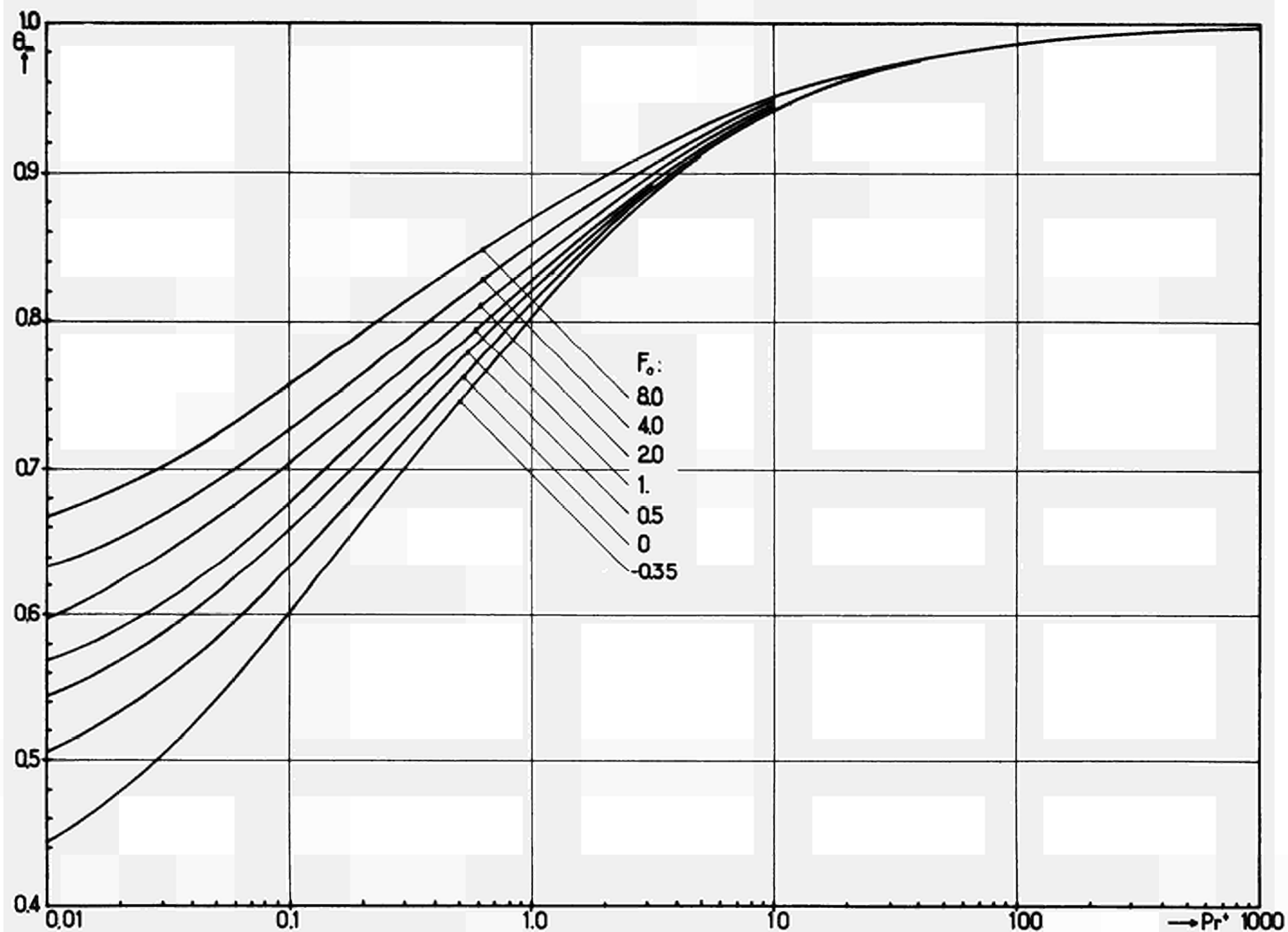


ABB.47. Mischungstemperatur  $\theta_m = f(Pr^*, F_0)$  bei der turbulenten Rohrströmung für  $Re = 3 \cdot 10^4$

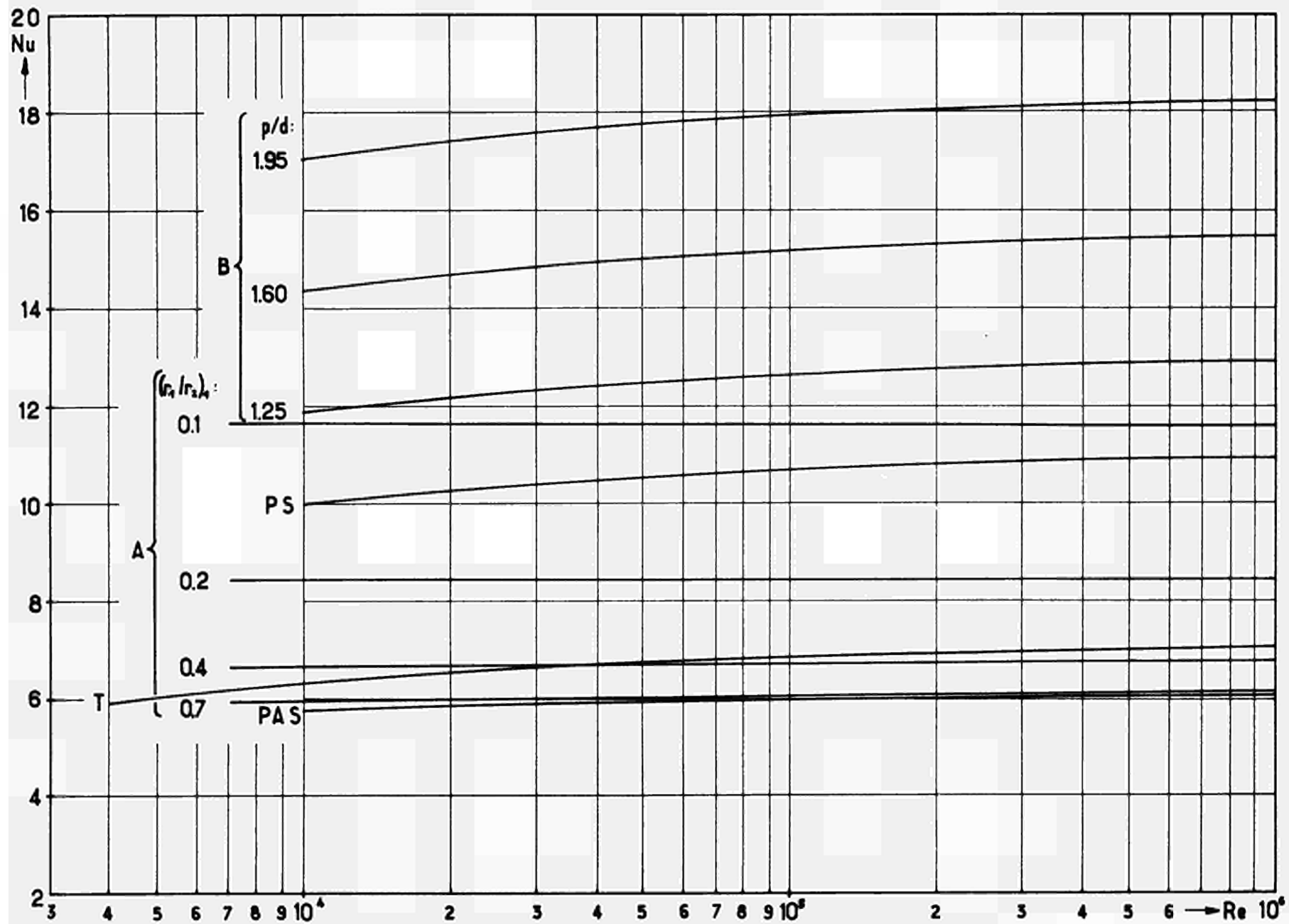


ABB.48. Nusselt-Zahl  $Nu=f(Re)$  bei der turbulenten Strömung für  $Pr=0$  und  $q_w=konst.$

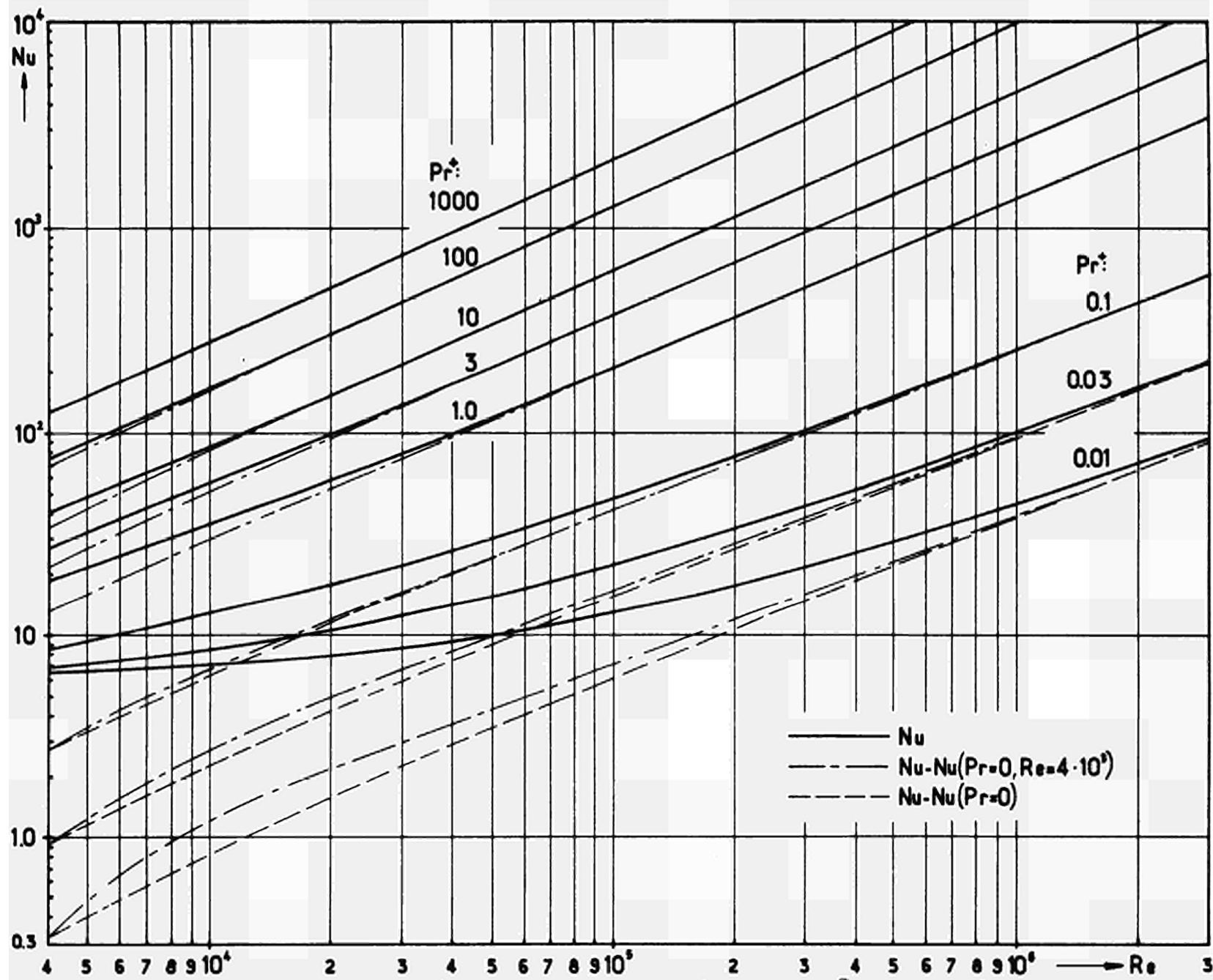


ABB.49. Nusselt-Zahlen  $Nu=f_1(Re, Pr^+)$ ,  $Nu - Nu_{\min} = Nu - Nu(Pr^+=0; Re=4 \cdot 10^3) = f_2(Re, Pr^+)$  und  $Nu - Nu(Pr=0) = f_3(Re, Pr^+)$  bei der turbulenten Rohrströmung für  $\frac{q_w}{q_w} = \text{konst.}$

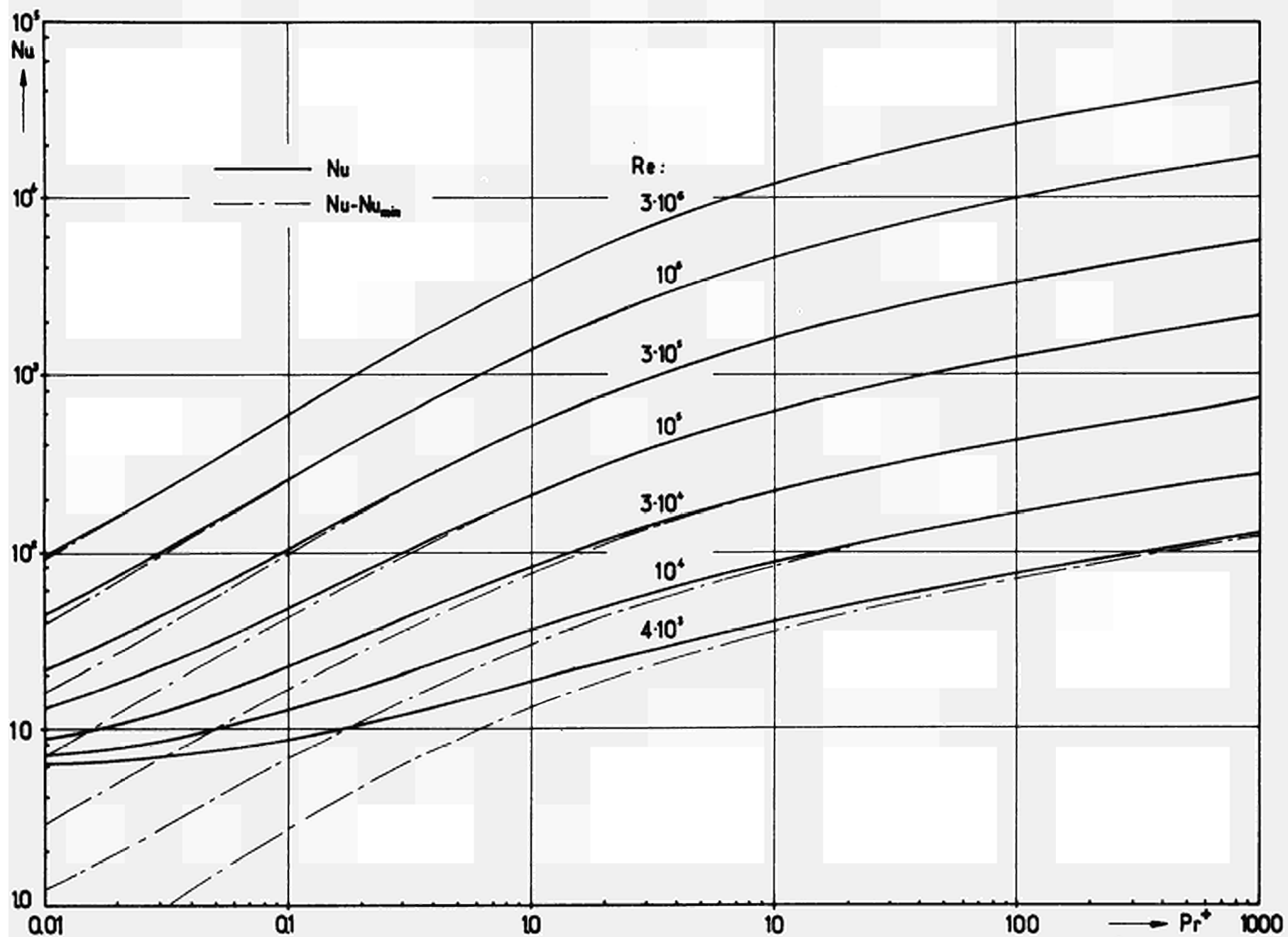


ABB.50. Nusselt-Zahlen  $Nu=f_1(Pr^+, Re)$  und  $Nu - Nu_{min}=f_2(Pr^+, Re)$  bei der turbulenten Rohrströmung für  $q_w = \text{konst.}$

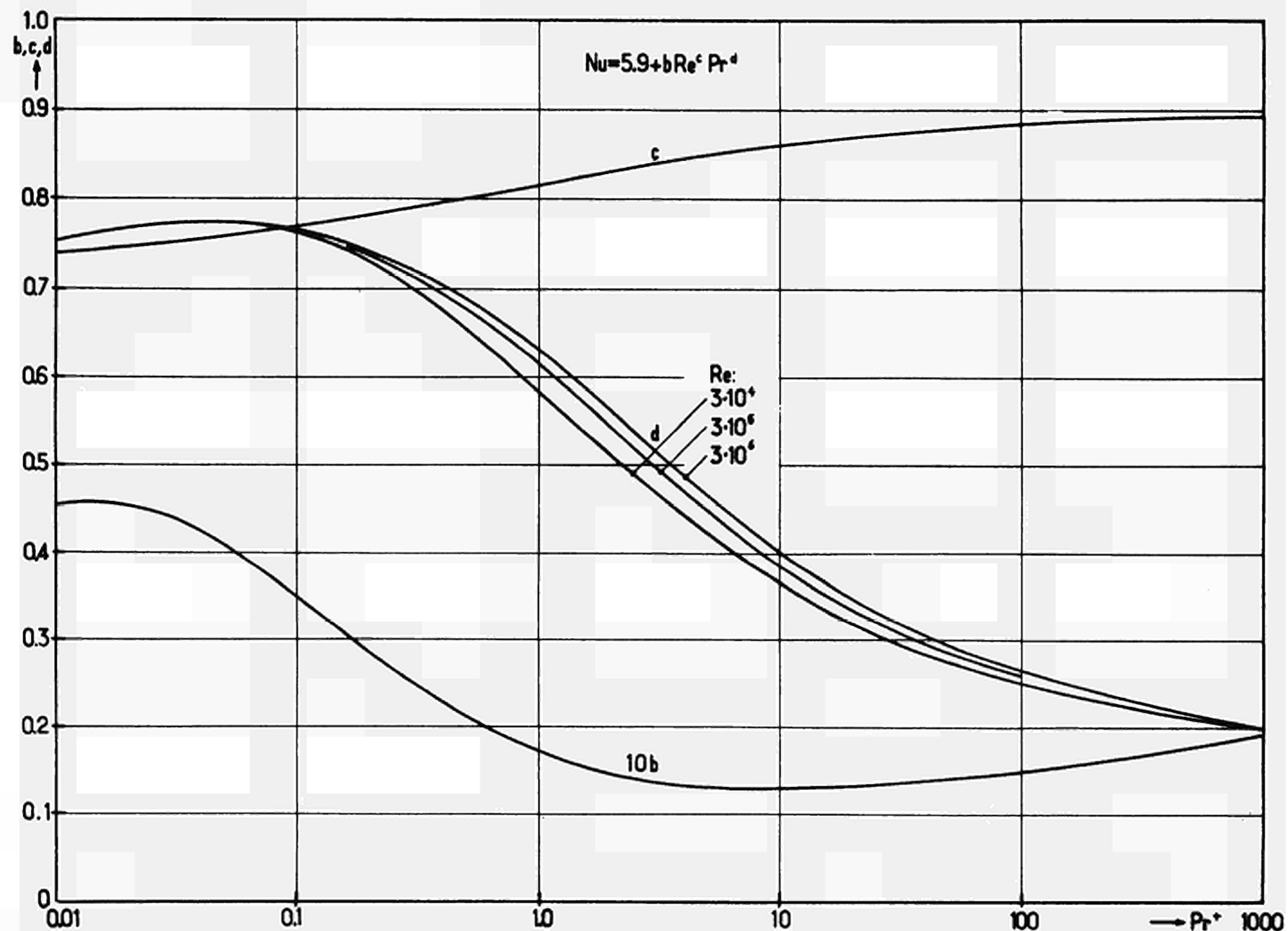


ABB.51. Koeffizienten  $b=f_1(Pr^+)$ ,  $c=f_2(Pr^+)$  und  $d=f_3(Pr^+, Re)$  der Beziehung  $Nu=5,9+bRe^cPr^d$  bei der turbulenten Rohrströmung für  $q_w=könst.$

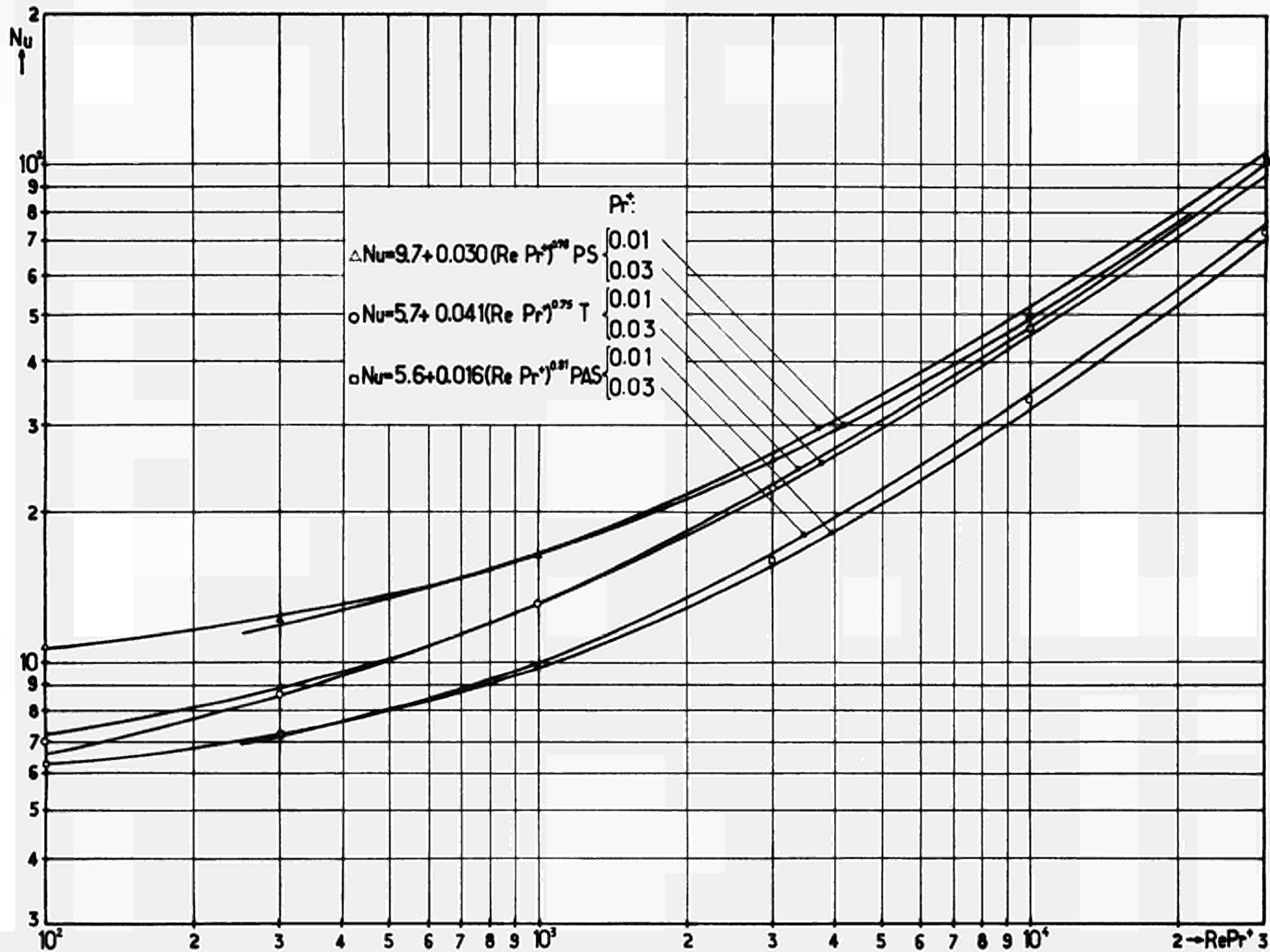


ABB.52. Nusselt-Zahlen  $Nu_{\perp} = f(Pe^*)$  bei turbulenter Strömung in Rohren (T) und zwischen parallelen Platten (PS; PAS) für  $Pr^* = 0.01$ ,  $Pr^* = 0.03$  und  $q_w = \text{konst.}$  im Vergleich mit Näherungsgleichungen der Form  $Nu = a + bPe^{+c} = a + b(RePr^*)^c$

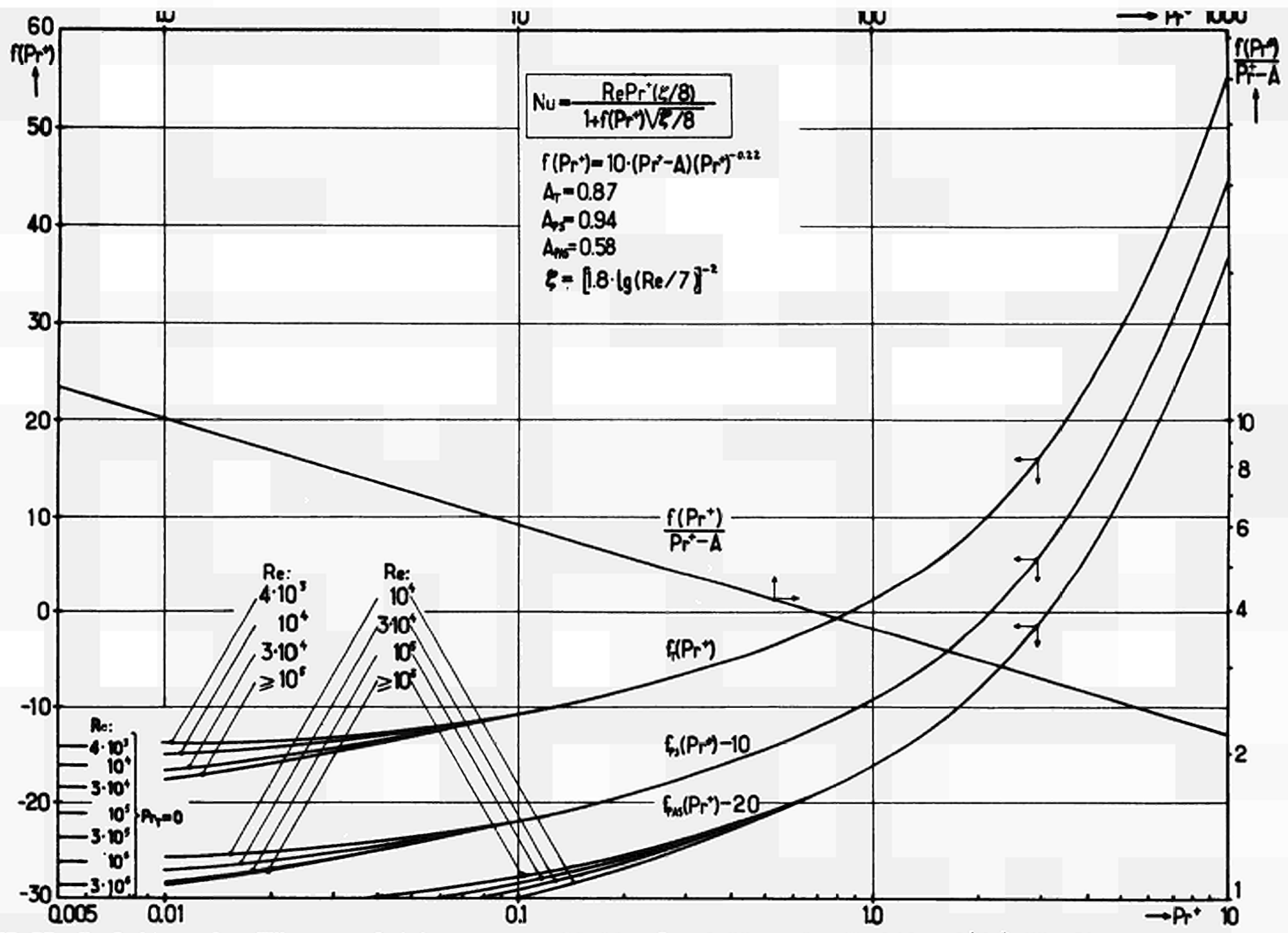


ABB.53. Herleitung der Näherungsgleichung zur expliziten Darstellung der Funktion  $f(Pr^+)$  für die Wiedergabe der numerischen Ergebnisse in der Form  $Nu = Re Pr^+ (\xi/8) / (1 + f(Pr^+) \sqrt{\xi/8})$ , angewandt auf die turbulente Strömung in Rohren (T) und zwischen parallelen Platten, symmetrischer (PS) bzw asymmetrischer (PAS) Wärmeaustausch



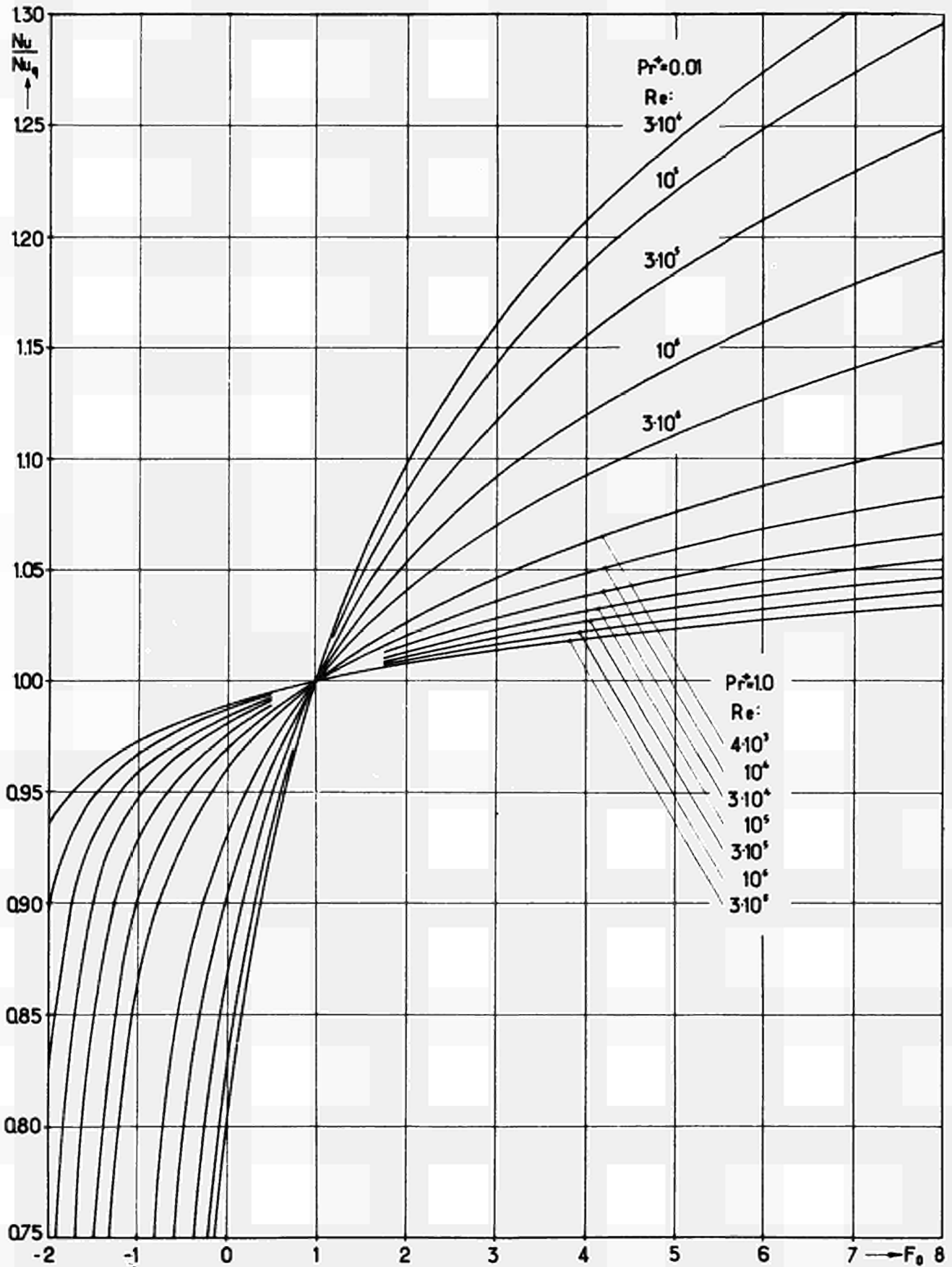


ABB.54. Verhältnis der Nußelt-Zahlen  $Nu/Nu_q = f(F_0, Pr^+, Re)$  bei der turbulenten Rohrströmung für  $Pr^+ = 0,01$  und  $Pr^+ = 1,0$

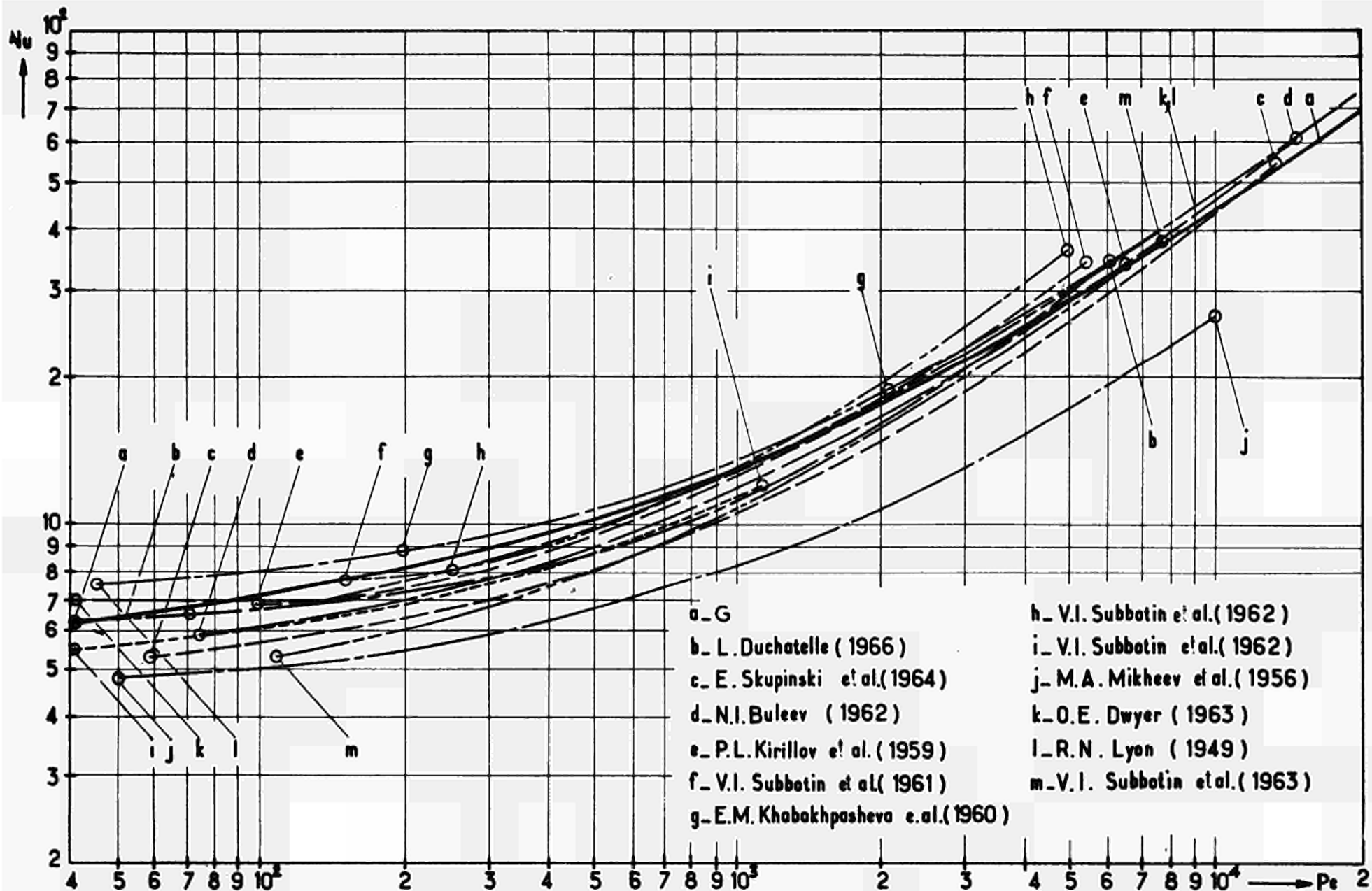


ABB.55. Vergleich der in der vorliegenden Arbeit (G) für die turbulente Rohrströmung ( $q_w = \text{konst.} - Pr = Pr^+ = 0,01$ ) berechneten Nusselt-Zahlen  $Nu = f(Pe)$  mit theoretischen und an Flüssigmetallen experimentell gewonnenen Ergebnissen anderer Autoren

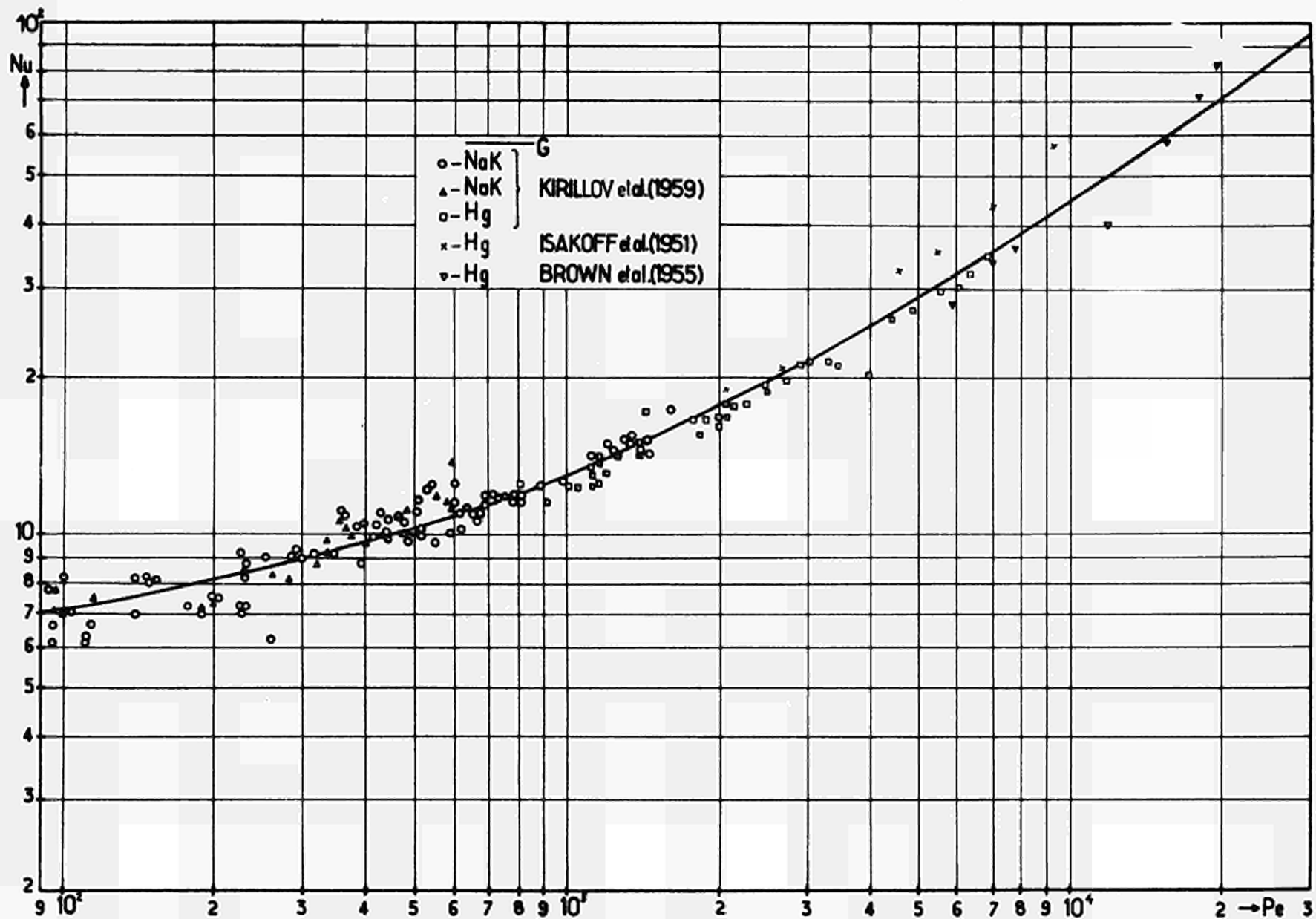


ABB.56. Vergleich der für die turbulente Rohrströmung ( $q_w = \text{konst.} - \text{Pr} = \text{Pr}^+ = 0,01$ ) berechneten ( $G$ ) und an Flüssigmetallen experimentell ermittelten Nusselt-Zahlen  $Nu = f(\text{Pe})$

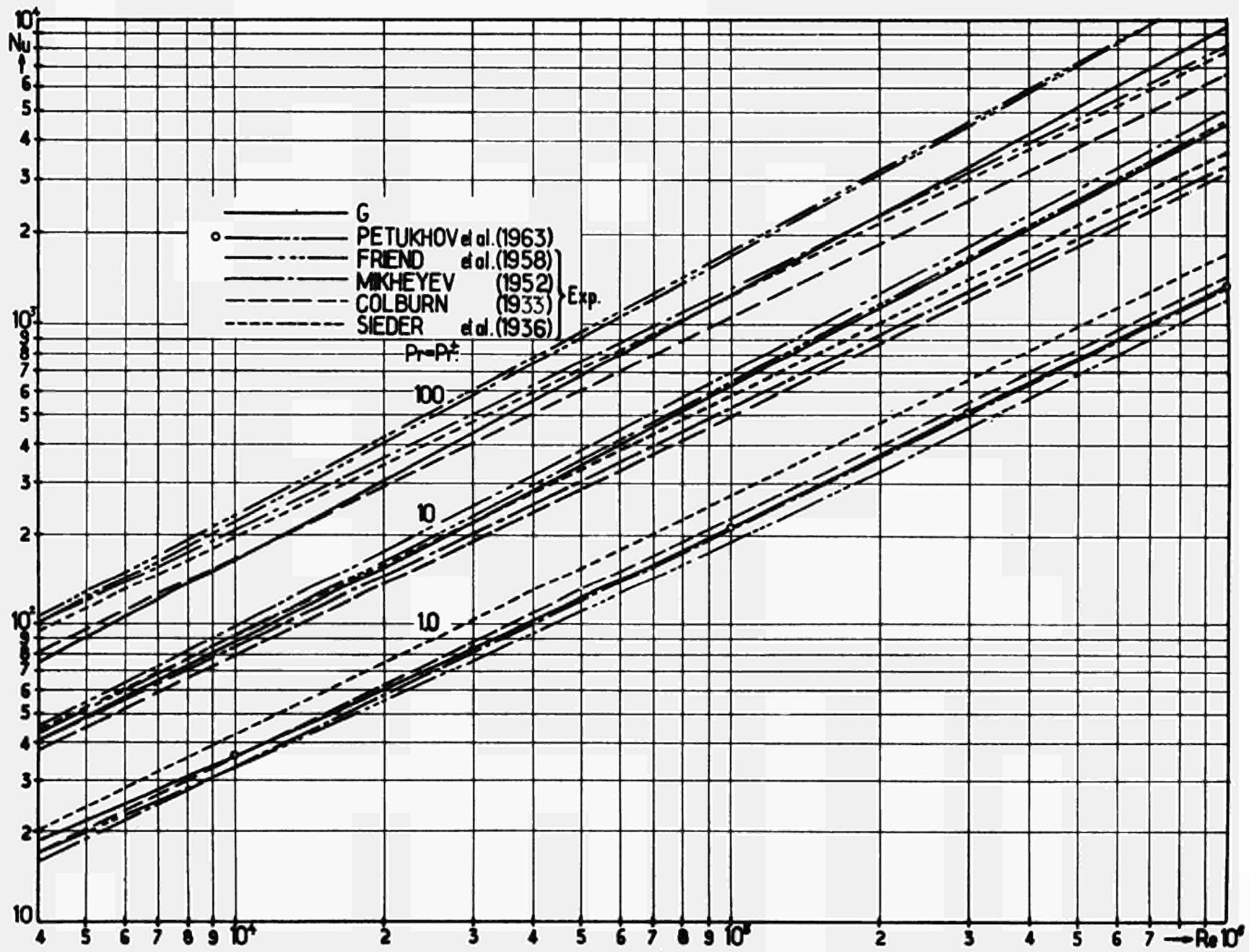


ABB.57. Vergleich der in der vorliegenden Arbeit (G) für die turbulente Rohrströmung berechneten Nusselt-Zahlen  $Nu=f(Re,Pr)$  mit theoretisch und experimentell gewonnenen Ergebnissen anderer Autoren ( $q_v=\text{konst.}-Pr=Pr^+=1;10;100$ )

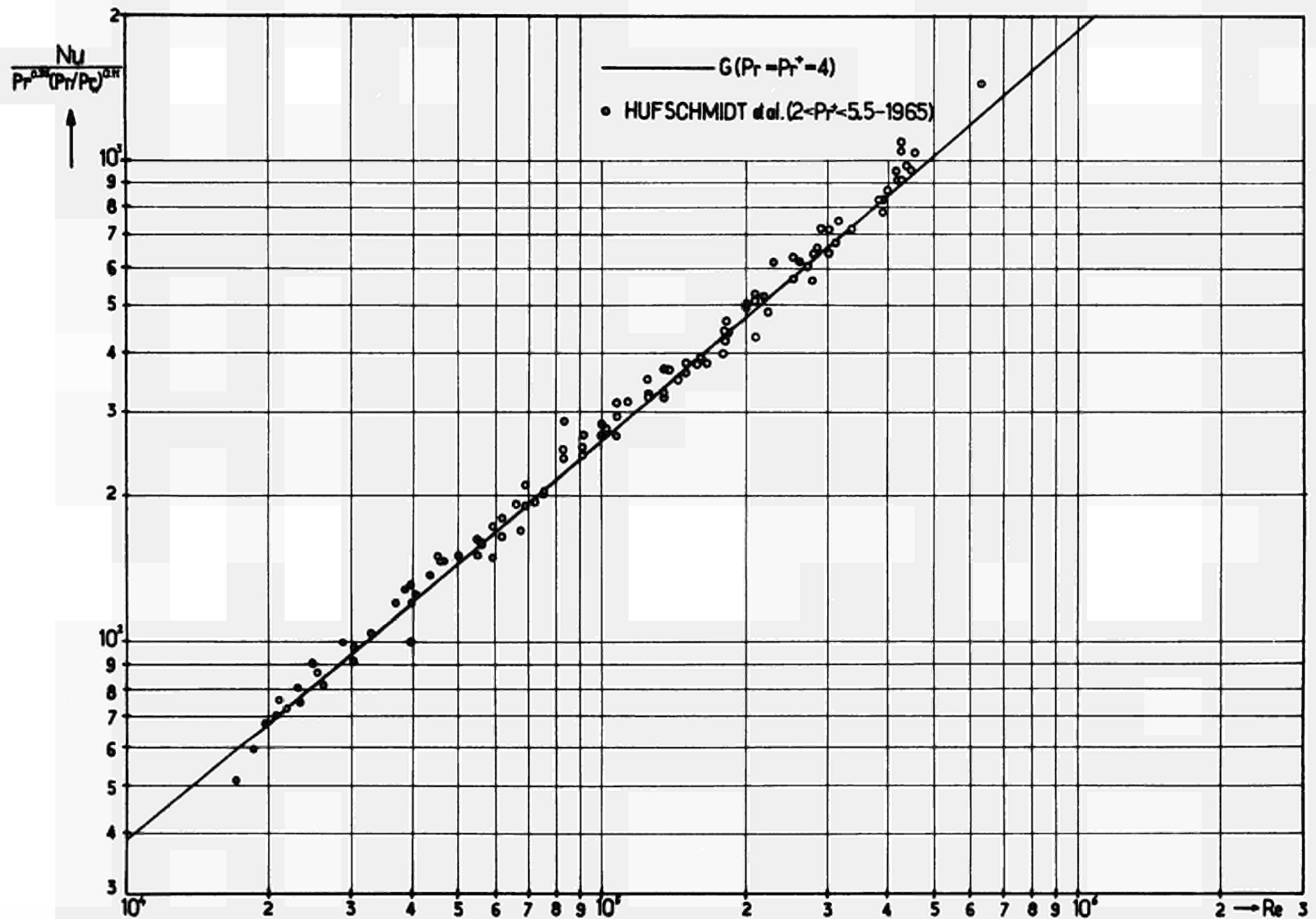


ABB.58. Vergleich der für die turbulente Rohrströmung ( $q_w = \text{konst.} - Pr^+ = Pr = 4$ ) berechneten (G) und an Wasser von W.HUFSCHMIDT et al. experimentell ermittelten Nusselt-Zahlen in der Darstellung  $Nu Pr^{-0.4} (Pr/Pr_w)^{-0.1} = f(Re)$

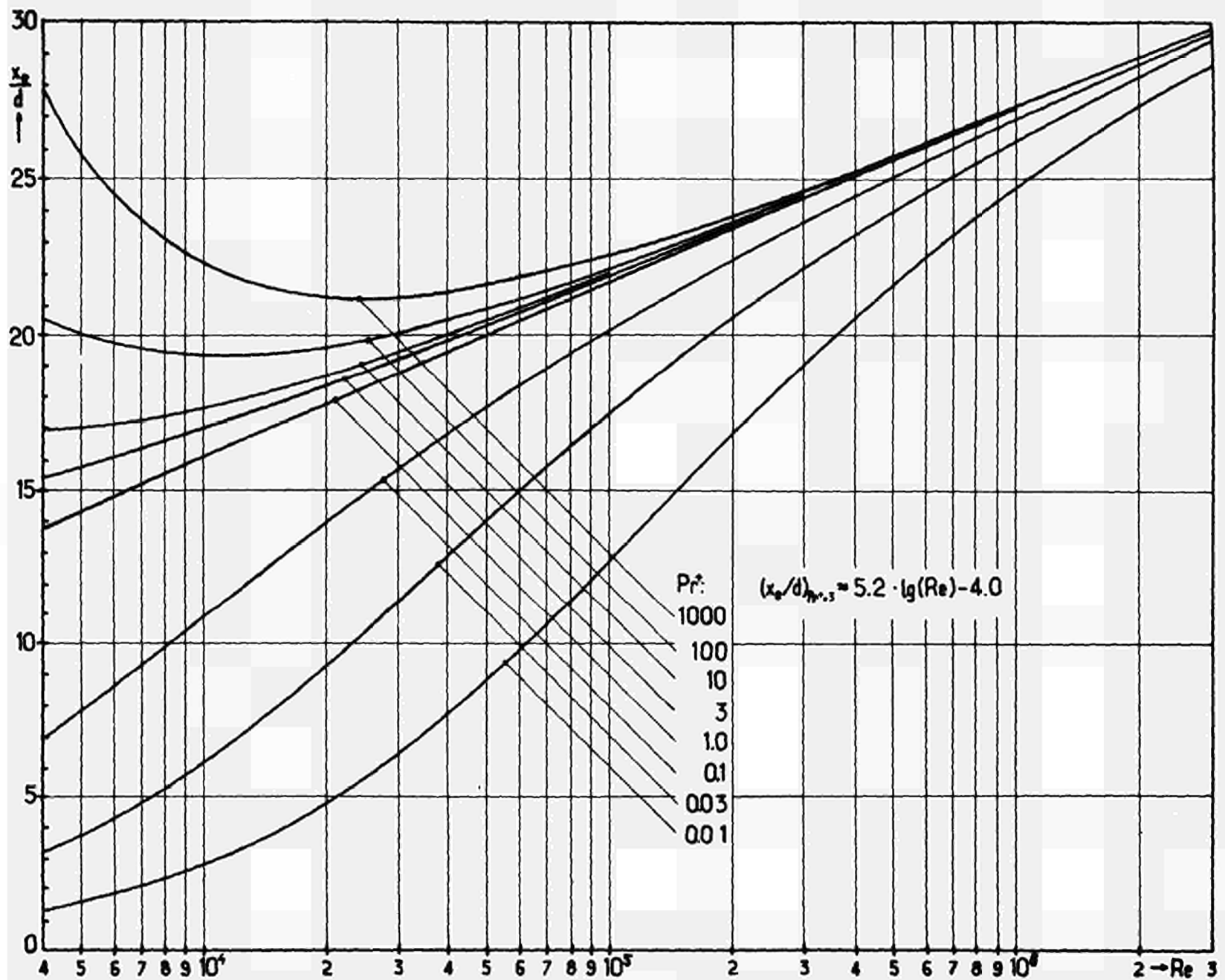


ABB.59. Thermische Einlaufänge  $x_e/d = f(Re, Pr^+)$  bei der turbulenten Rohrströmung für  $q_w = \text{konst.}$

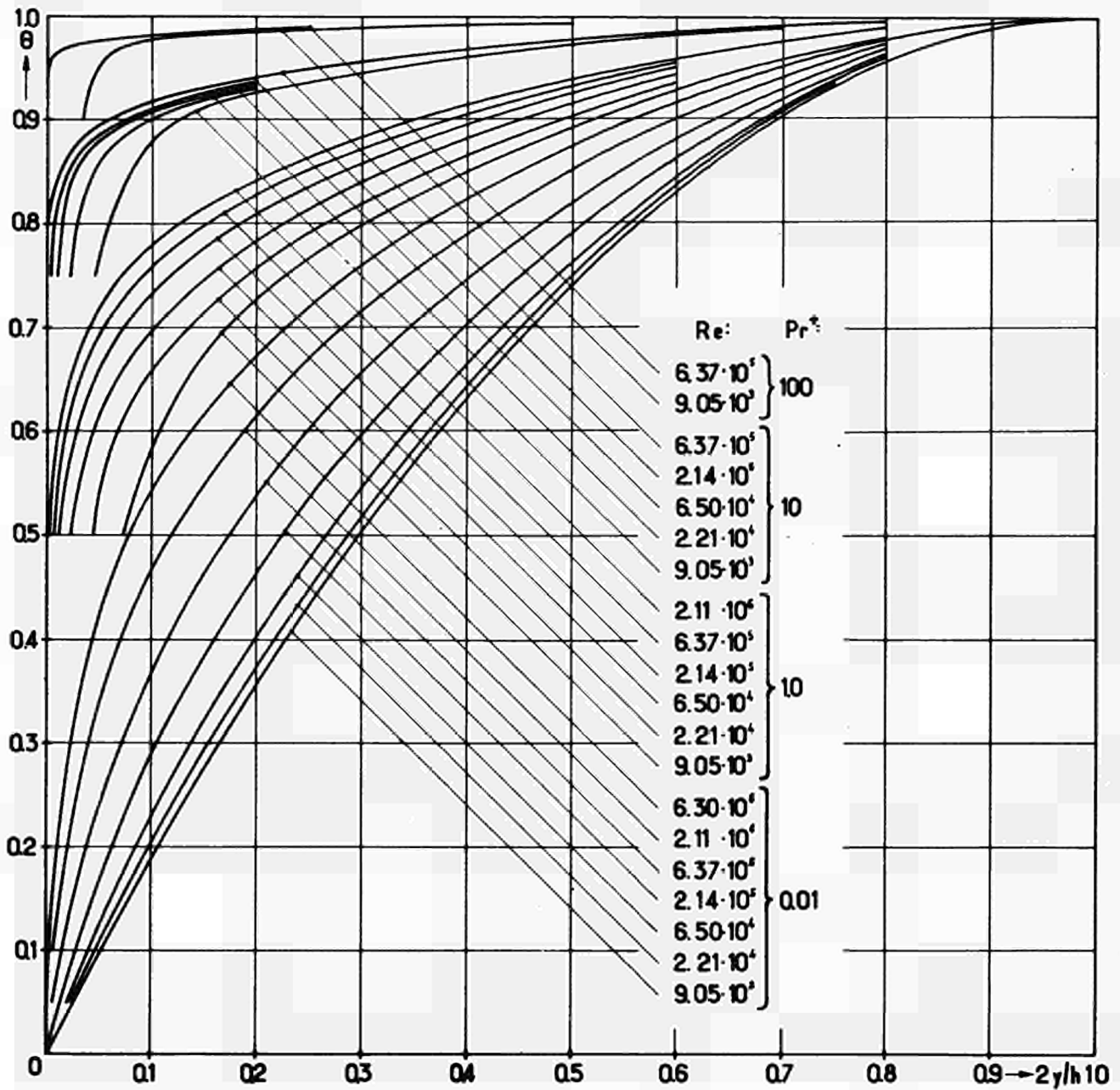


ABB.60. Temperaturverlauf  $\theta=f(2y/h, Re, Pr^+)$  bei der turbulenten Strömung zwischen parallelen Platten, symmetrischer Wärmeaustausch, für  $q_w = \text{konst.}$

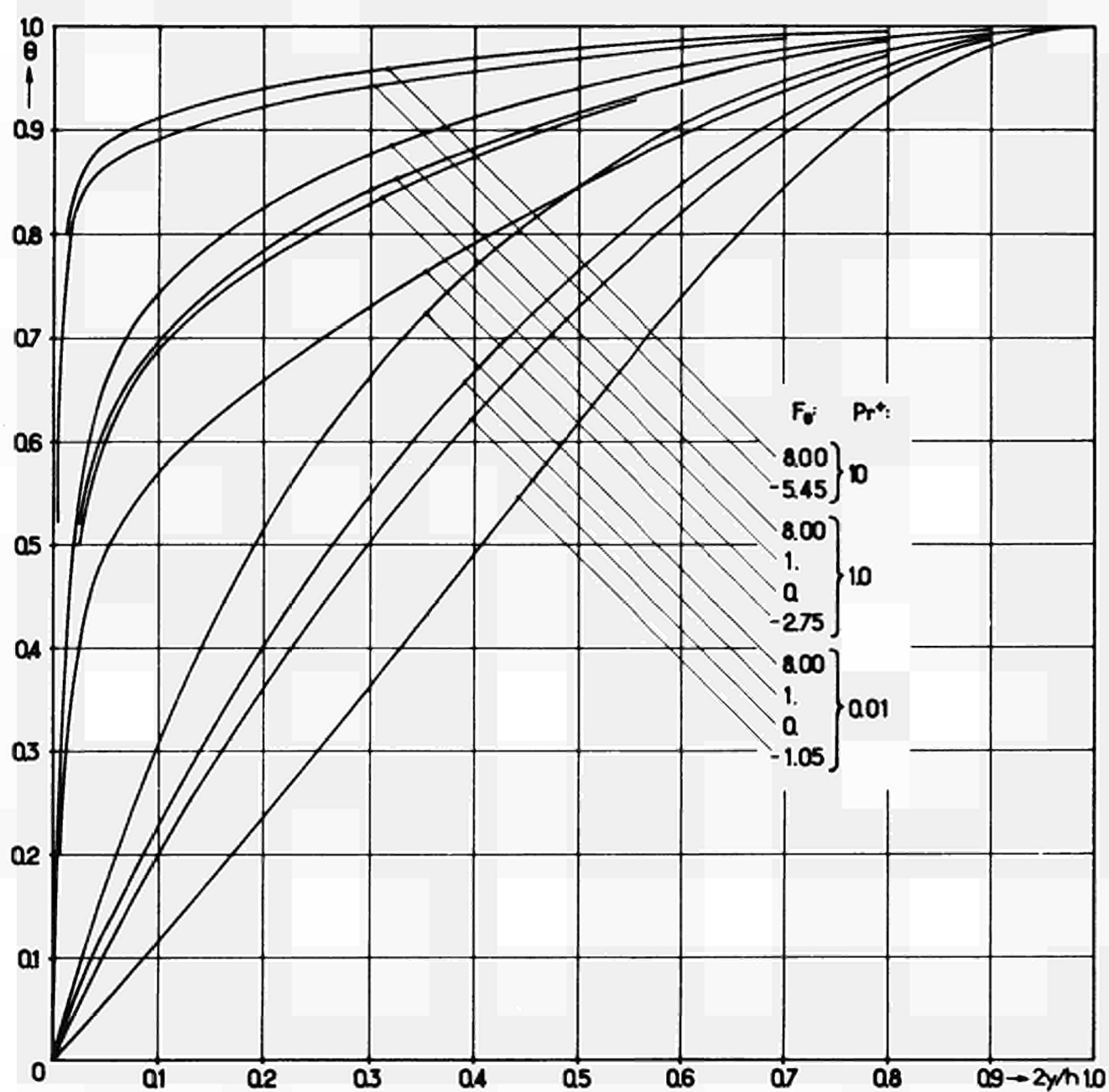


ABB. 61. Temperaturverlauf  $\theta = f(2y/h, Pr^+, F_0)$  bei der turbulenten Strömung zwischen parallelen Platten, symmetrischer Wärmeaustausch, für  $q_w = \text{konst.}$  und  $Re = 6,50 \cdot 10^4$



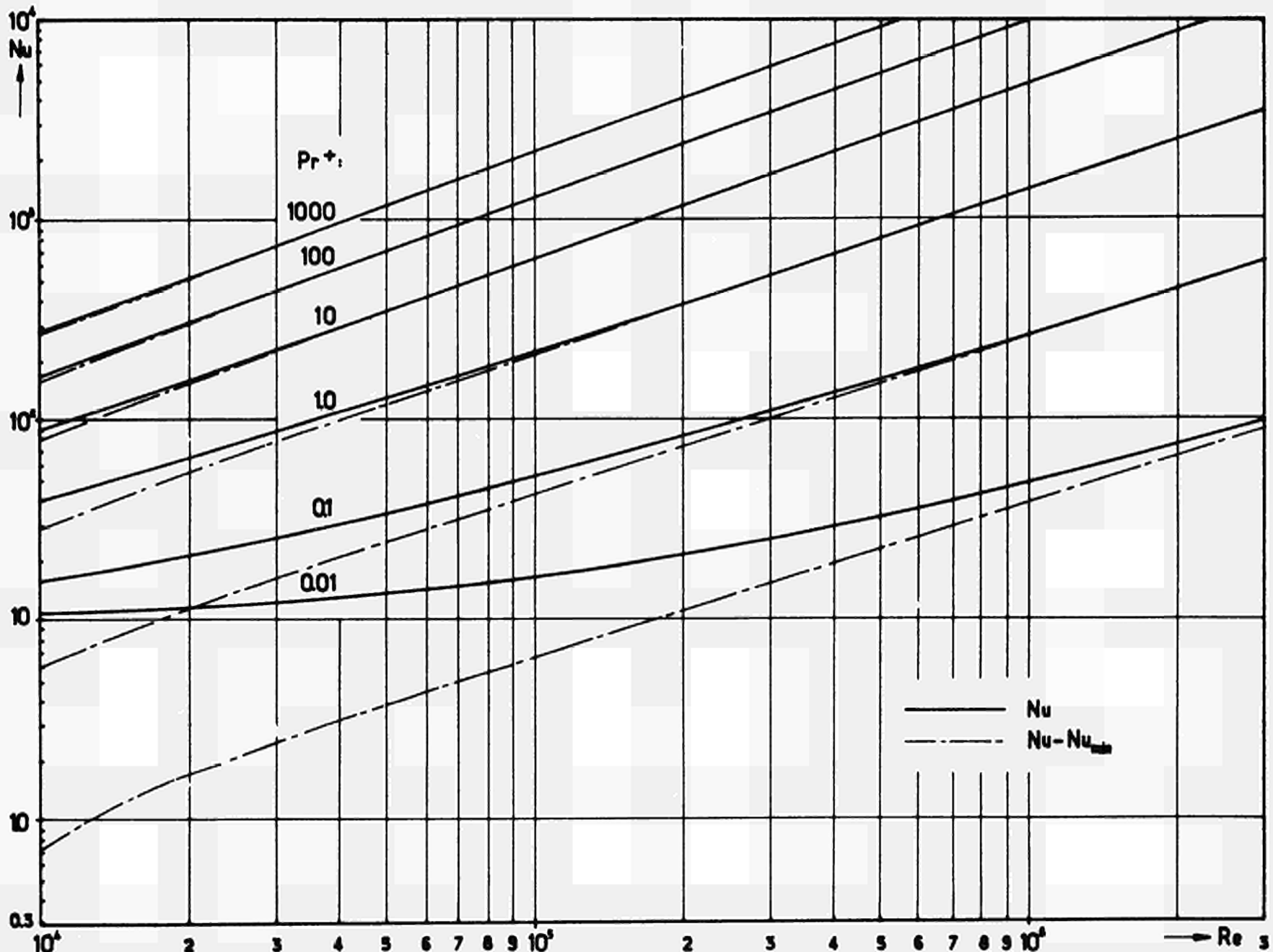


ABB.62. Nusselt-Zahlen  $Nu=f_1(Re, Pr^+)$  und  $Nu - Nu_{min} = Nu - Nu(Pr^+ = 0, Re_T = 4 \cdot 10^3) = f_2(Re, Pr^+)$  bei der turbulenten Strömung zwischen parallelen Platten, symmetrischer Wärmeaustausch, für  $q_w = \text{konst.}$

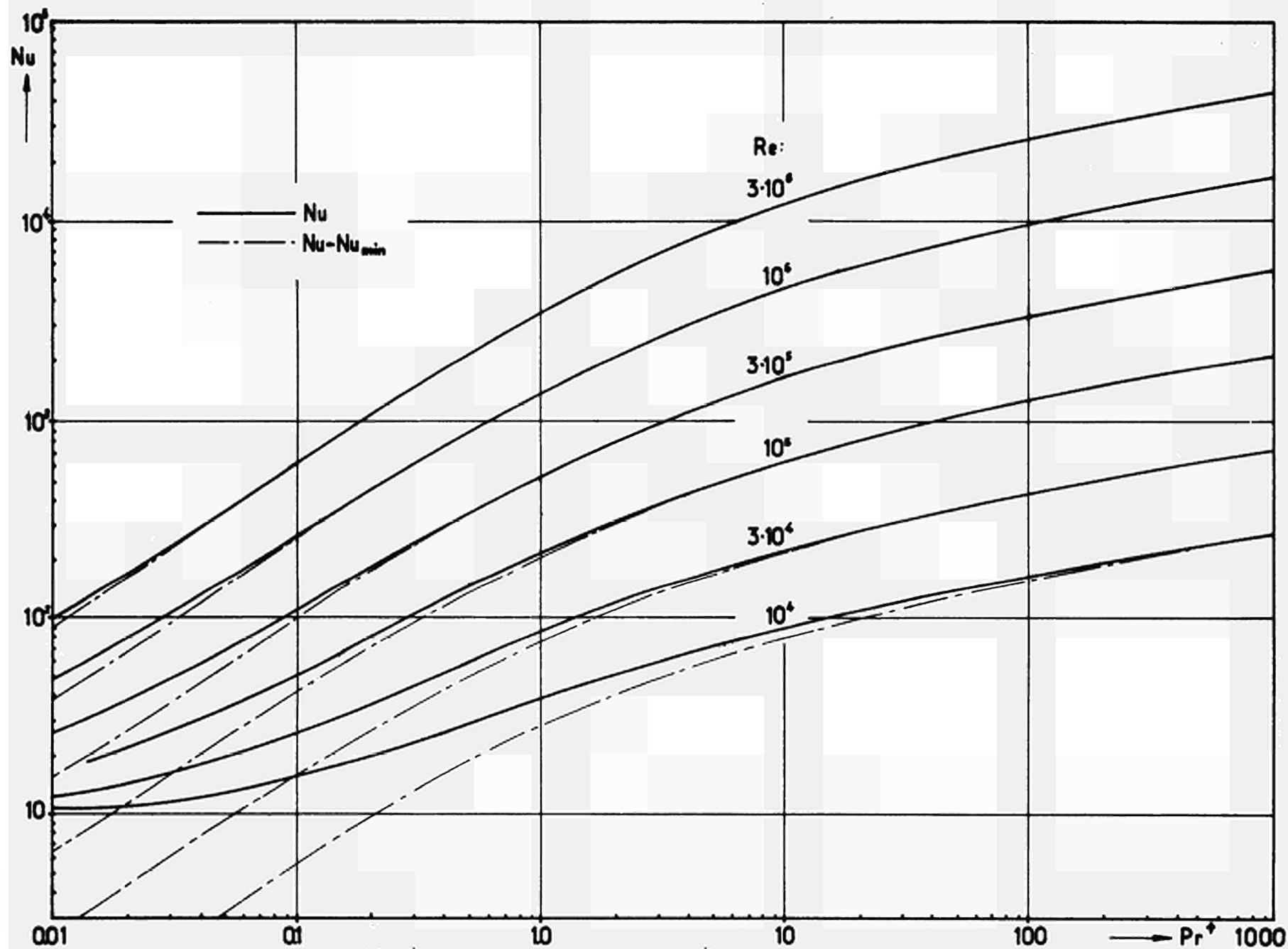


ABB.63. Nusselt-Zahlen  $Nu=f_1(Pr^+, Re)$  und  $Nu-Nu_{min}=f_2(Pr^+, Re)$  bei der turbulenten Strömung zwischen parallelen Platten, symmetrischer Wärmeaustausch, für  $q_w = \text{konst.}$

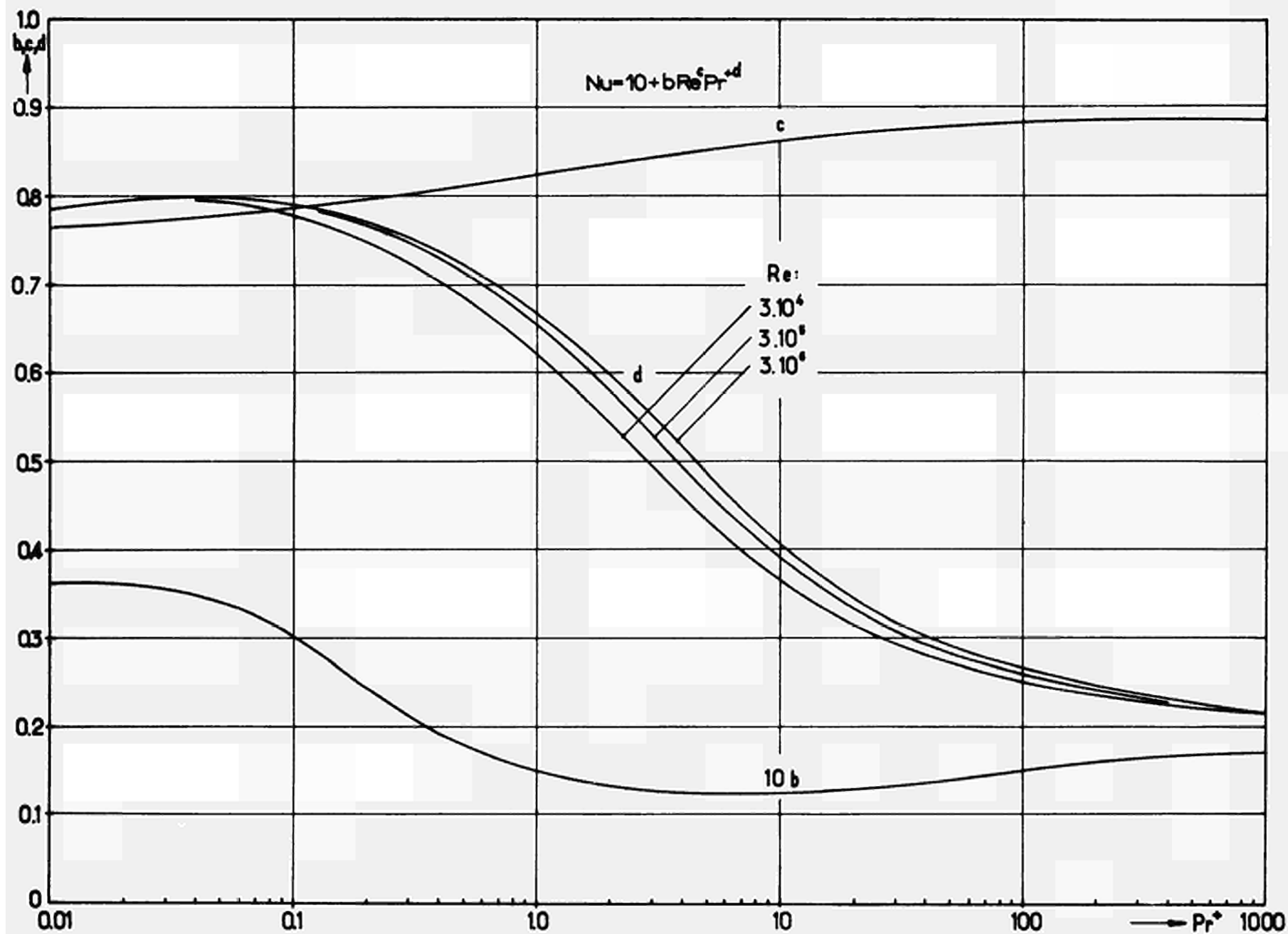


ABB.64. Koeffizienten  $b=f_1(Pr^+)$ ,  $c=f_2(Pr^+)$  und  $d=f_3(Pr^+, Re)$  der Beziehung  $Nu=10+bRe^c Pr^{+d}$  bei der turbulenten Strömung zwischen parallelen Platten, symmetrischer Wärmeaustausch, für  $q_w = \text{konst.}$

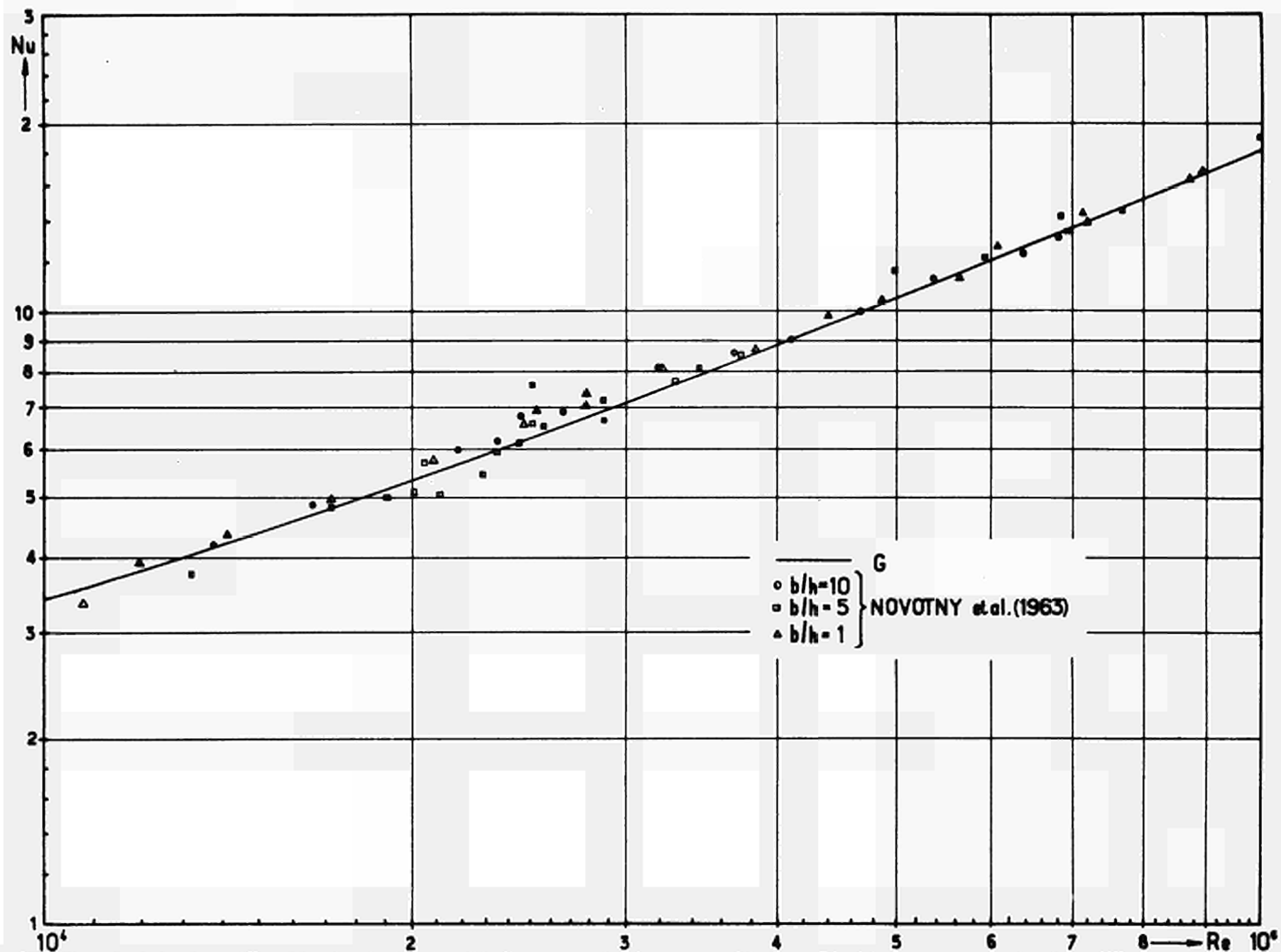


ABB.65. Vergleich der für die turbulente Strömung zwischen parallelen Platten, symmetrischer Wärmeaustausch, für  $q_w = \text{konst.}$  und  $Pr = Pr^+ = 0,72$  berechneten (G) und von J.L.Novotny et al./58/ an Luft experimentell ermittelten Nusselt-Zahlen  $Nu = f(Re)$ . ( $b/h$  gibt das Seitenverhältnis des Rechteckquerschnitts an,  $h$  ist unbeheizt.)

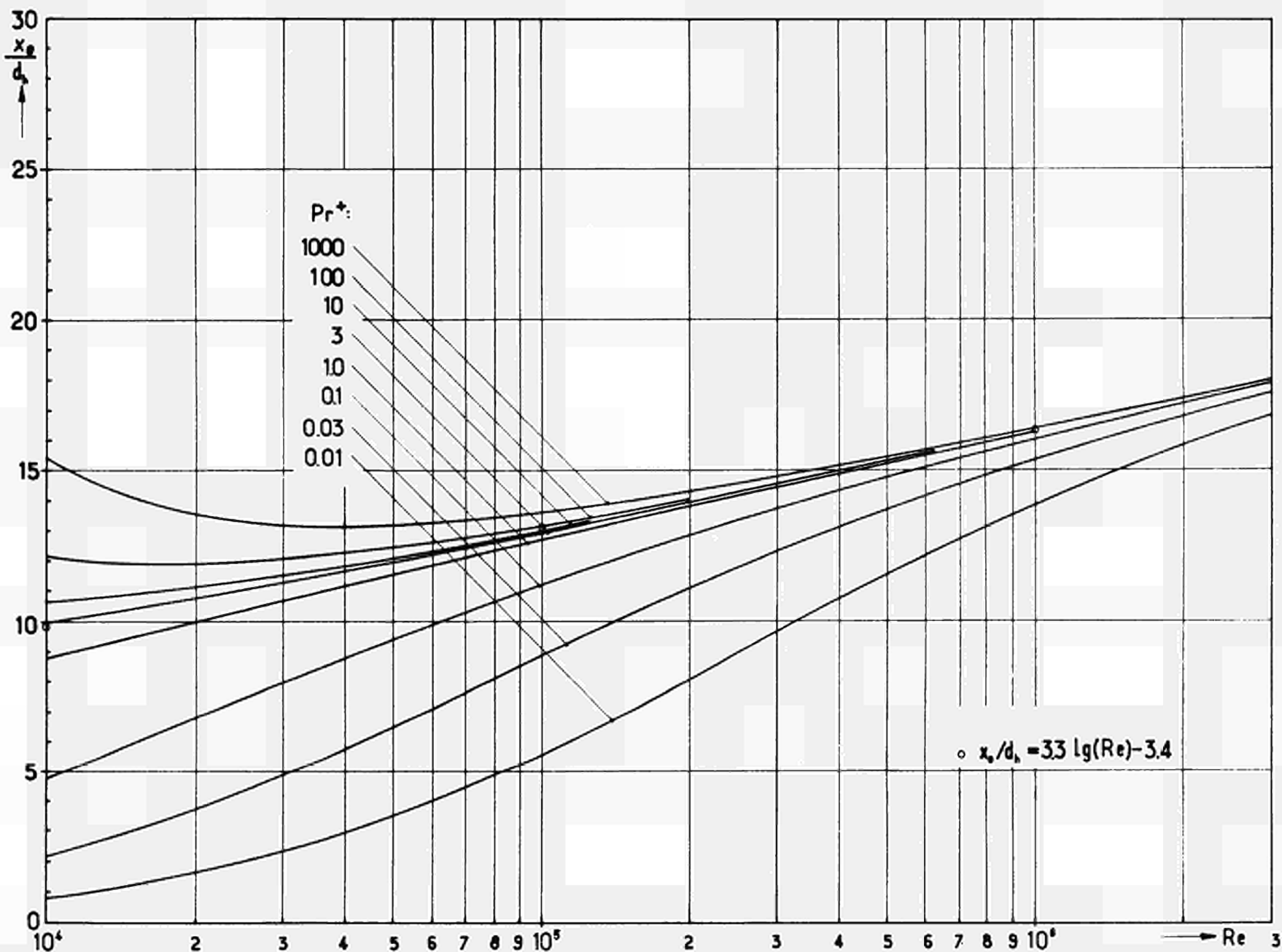


ABB.66. Thermische Einlaufänge  $x_e/d_n = f(Re, Pr^+)$  bei der turbulenten Strömung zwischen parallelen Platten, symmetrischer Wärmeaustausch, für  $q_w = \text{konst.}$

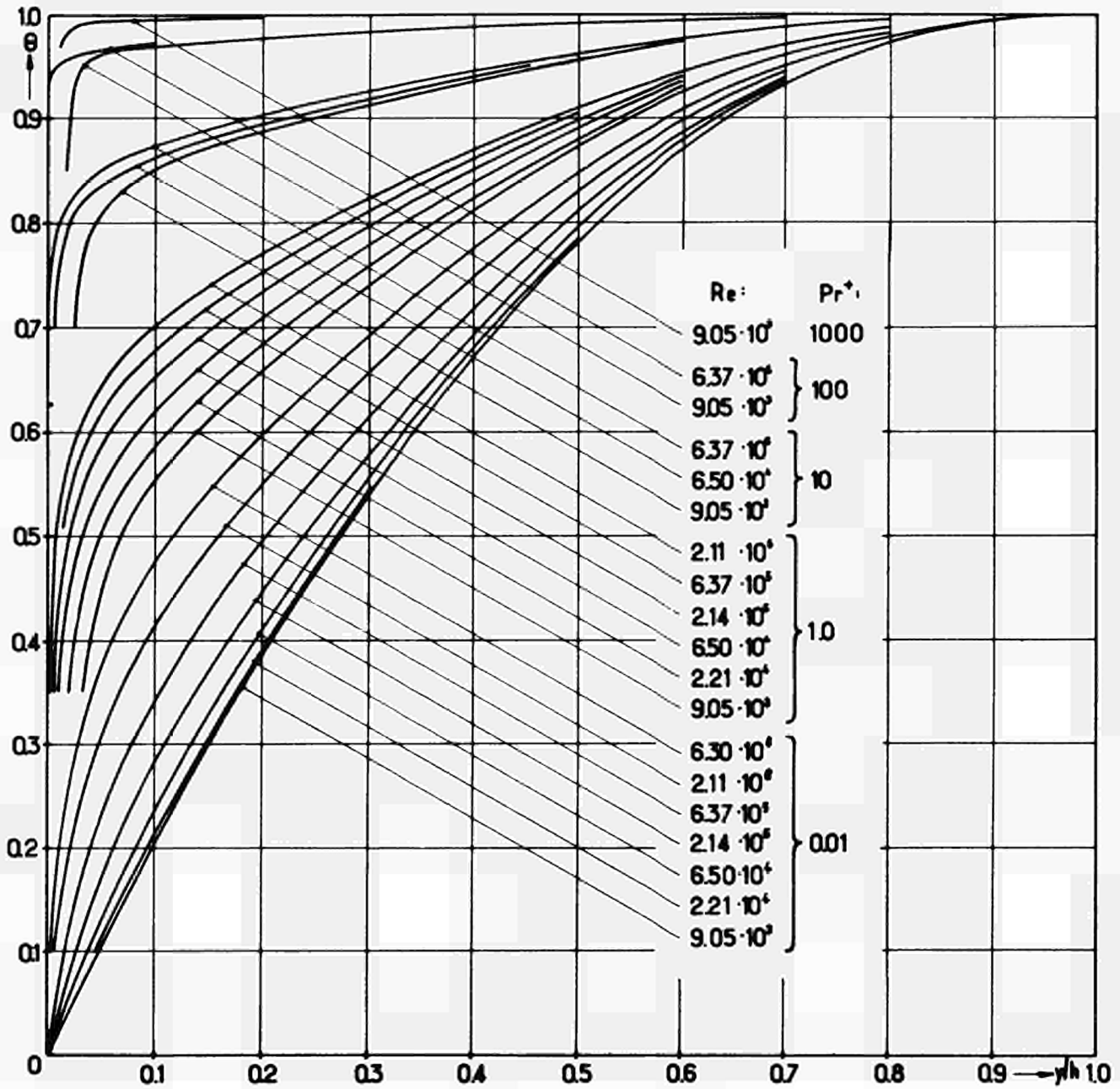


ABB.67. Temperaturverlauf  $\theta = f(y/h, Re, Pr^+)$  bei der turbulenten Strömung zwischen parallelen Platten, asymmetrischer Wärmeaustausch, für  $q_w = \text{konst.}$

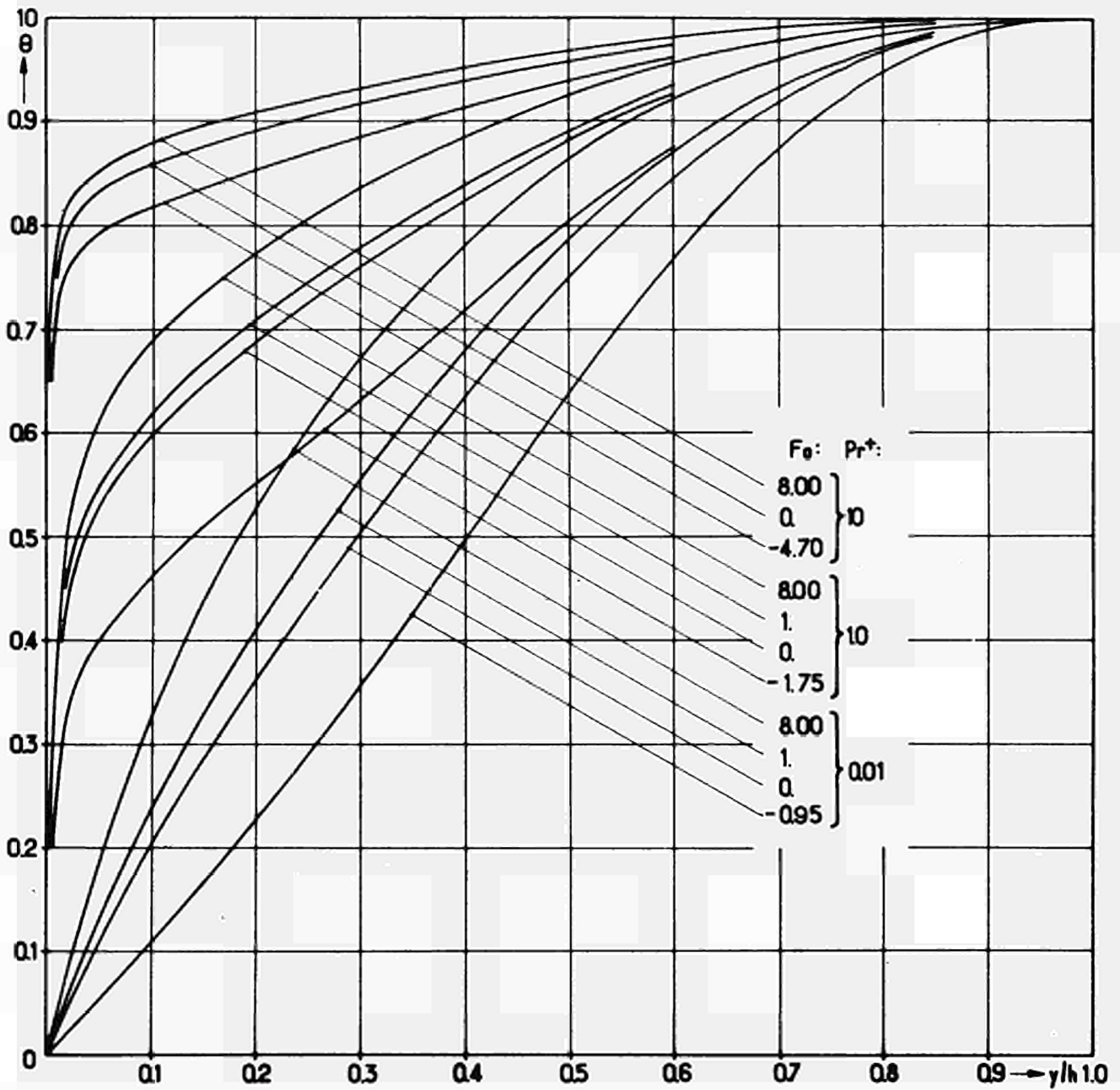


ABB.68. Temperaturverlauf  $\theta=f(y/h, Pr^+, Fo)$  bei der turbulenten Strömung zwischen parallelen Platten, asymmetrischer Wärmeaustausch. für  $q_w = \text{konst.}$  und  $Re = 6,50 \cdot 10^4$

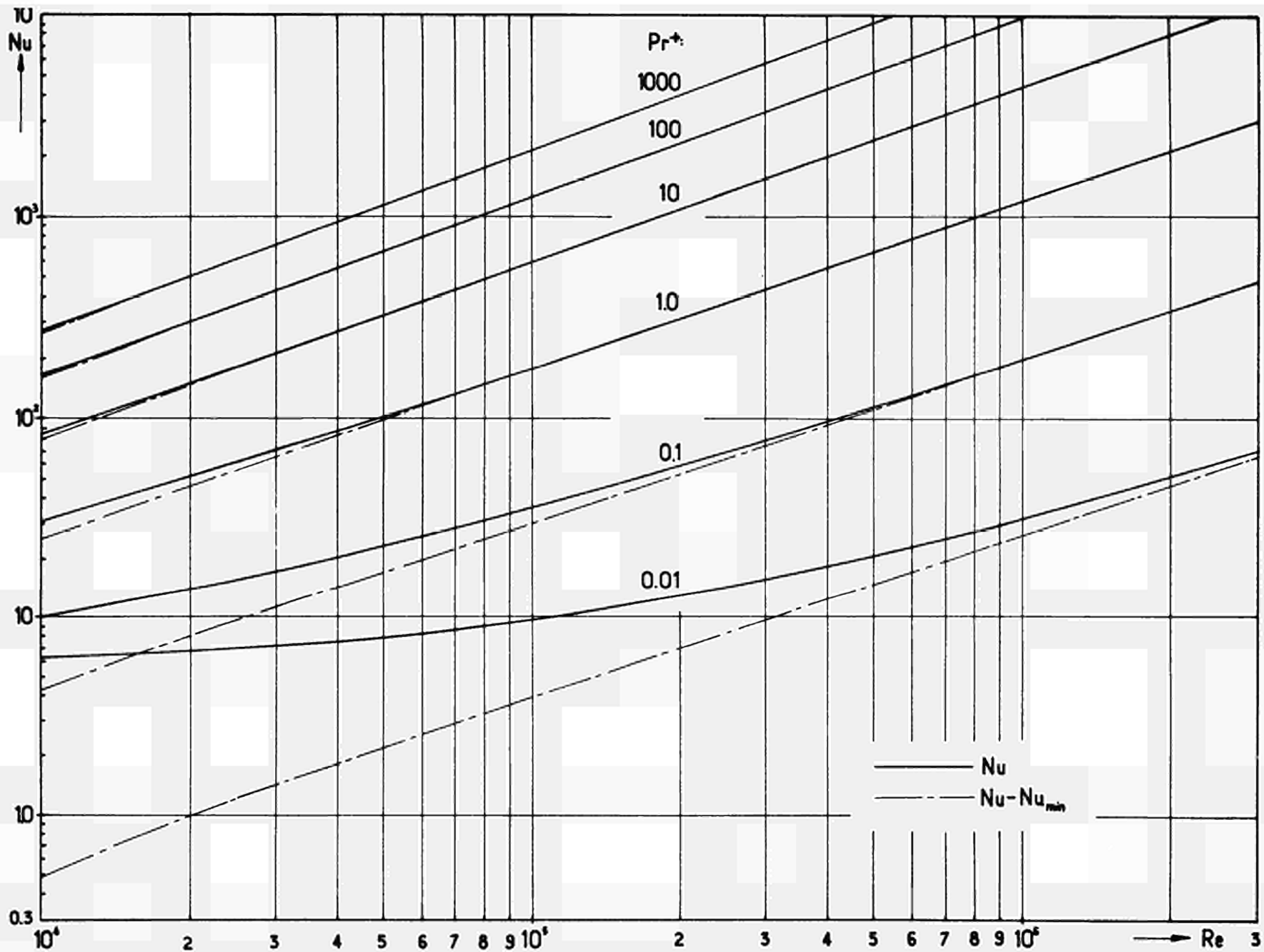


ABB.69. Nusselt-Zahlen  $Nu=f_1(Re, Pr^+)$  und  $Nu - Nu_{min} = Nu - Nu(Pr^+=0, Re_T=4 \cdot 10^3) = f_2(Re, Pr^+)$  bei der turbulenten Strömung zwischen parallelen Platten, asymmetrischer Wärmeaustausch, für  $q_w = \text{konst.}$



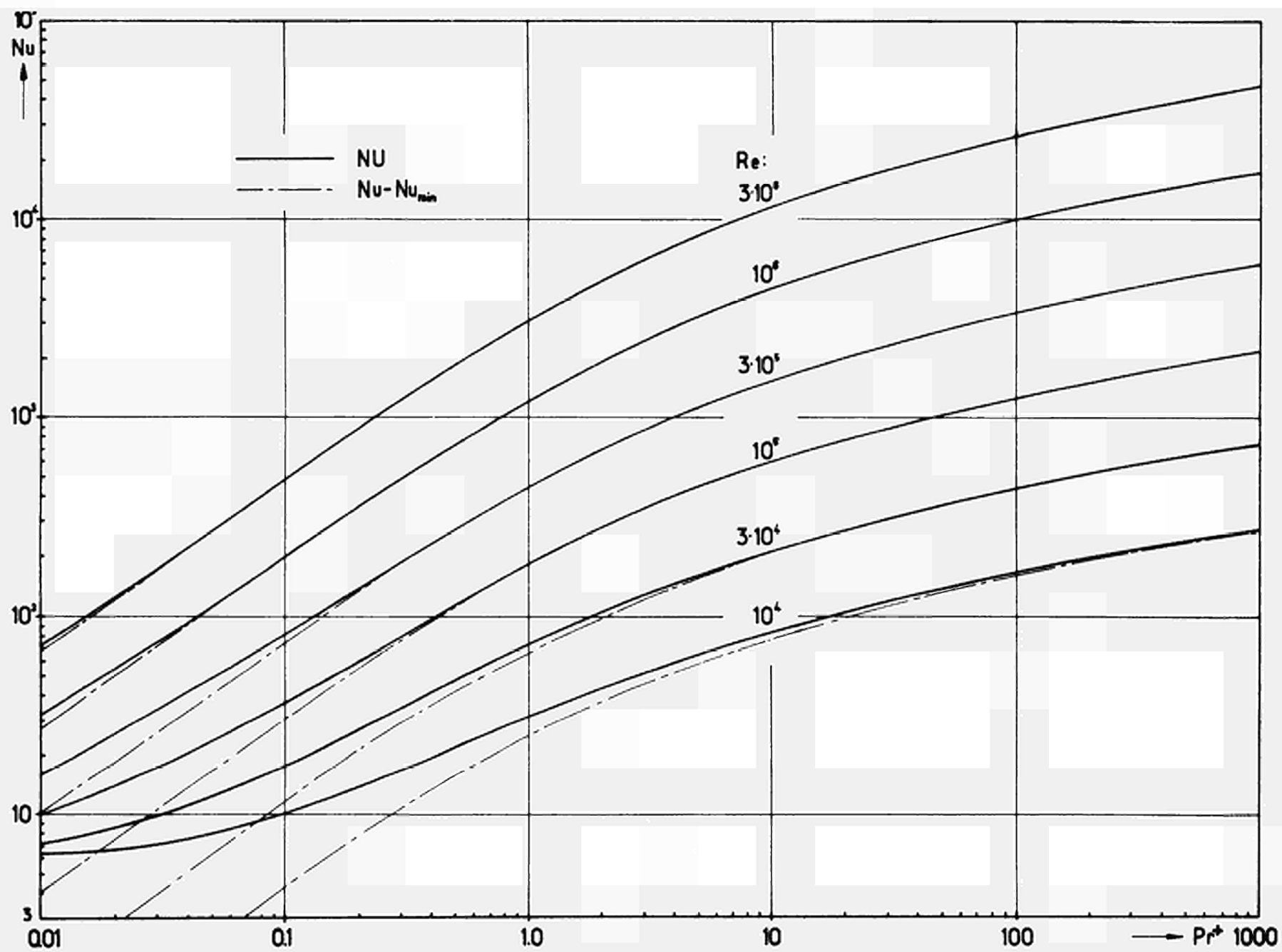


ABB.70. Nusselt-Zahlen  $Nu=f_1(Pr^+, Re)$  und  $Nu-Nu_{min}=f_2(Pr^+, Re)$  bei der turbulenten Strömung zwischen parallelen Platten, asymmetrischer Wärmeaustausch, für  $q_w=konst.$

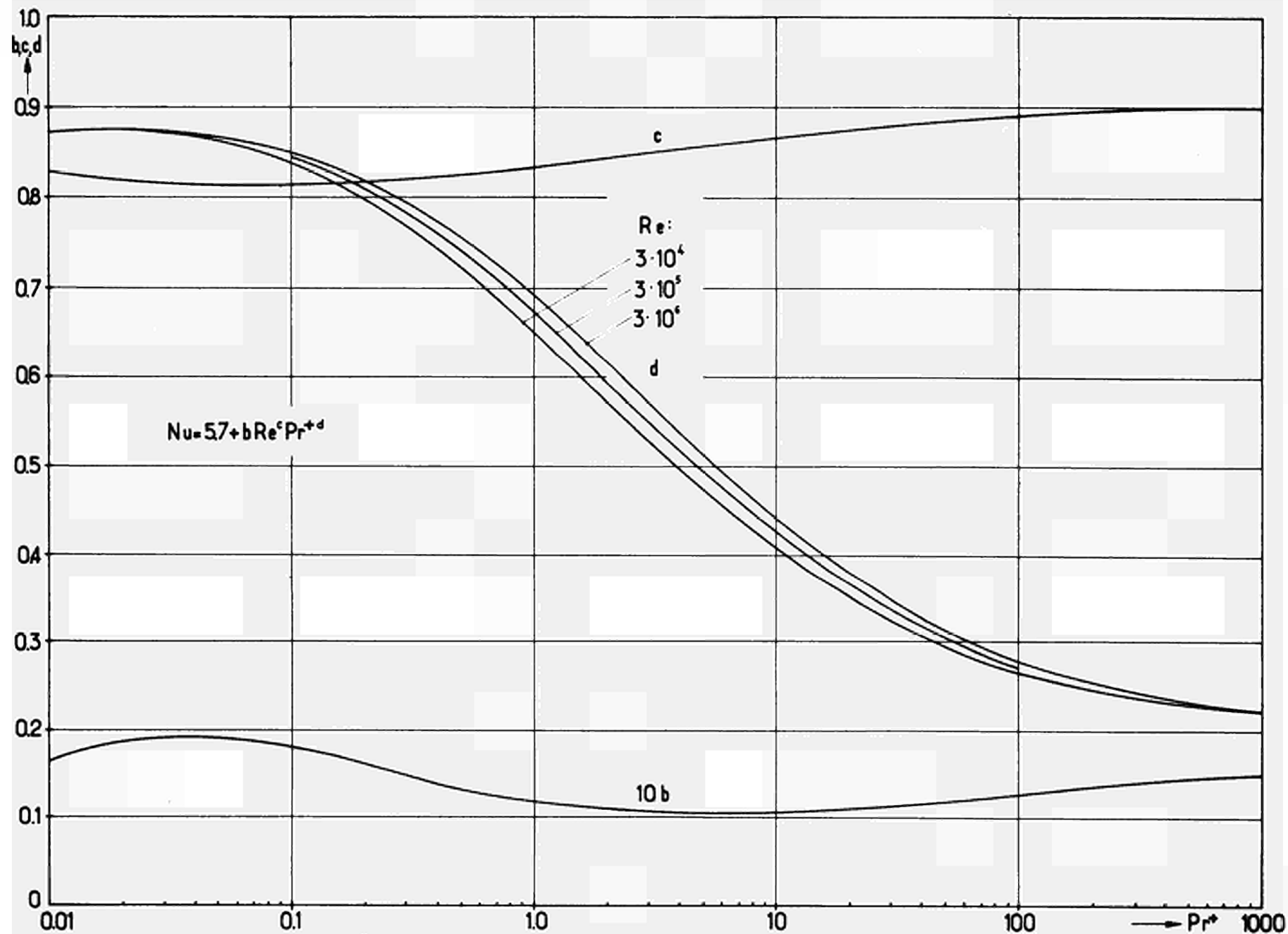


ABB.71 Koeffizienten  $b=f_1(Pr^+)$ ,  $c=f_2(Pr^+)$  und  $d=f_3(Pr^+, Re)$  der Beziehung  $Nu=5,7+bRe^c Pr^{+d}$  bei der turbulenten Strömung zwischen parallelen Platten, asymmetrischer Wärmeaustausch, für  $q_w = \text{konst.}$

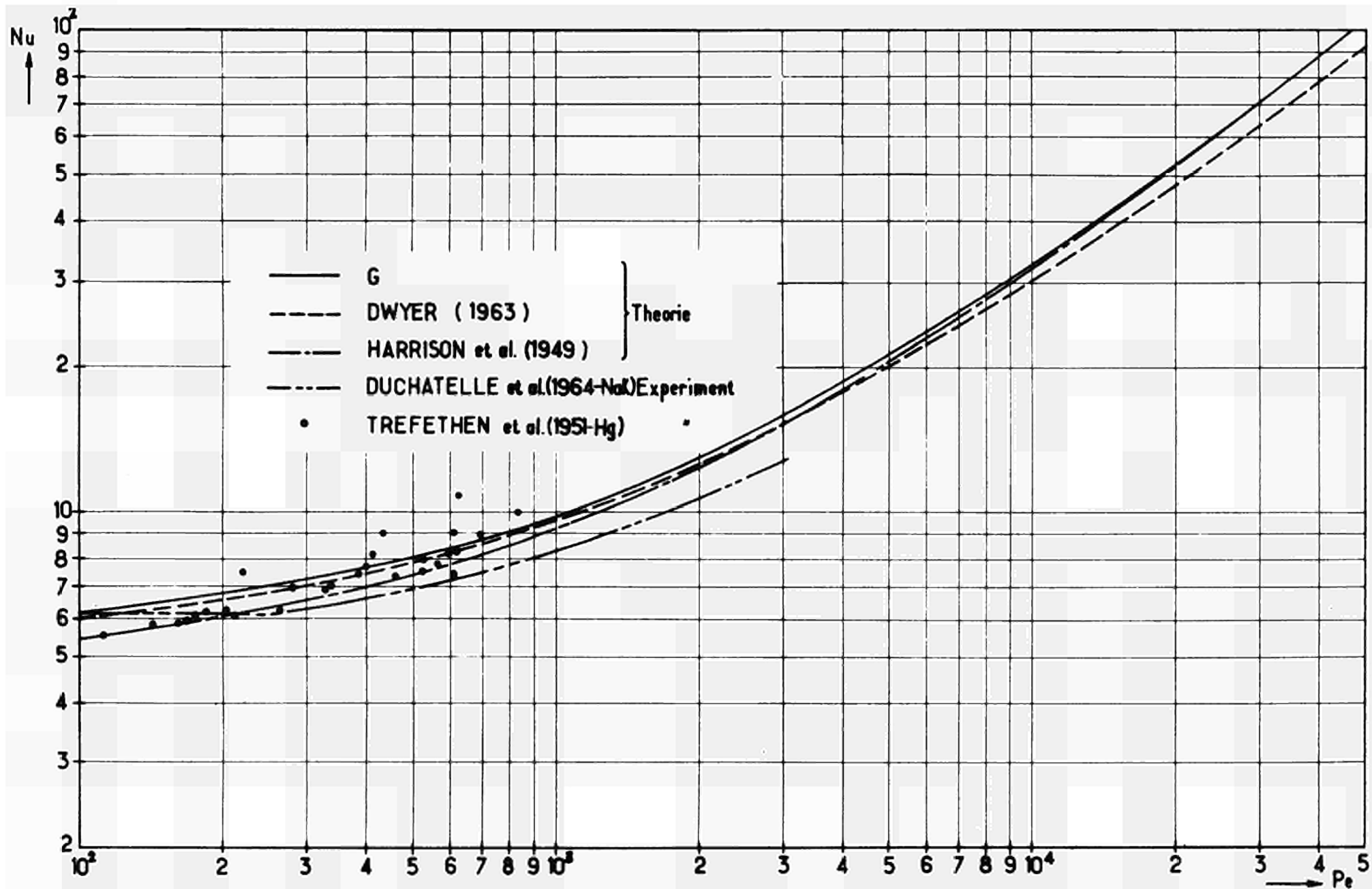


ABB.72. Vergleich der in der vorliegenden Arbeit (G) für die turbulente Strömung zwischen parallelen Platten, asymmetrischer Wärmeaustausch, für  $q_w = \text{konst.}$  und  $Pr = Pr = 0,01$  berechneten Nusselt-Zahlen  $Nu = f(Pe)$  mit theoretischen und an Flüssigmetallen experimentell ermittelten Ergebnissen anderer Autoren

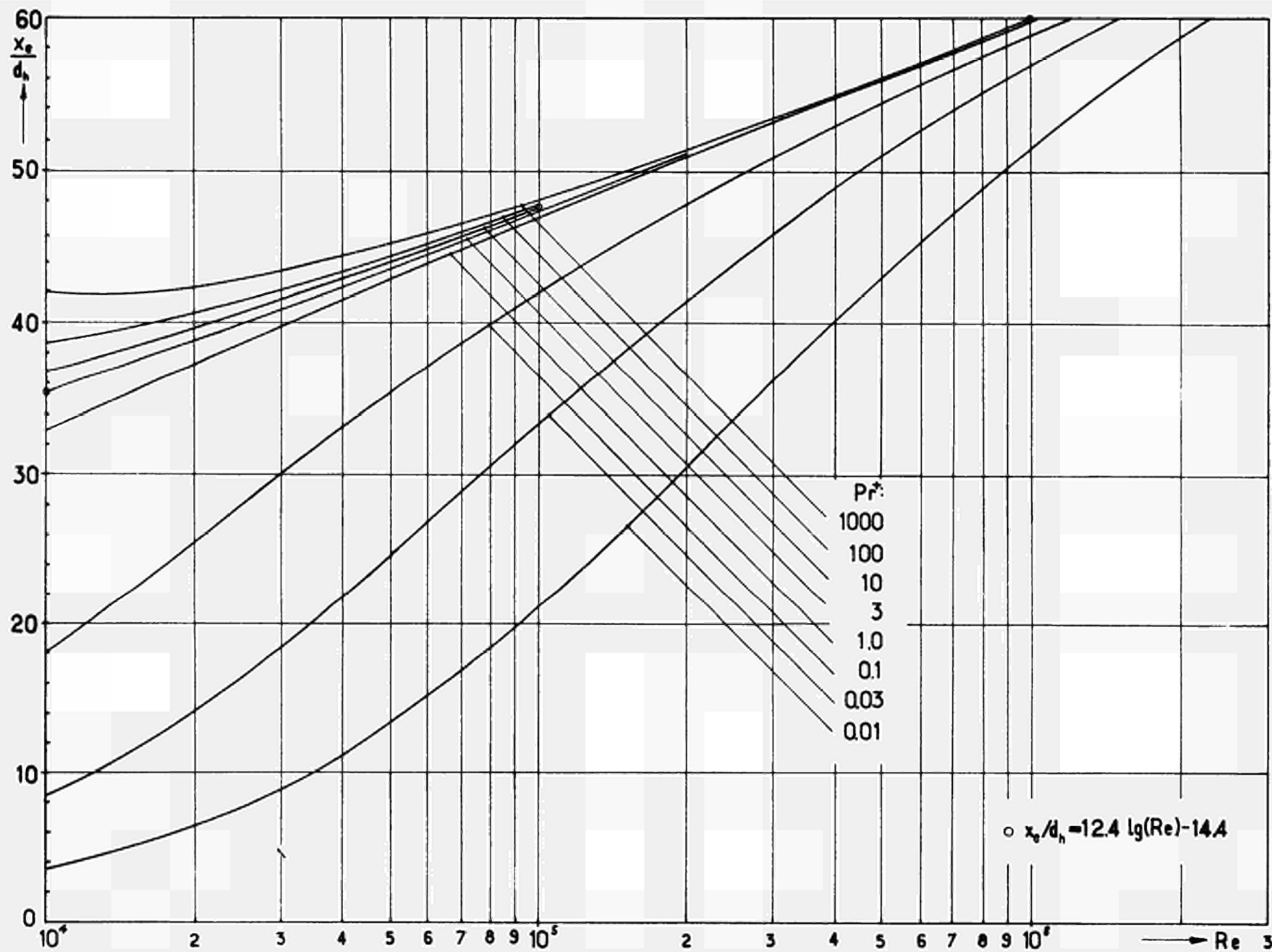


ABB.73. Thermische Einlauflänge  $x_e/d_h = f(Re, Pr^+)$  bei der turbulenten Strömung zwischen parallelen Platten, asymmetrischer Wärmeaustausch, für  $q_w = \text{konst.}$

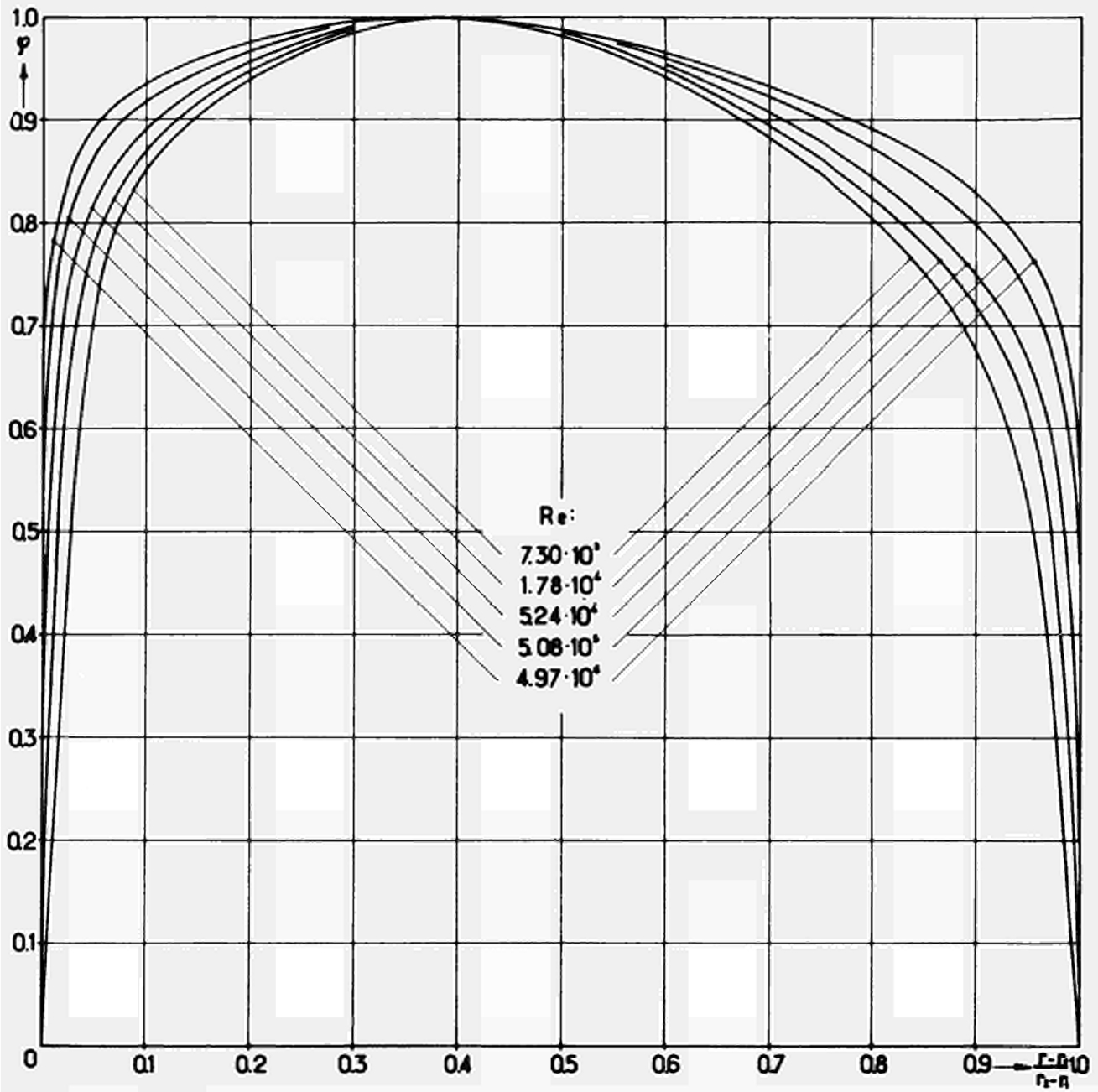


ABB.74. Geschwindigkeitsverlauf  $\varphi = f((r-r_1)/(r_2-r_1), Re)$  bei der turbulenten Strömung im Ringspalt für  $r_1/r_2 = 0,2$

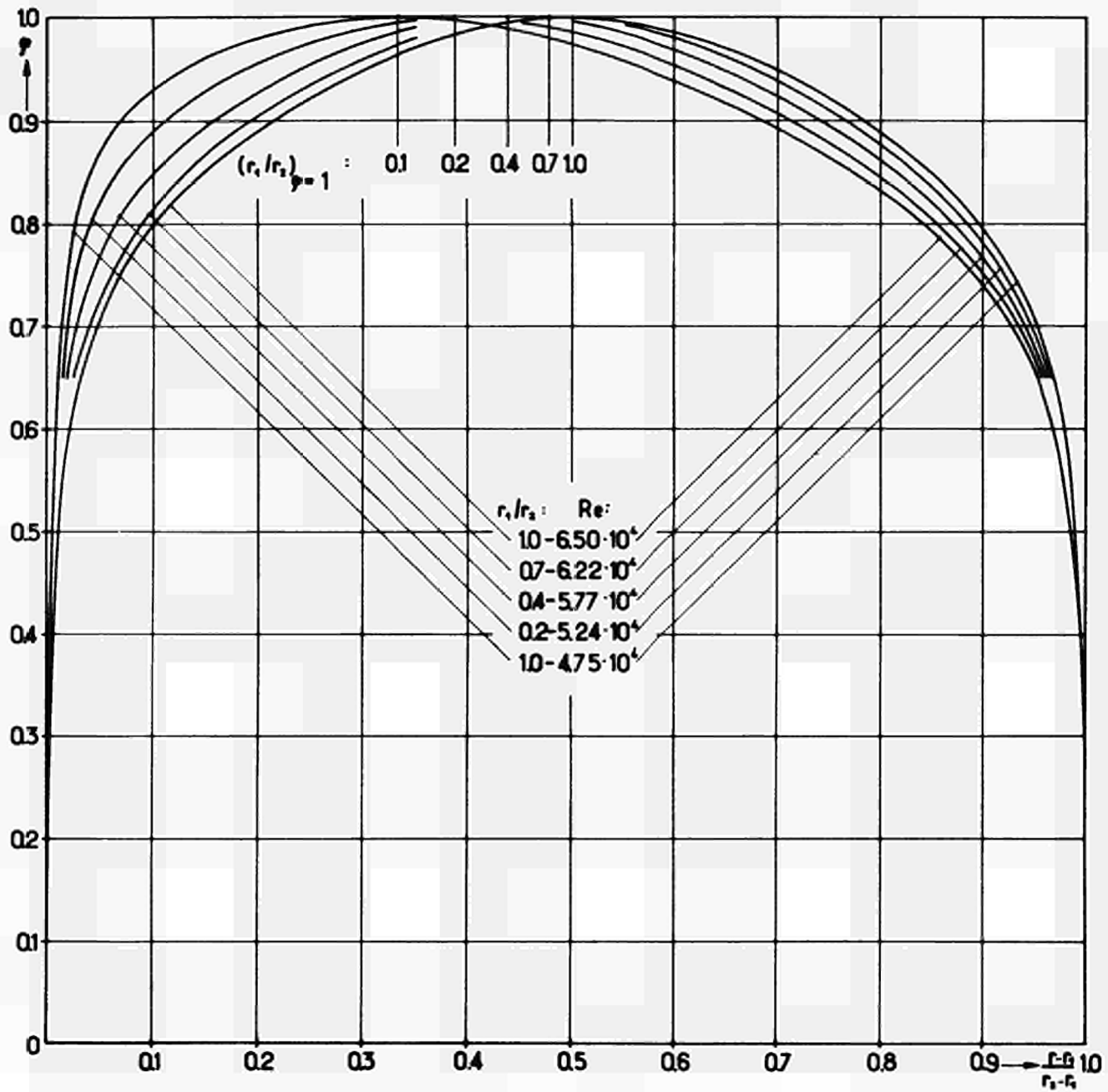


ABB.75. Geschwindigkeitsverteilung  $\varphi=f((r-r_1)/(r_2-r_1), r_1/r_2)$  bei der turbulenten Strömung im Ringspalt für  $Re_T=3 \cdot 10^4$

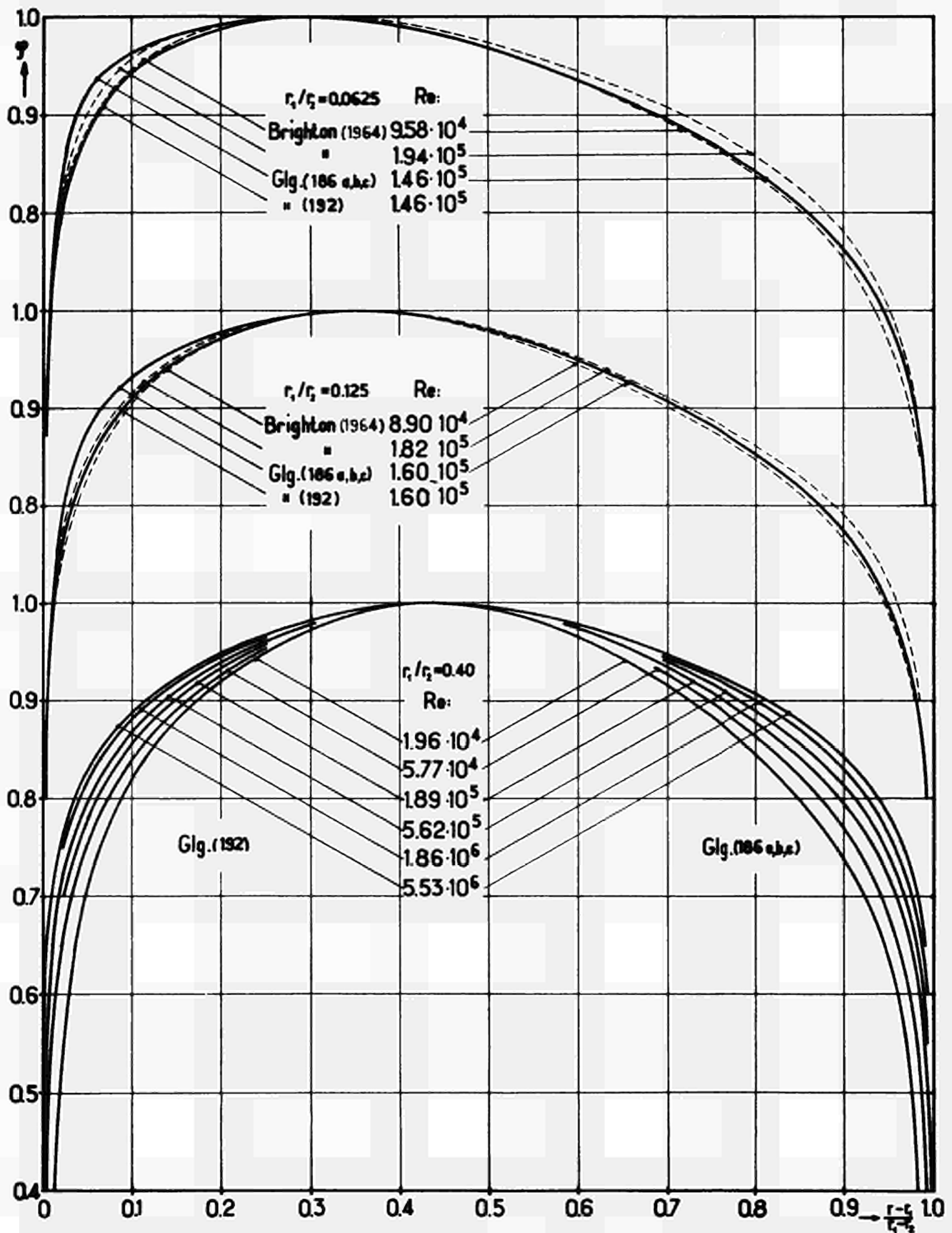


ABB.76. Vergleich der für die turbulente Strömung im Ringspalt mit Hilfe der Gleichungen (186a,b,c) bzw. (192) berechneten und an Luft von J.A.BRIGHTON et al./25/ experimentell ermittelten Geschwindigkeitsverteilungen  $\psi = f((r-r_1)/(r_2-r_1), Re, r_1/r_2)$

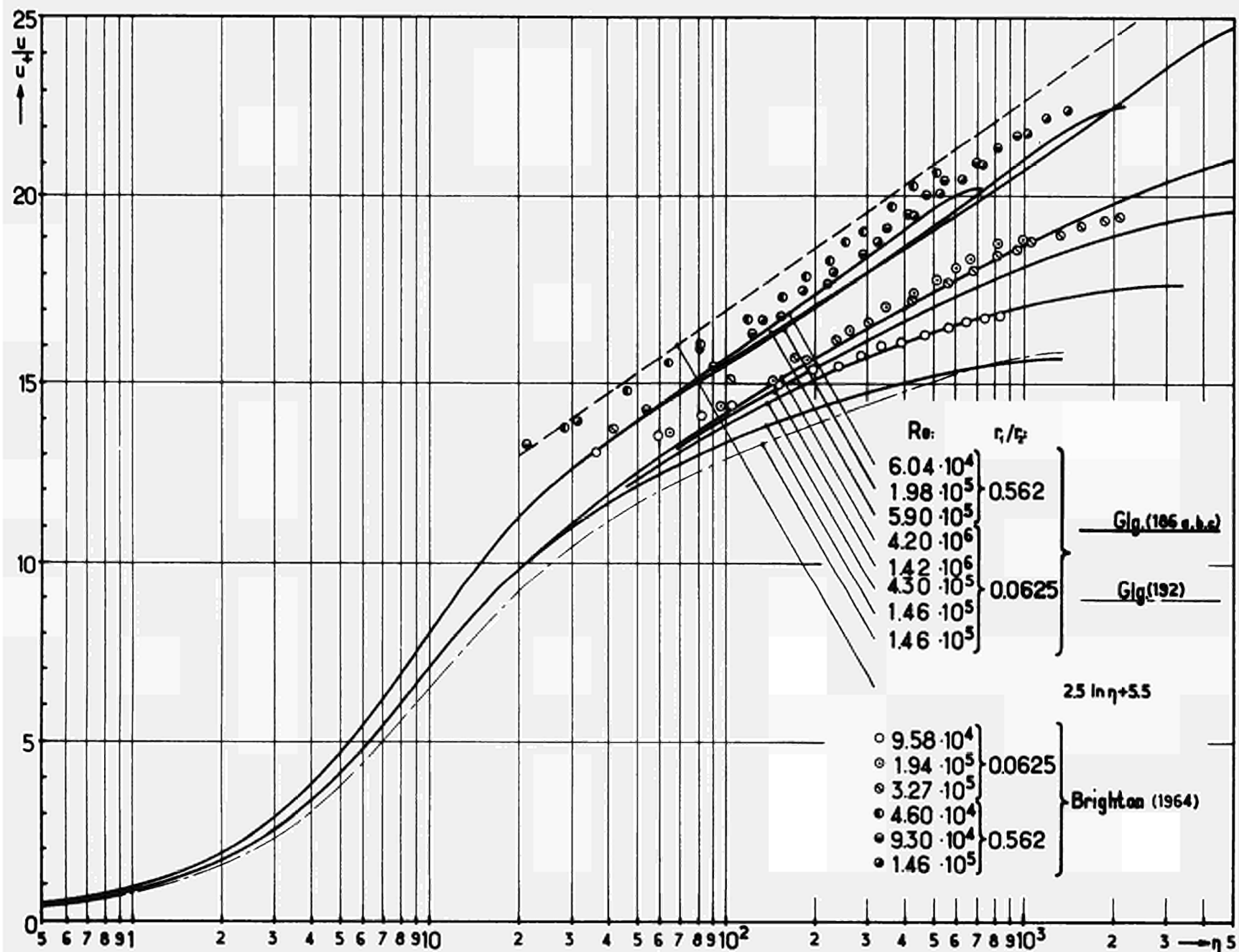


ABB.77. Vergleich der für die turbulente Strömung im Ringspalt mit Hilfe der Gleichungen (186a,b,c) bzw. (192) berechneten und an Luft von J.A. BRIGHTON et al./25/ experimentell ermittelten Geschwindigkeitsverteilungen  $u/u_+ = f(\eta = Re \cdot r/r_+)$



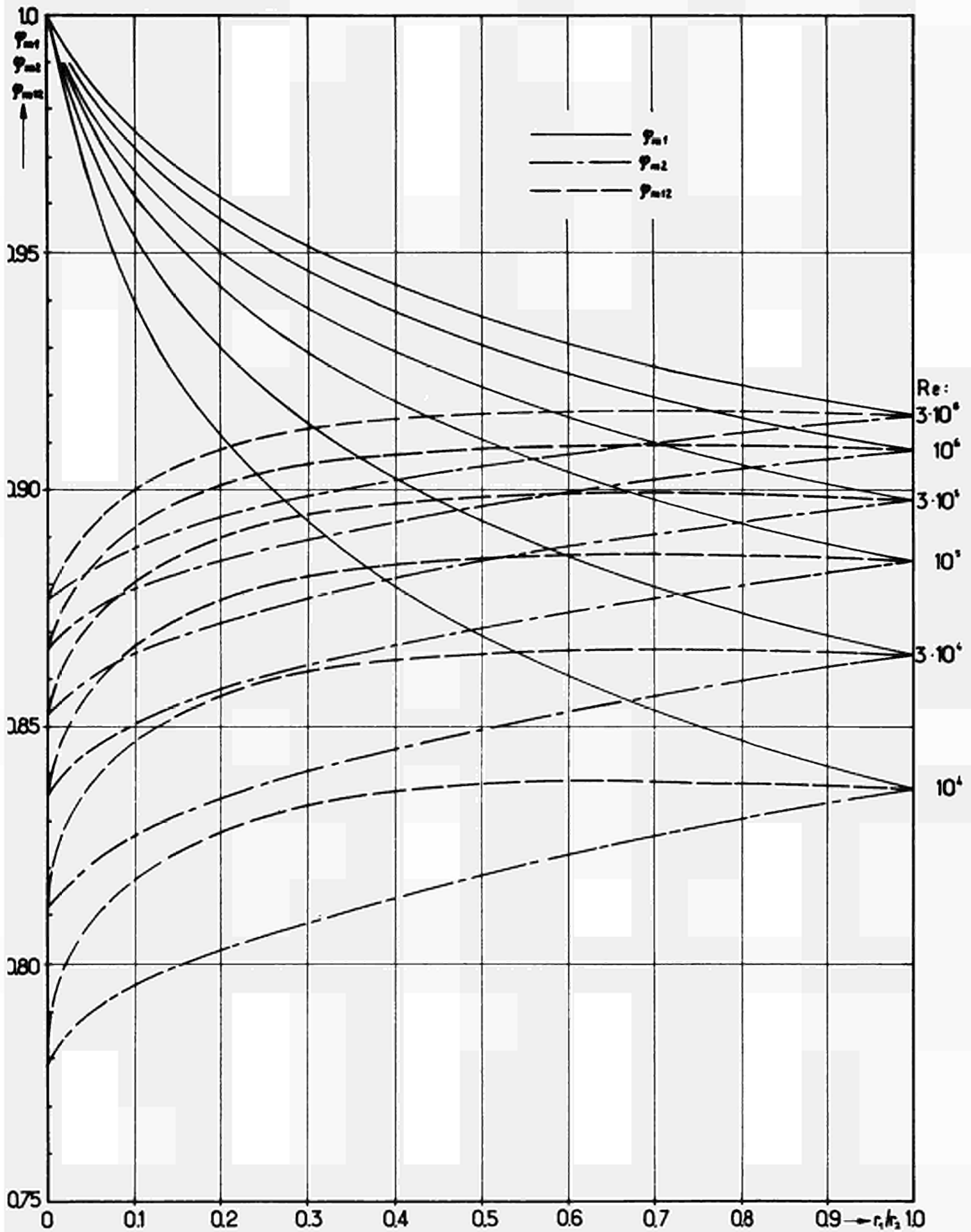


ABB.78. Mittlere Geschwindigkeiten  $\varphi_{m1}$ ,  $\varphi_{m2}$  und  $\varphi_{m12}$  bei der turbulenten Strömung im Ringspalt in Abhängigkeit vom Radienverhältnis  $r_1/r_2$  und von der Reynolds-Zahl

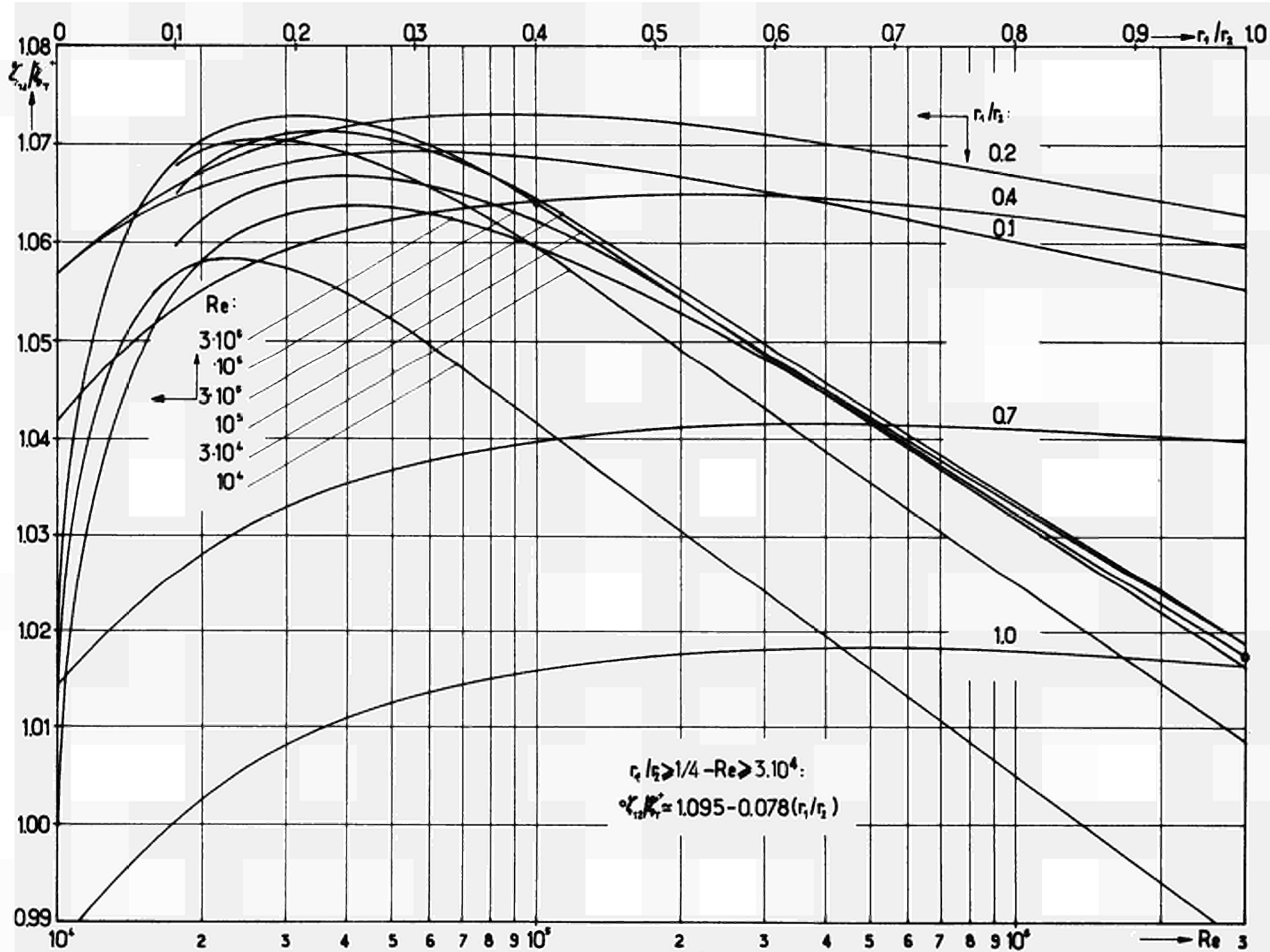


ABB.79. Verhältnis der Widerstandsbeiwerte  $\zeta_{12}/\zeta_T = f(Re, r_1/r_2)$  bei der turbulenten Strömung im Ringspalt

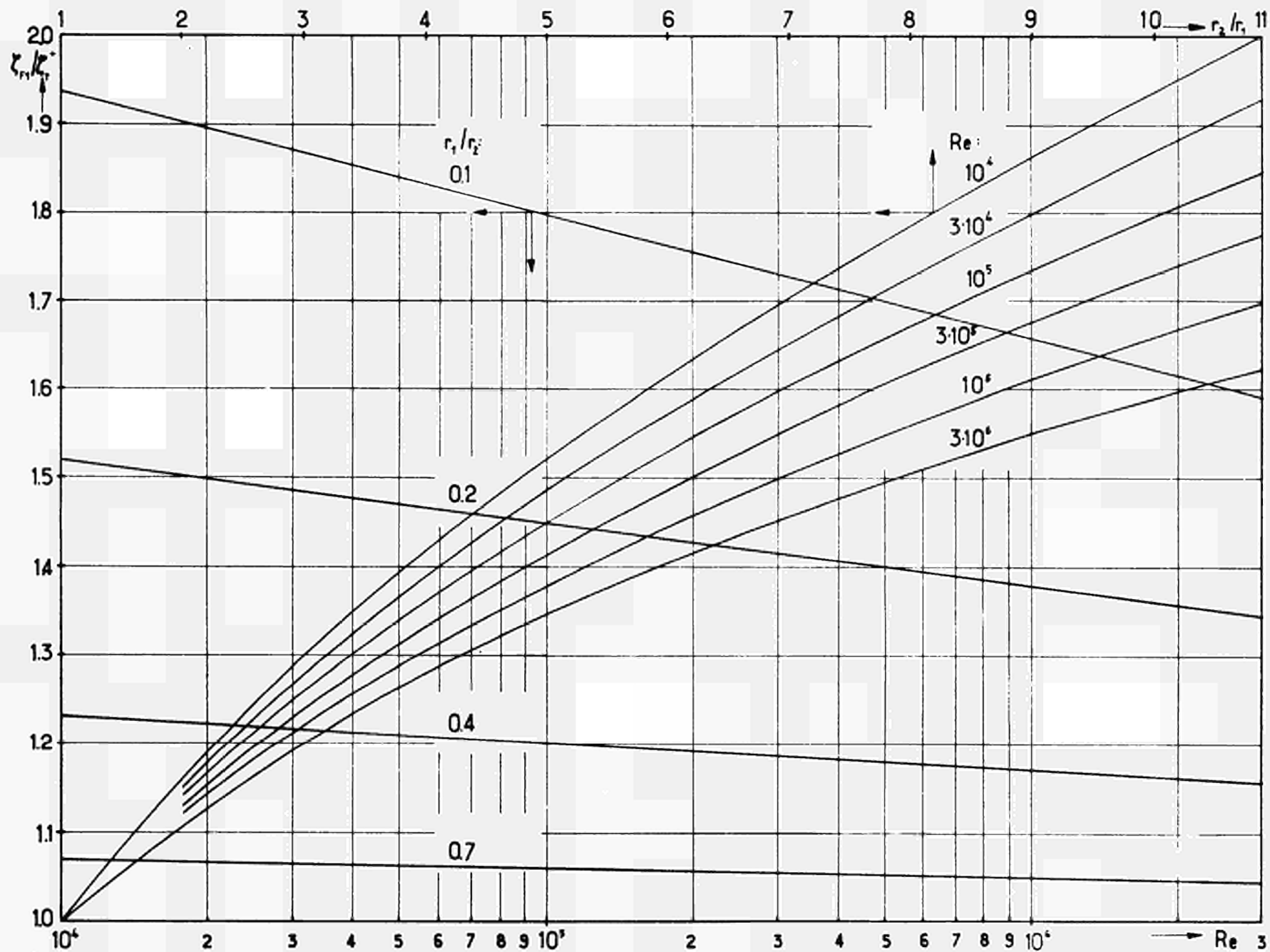


ABB.80. Fiktiver Widerstandsbeiwert  $\zeta_{F1}/\zeta_T^+ = f(Re, r_1/r_2)$  zur angenäherten Wiedergabe der Nusselt-Zahlen in der Form  $Nu = Re Pr^+ (\zeta_{F1}/8) / [1 + 10 (Pr^+ - 0,58) (Pr^+)^{-0,22} \sqrt{\zeta_{F1}/8}]$

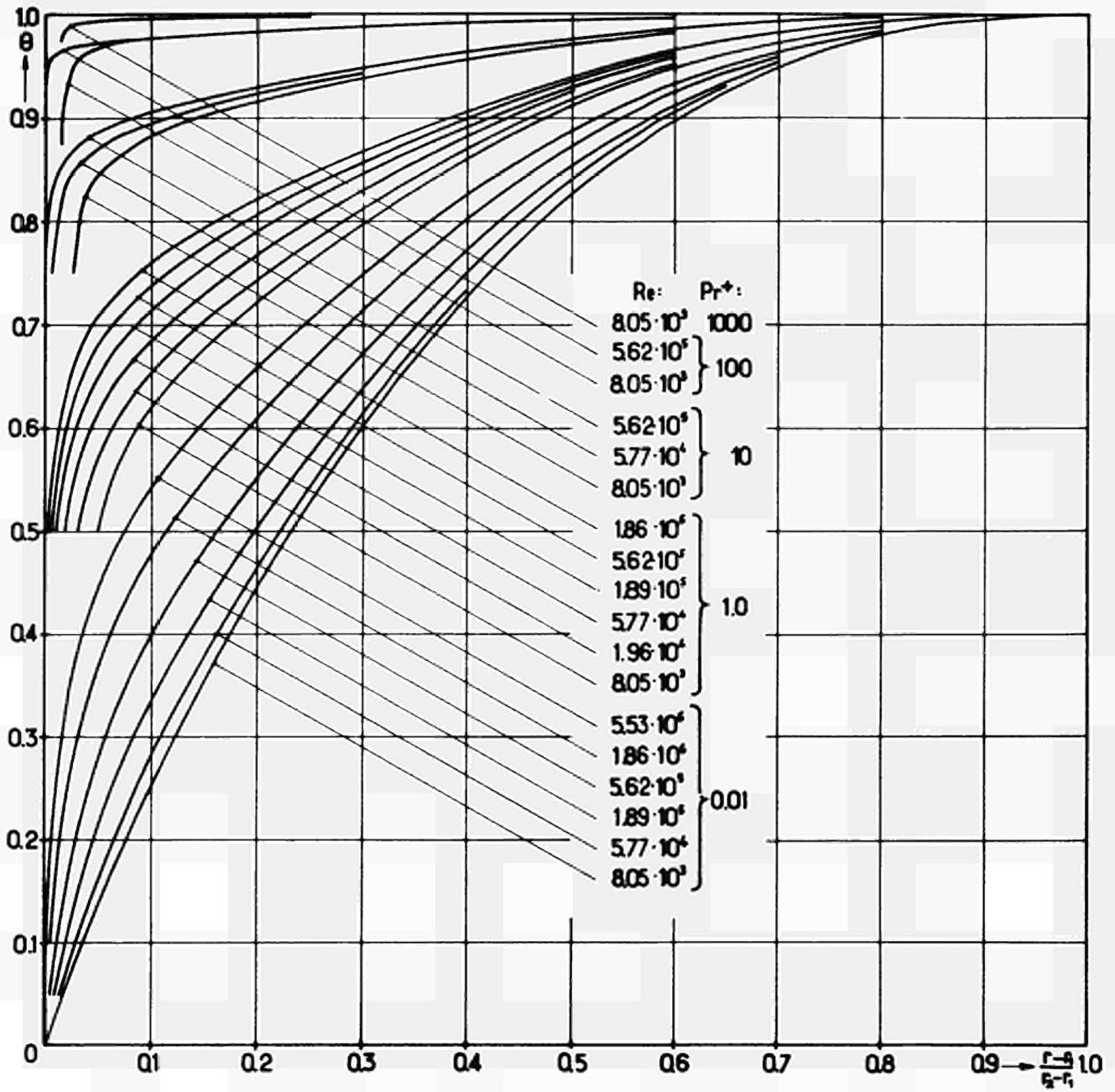


ABB. 81. Temperaturverlauf  $\theta = f\left(\frac{r-r_1}{r_2-r_1}, Pr^+, Re\right)$  bei der turbulenten Strömung im Ringspalt für  $q_{w1} = \text{konst.}$  und  $r_1/r_2 = 0,40$

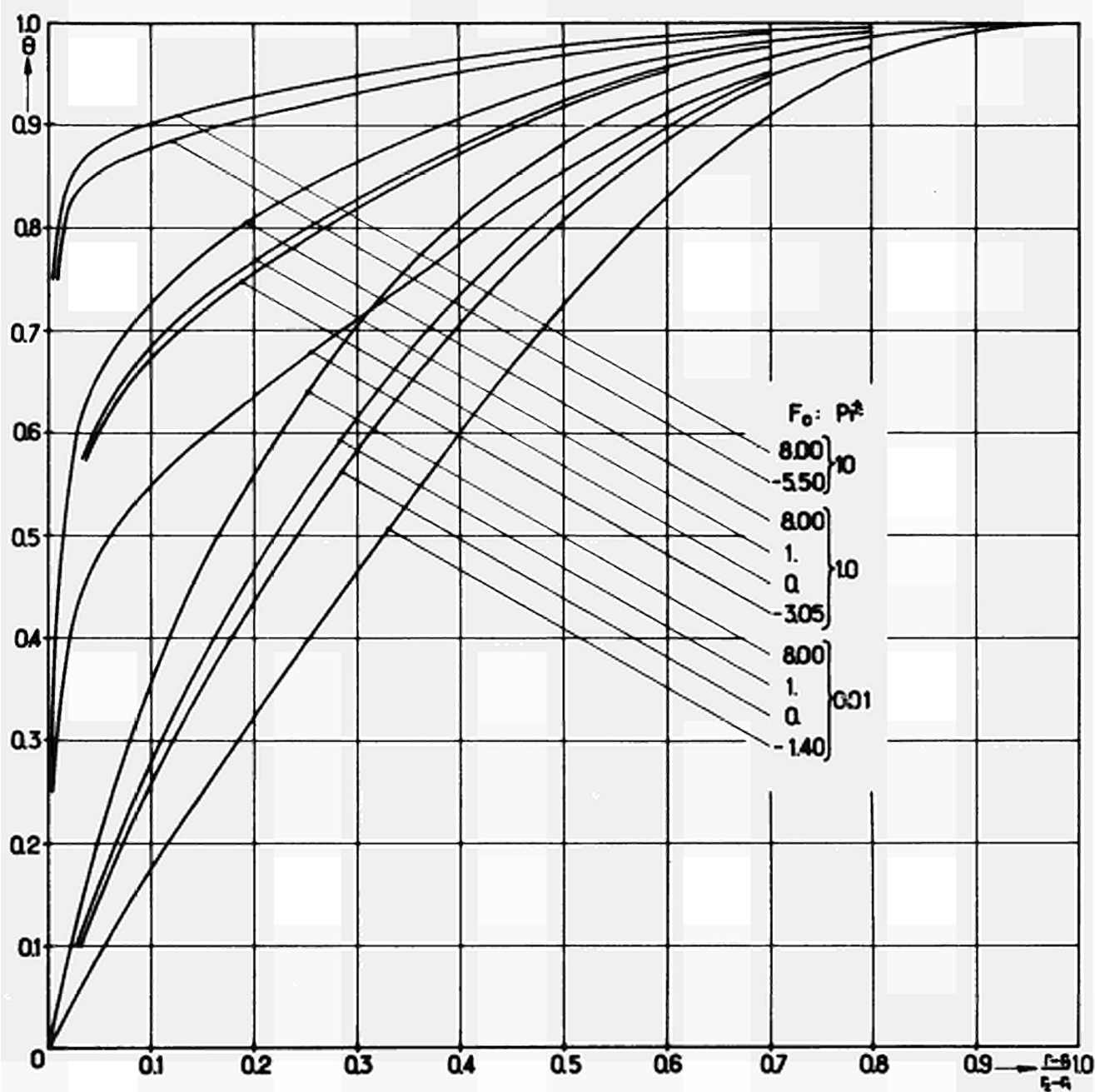


ABB.82. Temperaturverlauf  $\theta = f\left(\frac{r-r_1}{r_2-r_1}, Pr^+, F_0\right)$  bei der turbulenten Strömung im Ringspalt für  $q_{w1} = \text{konst.}$ ,  $r_1/r_2 = 0,40$  und  $Re = 5,77 \cdot 10^4$

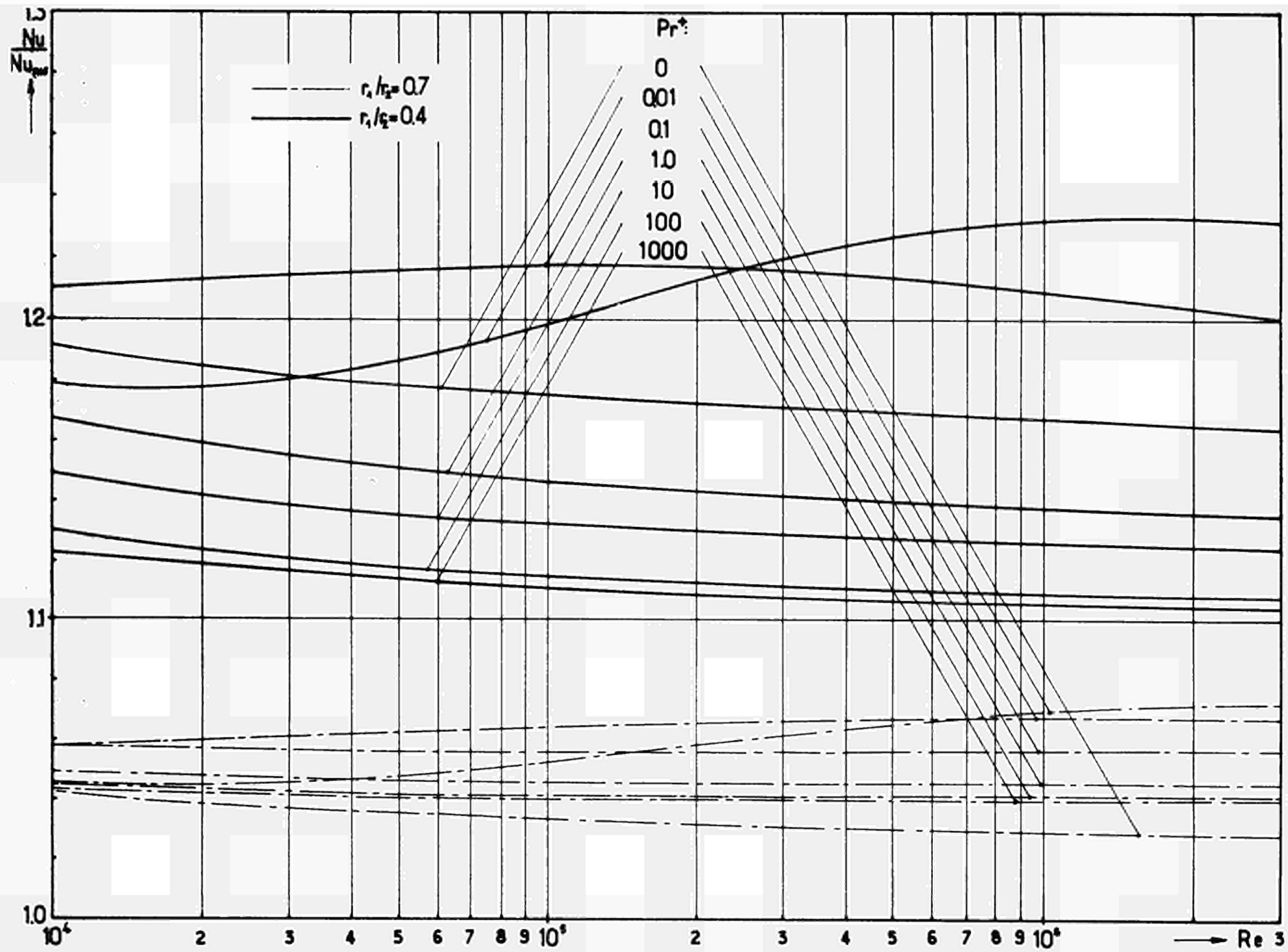


ABB.85. Verhältnis der Nusselt-Zahlen  $Nu/Nu_{PAS} = f(Re, Pr^+, r_1/r_2)$  bei der turbulenten Strömung im Ringspalt für  $q_{w1} = \text{konst.}$

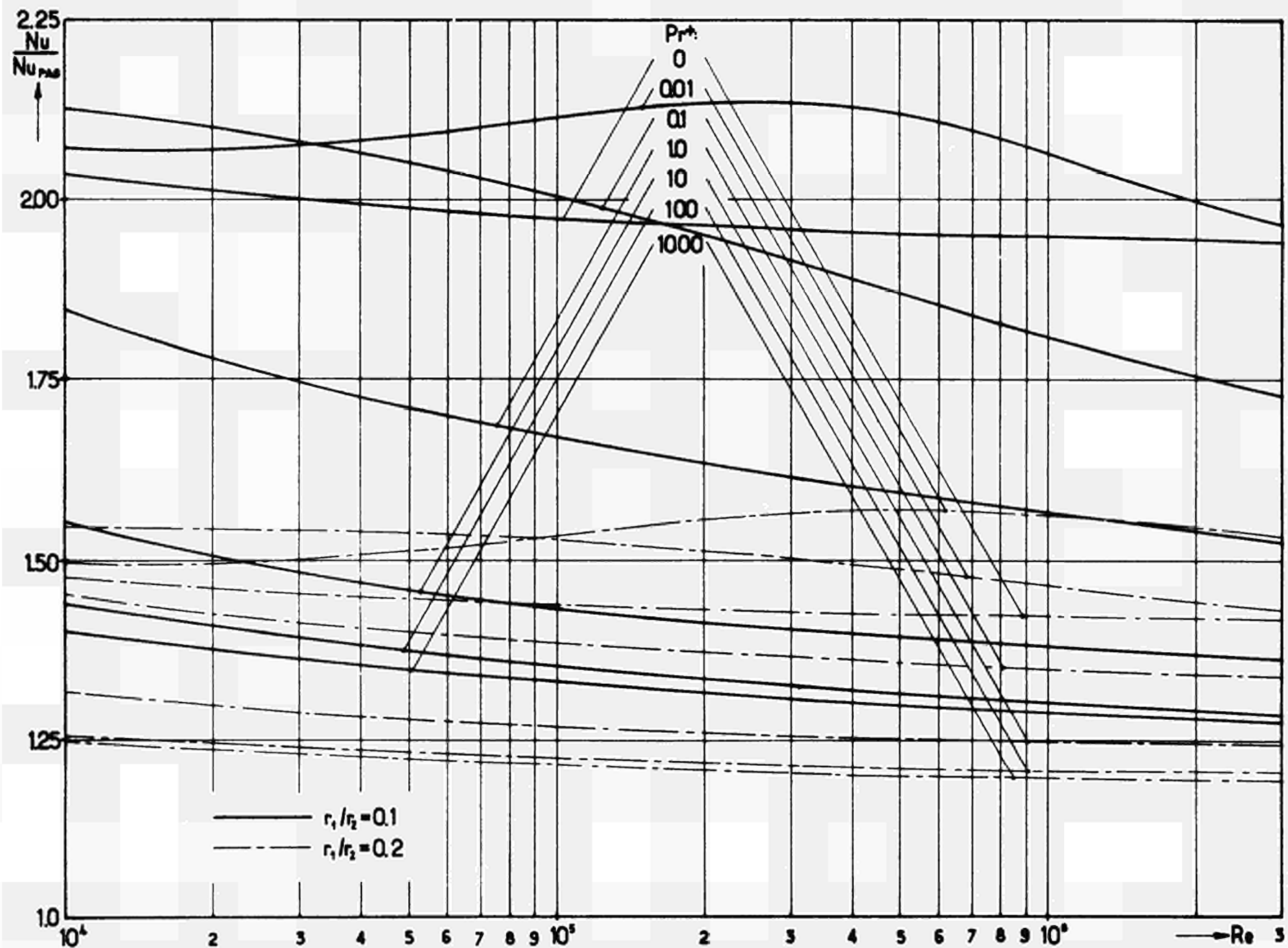


ABB.64. Verhältnis der Nusselt-Zahlen  $Nu/Nu_{PAS} = f(Re, Pr^+, r_1/r_2)$  bei der turbulenten Strömung im Ringspalt für  $q_{w1} = \text{konst.}$

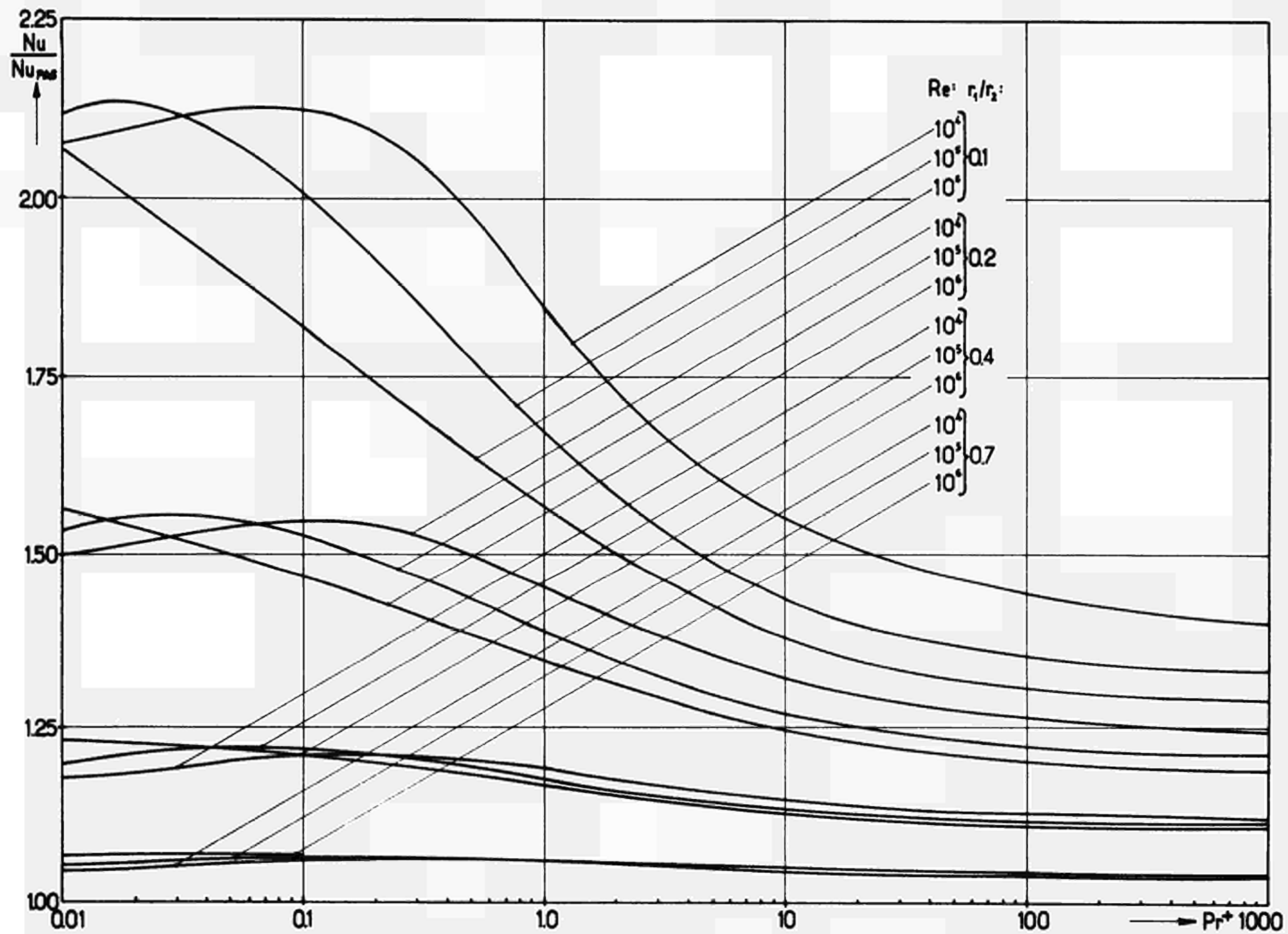


ABB.85. Verhältnis der Nusselt-Zahlen  $Nu/Nu_{PAS} = f(Pr^+, Re, r_1/r_2)$  bei der turbulenten Strömung im Ringspalt für  $q_{w,1} = \text{konst.}$



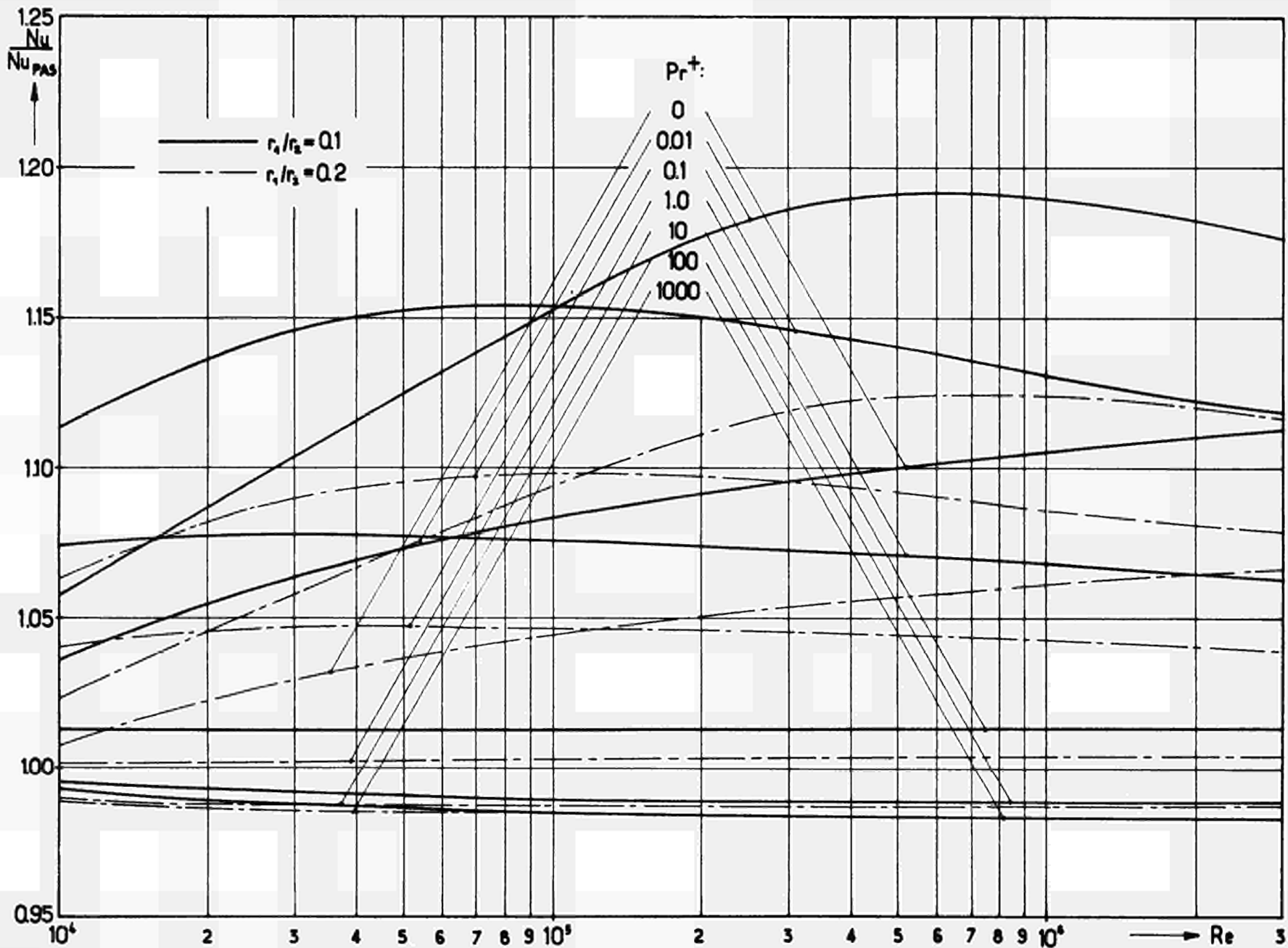


ABB.86. Verhältnis der Nusselt-Zahlen  $Nu/Nu_{PAS} = f(Re, Pr^+, r_1/r_2)$  bei der turbulenten Strömung im Ring-spalt für  $q_{w2} = \text{konst.}$

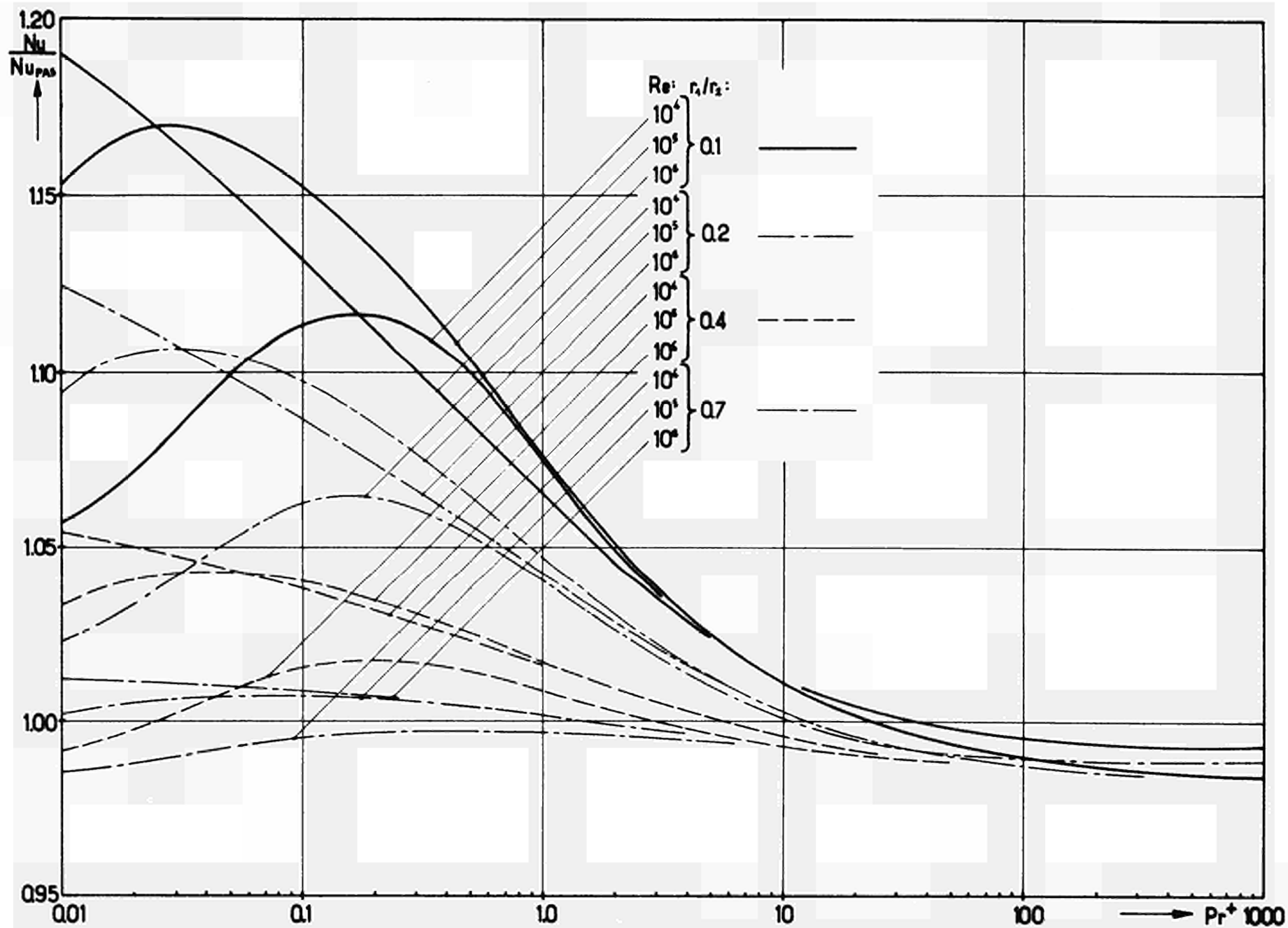


ABB.87. Verhältnis der Nusselt-Zahlen  $Nu/Nu_{PAS} = f(Pr^+, Re, r_1/r_2)$  bei der turbulenten Strömung im Ringspalt für  $q_{w2} = \text{konst.}$

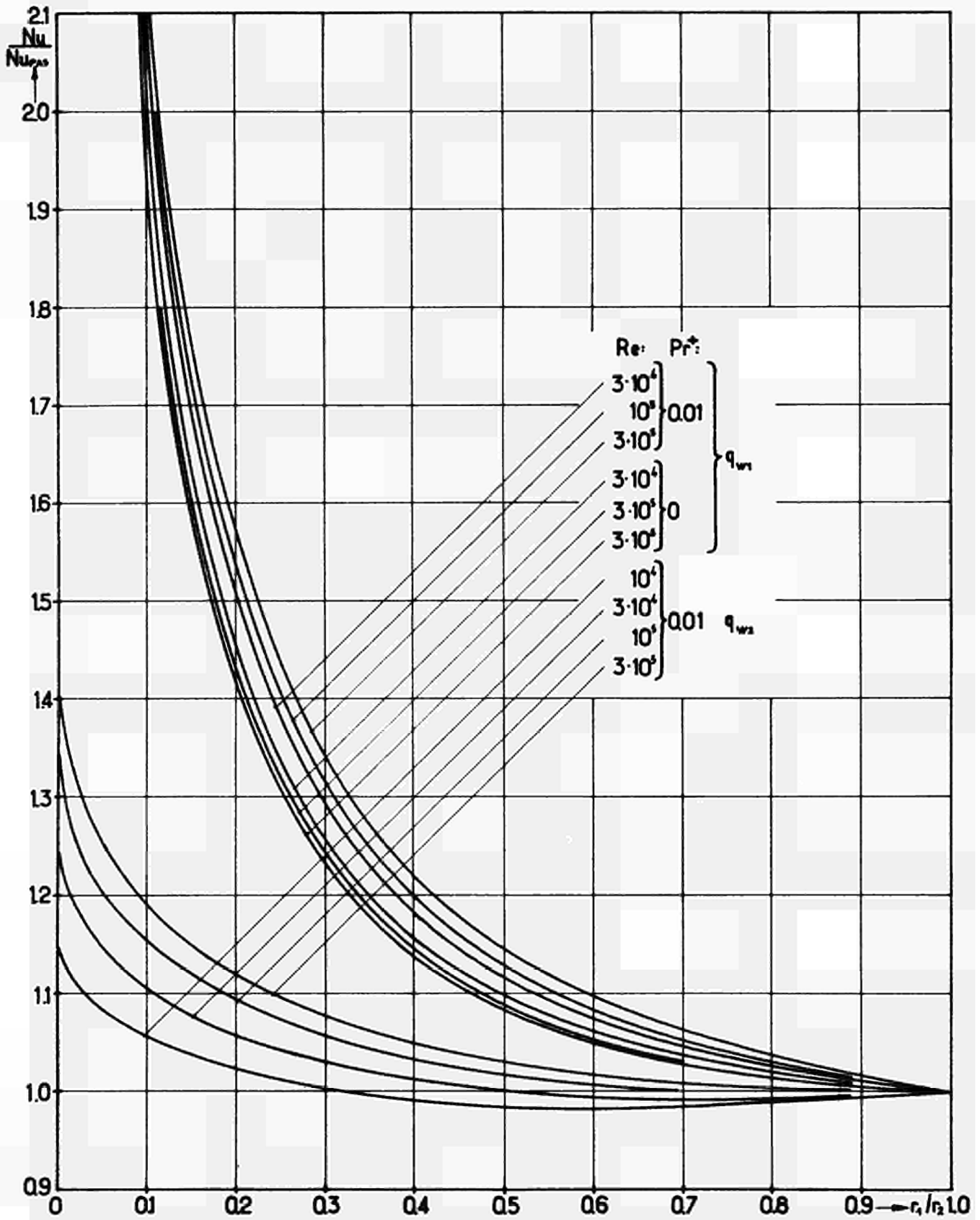


ABB.88. Verhältnis der Nußelt-Zahlen  $Nu/Nu_{PAS} = f(r_1/r_2, Re, Pr^+)$  bei der turbulenten Strömung im Ringspalt für  $q_{w1} = \text{konst.}$  bzw.  $q_{w2} = \text{konst.}$

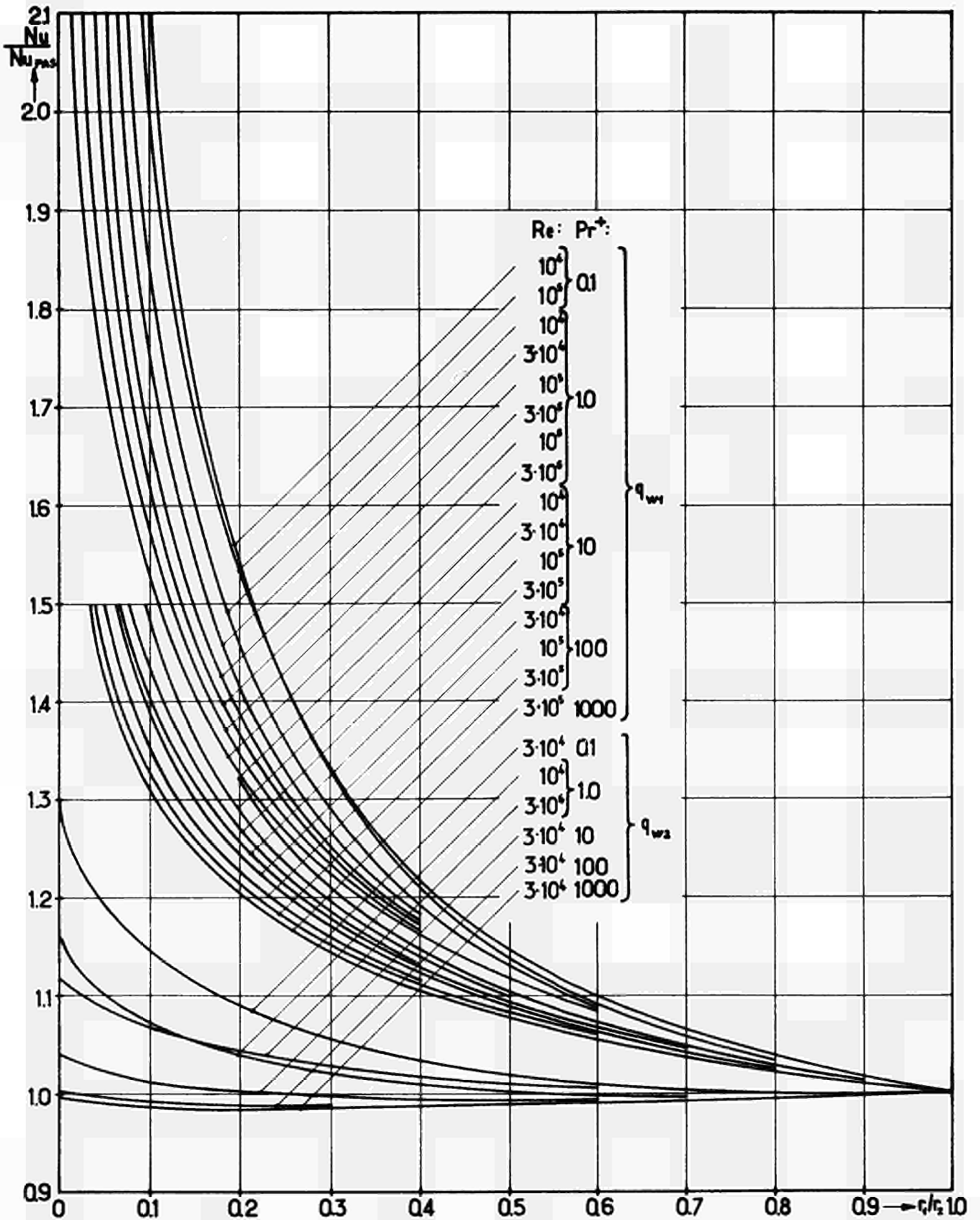


ABB. 89. Verhältnis der Nußelt-Zahlen  $Nu/Nu_{PAS} = f(r_1/r_2, Re, Pr^+)$  bei der turbulenten Strömung im Ringspalt für  $q_{w1} = \text{konst.}$  bzw.  $q_{w2} = \text{konst.}$

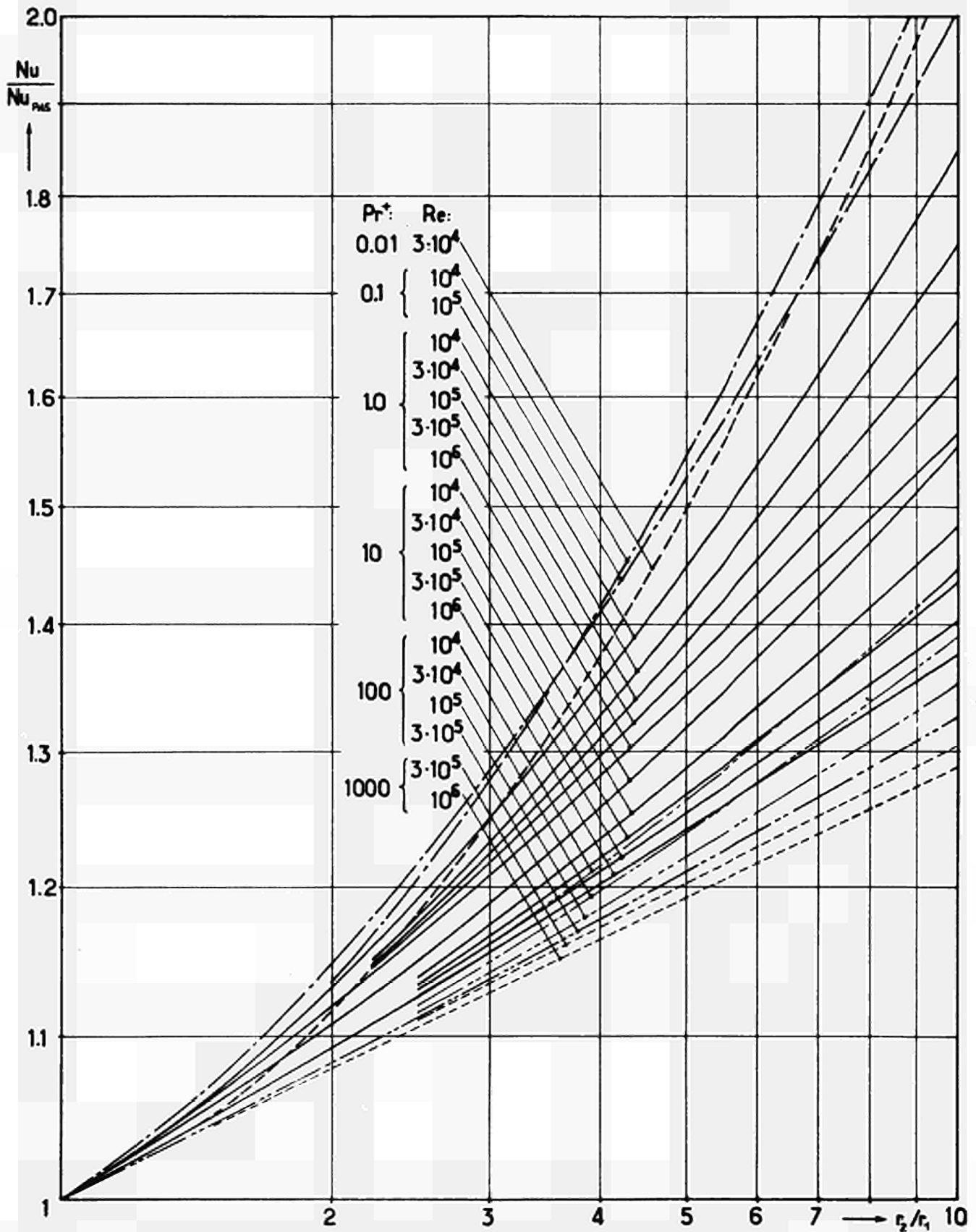


ABB.90. Verhältnis der Nußelt-Zahlen  $Nu/Nu_{PAS} = f(r_2/r_1, Re, Pr^+)$  bei der turbulenten Strömung im Ringspalt für  $q_{w1} = \text{konst.}$

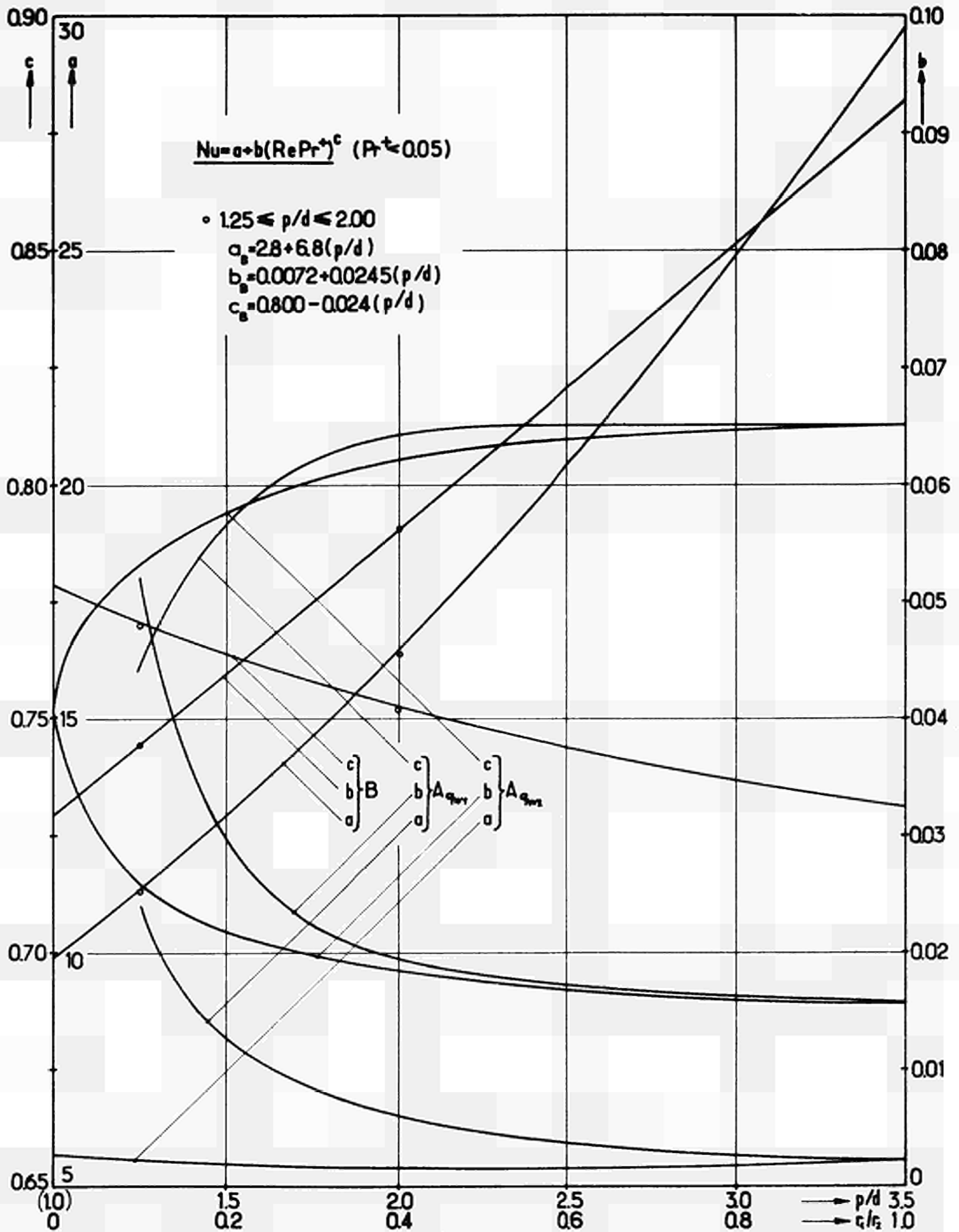


ABB.91. Koeffizienten  $a$ ,  $b$  und  $c$  zur angenäherten Wiedergabe der Nußelt-Zahlen in der Form  $Nu = a + b(RePr^+)^c$  ( $Pr^+ < 0,05$ ) in Abhängigkeit vom Radienverhältnis  $r_1/r_2$  beim Ringspalt bzw. vom Rohrmittlenabstand  $p/d$  beim Rohrbündel (Dreieckanordnung) bei turbulenter Strömung für  $q_{w1} = \text{konst.}$  bzw.  $q_{w2} = \text{konst.}$

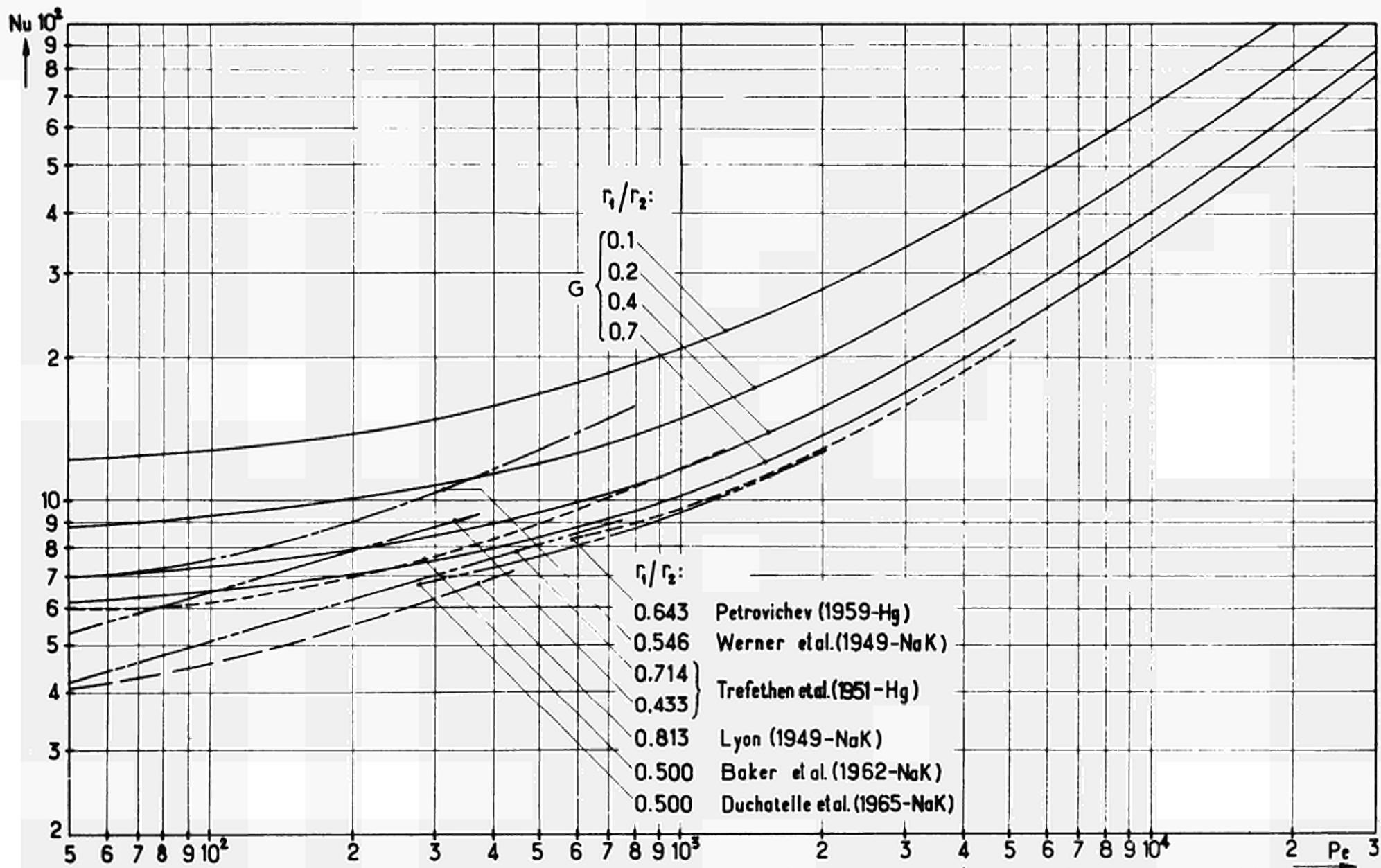


ABB.92. Vergleich der für die turbulente Strömung im Ringspalt ( $q_{w1} = \text{konst.} - Pr^+ = Pr = 0,01$ ) berechneten ( $G$ )  
 und an Flüssigmetallen experimentell ermittelten Nusselt-Zahlen  $Nu = f(Pe)$

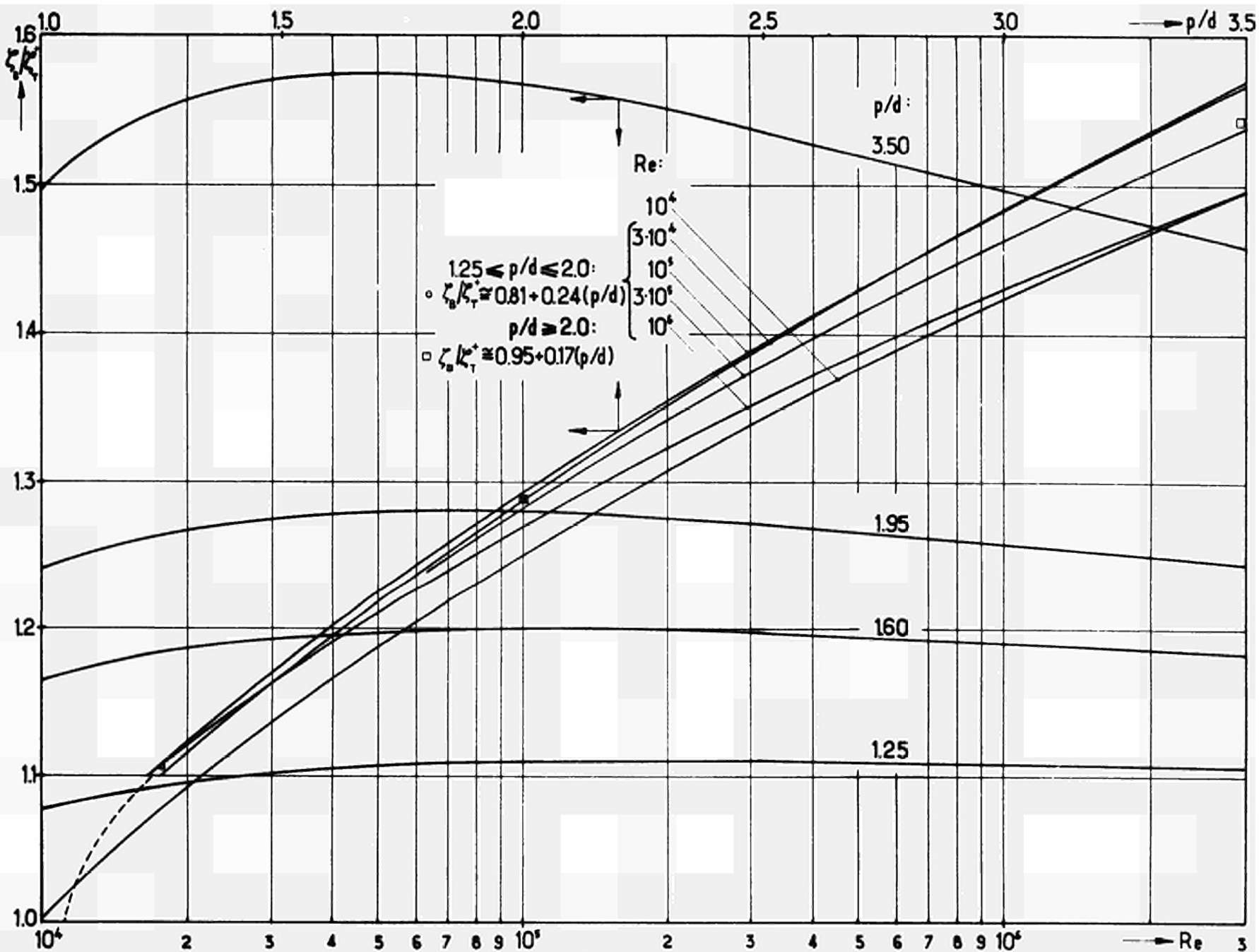


ABB.93. Verhältnis der Widerstandsbeiwerte  $\zeta_B/\zeta_T^+ = f(Re, p/d)$  bei der turbulenten Strömung längs Rohr-  
 bündeln (Dreieckanordnung)



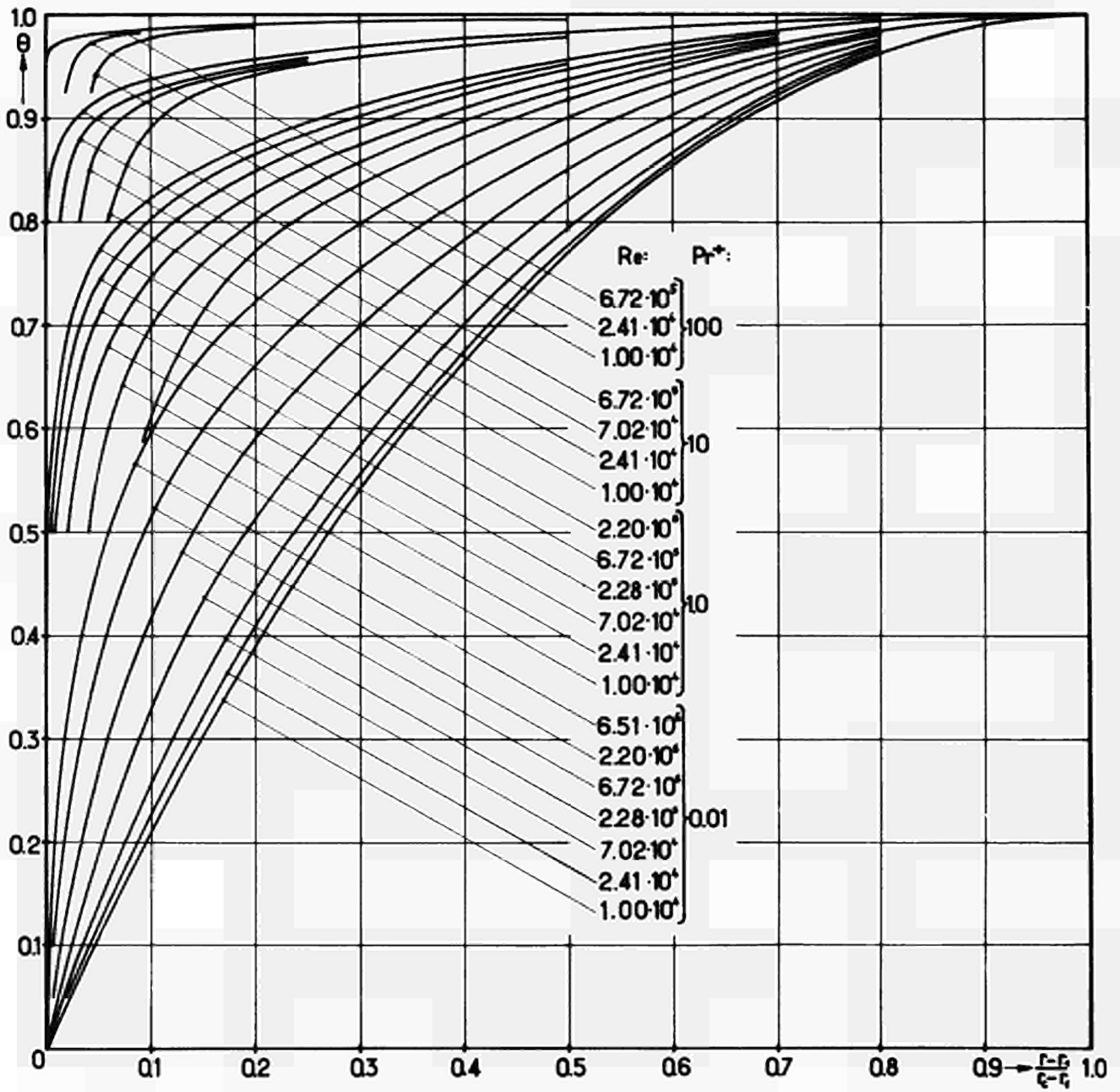


ABB.94. Temperaturverlauf  $\theta = f((r-r_1)/(r_2-r_1), Pr^+, Re)$  bei der turbulenten Strömung längs Rohrbündeln (Dreieckanordnung) für  $q_w = \text{konst.}$  und  $p/d = 1,60$ .

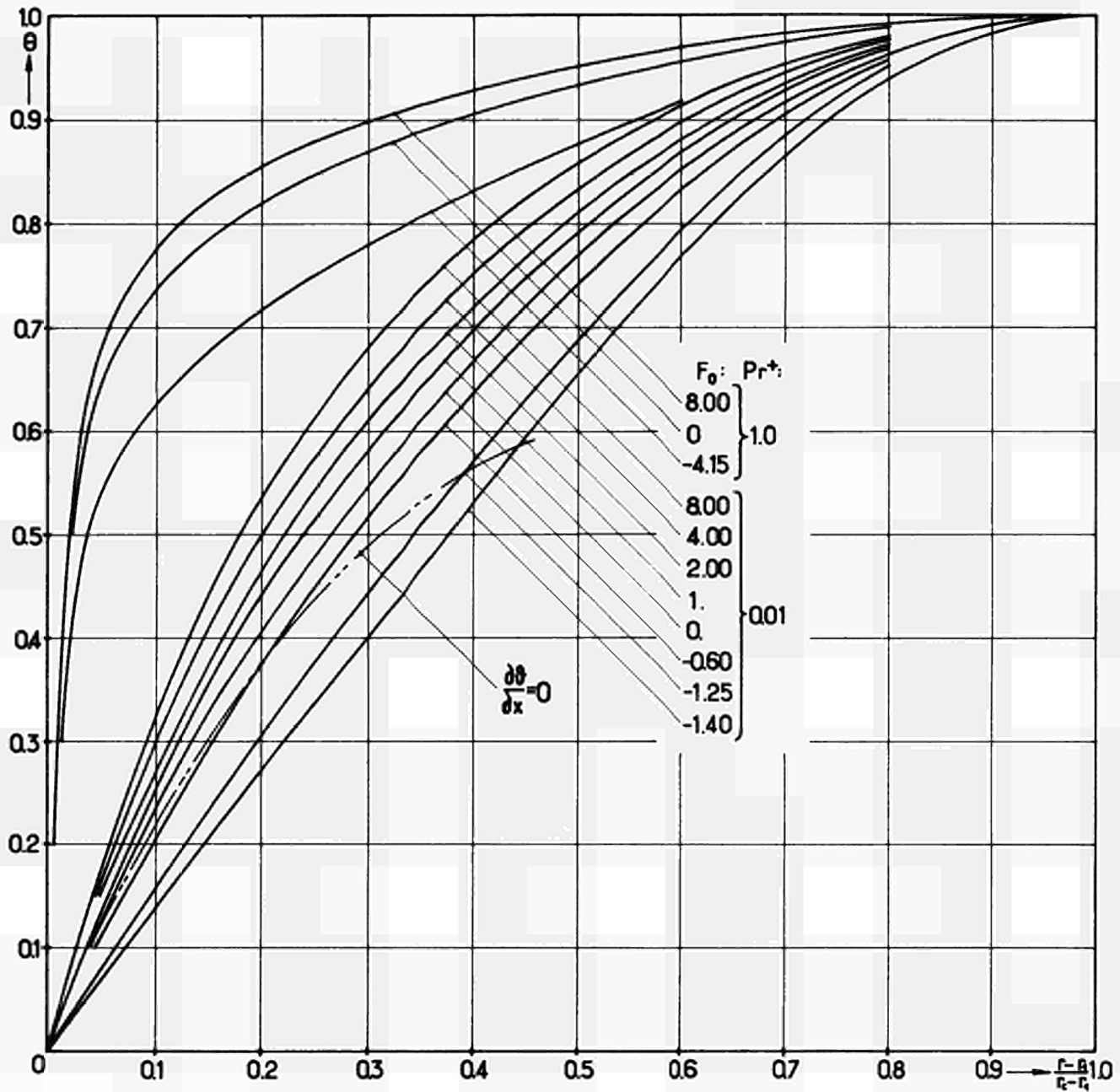


ABB.95. Temperaturverlauf  $\theta = f\left(\frac{r-r_1}{r_2-r_1}, Pr^+, F_0\right)$  bei der turbulenten Strömung längs Rohrbündeln<sup>1</sup> (Dreieckanordnung) für  $q_w = \text{konst.}$ ,  $p/d = 1,60$  und  $Re = 7,02 \cdot 10^4$ .

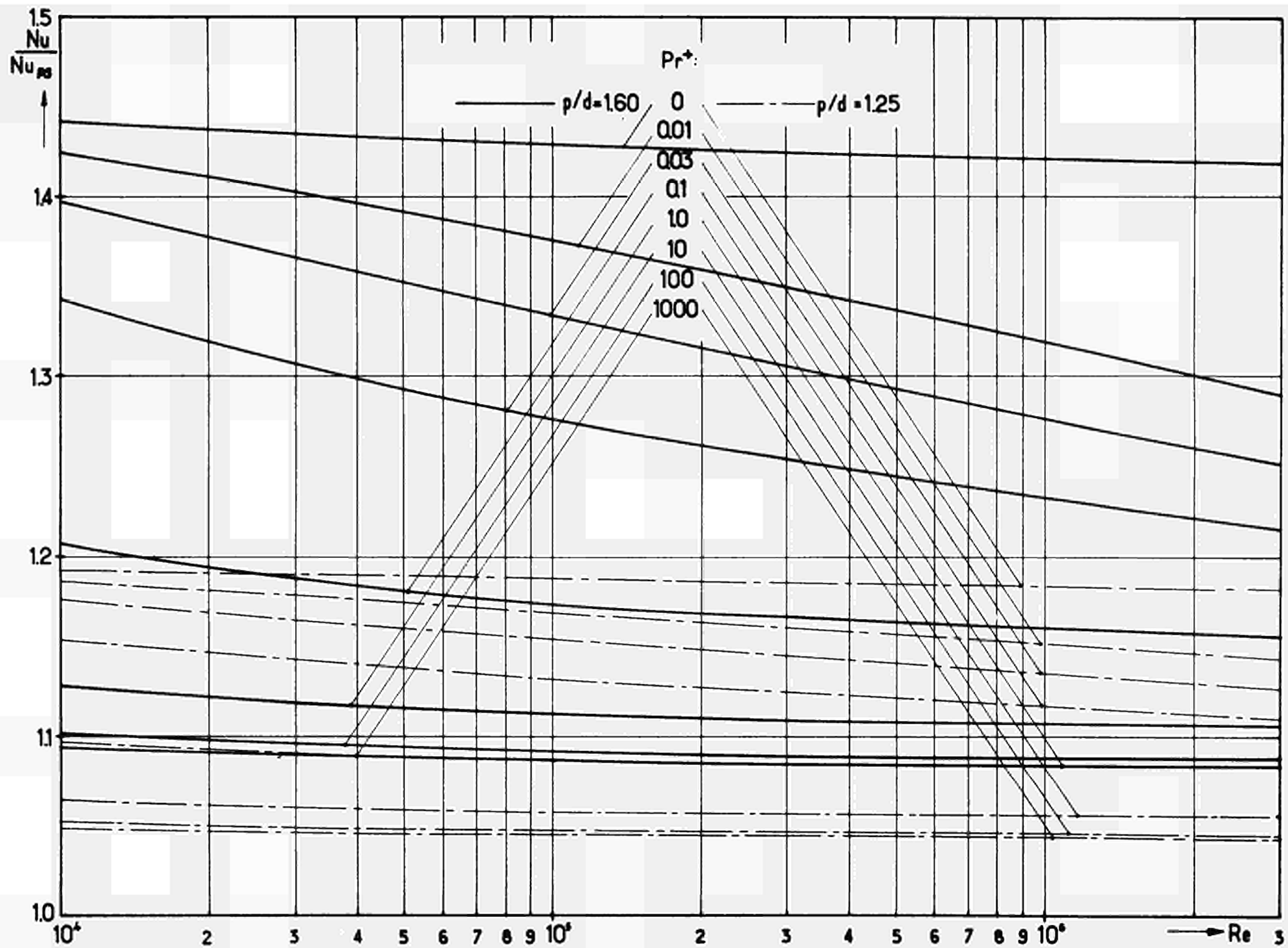


ABB.96. Verhältnis der Nusselt-Zahlen  $Nu/Nu_{PS} = f(Re, Pr^+, p/d)$  bei der turbulenten Strömung längs Rohr-  
 bündeln (Dreieckanordnung) für  $q_w = \text{könst.}$

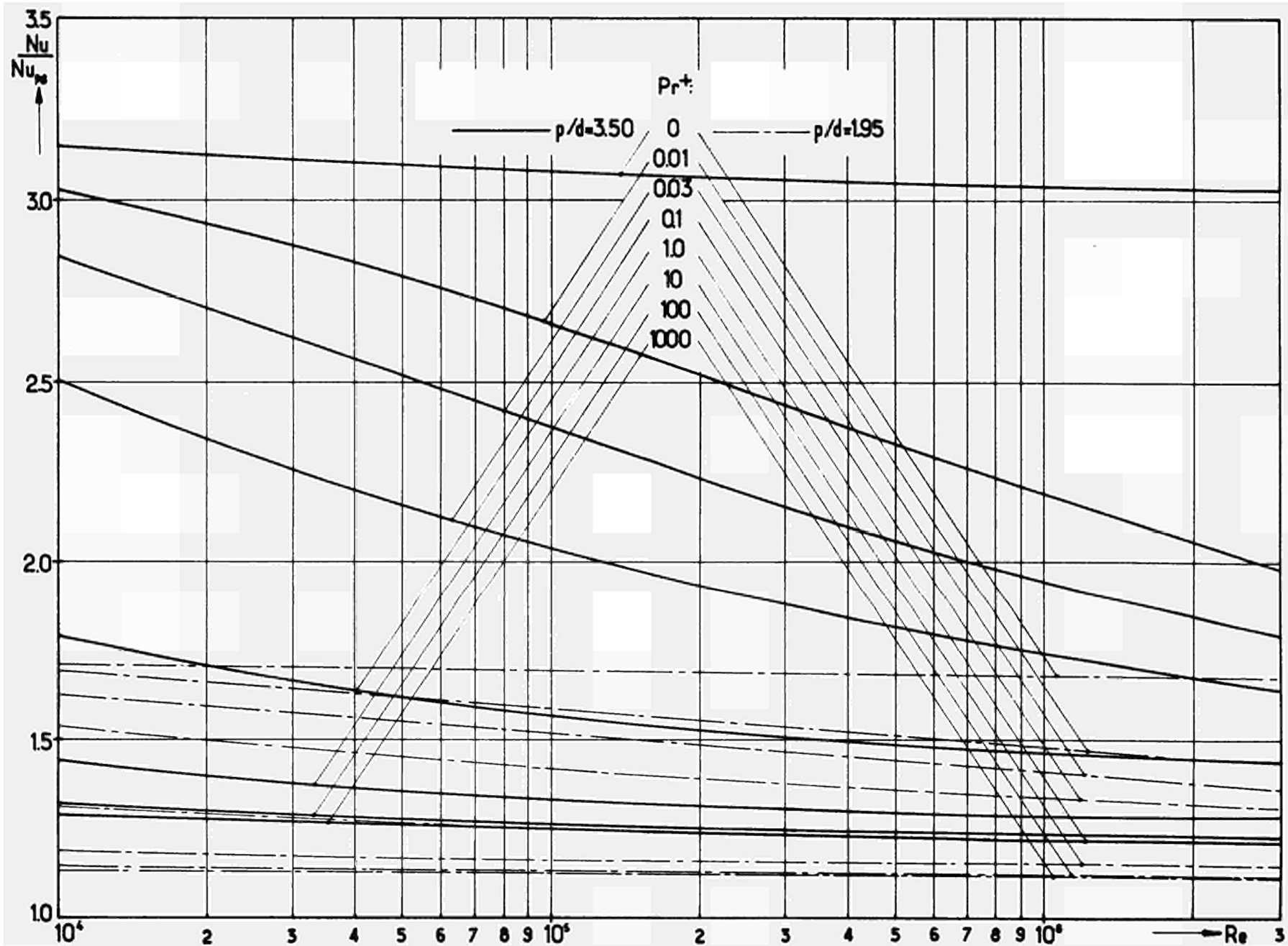


ABB.97. Verhältnis der Nusselt-Zahlen  $Nu/Nu_{PS} = f(Re, Pr^+, p/d)$  bei der turbulenten Strömung längs Rohr-  
bündeln (Dreieckanordnung) für  $q_w = \text{könst.}$

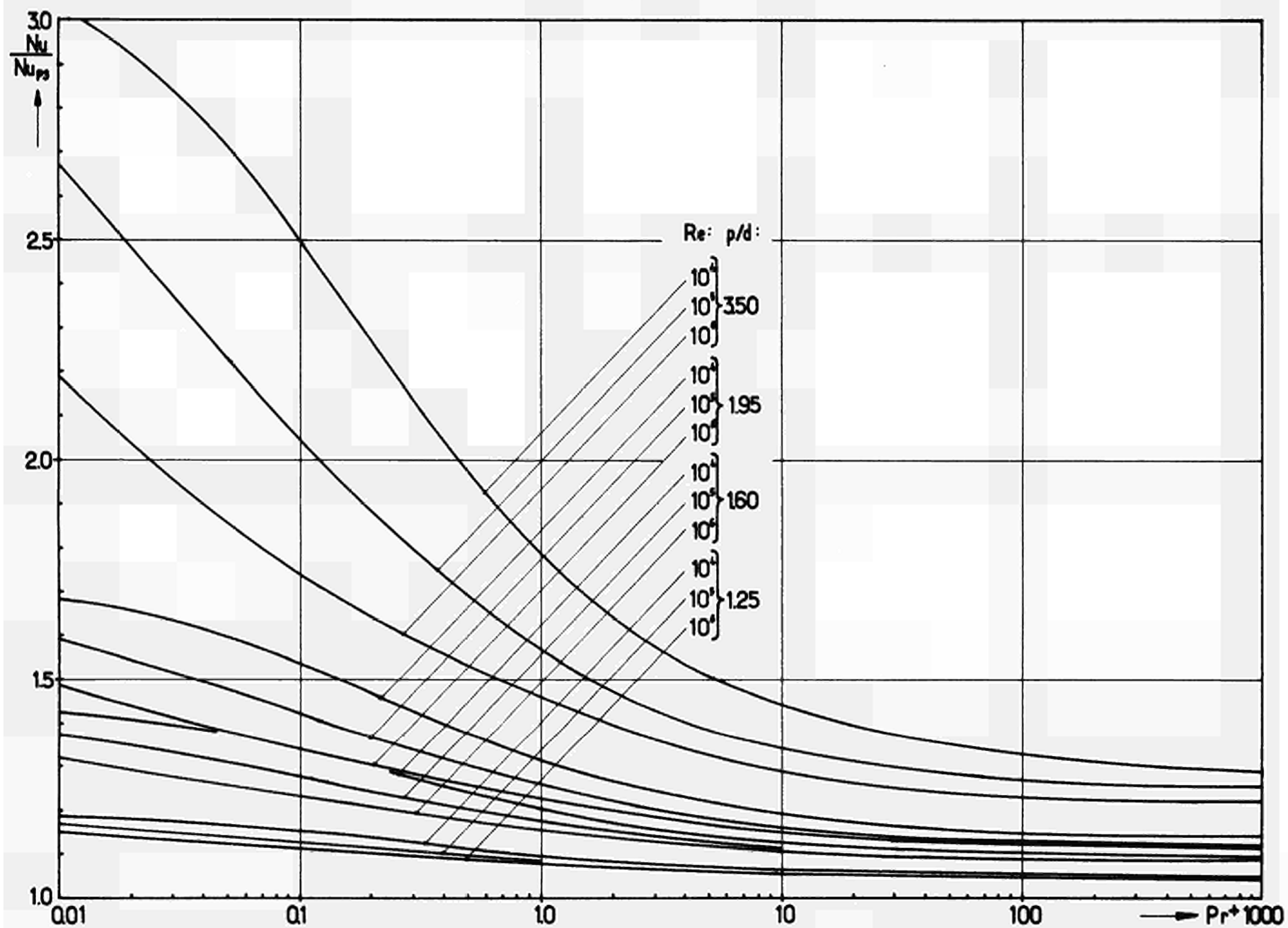


ABB.98. Verhältnis der Nusselt-Zahlen  $Nu/Nu_{PS} = f(Pr^+, Re, p/d)$  bei der turbulenten Strömung längs Rohr-  
bündeln (Dreieckanordnung) für  $q_w = konst.$

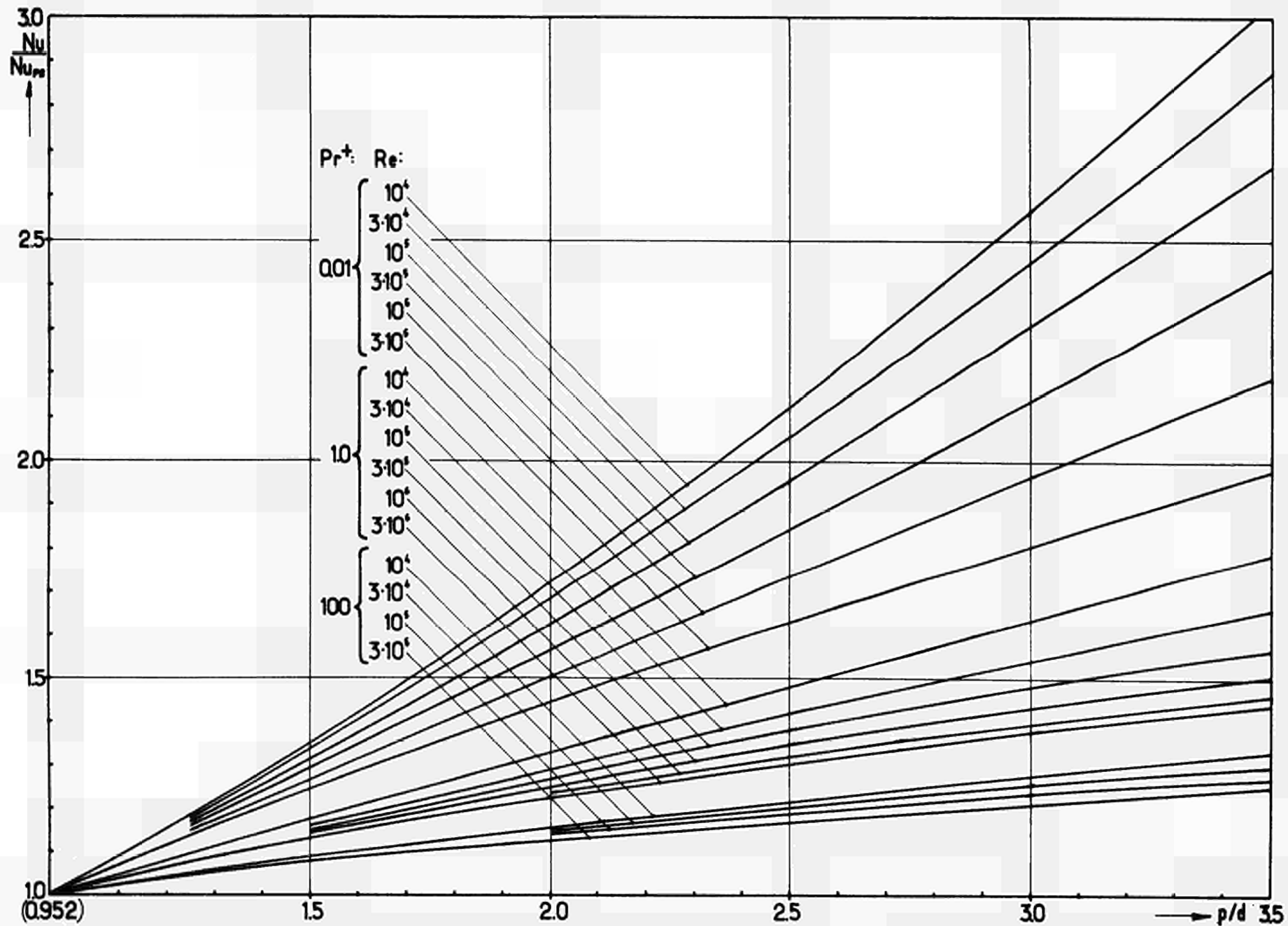


ABB.99. Verhältnis der Nusselt-Zahlen  $Nu/Nu_{PS} = f(p/d, Pr^+, Re)$  bei der turbulenten Strömung längs Rohrbündeln (Dreieckanordnung) für  $q_w = \text{konst.}$

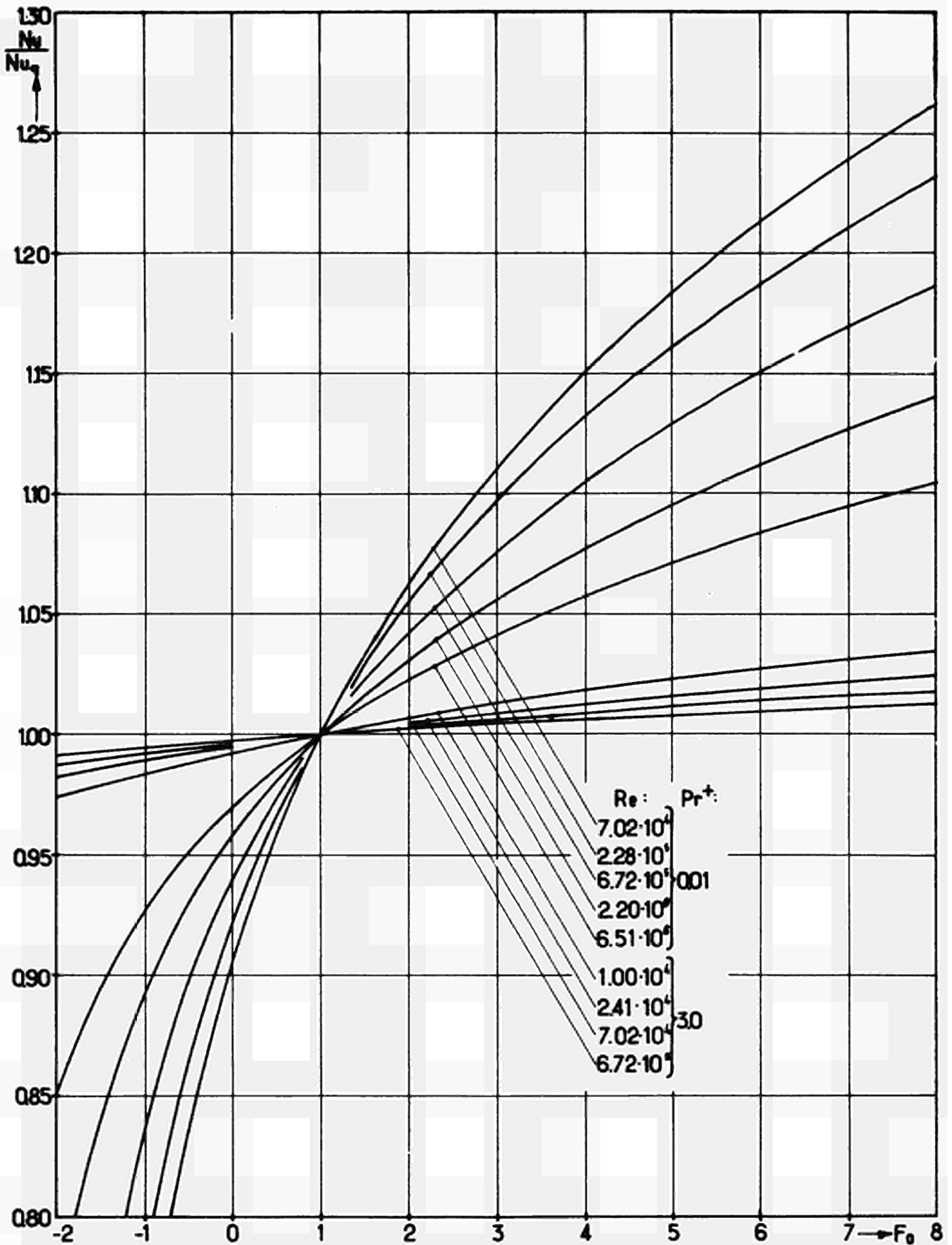


ABB. 100. Verhältnis der Nußelt-Zahlen  $Nu/Nu_q = f(F_o, Pr^+, Re)$  bei der turbulenten Strömung längs Rohrbündeln (Dreieckanordnung) für  $Pr^+ = 0,01$  und  $Pr^+ = 3,0$  ( $p/d = 1,60$ ).

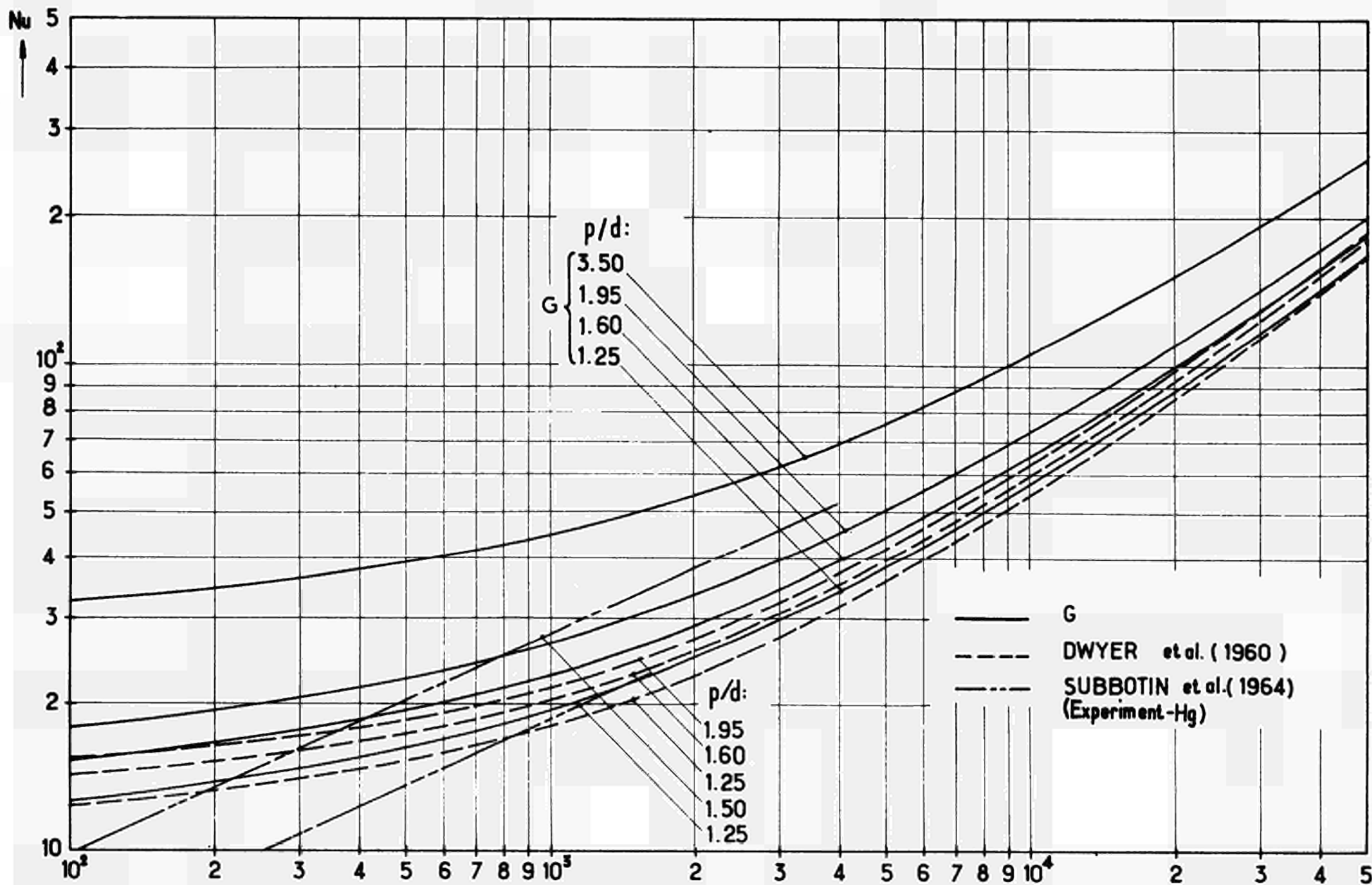


ABB.101. Vergleich der in der vorliegenden Arbeit (G) für die turbulente Strömung längs Rohrbündeln (Dreieckanordnung -  $q_w = \text{konst.}$  -  $Pr^+ = Pr = 0,01$ ) berechneten Nusselt-Zahlen  $Nu = f(Pe)$  mit theoretischen und an Flüssigmetallen experimentell gewonnenen Ergebnissen anderer Autoren



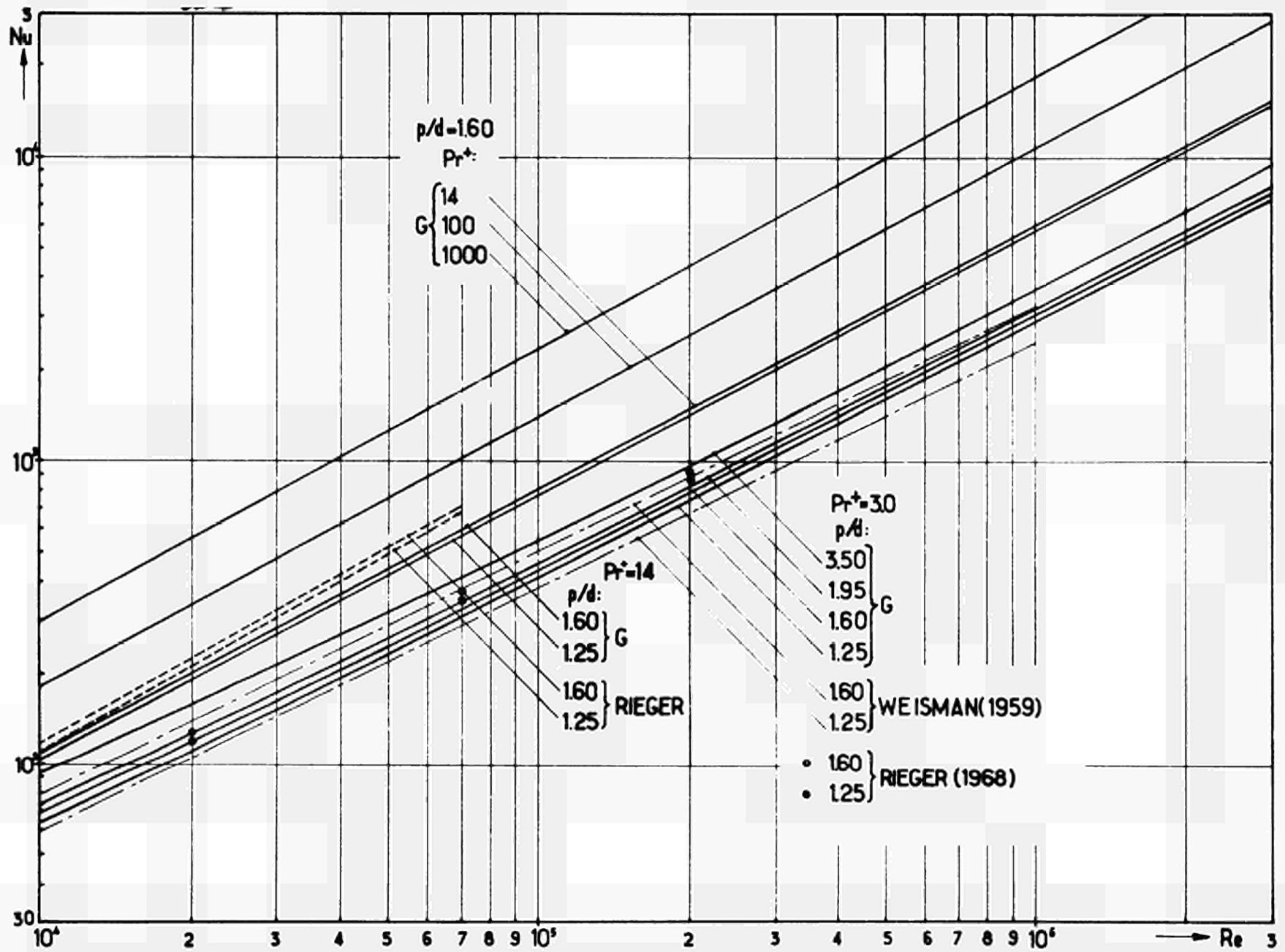


ABB.102. Vergleich der für die turbulente Strömung längs Rohrbündeln (Dreieckanordnung -  $q_w = \text{konst.}$ ) in der vorliegenden Arbeit ( $G - Pr^+ = Pr = 3 - 14 - 100 - 1000$ ) berechneten und a) von M.RIEGER an Wasser und an einem Wasser-Glykol-Gemisch gemessenen und b) nach der Formel von J.WEISMAN berechneten Nusselt-Zahlen  $Nu = f(Re, Pr, p/d)$



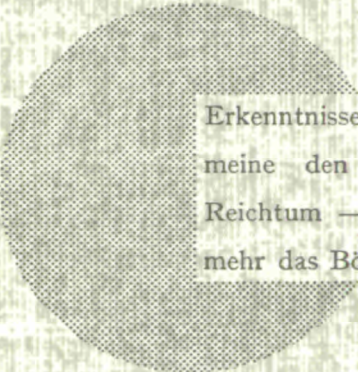
**AN UNSERE LESER**

Alle Euratom-Berichte werden nach Erscheinen in der von der Zentralstelle für Information und Dokumentation (CID) herausgegebenen Monatszeitschrift **EURATOM INFORMATION** angezeigt. Abonnements (1 Jahr : DM 60) und Probehefte sind erhältlich bei :

**Handelsblatt GmbH**  
**"Euratom Information"**  
Postfach 1102  
D-4 Düsseldorf (Deutschland)

oder

**Centrale de vente des publications  
des Communautés européennes**  
37, rue Glesener  
Luxembourg



Erkenntnisse verbreiten ist soviel wie Wohlstand verbreiten — ich meine den allgemeinen Wohlstand, nicht den individuellen Reichtum — denn mit dem Wohlstand verschwindet mehr und mehr das Böse, das uns aus dunkler Zeit vererbt ist.

Alfred Nobel

## VERTRIEBSSTELLEN

Alle Euratom-Berichte sind bei folgenden Stellen zu den auf der ersten Rückseite des Umschlags angegebenen Preisen erhältlich (bei schriftlicher Bestellung bitte die EUR-Nummer und den Titel, die beide auf der ersten Umschlagsseite jedes Bericht stehen, deutlich angeben).

### CENTRALE DE VENTE DES PUBLICATIONS DES COMMUNAUTES EUROPEENNES

37, rue Glesener, Luxembourg (Compte chèque postal N° 191-90)

#### BELGIQUE — BELGIË

MONITEUR BELGE  
40-42, rue de Louvain - Bruxelles  
BELGISCH STAATSBLAD  
Leuvenseweg 40-42 - Brussel

#### LUXEMBOURG

CENTRALE DE VENTE  
DES PUBLICATIONS DES  
COMMUNAUTES EUROPEENNES  
37, rue Glesener - Luxembourg

#### DEUTSCHLAND

BUNDESANZEIGER  
Postfach - Köln 1

#### NEDERLAND

STAATSDRUKKERIJ  
Christoffel Plantijnstraat - Den Haag

#### FRANCE

SERVICE DE VENTE EN FRANCE  
DES PUBLICATIONS DES  
COMMUNAUTES EUROPEENNES  
26, rue Desaix - Paris 15<sup>e</sup>

#### ITALIA

LIBRERIA DELLO STATO  
Piazza G. Verdi, 10 - Roma

#### UNITED KINGDOM

H. M. STATIONERY OFFICE  
P. O. Box 569 - London S.E.1

EURATOM — C.I.D.  
29, rue Aldringer  
L u x e m b o u r g

CDNA04381DEC